GRUPPO FS ITALIANE

Direzione Tecnica

ITINERARIO INTERNAZIONALE E78 S.G.C. GROSSETO – FANO
Tratto Selci Lama (E45) – S. Stefano di Gaifa
Adeguamento a 2 corsie della Galleria della Guinza (lotto 2) e del tratto Guinza – Mercatello Ovest (lotto 3)
1° stralcio

PROGETTO ESECUTIVO

COD. AN58

PROGETTAZIONE:
RAGGRUPPAMENTO
TEMPORANEO PROGETTISTI

MANDATARIA: PRO ITER Progetto Infrastrutture Territorio s.r.l.

MANDANTI: erreVia S. R. L. RICERCA VIABILITÀ AMBIENTE; sinergo

IL RESPONSABILE DELL'INTEGRAZIONE DELLE PRESTAZIONI SPECIALISTICHE:
Ing. Riccardo Formichi – Società Pro Iter Srl
Ordine Ingegneri Provincia di Milano n. 18045

IL GEOLOGO:
Dott. Geol. Massimo Mezzanzanica – Società Pro Iter Srl
Albo Geol. Lombardia n. A762

IL COORDINATORE PER LA SICUREZZA IN FASE DI PROGETTAZIONE:
Ing. Massimo Mangini – Società Erre.Vi.A Srl
Ordine Ingegneri Provincia di Varese n. 1502

VISTO: IL RESP. DEL PROCEDIMENTO:
Dott. ing. Vincenzo Catone

PROTOCOLLO: DATA:

IL PROGETTISTA:
Ing. Alberto Rinaldi – Società Erre.vi.a. Srl
Ordine Ingegneri Provincia di Milano n. 16951

ORDINE DEGLI INGEGNERI DELLA PROVINCIA DI MILANO – DOTT.ING. FORMICHI RICCARDO – Sez.A Settori: a) civile e ambientale b) industriale c) dell'informazione – n°A 18045

ORDINE DEGLI INGEGNERI DELLA PROVINCIA DI MILANO – DOTT ING ALBERTO RINALDI – Sez. A Settori a) b) c) – n°A 16951

07 - OPERE D'ARTE MINORI
07.02 - OS.02 - MURI SU PALI LATO UMBRIA - ASSE 3

Relazione di calcolo paratia provvisoria

CODICE PROGETTO	NOME FILE	REVISIONE	SCALA
PROGETTO: LO702M / LIV. PROG.: E / N. PROG.: 2101	T00OS02STRRE02A .pdf		
	CODICE ELAB.: T00OS02STRRE02	A	-

REV.	DESCRIZIONE	DATA	REDATTO	VERIFICATO	APPROVATO
D					
C					
B					
A	EMISSIONE	FEBBRAIO 2023	BONASIO	RINALDI	RINALDI

INDICE

1 INTRODUZIONE 1
1.1 DESCRIZIONE SINTETICA DEL PROGETTO 1
2 NORMATIVA DI RIFERIMENTO 2
2.1 NORMATIVA TECNICA DI RIFERIMENTO 2
2.1.1 Materiali 2
2.1.2 Costruzioni in c.a. e acciaio 2
2.1.2.1 Eurocodice 0 – "Criteri generali di progettazione strutturale" 2
2.1.2.2 Eurocodice 1 – "Azioni sulle strutture" 2
2.1.2.3 Eurocodice 2 – "Progettazione delle strutture in calcestruzzo" 2
2.1.2.4 Eurocodice 3 – "Progettazione delle strutture in acciaio" 3
2.1.2.5 Eurocodice 4 - "Progettazione delle strutture composte acciaio-calcestruzzo" 3
2.1.3 Geotecnica 3
2.1.3.1 Eurocodice 7 - "Progettazione geotecnica" 3
2.1.4 Sismica 3
2.1.4.1 Eurocodice 8 – "Progettazione delle strutture per la resistenza sismica" 3
2.2 NORMATIVA TECNICA NAZIONALE 3
2.3 BIBLIOGRAFIA E ALTRI RIFERIMENTI 3
3 MATERIALI STRUTTURALI 5
3.1 CALCESTRUZZO 5
3.2 ACCIAIO 5
3.3 DURABILITA' 7
3.3.1 Conglomerati cementizi 7
4 CARATTERIZZAZIONE GEOTECNICA 9
4.1 PARAMETRI GEOTECNICI 9
4.2 SUPERFICIE PIEZOMETRICA 10
5 CRITERI DI CALCOLO 11
5.1 DESCRIZIONE DEI CRITERI DI CALCOLO 11
5.1.1 Opere provvisionali 11
5.2 CRITERI DI VERIFICA 12
5.2.1 Combinazioni di carico 12
5.2.2 Stati Limite Ultimi 12
5.2.2.1 Strutture geotecniche 13
5.2.3 Stati Limite di Esercizio 14
5.2.4 Stati Limite Ultimi e di Esercizio sismici 14
5.3 SOFTWARE DI CALCOLO 15
5.3.1 Calcolo paratie di sostegno 15

5.3.1.1 Ipotesi generali di calcolo 17
5.3.2 Calcolo stabilità degli scavi 18
5.4 Validazione programmi di calcolo 18
5.4.1 Analisi e verifiche svolte con l'ausilio di codici di calcolo 18
5.4.2 Tipo di analisi svolta 18
5.4.3 Affidabilità dei codici di calcolo 18
5.4.4 Modalità di presentazione dei risultati 18
5.4.5 Informazioni generali sull'elaborazione 18
5.4.6 Giudizio motivato di accettabilità dei risultati 19
6 VERIFICHE DELLE PARATIE 20
6.1 CRITERI DI VERIFICA 20
6.1.1 Combinazioni statiche 20
6.1.2 Combinazioni sismiche 20
6.2 VERIFICA COLLASSO PER ROTAZIONE RIGIDA (SLU EQU, SLV) 20
6.2.1 Risultati verifiche PARATIE 20
6.3 VERIFICHE DEI TIRANTI DI ANCORAGGIO (SLU GEO, SLV, SLU STR, SLE STR) 22
6.3.1 Verifiche allo sfilamento (SLU GEO, SLV) 22
6.3.1.1 Resistenza di progetto con metodi analitici 22
6.3.1.2 Attrito limite 23
6.3.1.3 Verifica stabilità fondazione (lunghezza libera) 26
6.3.2 Verifica resistenza strutturale (SLU STR, SLV) 26
6.3.3 Verifica resistenza strutturale (SLE STR, SLD) 26
6.3.4 Risultati verifiche PARATIE® 27
6.4 VERIFICHE GEOTECNICHE IN ESERCIZIO (SLE GEO, SLD) 27
6.4.1 Stima spostamenti dell'opera e del terreno 27
6.5 VERIFICA DI STABILITA' GLOBALE INSIEME TERRENO-OPERA (SLU GEO) 27
6.5.1 Verifica alla stabilità globale del pendio in STAP® 28
6.6 ELEMENTI IN ACCIAO 30
6.6.1 Stati Limite Ultimi strutturali (SLU STR, SLV) 30
6.6.1.1 Verifica a flessione 30
6.6.1.2 Verifica a taglio 30
6.6.1.3 Verifica a taglio/flessione 31
6.6.2 Risultati verifiche PARATIE® 31
6.7 VERIFICA TRAVI DI RIPARTIZIONE (SLU STR, SLE STR) 31
6.7.1 Risultati verifiche PARATIE® 32
7 ANALISI DEI CARICHI PARATIE 33
7.1 AZIONI PERMANENTI STRUTTURALI (G_1) 33
7.1.1 Peso proprio 33
7.2 AZIONI PERMANENTI NON STRUTTURALI (G_2) 33

7.3 SPINTA DEL TERRENO (G_3) 33
7.3.1 Spinta a riposo *33*
7.3.2 Spinta attiva *34*
7.3.3 Spinta passiva *35*
7.3.3.1 Spinta PARATIE *36*
7.4 AZIONE SISMICA (E) 38
7.4.1 Stati limite di progetto sismici *39*
7.4.2 Spettri di risposta *40*
7.4.3 Amplificazione sismica di progetto *42*
7.4.3.1 Metodo pseudostatico per paratie *42*
7.4.3.2 Azioni inerziali masse *43*
7.4.4 Sovraspinte dinamiche del terreno *44*
7.4.4.1 Spinta attiva *44*
7.4.4.2 Spinta passiva *45*
7.5 AZIONI ACCIDENTALI DA TRAFFICO VEICOLARE (Q_1) 46
7.5.1 Automezzi portata ridotta *46*
7.5.2 Spinte sulle pareti *46*

8 ANALISI PARATIA 47
8.1.1 Stratigrafia di riferimento *48*
8.1.2 Fasi costruttive *48*
8.2 RISULTATI DELLE ANALISI 49
8.3 VERIFICHE DI RESISTENZA 52
8.3.1 Verifiche SLU STR *53*
8.3.1.1 Verifiche a presso/tenso flessione e a taglio *53*
8.3.2 Verifiche SLE *54*
8.3.2.1 Verifiche delle tensioni *54*
8.4 VERIFICA COLLASSO PER ROTAZIONE RIGIDA 54
8.5 VERIFICA DEGLI SPOSTAMENTI 56
8.6 VERIFICHE DEI TIRANTI DI ANCORAGGIO 57
8.6.1 Verifica allo sfilamento (SLU GEO, SLV) *57*
8.6.2 Verifica di resistenza strutturale delle armature (SLU STR, SLV) *58*
8.7 VERIFICA TRAVI DI RIPARTIZIONE 59
8.8 VERIFICHE DEL COMPLESSO OPERA TERRENO (SLU GEO, SLV) 60
8.8.1 Risultati delle analisi – Condizione SLU globale *60*
8.8.1.1 Quadro sintetico coefficienti di sicurezza *61*
8.8.1.2 Caratteristiche della superficie critica *61*
8.8.2 Risultati delle analisi – Condizione SLV globale *62*
8.8.2.1 Quadro sintetico coefficienti di sicurezza *62*
8.8.2.2 Caratteristiche delle superfici critiche *62*

9 ALLEGATI....64
9.1 ALLEGATO 1: RISULTATI DELLE ANALISI DI VERIFICA DELLA PARATIA....65
9.2 ALLEGATO 2: ANALISI DI STABILITÀ – CONDIZIONE SLU GLOBALE....66
9.3 ALLEGATO 3: ANALISI DI STABILITÀ – CONDIZIONE SLV GLOBALE....67

1 INTRODUZIONE

1.1 DESCRIZIONE SINTETICA DEL PROGETTO

Il presente documento ha per oggetto la verifica della paratia provvisionale a sostegno dello scavo per la realizzazione del muro di sostegno previsto nell'ambito del progetto definitivo per l'adeguamento a due corsie del tratto della Galleria della Guinza (Lotto 2°) e del Tratto Guinza – Mercatello Ovest (Lotto 3°) dell'itinerario internazionale E78 S.G.C. Grosseto - Fano.

L'intervento è localizzato tra le Regioni Umbria e Marche, nei Comuni di Parnacciano (PG) e Mercatello sul Metauro (PU). Più dettagliatamente, il 2° Lotto comprende la Galleria della Guinza, mentre il 3° Lotto comprende tutte le opere dall'uscita della Guinza sul lato marchigiano, fino al termine dell'intervento.

Il muro a tergo della paratia provvisionale sorgerà in prossimità della nuova rotatoria che realizza la connessione lato Umbria del tratto già realizzato alla viabilità esistente SP200, denominato muri "Asse 3".

Le lavorazioni in oggetto sono ascrivibili al primo stralcio della messa in esercizio della Galleria Guinza, comprendente la progettazione per l'appalto delle opere non soggette ad ulteriori autorizzazioni, quali il collegamento alla viabilità esistente, ripristino delle opere esistenti, impianti nelle gallerie, sistemazione della piattaforma stradale, alloggiamento delle barriere di sicurezza sui viadotti, ecc..

E' prevista la realizzazione di una berlinese di micropali tirantati di altezza pari a H=15m e una massima altezza fuori terra di 8.50m.I micropali hanno un interasse di 0.40m e un diametro di perforazione Φ240 mm, armati con profili tubolari metallici in acciaio S355 J0 di diametro esterno pari a de=168.3 mm, spessore di s=8mm. Per maggiori dettagli si rimanda agli elaborati progettuali

L'intervento è completato dall'installazione di microdreni suborizzontali, atti a deprimere eventuali sovrappressioni neutre destatesi in corrispondenza dell'opera, e la realizzazione di un sistema di canalette per l'intercettazione delle acque meteoriche, opportunamente raccordate.

2 NORMATIVA DI RIFERIMENTO

2.1 NORMATIVA TECNICA DI RIFERIMENTO

2.1.1 Materiali

[1] UNI EN 206-1 marzo 2006 – "Calcestruzzo - Parte 1: Specificazione, prestazione, produzione e conformità"; UNI EN 197-1 marzo 2006 – "Cemento - Parte 1: Composizione, specificazioni e criteri di conformità per cementi comuni";

[2] UNI EN 197-2 marzo 2001 – "Cemento - Valutazione della conformità";

[3] UNI 11104 marzo 2004 – "Calcestruzzo: specificazione, prestazione, produzione e conformità", Istruzioni complementari per l'applicazione delle EN 206-1";

[4] Consiglio Superiore dei Lavori Pubblici, 07/02/2003 – "Linee guida per il calcestruzzo strutturale, Linee guida per il calcestruzzo strutturale ad alta resistenza, Linee guida per il calcestruzzo preconfezionato";

[5] Consiglio Superiore dei Lavori Pubblici, 05/04/2013 – "Linee guida per la messa in opera del calcestruzzo strutturale e per la valutazione delle caratteristiche meccaniche del calcestruzzo indurito mediante prove non distruttive";

[6] D.M. 16/02/2007 – "Classificazione di resistenza al fuoco di prodotti ed elementi costruttivi di opere da costruzione";

[7] "Regolamento UE n°305/2011 del Parlamento Europeo e del Consiglio del 9 marzo 2011 che fissa condizioni armonizzate per la commercializzazione dei prodotti da costruzione e che abroga la direttiva 89/106/CEE del Consiglio"

2.1.2 Costruzioni in c.a. e acciaio

2.1.2.1 Eurocodice 0 – "Criteri generali di progettazione strutturale"

[8] UNI EN 1990:2006;

2.1.2.2 Eurocodice 1 – "Azioni sulle strutture"

[9] UNI EN 1991-1-1:2004 – "Parte 1-1: Azioni in generale - Pesi per unità di volume, pesi propri e sovraccarichi per gli edifici";

[10] UNI EN 1991-1-2:2004 – "Parte 1-2: Azioni in generale - Azioni sulle strutture esposte al fuoco";

[11] UNI EN 1991-1-3:2004 – "Parte 1-3: Azioni in generale - Carichi da neve";

[12] UNI EN 1991-1-4:2005 – "Parte 1-4: Azioni in generale - Azioni del vento";

[13] UNI EN 1991-1-5:2004 – "Parte 1-5: Azioni in generale - Azioni termiche";

[14] UNI EN 1991-2:2005 – "Parte 2: Carichi da traffico sui ponti";

2.1.2.3 Eurocodice 2 – "Progettazione delle strutture in calcestruzzo"

[15] UNI EN 1992-1-1:2005 – "Parte 1-1: Regole generali e regole per gli edifici";

[16] UNI EN 1992-1-2:2005 – "Parte 1-2: Regole generali - Progettazione strutturale contro l'incendio";

[17] UNI EN 1992-2:2006 – "Parte 2: Ponti di calcestruzzo - Progettazione e dettagli costruttivi";

2.1.2.4 Eurocodice 3 – "Progettazione delle strutture in acciaio"

[18] UNI EN 1993-1-1:2005 – "Parte 1-1: Regole generali e regole per gli edifici";

[19] UNI EN 1993-1-2:2005 – "Parte 1-2: Regole generali - Progettazione strutturale contro l'incendio";

[20] UNI EN 1993-1-5:2007 – "Parte 1-5: Elementi strutturali a lastra";

[21] UNI EN 1993-1-8:2005 – "Parte 1-8: Progettazione dei collegamenti";

[22] UNI EN 1993-1-9:2005 – "Parte 1-9: Fatica";

[23] UNI EN 1993-1-10:2005 – "Parte 1-10: Resilienza del materiale e proprietà attraverso lo spessore";

[24] UNI EN 1993-2:2007 – "Parte 2: Ponti di acciaio";

[25] UNI EN 1993-3-1:2007 – "Parte 3-1: Torri, pali e ciminiere - Torri e pali";

[26] UNI EN 1993-5:2007 – "Parte 5: Pali e palancole"

2.1.2.5 Eurocodice 4 - "Progettazione delle strutture composte acciaio-calcestruzzo"

[27] UNI EN 1994-1-1:2005 – "Parte 1-1: Regole generali e regole per gli edifici";

[28] UNI EN 1994-1-2:2005 – "Parte 1-2: Regole generali - Progettazione strutturale contro l'incendio";

[29] UNI EN 1994-2:2006 – "Parte 2: Regole generali e regole per i ponti";

2.1.3 Geotecnica

2.1.3.1 Eurocodice 7 - "Progettazione geotecnica"

[30] UNI EN 1997-1:2005 – "Parte 1: Regole generali";

2.1.4 Sismica

2.1.4.1 Eurocodice 8 – "Progettazione delle strutture per la resistenza sismica"

[31] UNI EN 1998-1:2005 – "Parte 1: Regole generali, azioni sismiche e regole per gli edifici";

[32] UNI EN 1998-2:2009 – "Parte 2: Ponti";

[33] UNI EN 1998-5:2003 – "Parte 5: Fondazioni, opere di sostegno e geotecniche"

2.2 NORMATIVA TECNICA NAZIONALE

[34] D.M. Min. II. TT. 17/01/2018 – "Aggiornamento delle norme tecniche per le costruzioni";

[35] Circolare LL.PP. n°7 21/01/2019 - "Istruzioni per l'applicazione dell'Aggiornamento delle norme tecniche per le costruzioni di cui al D.M. 17 febbraio 2018";

[36] CNR DT 207/2008 - "Istruzioni per la valutazione delle azioni e degli effetti del vento sulle costruzioni";

[37] D.M. 31/07/2012 – "Approvazione delle Appendici nazionali recanti i parametri tecnici per l'applicazione degli Eurocodici";

[38] D.P.R. n°380 06/06/2001 – "Testo unico delle disposizioni legislative e regolamentari in materia di edilizia";

2.3 BIBLIOGRAFIA E ALTRI RIFERIMENTI

[39] Lancellotta R. [1991] " Geotecnica" – Edizioni Zanichelli.

[40] Migliacci – F. Mola – "Progetto agli stati limite delle strutture in c.a." - Masson Italia Editori 1985

[41] C. Cestelli Guidi - "Geotecnica e tecnica delle fondazioni" - Ulrico Hoepli Editore 1987

[42] R. Lancellotta – "Geotecnica" - Edizioni Zanichelli 1987

[43] Bowles J.E.: “Foundations Analysis and Design” 4th edition - McGraw-Hill – New York, 1988

[44] Bustamante M., Gianeselli L. [1982] - "Pile bearing capacity prediction by means of static penetrometer CPT" -.Pr. of the 2th European symposium on penetration testing, Amsterdam.

3 MATERIALI STRUTTURALI

3.1 CALCESTRUZZO

Classe di resistenza cordoli		**C25/30**		
Coefficiente parziale di sicurezza calcestruzzo	γ_c		1.5	
Resistenza caratteristica a compressione (cilindrica)	f_{ck}	0.83× R_{ck} =	24.90	N/mm²
Resistenza media a compressione	f_{cm}	f_{ck} + 8 =	32.90	N/mm²
Modulo elastico	E_{cm}	22 000 × $(f_{cm}/10)^{0.3}$ =	31 447	N/mm²
Resistenza di calcolo a compressione	f_{cd}	$\alpha_{cc} \times f_{ck}/\gamma_c$ = 0.85* f_{ck}/1.5 =	14.11	N/mm²
Resistenza a trazione media	f_{ctm}	0.30 × $f_{ck}^{2/3}$ =	2.56	N/mm²
Resistenza a trazione caratteristica	f_{ctk}	0.7 × f_{ctm} =	1.79	N/mm²
Resistenza a trazione di calcolo	f_{ctd}	f_{ctk} / γ_c =	1.19	N/mm²
Resistenza a compressione (comb. Rara)	σ_c	0.60 × f_{ck} =	14.94	N/mm²
Resistenza a compressione (comb. Quasi perm.)	σ_c	0.45 × f_{ck} =	11.21	N/mm²

3.2 ACCIAIO

Acciaio per micropali	**S355JR**		
Tensione di snervamento caratteristica (t ≤ 40mm)	f_{yk}	355	N/mm²
Tensione di snervamento caratteristica (40mm ≤ t ≤ 80mm)	f_{yk}	335	N/mm²
Tensione a rottura caratteristica (t ≤ 40mm)	f_{tk}	510	N/mm²
Tensione a rottura caratteristica (40mm ≤ t ≤ 80mm)	f_{tk}	470	N/mm²
Coefficiente parziale sulla resistenza delle sezioni	γ_{M0}	1.05	
Coefficiente parziale sulla resistenza delle sezioni forate	γ_{M2}	1.25	
Tensione di calcolo (t ≤ 40mm)	$f_{yd} = f_{yk} / \gamma_{M0}$	338.10	N/mm²
Tensione di calcolo (40mm ≤ t ≤ 80mm)	$f_{yd} = f_{yk} / \gamma_{M0}$	319.05	N/mm²

Acciaio per cemento armato tipo	**B450C**		
Tensione di snervamento caratteristica	f_{yk}	450	N/mm²
Tensione caratteristica a rottura	f_{tk}	540	N/mm²
Tensione in condizione di esercizio (comb. Rara)	$\sigma_c = 0.80 * f_{yk}$	360.00	N/mm²
Coefficiente parziale di sicurezza relativo all'acciaio	γ_s	1.15	
Resistenza a trazione di calcolo	$f_{yd} = f_{yk} / \gamma_s$	391.30	N/mm²
Tipologia per reazione al fuoco	Laminato a caldo	Classe N	

Acciaio per travi di ripartizione	**S275JR**		
Tensione di snervamento caratteristica (t ≤ 40mm)	f_{yk}	275	N/mm²
Tensione di snervamento caratteristica (40mm ≤ t ≤ 80mm)	f_{yk}	255	N/mm²
Tensione a rottura caratteristica (t ≤ 40mm)	f_{tk}	430	N/mm²
Tensione a rottura caratteristica (40mm ≤ t ≤ 80mm)	f_{tk}	410	N/mm²
Coefficiente parziale sulla resistenza delle sezioni	γ_{M0}	1.05	
Coefficiente parziale sulla resistenza delle sezioni forate	γ_{M2}	1.25	
Tensione di calcolo (t ≤ 40mm)	$f_{yd} = f_{yk} / \gamma_{M0}$	261.90	N/mm²
Tensione di calcolo (40mm ≤ t ≤ 80mm)	$f_{yd} = f_{yk} / \gamma_{M0}$	242.86	N/mm²

Acciaio armonico per tiranti	**Y1670**		
Tensione di snervamento caratteristica	$f_{p(1)k}$	1670	N/mm²
Tensione a rottura caratteristica	f_{ptk}	1860	N/mm²
Coefficiente parziale di sicurezza	γ_s	1.15	
Resistenza di calcolo	$f_{yd} = f_{p(1)k} / \gamma_s$	1452.17	N/mm²
Valore ultimo della deformazione a trazione	ε_{cu} =	10	‰
Tensione massima di trazione (comb. Rara)	$\sigma_s = 0.80 * f_{p(1)k}$	1336.00	N/mm²

3.3 DURABILITA'

3.3.1 Conglomerati cementizi

Le classi di esposizione e le conseguenti limitazioni sulla composizione del calcestruzzo sono state ricavate ai sensi della normativa UNI EN 206: 2016 e UNI 11104: 2016, delle istruzioni contenute nella C.M. n°7 per l'applicazione delle NTC 2018, a cui si rimanda per ulteriori dettagli.

A seconda dell'esposizione ambientale, per opere con V_N = 50 anni la circolare al punto §C4.1.6.1.3 impone il rispetto dei limiti di copriferro riportati nella tabella successiva.

Per classi di resistenza inferiori a C_{min} i valori sono da aumentare di Δc_{min} = +5 mm.

Per produzioni di elementi sottoposte a controllo di qualità che preveda anche la verifica dei copriferri, i valori della tabella possono essere ridotti di Δc_{min} = -5 mm.

A tali valori di tabella vanno aggiunte le tolleranze di posa Δc_{dev}.

Nella norma UNI EN 1992-1-1 sono indicati al §4.4.1.3 i metodi per la valutazione rigorosa dei copriferri in base alla tipologia di armature e altre particolari specifiche di dettaglio previste in progetto.

Nelle tabelle seguenti si indicano i copriferri nominali c_{nom} e i parametri di mix design minimi richiesti dalle normative per ottenere le prestazioni di durabilità minime di progetto.

prospetto 1 Valori limite per la composizione e le proprietà del calcestruzzo

UNI 11104:2016	Classi di esposizione																
	Nessun rischio di corrosione dell'armatura	Corrosione delle armature indotte dalla carbonatazione				Corrosione delle armature indotte da cloruri						Attacchi da cicli di gelo/disgelo				Ambiente aggressivo per attacco chimico		
						Acqua di mare			Cloruri provenienti da altre fonti									
	X0	XC1	XC2	XC3	XC4	XS1	XS2	XS3	XD1	XD2	XD3	XF1	XF2	XF3	XF4	XA1	XA2	XA3
Massimo rapporto a/c	-	0,60		0,55	0,50	0,50	0,45		0,55	0,50	0,45	0,50	0,50		0,45	0,55	0,50	0,45
Minima classe di resistenza	C12/15	C25/30		C30/37	C32/40	C32/40	C35/45		C30/37	C32/40	C35/45	C32/40	C25/30		C30/37	C30/37	C32/40	C35/45
Minimo contenuto in cemento (kg/m³)	-	300		320	340	340	360		320	340	360	320	340		360	320	340	360
Contenuto minimo in aria (%)												b)	4,0 a)					
Altri requisiti						È richiesto l'utilizzo di cementi resistenti all'acqua di mare o secondo UNI 9156							È richiesto l'utilizzo di aggregati conformi alla UNI EN 12620 di adeguata resistenza al gelo/disgelo				In caso di esposizione a terreno e acqua del terreno contenente solfati nei limiti del prospetto 3 della all'acqua di mare adeguata resistenza ai UNI EN 206:2014, è richiesto l'impiego di cementi resistenti ai solfati. c)		

a) Quando il calcestruzzo non contiene aria inglobata, le sue prestazioni devono essere verificate rispetto ad un calcestruzzo aerato per il quale è provata la resistenza al gelo/disgelo, da determinare secondo UNI CEN/TS 12390-9. UNI CEN/TR 15177 e UNI 7087 per la relativa classe di esposizione. Il valore minimo di aria aggiuntiva del 4% può ritenersi adeguato per calcestruzzi ripartiti con
b) Dupper <20mm, per Dupper inferiori limite minimo andrà opportunamente aumentato (ad esempio 5% per Dupper tra 12 mm e 16 mm).
Qualora si ritenga opportuno impiegare calcestruzzo aerato anche in classe di esposizione XF1 si adottano le specifiche di composizione prescritte per le classi XF2 e XF3.
c) Cementi resistenti ai solfati sono definiti dalla UNI EN 197-1 e su base nazionale dalla UNI 9156. La UNI 9156 classifica i cementi resistenti ai solfati in tre classi: moderata, alta e altissima resistenza solfatica. La classe di resistenza solfatica del cemento deve essere prescritta in relazione alla classe di esposizione del calcestruzzo secondo il criterio di corrispondenza della UNI 11417-1.
d) Quando si applica il concetto di valore limite il rapporto massimo a/c e il contenuto minimo di cemento sono calcolati in conformità al punto 5.2.5.

Tabella 3-1:Prospetto requisiti di mix-design (UNI 11104)

Tabella C4.1.IV - *Copriferri minimi in mm*

			barre da c.a. elementi a piastra		barre da c.a. altri elementi		cavi da c.a.p. elementi a piastra		cavi da c.a.p. altri elementi	
C_{min}	C_0	ambiente	$C \geq C_0$	$C_{min} \leq C < C_0$	$C \geq C_0$	$C_{min} \leq C < C_0$	$C \geq C_0$	$C_{min} \leq C < C_0$	$C \geq C_0$	$C_{min} \leq C < C_0$
C25/30	C35/45	ordinario	15	20	20	25	25	30	30	35
C30/37	C40/50	aggressivo	25	30	30	35	35	40	40	45
C35/45	C45/55	molto ag.	35	40	40	45	45	50	50	50

La classe di resistenza minima C_{min} indicata in tabella deve comunque intendersi riferita alla pertinente classe di esposizione di cui alla UNI EN 206:2016 richiamata nella Tabella 4.1.III delle NTC.

Tabella 3-2:Copriferri minimi in mm (VN = 50 anni)

Tab. 4.1.III – *Descrizione delle condizioni ambientali*

Condizioni ambientali	Classe di esposizione
Ordinarie	X0, XC1, XC2, XC3, XF1
Aggressive	XC4, XD1, XS1, XA1, XA2, XF2, XF3
Molto aggressive	XD2, XD3, XS2, XS3, XA3, XF4

Tabella 3-3:Condizioni ambientali e classi di esposizione

NOME: TRAVE DI TESTATA	REQUISITI DURABILITA' CALCESTRUZZI (UNI EN 206, UNI 11104, UNI EN 1992-1-1, NTC2018)	Rev. 00

CLASSE DI ESPOSIZIONE

Corrosione da carbonatazione **XC2** — Ambiente prevalentemente acquoso o saturo d'acqua, raramente secco. Cls a contatto con acqua per lungo tempo. Cls di strutture di contenimento acqua. Cls di molte fondazioni.

- Valori raccomandati per il mix-design (UNI EN 206: 2016)

	XC2	Mix design di progetto: XC2
Rapporto max A/C	0.60	0.6
Classe di resistenza minima	C25/30	C25/30
Contenuto minimo di cemento (kg/m³)	300	300
Contenuto minimo di aria (%)	-	-
Aggregati resistenti al gelo/disgelo (EN 12620)	-	-
Cemento resistente ai solfati	-	-
Cemento resistente all'acqua di mare	-	-

COPRIFERRO NOMINALE

$c_{min} = \max(c_{min,b}\ ;\ c_{min,dur} + \Delta c_{dur,\gamma} - \Delta c_{dur,st} - \Delta c_{dur,add};\ 10\ mm)$ (Formula 4.2 UNI EN 1992-1-1)

$c_{nom} = c_{min} + \Delta c_{dev}$ (Formula 4.1 UNI EN 1992-1-1)

- Margine di scostamento Δc_{dev} (4.4.1.3 Annesso italiano UNI EN 1991-1-1) — Δc_{dev} (mm) 10
- Copriferro minimo per messa in opera su superfici irregolari (4.4.1.3 (4) Annesso italiano UNI EN 1991-1-1) — $c_{nom,min}$ (mm) 40
- Copriferro minimo per aderenza (Prospetto 4.2 UNI EN 1992-1-1) — $c_{min,b}$ (mm) 26

Tipo di acciaio	Ordinario	
Ø (mm)	26	diametro barra Ø (isolata) o equivalente Øn (raggruppate, vedi §8.9)
D_{upper} (mm)	25	dimensione max aggregato

- Copriferro minimo per durabilità (Tabella C4.1.IV NTC 2018) — $c_{min,dur}$ (mm) 25

Ambiente Ordinario

Vita nominale	10	valori tabella	C	C25/30	Classe di resistenza utilizzata
Controllo qualità speciale cls	NO	valori tabella	C_0	C35/45	
Elemento a piastra	NO		C_{min}	C25/30	

NTC 2018 — Condizioni ambientali Ordinarie — Gruppo di esigenza A — Copriferro nominale c_{nom} (mm) 40

4 CARATTERIZZAZIONE GEOTECNICA

Si riporta nel seguito un riepilogo della caratterizzazione geotecnica di riferimento, dedotta dalle indagini geognostiche e descritta nella documentazione geologica e geotecnica di progetto, e la stratigrafia adottata per il calcolo delle opere.

4.1 PARAMETRI GEOTECNICI

Le analisi vengono condotte in condizioni di lungo termine utilizzando i parametri di resistenza al taglio drenati.

Come legame costitutivo viene adottato il criterio di rottura di Mohr-Coulomb in termini di tensioni efficaci.

Dal punto di vista generale il riferimento è costituito dalla caratterizzazione geotecnica contenuta nell'elaborato "Relazione geotecnica".

A partire dai valori dei parametri geotecnici indicati nella "Relazione geotecnica", si sono in definitiva adottati i valori caratteristici dei parametri geotecnici riassunti nella tabella sottostante:

TERRENO	γ kN/m^3	c′ kPa	ϕ' °
Rilevato	19.0	0	35
Detriti	18.0	0	30
Flysch marnoso-arenaceo	21.0	100	35

Tabella 4-1: – Valori caratteristici X_k dei parametri geotecnici.

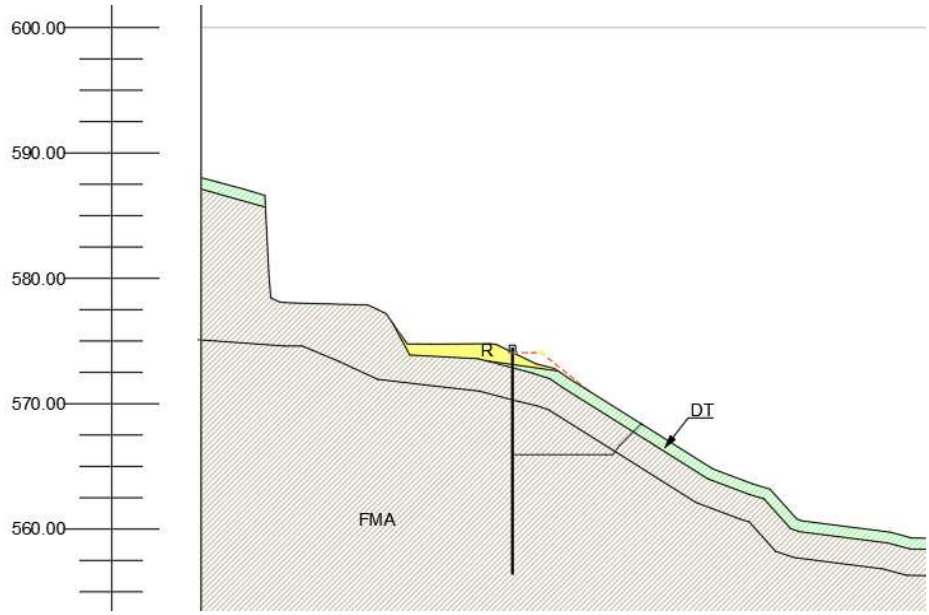

Figura 4-1: Stratigrafia di calcolo

Rispetto alla parametrizzazione numerica indicata nella "Relazione Geotecnica", nelle verifiche si è operata una significativa riduzione del valore assegnato alla coesione efficace c' , assunta pari a 100kPa in luogo dei 200kPa ivi stimati.

Le cautele adottate per c' sono dovute al fatto che, in corrispondenza dei bassi stati tensionali efficaci caratterizzanti il problema geotecnico in esame, la resistenza al taglio è molto influenzata da c', mentre Φ' "pesa" in misura molto più ridotta.

Inoltre, in prossimità di basse tensioni normali agenti sulla superficie di scorrimento c'è da attendersi una curvatura dell'inviluppo di rottura di picco particolarmente marcata, per cui la linearizzazione dell'inviluppo secondo il criterio di snervamento di Mohr-Coulomb potrebbe condurre ad una sovrastima dell'intercetta coesiva c' e della resistenza al taglio del materiale.

Tali condizioni, dunque, obbligano a scelte ragionevolmente cautelative per quanto riguarda c'.

4.2 SUPERFICIE PIEZOMETRICA

Come dettagliato in sede di "Relazione Geotecnica", la superficie piezometrica non interviene nel "volume significativo" di sottosuolo interagente con le opere e, dunque, non viene modellata.

L'annullamento di potenziali spinte idrostatiche a tergo dell'opera, destate da venute d'acqua localizzate e linee di drenaggio preferenziali, è in ogni caso garantita dai dispositivi drenanti predisposti per la dissipazione delle pressioni neutre, quali le canalette progettate in testa alla struttura ed il vespaio drenante predisposto a tergo dell'opera.

5 CRITERI DI CALCOLO

5.1 DESCRIZIONE DEI CRITERI DI CALCOLO

Le opere oggetto della presente relazione sono state progettate e calcolate secondo i metodi della scienza delle costruzioni, adottando per le verifiche il criterio degli stati limite (S.L.). I criteri generali di sicurezza, le azioni di calcolo e le caratteristiche dei materiali sono stati assunti in conformità con il D.M. 17.01.2018 – "Aggiornamento delle norme tecniche per le costruzioni" e relativa circolare esplicativa (Circolare 21.01.2019 n. 7/C.S.LL.PP.).

	TIPI DI COSTRUZIONI	Valori minimi di V_N (anni)
1	Costruzioni temporanee e provvisorie	10
2	Costruzioni con livelli di prestazioni ordinari	50
3	Costruzioni con livelli di prestazioni elevati	100

Tabella 5-1:valori minimi della Vita Nominale V_N di progetto per diversi tipi di costruzione

Non sono da considerarsi temporanee le costruzioni o parti di esse che possono essere smantellate con l'intento di essere riutilizzate. Ai fini della valutazione delle azioni sismiche, per un'opera di nuova realizzazione la cui fase di costruzione sia prevista in sede di progetto di durata pari a P_N, la vita nominale relativa a tale fase di costruzione dovrà essere $V_N = \max(P_N; 5 \text{ anni})$.

Con riferimento alle NTC, per le opere in oggetto si considerano i seguenti parametri di calcolo:

5.1.1 Opere provvisionali

Fase costruzione	$P_N < 2$ anni
Vita nominale	Fase costruzione (calcolo sismico) $V_N = \max(P_N; 5 \text{ anni}) = 5$ anni
	Tipo 1 – Costruzioni temporanee e provvisori $V_N = 10$ anni
Classe d'uso	II
	(§ 2.4.2, "Costruzioni il cui uso preveda normali affollamenti, senza contenuti pericolosi per l'ambiente e senza funzioni pubbliche e sociali essenziali. Industrie con attività non pericolose per l'ambiente. Ponti, opere infrastrutturali, reti viarie non ricadenti in Classe d'uso III o in Classe d'uso IV, reti ferroviarie la cui interruzione non provochi situazioni di emergenza. Dighe il cui collasso non provochi conseguenze rilevanti.")
Coefficiente uso	$C_U = 1.0$
Periodo riferimento	$V_R = V_N \; C_U = 10$ anni -> 35anni

5.2 CRITERI DI VERIFICA

In accordo con quanto definito nel §2.3. delle NTC 2018, devono essere svolte le verifiche di sicurezza e delle prestazioni attese per Stati Limite Ultimi (SLU) e Stati Limite d'Esercizio (SLE) secondo opportune combinazioni di carico delle azioni.

5.2.1 Combinazioni di carico

Come riportato al §2.5.3 delle NTC 2018, si considerano le seguenti combinazioni delle azioni:

$\gamma_{G1}\cdot G_1+\gamma_{G2}\cdot G_2+\gamma_P\cdot P+\gamma_{Q1}\cdot Q_{k1}+\gamma_{Q2}\cdot\Psi_{02}\cdot Q_{k2}+\gamma_{Q3}\cdot\sum_{j=3}^{n}\Psi_{0j}\cdot Q_{kj}$ Combinazione fondamentale SLU

$G_1+G_2+P+Q_{k1}+\Psi_{02}\cdot Q_{k2}+\sum_{j=3}^{n}\Psi_{0j}\cdot Q_{kj}$ Combinazione caratteristica rara SLE

$G_1+G_2+P+\Psi_{11}\cdot Q_{k1}+\sum_{j=2}^{n}\Psi_{2j}\cdot Q_{kj}$ Combinazione frequente SLE

$G_1+G_2+P+\sum_{j=1}^{n}\Psi_{2j}\cdot Q_{kj}$ Combinazione quasi permanente SLE

$E+G_1+G_2+P+\sum_{j=1}^{n}\Psi_{2j}\cdot Q_{kj}$ Combinazione sismica SLE e SLU

$G_1+G_2+P+A_d+\sum_{j=1}^{n}\Psi_{2j}\cdot Q_{kj}$ Combinazione eccezionale SLU

G_1 masse dei pesi propri strutturali

G_2 masse dei carichi permanenti non strutturali

P precompressione e pretensione

Q_{ki} masse dei carichi accidentali

E azione sismica

A_d azione eccezionale

ψ_0, ψ_1, ψ_2 coefficienti di contemporaneità delle azioni (Tab. 2.5.I oppure Tab. 5.1.VI per i ponti stradali e Tab. 5.2.VII per i ponti ferroviari)

5.2.2 Stati Limite Ultimi

Per ogni Stato Limite Ultimo (SLU) deve essere rispettata la condizione:

$R_d \geq E_d$ (Eq. 2.2.1)

$E_d = E(F_d ; X_d ; a_d)$ valore di progetto della domanda, funzione dei valori di progetto delle azioni (F_d) e dei valori nominali delle grandezze geometriche della struttura interessate (a_d)

$R_d = R(F_d ; X_d ; a_d)$ capacità di progetto in termini di resistenza, duttilità e/o spostamento della struttura, funzione delle caratteristiche meccaniche dei materiali che la compongono (X_d) e dei valori nominali delle grandezze geometriche interessate (a_d)

$F_d = \gamma_F * F_k$ azioni di progetto

$X_d = X_k/\gamma_M$ proprietà del materiale di progetto

a_d parametri geometrici di progetto

γ_M coefficiente parziale di sicurezza del materiale

Nelle verifiche agli stati limite ultimi si distinguono:

- stato limite di equilibrio come corpo rigido: **EQU**
- stato limite di resistenza della struttura compresi gli elementi di fondazione: **STR**
- stato limite di resistenza del terreno: **GEO**

5.2.2.1 Strutture geotecniche

Per la progettazione di elementi strutturali che coinvolgano azioni di tipo geotecnico (plinti, platee, pali, muri di sostegno, ...) le verifiche strutturali (SLU STR) e geotecniche (SLU GEO) si eseguono adottando due possibili approcci progettuali, fra loro alternativi.

Approccio 1

Le verifiche si conducono con due diverse combinazioni di gruppi di coefficienti parziali per le azioni (γ_F), la resistenza dei materiali (γ_M) ed eventualmente la resistenza globale del sistema (γ_R).

In tale approccio nelle rispettive tabelle di combinazione si impiegano i coefficienti della colonna A1 per una *Combinazione 1* e i coefficienti della colonna A2 per una *Combinazione 2*.

In tutti i casi, sia nei confronti del dimensionamento strutturale che per quello geotecnico si deve utilizzare la combinazione più gravosa fra le due precedenti.

Approccio 2

Le verifiche si conducono con un'unica combinazione dei gruppi di coefficienti parziali per le Azioni (γ_F), per la resistenza dei materiali (γ_M) ed eventualmente per la resistenza globale (γ_R).

In tale approccio nelle rispettive tabelle di combinazione si impiegano i coefficienti γF riportati nella colonna A1.

Per ogni stato limite per perdita di equilibrio (SLU EQU), come definito al §2.6.1, impiegando come fattori parziali per le azioni i valori γF riportati nella colonna EQU della tabella 6.2.I, deve essere rispettata la condizione:

$E_{inst,d} \leq E_{stb,d}$

$E_{inst,d}$ valore di progetto dell'azione instabilizzante

$E_{stb,d}$ valore di progetto dell'azione stabilizzante

Per ogni stato limite ultimo che preveda il raggiungimento della resistenza di un elemento strutturale (SLU STR) o del terreno (SLU GEO), come definiti al §2.6.1, impiegando diverse combinazioni di gruppi di coefficienti parziali per le azioni (A1 e A2), per i parametri geotecnici (M1 e M2) e per le resistenze (R1, R2 e R3), deve essere rispettata la condizione:

$E_d \leq R_d$

$E_d = E(\gamma_F * F_k ; X_k/\gamma_M ; a_d)$ valore di progetto dell'azione

$E_d = \gamma_E * E(F_k ; X_k/\gamma_M ; a_d)$ valore di progetto dell'effetto dell'azione

$R_d = 1/\gamma_R * R(\gamma_F * F_k ; X_k/\gamma_M; a_d)$ valore di progetto della resistenza del sistema geotecnico

$F_d = \gamma_F * F_k$ azioni di progetto

$X_d = X_k/\gamma_M$ parametri geotecnici di progetto

a_d parametri geometrici di progetto

γ_E coefficiente parziale di sicurezza sugli effetti delle azioni

γ_M coefficiente parziale di sicurezza del materiale

γ_R coefficiente parziale di sicurezza globale sulle resistenze

Tab. 6.2.I – *Coefficienti parziali per le azioni o per l'effetto delle azioni*

	Effetto	Coefficiente Parziale γ_F (o γ_E)	EQU	(A1)	(A2)
Carichi permanenti G1	Favorevole	γ_{G1}	0,9	1,0	1,0
	Sfavorevole		1,1	1,3	1,0
Carichi permanenti G2 [1]	Favorevole	γ_{G2}	0,8	0,8	0,8
	Sfavorevole		1,5	1,5	1,3
Azioni variabili Q	Favorevole	γ_{Qi}	0,0	0,0	0,0
	Sfavorevole		1,5	1,5	1,3

[1] Per i carichi permanenti G2 si applica quanto indicato alla Tabella 2.6.I. Per la spinta delle terre si fa riferimento ai coefficienti γ_{G2}

Tabella 5-2:Coefficienti parziali per le azioni nelle verifiche SLU (NTC 2018) – Strutture geotecniche

Tab. 6.2.II – *Coefficienti parziali per i parametri geotecnici del terreno*

Parametro	Grandezza alla quale applicare il coefficiente parziale	Coefficiente parziale γ_M	(M1)	(M2)
Tangente dell'angolo di resistenza al taglio	$\tan \varphi'_k$	$\gamma_{\varphi'}$	1,0	1,25
Coesione efficace	c'_k	$\gamma_{c'}$	1,0	1,25
Resistenza non drenata	c_{uk}	γ_{cu}	1,0	1,4
Peso dell'unità di volume	γ_γ	γ_γ	1,0	1,0

Tabella 5-3:Coefficienti parziali per le resistenze nelle verifiche SLU (NTC 2018) – Strutture geotecniche

5.2.3 Stati Limite di Esercizio

Per ogni Stato Limite d'Esercizio (SLE) deve essere rispettata la condizione:

$C_d \geq E_d$ (Eq. 2.2.2)

$E_d = E(F_d ; X_d ; a_d)$ valore di progetto dell'effetto delle azioni

$C_d = C(F_d ; X_d ; a_d)$ valore limite di progetto associato a ciascun aspetto di funzionalità esaminato

All'interno del progetto devono essere quindi definite le prescrizioni relative agli spostamenti compatibili per l'opera e le prestazioni attese.

Il prescritto valore limite dell'effetto delle azioni deve essere stabilito in funzione del comportamento della struttura in elevazione e di tutte le costruzioni che interagiscono con le opere geotecniche in progetto, tenendo conto della durata dei carichi applicati.

5.2.4 Stati Limite Ultimi e di Esercizio sismici

Con riferimento al §3.2.1 delle NTC 2018, nei confronti delle azioni sismiche, sia gli Stati limite di esercizio (SLE) che gli Stati limite ultimi (SLU) sono individuati riferendosi alle prestazioni della costruzione nel suo complesso, includendo gli elementi strutturali, quelli non strutturali e gli impianti.

Gli Stati limite di esercizio (SLE) comprendono:

- *Stato Limite di Operatività (SLO):* a seguito del terremoto la costruzione nel suo complesso, includendo gli elementi strutturali, quelli non strutturali e le apparecchiature rilevanti in relazione alla sua funzione, non deve subire danni ed interruzioni d'uso significativi;

- *Stato Limite di Danno (SLD):* a seguito del terremoto la costruzione nel suo complesso, includendo gli elementi strutturali, quelli non strutturali e le apparecchiature rilevanti alla sua funzione, subisce danni tali da non mettere a rischio gli utenti e da non compromettere significativamente la capacità di resistenza e di rigidezza nei confronti delle azioni verticali ed orizzontali, mantenendosi immediatamente utilizzabile pur nell'interruzione d'uso di parte delle apparecchiature.

Gli Stati limite ultimi (SLU) comprendono:

- *Stato Limite di salvaguardia della Vita (SLV)*: a seguito del terremoto la costruzione subisce rotture e crolli dei componenti non strutturali ed impiantistici e significativi danni dei componenti strutturali cui si associa una perdita significativa di rigidezza nei confronti delle azioni orizzontali; la costruzione conserva invece una parte della resistenza e rigidezza per azioni verticali e un margine di sicurezza nei confronti del collasso per azioni sismiche orizzontali;
- *Stato Limite di prevenzione del Collasso (SLC)*: a seguito del terremoto la costruzione subisce gravi rotture e crolli dei componenti non strutturali ed impiantistici e danni molto gravi dei componenti strutturali; la costruzione conserva ancora un margine di sicurezza per azioni verticali ed un esiguo margine di sicurezza nei confronti del collasso per azioni orizzontali.

5.3 SOFTWARE DI CALCOLO

Sono stati utilizzati i programmi di calcolo elencati nel seguito.

La scrivente ha esaminato preliminarmente la documentazione a corredo dei software per valutarne l'affidabilità e soprattutto l'idoneità al caso specifico. Tale documentazione, contiene una esauriente descrizione delle basi teoriche e degli algoritmi impiegati, l'individuazione dei campi d'impiego, nonché casi prova interamente risolti e commentati.

Il sottoscritto, inoltre, ha verificato l'affidabilità dei codici di calcolo attraverso un numero significativo di casi prova in cui i risultati dell'analisi numerica sono stati confrontati con soluzioni teoriche.

5.3.1 Calcolo paratie di sostegno

Titolo:

Caratteristiche:	Programma nonlineare ad elementi finiti per l'analisi di strutture di sostegno flessibili
Autore:	Ce.A.S. s.r.l. – Milano
Distribuzione:	Harpaceas s.r.l. - Milano
Versione:	23.0.2

L'analisi strutturale delle paratie è stata svolta mediante il codice di calcolo PARATIE PLUS® 23.0 distribuito dalla Harpaceas.

PARATIE® è un codice agli elementi finiti che simula il problema di uno scavo sostenuto da diaframmi flessibili e permette di valutare il comportamento della parete di sostegno durante tutte le fasi intermedie e nella configurazione finale. Il problema e visto ad un problema piano in cui viene analizzata una "fetta" di parete di larghezza unitaria e quindi risulta idoneo a studiare problemi in cui vi siano importanti effetti tridimensionali.

La modellazione numerica dell'interazione terreno-struttura e del tipo "trave su suolo elastico", dove le pareti di sostegno vengono rappresentate con elementi finiti trave il cui comportamento e definito dalla rigidezza flessionale EJ, mentre il terreno viene simulato attraverso elementi elastoplastici monodimensionali (molle) connessi ai nodi delle paratie: ad ogni nodo convergono uno o al massimo due elementi terreno.

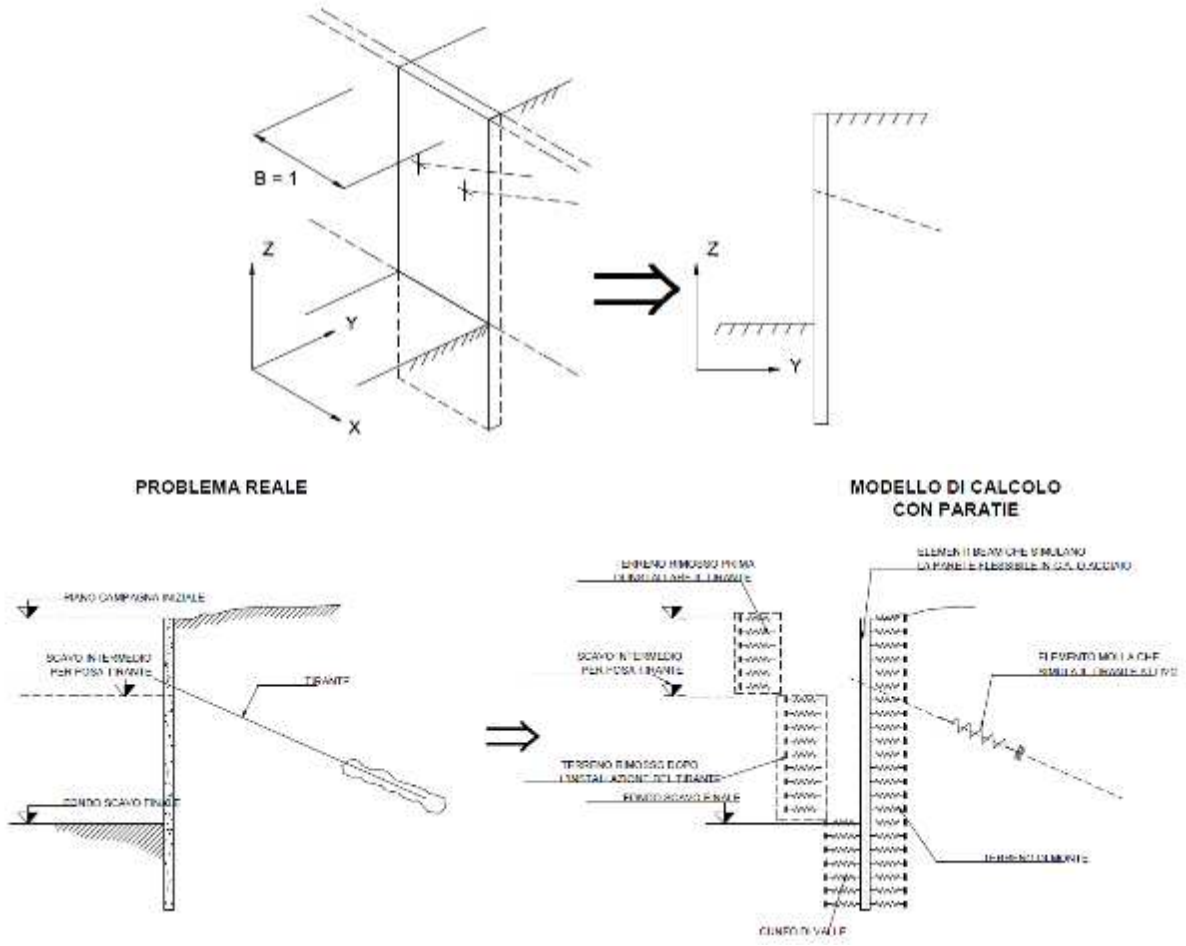

Figura 5-1: Schema teorico del modello di calcolo

Il limite di questo schema sta nell'ammettere che ogni porzione di terreno, schematizzata da una "molla", abbia comportamento del tutto indipendente dalle porzioni adiacenti; l'interazione fra le varie regioni di terreno e affidata alla rigidezza flessionale della parete.

La realizzazione dello scavo sostenuto da una o due paratie, eventualmente tirantate, viene seguita in tutte le varie fasi attraverso un'analisi statica incrementale. Poiché il comportamento degli elementi finiti e di tipo elasto-plastico, ogni configurazione dipende in generale dalle configurazioni precedenti e lo sviluppo di deformazioni plastiche ad un certo passo condiziona la risposta della struttura nei passi successivi. La soluzione ad ogni nuova configurazione (step) viene raggiunta attraverso un calcolo iterativo alla Newton-Raphson (Bathe (1996)).

L'analisi ha lo scopo di indagare la risposta strutturale in termini di deformazioni laterali subite dalla parete durante le varie fasi di scavo e di conseguenza la variazione delle pressioni orizzontali nel terreno. Per far questo, in ogni nodo sono definiti due soli gradi di libertà, lo spostamento orizzontale e la rotazione attorno all'asse X ortogonale al piano della struttura (positiva se antioraria).

Con questa impostazione gli sforzi verticali nel terreno sono indipendenti, ovvero non sono influenzati dal comportamento deformativo orizzontale, ma solo basati sulle classiche ipotesi di distribuzione geostatica.

5.3.1.1 Ipotesi generali di calcolo

Le analisi vengono svolte considerando le seguenti ipotesi:

- Stato piano nelle deformazioni (paratia di lunghezza infinita);
- Terreno modellato come un letto di molle con legame costitutivo elastico-perfettamente plastico con criterio di rottura di Mohr-Coulomb;
- Struttura discretizzata in elementi perfettamente elastici, nel caso di elementi discreti (pali), rigidezza flessionale pari a quella di una sezione rettangolare a inerzia equivalente;
- Falda introdotta definendo le quote piezometriche di valle e di monte (modificabili nell'analisi);
- Deformabilità del terreno con molle di rigidezza secondo il seguente modello (Becci & Nova, 1987):

$$K = E \cdot \frac{\Delta}{L}$$

E	Modulo di rigidezza del terreno (E_{VC}, E_{UR} a seconda della storia tensionale)
Δ	Passo di discretizzazione della struttura
$L_M = \frac{2}{3} \cdot \min(H; 2 \cdot D) \cdot \tan\left(45 - \frac{\varphi}{2}\right)$	Grandezza geometrica caratteristica zona attiva di monte
$L_V = \frac{2}{3} \cdot \min(H - D; D) \cdot \tan\left(45 + \frac{\varphi}{2}\right)$	Grandezza geometrica caratteristica zona attiva di valle

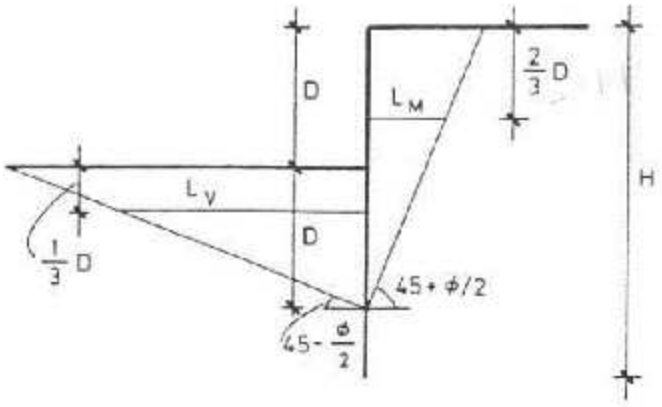

- Sovraccarichi a monte ed a valle della paratia trasformati in spinte sul paramento in accordo a quanto previsto dalla teoria elastica (semispazio elastico omogeneo).

5.3.2 Calcolo stabilità degli scavi

Titolo:

Caratteristiche:	Programma per l'analisi di stabilità di pendii di terreno e rocce
Autore:	Aztec Informatica – Casole Bruzio, Cosenza
Distribuzione:	Aztec Informatica S.r.l.
Versione:	12.10a

5.4 Validazione programmi di calcolo

5.4.1 Analisi e verifiche svolte con l'ausilio di codici di calcolo

Ai sensi del §10.2 delle NTC2018 si dichiara quanto segue.

5.4.2 Tipo di analisi svolta

L'analisi strutturale e le verifiche sono condotte con l'ausilio di più codici di calcolo automatico. La verifica della sicurezza degli elementi strutturali è stata valutata con i metodi della scienza delle costruzioni. Per quanto riguarda i criteri di modellazione e le caratteristiche dei programmi utilizzati si rimanda ai relativi paragrafi.

5.4.3 Affidabilità dei codici di calcolo

Un attento esame preliminare della documentazione a corredo dei software ha consentito di valutarne l'affidabilità. La documentazione fornita dai produttori dei software contiene un'esauriente descrizione delle basi teoriche, degli algoritmi impiegati e l'individuazione dei campi d'impiego. L'affidabilità e la robustezza dei codici di calcolo sono garantite attraverso un numero significativo di casi prova in cui i risultati dell'analisi numerica sono stati confrontati con soluzioni teoriche.

5.4.4 Modalità di presentazione dei risultati

La relazione di calcolo strutturale presenta i dati di calcolo tale da garantirne la leggibilità, la corretta interpretazione e la riproducibilità. La relazione di calcolo illustra in modo esaustivo i dati in ingresso ed i risultati delle analisi in forma tabellare.

5.4.5 Informazioni generali sull'elaborazione

I software prevedono una serie di controlli automatici che consentono l'individuazione di errori di modellazione, di non rispetto di limitazioni geometriche e di armatura e di presenza di elementi non verificati. Il codice di

calcolo consente di visualizzare e controllare, sia in forma grafica che tabellare, i dati del modello strutturale, in modo da avere una visione consapevole del comportamento corretto del modello strutturale.

5.4.6 Giudizio motivato di accettabilità dei risultati

I risultati delle elaborazioni sono stati sottoposti a controlli dal sottoscritto utente del software. Tale valutazione ha compreso il confronto con i risultati di semplici calcoli, eseguiti con metodi tradizionali. Inoltre, sulla base di considerazioni riguardanti gli stati tensionali e deformativi determinati, si è valutata la validità delle scelte operate in sede di schematizzazione e di modellazione della struttura e delle azioni.

6 VERIFICHE DELLE PARATIE

6.1 CRITERI DI VERIFICA

6.1.1 Combinazioni statiche

Per le paratie si devono considerare almeno i seguenti stati limite ultimi, secondo Approccio 1, combinazione 1 (A1+M1+R1) e combinazione 2 (A2+M2+R1), coefficienti γ_R (R1) pari all'unità:

SLU di tipo geotecnico

- collasso per rotazione intorno a un punto dell'opera (atto di moto rigido) (SLU EQU)
- collasso per carico limite verticale (SLU GEO)

SLU di tipo strutturale

- raggiungimento della resistenza strutturale della paratia (SLU STR)

Inoltre, deve essere eseguita la verifica di stabilità globale del complesso opera di sostegno-terreno secondo Approccio 1, combinazione (A2+M2+R2) e coefficienti di Tab. 6.8.I, come per le opere di materiali sciolti e fronti di scavo:

SLU di tipo geotecnico

- stabilità globale del complesso opera di sostegno-terreno (SLU GEO)

6.1.2 Combinazioni sismiche

Si ripetono le stesse tipologie di verifiche di sicurezza statiche, in combinazione allo stato limite ultimo SLV e con coefficienti parziali sulle azioni (A) e sui parametri geotecnici (M) (§ 7.11.1) pari all'unità e con coefficienti parziali γ_R sulle resistenze di progetto (R) pari all'unità.

Nello stesso modo deve inoltre essere eseguita la verifica di stabilità globale del complesso muro-terreno, in accordo al §7.11.3.5 e §7.11.4, ponendo i coefficienti parziali sulle azioni (A) e sui parametri geotecnici (M) (§7.11.1) pari all'unità e un coefficiente parziale γ_R = 1.2 sulle resistenze di progetto (R).

In aggiunta devono essere condotte verifiche per lo stato limite di esercizio SLD, dove in particolare gli spostamenti permanenti indotti dal sisma devono essere compatibili con la funzionalità dell'opera e con quella di eventuali strutture o infrastrutture interagenti con essa.

6.2 VERIFICA COLLASSO PER ROTAZIONE RIGIDA (SLU EQU, SLV)

La verifica al collasso per rotazione rigida al piede viene implicitamente svolta nella combinazione statica Approccio 1, combinazione 2 (A2+M2+R) e sismica SLV (A+M+R).

6.2.1 Risultati verifiche PARATIE

Nell'analisi di interazione terreno struttura implementata all'interno di PARATIE®, per la successione delle fasi di scavo, si verificano le condizioni di equilibrio del sistema per le quali la resistenza passiva R_p al piede della paratia è tale per cui:

$$\frac{R_{p,mob,k}}{\gamma_R} < R_{p,disp,k}$$

$R_{p,mob,k}$	Resistenza passiva mobilitata caratteristica nella fase di scavo
$R_{p,mob,k}$	Resistenza passiva disponibile caratteristica nella fase di scavo
γ_R	Coefficiente sicurezza resistenza passiva (tab. 6.5.I NTC18)

Le verifiche vengono eseguite automaticamente in PARATIE® e riportate negli allegati di calcolo, a cui si rimanda per ulteriori dettagli, espresse con il seguente parametro di % mobilitazione della spinta passiva:

$$\frac{Spinta\ reale\ efficace}{Spinta\ passiva} = \frac{\frac{R_{p,mob,k}}{\gamma_R}}{R_{p,disp,k}} < 1.00$$

6.3 VERIFICHE DEI TIRANTI DI ANCORAGGIO (SLU GEO, SLV, SLU STR, SLE STR)

6.3.1 Verifiche allo sfilamento (SLU GEO, SLV)

Con riferimento con quanto prescritto al §6.6 delle NTC 2018 e nelle Raccomandazioni AICAP 2012, la verifica a sfilamento della fondazione dell'ancoraggio si esegue secondo l'approccio A1-M1-R3 confrontando la massima azione di progetto E_d, considerando tutti gli stati limite, con la resistenza di progetto R_{ad}, determinata applicando alla resistenza caratteristica R_{ak} i fattori parziali γ_R:

$E_d < R_{ad}$

$E_d = N_{max}$ tiro massimo di progetto ancoraggio allo SLU

N_{max} tiro massimo di calcolo statico e sismico derivato dall'analisi SLU A1-M1

$R_{ad} = R_{ak}/\gamma_R$ resistenza di progetto ancoraggio

$R_{ak} = \pi * D' * \tau_{LIM} * L_B$ resistenza caratteristica di calcolo ancoraggio

$\gamma_R = 1.20$ coefficiente di sicurezza sulla resistenza (tiranti definitivi)

D' diametro nominale di perforazione

τ_{LIM} attrito unitario limite unitario bulbo fondazione

L_B lunghezza del bulbo di fondazione

Tab. 6.6.I - *Coefficienti parziali per la resistenza degli ancoraggi*

	Simbolo	Coefficiente parziale
Temporanei	γ_R	1,1
Permanenti	γ_R	1,2

Tabella 6-1:Coefficienti parziali per la resistenza di ancoraggi

6.3.1.1 Resistenza di progetto con metodi analitici

R_{ak} può essere valutata con metodi di calcolo analitici, dai valori caratteristici dei parametro geotecnici dedotti dai risultati di prove in sito o in laboratorio: è il minore dei valori derivanti dall'applicazione dei fattori di correlazione al valor medio e al valor minimo di $R_{a,c}$ ottenute dal calcolo:

$$R_{ak} = \mathrm{Min}\{(R_{ac})_{medio}; (R_{ac})_{min}\}$$

$$(R_{ac})_{medio} = \frac{(R_{ac})_{medio}}{\xi_{a3}}$$ resistenza di calcolo dedotta dai valori medi del terreno

$$(R_{ac})_{min} = \frac{(R_{ac})_{min}}{\xi_{a4}}$$ resistenza di calcolo dedotta dai valori minime del terreno

Tab. 6.6.III - *Fattori di correlazione per derivare la resistenza caratteristica dalle prove geotecniche, in funzione del numero n di profili di indagine*

Numero di profili di indagine	1	2	3	4	≥ 5
ξ_{a3}	1,80	1,75	1,70	1,65	1,60
ξ_{a4}	1,80	1,70	1,65	1,60	1,55

Tabella 6-2:Fattori di correlazione in funzione del numero di profili di indagine

Nella valutazione analitica della resistenza allo sfilamento degli ancoraggi non si applicano coefficienti parziali di sicurezza sui valori caratteristici della resistenza del terreno; si fa quindi riferimento ai coefficienti parziali di sicurezza M1.

6.3.1.2 Attrito limite

Il valore dell'attrito unitario limite τ_{LIM} per bulbi di fondazione iniettati in pressione è condizionato dalla natura e grado di addensamento/compattezza dei terreni di fondazione, nonché, in misura assai rilevante, dalle modalità esecutive delle fondazioni stesse.

Secondo le raccomandazioni AICAP 2012 sui tiranti di ancoraggio e il metodo di Bustamante e Doix, nelle figure seguenti sono riportati i valori di riferimento per iniezioni ad alta pressione (IRS) e iniezioni a bassa pressione (IGU).

In entrambi i casi, nella valutazione della portata laterale limite si può tenere conto dell'effetto di allargamento del foro di perforazione mediante un diametro D' di calcolo, maggiorato rispetto a quello nominale di perforazione D' valutato mediante l'espressione seguente:

$D' = \alpha * D$

D diametro nominale di perforazione

α coefficiente empirico (vedi tabella seguente)

Terreno	Valori di α		Quantità minima di miscela consigliata
	IRS	IGU	
Ghiaia	1,8	1,3 - 1,4	1,5 V_S
Ghiaia sabbiosa	1,6 - 1,8	1,2 - 1,4	1,5 V_S
Sabbia ghiaiosa	1,5 - 1,6	1,2 - 1,3	1,5 V_S
Sabbia grossa	1,4 - 1,5	1,1 - 1,2	1,5 V_S
Sabbia media	1,4 - 1,5	1,1 - 1,2	1,5 V_S
Sabbia fine	1,4 - 1,5	1,1 - 1,2	1,5 V_S
Sabbia limosa	1,4 - 1,5	1,1 - 1,2	IRS: (1,5 - 2)V_S; IGU: 1,5 V_S
Limo	1,4 - 1,6	1,1 - 1,2	IRS: 2V_S; IGU: 1,5V_S
Argilla	1,8 - 2,0	1,2	IRS: (2,5 - 3)V_S; IGU: (1,5-2)V_S
Marne	1,8	1,1 - 1,2	(1,5 - 2)V_S per strati compatti
Calcari marnosi	1,8	1,1 - 1,2	(2 - 6)V_S o più per strati fratturati
Calcari alterati o fratturati	1,8	1,1 - 1,2	
Roccia alterata e/o fratturata	1,2	1,1	(1,1-1,5)V_S per strati poco fratturati 2V_S o più per strati fratturati

Tabella 6-3:Coefficiente α in relazione alla tipologia di terreno e quantità di miscela iniettata

Tab. 6.5 - Scelta dei valori di q_s in funzione del terreno e della tecnica esecutiva

Terreno	Tipo di iniezione		Figura corrispondente
	IRS ($p_i \geq p_l$)	IGU ($p_i < p_l$)	
Ghiaia Ghiaia sabbiosa Sabbia ghiaiosa Sabbia grossa Sabbia media Sabbia fine Sabbia limosa	SG.1	SG.2	Fig. 6.6
Limo Argilla	AL.1	AL.2	Fig. 6.7
Marna Calcari marnosi Calcari alterati o fratturati	MC.1	MC.2	Fig. 6.8
Roccia alterata e/o fratturata	≥ R.1	≥ R.2	Fig. 6.9

IRS: *iniezione ad alta pressione a più stadi e ripetuta*
IGU: *iniezione a bassa pressione in unica soluzione*
p_l: *pressione limite dalla prova pressiometrica Menard*
p_i: *pressione di iniezione*

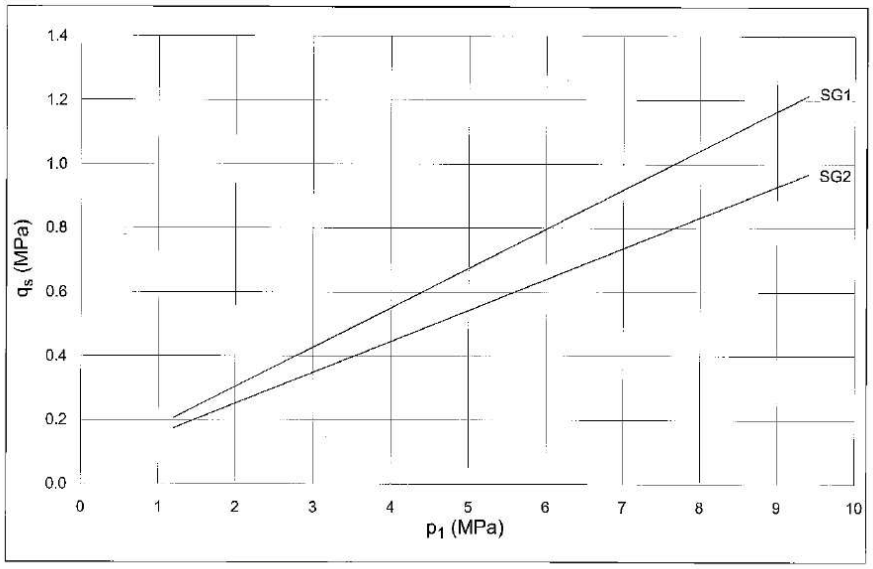

Fig. 6.9 - Resistenza unitaria limite per rocce tenere e fratturate

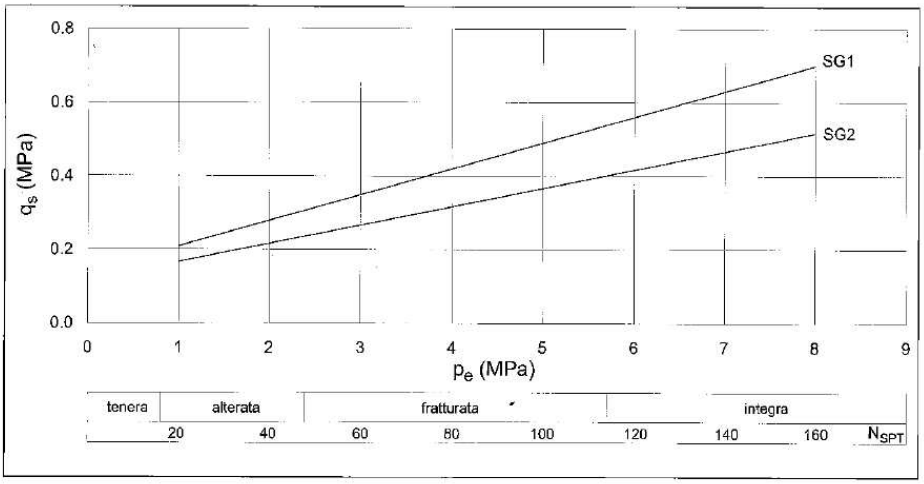

Fig. 6.8 - Resistenza unitaria limite per le marne ed i calcari

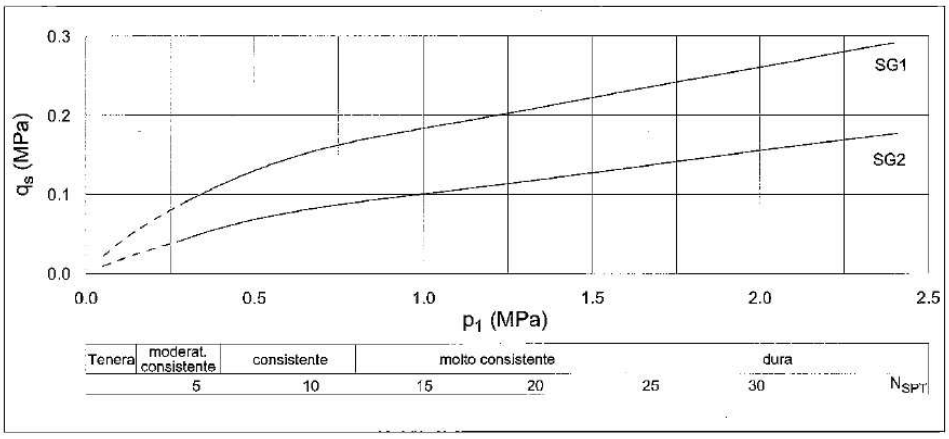

Fig. 6.7 - Resistenza unitaria limite per terreni a grana fine

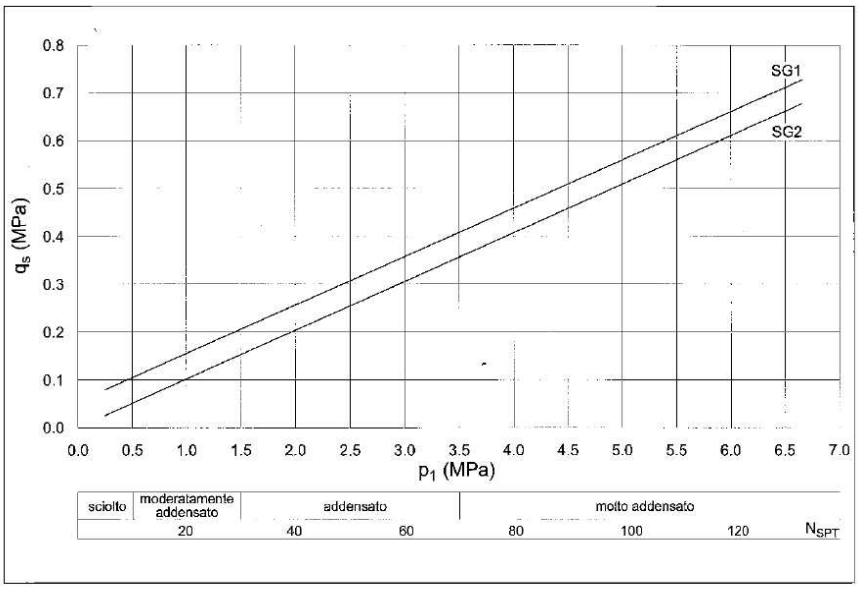

Fig. 6.6 - Resistenza unitaria limite per terreni incoerenti

Tabella 6-4:Tabelle di correlazione AICAP 2012 in funzione di NSPT (sabbie, ghiaie) o letture pressiometriche (rocce)

6.3.1.3 Verifica stabilità fondazione (lunghezza libera)

Per far sì che il bulbo di fondazione sia ubicato in una porzione di terreno stabile non soggetto a movimenti, la lunghezza libera del tirante deve essere tale da superare la superficie di scivolamento del terreno. In condizioni di spinta attiva questa superficie, definita convenzionalmente dall'intersezione con un piano inclinato di 45-φ/2 sulla verticale, parallelo al piano passante per il piede della paratia e da esso distante 0.20*H1, determina la seguente lunghezza libera critica statica $L_{L,s}$:

$L_{L,s} = 0.20*H1 / \cos(45-\alpha-\varphi/2) + (H1+H2-HT)*\sin(45-\varphi/2) / \sin(45+\alpha+\varphi/2)$ lunghezza libera critica statica

α	inclinazione orizzontale tirante
φ	angolo d'attrito medio dei terreni (definisce la geometria del cuneo si spinta)
H1	altezza fuori scavo paratia
H2	altezza entro scavo paratia (infissione)
HT	profondità tirante da testa paratia

Secondo il §7.11.6.4 delle NTC 2018, in condizioni sismiche la lunghezza libera critica $L_{L,e}$ dei tiranti deve essere:

$L_{L,e} > L_{L,s}*(1+1.5*a_{max}/g)$ lunghezza libera critica sismica

a_{max}	accelerazione sismica di progetto per lo stato limite considerato

Pertanto il bulbo di fondazione è immorsato in terreno stabile se la L_L del tirante è la seguente:

$L_L > L_{L,e} > L_{L,s}$

6.3.2 Verifica resistenza strutturale (SLU STR, SLV)

Con riferimento al criterio della gerarchia delle resistenze prescritto al §7.11.6.4.1 delle NTC 2018, nelle Raccomandazioni AICAP 2012 si ha la verifica della seguente condizione:

$R_{ak}*\gamma_{Rd} < R_{td}$

R_{ak}	resistenza a sfilamento massima ancoraggio
$\gamma_{Rd} = 1.00$	coefficiente sovraresistenza ancoraggio
R_{td}	resistenza di progetto armatura ancoraggio

Tirante a trefoli Y1670/1860

$R_{td} = n*A_{tref}*f_{p(1)k}/\gamma_s$	resistenza a snervamento di progetto armatura attiva
$f_{p(1)k} = 1670$ MPa	tensione a snervamento caratteristica al 1% di deformazione totale
n	numero dei trefoli
$A_{tref} = 139$ mm^2	area sezione resistente del singolo trefolo
$\gamma_s = 1.15$	coefficiente sicurezza armatura ancoraggio

6.3.3 Verifica resistenza strutturale (SLE STR, SLD)

Con riferimento al §4.1.8.1.5 delle NTC 2018, per gli acciai da precompressione Y1670/1860 deve essere verificato la condizione iniziale di tesatura:

$\sigma_{spi} < \min(0.85*f_{p(1)k}\ ;\ 0.75*f_{ptk})+\Delta\sigma_{spi} = 1478.5$ MPa

σ_{spi}	tensione iniziale di tesatura armatura
$f_{p(1)k}$ = 1670 MPa	tensione a snervamento caratteristica al 1% di deformazione totale
f_{ptk} = 1860 MPa	tensione di rottura caratteristica
$\Delta\sigma_{spi} = 0.05*f_{p(1)k}$	eventuale sovratensione di tesatura ammissibile

6.3.4 Risultati verifiche PARATIE®

Per gli ancoraggi dell'opera in esame, considerando di avere a disposizione un unico profilo di indagine (quindi $R_{ac,medio} = R_{ac,min}$), i coefficienti ξ_{a3} e ξ_{a4} sono entrambi pari a ξ_a=1.80.

Considerando i terreni attraversati, iniezione valvolata del bulbo di fondazione, al lordo della sbulbatura α del diametro di perforazione iniziale D, si considera, come riportato nella relazione geotecnica, un valore complessivo di aderenza su tutti gli ancoraggi pari a $\alpha\tau_{lim}$ = 1.10*500 = 550 kPa.

Le verifiche specifiche degli ancoraggi vengono eseguite automaticamente in PARATIE® e riportate negli allegati di calcolo, a cui si rimanda per ulteriori dettagli, espresse con i seguenti parametri:

Nome tirante		
Stage		
Sollecitazione	N_{Ed}	Azione sollecitante di calcolo sull'ancoraggio
Resistenza GEO	$R_{ad} = \frac{R_{ak}}{\xi_a \cdot \gamma_R}$	Resistenza di progetto dell'ancoraggio
Resistenza STR	R_{td}	Resistenza di calcolo a trazione dell'armatura attiva
Ratio GEO	N_{Ed}/R_{ad}	Tasso sfruttamento della resistenza GEO ancoraggio
Ratio STR	N_{Ed}/R_{td}	Tasso sfruttamento della resistenza dell'armatura attiva
Resistenza		Controllo del superamento delle verifiche di resistenza
Gerarchia Resistenze	$R_{td} > R_{ad}$	Controllo della verifica della gerarchia delle resistenze

6.4 VERIFICHE GEOTECNICHE IN ESERCIZIO (SLE GEO, SLD)

6.4.1 Stima spostamenti dell'opera e del terreno

Alla luce delle NTC 2018, occorre verificare che agli stati limite di esercizio SLE gli spostamenti e le rotazioni massime della fondazione siano compatibili con i requisiti prestazionali delle strutture in elevazione.

Le verifiche verranno condotte con riferimento ai parametri caratteristici ed i coefficienti parziali sulle azioni (A) e sui parametri di resistenza (R) sempre unitari.

La stima degli spostamenti orizzontali della paratia viene condotta tramite PARATIE® per ogni fase di scavo.

Per valutare la compatibilità degli spostamenti dell'opera di sostegno ed il terreno circostante si verifica che la deformabilità della paratia sia contenuta entro limiti accettabili dallo stato dei luoghi.

6.5 VERIFICA DI STABILITA' GLOBALE INSIEME TERRENO-OPERA (SLU GEO)

Si fa ricorso ad un modello semplificato basato sulla nota teoria dell'equilibrio limite nell'ambito della quale i terreni sono stati caratterizzati mediante un legame costitutivo rigido-plastico con criterio di rottura di Mohr-Coulomb (analisi in termini di sforzi efficaci).

Tale approccio consente di definire un fattore di sicurezza di stabilità globale η, convenzionalmente valutato come rapporto tra le forze di taglio τ_f potenzialmente mobilitabili lungo la superficie di rottura analizzata e le forze di taglio τ effettivamente mobilitate sotto l'azione delle forze agenti sull'ammasso (pesi propri, carichi esterni, ecc.):

$\eta = \tau_f / \tau$

La resistenza al taglio agente lungo la superficie di scivolamento necessaria all'equilibrio è calcolata attraverso l'equazione della statica. Il coefficiente di sicurezza è inteso come il fattore per il quale possono essere divisi i parametri di resistenza meccanica del materiale per portare il pendio alle condizioni di equilibrio limite, implicitamente assunto costante lungo tutta la superficie di scivolamento.

Come prescritto dalla normativa la verifica viene effettuata secondo l'Approccio 1, combinazione 2 (A2+M2+R2).

6.5.1 Verifica alla stabilità globale del pendio in STAP®

Il pendio è stato analizzato con il software STAP12.0 FULL di Aztec informatica, con il quale viene usata la tecnica della suddivisione a strisce della superficie di scorrimento da analizzare.

In particolare, il programma esamina un numero di superfici che dipende dalle impostazioni fornite e che sono riportate nella corrispondente sezione. Il processo iterativo permette di determinare il coefficiente di sicurezza di tutte le superfici analizzate.

Nella descrizione dei metodi di calcolo si adotterà la seguente simbologia:

l	lunghezza della base della striscia
α	angolo della base della striscia rispetto all'orizzontale
b	larghezza della striscia b=l x cos(α)
ϕ	angolo di attrito lungo la base della striscia
c	coesione lungo la base della striscia
γ	peso di volume del terreno
u	pressione neutra
W	peso della striscia
N	sforzo normale alla base della striscia
T	sforzo di taglio alla base della striscia
$\mathbf{E_s}$, $\mathbf{E_d}$	forze normali di interstriscia a sinistra e a destra
$\mathbf{X_s}$, $\mathbf{X_d}$	forze tangenziali di interstriscia a sinistra e a destra
$\mathbf{E_a}$, $\mathbf{E_b}$	forze normali di interstriscia alla base ed alla sommità del pendio
$\Delta\mathbf{X}$	variazione delle forze tangenziali sulla striscia $\Delta\mathbf{X} = \mathbf{X_d} - \mathbf{X_s}$
$\Delta\mathbf{E}$	variazione delle forze normali sulla striscia $\Delta\mathbf{E} = \mathbf{E_d} - \mathbf{E_s}$

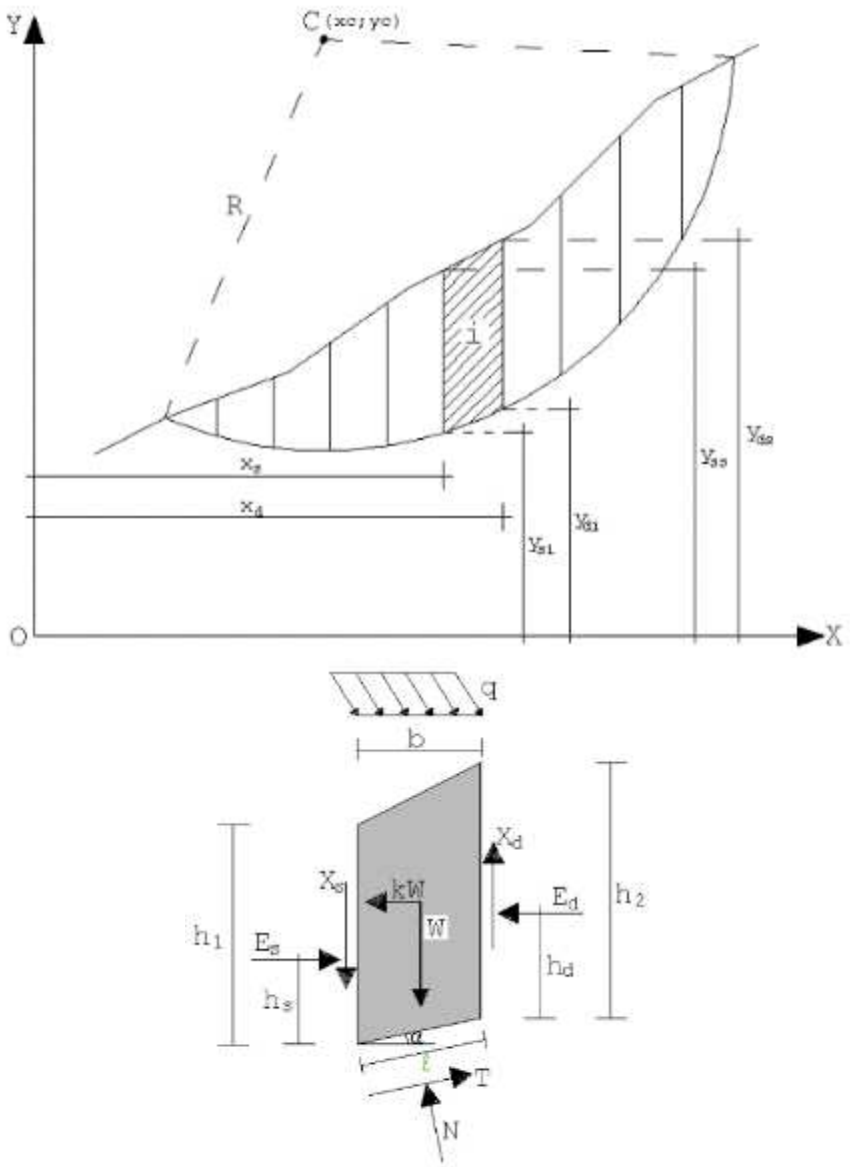

Figura 6-1: Schema generico di risoluzione dei volumi di terreno delimitati dalle superfici di scorrimento

Si adotta per la verifica di stabilità globale il metodo di Bishop. Il coefficiente di sicurezza a stabilità globale nel metodo di Bishop si esprime secondo la seguente formula:

$$\eta = \frac{\sum_i \left(c_i \cdot b_i + \left(W_i - u_i \cdot b_i\right) \cdot tg\phi_i\right)}{\sum_i W_i \cdot \sin\alpha_i}$$

$$m = \left(1 + \frac{tg\phi_i \cdot tg\alpha_i}{\eta}\right) \cdot \cos\alpha_i$$

n numero delle strisce considerate

b_i larghezza della base della striscia i_{esima} rispetto all'orizzontale

α_i inclinazione della base della striscia i_{esima} rispetto all'orizzontale

W_i peso della striscia i_{esima}

c_i coesione efficace del terreno lungo la base della striscia i_{esima}

ϕ_i angolo di attrito del terreno lungo la base della striscia i_{esima}

u_i pressione neutra lungo la base della striscia i_{esima}

L'espressione del coefficiente di sicurezza di Bishop contiene al secondo membro il termine m che è funzione di η. Quindi essa viene risolta per successive approssimazioni assumendo un valore iniziale per η da inserire nell'espressione di m ed iterare fin quando il valore calcolato coincide con il valore assunto.

La verifica alla stabilità globale del complesso opera+terreno è superata se:

$\eta \leq \gamma_R$

$\gamma_R = 1.10$ SLU GEO coefficiente di sicurezza a stabilità globale

$= 1.20$ SLV

6.6 ELEMENTI IN ACCIAO

Nelle verifiche strutturali della berlinese si considera reagente la sola armatura tubolare del micropalo.

Per i riferimenti teorici di calcolo vedi capitolo specifico dove si trattano le ipotesi relative alle principali verifiche strutturali degli elementi in acciaio.

6.6.1 Stati Limite Ultimi strutturali (SLU STR, SLV)

I criteri per la verifica della resistenza delle sezioni sono riportati nelle NTC 2018 al §4.2, §4.3 e relative istruzioni, l'Eurocodice EN 1993-1-1, EN1993-1-5, EN 1993-2, nelle modalità esposte nel seguito.

6.6.1.1 Verifica a flessione

$M_{Ed} \leq M_{c,Rd}$

M_{Ed}		Momento flettente sollecitante
$M_{c,Rd} =$	$M_{pl,Rd} = W_{pl} \cdot f_{yd}$	Momento resistente sezione classe 1 e 2
	$M_{el,Rd} = W_{el} \cdot f_{yd}$	Momento resistente sezione classe 3
	$W_{eff} \cdot f_{yd}$	Momento resistente sezione classe 4
W_{pl}		Modulo resistente plastico sezione
W_{el}		Modulo resistente elastico sezione
W_{eff}		Modulo resistente efficacie sezione
$f_{yd} = f_{yk}/\gamma_{M0}$		Resistenza di progetto acciaio
f_{yk}		Resistenza caratteristica acciaio
γ_{M0}		Coefficiente di sicurezza resistenza acciaio

6.6.1.2 Verifica a taglio

$V_{Ed} \leq V_{c,Rd}$

V_{Ed} Taglio sollecitante

$V_{c,Rd} = \frac{A_v \cdot f_{yd}}{\sqrt{3} \cdot \gamma_{M0}}$ Taglio resistente sezione

A_v Area resistente di taglio

6.6.1.3 Verifica a taglio/flessione

Se il taglio di calcolo V_{Ed} associato al momento flettente di calcolo M_{Ed} è inferiore a metà della resistenza di calcolo a taglio $V_{Ed} \leq 0.5 * V_{c,Rd}$ si può trascurare l'influenza del taglio sulla resistenza a flessione.

Se invece non si verifica questa condizione si ha:

$f'_{yd} = f_{yd} \cdot (1 - \rho)$ Resistenza di progetto ridotta acciaio

$\rho = \left(2 \cdot \frac{V_{Ed}}{V_{c,Rd}} - 1\right)^2$

6.6.2 Risultati verifiche PARATIE®

Le verifiche strutturali vengono eseguite automaticamente in PARATIE® e riportate negli allegati di calcolo, a cui si rimanda per ulteriori dettagli, espressi con specifici diagrammi di confronto tra sollecitazioni di calcolo e resistenze oppure mediante i seguenti tassi di sfruttamento:

$TSM = M_{Ed}/M_{c,Rd} < 1.00$ Tasso di sfruttamento SLU/SLV a momento

$TSV = V_{Ed}/V_{c,Rd} < 1.00$ Tasso di sfruttamento SLU/SLV a taglio

6.7 VERIFICA TRAVI DI RIPARTIZIONE (SLU STR, SLE STR)

Il comportamento globale della trave è schematizzabile come quello di una trave pluri-appoggiata in corrispondenza delle teste dei tiranti, si considera quindi un carico uniformemente distribuito che equilibra le reazioni di tiro massimo dei tiranti come nella figura seguente.

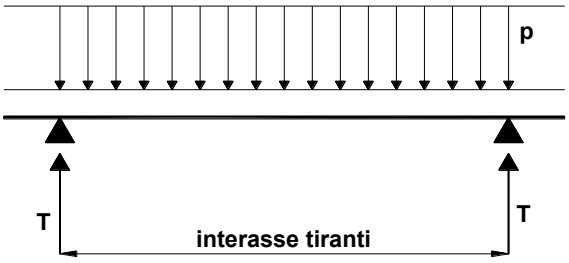

Figura 6-2: Schema statico di calcolo travi di contrasto

$M_{Ed} = p * int^2 / 10$ Momento flettente sollecitante di calcolo SLU o SLE

$V_{Ed} = p * int / 2$ Taglio sollecitante di calcolo SLU

$p = T_{max} * \cos \alpha / int$ carico ripartito di calcolo SU o SLE trave

T_{max} Tiro massimo di calcolo SLU o SLE tirante

α angolo inclinazione tirante

6.7.1 Risultati verifiche PARATIE®

Le verifiche strutturali vengono eseguite automaticamente in PARATIE® e riportate negli allegati di calcolo, a cui si rimanda per ulteriori dettagli, espresse con i seguenti parametri:

Trave di ripartizione		
Connessione		
Sezione		Geometria del profilato
Materiale		Materiale costituente la trave
Passo orizzontale		
Stage		
Carico distribuito	q	
Azione assiale	N_{Ed}	
Ratio momento	M_{Ed}/M_{Rd}	Tasso sfruttamento della resistenza a momento
Ratio taglio	V_{Ed}/V_{Rd}	Tasso sfruttamento della resistenza a taglio
Instabilità		Verifica di instaurazione di eventuali instabilità

7 ANALISI DEI CARICHI PARATIE

7.1 AZIONI PERMANENTI STRUTTURALI (G_1)

I valori delle azioni vengono computati automaticamente dal programma di calcolo secondo le ipotesi seguenti, per ulteriori approfondimenti si rimanda direttamente al manuale del software.

Nome	Tipo	γ_{G1} (Fav / Sfav)	ψ_0	ψ_1	ψ_2
PP	Permanente strutturale	EQU 0.90 / 1.10 (A1) 1.00 / 1.30 (A2) 1.00 / 1.00	-	-	-

7.1.1 Peso proprio

Per gli elementi in c.a. si considera un peso specifico γ_c = 25 kN/m^3, per gli elementi in acciaio γ_s = 78.5 kN/m^3.

7.2 AZIONI PERMANENTI NON STRUTTURALI (G_2)

Non presenti per il caso in oggetto.

7.3 SPINTA DEL TERRENO (G_3)

I valori delle spinte vengono computati automaticamente dai software secondo le metodologie seguenti, per ulteriori approfondimenti si rimanda direttamente al manuale d'uso.

Nome	Tipo	γ_{G1} (Fav / Sfav)	ψ_0	ψ_1	ψ_2
TERRENO, FALDA	Permanente strutturale	EQU 0.90 / 1.10 (A1) 1.00 / 1.30 (A2) 1.00 / 1.00	-	-	-

7.3.1 Spinta a riposo

La spinta statica totale sulla parete S_{0h} si calcola secondo le seguenti relazioni:

$$S_{0h} = \int_0^H \sigma_h(z)dz$$ Spinta a riposo statica totale sul muro

$$\sigma_h(z) = \sigma_h(z) \cdot k_0$$ Pressione orizzontale di spinta del terreno

Per piano campagna orizzontale si fa riferimento alla seguente correlazione (Jaky, 1944 e Schmidt, 1966):

$k_0 = 1 - \sin\varphi' \cdot OCR^{\alpha}$

$OCR = 1$ Grado di sovraconsolidazione

$\alpha = 0.5$

Per pendio inclinato (β) si può considerare che la spinta a riposo sia parallela al p.c. e che il coefficiente k_o valga:

$k_0 = (1 - \sin\varphi' \cdot OCR^{\alpha}) \cdot (1 + \sin\beta)$

$\beta = 0$ Angolo di inclinazione tra profilo e piano orizzontale

7.3.2 Spinta attiva

Il coefficiente di spinta attiva (K_a) viene valutato ricorrendo alla correlazione generale di Mueller-Breslau basata sulla teoria di Coulomb e riferita a superfici di rottura piane. In questo caso l'approssimazione (rispetto a quanto si sarebbe ottenuto considerando superfici di rottura di geometria complessa) risulta molto contenuta e a favore di sicurezza.

La spinta attiva statica totale sulla parete S_{ah} si calcola secondo le seguenti relazioni:

$$S_{ah} = \int_0^H \sigma_h(z)dz$$ — Spinta attiva statica totale sulla paratia

$$K_a = \frac{sen^2(\Psi + \varphi)}{sen^2\Psi \cdot sen(\Psi - \delta) \cdot \left[1 + \sqrt{\frac{sen(\varphi + \delta) \cdot sen(\varphi - \beta)}{sen(\Psi - \delta) \cdot sen(\Psi + \beta)}}\right]^2}$$ — Coefficiente di spinta attiva

$\sigma_h(z) = \sigma_v(z) \cdot K_a - 2 \cdot c \cdot \sqrt{K_a}$ — Pressione orizzontale di spinta del terreno

$\sigma_v(z)$ — Pressione verticale del terreno

H — Altezza della parete di spinta

φ — Angolo di resistenza al taglio del terreno

$\delta = 0.50 \cdot \varphi$ — Attrito tra terreno e paratia

Ψ — Angolo tra la parete di spinta e il piano orizzontale

β — Angolo di inclinazione tra profilo e piano orizzontale

c — Coesione del terreno

Nel caso in cui a monte della parete sia presente la falda il diagramma delle pressioni sulla parete risulta modificato a causa della sottospinta che l'acqua esercita sul terreno. Il peso di volume del terreno al di sopra della linea di falda non subisce variazioni, viceversa al di sotto del livello di falda va considerato il peso di volume di galleggiamento:

$\gamma' = \gamma_{sat} - \gamma_w$ — Peso di volume alleggerito del terreno

γ_{sat} — Peso di volume saturo del terreno (dipendente dall'indice dei pori)

γ_w — Peso di volume dell'acqua

$S_{ah} = \int_0^H \sigma'_h(z)dz + E_{ws}$ — Spinta attiva statica totale efficace del terreno

$\sigma'_h(z) = \sigma'_v(z) \cdot K_a - 2 \cdot c \cdot \sqrt{K_a}$ — Pressione orizzontale di spinta efficace del terreno

$\sigma'_v(z)$ — Pressione verticale efficace del terreno

E_{ws} — Spinta idrostatica

7.3.3 Spinta passiva

Per il calcolo del coefficiente di spinta passiva si fa riferimento a superfici di rottura di tipo complesso (spirale logaritmica) come suggerito da Caquot & Kerisel (1948), secondo le seguenti ipotesi:

φ	Angolo di resistenza al taglio del terreno
$\delta = 0.50 \cdot \varphi$	Attrito tra terreno e paratia
β	Angolo di inclinazione tra profilo e piano orizzontale

La spinta passiva a statica totale sulla parete S_{ph} si calcola secondo le seguenti relazioni:

$S_{ph} = \int_0^H \sigma_h(z)dz$	Spinta passiva statica totale sulla paratia
$K_p = \frac{sen^2(\Psi - \varphi)}{sen^2\Psi \cdot sen(\Psi + \delta) \cdot \left[1 - \sqrt{\frac{sen(\varphi + \delta) \cdot sen(\varphi - \beta)}{sen(\Psi - \delta) \cdot sen(\Psi + \beta)}}\right]^2}$	Coefficiente di spinta passiva
$\sigma_h(z) = \sigma_v(z) \cdot K_p - 2 \cdot c \cdot \sqrt{K_p}$	Pressione orizzontale di spinta del terreno
$\sigma_v(z)$	Pressione verticale del terreno
H	Altezza della parete di spinta

La spinta passiva statica totale efficace sulla parete S_{ph} si calcola secondo le seguenti relazioni:

$S_{ph} = \int_0^H \sigma'_h(z)dz + E_{ws}$	Spinta passiva statica totale efficace del terreno
$\sigma'_h(z) = \sigma'_v(z) \cdot K_p - 2 \cdot c \cdot \sqrt{K_p}$	Pressione orizzontale di spinta efficace del terreno
$\sigma'_v(z)$	Pressione verticale efficace del terreno
E_{ws}	Spinta idrostatica

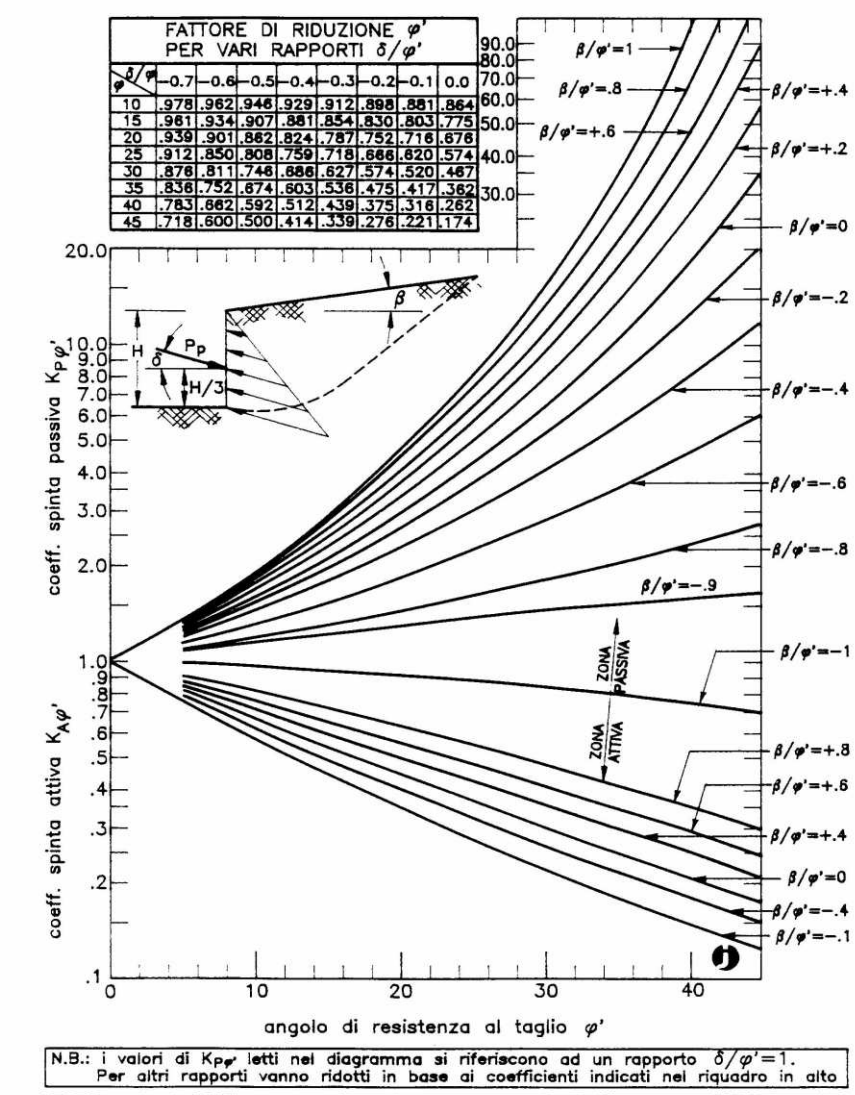

Figura 7-1: Coefficienti di spinta attiva e passiva (Caquot-Kerisel, 1948)

7.3.3.1 Spinta PARATIE

Per semplicità di implementazione e restando a favore di sicurezza, i coefficienti di spinta e le relative spinte vengono calcolati automaticamente dal programma di calcolo utilizzando la formulazione di Lancellotta (2007).

Il grafico di raffronto seguente illustra le differenze tra i diversi approcci.

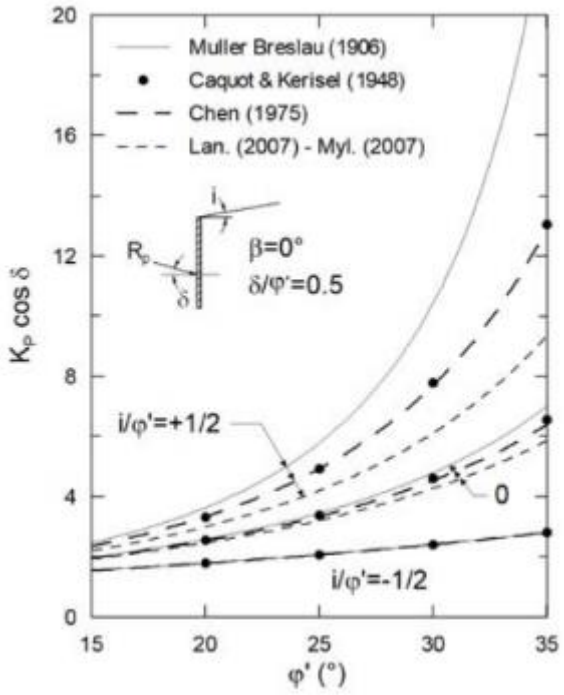

Figura 7-2: Raffronto metodologie di calcolo coefficienti di spinta passiva

Nel calcolo dei coefficienti di spinta si è deciso di tenere conto sia dell'inclinazione del terreno a valle e a monte (angolo β), che della dipendenza della spinta dell'angolo di attrito terra-muro (angolo δ).

L'angolo β utilizzato in queste valutazioni viene stimato dal programma in base alla geometria irregolare dello scavo, in rapporto alla posizione dello strato, rispetto al piano campagna (o fondo scavo) locale, valutando una superficie piana inclinata equivalente.

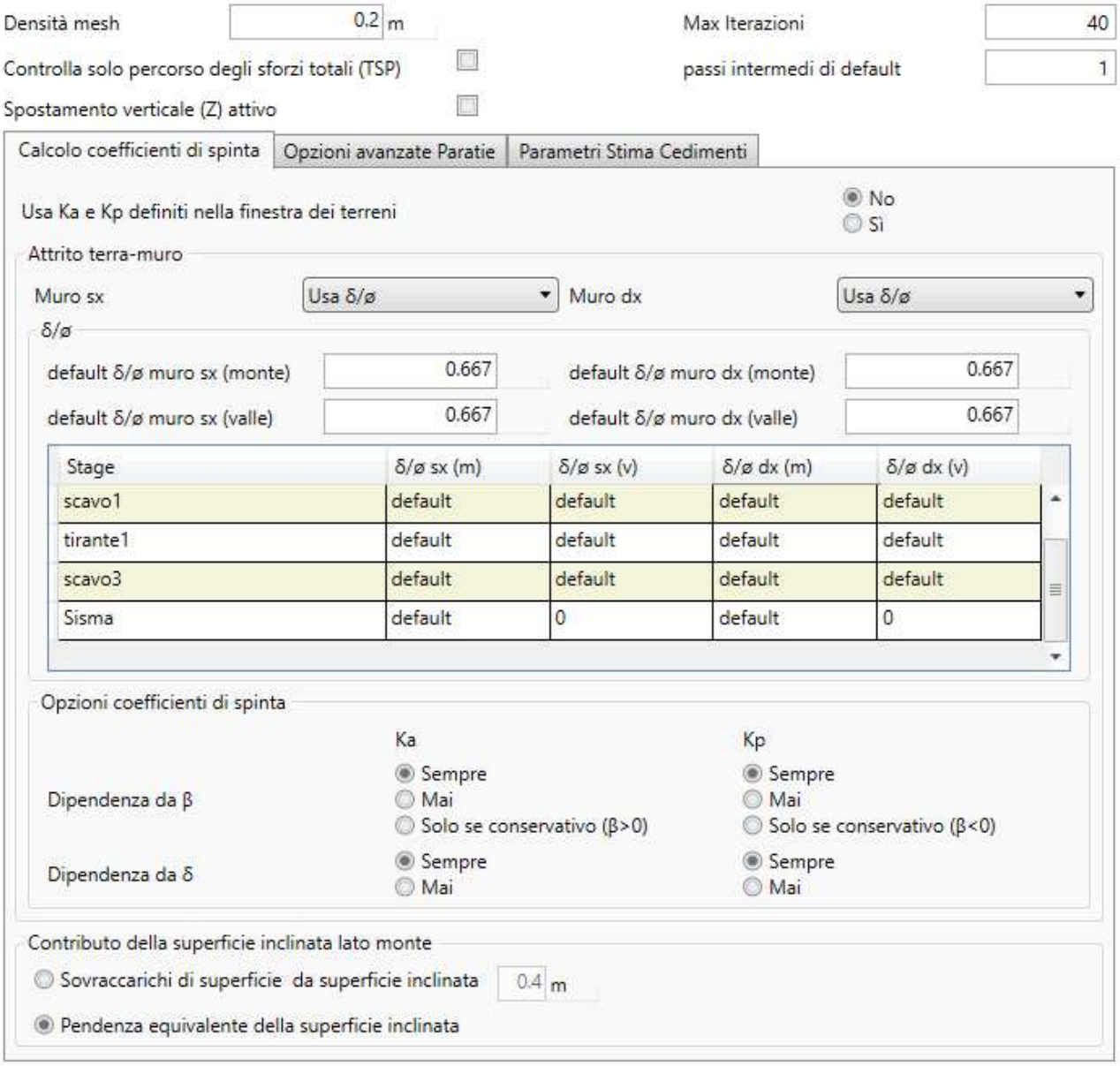

Figura 7-3: Parametri adottati per il calcolo dei coefficienti di spinta

7.4 AZIONE SISMICA (E)

Nome	Tipo	γ_E (Fav / Sfav)	ψ_0	ψ_1	ψ_2
SISMICA	Sismiche	EQU 0.00 / 1.00 (A1) 0.00 / 1.00 (A2) 0.00 / 1.00	-	-	-

Le azioni sismiche di progetto, in base alle quali valutare il rispetto dei diversi stati limite considerati, si definiscono a partire dalla “pericolosità sismica di base” del sito di costruzione, che costituisce l’elemento di

conoscenza primario per la determinazione delle azioni sismiche. La pericolosità sismica del sito è definita in termini di:

a_g	Accelerazione orizzontale massima del terreno
F_0	Valore massimo del fattore di amplificazione dello spettro in accelerazione orizzontale
T_C^*	Periodo di inizio del tratto a velocità costante dello spettro in accelerazione orizzontale

L'accelerazione orizzontale massima attesa a_g è riferita in condizioni di campo libero su sito di riferimento rigido con superficie topografica orizzontale di categoria A, nonché di ordinate dello spettro di risposta elastico in accelerazione ad essa corrispondente $S_e(T)$, con riferimento a prefissate probabilità di eccedenza P_{VR} nel periodo di riferimento V_R per ogni stato limite considerato.

I valori dei parametri a_g, F_0 e T_C^* relativi alla pericolosità sismica su reticolo di riferimento nell'intervallo di riferimento sono forniti nelle tabelle riportate nell'ALLEGATO B delle NTC18.

Una trattazione più approfondita è contenuta nella relazione geotecnica della documentazione di riferimento.

7.4.1 Stati limite di progetto sismici

Le azioni di riferimento sono calcolate sulla base delle effettive coordinate geografiche in accordo alla griglia di riferimento con cui è stato suddiviso il territorio nazionale.

Coordinate:	Longitudine:	12.29328
	Latitudine:	43.612776

Dato il periodo di riferimento della struttura V_R = 10 anni, si individuano i seguenti stati limite:

SLATO LIMITE	T_R [anni]	a_g [g]	F_o [-]	T_C^* [s]
SLO	30	0,067	2,416	0,268
SLD	35	0,072	2,407	0,270
SLV	332	0,191	2,374	0,301
SLC	682	0,247	2,397	0,312

Con riferimento al §7 delle NTC 2018, le costruzioni caratterizzate nei confronti dello SLV, da $a_gS \leq 0.075g$, possono essere progettate e verificate con la sola verifica nei confronti dello SLV. Con riferimento alle caratteristiche dell'opera, si sono analizzati i seguenti stati limite di progetto:

- *Stato limite di danno (SLD)*

  a seguito del sisma la costruzione nel suo complesso, includendo gli elementi strutturali quelli non strutturali e le apparecchiature rilevanti alla sua funzione, subisce danni tali da non mettere a rischio gli utenti e da non compromettere significativamente la capacità di resistenza e di rigidezza nei confronti delle azioni verticali e orizzontali, mantenendosi immediatamente utilizzabile pur nell'interruzione d'uso di parte delle apparecchiature

  Probabilità di superamento P_{VR} = 63%

  - Tempo di ritorno $T_R = -V_R / \ln(1-P_{VR}) = -35 / \ln(1-0.63) = 35$ anni

- *Stato limite ultimo di salvaguardia della vita (SLV)*

  a seguito del sisma la costruzione subisce rotture e crolli dei componenti non strutturali ed impiantistici e significativi danni dei componenti strutturali cui si associa una perdita significativa di rigidezza nei confronti delle azioni orizzontali; la costruzione conserva invece una parte della resistenza e rigidezza per azioni verticali e un margine di sicurezza nei confronti del collasso per azioni sismiche orizzontali

  Probabilità di superamento P_{VR} = 10%

  - Tempo di ritorno $T_R = -V_R / \ln(1-P_{VR}) = -35 / \ln(1-0.10) = 332$ anni

7.4.2 Spettri di risposta

Per il sito dell'opera in esame, in base alle caratteristiche geotecniche di riferimento e dalla morfologia del terreno descritti nei capitoli precedenti, il sottosuolo può essere classificato come:

Categoria sottosuolo "B"

Categoria topografica "T2"

Tab. 3.2.II – *Categorie di sottosuolo che permettono l'utilizzo dell'approccio semplificato.*

Categoria	Caratteristiche della superficie topografica
A	*Ammassi rocciosi affioranti o terreni molto rigidi* caratterizzati da valori di velocità delle onde di taglio superiori a 800 m/s, eventualmente comprendenti in superficie terreni di caratteristiche meccaniche più scadenti con spessore massimo pari a 3 m.
B	*Rocce tenere e depositi di terreni a grana grossa molto addensati o terreni a grana fina molto consistenti*, caratterizzati da un miglioramento delle proprietà meccaniche con la profondità e da valori di velocità equivalente compresi tra 360 m/s e 800 m/s.
C	*Depositi di terreni a grana grossa mediamente addensati o terreni a grana fina mediamente consistenti* con profondità del substrato superiori a 30 m, caratterizzati da un miglioramento delle proprietà meccaniche con la profondità e da valori di velocità equivalente compresi tra 180 m/s e 360 m/s.
D	*Depositi di terreni a grana grossa scarsamente addensati o di terreni a grana fina scarsamente consistenti*, con profondità del substrato superiori a 30 m, caratterizzati da un miglioramento delle proprietà meccaniche con la profondità e da valori di velocità equivalente compresi tra 100 e 180 m/s.
E	*Terreni con caratteristiche e valori di velocità equivalente riconducibili a quelle definite per le categorie C o D*, con profondità del substrato non superiore a 30 m.

Tabella 7-1: Categorie di sottosuolo

Tab. 3.2.III – *Categorie topografiche*

Categoria	Caratteristiche della superficie topografica
T1	Superficie pianeggiante, pendii e rilievi isolati con inclinazione media $i \leq 15°$
T2	Pendii con inclinazione media $i > 15°$
T3	Rilievi con larghezza in cresta molto minore che alla base e inclinazione media $15° \leq i \leq 30°$
T4	Rilievi con larghezza in cresta molto minore che alla base e inclinazione media $i > 30°$

Tabella 7-2: Categorie topografiche

Lo spettro di risposta elastico orizzontale $S_e(T)$ del sisma è definito dalle espressioni seguenti:

$0 \leq T < T_B$ $$S_e(T) = a_g \cdot S \cdot \eta \cdot F_o \cdot \left[\frac{T}{T_B} + \frac{1}{\eta \cdot F_o} \cdot \left(1 - \frac{T}{T_B}\right)\right]$$

$T_B \leq T < T_C$ $$S_e(T) = a_g \cdot S \cdot \eta \cdot F_o$$

$T_C \leq T < T_D$ $$S_e(T) = a_g \cdot S \cdot \eta \cdot F_o \cdot \left[\frac{T_C}{T}\right]$$

$T_D \leq T$ $$S_e(T) = a_g \cdot S \cdot \eta \cdot F_o \cdot \left[\frac{T_D \cdot T_C}{T^2}\right]$$

T	periodo di vibrazione orizzontale (s)
$S_e(T)$	accelerazione spettrale orizzontale (m/s^2)
$S = S_S * S_T$	coefficiente della categoria di sottosuolo e delle condizioni topografiche
S_S	coefficiente di amplificazione stratigrafica (vedi tabella seguente)

S_T	coefficiente di amplificazione topografica (vedi tabella seguente)
$\eta = \sqrt{10/(5+\xi)} \geq 0{,}55$	fattore che altera lo spettro elastico per smorzamento viscosi diversi dal 5%
ξ	coefficiente di smorzamento viscoso [%]
F_0	fattore che quantifica l'amplificazione spettrale massima
$T_C = C_C * T_C^*$	periodo corrispondente all'inizio del tratto a velocità costante dello spettro
C_c	coefficiente definito nella tabella seguente
$T_B = T_C/3$	periodo corrispondente all'inizio del tratto dello spettro ad accelerazione costante
$T_D = 4*a_g/g + 1{,}6$	periodo corrispondente all'inizio del tratto a spostamento costante dello spettro

Tab. 3.2.IV – *Espressioni di S_S e di C_C*

Categoria sottosuolo	S_S	C_C
A	1,00	1,00
B	$1{,}00 \leq 1{,}40 - 0{,}40 \cdot F_o \cdot \frac{a_g}{g} \leq 1{,}20$	$1{,}10 \cdot (T_C^*)^{-0{,}20}$
C	$1{,}00 \leq 1{,}70 - 0{,}60 \cdot F_o \cdot \frac{a_g}{g} \leq 1{,}50$	$1{,}05 \cdot (T_C^*)^{-0{,}33}$
D	$0{,}90 \leq 2{,}40 - 1{,}50 \cdot F_o \cdot \frac{a_g}{g} \leq 1{,}80$	$1{,}25 \cdot (T_C^*)^{-0{,}50}$
E	$1{,}00 \leq 2{,}00 - 1{,}10 \cdot F_o \cdot \frac{a_g}{g} \leq 1{,}60$	$1{,}15 \cdot (T_C^*)^{-0{,}40}$

Tabella 7-3: Coefficienti di amplificazione stratigrafica orizzontale

Tab. 3.2.V – *Valori massimi del coefficiente di amplificazione topografica S_T*

Categoria topografica	Ubicazione dell'opera o dell'intervento	S_T
T1	-	1,0
T2	In corrispondenza della sommità del pendio	1,2
T3	In corrispondenza della cresta di un rilievo con pendenza media minore o uguale a 30°	1,2
T4	In corrispondenza della cresta di un rilievo con pendenza media maggiore di 30°	1,4

Tabella 7-4: Coefficienti di amplificazione topografici

Lo spettro di risposta elastico verticale $S_{ve}(T)$ del sisma è definito dalle espressioni seguenti:

$0 \leq T < T_B$ $$S_{ve}(T) = a_g \cdot S \cdot \eta \cdot F_v \cdot \left[\frac{T}{T_B} + \frac{1}{\eta \cdot F_v} \cdot \left(1 - \frac{T}{T_B}\right)\right]$$

$T_B \leq T < T_C$ $$S_{ve}(T) = a_g \cdot S \cdot \eta \cdot F_v$$

$T_C \leq T < T_D$ $$S_{ve}(T) = a_g \cdot S \cdot \eta \cdot F_v \cdot \left[\frac{T_C}{T}\right]$$

$T_D \leq T$ $$S_{ve}(T) = a_g \cdot S \cdot \eta \cdot F_v \cdot \left[\frac{T_D \cdot T_C}{T^2}\right]$$

T	periodo di vibrazione verticale (s)
$S_{ve}(T)$	accelerazione spettrale verticale (m/s^2)
$F_V = 1{,}35 \cdot F_0 \cdot (a_g/g)^{0.5}$	fattore che quantifica l'accelerazione spettrale massima

I parametri S_S, T_B, T_C e T_D per la definizione dello spettro verticale sono indipendenti dalla categoria di suolo e assumono i valori riportati nella tabella seguente.

Tab. 3.2.VI - *Valori dei parametri dello spettro di risposta elastico della componente verticale*

Categoria di sottosuolo	S_S	T_B	T_C	T_D
A, B, C, D, E	1,0	0,05 s	0,15 s	1,0 s

Tabella 7-5 – Coefficienti di amplificazione stratigrafica verticale

7.4.3 Amplificazione sismica di progetto

7.4.3.1 Metodo pseudostatico per paratie

Con riferimento al § 7.11.6.2 delle NTC 2018 si esegue l'analisi con il metodo pseudostatico, dove l'azione sismica è rappresentata da una forza statica equivalente pari al prodotto delle forze di gravità per un opportuno coefficiente sismico. La deformabilità della parete viene tenuta in conto mediante dei coefficienti riduttivi correlati al massimo spostamento u_s che l'opera di altezza complessiva H, può ammettere senza riduzioni di resistenza ($u_{s,max}$) e tale per cui sia verificata l'ipotesi di riduzione dell'azione sismica per duttilità strutturale ($u_{s,min}$).

$k_h = \beta_s \cdot \frac{a_{max}}{g}$	Coefficiente sismico orizzontale
$k_v = \pm 0.5 \cdot k_h$	Coefficiente sismico verticale
$a_{max} = S_T \cdot S_S \cdot a_g$	Massima accelerazione orizzontale attesa al suolo
$S_T = 1.2$	Coefficiente di amplificazione topografica
$S_S = 1.2$	Coefficiente di amplificazione stratigrafica
$\beta_s = 0.133 \cdot ln(5/u_s)$	Coefficiente di riduzione dell'accelerazione massima attesa al sito
$u_s = 0.005 \cdot H$	Massimo spostamento parete ammissibile senza riduzioni di resistenza

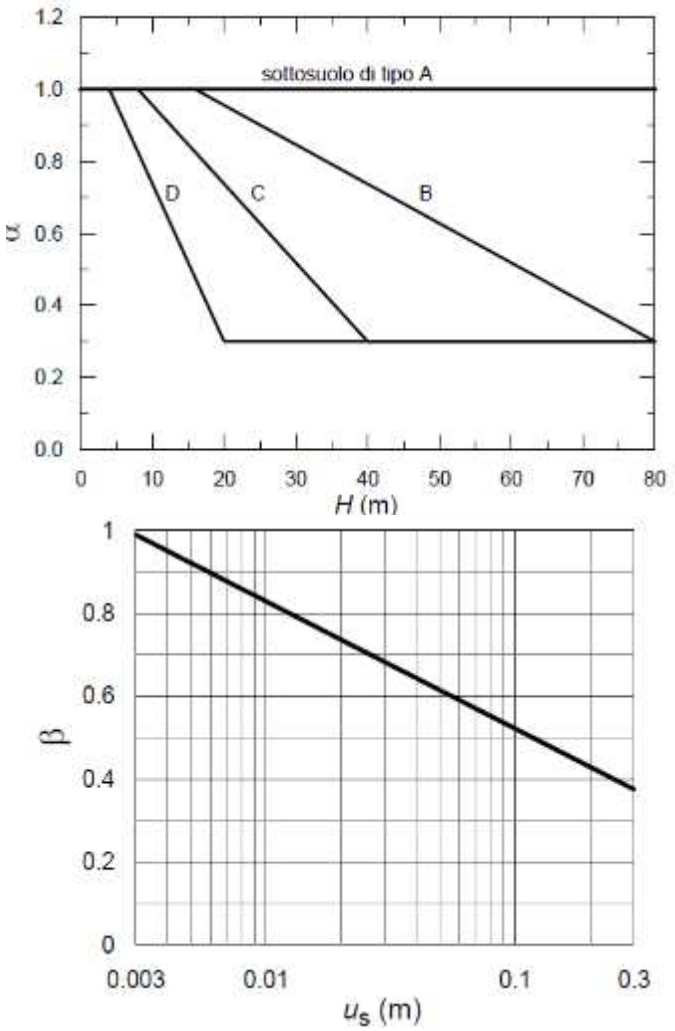

Figura 7-4: Coefficiente α di deformabilità dei terreni adiacenti all'opera, coefficiente β di duttilità strutturale dell'opera (NTC 2018)

7.4.3.2 Azioni inerziali masse

Con riferimento a §3.2.4 delle NTC 2018, si ritiene trascurabile in fase sismica il contributo delle azioni accidentali e pertanto vengono considerati i contributi dei soli carichi permanenti:

$$G = G_1 + G_2 + \sum_j^n \Psi_{2j} \cdot Q_{kj}$$

G	Massa totale efficace
G_1	Masse dei pesi propri
G_2	Masse dei carichi permanenti non strutturali (permanenti, terreno)
Q_{kj}	Masse dei carichi accidentali
$\Psi_{2j} = 0.0$	In generale o se ponti stradali a basso traffico (§5.1.3.12)
$\Psi_{2j} = 0.2$	Se ponti ferroviari (§5.2.2.8) o ponti stradali alto traffico (§5.1.3.12)

Le azioni inerziali orizzontali E_x e verticali E_y delle masse efficaci sono determinate incrementando i pesi propri G con accelerazioni verticali e orizzontali definite dai coefficienti di amplificazione dinamica k_h e k_v:

$E_x = G \cdot k_h$	Azione inerziale orizzontale
$E_y = G \cdot k_v$	Azione inerziale verticale
$G = G_1 + G_2$	Masse efficaci sismiche

7.4.4 Sovraspinte dinamiche del terreno

I valori delle spinte vengono computati automaticamente dai software secondo le metodologie seguenti, per ulteriori approfondimenti si rimanda direttamente al manuale d'uso.

7.4.4.1 Spinta attiva

Le sovraspinte $\Delta S_{ah,E}$ sono calcolate in spinta attiva secondo il metodo di Mononobe-Okabe:

$$\Delta S_{ah,E} = S_{ah,E} - S_{ah}$$

$S_{ah} = \frac{1}{2} \cdot \gamma \cdot H^2 \cdot K_a$	Spinta attiva statica sulla parete
$S_{ah,E} = \frac{1}{2} \cdot \gamma^* \cdot (1 \pm k_v) \cdot H^2 \cdot K_{a,E}$	Spinta attiva sismica sulla parete
$K_{a,E} = \frac{sen^2(\Psi + \varphi - \theta)}{\cos\theta \cdot sen^2\Psi \cdot sen(\Psi - \theta - \delta) \cdot \left[1 + \sqrt{\frac{sen(\varphi + \delta) \cdot sen(\varphi - \beta - \theta)}{sen(\Psi - \theta - \delta) \cdot sen(\Psi + \beta)}}\right]^2}$	Coefficiente di spinta sismica (M-O)
K_a	Coefficiente di spinta attiva statico
$H^* = H + \Delta H$	Altezza della parete di spinta dal fondo scavo
$\Delta H = 0$	Incremento dell'altezza della parete di spinta dal fondo scavo
$\gamma^*(z)$	Peso specifico del terreno
φ	Angolo di resistenza al taglio del terreno
$\delta = 0.50 \cdot \varphi$	Attrito tra terreno e paratia
$\Psi = 90°$	Angolo tra la parete di spinta e il piano orizzontale
β	Angolo di inclinazione tra profilo e piano orizzontale
k_h	Coefficiente sismico orizzontale
k_v	Coefficiente sismico verticale
$\theta = arctg\left(\frac{k_h}{1 \pm k_v}\right)$	Terreni sopra falda $\gamma^* = \gamma_{sat}$
$\theta = arctg\left[\left(\frac{\gamma_{sat}}{\gamma_{sat} - \gamma_w}\right) \cdot \left(\frac{k_h}{1 \pm k_v}\right)\right]$	Terreni sopra falda $\gamma^* = \gamma'$

Restando a favore della sicurezza, la risultante $\Delta S_{ah,E}$ viene applicata sulla tutta l'altezza H come una pressione orizzontale distribuita $\Delta\sigma_{h,E}$ pari a:

$$\Delta\sigma_{h,E} = \Delta S_{ahs}/H^*$$

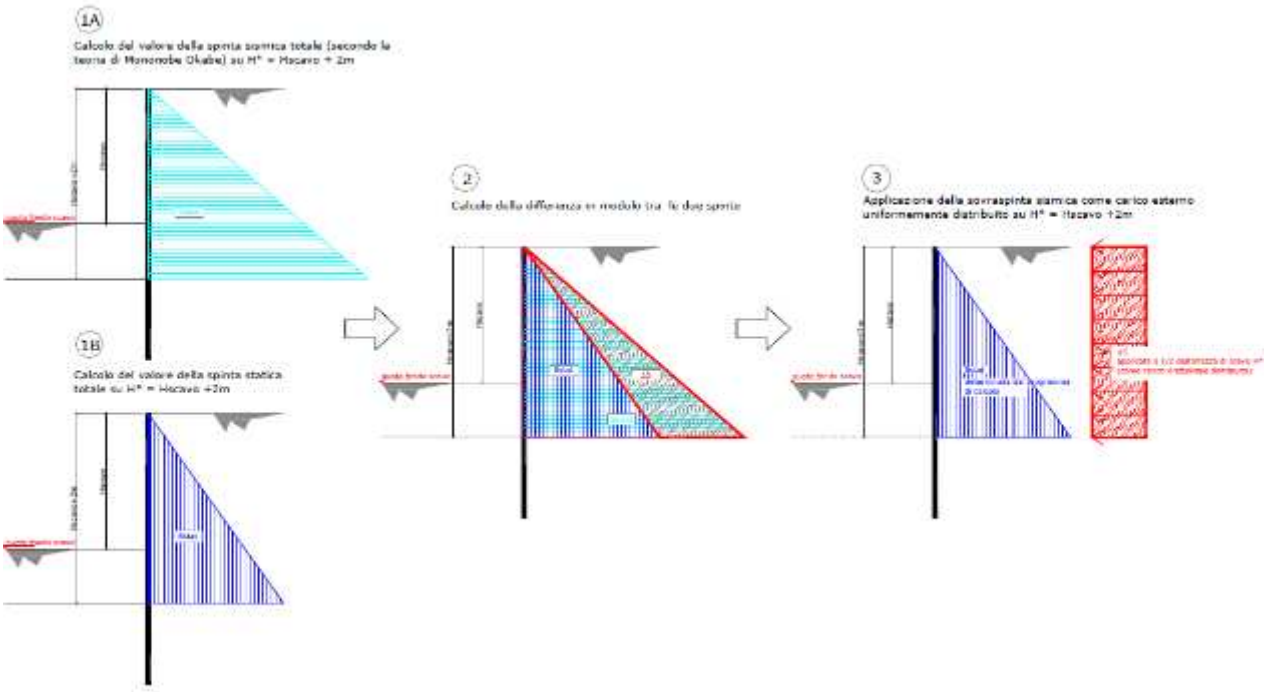

Figura 7-5: Schema di calcolo sovraspinte dinamiche terreno

7.4.4.2 Spinta passiva

Il coefficiente di spinta passiva in condizioni dinamiche viene calcolato automaticamente dal programma di calcolo utilizzando la formulazione di Lancellotta (2007).

7.5 AZIONI ACCIDENTALI DA TRAFFICO VEICOLARE (Q_1)

Nome	Tipo	γ_Q (Fav / Sfav)	ψ_0	ψ_1	ψ_2
TRAFFICO (cat. G)	Variabile	EQU 0.00 / 1.50	0.70	0.50	0.30
		(A1) 0.00 / 1.50			
		(A2) 0.00 / 1.30			

7.5.1 Automezzi portata ridotta

Nel caso in esame, date le ridotte dimensioni geometriche della via di transito che comporta il passaggio di automezzi di portata ridotta, secondo il §3.1.4 ci si riferisce alla categoria "G" (rimesse e parcheggi per transito di automezzi di peso a pieno carico superiore a 30 kN: da valutarsi caso per caso).

Si tiene pertanto conto di un sovraccarico stradale di 20 kPa distribuito su tutto il profilo.

7.5.2 Spinte sulle pareti

Le spinte orizzontali $\Delta\sigma'_h$ dei sovraccarichi applicati sul profilo di monte sono calcolate in automatico dai software valutando le sovrapressioni verticali indotte $\Delta\sigma'_v$ secondo il metodo del semispazio elastico o della distribuzione delle pressioni (cfr. schemi seguenti) e considerandone a favore di sicurezza il valore maggiore.

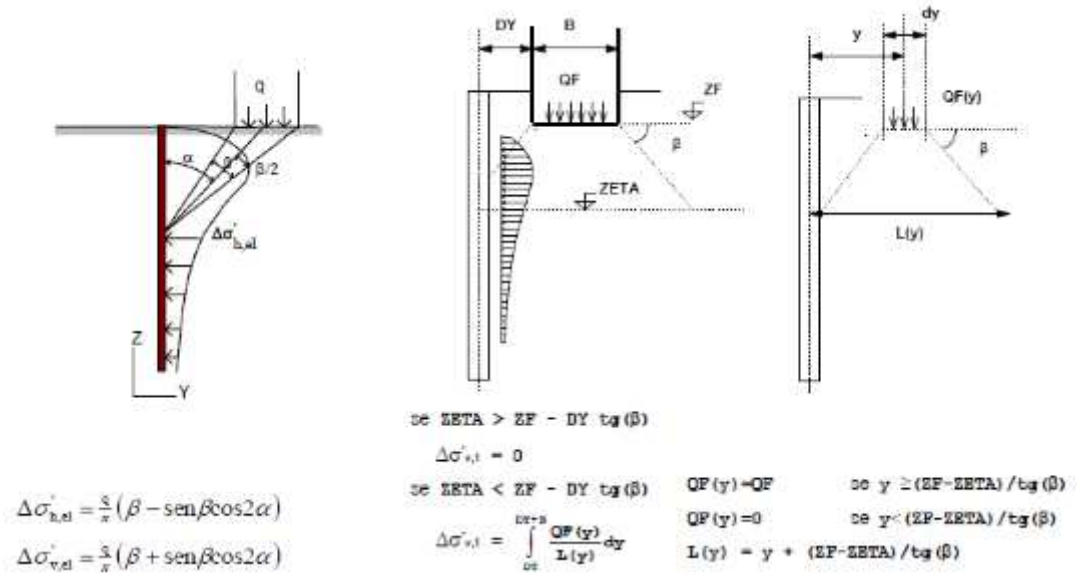

$$\Delta\sigma'_{h,el} = \frac{q}{\pi}(\beta - \operatorname{sen}\beta\cos 2\alpha)$$

$$\Delta\sigma'_{v,el} = \frac{q}{\pi}(\beta + \operatorname{sen}\beta\cos 2\alpha)$$

$$\Delta\sigma'_{v,i} = \int_{DY}^{DY+B} \frac{QF(y)}{L(y)}\,dy$$

Figura 7-6: Schema di calcolo delle sovraspinte sulla parete

8 ANALISI PARATIA

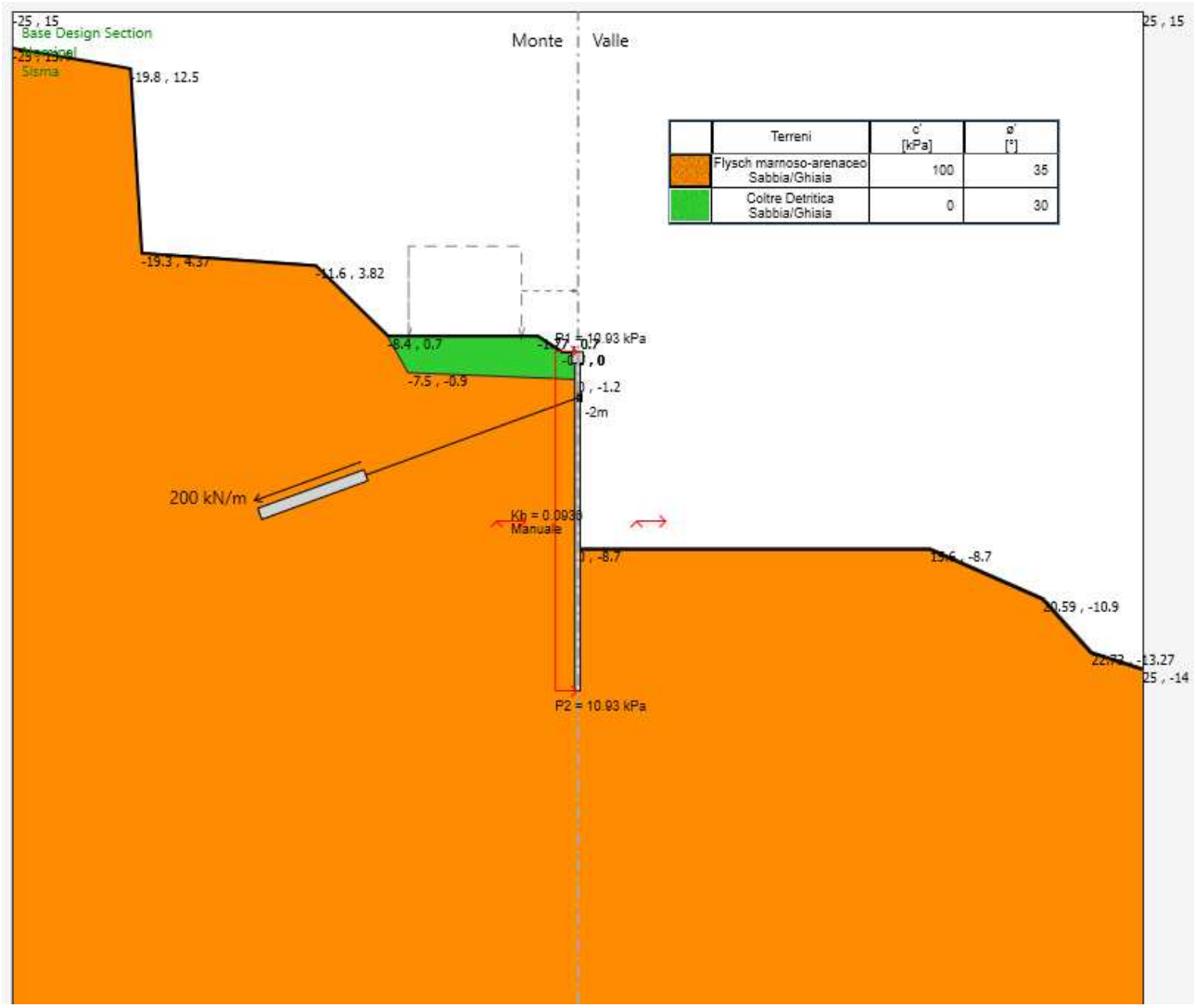

Figura 8-1: Schema geometrico e stratigrafico del modello di calcolo

Tipologia struttura di sostegno	Micropali Ø168.3x8.0 mm ad interasse 0.4m, acciaio S355JR Travi di ripartizione: coppia di HEB180 in acciaio S275JR Tiranti a 4 trefoli (0.6") in acciaio armonico
Altezza totale paratia	$H_{tot} = 15.0m$
Altezza di scavo	$H = 8.13m$
Altezza di scavo di calcolo (DM2018 §6.5.2.2)	$H1 = H + \min[0.5; 0.1 \cdot (8.13 - 2.00)] = 8.75m$
Ordini di tiranti (n°)	1
Passo orizzontale dei tiranti	2.4m
Passo verticale dei tiranti	2.0m
Inclinazione del piano campagna a monte	Variabile (categoria topografica T2)

Inclinazione del piano campagna a valle	0°
Sovraccarichi permanenti a monte	Variabili per simulare il versante
Sovraccarichi permanenti a valle	Nessuno
Sovraccarichi variabili a monte	$q = 20kN/m$
Sovraccarichi variabili a valle	Nessuno

Tabella 8-1: Sezione 1 – Caratteristiche geometriche della sezione di calcolo

8.1.1 Stratigrafia di riferimento

La stratigrafia di riferimento presenta la seguente successione:

- Flysch marnoso-arenaceo;
- Detriti.

Terreno	Gruppo coeff. parziali	Condizione	γ (kN/m³)	c_d (kPa)	φ'_d (°)	δ_{attiva} (°)	$\delta_{passiva}$ (°)	E'_{25} (MPa)	k_0 (-)	K_{ah} (-)	K_{ph} (-)
Flysch marnoso-arenaceo	M1	SLU	21	100	35.0	23.33	23.33	-	0.43	0.246	10.401
		SLV					0.00			0.31	3.487
	M2	SLU		80	29.26	19.50	19.50		0.51	0.322	6.532
		SLV					0.00			-	
Coltre Detritica	M1	SLU	18	0	30	20	20	20	0.5	0.279	6.566
		SLV					0.00			0.339	2.816
	M2	SLU		0	24.79	16.53	16.53		0.58	0.349	4.534
		SLV					0.00			-	

Tabella 8-2: Sezione 1 – Parametri geotecnici di calcolo

Come dettagliato in sede di "relazione geotecnica", la superficie piezometrica non interviene nel volume significativo di sottosuolo interagente con l'opera e, dunque, non viene modellata. Sono previsti drenaggi sistematici a tergo della paratia per evitare incrementi localizzati delle pressioni interstiziali.

Terreno	Condizione	Categoria sottosuolo (-)	Categoria topografica (-)	a_g/g (-)	S (-)	a_{max}/g (-)	α (-)	u_s (m)	β (-)	K_h (-)
Unità FAE	SLV	B	T2	0.116	1.440	0.167	1.0	0.075	0.558	0.0936

$\alpha = coefficiente\ di\ deformabilità\ (Fig.\ 7.11.2\ del\ DM\ 17/01/2018)$

$u_s = spostamento\ ammissibile$

$\beta = oefficiente\ di\ spostamento\ (Fig.\ 7.11.3\ del\ DM\ 17/01/2018)$

$k_h = coefficiente\ sismico$

8.1.2 Fasi costruttive

Fase 1) Inizializzazione condizione geostatica

Fase 2) Realizzazione della paratia di pali

Fase 3) Scavo fino a -0.50m rispetto alla quota del I ordine di tiranti

Fase 4) Inserimento del I ordine di tiranti

Fase 5) Scavo fino a -8.70m (fondo scavo)

Fase 6) Applicazione dell'azione sismica ($\Delta S_{ah,E} = 10.9kPa$ valutata secondo la formulazione di Mononobe-Okabe riportata al §7.4.4)

8.2 RISULTATI DELLE ANALISI

Nel seguito si riportano i valori di sollecitazione in termini di momento flettente, taglio e spostamenti orizzontali per ciascuno state limite considerato.

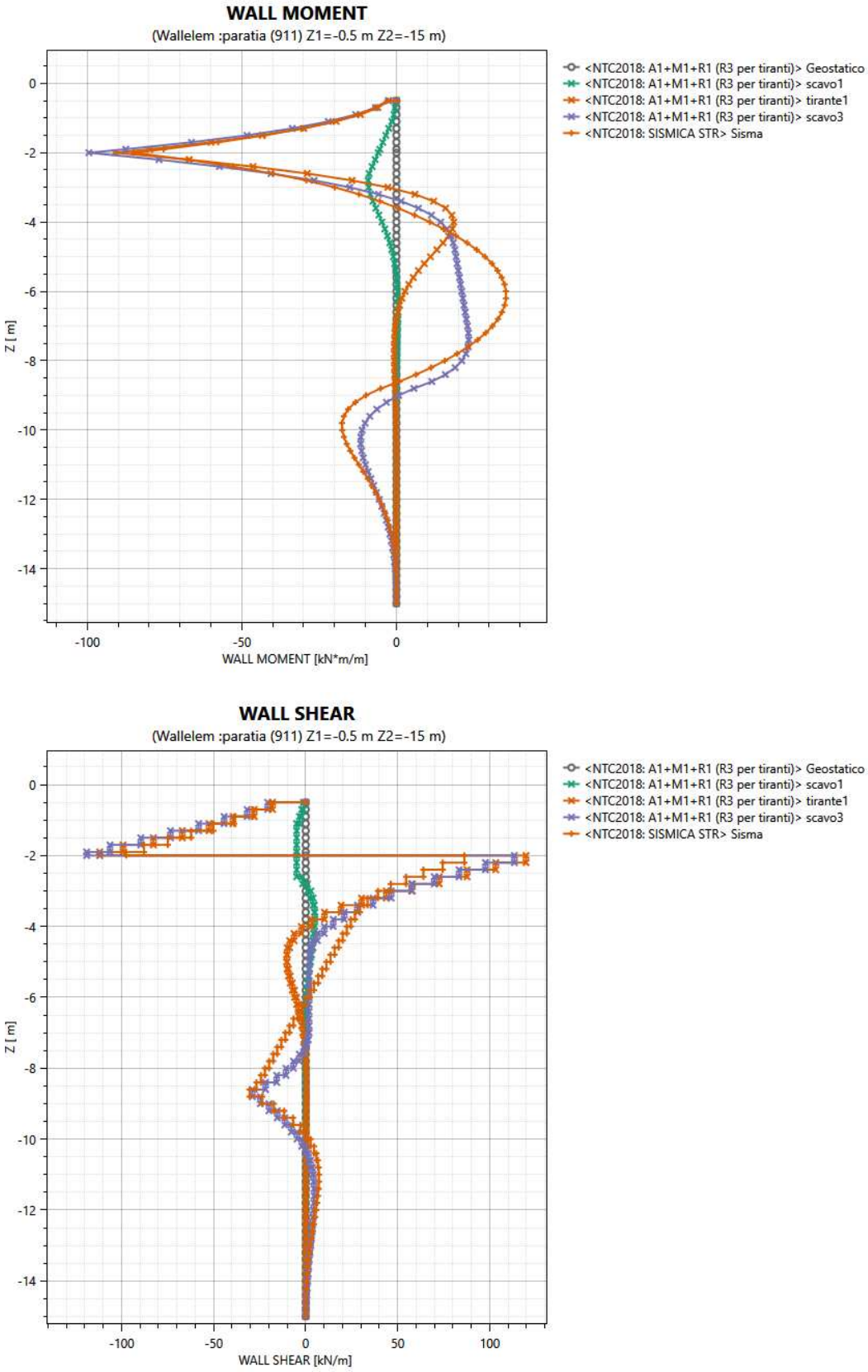

Figura 8-2: Momenti flettenti e taglio – Combinazioni SLU A1-M1 – STR statico, STR sismico

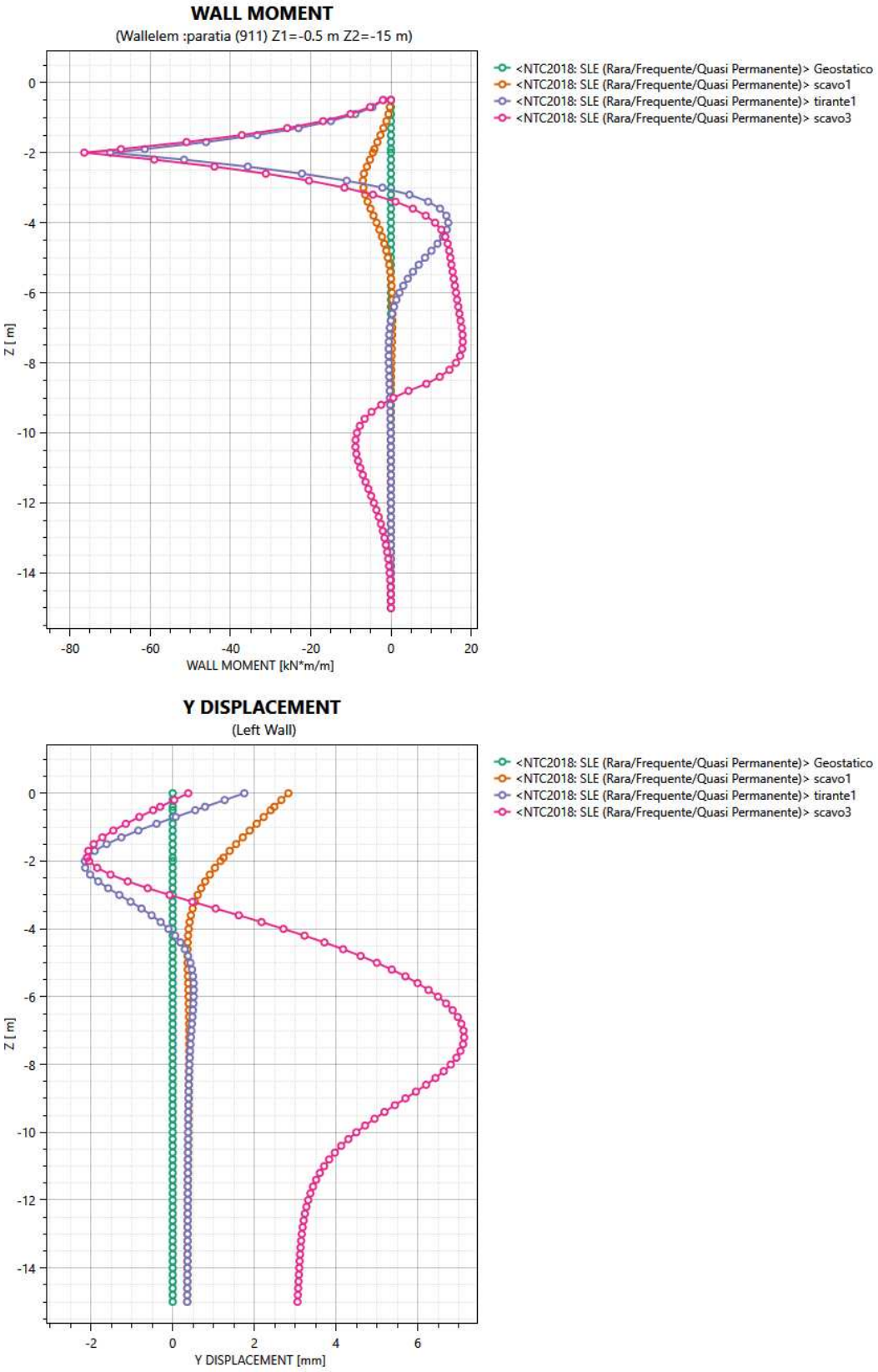

Figura 8-3: Momenti flettenti e spostamenti – Combinazioni SLE – SLE statico

8.3 VERIFICHE DI RESISTENZA

Nella tabella seguente sono riportati i massimi valori di sollecitazione per ciascuno stato limite considerato.

COMBINAZIONE		**M_{Ed}**		**V_{Ed}**	
		[kNm/m]	**[kNm]**	**[kN/m]**	**[kN]**
SLU STR	**Statico**	99.4	39.7	119.7	47.88
	Sismico	85.0	34.0	97.0	38.8
SLE		76.4	30.5	92.0	36.8

Per le verifiche di resistenza si considera una sezione circolare armata nel modo seguente:

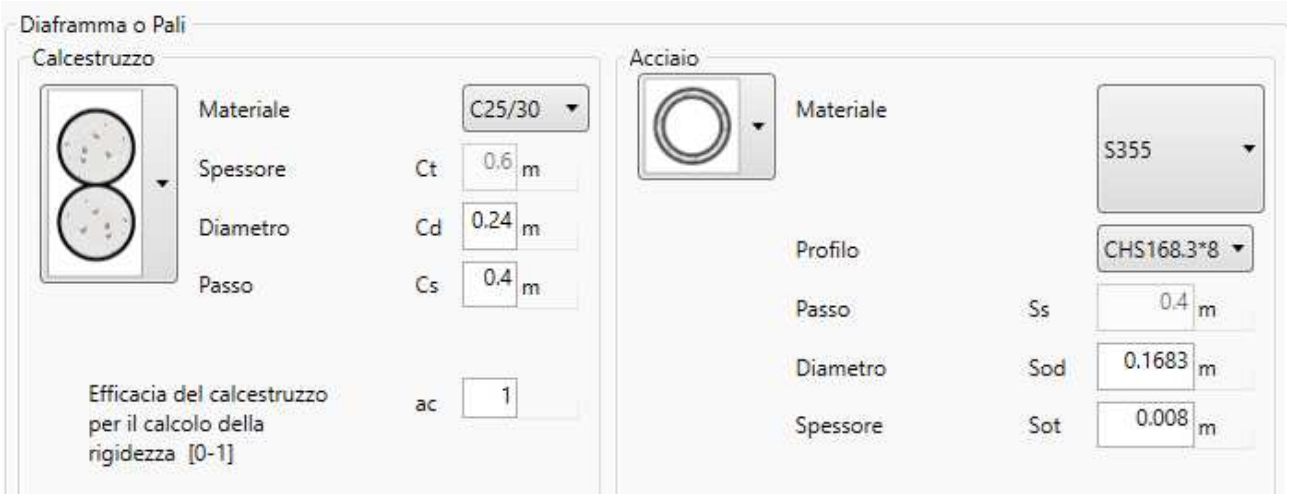

Figura 8-4: Sezione resistente micropali

8.3.1 Verifiche SLU STR

8.3.1.1 Verifiche a presso/tenso flessione e a taglio

NAME: SLU STR statico	BENDING, SHEAR AND AXIAL FORCE (UNI ENV 1993-1-1) - CIRCULAR TUBE SECTION				Rev. 01.1
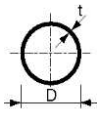	D (mm) = 168,3 t (mm) = 8,0 Ø 168,3 / 8	A (cm²) = 40,30 I (cm⁴) = 1297,00 W_{el} (cm³) = 154,00 W_{pl} (cm³) = 206,00	η = 1,00 ε = 0,814 D/t = 21,04	f_y (MPa) = 355 γ_{M0} = 1,05 **Section Class 1**	

CASE: SLU STR statico	GENERAL ELASTIC METHOD (§ 6.2.1)		
DESIGN ACTIONS	$\sigma_{x,Ed,1} = N_{Ed}/A - M_{Ed}/W_{el}$ =	-258,18 MPa	$(\sigma_{x,Ed} / (f_y/\gamma_{M0}))^2$ = 0,583 +
N_{Ed} (kN) = 0,00	$\sigma_{x,Ed,2} = N_{Ed}/A + M_{Ed}/W_{el}$ =	+258,18 MPa	$3(\tau_{Ed} / (f_y/\gamma_{M0}))^2$ = 0,009 =
M_{Ed} (kNm) = 39,76	$\sigma_{x,Ed} = \max(\sigma_{x,Ed,1}; \sigma_{x,Ed,2})$ =	+258,18 MPa	---------
V_{Ed} (kN) = 47,88	$\tau_{Ed} = V_{Ed}/A_v$ =	+18,66 MPa	**0,592 < 1,000 CHECK OK**

AXIAL FORCE (§ 6.2.3, 6.2.4)					
$N_{Rd} = N_{pl,Rd} = A*f_y/\gamma_{M0}$ =	1362,52 kN	N_{Ed}/N_{Rd} = 0,0%	CHECK OK		(§ 6.6, 6.10)
BENDING MOMENT (§ 6.2.5)					
$M_{Rd} = M_{pl,Rd} = W_{pl}*f_y/\gamma_{M0}$ =	69,65 kNm	M_{Ed}/M_{Rd} = 57,1%	CHECK OK		(§ 6.13)
SHEAR FORCE (§ 6.2.6)					
$A_v = A*2/\pi$ =	25,66 cm²				
$V_{Rd} = V_{pl,Rd} = A_v * f_y/\sqrt{3} / \gamma_{M0}$ =	500,80 kN	V_{Ed}/V_{Rd} = 9,6%	CHECK OK		(§ 6.18)
$c_w/t_w = d/t_w < 72*\varepsilon/\eta$	No web shear instability				
BENDING AND AXIAL FORCE (§ 6.2.9)					
$N_{pl,v} = A_v * f_y / \gamma_{M0}$ =	867,41 kN				
$0,50*N_{pl,v} > N_{Ed}$	433,70 kN	>	0,00 kN		(§ 6.33)
$0,25*N_{pl,Rd} > N_{Ed}$	340,63 kN	>	0,00 kN	NEd negligible	(§ 6.34)
$M_{N,Rd} = M_{pl,Rd}*(1-(N_{Ed}/N_{pl,Rd})^2) < M_{pl,Rd}$	69,65 kNm				(§ 6.32)
$M_{N,Rd}$ =	69,65 kNm	$M_{Ed}/M_{N,Rd}$ = 57,1%	CHECK OK		
BENDING, SHEAR AND AXIAL FORCE (§ 6.2.10)					
$0,50*V_{pl,Rd} > V_{Ed}$	250,40 kN	>	47,88 kN	VEd negligible	(§ 6.45)
$\rho = (2*V_{Ed}/V_{pl,Rd}-1)^2$ =	0,654				
$M_{V,N,Rd} = M_{N,Rd}*(1-\rho)$ =	24,09 kNm				
$M_{V,N,Rd}$ =	69,65 kNm	$M_{Ed}/M_{V,N,Rd}$ = 57,1%	CHECK OK		

Tabella 8-3: Verifica di resistenza – Condizione SLU STR statica

NAME: SLU STR sismico	BENDING, SHEAR AND AXIAL FORCE (UNI ENV 1993-1-1) - CIRCULAR TUBE SECTION				Rev. 01.1
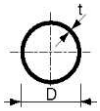	D (mm) = 168,3 t (mm) = 8,0 Ø 168,3 / 8	A (cm²) = 40,30 I (cm⁴) = 1297,00 W_{el} (cm³) = 154,00 W_{pl} (cm³) = 206,00	η = 1,00 ε = 0,814 D/t = 21,04	f_y (MPa) = 355 γ_{M0} = 1,05 **Section Class 1**	

CASE: SLU STR sismico	GENERAL ELASTIC METHOD (§ 6.2.1)			
DESIGN ACTIONS	$\sigma_{x,Ed,1} = N_{Ed}/A - M_{Ed}/W_{el}$ =	-220,78 MPa	$(\sigma_{x,Ed} / (f_y/\gamma_{M0}))^2$ =	0,426 +
N_{Ed} (kN) = 0,00	$\sigma_{x,Ed,2} = N_{Ed}/A + M_{Ed}/W_{el}$ =	+220,78 MPa	$3(\tau_{Ed} / (f_y/\gamma_{M0}))^2$ =	0,006 =
M_{Ed} (kNm) = 34,00	$\sigma_{x,Ed} = \max(\sigma_{x,Ed,1}; \sigma_{x,Ed,2})$ =	+220,78 MPa		---------
V_{Ed} (kN) = 38,80	$\tau_{Ed} = V_{Ed}/A_v$ =	+15,12 MPa		**0,432 < 1,000 CHECK OK**

AXIAL FORCE (§ 6.2.3, 6.2.4)					
$N_{Rd} = N_{pl,Rd} = A*f_y/\gamma_{M0}$ =	1362,52 kN	N_{Ed}/N_{Rd} = 0,0%	CHECK OK		(§ 6.6, 6.10)
BENDING MOMENT (§ 6.2.5)					
$M_{Rd} = M_{pl,Rd} = W_{pl}*f_y/\gamma_{M0}$ =	69,65 kNm	M_{Ed}/M_{Rd} = 48,8%	CHECK OK		(§ 6.13)
SHEAR FORCE (§ 6.2.6)					
$A_v = A*2/\pi$ =	25,66 cm²				
$V_{Rd} = V_{pl,Rd} = A_v * f_y/\sqrt{3} / \gamma_{M0}$ =	500,80 kN	V_{Ed}/V_{Rd} = 7,7%	CHECK OK		(§ 6.18)
$c_w/t_w = d/t_w < 72*\varepsilon/\eta$	No web shear instability				
BENDING AND AXIAL FORCE (§ 6.2.9)					
$N_{pl,v} = A_v * f_y / \gamma_{M0}$ =	867,41 kN				
$0,50*N_{pl,v} > N_{Ed}$	433,70 kN	>	0,00 kN		(§ 6.33)
$0,25*N_{pl,Rd} > N_{Ed}$	340,63 kN	>	0,00 kN	NEd negligible	(§ 6.34)
$M_{N,Rd} = M_{pl,Rd}*(1-(N_{Ed}/N_{pl,Rd})^2) < M_{pl,Rd}$	69,65 kNm				(§ 6.32)
$M_{N,Rd}$ =	69,65 kNm	$M_{Ed}/M_{N,Rd}$ = 48,8%	CHECK OK		
BENDING, SHEAR AND AXIAL FORCE (§ 6.2.10)					
$0,50*V_{pl,Rd} > V_{Ed}$	250,40 kN	>	38,80 kN	VEd negligible	(§ 6.45)
$\rho = (2*V_{Ed}/V_{pl,Rd}-1)^2$ =	0,714				
$M_{V,N,Rd} = M_{N,Rd}*(1-\rho)$ =	19,91 kNm				
$M_{V,N,Rd}$ =	69,65 kNm	$M_{Ed}/M_{V,N,Rd}$ = 48,8%	CHECK OK		

Tabella 8-4: Verifica di resistenza – Condizione SLU STR sismica

Le verifiche risultano soddisfatte poiché tutti i **TS < 1.00**.

8.3.2 Verifiche SLE

8.3.2.1 Verifiche delle tensioni

NAME: SLE	BENDING, SHEAR AND AXIAL FORCE (UNI ENV 1993-1-1) - CIRCULAR TUBE SECTION				Rev. 01.1
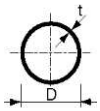	D (mm) = 168,3 t (mm) = 8,0 Ø 168,3 / 8	A (cm²) = 40,30 I (cm⁴) = 1297,00 W_{el} (cm³) = 154,00 W_{pl} (cm³) = 206,00	η = 1,00 ε = 0,814 D/t = 21,04	f_y (MPa) = 355 γ_{M0} = 1,05 **Section Class 1**	

CASE: SLE	GENERAL ELASTIC METHOD (§ 6.2.1)			
DESIGN ACTIONS	$\sigma_{x,Ed,1} = N_{Ed}/A - M_{Ed}/W_{el}$ =	-198,44 MPa	$(\sigma_{x,Ed} / (f_y/\gamma_{M0}))^2$ =	0,344 +
N_{Ed} (kN) = 0,00	$\sigma_{x,Ed,2} = N_{Ed}/A + M_{Ed}/W_{el}$ =	+198,44 MPa	$3(\tau_{Ed} / (f_y/\gamma_{M0}))^2$ =	0,005 =
M_{Ed} (kNm) = 30,56	$\sigma_{x,Ed} = \max(\sigma_{x,Ed,1}; \sigma_{x,Ed,2})$ =	+198,44 MPa		---------
V_{Ed} (kN) = 36,80	$\tau_{Ed} = V_{Ed}/A_v$ =	+14,34 MPa		**0,349 < 1,000 CHECK OK**

Tabella 8-5: Verifica di resistenza – Condizione SLE

La verifica risulta soddisfatta poiché $\sigma_{Ed} < \sigma_{Rd}$.

8.4 VERIFICA COLLASSO PER ROTAZIONE RIGIDA

Si riporta nel seguito la percentuale di mobilitazione della spinta passiva per ciascuno step di calcolo e la relativa verifica di resistenza.

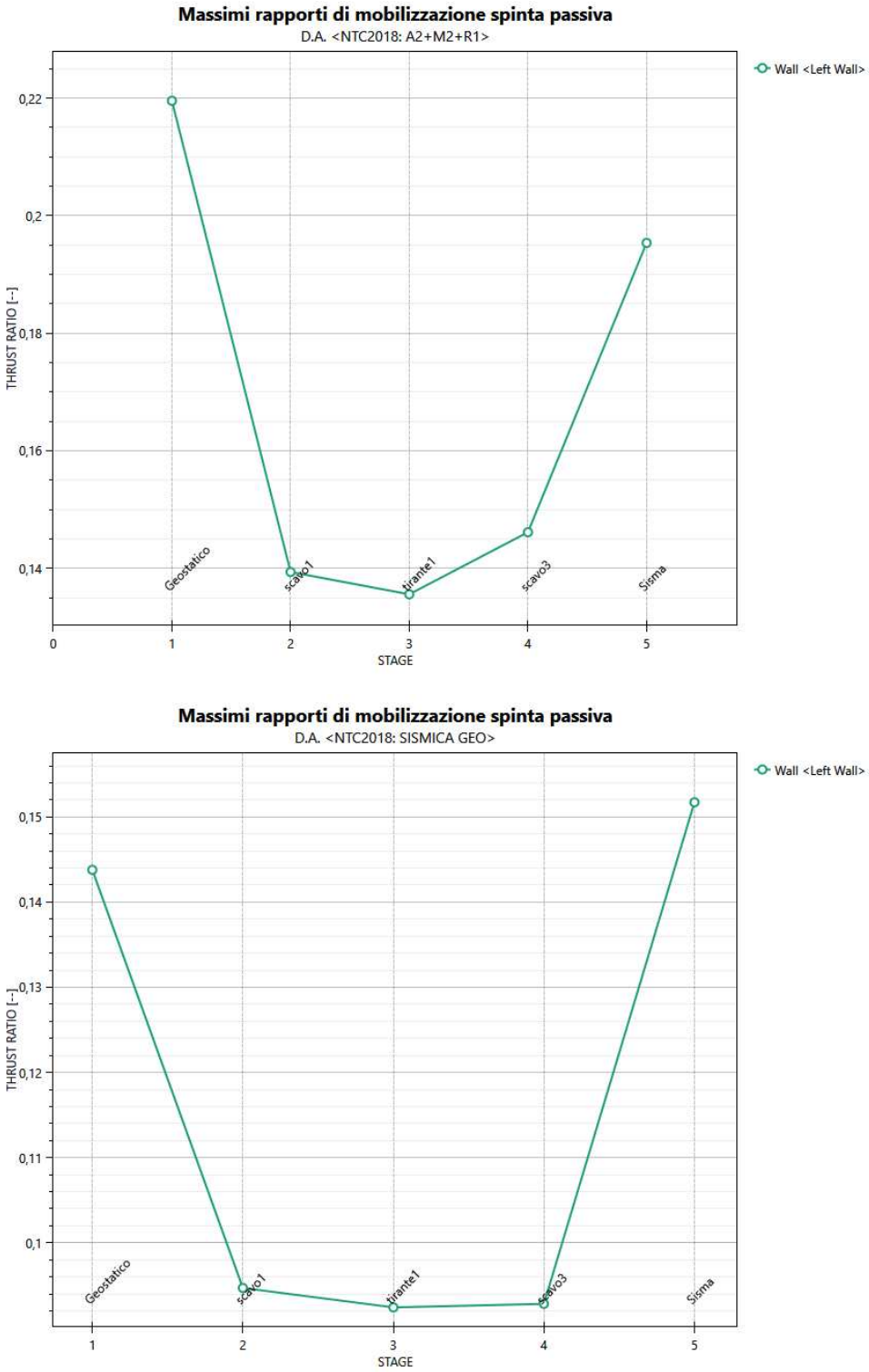

Figura 8-5: Rapporti di mobilitazione spinta passiva – Combinazioni SLU A2-M2 - GEO sismico

Spinta reale efficace / Spinta Passiva = $(R_{P,mob,k}/\gamma_R) / R_{P,disp,k}$ = 0.22 < 1.00

La spinta mobilitata dai carichi risulta meno del 22% della resistenza massima che l'infissione nel terreno può garantire, pertanto le verifiche risultano soddisfatte.

La convergenza del modello di calcolo indica che la lunghezza assunta per l'opera di sostegno è sufficiente per non innescare un movimento di rotazione intorno al piede.

8.5 VERIFICA DEGLI SPOSTAMENTI

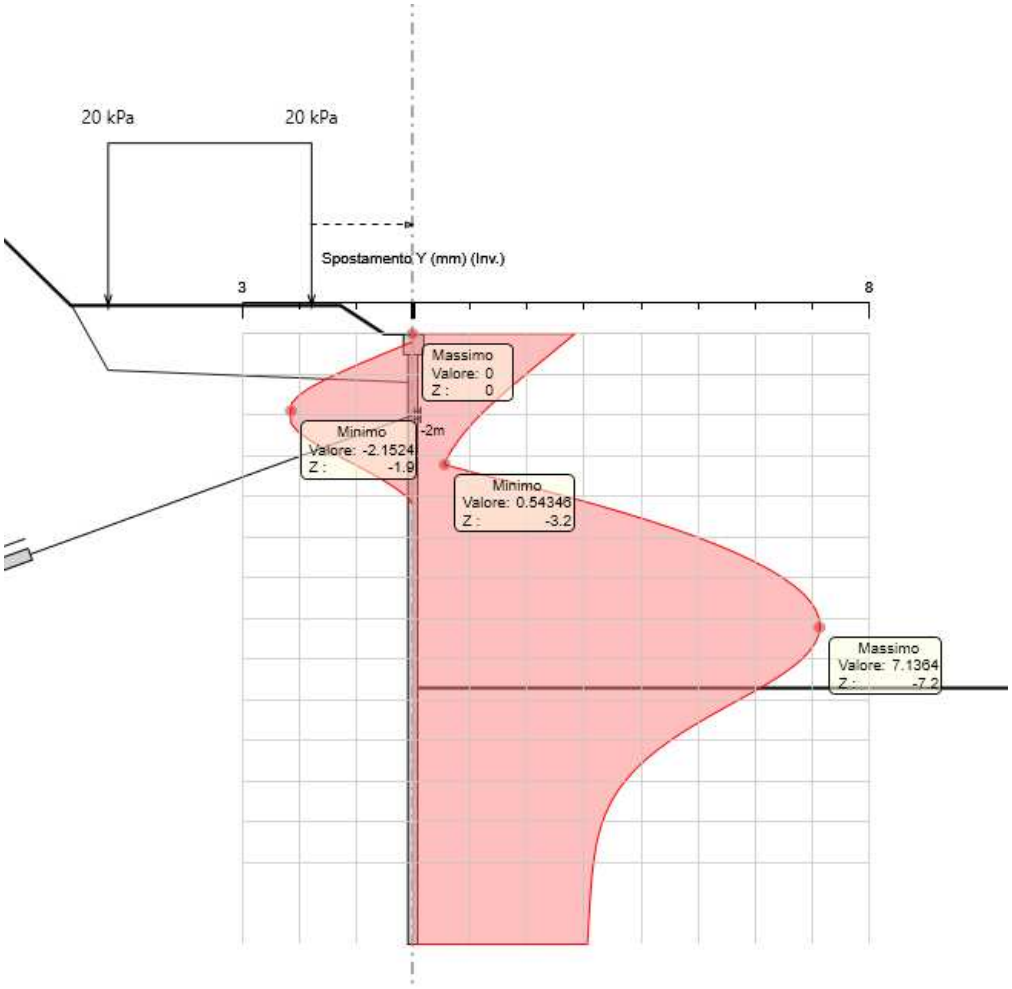

Figura 8-6: Inviluppo spostamenti SLE

$$u_{s,max} = 0.005 \cdot H = 0.075m > 0.0071m$$

8.6 VERIFICHE DEI TIRANTI DI ANCORAGGIO

Le verifiche geometriche, strutturali e geotecniche sui tiranti di ancoraggio vengono eseguite sulla base delle ipotesi generali illustrate nei capitoli precedenti, di seguito un riepilogo delle principali verifiche.

Di seguito si riporta un riepilogo delle principali verifiche.

NOME: SEZIONE TIPO 1														PARATIA TIRANTATA (NTC 2018 - AICAP 2012)																
Parametri di calcolo																													
	γ_{M0}	γ_s		ξ_{a3}	γ_R									φ (°)	a_{max}/g											H (m)	H1 (m)	H2 (m)	
	1,05	1,15		1,80	1,10									35	0,168											15,0	8,7	6,3	
Tiranti attivi Y1670/1860																													
	D	HT	L_B	L_L	α	i	N_0	σ_{spi}	σ_{spi} /	N_{max}	N_{Ed}	N_{coll}	α τ_{lim}	R_{ad}		n°	$f_{p(1)k}$	A_a	R_{td}		G.R.	$L_{L,s}$	$L_{L,e}$							
	(mm)	(m)	(m)	(m)	(°)	(m)	(kN)	(MPa)	$\sigma_{spi,max}$	(kN/m)	(kN)	(kN)	(kPa)	(kN)	N_{Ed}/R_{ad}	trefoli	(MPa)	(mm^2)	(kN)	$N_{Ed}/N_{t,Rd}$	$R_{td}>R_{ad}$	(m)	(m)	$L_L>L_{L,e}$						
1° ordine	160	2,0	5,0	10,0	20	2,4	480	863	58,4%	261	625	577	550	698	89,6%	4x139	1670	556	807	77,5%	OK	7,8	9,8	OK						

Tabella 8-6: Sezione 1 – Riepilogo verifiche sui tiranti – Inviluppo

Tirante	Stage	Sollecitazione (kN)	Resistenza GEO (kN)	Resistenza STR (kN)	Sfruttamento GEO	Sfruttamento STR	Resistenza	Gerarchia delle Resistenze
tirante1	tirante1	624	698.13	807.41	0.894	0.773	✔	✔
tirante1	scavo3	625.41	698.13	807.41	0.896	0.775	✔	✔
tirante1	Sisma	624.43	698.13	807.41	0.894	0.773	✔	✔

Tabella 8-7: Sezione 1 – Riepilogo verifiche sui tiranti per singolo stage di calcolo SLU

Tirante	Stage	Sollecitazione (kN)	Resistenza GEO (kN)	Resistenza STR (kN)	Sfruttamento GEO	Sfruttamento STR	Resistenza	Gerarchia delle Resistenze
tirante1	tirante1	480	698.13	807.41	0.688	0.594	✔	✔
tirante1	scavo3	481.05	698.13	807.41	0.689	0.596	✔	✔
tirante1	Sisma	493.62	698.13	807.41	0.707	0.611	✔	✔

Tabella 8-8: Sezione 1 – Riepilogo verifiche sui tiranti per singolo stage di calcolo SLV

8.6.1 Verifica allo sfilamento (SLU GEO, SLV)

Ordine tiranti	τ_{lim} (kPa)	α (-)	D_{perf} (mm)	L_B (m)	ξ_{a3} (-)	R_{ak} (kN)
1	500	1,1	160	5	1,8	768

Tabella 8-9: Sezione 1 – Resistenza a sfilamento tiranti

Combinazione	Ordine tiranti	Passo (m)	e_d (kN/m)	P_d (kN)	R_{ak} (kN)	R_{ad} (kN)	Verifica
Inviluppo SLV+SLU	1	2,4	261	625	768	698	$R_{ad} > P_d$

Tabella 8-10: Sezione 1 – Verifica a sfilamento tiranti

La verifica è soddisfatta poiché $R_{ad} > P_d$.

8.6.2 Verifica di resistenza strutturale delle armature (SLU STR, SLV)

Ordine tiranti	f_{yk} (MPa)	f_{yk} (MPa)	γ_s (-)	A (mm^2)
1	1860	1670	1,15	139

Tabella 8-11: Sezione 1 – Caratteristiche trefoli

Ordine tiranti	N trefoli (-)	R_{tk} (kN)	R_{td} (kN)	P_d (kN)	Verifica
1	4	929	807	625	$R_{td} > P_d$

Tabella 8-12: Sezione 1 – Verifica armatura tiranti

La verifica è soddisfatta poiché $R_{td} > P_d$.

Ordine tiranti	R_{tk} (kN)	R_{ak} (kN)	Verifica
1	929	768	$R_{tk} > R_{ak}$

Tabella 8-13: Sezione 1 – Verifica della gerarchia delle resistenze

8.7 VERIFICA TRAVI DI RIPARTIZIONE

Le verifiche strutturali sulle travi di ripartizione sono eseguite sulla base delle ipotesi generali illustrate nei capitoli precedenti, di seguito un riepilogo delle principali verifiche.

Trave di Ripartizione	Connessione	Sezione	Materiale	Passo orizz. (m)	D.A.	Stage	Carico distribuito(kN/m)	Azione Assiale (kN)	Sfruttamento M-N	Sfruttamento Taglio	Instabilità
trave1	tirante1	HE 180B	S275	2.4	NTC2018: A1+M1+R1 (R3 per tiranti)	tirante1	260	0	0.552	0.664	0
trave1	tirante1	HE 180B	S275	2.4	NTC2018: A1+M1+R1 (R3 per tiranti)	scavo3	260.59	0	0.553	0.666	0
trave1	tirante1	HE 180B	S275	2.4	NTC2018: A1+M1+R1 (R3 per tiranti)	Sisma	260.18	0	0.552	0.665	0

Tabella 8-14: Sezione 1 – Riepilogo verifica travi di ripartizione per singolo stage di calcolo SLU

Trave di Ripartizione	Connessione	Sezione	Materiale	Passo orizz. (m)	D.A.	Stage	Carico distribuito (kN/m)	Azione Assiale (kN)	Sfruttamento M-N	Sfruttamento Taglio	Instabilità
trave1	tirante1	HE 180B	S275	2.4	NTC2018: SISMICA STR	tirante1	200	0	0.417	0.511	0
trave1	tirante1	HE 180B	S275	2.4	NTC2018: SISMICA STR	scavo3	200.44	0	0.418	0.512	0
trave1	tirante1	HE 180B	S275	2.4	NTC2018: SISMICA STR	Sisma	205.67	0	0.429	0.526	0

Tabella 8-15: Sezione 1 – Riepilogo verifica travi di ripartizione per singolo stage di calcolo SLV

Con riferimento a quanto esposto al §6.7 si riportano le verifiche delle travi di ripartizione.

Le travi di ripartizione sono costituite da 2 travi HEB180 con le seguenti caratteristiche.

Ordine tiranti	**f_{yk} (N/mm^2)**	**γ_{M0} (-)**	**f_{yd} (N/mm^2)**	**Passo (m)**	**e_d (kN/m)**
1	275	1,05	262	2,4	261

Tabella 8-16: Sezione 1 – Caratteristiche profilati

Ordine tiranti	**M_{Ed} (kNm)**	**M_{Rd} (kNm)**	**Verifica**
1	150	252	**$M_{Rd} > M_{Ed}$**

Tabella 8-17: Sezione 1 – Trave di ripartizione – Verifica a momento flettente

La verifica risulta soddisfatta poiché $M_{Rd} > M_{Ed}$.

Ordine tiranti	**V_{Ed} (kN)**	**V_{Rd} (kN)**	**Verifica**
1	313	441	**$V_{Rd} > V_{Ed}$**

Tabella 8-18: Sezione 1 – Trave di ripartizione – Verifica a taglio

La verifica risulta soddisfatta poiché $V_{Rd} > V_{Ed}$.

8.8 VERIFICHE DEL COMPLESSO OPERA TERRENO (SLU GEO, SLV)

Si verifica la sezione nei confronti della stabilità globale. Le analisi sono condotte secondo i parametri geotecnici di progetto, considerando una condizione statica, con sovraccarichi pari a 20kPa per simulare eventuali mezzi di cantiere, e una condizione sismica con il sisma SLV di progetto. Con riferimento al § 7.11.4 delle NTC 2018 si esegue l'analisi en condizione sismica con β_s=0.38.

I coefficienti di sicurezza ottenuti relativamente alla stabilità globale e locale sono riportati nella tabella seguente.

Combinazione	**FS=Rd/Ed**
SLU – globale	1.100 < 2.581
SLV – globale	1.200 < 2.797

8.8.1 Risultati delle analisi – Condizione SLU globale

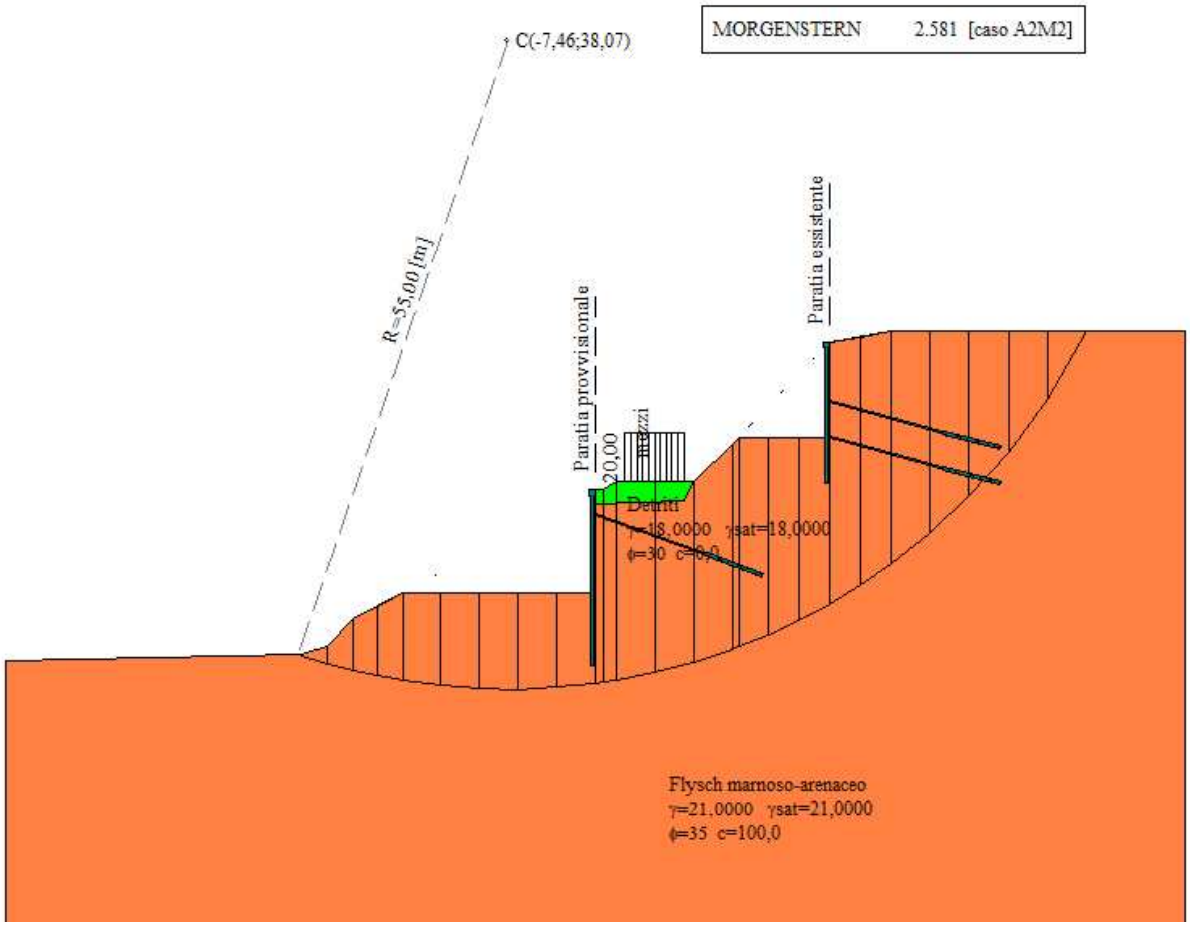

Figura 8-7: Condizioni SLU – Globale – Superficie critica.

Numero di superfici analizzate	2747
Coefficiente di sicurezza minimo	2.581
Superficie con coefficiente di sicurezza minimo	1

8.8.1.1 Quadro sintetico coefficienti di sicurezza

Metodo	Nr. superfici	FS_{min}	S_{min}	FS_{max}	S_{max}
MORGENSTERN	2747	2.581	1	5.932	2747

8.8.1.2 Caratteristiche della superficie critica

Simbologia adottata
Le ascisse X sono considerate positive verso monte
Le ordinate Y sono considerate positive verso l'alto
N° numero d'ordine della superficie cerchio
C_x ascissa x del centro [m]
C_y ordinata y del centro [m]
R raggio del cerchio espresso in m
x_v ascissa del punto di intersezione con il profilo (valle) espresse in m
x_m ascissa del punto di intersezione con il profilo (monte) espresse in m
V volume interessato dalla superficie espresso [mc]
F_s coefficiente di sicurezza
caso caso di calcolo

Metodo di MORGENSTERN (M)

N°	Forma	C_x	C_y	R	x_v	x_m	V	F_s	Caso	Sisma
		[m]	*[m]*	*[m]*	*[m]*	*[m]*	*[mc]*			
1	C	-7,46	38,07	55,00	-25,16	41,70	783,22	2.581 (M)	[A2M2]	--

8.8.2 Risultati delle analisi – Condizione SLV globale

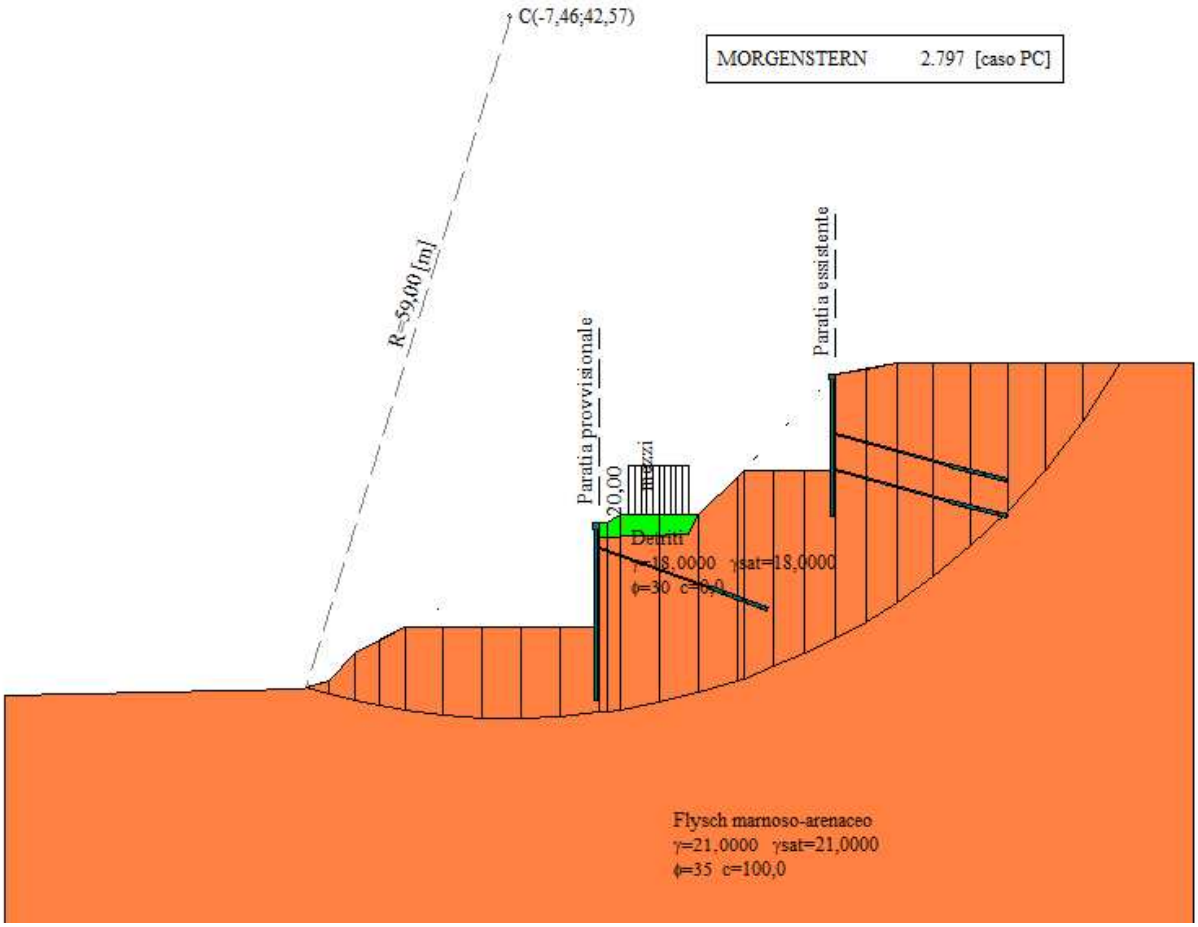

Figura 8-8: Condizioni SLV-globale – Superficie critica

Numero di superfici analizzate	5494
Coefficiente di sicurezza minimo	2.797
Superficie con coefficiente di sicurezza minimo	1

8.8.2.1 Quadro sintetico coefficienti di sicurezza

Metodo	Nr. superfici	FS_{min}	S_{min}	FS_{max}	S_{max}
MORGENSTERN	5494	2.797	1	6.315	5494

8.8.2.2 Caratteristiche delle superfici critiche

Simbologia adottata
Le ascisse X sono considerate positive verso monte
Le ordinate Y sono considerate positive verso l'alto
N° numero d'ordine della superficie cerchio
C_x ascissa x del centro [m]
C_y ordinata y del centro [m]
R raggio del cerchio espresso in m

x_v ascissa del punto di intersezione con il profilo (valle) espresse in m
x_m ascissa del punto di intersezione con il profilo (monte) espresse in m
V volume interessato dalla superficie espresso [mc]
F_s coefficiente di sicurezza
caso caso di calcolo

Metodo di MORGENSTERN (M)

N°	Forma	C_x	C_y	R	x_v	x_m	V	F_s	Caso	Sisma
		[m]	*[m]*	*[m]*	*[m]*	*[m]*	*[mc]*			
1	C	-7,46	42,57	59,00	-24,62	43,82	795,91	2.797 (M)	[PC]	H+V
63	C	-7,46	42,57	59,00	-24,62	43,82	795,91	2.825 (M)	[PC]	H-V

9 ALLEGATI

9.1 ALLEGATO 1: RISULTATI DELLE ANALISI DI VERIFICA DELLA PARATIA

9.2 ALLEGATO 2: ANALISI DI STABILITÀ – CONDIZIONE SLU GLOBALE

9.3 ALLEGATO 3: ANALISI DI STABILITÀ – CONDIZIONE SLV GLOBALE

PARATIE plus™

Report di Calcolo

Sommario
Contenuto Sommario

1. Descrizione della Stratigrafia e degli Strati di Terreno

Tipo : POLYLINE
Punti
(-25;13.4)
(25;13.4)
(25;-30)
(-25;-30)
OCR : 1

Tipo : LENS
Punti
(0;0)
(2.3;0)
(4;-1.4)
(0;-1.2)
(-7.5;-0.9)
(-8.4;0.7)
(-1.77;0.7)
(0;0)
OCR : 1

Strato di Terreno	Terreno	γ dry	γ sat	φ'	φcv	φp	c'	Su	Modulo Elastico	Eu	Evc	Eur	Ah	Av	exp	Pa	Rur/Rvc	Rvc	Ku	Kvc	Kur
		kN/m³	kN/m³	°	°	°	kPa	kPa		kPa		kPa				kPa			kPa	kN/m³	kN/m³	kN/m³
1	Flysch marnoso-arenaceo	21	21	35			100		Constant	30000		48000									
2	Coltre Detritica	18	18	30			0		Constant	30000		48000									

2. Descrizione Pareti

X : 0 m
Quota in alto : -0.5 m
Quota di fondo : -15 m
Muro di sinistra

Sezione : Micropalo D240
Area equivalente : 0.0255138820200374 m
Inerzia equivalente : 0.0001 m⁴/m
Materiale calcestruzzo : C25/30
Tipo sezione : Tangent
Spaziatura : 0.4 m
Diametro : 0.24 m
Efficacia : 1
Materiale acciaio : S355
Sezione : CHS168.3*8
Tipo sezione : O
Spaziatura : 0.4 m
Spessore : 0.008 m
Diametro : 0.1683 m

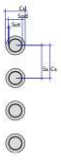

X : 0 m
Quota in alto : 0 m
Quota di fondo : -0.5 m
Muro di sinistra

Sezione : Cordolo
Area equivalente : 0.5 m
Inerzia equivalente : 0.0104 m^4/m
Materiale calcestruzzo : C25/30
Tipo sezione : Solid
Spessore : 0.5 m
Efficacia : 1

3. Fasi di Calcolo

3.1. Geostatico

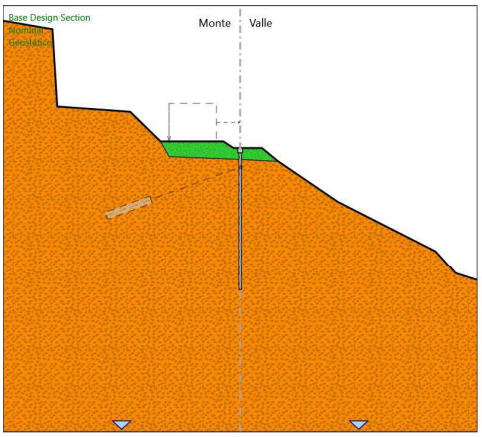

Geostatico

Scavo
Muro di sinistra
Lato monte : 0 m
Lato valle : 0 m

Linea di scavo di sinistra (Irregolare)
(-25;13.4)
(-19.8;12.5)
(-19.3;4.37)
(-11.6;3.82)
(-8.4;0.7)
(-1.77;0.7)
(-0.7;0)
(0;0)
Linea di scavo di destra (Irregolare)
(0;0)

(2.3;0)
(4;-1.4)
(4.1;-1.46)
(10.3;-5.67)
(20.59;-10.9)
(22.73;-13.27)
(25;-14)

Falda acquifera
Falda di sinistra : -30 m
Falda di destra : -30 m

Elementi strutturali
Paratia : paratia
X : 0 m
Quota in alto : -0.5 m
Quota di fondo : -15 m
Sezione : Micropalo D240
Paratia : Cordolo
X : 0 m
Quota in alto : 0 m
Quota di fondo : -0.5 m
Sezione : Cordolo

3.2. scavo1

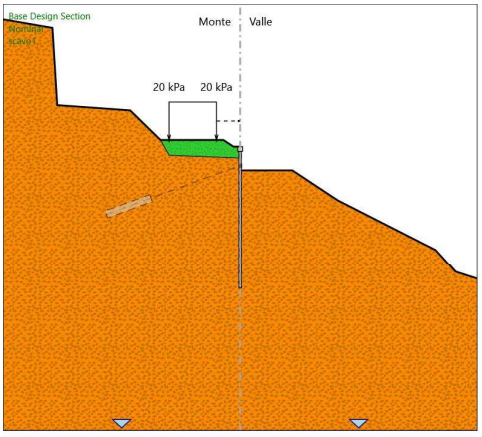

scavo1

Scavo
Muro di sinistra
Lato monte : 0 m
Lato valle : -2.5 m

Linea di scavo di sinistra (Irregolare)
(-25;13.4)
(-19.8;12.5)
(-19.3;4.37)
(-11.6;3.82)
(-8.4;0.7)
(-1.77;0.7)
(-0.7;0)
(0;0)
Linea di scavo di destra (Irregolare)
(0;-2.5)
(2.3;-2.5)
(4;-2.5)

(5.5;-2.5)
(10.3;-5.67)
(20.59;-10.9)
(22.73;-13.27)
(25;-14)

Falda acquifera
Falda di sinistra : -30 m
Falda di destra : -30 m

Carichi
Carico lineare in superficie : SurfaceSurcharge
X iniziale : -7.5 m
X finale : -2.5 m
Pressione iniziale : 20 kPa
Pressione finale : 20 kPa

Elementi strutturali
Paratia : paratia
X : 0 m
Quota in alto : -0.5 m
Quota di fondo : -15 m
Sezione : Micropalo D240
Paratia : Cordolo
X : 0 m
Quota in alto : 0 m
Quota di fondo : -0.5 m
Sezione : Cordolo

3.3. tirante1

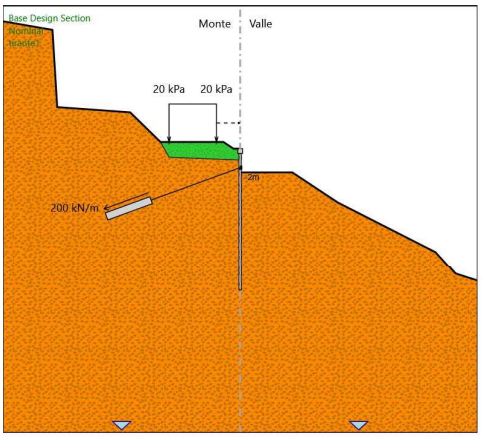

tirante1

Scavo
Muro di sinistra
Lato monte : 0 m
Lato valle : -2.5 m

Linea di scavo di sinistra (Irregolare)
(-25;13.4)
(-19.8;12.5)
(-19.3;4.37)
(-11.6;3.82)
(-8.4;0.7)
(-1.77;0.7)
(-0.7;0)
(0;0)
Linea di scavo di destra (Irregolare)
(0;-2.5)
(2.3;-2.5)
(4;-2.5)

(5.5;-2.5)
(10.3;-5.67)
(20.59;-10.9)
(22.73;-13.27)
(25;-14)

Falda acquifera
Falda di sinistra : -30 m
Falda di destra : -30 m

Carichi
Carico lineare in superficie : SurfaceSurcharge
X iniziale : -7.5 m
X finale : -2.5 m
Pressione iniziale : 20 kPa
Pressione finale : 20 kPa

Elementi strutturali
Paratia : paratia
X : 0 m
Quota in alto : -0.5 m
Quota di fondo : -15 m
Sezione : Micropalo D240
Tirante : tirante1
X : 0 m
Z : -2 m
Lunghezza bulbo : 5 m
Diametro bulbo : 0.16 m
Lunghezza libera : 10 m
Spaziatura orizzontale : 2.4 m
Precarico : 480 kN
Angolo : 20 °
Sezione : 4trefoli
Tipo di barre : Barre trefoli
Numero di barre : 4
Diametro : 0.01331 m
Area : 0.000556 m^2
Trave di Ripartizione : trave1
Sezione : HEB180
HE 180B
Materiale : S275
Paratia : Cordolo
X : 0 m
Quota in alto : 0 m
Quota di fondo : -0.5 m
Sezione : Cordolo

3.4. scavo3

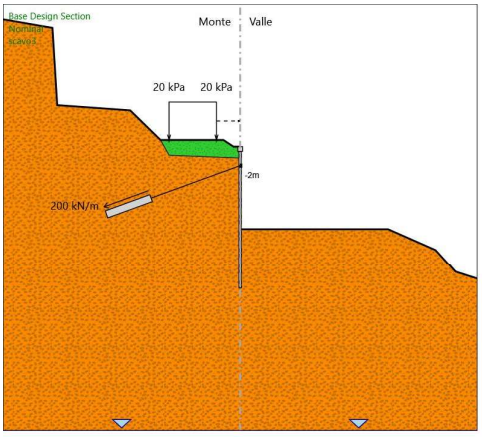

scavo3

Scavo
Muro di sinistra
Lato monte : 0 m
Lato valle : -8.7 m

Linea di scavo di sinistra (Irregolare)
(-25;13.4)
(-19.8;12.5)
(-19.3;4.37)
(-11.6;3.82)
(-8.4;0.7)
(-1.77;0.7)
(-0.7;0)
(0;0)
Linea di scavo di destra (Irregolare)
(0;-8.7)
(10.3;-8.7)
(15.6;-8.7)

(20.59;-10.9)
(22.73;-13.27)
(25;-14)

Falda acquifera
Falda di sinistra : -30 m
Falda di destra : -30 m

Carichi
Carico lineare in superficie : SurfaceSurcharge
X iniziale : -7.5 m
X finale : -2.5 m
Pressione iniziale : 20 kPa
Pressione finale : 20 kPa

Elementi strutturali
Paratia : paratia
X : 0 m
Quota in alto : -0.5 m
Quota di fondo : -15 m
Sezione : Micropalo D240
Tirante : tirante1
X : 0 m
Z : -2 m
Lunghezza bulbo : 5 m
Diametro bulbo : 0.16 m
Lunghezza libera : 10 m
Spaziatura orizzontale : 2.4 m
Precarico : 480 kN
Angolo : 20 °
Sezione : 4trefoli
Tipo di barre : Barre trefoli
Numero di barre : 4
Diametro : 0.01331 m
Area : 0.000556 m^2
Trave di Ripartizione : trave1
Sezione : HEB180
HE 180B
Materiale : S275
Paratia : Cordolo
X : 0 m
Quota in alto : 0 m
Quota di fondo : -0.5 m
Sezione : Cordolo

3.5. Sisma

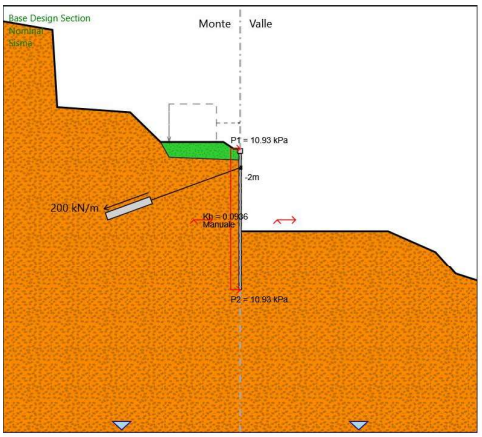

Sisma

Scavo
Muro di sinistra
Lato monte : 0 m
Lato valle : -8.7 m

Linea di scavo di sinistra (Irregolare)
(-25;13.4)
(-19.8;12.5)
(-19.3;4.37)
(-11.6;3.82)
(-8.4;0.7)
(-1.77;0.7)
(-0.7;0)
(0;0)
Linea di scavo di destra (Irregolare)
(0;-8.7)
(15.6;-8.7)
(20.59;-10.9)

(22.73;-13.27)
(25;-14)

Falda acquifera
Falda di sinistra : -30 m
Falda di destra : -30 m

Elementi strutturali
Paratia : paratia
X : 0 m
Quota in alto : -0.5 m
Quota di fondo : -15 m
Sezione : Micropalo D240
Tirante : tirante1
X : 0 m
Z : -2 m
Lunghezza bulbo : 5 m
Diametro bulbo : 0.16 m
Lunghezza libera : 10 m
Spaziatura orizzontale : 2.4 m
Precarico : 480 kN
Angolo : 20 °
Sezione : 4trefoli
Tipo di barre : Barre trefoli
Numero di barre : 4
Diametro : 0.01331 m
Area : 0.000556 m^2
Trave di Ripartizione : trave1
Sezione : HEB180
HE 180B
Materiale : S275
Paratia : Cordolo
X : 0 m
Quota in alto : 0 m
Quota di fondo : -0.5 m
Sezione : Cordolo

3.6. Tabella Configurazione Stage (Nominal)

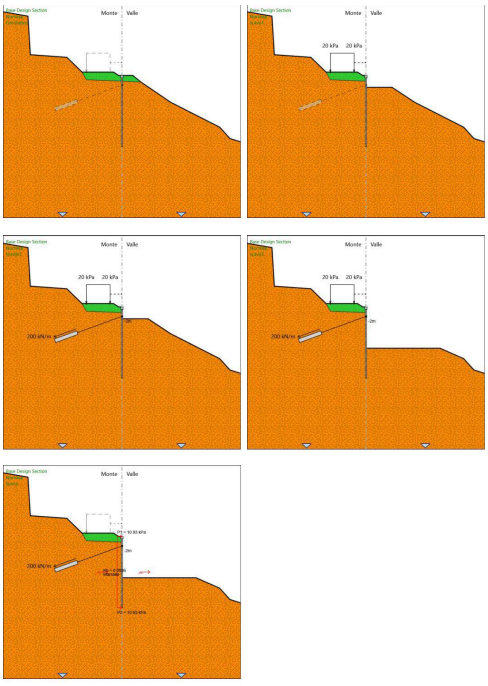

4. Descrizione Coefficienti Design Assumption

Coefficienti A

Nome	Carichi Permanenti Sfavorevoli (F_dead_load_unfavour)	Carichi Permanenti Favorevoli (F_dead_load_favour)	Carichi Variabili Sfavorevoli (F_live_load_unfavour)	Carichi Variabili Favorevoli (F_live_load_favour)	Carico Sismico (F_seism_load)	Pressioni Acqua Lato Monte (F_WaterDR)	Pressioni Acqua Lato Valle (F_WaterRes)	Carichi Permanenti Destabilizzanti (F_UPL_GDStab)	Carichi Permanenti Stabilizzanti (F_UPL_GStab)	Carichi Variabili Destabilizzanti (F_UPL_QDStab)	Carichi Permanenti Destabilizzanti (F_HYD_GDStab)	Carichi Permanenti Stabilizzanti (F_HYD_GStab)	Carichi Variabili Destabilizzanti (F_HYD_QDStab)
Simbolo	γG	γG	γQ	γQ	γQE	γG	γG	γGdst	γGstb	γQdst	γGdst	γGstb	γQdst
Nominal	1	1	1	1	1	1	1	1	1	1	1	1	1
NTC2018: SLE (Rara/Frequente/Quasi Permanente)	1	1	1	1	0	1	1	1	1	1	1	1	1
NTC2018: A1+M1+R1 (R3 per tiranti)	1.3	1	1.5	1	0	1.3	1	1	1	1	1.3	0.9	1
NTC2018: A2+M2+R1	1	1	1.3	1	0	1	1	1	1	1	1.3	0.9	1
NTC2018: SISMICA STR	1	1	1	1	1	1	1	1	1	1	1	1	1
NTC2018: SISMICA GEO	1	1	1	1	1	1	1	1	1	1	1.3	0.9	1

Coefficienti M

Nome	Parziale su tan(ø') (F_Fr)	Parziale su c' (F_eff_cohe)	Parziale su Su (F_Su)	Parziale su qu (F_qu)	Parziale su peso specifico (F_gamma)
Simbolo	γϕ	γc	γcu	γqu	γγ
Nominal	1	1	1	1	1
NTC2018: SLE (Rara/Frequente/Quasi Permanente)	1	1	1	1	1
NTC2018: A1+M1+R1 (R3 per tiranti)	1	1	1	1	1
NTC2018: A2+M2+R1	1.25	1.25	1.4	1	1
NTC2018: SISMICA STR	1	1	1	1	1
NTC2018: SISMICA GEO	1	1	1	1	1

Coefficienti R

Nome	Parziale resistenza terreno (es. Kp) (F_Soil_Res_walls)	Parziale resistenza Tiranti permanenti (F_Anch_P)	Parziale resistenza Tiranti temporanei (F_Anch_T)	Parziale elementi strutturali (F_wall)
Simbolo	γRe	γap	γat	
Nominal	1	1	1	1
NTC2018: SLE (Rara/Frequente/Quasi Permanente)	1	1	1	1
NTC2018: A1+M1+R1 (R3 per tiranti)	1	1.2	1.1	1
NTC2018: A2+M2+R1	1	1.2	1.1	1
NTC2018: SISMICA STR	1	1.2	1.1	1
NTC2018: SISMICA GEO	1	1.2	1.1	1

4.1. Risultati NTC2018: SLE (Rara/Frequente/Quasi Permanente)

4.1.1. Tabella Spostamento NTC2018: SLE (Rara/Frequente/Quasi Permanente) - LEFT Stage: Geostatico

Design Assumption: NTC2018: SLE (Rara/Frequente/Quasi Permanente)	Tipo Risultato: Spostamento	Muro: LEFT
Stage	Z (m)	Spostamento orizzontale (mm)
Geostatico	0	0
Geostatico	-0.2	0
Geostatico	-0.4	0
Geostatico	-0.5	0
Geostatico	-0.7	0
Geostatico	-0.9	0
Geostatico	-1.1	0
Geostatico	-1.3	0
Geostatico	-1.5	0
Geostatico	-1.7	0
Geostatico	-1.9	0
Geostatico	-2	0
Geostatico	-2.2	0
Geostatico	-2.4	0
Geostatico	-2.6	0
Geostatico	-2.8	0
Geostatico	-3	0
Geostatico	-3.2	0
Geostatico	-3.4	0
Geostatico	-3.6	0
Geostatico	-3.8	0
Geostatico	-4	0
Geostatico	-4.2	0
Geostatico	-4.4	0
Geostatico	-4.6	0
Geostatico	-4.8	0
Geostatico	-5	0
Geostatico	-5.2	0
Geostatico	-5.4	0
Geostatico	-5.6	0
Geostatico	-5.8	0
Geostatico	-6	0
Geostatico	-6.2	0
Geostatico	-6.4	0
Geostatico	-6.6	0
Geostatico	-6.8	0
Geostatico	-7	0
Geostatico	-7.2	0
Geostatico	-7.4	0
Geostatico	-7.6	0
Geostatico	-7.8	0
Geostatico	-8	0
Geostatico	-8.2	0
Geostatico	-8.4	0
Geostatico	-8.6	0
Geostatico	-8.8	0
Geostatico	-9	0
Geostatico	-9.2	0
Geostatico	-9.4	0
Geostatico	-9.6	0
Geostatico	-9.8	0
Geostatico	-10	0
Geostatico	-10.2	0
Geostatico	-10.4	0
Geostatico	-10.6	0
Geostatico	-10.8	0
Geostatico	-11	0
Geostatico	-11.2	0
Geostatico	-11.4	0
Geostatico	-11.6	0
Geostatico	-11.8	0
Geostatico	-12	0

Design Assumption: NTC2018: SLE (Rara/Frequente/Quasi Permanente)	Tipo Risultato: Spostamento	Muro: LEFT
Stage	Z (m)	Spostamento orizzontale (mm)
Geostatico	-12.2	0
Geostatico	-12.4	0
Geostatico	-12.6	0
Geostatico	-12.8	0
Geostatico	-13	0
Geostatico	-13.2	0
Geostatico	-13.4	0
Geostatico	-13.6	0
Geostatico	-13.8	0
Geostatico	-14	0
Geostatico	-14.2	0
Geostatico	-14.4	0
Geostatico	-14.6	0
Geostatico	-14.8	0
Geostatico	-15	0

4.1.2. Tabella Risultati Paratia NTC2018: SLE (Rara/Frequente/Quasi Permanente) - Left Wall - Stage: Geostatico

Design Assumption: NTC2018: SLE (Rara/Frequente/Quasi Permanente)	Risultati Paratia	Muro: LEFT	
Stage	Z (m)	Momento (kN*m/m)	Taglio (kN/m)
Geostatico	-0.5	0	0
Geostatico	-0.7	0	0
Geostatico	-0.9	0	0
Geostatico	-1.1	0	0
Geostatico	-1.3	0	0
Geostatico	-1.5	0	0
Geostatico	-1.7	0	0
Geostatico	-1.9	0	0
Geostatico	-2	0	0
Geostatico	-2.2	0	0
Geostatico	-2.4	0	0
Geostatico	-2.6	0	0
Geostatico	-2.8	0	0
Geostatico	-3	0	0
Geostatico	-3.2	0	0
Geostatico	-3.4	0	0
Geostatico	-3.6	0	0
Geostatico	-3.8	0	0
Geostatico	-4	0	0
Geostatico	-4.2	0	0
Geostatico	-4.4	0	0
Geostatico	-4.6	0	0
Geostatico	-4.8	0	0
Geostatico	-5	0	0
Geostatico	-5.2	0	0
Geostatico	-5.4	0	0
Geostatico	-5.6	0	0
Geostatico	-5.8	0	0
Geostatico	-6	0	0
Geostatico	-6.2	0	0
Geostatico	-6.4	0	0
Geostatico	-6.6	0	0
Geostatico	-6.8	0	0
Geostatico	-7	0	0
Geostatico	-7.2	0	0
Geostatico	-7.4	0	0
Geostatico	-7.6	0	0
Geostatico	-7.8	0	0
Geostatico	-8	0	0
Geostatico	-8.2	0	0
Geostatico	-8.4	0	0
Geostatico	-8.6	0	0
Geostatico	-8.8	0	0
Geostatico	-9	0	0
Geostatico	-9.2	0	0
Geostatico	-9.4	0	0
Geostatico	-9.6	0	0
Geostatico	-9.8	0	0
Geostatico	-10	0	0
Geostatico	-10.2	0	0
Geostatico	-10.4	0	0
Geostatico	-10.6	0	0
Geostatico	-10.8	0	0
Geostatico	-11	0	0
Geostatico	-11.2	0	0
Geostatico	-11.4	0	0
Geostatico	-11.6	0	0
Geostatico	-11.8	0	0
Geostatico	-12	0	0
Geostatico	-12.2	0	0
Geostatico	-12.4	0	0
Geostatico	-12.6	0	0
Geostatico	-12.8	0	0
Geostatico	-13	0	0
Geostatico	-13.2	0	0

Design Assumption: NTC2018: SLE (Rara/Frequente/Quasi Permanente)	Risultati Paratia	Muro: LEFT	
Stage	Z (m)	Momento (kN*m/m)	Taglio (kN/m)
Geostatico	-13.4	0	0
Geostatico	-13.6	0	0
Geostatico	-13.8	0	0
Geostatico	-14	0	0
Geostatico	-14.2	0	0
Geostatico	-14.4	0	0
Geostatico	-14.6	0	0
Geostatico	-14.8	0	0
Geostatico	-15	0	0

Design Assumption: NTC2018: SLE (Rara/Frequente/Quasi Permanente)	Risultati Paratia	Muro: LEFT	
Stage	Z (m)	Momento (kN*m/m)	Taglio (kN/m)
Geostatico	0	0	0
Geostatico	-0.2	0	0
Geostatico	-0.4	0	0
Geostatico	-0.5	0	0

4.1.3. Tabella Spostamento NTC2018: SLE (Rara/Frequente/Quasi Permanente) - LEFT Stage: scavo1

Design Assumption: NTC2018: SLE (Rara/Frequente/Quasi Permanente)	Tipo Risultato: Spostamento	Muro: LEFT
Stage	Z (m)	Spostamento orizzontale (mm)
scavo1	0	2.83
scavo1	-0.2	2.66
scavo1	-0.4	2.49
scavo1	-0.5	2.4
scavo1	-0.7	2.23
scavo1	-0.9	2.06
scavo1	-1.1	1.89
scavo1	-1.3	1.72
scavo1	-1.5	1.55
scavo1	-1.7	1.4
scavo1	-1.9	1.24
scavo1	-2	1.17
scavo1	-2.2	1.03
scavo1	-2.4	0.91
scavo1	-2.6	0.8
scavo1	-2.8	0.7
scavo1	-3	0.61
scavo1	-3.2	0.54
scavo1	-3.4	0.49
scavo1	-3.6	0.45
scavo1	-3.8	0.41
scavo1	-4	0.39
scavo1	-4.2	0.38
scavo1	-4.4	0.37
scavo1	-4.6	0.36
scavo1	-4.8	0.36
scavo1	-5	0.37
scavo1	-5.2	0.37
scavo1	-5.4	0.37
scavo1	-5.6	0.38
scavo1	-5.8	0.38
scavo1	-6	0.39
scavo1	-6.2	0.39
scavo1	-6.4	0.4
scavo1	-6.6	0.4
scavo1	-6.8	0.4
scavo1	-7	0.4
scavo1	-7.2	0.4
scavo1	-7.4	0.4
scavo1	-7.6	0.4
scavo1	-7.8	0.4
scavo1	-8	0.4
scavo1	-8.2	0.4
scavo1	-8.4	0.4
scavo1	-8.6	0.4
scavo1	-8.8	0.39
scavo1	-9	0.39
scavo1	-9.2	0.39
scavo1	-9.4	0.39
scavo1	-9.6	0.39
scavo1	-9.8	0.38
scavo1	-10	0.38
scavo1	-10.2	0.38
scavo1	-10.4	0.38
scavo1	-10.6	0.38
scavo1	-10.8	0.38
scavo1	-11	0.37
scavo1	-11.2	0.37
scavo1	-11.4	0.37
scavo1	-11.6	0.37
scavo1	-11.8	0.37
scavo1	-12	0.37
scavo1	-12.2	0.37
scavo1	-12.4	0.37
scavo1	-12.6	0.37

Design Assumption: NTC2018: SLE (Rara/Frequente/Quasi Permanente)	Tipo Risultato: Spostamento	Muro: LEFT
Stage	Z (m)	Spostamento orizzontale (mm)
scavo1	-12.8	0.36
scavo1	-13	0.36
scavo1	-13.2	0.36
scavo1	-13.4	0.36
scavo1	-13.6	0.36
scavo1	-13.8	0.36
scavo1	-14	0.36
scavo1	-14.2	0.36
scavo1	-14.4	0.36
scavo1	-14.6	0.36
scavo1	-14.8	0.36
scavo1	-15	0.36

4.1.4. Tabella Risultati Paratia NTC2018: SLE (Rara/Frequente/Quasi Permanente) - Left Wall - Stage: scavo1

Design Assumption: NTC2018: SLE (Rara/Frequente/Quasi Permanente)	Risultati Paratia	Muro: LEFT	
Stage	Z (m)	Momento (kN*m/m)	Taglio (kN/m)
scavo1	-0.5	-0.1	-0.92
scavo1	-0.7	-0.28	-0.92
scavo1	-0.9	-0.61	-1.65
scavo1	-1.1	-1.13	-2.59
scavo1	-1.3	-1.88	-3.75
scavo1	-1.5	-2.62	-3.75
scavo1	-1.7	-3.37	-3.75
scavo1	-1.9	-4.12	-3.75
scavo1	-2	-4.5	-3.75
scavo1	-2.2	-5.25	-3.75
scavo1	-2.4	-6	-3.75
scavo1	-2.6	-6.75	-3.75
scavo1	-2.8	-7	-1.28
scavo1	-3	-6.86	0.7
scavo1	-3.2	-6.44	2.13
scavo1	-3.4	-5.82	3.07
scavo1	-3.6	-5.1	3.6
scavo1	-3.8	-4.34	3.8
scavo1	-4	-3.59	3.77
scavo1	-4.2	-2.88	3.56
scavo1	-4.4	-2.23	3.24
scavo1	-4.6	-1.66	2.86
scavo1	-4.8	-1.17	2.45
scavo1	-5	-0.76	2.04
scavo1	-5.2	-0.43	1.65
scavo1	-5.4	-0.17	1.3
scavo1	-5.6	0.03	0.99
scavo1	-5.8	0.17	0.72
scavo1	-6	0.27	0.5
scavo1	-6.2	0.33	0.32
scavo1	-6.4	0.37	0.17
scavo1	-6.6	0.38	0.04
scavo1	-6.8	0.36	-0.06
scavo1	-7	0.34	-0.14
scavo1	-7.2	0.3	-0.2
scavo1	-7.4	0.25	-0.22
scavo1	-7.6	0.21	-0.23
scavo1	-7.8	0.16	-0.22
scavo1	-8	0.12	-0.21
scavo1	-8.2	0.08	-0.18
scavo1	-8.4	0.05	-0.16
scavo1	-8.6	0.03	-0.13
scavo1	-8.8	0	-0.1
scavo1	-9	-0.01	-0.08
scavo1	-9.2	-0.02	-0.06
scavo1	-9.4	-0.03	-0.04
scavo1	-9.6	-0.04	-0.03
scavo1	-9.8	-0.04	-0.01
scavo1	-10	-0.04	0
scavo1	-10.2	-0.04	0
scavo1	-10.4	-0.04	0.01
scavo1	-10.6	-0.04	0.01
scavo1	-10.8	-0.03	0.01
scavo1	-11	-0.03	0.01
scavo1	-11.2	-0.03	0.01
scavo1	-11.4	-0.02	0.01
scavo1	-11.6	-0.02	0.01
scavo1	-11.8	-0.02	0.01
scavo1	-12	-0.02	0.01
scavo1	-12.2	-0.02	0.01
scavo1	-12.4	-0.01	0.01
scavo1	-12.6	-0.01	0.01
scavo1	-12.8	-0.01	0.01
scavo1	-13	-0.01	0.01
scavo1	-13.2	-0.01	0.01

Design Assumption: NTC2018: SLE (Rara/Frequente/Quasi Permanente)	Risultati Paratia	Muro: LEFT	
Stage	Z (m)	Momento (kN*m/m)	Taglio (kN/m)
scavo1	-13.4	-0.01	0.01
scavo1	-13.6	-0.01	0.01
scavo1	-13.8	0	0.01
scavo1	-14	0	0.01
scavo1	-14.2	0	0.01
scavo1	-14.4	0	0
scavo1	-14.6	0	0
scavo1	-14.8	0	0
scavo1	-15	0	0

Design Assumption: NTC2018: SLE (Rara/Frequente/Quasi Permanente)	Risultati Paratia	Muro: LEFT	
Stage	Z (m)	Momento (kN*m/m)	Taglio (kN/m)
scavo1	0	0	0
scavo1	-0.2	0	0
scavo1	-0.2	0	0
scavo1	-0.4	-0.04	-0.21
scavo1	-0.5	-0.1	-0.53

4.1.5. Tabella Spostamento NTC2018: SLE (Rara/Frequente/Quasi Permanente) - LEFT Stage: tirante1

Design Assumption: NTC2018: SLE (Rara/Frequente/Quasi Permanente)	Tipo Risultato: Spostamento	Muro: LEFT
Stage	Z (m)	Spostamento orizzontale (mm)
tirante1	0	1.75
tirante1	-0.2	1.27
tirante1	-0.4	0.79
tirante1	-0.5	0.55
tirante1	-0.7	0.07
tirante1	-0.9	-0.39
tirante1	-1.1	-0.84
tirante1	-1.3	-1.26
tirante1	-1.5	-1.62
tirante1	-1.7	-1.91
tirante1	-1.9	-2.1
tirante1	-2	-2.15
tirante1	-2.2	-2.14
tirante1	-2.4	-2.02
tirante1	-2.6	-1.82
tirante1	-2.8	-1.58
tirante1	-3	-1.31
tirante1	-3.2	-1.03
tirante1	-3.4	-0.76
tirante1	-3.6	-0.52
tirante1	-3.8	-0.3
tirante1	-4	-0.1
tirante1	-4.2	0.06
tirante1	-4.4	0.19
tirante1	-4.6	0.3
tirante1	-4.8	0.38
tirante1	-5	0.43
tirante1	-5.2	0.47
tirante1	-5.4	0.5
tirante1	-5.6	0.51
tirante1	-5.8	0.52
tirante1	-6	0.51
tirante1	-6.2	0.51
tirante1	-6.4	0.5
tirante1	-6.6	0.48
tirante1	-6.8	0.47
tirante1	-7	0.46
tirante1	-7.2	0.45
tirante1	-7.4	0.44
tirante1	-7.6	0.43
tirante1	-7.8	0.42
tirante1	-8	0.41
tirante1	-8.2	0.4
tirante1	-8.4	0.4
tirante1	-8.6	0.39
tirante1	-8.8	0.39
tirante1	-9	0.39
tirante1	-9.2	0.38
tirante1	-9.4	0.38
tirante1	-9.6	0.38
tirante1	-9.8	0.38
tirante1	-10	0.38
tirante1	-10.2	0.38
tirante1	-10.4	0.38
tirante1	-10.6	0.37
tirante1	-10.8	0.37
tirante1	-11	0.37
tirante1	-11.2	0.37
tirante1	-11.4	0.37
tirante1	-11.6	0.37
tirante1	-11.8	0.37
tirante1	-12	0.37
tirante1	-12.2	0.37
tirante1	-12.4	0.37
tirante1	-12.6	0.37

Design Assumption: NTC2018: SLE (Rara/Frequente/Quasi Permanente)	Tipo Risultato: Spostamento	Muro: LEFT
Stage	Z (m)	Spostamento orizzontale (mm)
tirante1	-12.8	0.37
tirante1	-13	0.36
tirante1	-13.2	0.36
tirante1	-13.4	0.36
tirante1	-13.6	0.36
tirante1	-13.8	0.36
tirante1	-14	0.36
tirante1	-14.2	0.36
tirante1	-14.4	0.36
tirante1	-14.6	0.36
tirante1	-14.8	0.36
tirante1	-15	0.36

4.1.6. Tabella Risultati Paratia NTC2018: SLE (Rara/Frequente/Quasi Permanente) - Left Wall - Stage: tirante1

Design Assumption: NTC2018: SLE (Rara/Frequente/Quasi Permanente)	Risultati Paratia	Muro: LEFT	
Stage	Z (m)	Momento (kN*m/m)	Taglio (kN/m)
tirante1	-0.5	-1.84	-13.84
tirante1	-0.7	-4.61	-13.84
tirante1	-0.9	-8.91	-21.51
tirante1	-1.1	-14.98	-30.37
tirante1	-1.3	-23.06	-40.37
tirante1	-1.5	-33.37	-51.58
tirante1	-1.7	-46.1	-63.65
tirante1	-1.9	-61.37	-76.35
tirante1	-2	-69.98	-86.1
tirante1	-2.2	-51.57	92.09
tirante1	-2.4	-35.68	79.43
tirante1	-2.6	-22.19	67.45
tirante1	-2.8	-11.03	55.78
tirante1	-3	-2.13	44.5
tirante1	-3.2	4.6	33.68
tirante1	-3.4	9.28	23.36
tirante1	-3.6	12.23	14.79
tirante1	-3.8	13.81	7.86
tirante1	-4	14.29	2.4
tirante1	-4.2	13.92	-1.81
tirante1	-4.4	12.96	-4.82
tirante1	-4.6	11.62	-6.7
tirante1	-4.8	10.08	-7.68
tirante1	-5	8.49	-7.98
tirante1	-5.2	6.93	-7.77
tirante1	-5.4	5.49	-7.23
tirante1	-5.6	4.19	-6.47
tirante1	-5.8	3.07	-5.61
tirante1	-6	2.13	-4.71
tirante1	-6.2	1.36	-3.83
tirante1	-6.4	0.76	-3.03
tirante1	-6.6	0.3	-2.31
tirante1	-6.8	-0.04	-1.7
tirante1	-7	-0.28	-1.2
tirante1	-7.2	-0.44	-0.78
tirante1	-7.4	-0.53	-0.45
tirante1	-7.6	-0.57	-0.19
tirante1	-7.8	-0.57	0
tirante1	-8	-0.54	0.14
tirante1	-8.2	-0.5	0.23
tirante1	-8.4	-0.44	0.28
tirante1	-8.6	-0.38	0.3
tirante1	-8.8	-0.32	0.3
tirante1	-9	-0.26	0.29
tirante1	-9.2	-0.21	0.27
tirante1	-9.4	-0.16	0.23
tirante1	-9.6	-0.12	0.2
tirante1	-9.8	-0.09	0.17
tirante1	-10	-0.06	0.14
tirante1	-10.2	-0.04	0.11
tirante1	-10.4	-0.02	0.08
tirante1	-10.6	-0.01	0.06
tirante1	-10.8	0	0.04
tirante1	-11	0	0.02
tirante1	-11.2	0.01	0.01
tirante1	-11.4	0.01	0
tirante1	-11.6	0.01	0
tirante1	-11.8	0.01	-0.01
tirante1	-12	0	-0.01
tirante1	-12.2	0	-0.01
tirante1	-12.4	0	-0.01
tirante1	-12.6	0	-0.01
tirante1	-12.8	0	-0.01
tirante1	-13	0	-0.01
tirante1	-13.2	0	0

Design Assumption: NTC2018: SLE (Rara/Frequente/Quasi Permanente)	Risultati Paratia	Muro: LEFT	
Stage	Z (m)	Momento (kN*m/m)	Taglio (kN/m)
tirante1	-13.4	0	0
tirante1	-13.6	0	0
tirante1	-13.8	0	0
tirante1	-14	0	0
tirante1	-14.2	0	0
tirante1	-14.4	0	0
tirante1	-14.6	0	0
tirante1	-14.8	0	0
tirante1	-15	0	0

Design Assumption: NTC2018: SLE (Rara/Frequente/Quasi Permanente)	Risultati Paratia	Muro: LEFT	
Stage	Z (m)	Momento (kN*m/m)	Taglio (kN/m)
tirante1	0	0	-0.04
tirante1	-0.2	-0.01	-0.04
tirante1	-0.4	-0.94	-4.64
tirante1	-0.5	-1.84	-9.01

4.1.7. Tabella Spostamento NTC2018: SLE (Rara/Frequente/Quasi Permanente) - LEFT Stage: scavo3

Design Assumption: NTC2018: SLE (Rara/Frequente/Quasi Permanente)	Tipo Risultato: Spostamento	Muro: LEFT
Stage	Z (m)	Spostamento orizzontale (mm)
scavo3	0	0.38
scavo3	-0.2	0.04
scavo3	-0.4	-0.31
scavo3	-0.5	-0.48
scavo3	-0.7	-0.82
scavo3	-0.9	-1.15
scavo3	-1.1	-1.45
scavo3	-1.3	-1.72
scavo3	-1.5	-1.94
scavo3	-1.7	-2.07
scavo3	-1.9	-2.09
scavo3	-2	-2.05
scavo3	-2.2	-1.85
scavo3	-2.4	-1.52
scavo3	-2.6	-1.1
scavo3	-2.8	-0.61
scavo3	-3	-0.08
scavo3	-3.2	0.48
scavo3	-3.4	1.05
scavo3	-3.6	1.62
scavo3	-3.8	2.17
scavo3	-4	2.71
scavo3	-4.2	3.23
scavo3	-4.4	3.72
scavo3	-4.6	4.17
scavo3	-4.8	4.6
scavo3	-5	5
scavo3	-5.2	5.37
scavo3	-5.4	5.7
scavo3	-5.6	6
scavo3	-5.8	6.26
scavo3	-6	6.5
scavo3	-6.2	6.69
scavo3	-6.4	6.86
scavo3	-6.6	6.98
scavo3	-6.8	7.07
scavo3	-7	7.12
scavo3	-7.2	7.14
scavo3	-7.4	7.11
scavo3	-7.6	7.05
scavo3	-7.8	6.95
scavo3	-8	6.81
scavo3	-8.2	6.64
scavo3	-8.4	6.43
scavo3	-8.6	6.2
scavo3	-8.8	5.96
scavo3	-9	5.7
scavo3	-9.2	5.44
scavo3	-9.4	5.19
scavo3	-9.6	4.94
scavo3	-9.8	4.71
scavo3	-10	4.5
scavo3	-10.2	4.3
scavo3	-10.4	4.13
scavo3	-10.6	3.97
scavo3	-10.8	3.83
scavo3	-11	3.71
scavo3	-11.2	3.6
scavo3	-11.4	3.51
scavo3	-11.6	3.44
scavo3	-11.8	3.37
scavo3	-12	3.32
scavo3	-12.2	3.27
scavo3	-12.4	3.24
scavo3	-12.6	3.21

Design Assumption: NTC2018: SLE (Rara/Frequente/Quasi Permanente)	Tipo Risultato: Spostamento	Muro: LEFT
Stage	Z (m)	Spostamento orizzontale (mm)
scavo3	-12.8	3.18
scavo3	-13	3.16
scavo3	-13.2	3.14
scavo3	-13.4	3.13
scavo3	-13.6	3.12
scavo3	-13.8	3.11
scavo3	-14	3.1
scavo3	-14.2	3.09
scavo3	-14.4	3.08
scavo3	-14.6	3.07
scavo3	-14.8	3.06
scavo3	-15	3.06

4.1.8. Tabella Risultati Paratia NTC2018: SLE (Rara/Frequente/Quasi Permanente) - Left Wall - Stage: scavo3

Design Assumption: NTC2018: SLE (Rara/Frequente/Quasi Permanente)	Risultati Paratia	Muro: LEFT	
Stage	Z (m)	Momento (kN*m/m)	Taglio (kN/m)
scavo3	-0.5	-2.03	-15.86
scavo3	-0.7	-5.2	-15.86
scavo3	-0.9	-10.1	-24.46
scavo3	-1.1	-16.92	-34.1
scavo3	-1.3	-25.86	-44.74
scavo3	-1.5	-37.16	-56.49
scavo3	-1.7	-50.95	-68.92
scavo3	-1.9	-67.3	-81.8
scavo3	-2	-76.46	-91.53
scavo3	-2.2	-59.01	87.22
scavo3	-2.4	-44	75.09
scavo3	-2.6	-31.19	64.04
scavo3	-2.8	-20.45	53.71
scavo3	-3	-11.61	44.2
scavo3	-3.2	-4.48	35.66
scavo3	-3.4	1.15	28.12
scavo3	-3.6	5.47	21.61
scavo3	-3.8	8.69	16.1
scavo3	-4	10.99	11.51
scavo3	-4.2	12.55	7.78
scavo3	-4.4	13.53	4.93
scavo3	-4.6	14.14	3.02
scavo3	-4.8	14.52	1.9
scavo3	-5	14.8	1.42
scavo3	-5.2	15.08	1.42
scavo3	-5.4	15.37	1.42
scavo3	-5.6	15.65	1.42
scavo3	-5.8	15.93	1.42
scavo3	-6	16.22	1.42
scavo3	-6.2	16.5	1.42
scavo3	-6.4	16.78	1.42
scavo3	-6.6	17.07	1.42
scavo3	-6.8	17.35	1.42
scavo3	-7	17.63	1.42
scavo3	-7.2	17.85	1.11
scavo3	-7.4	17.93	0.37
scavo3	-7.6	17.75	-0.86
scavo3	-7.8	17.22	-2.65
scavo3	-8	16.21	-5.07
scavo3	-8.2	14.57	-8.18
scavo3	-8.4	12.16	-12.05
scavo3	-8.6	8.82	-16.71
scavo3	-8.8	4.38	-22.23
scavo3	-9	0.6	-18.88
scavo3	-9.2	-2.46	-15.28
scavo3	-9.4	-4.82	-11.84
scavo3	-9.6	-6.57	-8.71
scavo3	-9.8	-7.76	-5.97
scavo3	-10	-8.49	-3.63
scavo3	-10.2	-8.82	-1.68
scavo3	-10.4	-8.84	-0.1
scavo3	-10.6	-8.62	1.14
scavo3	-10.8	-8.2	2.07
scavo3	-11	-7.66	2.74
scavo3	-11.2	-7.02	3.17
scavo3	-11.4	-6.34	3.42
scavo3	-11.6	-5.63	3.52
scavo3	-11.8	-4.93	3.49
scavo3	-12	-4.26	3.37
scavo3	-12.2	-3.62	3.18
scavo3	-12.4	-3.04	2.94
scavo3	-12.6	-2.5	2.67
scavo3	-12.8	-2.03	2.38
scavo3	-13	-1.61	2.09
scavo3	-13.2	-1.25	1.8

Design Assumption: NTC2018: SLE (Rara/Frequente/Quasi Permanente)	Risultati Paratia	Muro: LEFT	
Stage	Z (m)	Momento (kN*m/m)	Taglio (kN/m)
scavo3	-13.4	-0.94	1.53
scavo3	-13.6	-0.69	1.27
scavo3	-13.8	-0.48	1.04
scavo3	-14	-0.32	0.82
scavo3	-14.2	-0.19	0.63
scavo3	-14.4	-0.1	0.45
scavo3	-14.6	-0.04	0.3
scavo3	-14.8	-0.01	0.17
scavo3	-15	0	0.05

Design Assumption: NTC2018: SLE (Rara/Frequente/Quasi Permanente)	Risultati Paratia	Muro: LEFT	
Stage	Z (m)	Momento (kN*m/m)	Taglio (kN/m)
scavo3	0	0	-0.05
scavo3	-0.2	-0.01	-0.05
scavo3	-0.4	-1.01	-5
scavo3	-0.5	-2.03	-10.22

4.1.9. Tabella Spostamento NTC2018: SLE (Rara/Frequente/Quasi Permanente) - LEFT Stage: Sisma

Design Assumption: NTC2018: SLE (Rara/Frequente/Quasi Permanente)	Tipo Risultato: Spostamento	Muro: LEFT
Stage	Z (m)	Spostamento orizzontale (mm)
Sisma	0	0.32
Sisma	-0.2	-0.02
Sisma	-0.4	-0.37
Sisma	-0.5	-0.54
Sisma	-0.7	-0.88
Sisma	-0.9	-1.21
Sisma	-1.1	-1.51
Sisma	-1.3	-1.78
Sisma	-1.5	-2
Sisma	-1.7	-2.13
Sisma	-1.9	-2.15
Sisma	-2	-2.11
Sisma	-2.2	-1.92
Sisma	-2.4	-1.59
Sisma	-2.6	-1.17
Sisma	-2.8	-0.69
Sisma	-3	-0.16
Sisma	-3.2	0.4
Sisma	-3.4	0.97
Sisma	-3.6	1.53
Sisma	-3.8	2.09
Sisma	-4	2.63
Sisma	-4.2	3.14
Sisma	-4.4	3.63
Sisma	-4.6	4.09
Sisma	-4.8	4.52
Sisma	-5	4.92
Sisma	-5.2	5.29
Sisma	-5.4	5.62
Sisma	-5.6	5.92
Sisma	-5.8	6.18
Sisma	-6	6.41
Sisma	-6.2	6.61
Sisma	-6.4	6.76
Sisma	-6.6	6.89
Sisma	-6.8	6.97
Sisma	-7	7.01
Sisma	-7.2	7.02
Sisma	-7.4	6.99
Sisma	-7.6	6.93
Sisma	-7.8	6.82
Sisma	-8	6.68
Sisma	-8.2	6.51
Sisma	-8.4	6.3
Sisma	-8.6	6.07
Sisma	-8.8	5.83
Sisma	-9	5.57
Sisma	-9.2	5.31
Sisma	-9.4	5.06
Sisma	-9.6	4.82
Sisma	-9.8	4.59
Sisma	-10	4.38
Sisma	-10.2	4.19
Sisma	-10.4	4.01
Sisma	-10.6	3.86
Sisma	-10.8	3.72
Sisma	-11	3.6
Sisma	-11.2	3.5
Sisma	-11.4	3.41
Sisma	-11.6	3.34
Sisma	-11.8	3.28
Sisma	-12	3.22
Sisma	-12.2	3.18
Sisma	-12.4	3.15
Sisma	-12.6	3.12

Design Assumption: NTC2018: SLE (Rara/Frequente/Quasi Permanente)	Tipo Risultato: Spostamento	Muro: LEFT
Stage	Z (m)	Spostamento orizzontale (mm)
Sisma	-12.8	3.09
Sisma	-13	3.07
Sisma	-13.2	3.06
Sisma	-13.4	3.04
Sisma	-13.6	3.03
Sisma	-13.8	3.02
Sisma	-14	3.01
Sisma	-14.2	3.01
Sisma	-14.4	3
Sisma	-14.6	2.99
Sisma	-14.8	2.98
Sisma	-15	2.98

4.1.10. Tabella Risultati Paratia NTC2018: SLE (Rara/Frequente/Quasi Permanente) - Left Wall - Stage: Sisma

Design Assumption: NTC2018: SLE (Rara/Frequente/Quasi Permanente)	Risultati Paratia	Muro: LEFT	
Stage	Z (m)	Momento (kN*m/m)	Taglio (kN/m)
Sisma	-0.5	-1.95	-15.67
Sisma	-0.7	-5.08	-15.67
Sisma	-0.9	-9.94	-24.31
Sisma	-1.1	-16.74	-33.99
Sisma	-1.3	-25.67	-44.66
Sisma	-1.5	-36.96	-56.45
Sisma	-1.7	-50.74	-68.91
Sisma	-1.9	-67.11	-81.81
Sisma	-2	-76.26	-91.56
Sisma	-2.2	-58.88	86.91
Sisma	-2.4	-43.92	74.78
Sisma	-2.6	-31.18	63.71
Sisma	-2.8	-20.51	53.37
Sisma	-3	-11.73	43.89
Sisma	-3.2	-4.65	35.38
Sisma	-3.4	0.93	27.9
Sisma	-3.6	5.22	21.46
Sisma	-3.8	8.42	16.02
Sisma	-4	10.73	11.53
Sisma	-4.2	12.31	7.91
Sisma	-4.4	13.35	5.19
Sisma	-4.6	14.04	3.43
Sisma	-4.8	14.53	2.46
Sisma	-5	14.96	2.15
Sisma	-5.2	15.36	2
Sisma	-5.4	15.73	1.85
Sisma	-5.6	16.07	1.71
Sisma	-5.8	16.38	1.56
Sisma	-6	16.66	1.41
Sisma	-6.2	16.91	1.25
Sisma	-6.4	17.13	1.09
Sisma	-6.6	17.32	0.92
Sisma	-6.8	17.47	0.74
Sisma	-7	17.58	0.55
Sisma	-7.2	17.65	0.35
Sisma	-7.4	17.61	-0.19
Sisma	-7.6	17.36	-1.25
Sisma	-7.8	16.78	-2.89
Sisma	-8	15.75	-5.16
Sisma	-8.2	14.12	-8.14
Sisma	-8.4	11.74	-11.88
Sisma	-8.6	8.46	-16.43
Sisma	-8.8	4.09	-21.83
Sisma	-9	0.39	-18.53
Sisma	-9.2	-2.61	-14.97
Sisma	-9.4	-4.92	-11.58
Sisma	-9.6	-6.62	-8.5
Sisma	-9.8	-7.78	-5.8
Sisma	-10	-8.48	-3.49
Sisma	-10.2	-8.79	-1.57
Sisma	-10.4	-8.8	-0.02
Sisma	-10.6	-8.56	1.19
Sisma	-10.8	-8.14	2.1
Sisma	-11	-7.59	2.75
Sisma	-11.2	-6.95	3.18
Sisma	-11.4	-6.27	3.42
Sisma	-11.6	-5.57	3.51
Sisma	-11.8	-4.87	3.47
Sisma	-12	-4.2	3.35
Sisma	-12.2	-3.57	3.15
Sisma	-12.4	-2.99	2.91
Sisma	-12.6	-2.46	2.64
Sisma	-12.8	-1.99	2.35
Sisma	-13	-1.58	2.06
Sisma	-13.2	-1.23	1.78

Design Assumption: NTC2018: SLE (Rara/Frequente/Quasi Permanente)	Risultati Paratia	Muro: LEFT	
Stage	Z (m)	Momento (kN*m/m)	Taglio (kN/m)
Sisma	-13.4	-0.93	1.51
Sisma	-13.6	-0.68	1.25
Sisma	-13.8	-0.47	1.02
Sisma	-14	-0.31	0.8
Sisma	-14.2	-0.19	0.61
Sisma	-14.4	-0.1	0.44
Sisma	-14.6	-0.04	0.29
Sisma	-14.8	-0.01	0.16
Sisma	-15	0	0.05
Design Assumption: NTC2018: SLE (Rara/Frequente/Quasi Permanente)	Risultati Paratia	Muro: LEFT	
Stage	Z (m)	Momento (kN*m/m)	Taglio (kN/m)
Sisma	0	0	0
Sisma	-0.2	0	0
Sisma	-0.2	0	0
Sisma	-0.4	-0.95	-4.73
Sisma	-0.5	-1.95	-10

4.1.11. Tabella Grafici dei Risultati

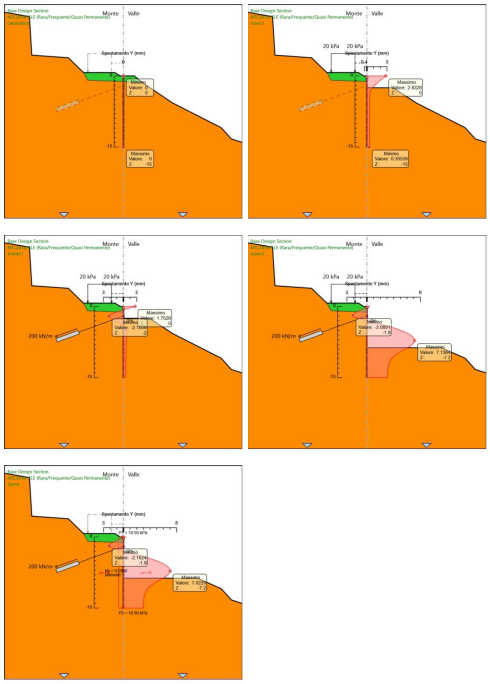

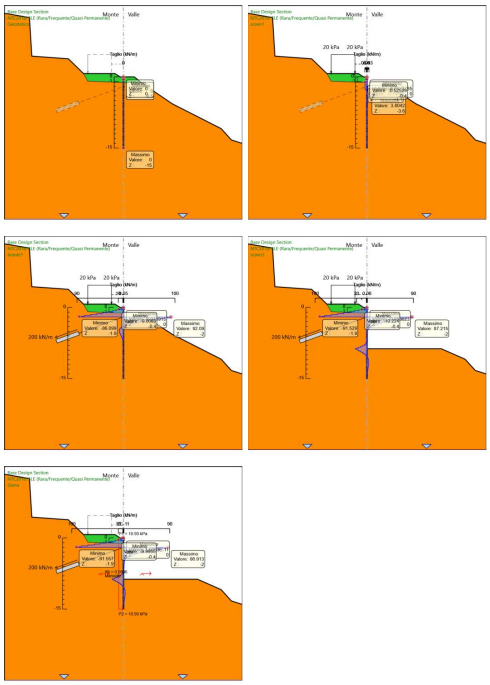

4.1.12. Risultati Elementi strutturali - NTC2018: SLE (Rara/Frequente/Quasi Permanente)

Design Assumption: NTC2018: SLE (Rara/Frequente/Quasi Permanente)	Sollecitazione tirante1
Stage	Forza (kN/m)
tirante1	200
scavo3	200.4393
Sisma	200.1659

4.2. Risultati NTC2018: A1+M1+R1 (R3 per tiranti)

4.2.1. Tabella Risultati Paratia NTC2018: A1+M1+R1 (R3 per tiranti) - Left Wall - Stage: Geostatico

Design Assumption: NTC2018: A1+M1+R1 (R3 per tiranti)	Risultati Paratia	Muro: LEFT	
Stage	Z (m)	Momento (kN*m/m)	Taglio (kN/m)
Geostatico	-0.5	0	0
Geostatico	-0.7	0	0
Geostatico	-0.9	0	0
Geostatico	-1.1	0	0
Geostatico	-1.3	0	0
Geostatico	-1.5	0	0
Geostatico	-1.7	0	0
Geostatico	-1.9	0	0
Geostatico	-2	0	0
Geostatico	-2.2	0	0
Geostatico	-2.4	0	0
Geostatico	-2.6	0	0
Geostatico	-2.8	0	0
Geostatico	-3	0	0
Geostatico	-3.2	0	0
Geostatico	-3.4	0	0
Geostatico	-3.6	0	0
Geostatico	-3.8	0	0
Geostatico	-4	0	0
Geostatico	-4.2	0	0
Geostatico	-4.4	0	0
Geostatico	-4.6	0	0
Geostatico	-4.8	0	0
Geostatico	-5	0	0
Geostatico	-5.2	0	0
Geostatico	-5.4	0	0
Geostatico	-5.6	0	0
Geostatico	-5.8	0	0
Geostatico	-6	0	0
Geostatico	-6.2	0	0
Geostatico	-6.4	0	0
Geostatico	-6.6	0	0
Geostatico	-6.8	0	0
Geostatico	-7	0	0
Geostatico	-7.2	0	0
Geostatico	-7.4	0	0
Geostatico	-7.6	0	0
Geostatico	-7.8	0	0
Geostatico	-8	0	0
Geostatico	-8.2	0	0
Geostatico	-8.4	0	0
Geostatico	-8.6	0	0
Geostatico	-8.8	0	0
Geostatico	-9	0	0
Geostatico	-9.2	0	0
Geostatico	-9.4	0	0
Geostatico	-9.6	0	0
Geostatico	-9.8	0	0
Geostatico	-10	0	0
Geostatico	-10.2	0	0
Geostatico	-10.4	0	0
Geostatico	-10.6	0	0
Geostatico	-10.8	0	0
Geostatico	-11	0	0
Geostatico	-11.2	0	0
Geostatico	-11.4	0	0
Geostatico	-11.6	0	0
Geostatico	-11.8	0	0
Geostatico	-12	0	0
Geostatico	-12.2	0	0
Geostatico	-12.4	0	0
Geostatico	-12.6	0	0

Design Assumption: NTC2018: A1+M1+R1 (R3 per tiranti)	Risultati Paratia	Muro: LEFT	
Stage	Z (m)	Momento (kN*m/m)	Taglio (kN/m)
Geostatico	-12.8	0	0
Geostatico	-13	0	0
Geostatico	-13.2	0	0
Geostatico	-13.4	0	0
Geostatico	-13.6	0	0
Geostatico	-13.8	0	0
Geostatico	-14	0	0
Geostatico	-14.2	0	0
Geostatico	-14.4	0	0
Geostatico	-14.6	0	0
Geostatico	-14.8	0	0
Geostatico	-15	0	0

Design Assumption: NTC2018: A1+M1+R1 (R3 per tiranti)	Risultati Paratia	Muro: LEFT	
Stage	Z (m)	Momento (kN*m/m)	Taglio (kN/m)
Geostatico	0	0	0
Geostatico	-0.2	0	0
Geostatico	-0.4	0	0
Geostatico	-0.5	0	0

4.2.2. Tabella Risultati Paratia NTC2018: A1+M1+R1 (R3 per tiranti) - Left Wall - Stage: scavo1

Design Assumption: NTC2018: A1+M1+R1 (R3 per tiranti)	Risultati Paratia	Muro: LEFT	
Stage	Z (m)	Momento (kN*m/m)	Taglio (kN/m)
scavo1	-0.5	-0.13	-1.2
scavo1	-0.7	-0.36	-1.2
scavo1	-0.9	-0.8	-2.16
scavo1	-1.1	-1.47	-3.39
scavo1	-1.3	-2.45	-4.9
scavo1	-1.5	-3.43	-4.9
scavo1	-1.7	-4.41	-4.9
scavo1	-1.9	-5.39	-4.9
scavo1	-2	-5.88	-4.9
scavo1	-2.2	-6.86	-4.9
scavo1	-2.4	-7.84	-4.9
scavo1	-2.6	-8.82	-4.9
scavo1	-2.8	-9.16	-1.67
scavo1	-3	-8.97	0.92
scavo1	-3.2	-8.41	2.8
scavo1	-3.4	-7.61	4.03
scavo1	-3.6	-6.67	4.72
scavo1	-3.8	-5.67	4.99
scavo1	-4	-4.68	4.94
scavo1	-4.2	-3.75	4.67
scavo1	-4.4	-2.9	4.24
scavo1	-4.6	-2.15	3.74
scavo1	-4.8	-1.51	3.2
scavo1	-5	-0.98	2.67
scavo1	-5.2	-0.54	2.16
scavo1	-5.4	-0.2	1.7
scavo1	-5.6	0.06	1.3
scavo1	-5.8	0.25	0.95
scavo1	-6	0.38	0.66
scavo1	-6.2	0.46	0.42
scavo1	-6.4	0.51	0.22
scavo1	-6.6	0.52	0.06
scavo1	-6.8	0.5	-0.08
scavo1	-7	0.46	-0.2
scavo1	-7.2	0.41	-0.27
scavo1	-7.4	0.35	-0.31
scavo1	-7.6	0.28	-0.32
scavo1	-7.8	0.22	-0.31
scavo1	-8	0.17	-0.28
scavo1	-8.2	0.11	-0.25
scavo1	-8.4	0.07	-0.22
scavo1	-8.6	0.04	-0.18
scavo1	-8.8	0.01	-0.14
scavo1	-9	-0.02	-0.11
scavo1	-9.2	-0.03	-0.08
scavo1	-9.4	-0.04	-0.06
scavo1	-9.6	-0.05	-0.04
scavo1	-9.8	-0.05	-0.02
scavo1	-10	-0.06	-0.01
scavo1	-10.2	-0.06	0
scavo1	-10.4	-0.05	0.01
scavo1	-10.6	-0.05	0.02
scavo1	-10.8	-0.05	0.02
scavo1	-11	-0.04	0.02
scavo1	-11.2	-0.04	0.02
scavo1	-11.4	-0.03	0.02
scavo1	-11.6	-0.03	0.02
scavo1	-11.8	-0.03	0.02
scavo1	-12	-0.02	0.01
scavo1	-12.2	-0.02	0.01
scavo1	-12.4	-0.02	0.01
scavo1	-12.6	-0.02	0.01
scavo1	-12.8	-0.02	0.01
scavo1	-13	-0.01	0.01
scavo1	-13.2	-0.01	0.01
scavo1	-13.4	-0.01	0.01
scavo1	-13.6	-0.01	0.01

Design Assumption: NTC2018: A1+M1+R1 (R3 per tiranti)	Risultati Paratia	Muro: LEFT	
Stage	Z (m)	Momento (kN*m/m)	Taglio (kN/m)
scavo1	-13.8	-0.01	0.01
scavo1	-14	-0.01	0.01
scavo1	-14.2	0	0.01
scavo1	-14.4	0	0.01
scavo1	-14.6	0	0.01
scavo1	-14.8	0	0
scavo1	-15	0	0
Design Assumption: NTC2018: A1+M1+R1 (R3 per tiranti)	Risultati Paratia	Muro: LEFT	
Stage	Z (m)	Momento (kN*m/m)	Taglio (kN/m)
scavo1	0	0	0
scavo1	-0.2	0	0
scavo1	-0.4	-0.06	-0.28
scavo1	-0.5	-0.13	-0.69

4.2.3. Tabella Risultati Paratia NTC2018: A1+M1+R1 (R3 per tiranti) - Left Wall - Stage: tirante1

Design Assumption: NTC2018: A1+M1+R1 (R3 per tiranti)	Risultati Paratia	Muro: LEFT	
Stage	Z (m)	Momento (kN*m/m)	Taglio (kN/m)
tirante1	-0.5	-2.4	-18.01
tirante1	-0.7	-6	-18.01
tirante1	-0.9	-11.6	-27.97
tirante1	-1.1	-19.5	-39.49
tirante1	-1.3	-29.99	-52.49
tirante1	-1.5	-43.41	-67.06
tirante1	-1.7	-59.95	-82.74
tirante1	-1.9	-79.8	-99.24
tirante1	-2	-90.99	-111.92
tirante1	-2.2	-67.05	119.73
tirante1	-2.4	-46.39	103.28
tirante1	-2.6	-28.85	87.71
tirante1	-2.8	-14.34	72.54
tirante1	-3	-2.77	57.86
tirante1	-3.2	5.99	43.79
tirante1	-3.4	12.05	30.34
tirante1	-3.6	15.9	19.21
tirante1	-3.8	17.94	10.21
tirante1	-4	18.56	3.1
tirante1	-4.2	18.08	-2.37
tirante1	-4.4	16.83	-6.28
tirante1	-4.6	15.08	-8.71
tirante1	-4.8	13.09	-9.97
tirante1	-5	11.02	-10.35
tirante1	-5.2	9	-10.08
tirante1	-5.4	7.13	-9.37
tirante1	-5.6	5.45	-8.39
tirante1	-5.8	4	-7.26
tirante1	-6	2.78	-6.09
tirante1	-6.2	1.79	-4.96
tirante1	-6.4	1.01	-3.91
tirante1	-6.6	0.41	-2.99
tirante1	-6.8	-0.03	-2.2
tirante1	-7	-0.34	-1.56
tirante1	-7.2	-0.55	-1.03
tirante1	-7.4	-0.67	-0.6
tirante1	-7.6	-0.72	-0.26
tirante1	-7.8	-0.72	-0.01
tirante1	-8	-0.69	0.16
tirante1	-8.2	-0.64	0.28
tirante1	-8.4	-0.57	0.35
tirante1	-8.6	-0.49	0.38
tirante1	-8.8	-0.41	0.39
tirante1	-9	-0.34	0.37
tirante1	-9.2	-0.27	0.34
tirante1	-9.4	-0.21	0.3
tirante1	-9.6	-0.16	0.26
tirante1	-9.8	-0.11	0.22
tirante1	-10	-0.08	0.18
tirante1	-10.2	-0.05	0.14
tirante1	-10.4	-0.03	0.1
tirante1	-10.6	-0.02	0.08
tirante1	-10.8	0	0.05
tirante1	-11	0	0.03
tirante1	-11.2	0.01	0.02
tirante1	-11.4	0.01	0.01
tirante1	-11.6	0.01	0
tirante1	-11.8	0.01	-0.01
tirante1	-12	0	-0.01
tirante1	-12.2	0	-0.01
tirante1	-12.4	0	-0.01
tirante1	-12.6	0	-0.01
tirante1	-12.8	0	-0.01
tirante1	-13	-0.01	-0.01
tirante1	-13.2	-0.01	0
tirante1	-13.4	-0.01	0
tirante1	-13.6	-0.01	0

Design Assumption: NTC2018: A1+M1+R1 (R3 per tiranti)	Risultati Paratia	Muro: LEFT	
Stage	Z (m)	Momento (kN*m/m)	Taglio (kN/m)
tirante1	-13.8	-0.01	0
tirante1	-14	0	0
tirante1	-14.2	0	0.01
tirante1	-14.4	0	0.01
tirante1	-14.6	0	0.01
tirante1	-14.8	0	0
tirante1	-15	0	0
Design Assumption: NTC2018: A1+M1+R1 (R3 per tiranti)	Risultati Paratia	Muro: LEFT	
Stage	Z (m)	Momento (kN*m/m)	Taglio (kN/m)
tirante1	0	0	-0.08
tirante1	-0.2	-0.02	-0.08
tirante1	-0.4	-1.23	-6.05
tirante1	-0.5	-2.4	-11.73

4.2.4. Tabella Risultati Paratia NTC2018: A1+M1+R1 (R3 per tiranti) - Left Wall - Stage: scavo3

Design Assumption: NTC2018: A1+M1+R1 (R3 per tiranti)	Risultati Paratia	Muro: LEFT	
Stage	Z (m)	Momento (kN*m/m)	Taglio (kN/m)
scavo3	-0.5	-2.66	-20.66
scavo3	-0.7	-6.79	-20.66
scavo3	-0.9	-13.16	-31.83
scavo3	-1.1	-22.03	-44.37
scavo3	-1.3	-33.67	-58.2
scavo3	-1.5	-48.37	-73.46
scavo3	-1.7	-66.29	-89.62
scavo3	-1.9	-87.56	-106.35
scavo3	-2	-99.46	-118.99
scavo3	-2.2	-76.78	113.4
scavo3	-2.4	-57.25	97.66
scavo3	-2.6	-40.59	83.3
scavo3	-2.8	-26.61	69.88
scavo3	-3	-15.1	57.53
scavo3	-3.2	-5.82	46.42
scavo3	-3.4	1.51	36.63
scavo3	-3.6	7.14	28.15
scavo3	-3.8	11.33	20.97
scavo3	-4	14.33	14.98
scavo3	-4.2	16.35	10.1
scavo3	-4.4	17.63	6.4
scavo3	-4.6	18.41	3.92
scavo3	-4.8	18.91	2.46
scavo3	-5	19.27	1.84
scavo3	-5.2	19.65	1.86
scavo3	-5.4	20.02	1.86
scavo3	-5.6	20.39	1.86
scavo3	-5.8	20.76	1.86
scavo3	-6	21.14	1.86
scavo3	-6.2	21.51	1.86
scavo3	-6.4	21.88	1.86
scavo3	-6.6	22.25	1.86
scavo3	-6.8	22.63	1.86
scavo3	-7	23	1.9
scavo3	-7.2	23.3	1.47
scavo3	-7.4	23.4	0.49
scavo3	-7.6	23.17	-1.13
scavo3	-7.8	22.48	-3.48
scavo3	-8	21.15	-6.64
scavo3	-8.2	19.01	-10.71
scavo3	-8.4	15.86	-15.75
scavo3	-8.6	11.49	-21.84
scavo3	-8.8	5.68	-29.04
scavo3	-9	0.75	-24.65
scavo3	-9.2	-3.24	-19.94
scavo3	-9.4	-6.33	-15.44
scavo3	-9.6	-8.6	-11.36
scavo3	-9.8	-10.15	-7.78
scavo3	-10	-11.1	-4.72
scavo3	-10.2	-11.53	-2.17
scavo3	-10.4	-11.56	-0.12
scavo3	-10.6	-11.26	1.5
scavo3	-10.8	-10.71	2.71
scavo3	-11	-10	3.58
scavo3	-11.2	-9.17	4.15
scavo3	-11.4	-8.27	4.48
scavo3	-11.6	-7.35	4.6
scavo3	-11.8	-6.44	4.56
scavo3	-12	-5.56	4.4
scavo3	-12.2	-4.73	4.15
scavo3	-12.4	-3.96	3.83
scavo3	-12.6	-3.26	3.48
scavo3	-12.8	-2.64	3.1
scavo3	-13	-2.1	2.72
scavo3	-13.2	-1.63	2.35
scavo3	-13.4	-1.23	1.99
scavo3	-13.6	-0.9	1.66

Design Assumption: NTC2018: A1+M1+R1 (R3 per tiranti)	Risultati Paratia	Muro: LEFT	
Stage	Z (m)	Momento (kN*m/m)	Taglio (kN/m)
scavo3	-13.8	-0.63	1.35
scavo3	-14	-0.42	1.07
scavo3	-14.2	-0.25	0.81
scavo3	-14.4	-0.13	0.59
scavo3	-14.6	-0.06	0.39
scavo3	-14.8	-0.01	0.22
scavo3	-15	0	0.07
Design Assumption: NTC2018: A1+M1+R1 (R3 per tiranti)	Risultati Paratia	Muro: LEFT	
Stage	Z (m)	Momento (kN*m/m)	Taglio (kN/m)
scavo3	0	0	-0.08
scavo3	-0.2	-0.02	-0.08
scavo3	-0.4	-1.33	-6.55
scavo3	-0.5	-2.66	-13.34

4.2.5. Tabella Risultati Paratia NTC2018: A1+M1+R1 (R3 per tiranti) - Left Wall - Stage: Sisma

Design Assumption: NTC2018: A1+M1+R1 (R3 per tiranti)	Risultati Paratia	Muro: LEFT	
Stage	Z (m)	Momento (kN*m/m)	Taglio (kN/m)
Sisma	-0.5	-2.53	-20.38
Sisma	-0.7	-6.6	-20.38
Sisma	-0.9	-12.93	-31.62
Sisma	-1.1	-21.77	-44.21
Sisma	-1.3	-33.39	-58.09
Sisma	-1.5	-48.07	-73.41
Sisma	-1.7	-65.99	-89.6
Sisma	-1.9	-87.26	-106.36
Sisma	-2	-99.17	-119.04
Sisma	-2.2	-76.58	112.95
Sisma	-2.4	-57.14	97.18
Sisma	-2.6	-40.58	82.8
Sisma	-2.8	-26.7	69.38
Sisma	-3	-15.29	57.06
Sisma	-3.2	-6.09	46
Sisma	-3.4	1.17	36.29
Sisma	-3.6	6.75	27.92
Sisma	-3.8	10.92	20.86
Sisma	-4	13.93	15.02
Sisma	-4.2	15.99	10.32
Sisma	-4.4	17.35	6.81
Sisma	-4.6	18.26	4.55
Sisma	-4.8	18.93	3.33
Sisma	-5	19.52	2.96
Sisma	-5.2	20.07	2.74
Sisma	-5.4	20.57	2.52
Sisma	-5.6	21.03	2.3
Sisma	-5.8	21.45	2.08
Sisma	-6	21.82	1.86
Sisma	-6.2	22.14	1.63
Sisma	-6.4	22.42	1.39
Sisma	-6.6	22.65	1.14
Sisma	-6.8	22.83	0.88
Sisma	-7	22.95	0.6
Sisma	-7.2	23.01	0.31
Sisma	-7.4	22.93	-0.38
Sisma	-7.6	22.58	-1.74
Sisma	-7.8	21.81	-3.85
Sisma	-8	20.45	-6.8
Sisma	-8.2	18.32	-10.66
Sisma	-8.4	15.22	-15.51
Sisma	-8.6	10.94	-21.42
Sisma	-8.8	5.25	-28.45
Sisma	-9	0.42	-24.13
Sisma	-9.2	-3.48	-19.48
Sisma	-9.4	-6.49	-15.05
Sisma	-9.6	-8.69	-11.03
Sisma	-9.8	-10.19	-7.51
Sisma	-10	-11.09	-4.5
Sisma	-10.2	-11.5	-2.01
Sisma	-10.4	-11.49	0.01
Sisma	-10.6	-11.18	1.59
Sisma	-10.8	-10.62	2.77
Sisma	-11	-9.9	3.61
Sisma	-11.2	-9.07	4.17
Sisma	-11.4	-8.17	4.47
Sisma	-11.6	-7.26	4.58
Sisma	-11.8	-6.35	4.54
Sisma	-12	-5.47	4.37
Sisma	-12.2	-4.65	4.11
Sisma	-12.4	-3.89	3.79
Sisma	-12.6	-3.21	3.44
Sisma	-12.8	-2.59	3.06
Sisma	-13	-2.06	2.69
Sisma	-13.2	-1.59	2.31
Sisma	-13.4	-1.2	1.96
Sisma	-13.6	-0.88	1.63

Design Assumption: NTC2018: A1+M1+R1 (R3 per tiranti)	Risultati Paratia	Muro: LEFT	
Stage	Z (m)	Momento (kN*m/m)	Taglio (kN/m)
Sisma	-13.8	-0.61	1.32
Sisma	-14	-0.4	1.04
Sisma	-14.2	-0.24	0.79
Sisma	-14.4	-0.13	0.57
Sisma	-14.6	-0.05	0.38
Sisma	-14.8	-0.01	0.21
Sisma	-15	0	0.06
Design Assumption: NTC2018: A1+M1+R1 (R3 per tiranti)	Risultati Paratia	Muro: LEFT	
Stage	Z (m)	Momento (kN*m/m)	Taglio (kN/m)
Sisma	0	0	0
Sisma	-0.2	0	0
Sisma	-0.2	0	0
Sisma	-0.4	-1.23	-6.15
Sisma	-0.5	-2.53	-13

4.2.6. Tabella Grafici dei Risultati

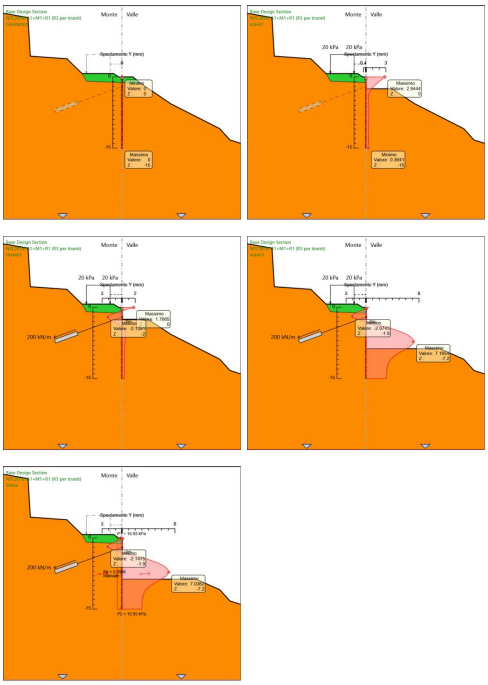

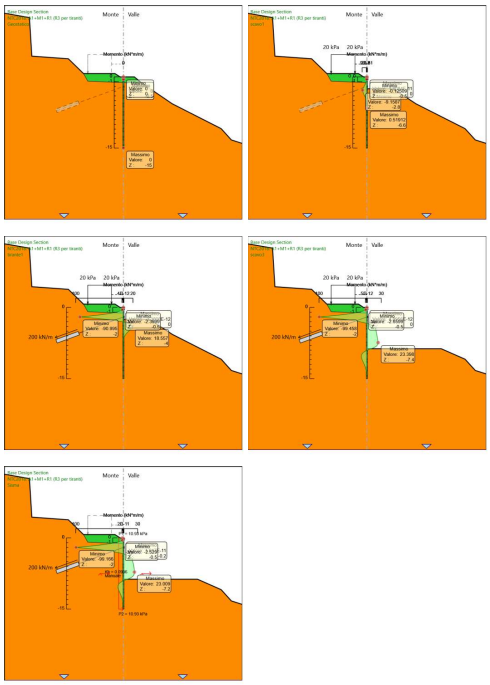

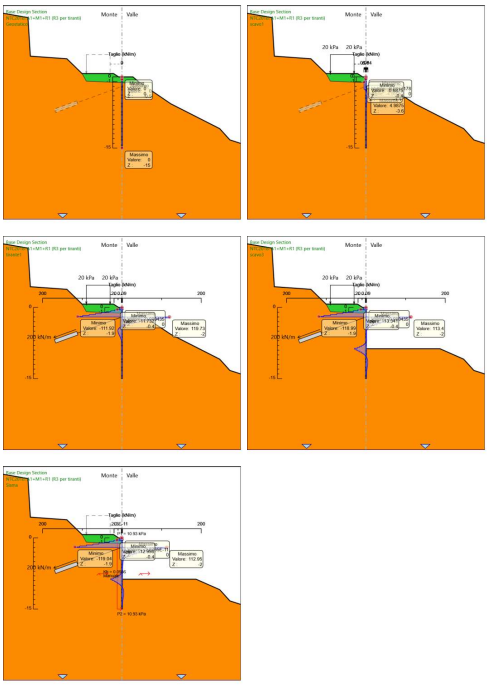

4.2.7. Risultati Elementi strutturali - NTC2018: A1+M1+R1 (R3 per tiranti)

Design Assumption: NTC2018: A1+M1+R1 (R3 per tiranti)	Sollecitazione tirante1
Stage	Forza (kN/m)
tirante1	260
scavo3	260.58916
Sisma	260.1781

4.3. Risultati NTC2018: A2+M2+R1

4.3.1. Tabella Risultati Paratia NTC2018: A2+M2+R1 - Left Wall - Stage: Geostatico

Design Assumption: NTC2018: A2+M2+R1	Risultati Paratia	Muro: LEFT	
Stage	Z (m)	Momento (kN*m/m)	Taglio (kN/m)
Geostatico	-0.5	0	0
Geostatico	-0.7	0	0
Geostatico	-0.9	0	0
Geostatico	-1.1	0	0
Geostatico	-1.3	0	0
Geostatico	-1.5	0	0
Geostatico	-1.7	0	0
Geostatico	-1.9	0	0
Geostatico	-2	0	0
Geostatico	-2.2	0	0
Geostatico	-2.4	0	0
Geostatico	-2.6	0	0
Geostatico	-2.8	0	0
Geostatico	-3	0	0
Geostatico	-3.2	0	0
Geostatico	-3.4	0	0
Geostatico	-3.6	0	0
Geostatico	-3.8	0	0
Geostatico	-4	0	0
Geostatico	-4.2	0	0
Geostatico	-4.4	0	0
Geostatico	-4.6	0	0
Geostatico	-4.8	0	0
Geostatico	-5	0	0
Geostatico	-5.2	0	0
Geostatico	-5.4	0	0
Geostatico	-5.6	0	0
Geostatico	-5.8	0	0
Geostatico	-6	0	0
Geostatico	-6.2	0	0
Geostatico	-6.4	0	0
Geostatico	-6.6	0	0
Geostatico	-6.8	0	0
Geostatico	-7	0	0
Geostatico	-7.2	0	0
Geostatico	-7.4	0	0
Geostatico	-7.6	0	0
Geostatico	-7.8	0	0
Geostatico	-8	0	0
Geostatico	-8.2	0	0
Geostatico	-8.4	0	0
Geostatico	-8.6	0	0
Geostatico	-8.8	0	0
Geostatico	-9	0	0
Geostatico	-9.2	0	0
Geostatico	-9.4	0	0
Geostatico	-9.6	0	0
Geostatico	-9.8	0	0
Geostatico	-10	0	0
Geostatico	-10.2	0	0
Geostatico	-10.4	0	0
Geostatico	-10.6	0	0
Geostatico	-10.8	0	0
Geostatico	-11	0	0
Geostatico	-11.2	0	0
Geostatico	-11.4	0	0
Geostatico	-11.6	0	0
Geostatico	-11.8	0	0
Geostatico	-12	0	0
Geostatico	-12.2	0	0
Geostatico	-12.4	0	0
Geostatico	-12.6	0	0
Geostatico	-12.8	0	0
Geostatico	-13	0	0

Design Assumption: NTC2018: A2+M2+R1	Risultati Paratia	Muro: LEFT	
Stage	Z (m)	Momento (kN*m/m)	Taglio (kN/m)
Geostatico	-13.2	0	0
Geostatico	-13.4	0	0
Geostatico	-13.6	0	0
Geostatico	-13.8	0	0
Geostatico	-14	0	0
Geostatico	-14.2	0	0
Geostatico	-14.4	0	0
Geostatico	-14.6	0	0
Geostatico	-14.8	0	0
Geostatico	-15	0	0
Design Assumption: NTC2018: A2+M2+R1	Risultati Paratia	Muro: LEFT	
Stage	Z (m)	Momento (kN*m/m)	Taglio (kN/m)
Geostatico	0	0	0
Geostatico	-0.2	0	0
Geostatico	-0.4	0	0
Geostatico	-0.5	0	0

4.3.2. Tabella Risultati Paratia NTC2018: A2+M2+R1 - Left Wall - Stage: scavo1

Design Assumption: NTC2018: A2+M2+R1 Risultati Paratia		Muro: LEFT	
Stage	Z (m)	Momento (kN*m/m)	Taglio (kN/m)
scavo1	-0.5	-0.12	-1.16
scavo1	-0.7	-0.35	-1.16
scavo1	-0.9	-0.77	-2.09
scavo1	-1.1	-1.43	-3.28
scavo1	-1.3	-2.38	-4.74
scavo1	-1.5	-3.32	-4.74
scavo1	-1.7	-4.27	-4.74
scavo1	-1.9	-5.22	-4.74
scavo1	-2	-5.7	-4.74
scavo1	-2.2	-6.64	-4.74
scavo1	-2.4	-7.59	-4.74
scavo1	-2.6	-8.54	-4.74
scavo1	-2.8	-8.85	-1.56
scavo1	-3	-8.66	0.95
scavo1	-3.2	-8.12	2.74
scavo1	-3.4	-7.33	3.91
scavo1	-3.6	-6.42	4.57
scavo1	-3.8	-5.46	4.82
scavo1	-4	-4.5	4.77
scavo1	-4.2	-3.6	4.5
scavo1	-4.4	-2.78	4.09
scavo1	-4.6	-2.06	3.6
scavo1	-4.8	-1.45	3.09
scavo1	-5	-0.93	2.57
scavo1	-5.2	-0.52	2.08
scavo1	-5.4	-0.19	1.64
scavo1	-5.6	0.06	1.25
scavo1	-5.8	0.24	0.91
scavo1	-6	0.37	0.63
scavo1	-6.2	0.45	0.4
scavo1	-6.4	0.49	0.21
scavo1	-6.6	0.5	0.05
scavo1	-6.8	0.49	-0.08
scavo1	-7	0.45	-0.19
scavo1	-7.2	0.4	-0.26
scavo1	-7.4	0.34	-0.29
scavo1	-7.6	0.28	-0.3
scavo1	-7.8	0.22	-0.29
scavo1	-8	0.16	-0.27
scavo1	-8.2	0.12	-0.24
scavo1	-8.4	0.07	-0.21
scavo1	-8.6	0.04	-0.17
scavo1	-8.8	0.01	-0.14
scavo1	-9	-0.01	-0.11
scavo1	-9.2	-0.03	-0.08
scavo1	-9.4	-0.04	-0.06
scavo1	-9.6	-0.04	-0.04
scavo1	-9.8	-0.05	-0.02
scavo1	-10	-0.05	-0.01
scavo1	-10.2	-0.05	0
scavo1	-10.4	-0.05	0.01
scavo1	-10.6	-0.04	0.01
scavo1	-10.8	-0.04	0.02
scavo1	-11	-0.04	0.02
scavo1	-11.2	-0.03	0.02
scavo1	-11.4	-0.03	0.02
scavo1	-11.6	-0.03	0.02
scavo1	-11.8	-0.02	0.02
scavo1	-12	-0.02	0.01
scavo1	-12.2	-0.02	0.01
scavo1	-12.4	-0.02	0.01
scavo1	-12.6	-0.01	0.01
scavo1	-12.8	-0.01	0.01
scavo1	-13	-0.01	0.01
scavo1	-13.2	-0.01	0.01
scavo1	-13.4	-0.01	0.01
scavo1	-13.6	-0.01	0.01

Design Assumption: NTC2018: A2+M2+R1 Risultati Paratia		Muro: LEFT	
Stage	Z (m)	Momento (kN*m/m)	Taglio (kN/m)
scavo1	-13.8	-0.01	0.01
scavo1	-14	0	0.01
scavo1	-14.2	0	0.01
scavo1	-14.4	0	0.01
scavo1	-14.6	0	0
scavo1	-14.8	0	0
scavo1	-15	0	0
Design Assumption: NTC2018: A2+M2+R1 Risultati Paratia		Muro: LEFT	
Stage	Z (m)	Momento (kN*m/m)	Taglio (kN/m)
scavo1	0	0	0
scavo1	-0.2	0	0
scavo1	-0.4	-0.05	-0.27
scavo1	-0.5	-0.12	-0.67

4.3.3. Tabella Risultati Paratia NTC2018: A2+M2+R1 - Left Wall - Stage: tirante1

Design Assumption: NTC2018: A2+M2+R1 Risultati Paratia		Muro: LEFT	
Stage	Z (m)	Momento (kN*m/m)	Taglio (kN/m)
tirante1	-0.5	-1.56	-13.96
tirante1	-0.7	-4.36	-13.96
tirante1	-0.9	-8.82	-22.3
tirante1	-1.1	-15.16	-31.71
tirante1	-1.3	-23.58	-42.14
tirante1	-1.5	-34.24	-53.28
tirante1	-1.7	-47.27	-65.14
tirante1	-1.9	-62.77	-77.49
tirante1	-2	-71.46	-86.92
tirante1	-2.2	-53.14	91.62
tirante1	-2.4	-37.25	79.45
tirante1	-2.6	-23.66	67.95
tirante1	-2.8	-12.31	56.73
tirante1	-3	-3.15	45.78
tirante1	-3.2	3.89	35.21
tirante1	-3.4	8.89	25.03
tirante1	-3.6	12.11	16.1
tirante1	-3.8	13.88	8.86
tirante1	-4	14.51	3.12
tirante1	-4.2	14.25	-1.29
tirante1	-4.4	13.35	-4.49
tirante1	-4.6	12.05	-6.52
tirante1	-4.8	10.52	-7.63
tirante1	-5	8.92	-8.02
tirante1	-5.2	7.34	-7.89
tirante1	-5.4	5.86	-7.39
tirante1	-5.6	4.53	-6.66
tirante1	-5.8	3.37	-5.81
tirante1	-6	2.39	-4.91
tirante1	-6.2	1.58	-4.03
tirante1	-6.4	0.94	-3.21
tirante1	-6.6	0.44	-2.48
tirante1	-6.8	0.07	-1.85
tirante1	-7	-0.2	-1.34
tirante1	-7.2	-0.38	-0.91
tirante1	-7.4	-0.49	-0.56
tirante1	-7.6	-0.55	-0.28
tirante1	-7.8	-0.56	-0.07
tirante1	-8	-0.55	0.08
tirante1	-8.2	-0.51	0.19
tirante1	-8.4	-0.46	0.25
tirante1	-8.6	-0.4	0.29
tirante1	-8.8	-0.34	0.3
tirante1	-9	-0.28	0.29
tirante1	-9.2	-0.23	0.27
tirante1	-9.4	-0.18	0.24
tirante1	-9.6	-0.14	0.21
tirante1	-9.8	-0.1	0.18
tirante1	-10	-0.07	0.15
tirante1	-10.2	-0.05	0.12
tirante1	-10.4	-0.03	0.09
tirante1	-10.6	-0.02	0.07
tirante1	-10.8	-0.01	0.05
tirante1	-11	0	0.03
tirante1	-11.2	0	0.02
tirante1	-11.4	0	0.01
tirante1	-11.6	0	0
tirante1	-11.8	0	0
tirante1	-12	0	-0.01
tirante1	-12.2	0	-0.01
tirante1	-12.4	0	-0.01
tirante1	-12.6	0	-0.01
tirante1	-12.8	0	-0.01
tirante1	-13	0	0
tirante1	-13.2	-0.01	0
tirante1	-13.4	-0.01	0
tirante1	-13.6	-0.01	0

Design Assumption: NTC2018: A2+M2+R1 Risultati Paratia		Muro: LEFT	
Stage	Z (m)	Momento (kN*m/m)	Taglio (kN/m)
tirante1	-13.8	0	0
tirante1	-14	0	0
tirante1	-14.2	0	0
tirante1	-14.4	0	0.01
tirante1	-14.6	0	0
tirante1	-14.8	0	0
tirante1	-15	0	0
Design Assumption: NTC2018: A2+M2+R1 Risultati Paratia		Muro: LEFT	
Stage	Z (m)	Momento (kN*m/m)	Taglio (kN/m)
tirante1	0	0	-0.05
tirante1	-0.2	-0.01	-0.05
tirante1	-0.4	-0.71	-3.51
tirante1	-0.5	-1.56	-8.53

4.3.4. Tabella Risultati Paratia NTC2018: A2+M2+R1 - Left Wall - Stage: scavo3

Design Assumption: NTC2018: A2+M2+R1 Risultati Paratia		Muro: LEFT	
Stage	Z (m)	Momento (kN*m/m)	Taglio (kN/m)
scavo3	-0.5	-1.58	-15.08
scavo3	-0.7	-4.59	-15.08
scavo3	-0.9	-9.51	-24.61
scavo3	-1.1	-16.52	-35.03
scavo3	-1.3	-25.78	-46.29
scavo3	-1.5	-37.41	-58.14
scavo3	-1.7	-51.5	-70.49
scavo3	-1.9	-68.13	-83.12
scavo3	-2	-77.39	-92.58
scavo3	-2.2	-60.13	86.29
scavo3	-2.4	-45.2	74.62
scavo3	-2.6	-32.4	64.03
scavo3	-2.8	-21.57	54.16
scavo3	-3	-12.56	45.04
scavo3	-3.2	-5.2	36.8
scavo3	-3.4	0.7	29.49
scavo3	-3.6	5.33	23.13
scavo3	-3.8	8.86	17.69
scavo3	-4	11.49	13.11
scavo3	-4.2	13.35	9.34
scavo3	-4.4	14.63	6.4
scavo3	-4.6	15.5	4.35
scavo3	-4.8	16.11	3.04
scavo3	-5	16.58	2.35
scavo3	-5.2	17.01	2.13
scavo3	-5.4	17.44	2.13
scavo3	-5.6	17.86	2.13
scavo3	-5.8	18.29	2.13
scavo3	-6	18.72	2.13
scavo3	-6.2	19.14	2.13
scavo3	-6.4	19.57	2.13
scavo3	-6.6	20	2.13
scavo3	-6.8	20.42	2.14
scavo3	-7	20.79	1.81
scavo3	-7.2	21.01	1.11
scavo3	-7.4	21	-0.05
scavo3	-7.6	20.66	-1.72
scavo3	-7.8	19.86	-3.98
scavo3	-8	18.48	-6.91
scavo3	-8.2	16.37	-10.56
scavo3	-8.4	13.37	-14.99
scavo3	-8.6	9.31	-20.27
scavo3	-8.8	4.03	-26.43
scavo3	-9	-0.39	-22.06
scavo3	-9.2	-3.9	-17.58
scavo3	-9.4	-6.58	-13.39
scavo3	-9.6	-8.51	-9.65
scavo3	-9.8	-9.79	-6.4
scavo3	-10	-10.52	-3.66
scavo3	-10.2	-10.8	-1.4
scavo3	-10.4	-10.72	0.41
scavo3	-10.6	-10.36	1.8
scavo3	-10.8	-9.79	2.84
scavo3	-11	-9.08	3.56
scavo3	-11.2	-8.27	4.02
scavo3	-11.4	-7.42	4.26
scavo3	-11.6	-6.56	4.32
scavo3	-11.8	-5.71	4.24
scavo3	-12	-4.9	4.05
scavo3	-12.2	-4.14	3.79
scavo3	-12.4	-3.45	3.48
scavo3	-12.6	-2.82	3.13
scavo3	-12.8	-2.27	2.77
scavo3	-13	-1.79	2.41
scavo3	-13.2	-1.37	2.07
scavo3	-13.4	-1.03	1.73
scavo3	-13.6	-0.74	1.43

Design Assumption: NTC2018: A2+M2+R1 Risultati Paratia		Muro: LEFT	
Stage	Z (m)	Momento (kN*m/m)	Taglio (kN/m)
scavo3	-13.8	-0.51	1.15
scavo3	-14	-0.33	0.89
scavo3	-14.2	-0.2	0.67
scavo3	-14.4	-0.1	0.47
scavo3	-14.6	-0.04	0.31
scavo3	-14.8	-0.01	0.16
scavo3	-15	0	0.05
Design Assumption: NTC2018: A2+M2+R1 Risultati Paratia		**Muro: LEFT**	
Stage	**Z (m)**	**Momento (kN*m/m)**	**Taglio (kN/m)**
scavo3	0	0	-0.05
scavo3	-0.2	-0.01	-0.05
scavo3	-0.4	-0.71	-3.51
scavo3	-0.5	-1.58	-8.65

4.3.5. Tabella Risultati Paratia NTC2018: A2+M2+R1 - Left Wall - Stage: Sisma

Design Assumption: NTC2018: A2+M2+R1 Risultati Paratia		Muro: LEFT	
Stage	Z (m)	Momento (kN*m/m)	Taglio (kN/m)
Sisma	-0.5	-1.47	-14.28
Sisma	-0.7	-4.33	-14.28
Sisma	-0.9	-9.12	-23.96
Sisma	-1.1	-16.02	-34.51
Sisma	-1.3	-25.2	-45.88
Sisma	-1.5	-36.76	-57.84
Sisma	-1.7	-50.82	-70.27
Sisma	-1.9	-67.41	-82.97
Sisma	-2	-76.66	-92.47
Sisma	-2.2	-59.49	85.84
Sisma	-2.4	-44.67	74.11
Sisma	-2.6	-31.97	63.47
Sisma	-2.8	-21.26	53.58
Sisma	-3	-12.36	44.48
Sisma	-3.2	-5.11	36.27
Sisma	-3.4	0.7	29.02
Sisma	-3.6	5.25	22.74
Sisma	-3.8	8.73	17.41
Sisma	-4	11.32	12.96
Sisma	-4.2	13.19	9.34
Sisma	-4.4	14.5	6.55
Sisma	-4.6	15.43	4.68
Sisma	-4.8	16.15	3.57
Sisma	-5	16.77	3.09
Sisma	-5.2	17.34	2.88
Sisma	-5.4	17.87	2.67
Sisma	-5.6	18.36	2.45
Sisma	-5.8	18.81	2.24
Sisma	-6	19.21	2.02
Sisma	-6.2	19.57	1.79
Sisma	-6.4	19.88	1.55
Sisma	-6.6	20.14	1.3
Sisma	-6.8	20.35	1.04
Sisma	-7	20.51	0.77
Sisma	-7.2	20.57	0.31
Sisma	-7.4	20.44	-0.62
Sisma	-7.6	20.03	-2.08
Sisma	-7.8	19.2	-4.15
Sisma	-8	17.82	-6.9
Sisma	-8.2	15.74	-10.38
Sisma	-8.4	12.81	-14.65
Sisma	-8.6	8.86	-19.77
Sisma	-8.8	3.7	-25.78
Sisma	-9	-0.6	-21.51
Sisma	-9.2	-4.03	-17.12
Sisma	-9.4	-6.63	-13.02
Sisma	-9.6	-8.5	-9.35
Sisma	-9.8	-9.73	-6.17
Sisma	-10	-10.43	-3.49
Sisma	-10.2	-10.69	-1.28
Sisma	-10.4	-10.59	0.48
Sisma	-10.6	-10.22	1.84
Sisma	-10.8	-9.65	2.85
Sisma	-11	-8.94	3.55
Sisma	-11.2	-8.14	3.99
Sisma	-11.4	-7.3	4.22
Sisma	-11.6	-6.45	4.27
Sisma	-11.8	-5.61	4.18
Sisma	-12	-4.81	4
Sisma	-12.2	-4.06	3.73
Sisma	-12.4	-3.38	3.42
Sisma	-12.6	-2.76	3.08
Sisma	-12.8	-2.22	2.72
Sisma	-13	-1.75	2.37
Sisma	-13.2	-1.34	2.03
Sisma	-13.4	-1	1.7
Sisma	-13.6	-0.72	1.4

Design Assumption: NTC2018: A2+M2+R1 Risultati Paratia		Muro: LEFT	
Stage	Z (m)	Momento (kN*m/m)	Taglio (kN/m)
Sisma	-13.8	-0.5	1.12
Sisma	-14	-0.32	0.87
Sisma	-14.2	-0.19	0.65
Sisma	-14.4	-0.1	0.46
Sisma	-14.6	-0.04	0.3
Sisma	-14.8	-0.01	0.16
Sisma	-15	0	0.05
Design Assumption: NTC2018: A2+M2+R1 Risultati Paratia		**Muro: LEFT**	
Stage	**Z (m)**	**Momento (kN*m/m)**	**Taglio (kN/m)**
Sisma	0	0	0
Sisma	-0.2	0	0
Sisma	-0.2	0	0
Sisma	-0.4	-0.65	-3.26
Sisma	-0.5	-1.47	-8.16

4.3.6. Tabella Grafici dei Risultati

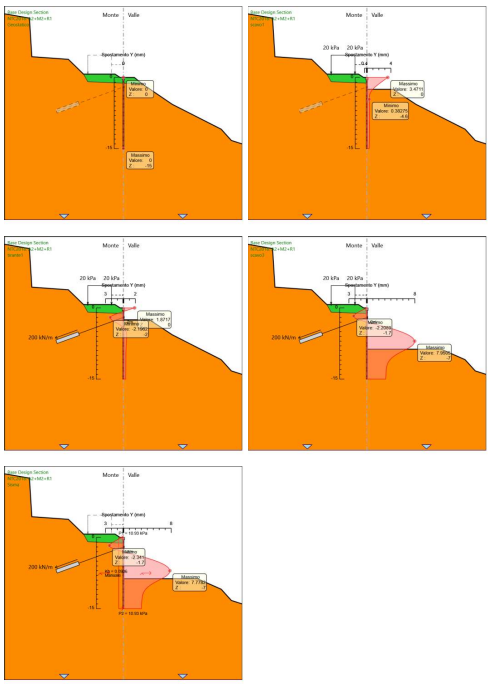

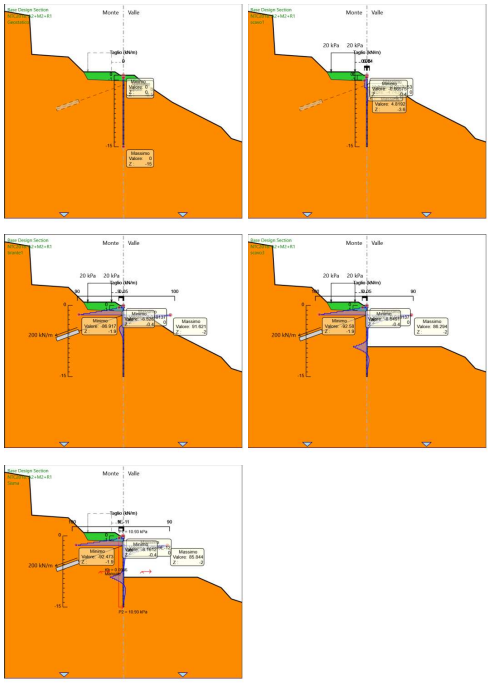

4.3.7. Risultati Elementi strutturali - NTC2018: A2+M2+R1

Design Assumption: NTC2018: A2+M2+R1	Sollecitazione tirante1
Stage	Forza (kN/m)
tirante1	200
scavo3	200.2737
Sisma	199.7446

4.4. Risultati NTC2018: SISMICA STR

4.4.1. Tabella Risultati Paratia NTC2018: SISMICA STR - Left Wall - Stage: Geostatico

Design Assumption: NTC2018: SISMICA STR	Risultati Paratia	Muro: LEFT	
Stage	Z (m)	Momento (kN*m/m)	Taglio (kN/m)
Geostatico	-0.5	0	0
Geostatico	-0.7	0	0
Geostatico	-0.9	0	0
Geostatico	-1.1	0	0
Geostatico	-1.3	0	0
Geostatico	-1.5	0	0
Geostatico	-1.7	0	0
Geostatico	-1.9	0	0
Geostatico	-2	0	0
Geostatico	-2.2	0	0
Geostatico	-2.4	0	0
Geostatico	-2.6	0	0
Geostatico	-2.8	0	0
Geostatico	-3	0	0
Geostatico	-3.2	0	0
Geostatico	-3.4	0	0
Geostatico	-3.6	0	0
Geostatico	-3.8	0	0
Geostatico	-4	0	0
Geostatico	-4.2	0	0
Geostatico	-4.4	0	0
Geostatico	-4.6	0	0
Geostatico	-4.8	0	0
Geostatico	-5	0	0
Geostatico	-5.2	0	0
Geostatico	-5.4	0	0
Geostatico	-5.6	0	0
Geostatico	-5.8	0	0
Geostatico	-6	0	0
Geostatico	-6.2	0	0
Geostatico	-6.4	0	0
Geostatico	-6.6	0	0
Geostatico	-6.8	0	0
Geostatico	-7	0	0
Geostatico	-7.2	0	0
Geostatico	-7.4	0	0
Geostatico	-7.6	0	0
Geostatico	-7.8	0	0
Geostatico	-8	0	0
Geostatico	-8.2	0	0
Geostatico	-8.4	0	0
Geostatico	-8.6	0	0
Geostatico	-8.8	0	0
Geostatico	-9	0	0
Geostatico	-9.2	0	0
Geostatico	-9.4	0	0
Geostatico	-9.6	0	0
Geostatico	-9.8	0	0
Geostatico	-10	0	0
Geostatico	-10.2	0	0
Geostatico	-10.4	0	0
Geostatico	-10.6	0	0
Geostatico	-10.8	0	0
Geostatico	-11	0	0
Geostatico	-11.2	0	0
Geostatico	-11.4	0	0
Geostatico	-11.6	0	0
Geostatico	-11.8	0	0
Geostatico	-12	0	0
Geostatico	-12.2	0	0
Geostatico	-12.4	0	0
Geostatico	-12.6	0	0
Geostatico	-12.8	0	0
Geostatico	-13	0	0

Design Assumption: NTC2018: SISMICA STR	Risultati Paratia	Muro: LEFT	
Stage	Z (m)	Momento (kN*m/m)	Taglio (kN/m)
Geostatico	-13.2	0	0
Geostatico	-13.4	0	0
Geostatico	-13.6	0	0
Geostatico	-13.8	0	0
Geostatico	-14	0	0
Geostatico	-14.2	0	0
Geostatico	-14.4	0	0
Geostatico	-14.6	0	0
Geostatico	-14.8	0	0
Geostatico	-15	0	0
Design Assumption: NTC2018: SISMICA STR	Risultati Paratia	Muro: LEFT	
Stage	Z (m)	Momento (kN*m/m)	Taglio (kN/m)
Geostatico	0	0	0
Geostatico	-0.2	0	0
Geostatico	-0.4	0	0
Geostatico	-0.5	0	0

4.4.2. Tabella Risultati Paratia NTC2018: SISMICA STR - Left Wall - Stage: scavo1

Design Assumption: NTC2018: SISMICA STR	Risultati Paratia	Muro: LEFT	
Stage	Z (m)	Momento (kN*m/m)	Taglio (kN/m)
scavo1	-0.5	-0.1	-0.92
scavo1	-0.7	-0.28	-0.92
scavo1	-0.9	-0.61	-1.65
scavo1	-1.1	-1.13	-2.59
scavo1	-1.3	-1.88	-3.75
scavo1	-1.5	-2.62	-3.75
scavo1	-1.7	-3.37	-3.75
scavo1	-1.9	-4.12	-3.75
scavo1	-2	-4.5	-3.75
scavo1	-2.2	-5.25	-3.75
scavo1	-2.4	-6	-3.75
scavo1	-2.6	-6.75	-3.75
scavo1	-2.8	-7	-1.28
scavo1	-3	-6.86	0.7
scavo1	-3.2	-6.44	2.13
scavo1	-3.4	-5.82	3.07
scavo1	-3.6	-5.1	3.6
scavo1	-3.8	-4.34	3.8
scavo1	-4	-3.59	3.77
scavo1	-4.2	-2.88	3.56
scavo1	-4.4	-2.23	3.24
scavo1	-4.6	-1.66	2.86
scavo1	-4.8	-1.17	2.45
scavo1	-5	-0.76	2.04
scavo1	-5.2	-0.43	1.65
scavo1	-5.4	-0.17	1.3
scavo1	-5.6	0.03	0.99
scavo1	-5.8	0.17	0.72
scavo1	-6	0.27	0.5
scavo1	-6.2	0.33	0.32
scavo1	-6.4	0.37	0.17
scavo1	-6.6	0.38	0.04
scavo1	-6.8	0.36	-0.06
scavo1	-7	0.34	-0.14
scavo1	-7.2	0.3	-0.2
scavo1	-7.4	0.25	-0.22
scavo1	-7.6	0.21	-0.23
scavo1	-7.8	0.16	-0.22
scavo1	-8	0.12	-0.21
scavo1	-8.2	0.08	-0.18
scavo1	-8.4	0.05	-0.16
scavo1	-8.6	0.03	-0.13
scavo1	-8.8	0	-0.1
scavo1	-9	-0.01	-0.08
scavo1	-9.2	-0.02	-0.06
scavo1	-9.4	-0.03	-0.04
scavo1	-9.6	-0.04	-0.03
scavo1	-9.8	-0.04	-0.01
scavo1	-10	-0.04	0
scavo1	-10.2	-0.04	0
scavo1	-10.4	-0.04	0.01
scavo1	-10.6	-0.04	0.01
scavo1	-10.8	-0.03	0.01
scavo1	-11	-0.03	0.01
scavo1	-11.2	-0.03	0.01
scavo1	-11.4	-0.02	0.01
scavo1	-11.6	-0.02	0.01
scavo1	-11.8	-0.02	0.01
scavo1	-12	-0.02	0.01
scavo1	-12.2	-0.02	0.01
scavo1	-12.4	-0.01	0.01
scavo1	-12.6	-0.01	0.01
scavo1	-12.8	-0.01	0.01
scavo1	-13	-0.01	0.01
scavo1	-13.2	-0.01	0.01
scavo1	-13.4	-0.01	0.01
scavo1	-13.6	-0.01	0.01

Design Assumption: NTC2018: SISMICA STR	Risultati Paratia	Muro: LEFT	
Stage	Z (m)	Momento (kN*m/m)	Taglio (kN/m)
scavo1	-13.8	0	0.01
scavo1	-14	0	0.01
scavo1	-14.2	0	0.01
scavo1	-14.4	0	0
scavo1	-14.6	0	0
scavo1	-14.8	0	0
scavo1	-15	0	0
Design Assumption: NTC2018: SISMICA STR	Risultati Paratia	Muro: LEFT	
Stage	Z (m)	Momento (kN*m/m)	Taglio (kN/m)
scavo1	0	0	0
scavo1	-0.2	0	0
scavo1	-0.2	0	0
scavo1	-0.4	-0.04	-0.21
scavo1	-0.5	-0.1	-0.53

4.4.3. Tabella Risultati Paratia NTC2018: SISMICA STR - Left Wall - Stage: tirante1

Design Assumption: NTC2018: SISMICA STR	Risultati Paratia	Muro: LEFT	
Stage	Z (m)	Momento (kN*m/m)	Taglio (kN/m)
tirante1	-0.5	-1.84	-13.84
tirante1	-0.7	-4.61	-13.84
tirante1	-0.9	-8.91	-21.51
tirante1	-1.1	-14.98	-30.37
tirante1	-1.3	-23.06	-40.37
tirante1	-1.5	-33.37	-51.58
tirante1	-1.7	-46.1	-63.65
tirante1	-1.9	-61.37	-76.35
tirante1	-2	-69.98	-86.1
tirante1	-2.2	-51.57	92.09
tirante1	-2.4	-35.68	79.43
tirante1	-2.6	-22.19	67.45
tirante1	-2.8	-11.03	55.78
tirante1	-3	-2.13	44.5
tirante1	-3.2	4.6	33.68
tirante1	-3.4	9.28	23.36
tirante1	-3.6	12.23	14.79
tirante1	-3.8	13.81	7.86
tirante1	-4	14.29	2.4
tirante1	-4.2	13.92	-1.81
tirante1	-4.4	12.96	-4.82
tirante1	-4.6	11.62	-6.7
tirante1	-4.8	10.08	-7.68
tirante1	-5	8.49	-7.98
tirante1	-5.2	6.93	-7.77
tirante1	-5.4	5.49	-7.23
tirante1	-5.6	4.19	-6.47
tirante1	-5.8	3.07	-5.61
tirante1	-6	2.13	-4.71
tirante1	-6.2	1.36	-3.83
tirante1	-6.4	0.76	-3.03
tirante1	-6.6	0.3	-2.31
tirante1	-6.8	-0.04	-1.7
tirante1	-7	-0.28	-1.2
tirante1	-7.2	-0.44	-0.78
tirante1	-7.4	-0.53	-0.45
tirante1	-7.6	-0.57	-0.19
tirante1	-7.8	-0.57	0
tirante1	-8	-0.54	0.14
tirante1	-8.2	-0.5	0.23
tirante1	-8.4	-0.44	0.28
tirante1	-8.6	-0.38	0.3
tirante1	-8.8	-0.32	0.3
tirante1	-9	-0.26	0.29
tirante1	-9.2	-0.21	0.27
tirante1	-9.4	-0.16	0.23
tirante1	-9.6	-0.12	0.2
tirante1	-9.8	-0.09	0.17
tirante1	-10	-0.06	0.14
tirante1	-10.2	-0.04	0.11
tirante1	-10.4	-0.02	0.08
tirante1	-10.6	-0.01	0.06
tirante1	-10.8	0	0.04
tirante1	-11	0	0.02
tirante1	-11.2	0.01	0.01
tirante1	-11.4	0.01	0
tirante1	-11.6	0.01	0
tirante1	-11.8	0.01	-0.01
tirante1	-12	0	-0.01
tirante1	-12.2	0	-0.01
tirante1	-12.4	0	-0.01
tirante1	-12.6	0	-0.01
tirante1	-12.8	0	-0.01
tirante1	-13	0	-0.01
tirante1	-13.2	0	0
tirante1	-13.4	0	0
tirante1	-13.6	0	0

Design Assumption: NTC2018: SISMICA STR	Risultati Paratia	Muro: LEFT	
Stage	Z (m)	Momento (kN*m/m)	Taglio (kN/m)
tirante1	-13.8	0	0
tirante1	-14	0	0
tirante1	-14.2	0	0
tirante1	-14.4	0	0
tirante1	-14.6	0	0
tirante1	-14.8	0	0
tirante1	-15	0	0
Design Assumption: NTC2018: SISMICA STR	Risultati Paratia	Muro: LEFT	
Stage	Z (m)	Momento (kN*m/m)	Taglio (kN/m)
tirante1	0	0	-0.04
tirante1	-0.2	-0.01	-0.04
tirante1	-0.4	-0.94	-4.64
tirante1	-0.5	-1.84	-9.01

4.4.4. Tabella Risultati Paratia NTC2018: SISMICA STR - Left Wall - Stage: scavo3

Design Assumption: NTC2018: SISMICA STR	Risultati Paratia	Muro: LEFT	
Stage	Z (m)	Momento (kN*m/m)	Taglio (kN/m)
scavo3	-0.5	-2.03	-15.86
scavo3	-0.7	-5.2	-15.86
scavo3	-0.9	-10.1	-24.46
scavo3	-1.1	-16.92	-34.1
scavo3	-1.3	-25.86	-44.74
scavo3	-1.5	-37.16	-56.49
scavo3	-1.7	-50.95	-68.92
scavo3	-1.9	-67.3	-81.8
scavo3	-2	-76.46	-91.53
scavo3	-2.2	-59.01	87.22
scavo3	-2.4	-44	75.09
scavo3	-2.6	-31.19	64.04
scavo3	-2.8	-20.45	53.71
scavo3	-3	-11.61	44.2
scavo3	-3.2	-4.48	35.66
scavo3	-3.4	1.15	28.12
scavo3	-3.6	5.47	21.61
scavo3	-3.8	8.69	16.1
scavo3	-4	10.99	11.51
scavo3	-4.2	12.55	7.78
scavo3	-4.4	13.53	4.93
scavo3	-4.6	14.14	3.02
scavo3	-4.8	14.52	1.9
scavo3	-5	14.8	1.42
scavo3	-5.2	15.08	1.42
scavo3	-5.4	15.37	1.42
scavo3	-5.6	15.65	1.42
scavo3	-5.8	15.93	1.42
scavo3	-6	16.22	1.42
scavo3	-6.2	16.5	1.42
scavo3	-6.4	16.78	1.42
scavo3	-6.6	17.07	1.42
scavo3	-6.8	17.35	1.42
scavo3	-7	17.63	1.42
scavo3	-7.2	17.85	1.11
scavo3	-7.4	17.93	0.37
scavo3	-7.6	17.75	-0.86
scavo3	-7.8	17.22	-2.65
scavo3	-8	16.21	-5.07
scavo3	-8.2	14.57	-8.18
scavo3	-8.4	12.16	-12.05
scavo3	-8.6	8.82	-16.71
scavo3	-8.8	4.38	-22.23
scavo3	-9	0.6	-18.88
scavo3	-9.2	-2.46	-15.28
scavo3	-9.4	-4.82	-11.84
scavo3	-9.6	-6.57	-8.71
scavo3	-9.8	-7.76	-5.97
scavo3	-10	-8.49	-3.63
scavo3	-10.2	-8.82	-1.68
scavo3	-10.4	-8.84	-0.1
scavo3	-10.6	-8.62	1.14
scavo3	-10.8	-8.2	2.07
scavo3	-11	-7.66	2.74
scavo3	-11.2	-7.02	3.17
scavo3	-11.4	-6.34	3.42
scavo3	-11.6	-5.63	3.52
scavo3	-11.8	-4.93	3.49
scavo3	-12	-4.26	3.37
scavo3	-12.2	-3.62	3.18
scavo3	-12.4	-3.04	2.94
scavo3	-12.6	-2.5	2.67
scavo3	-12.8	-2.03	2.38
scavo3	-13	-1.61	2.09
scavo3	-13.2	-1.25	1.8
scavo3	-13.4	-0.94	1.53
scavo3	-13.6	-0.69	1.27

Design Assumption: NTC2018: SISMICA STR	Risultati Paratia	Muro: LEFT	
Stage	Z (m)	Momento (kN*m/m)	Taglio (kN/m)
scavo3	-13.8	-0.48	1.04
scavo3	-14	-0.32	0.82
scavo3	-14.2	-0.19	0.63
scavo3	-14.4	-0.1	0.45
scavo3	-14.6	-0.04	0.3
scavo3	-14.8	-0.01	0.17
scavo3	-15	0	0.05
Design Assumption: NTC2018: SISMICA STR	Risultati Paratia	Muro: LEFT	
Stage	Z (m)	Momento (kN*m/m)	Taglio (kN/m)
scavo3	0	0	-0.05
scavo3	-0.2	-0.01	-0.05
scavo3	-0.4	-1.01	-5
scavo3	-0.5	-2.03	-10.22

4.4.5. Tabella Risultati Paratia NTC2018: SISMICA STR - Left Wall - Stage: Sisma

Design Assumption: NTC2018: SISMICA STR	Risultati Paratia	Muro: LEFT	
Stage	Z (m)	Momento (kN*m/m)	Taglio (kN/m)
Sisma	-0.5	-2.92	-19.2
Sisma	-0.7	-6.76	-19.2
Sisma	-0.9	-12.47	-28.54
Sisma	-1.1	-20.24	-38.87
Sisma	-1.3	-30.27	-50.12
Sisma	-1.5	-42.71	-62.22
Sisma	-1.7	-57.69	-74.89
Sisma	-1.9	-75.26	-87.87
Sisma	-2	-85.02	-97.56
Sisma	-2.2	-67.77	86.21
Sisma	-2.4	-52.88	74.44
Sisma	-2.6	-40.09	63.98
Sisma	-2.8	-29.18	54.52
Sisma	-3	-19.94	46.21
Sisma	-3.2	-12.1	39.22
Sisma	-3.4	-5.37	33.63
Sisma	-3.6	0.53	29.49
Sisma	-3.8	5.88	26.77
Sisma	-4	10.79	24.55
Sisma	-4.2	15.26	22.33
Sisma	-4.4	19.28	20.1
Sisma	-4.6	22.85	17.88
Sisma	-4.8	25.99	15.66
Sisma	-5	28.67	13.44
Sisma	-5.2	30.92	11.21
Sisma	-5.4	32.71	8.99
Sisma	-5.6	34.07	6.77
Sisma	-5.8	34.98	4.55
Sisma	-6	35.44	2.32
Sisma	-6.2	35.46	0.1
Sisma	-6.4	35.04	-2.12
Sisma	-6.6	34.17	-4.35
Sisma	-6.8	32.85	-6.57
Sisma	-7	31.09	-8.79
Sisma	-7.2	28.89	-11.01
Sisma	-7.4	26.24	-13.24
Sisma	-7.6	23.15	-15.46
Sisma	-7.8	19.62	-17.68
Sisma	-8	15.63	-19.91
Sisma	-8.2	11.21	-22.13
Sisma	-8.4	6.34	-24.35
Sisma	-8.6	0.99	-26.75
Sisma	-8.8	-5.1	-30.46
Sisma	-9	-9.84	-23.67
Sisma	-9.2	-13.29	-17.29
Sisma	-9.4	-15.63	-11.66
Sisma	-9.6	-17	-6.87
Sisma	-9.8	-17.58	-2.91
Sisma	-10	-17.53	0.27
Sisma	-10.2	-16.98	2.73
Sisma	-10.4	-16.07	4.55
Sisma	-10.6	-14.91	5.83
Sisma	-10.8	-13.58	6.64
Sisma	-11	-12.16	7.07
Sisma	-11.2	-10.72	7.19
Sisma	-11.4	-9.31	7.06
Sisma	-11.6	-7.96	6.74
Sisma	-11.8	-6.7	6.3
Sisma	-12	-5.55	5.76
Sisma	-12.2	-4.52	5.17
Sisma	-12.4	-3.61	4.55
Sisma	-12.6	-2.82	3.94
Sisma	-12.8	-2.15	3.34
Sisma	-13	-1.6	2.78
Sisma	-13.2	-1.15	2.26
Sisma	-13.4	-0.79	1.79
Sisma	-13.6	-0.52	1.37

Design Assumption: NTC2018: SISMICA STR	Risultati Paratia	Muro: LEFT	
Stage	Z (m)	Momento (kN*m/m)	Taglio (kN/m)
Sisma	-13.8	-0.32	1.01
Sisma	-14	-0.17	0.7
Sisma	-14.2	-0.08	0.46
Sisma	-14.4	-0.03	0.26
Sisma	-14.6	-0.01	0.12
Sisma	-14.8	0	0.04
Sisma	-15	0	0

Design Assumption: NTC2018: SISMICA STR	Risultati Paratia	Muro: LEFT	
Stage	Z (m)	Momento (kN*m/m)	Taglio (kN/m)
Sisma	0	0	-1.21
Sisma	-0.2	-0.24	-1.21
Sisma	-0.4	-1.63	-6.93
Sisma	-0.5	-2.92	-12.92

4.4.6. Tabella Grafici dei Risultati

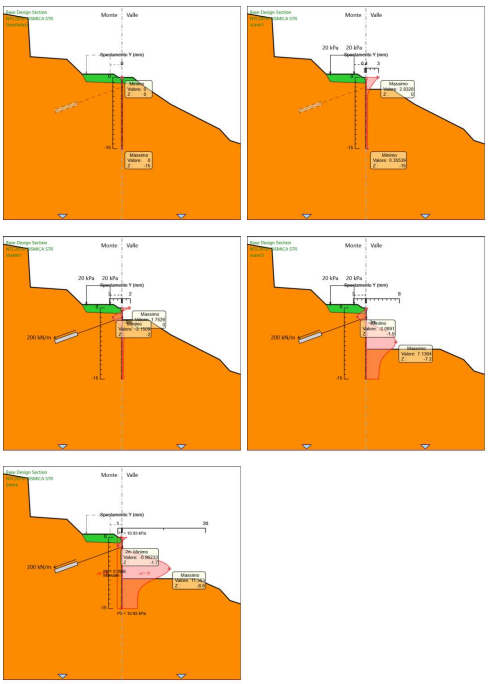

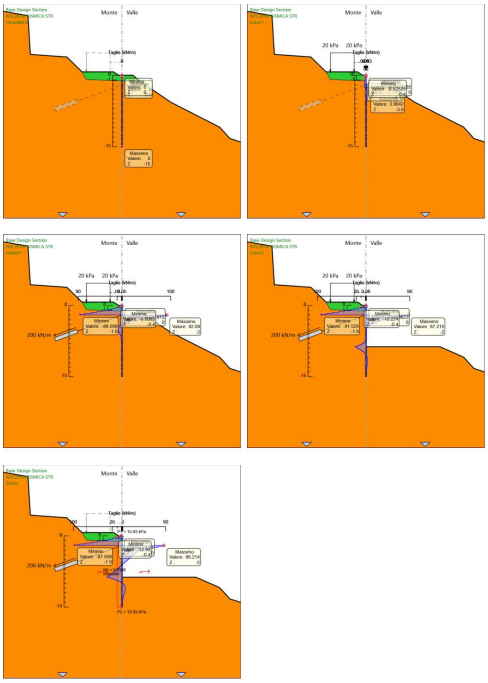

4.4.7. Risultati Elementi strutturali - NTC2018: SISMICA STR

Design Assumption: NTC2018: SISMICA STR	Sollecitazione tirante1
Stage	Forza (kN/m)
tirante1	200
scavo3	200.4393
Sisma	205.6737

4.5. Risultati NTC2018: SISMICA GEO

4.5.1. Tabella Risultati Paratia NTC2018: SISMICA GEO - Left Wall - Stage: Geostatico

Design Assumption: NTC2018: SISMICA GEO	Risultati Paratia	Muro: LEFT	
Stage	Z (m)	Momento (kN*m/m)	Taglio (kN/m)
Geostatico	-0.5	0	0
Geostatico	-0.7	0	0
Geostatico	-0.9	0	0
Geostatico	-1.1	0	0
Geostatico	-1.3	0	0
Geostatico	-1.5	0	0
Geostatico	-1.7	0	0
Geostatico	-1.9	0	0
Geostatico	-2	0	0
Geostatico	-2.2	0	0
Geostatico	-2.4	0	0
Geostatico	-2.6	0	0
Geostatico	-2.8	0	0
Geostatico	-3	0	0
Geostatico	-3.2	0	0
Geostatico	-3.4	0	0
Geostatico	-3.6	0	0
Geostatico	-3.8	0	0
Geostatico	-4	0	0
Geostatico	-4.2	0	0
Geostatico	-4.4	0	0
Geostatico	-4.6	0	0
Geostatico	-4.8	0	0
Geostatico	-5	0	0
Geostatico	-5.2	0	0
Geostatico	-5.4	0	0
Geostatico	-5.6	0	0
Geostatico	-5.8	0	0
Geostatico	-6	0	0
Geostatico	-6.2	0	0
Geostatico	-6.4	0	0
Geostatico	-6.6	0	0
Geostatico	-6.8	0	0
Geostatico	-7	0	0
Geostatico	-7.2	0	0
Geostatico	-7.4	0	0
Geostatico	-7.6	0	0
Geostatico	-7.8	0	0
Geostatico	-8	0	0
Geostatico	-8.2	0	0
Geostatico	-8.4	0	0
Geostatico	-8.6	0	0
Geostatico	-8.8	0	0
Geostatico	-9	0	0
Geostatico	-9.2	0	0
Geostatico	-9.4	0	0
Geostatico	-9.6	0	0
Geostatico	-9.8	0	0
Geostatico	-10	0	0
Geostatico	-10.2	0	0
Geostatico	-10.4	0	0
Geostatico	-10.6	0	0
Geostatico	-10.8	0	0
Geostatico	-11	0	0
Geostatico	-11.2	0	0
Geostatico	-11.4	0	0
Geostatico	-11.6	0	0
Geostatico	-11.8	0	0
Geostatico	-12	0	0
Geostatico	-12.2	0	0
Geostatico	-12.4	0	0
Geostatico	-12.6	0	0
Geostatico	-12.8	0	0
Geostatico	-13	0	0

Design Assumption: NTC2018: SISMICA GEO	Risultati Paratia	Muro: LEFT	
Stage	Z (m)	Momento (kN*m/m)	Taglio (kN/m)
Geostatico	-13.2	0	0
Geostatico	-13.4	0	0
Geostatico	-13.6	0	0
Geostatico	-13.8	0	0
Geostatico	-14	0	0
Geostatico	-14.2	0	0
Geostatico	-14.4	0	0
Geostatico	-14.6	0	0
Geostatico	-14.8	0	0
Geostatico	-15	0	0
Design Assumption: NTC2018: SISMICA GEO	Risultati Paratia	Muro: LEFT	
Stage	Z (m)	Momento (kN*m/m)	Taglio (kN/m)
Geostatico	0	0	0
Geostatico	-0.2	0	0
Geostatico	-0.4	0	0
Geostatico	-0.5	0	0

4.5.2. Tabella Risultati Paratia NTC2018: SISMICA GEO - Left Wall - Stage: scavo1

Design Assumption: NTC2018: SISMICA GEO	Risultati Paratia	Muro: LEFT	
Stage	Z (m)	Momento (kN*m/m)	Taglio (kN/m)
scavo1	-0.5	-0.1	-0.92
scavo1	-0.7	-0.28	-0.92
scavo1	-0.9	-0.61	-1.65
scavo1	-1.1	-1.13	-2.59
scavo1	-1.3	-1.88	-3.75
scavo1	-1.5	-2.62	-3.75
scavo1	-1.7	-3.37	-3.75
scavo1	-1.9	-4.12	-3.75
scavo1	-2	-4.5	-3.75
scavo1	-2.2	-5.25	-3.75
scavo1	-2.4	-6	-3.75
scavo1	-2.6	-6.75	-3.75
scavo1	-2.8	-7	-1.28
scavo1	-3	-6.86	0.7
scavo1	-3.2	-6.44	2.13
scavo1	-3.4	-5.82	3.07
scavo1	-3.6	-5.1	3.6
scavo1	-3.8	-4.34	3.8
scavo1	-4	-3.59	3.77
scavo1	-4.2	-2.88	3.56
scavo1	-4.4	-2.23	3.24
scavo1	-4.6	-1.66	2.86
scavo1	-4.8	-1.17	2.45
scavo1	-5	-0.76	2.04
scavo1	-5.2	-0.43	1.65
scavo1	-5.4	-0.17	1.3
scavo1	-5.6	0.03	0.99
scavo1	-5.8	0.17	0.72
scavo1	-6	0.27	0.5
scavo1	-6.2	0.33	0.32
scavo1	-6.4	0.37	0.17
scavo1	-6.6	0.38	0.04
scavo1	-6.8	0.36	-0.06
scavo1	-7	0.34	-0.14
scavo1	-7.2	0.3	-0.2
scavo1	-7.4	0.25	-0.22
scavo1	-7.6	0.21	-0.23
scavo1	-7.8	0.16	-0.22
scavo1	-8	0.12	-0.21
scavo1	-8.2	0.08	-0.18
scavo1	-8.4	0.05	-0.16
scavo1	-8.6	0.03	-0.13
scavo1	-8.8	0	-0.1
scavo1	-9	-0.01	-0.08
scavo1	-9.2	-0.02	-0.06
scavo1	-9.4	-0.03	-0.04
scavo1	-9.6	-0.04	-0.03
scavo1	-9.8	-0.04	-0.01
scavo1	-10	-0.04	0
scavo1	-10.2	-0.04	0
scavo1	-10.4	-0.04	0.01
scavo1	-10.6	-0.04	0.01
scavo1	-10.8	-0.03	0.01
scavo1	-11	-0.03	0.01
scavo1	-11.2	-0.03	0.01
scavo1	-11.4	-0.02	0.01
scavo1	-11.6	-0.02	0.01
scavo1	-11.8	-0.02	0.01
scavo1	-12	-0.02	0.01
scavo1	-12.2	-0.02	0.01
scavo1	-12.4	-0.01	0.01
scavo1	-12.6	-0.01	0.01
scavo1	-12.8	-0.01	0.01
scavo1	-13	-0.01	0.01
scavo1	-13.2	-0.01	0.01
scavo1	-13.4	-0.01	0.01
scavo1	-13.6	-0.01	0.01

Design Assumption: NTC2018: SISMICA GEO	Risultati Paratia	Muro: LEFT	
Stage	Z (m)	Momento (kN*m/m)	Taglio (kN/m)
scavo1	-13.8	0	0.01
scavo1	-14	0	0.01
scavo1	-14.2	0	0.01
scavo1	-14.4	0	0
scavo1	-14.6	0	0
scavo1	-14.8	0	0
scavo1	-15	0	0
Design Assumption: NTC2018: SISMICA GEO	Risultati Paratia	Muro: LEFT	
Stage	Z (m)	Momento (kN*m/m)	Taglio (kN/m)
scavo1	0	0	0
scavo1	-0.2	0	0
scavo1	-0.2	0	0
scavo1	-0.4	-0.04	-0.21
scavo1	-0.5	-0.1	-0.53

4.5.3. Tabella Risultati Paratia NTC2018: SISMICA GEO - Left Wall - Stage: tirante1

Design Assumption: NTC2018: SISMICA GEO	Risultati Paratia	Muro: LEFT	
Stage	Z (m)	Momento (kN*m/m)	Taglio (kN/m)
tirante1	-0.5	-1.84	-13.84
tirante1	-0.7	-4.61	-13.84
tirante1	-0.9	-8.91	-21.51
tirante1	-1.1	-14.98	-30.37
tirante1	-1.3	-23.06	-40.37
tirante1	-1.5	-33.37	-51.58
tirante1	-1.7	-46.1	-63.65
tirante1	-1.9	-61.37	-76.35
tirante1	-2	-69.98	-86.1
tirante1	-2.2	-51.57	92.09
tirante1	-2.4	-35.68	79.43
tirante1	-2.6	-22.19	67.45
tirante1	-2.8	-11.03	55.78
tirante1	-3	-2.13	44.5
tirante1	-3.2	4.6	33.68
tirante1	-3.4	9.28	23.36
tirante1	-3.6	12.23	14.79
tirante1	-3.8	13.81	7.86
tirante1	-4	14.29	2.4
tirante1	-4.2	13.92	-1.81
tirante1	-4.4	12.96	-4.82
tirante1	-4.6	11.62	-6.7
tirante1	-4.8	10.08	-7.68
tirante1	-5	8.49	-7.98
tirante1	-5.2	6.93	-7.77
tirante1	-5.4	5.49	-7.23
tirante1	-5.6	4.19	-6.47
tirante1	-5.8	3.07	-5.61
tirante1	-6	2.13	-4.71
tirante1	-6.2	1.36	-3.83
tirante1	-6.4	0.76	-3.03
tirante1	-6.6	0.3	-2.31
tirante1	-6.8	-0.04	-1.7
tirante1	-7	-0.28	-1.2
tirante1	-7.2	-0.44	-0.78
tirante1	-7.4	-0.53	-0.45
tirante1	-7.6	-0.57	-0.19
tirante1	-7.8	-0.57	0
tirante1	-8	-0.54	0.14
tirante1	-8.2	-0.5	0.23
tirante1	-8.4	-0.44	0.28
tirante1	-8.6	-0.38	0.3
tirante1	-8.8	-0.32	0.3
tirante1	-9	-0.26	0.29
tirante1	-9.2	-0.21	0.27
tirante1	-9.4	-0.16	0.23
tirante1	-9.6	-0.12	0.2
tirante1	-9.8	-0.09	0.17
tirante1	-10	-0.06	0.14
tirante1	-10.2	-0.04	0.11
tirante1	-10.4	-0.02	0.08
tirante1	-10.6	-0.01	0.06
tirante1	-10.8	0	0.04
tirante1	-11	0	0.02
tirante1	-11.2	0.01	0.01
tirante1	-11.4	0.01	0
tirante1	-11.6	0.01	0
tirante1	-11.8	0.01	-0.01
tirante1	-12	0	-0.01
tirante1	-12.2	0	-0.01
tirante1	-12.4	0	-0.01
tirante1	-12.6	0	-0.01
tirante1	-12.8	0	-0.01
tirante1	-13	0	-0.01
tirante1	-13.2	0	0
tirante1	-13.4	0	0
tirante1	-13.6	0	0

Design Assumption: NTC2018: SISMICA GEO	Risultati Paratia	Muro: LEFT	
Stage	Z (m)	Momento (kN*m/m)	Taglio (kN/m)
tirante1	-13.8	0	0
tirante1	-14	0	0
tirante1	-14.2	0	0
tirante1	-14.4	0	0
tirante1	-14.6	0	0
tirante1	-14.8	0	0
tirante1	-15	0	0
Design Assumption: NTC2018: SISMICA GEO	Risultati Paratia	Muro: LEFT	
Stage	Z (m)	Momento (kN*m/m)	Taglio (kN/m)
tirante1	0	0	-0.04
tirante1	-0.2	-0.01	-0.04
tirante1	-0.4	-0.94	-4.64
tirante1	-0.5	-1.84	-9.01

4.5.4. Tabella Risultati Paratia NTC2018: SISMICA GEO - Left Wall - Stage: scavo3

Design Assumption: NTC2018: SISMICA GEO	Risultati Paratia	Muro: LEFT	
Stage	Z (m)	Momento (kN*m/m)	Taglio (kN/m)
scavo3	-0.5	-2.03	-15.86
scavo3	-0.7	-5.2	-15.86
scavo3	-0.9	-10.1	-24.46
scavo3	-1.1	-16.92	-34.1
scavo3	-1.3	-25.86	-44.74
scavo3	-1.5	-37.16	-56.49
scavo3	-1.7	-50.95	-68.92
scavo3	-1.9	-67.3	-81.8
scavo3	-2	-76.46	-91.53
scavo3	-2.2	-59.01	87.22
scavo3	-2.4	-44	75.09
scavo3	-2.6	-31.19	64.04
scavo3	-2.8	-20.45	53.71
scavo3	-3	-11.61	44.2
scavo3	-3.2	-4.48	35.66
scavo3	-3.4	1.15	28.12
scavo3	-3.6	5.47	21.61
scavo3	-3.8	8.69	16.1
scavo3	-4	10.99	11.51
scavo3	-4.2	12.55	7.78
scavo3	-4.4	13.53	4.93
scavo3	-4.6	14.14	3.02
scavo3	-4.8	14.52	1.9
scavo3	-5	14.8	1.42
scavo3	-5.2	15.08	1.42
scavo3	-5.4	15.37	1.42
scavo3	-5.6	15.65	1.42
scavo3	-5.8	15.93	1.42
scavo3	-6	16.22	1.42
scavo3	-6.2	16.5	1.42
scavo3	-6.4	16.78	1.42
scavo3	-6.6	17.07	1.42
scavo3	-6.8	17.35	1.42
scavo3	-7	17.63	1.42
scavo3	-7.2	17.85	1.11
scavo3	-7.4	17.93	0.37
scavo3	-7.6	17.75	-0.86
scavo3	-7.8	17.22	-2.65
scavo3	-8	16.21	-5.07
scavo3	-8.2	14.57	-8.18
scavo3	-8.4	12.16	-12.05
scavo3	-8.6	8.82	-16.71
scavo3	-8.8	4.38	-22.23
scavo3	-9	0.6	-18.88
scavo3	-9.2	-2.46	-15.28
scavo3	-9.4	-4.82	-11.84
scavo3	-9.6	-6.57	-8.71
scavo3	-9.8	-7.76	-5.97
scavo3	-10	-8.49	-3.63
scavo3	-10.2	-8.82	-1.68
scavo3	-10.4	-8.84	-0.1
scavo3	-10.6	-8.62	1.14
scavo3	-10.8	-8.2	2.07
scavo3	-11	-7.66	2.74
scavo3	-11.2	-7.02	3.17
scavo3	-11.4	-6.34	3.42
scavo3	-11.6	-5.63	3.52
scavo3	-11.8	-4.93	3.49
scavo3	-12	-4.26	3.37
scavo3	-12.2	-3.62	3.18
scavo3	-12.4	-3.04	2.94
scavo3	-12.6	-2.5	2.67
scavo3	-12.8	-2.03	2.38
scavo3	-13	-1.61	2.09
scavo3	-13.2	-1.25	1.8
scavo3	-13.4	-0.94	1.53
scavo3	-13.6	-0.69	1.27

Design Assumption: NTC2018: SISMICA GEO	Risultati Paratia	Muro: LEFT	
Stage	Z (m)	Momento (kN*m/m)	Taglio (kN/m)
scavo3	-13.8	-0.48	1.04
scavo3	-14	-0.32	0.82
scavo3	-14.2	-0.19	0.63
scavo3	-14.4	-0.1	0.45
scavo3	-14.6	-0.04	0.3
scavo3	-14.8	-0.01	0.17
scavo3	-15	0	0.05
Design Assumption: NTC2018: SISMICA GEO	Risultati Paratia	Muro: LEFT	
Stage	Z (m)	Momento (kN*m/m)	Taglio (kN/m)
scavo3	0	0	-0.05
scavo3	-0.2	-0.01	-0.05
scavo3	-0.4	-1.01	-5
scavo3	-0.5	-2.03	-10.22

4.5.5. Tabella Risultati Paratia NTC2018: SISMICA GEO - Left Wall - Stage: Sisma

Design Assumption: NTC2018: SISMICA GEO	Risultati Paratia	Muro: LEFT	
Stage	Z (m)	Momento (kN*m/m)	Taglio (kN/m)
Sisma	-0.5	-2.92	-19.2
Sisma	-0.7	-6.76	-19.2
Sisma	-0.9	-12.47	-28.54
Sisma	-1.1	-20.24	-38.87
Sisma	-1.3	-30.27	-50.12
Sisma	-1.5	-42.71	-62.22
Sisma	-1.7	-57.69	-74.89
Sisma	-1.9	-75.26	-87.87
Sisma	-2	-85.02	-97.56
Sisma	-2.2	-67.77	86.21
Sisma	-2.4	-52.88	74.44
Sisma	-2.6	-40.09	63.98
Sisma	-2.8	-29.18	54.52
Sisma	-3	-19.94	46.21
Sisma	-3.2	-12.1	39.22
Sisma	-3.4	-5.37	33.63
Sisma	-3.6	0.53	29.49
Sisma	-3.8	5.88	26.77
Sisma	-4	10.79	24.55
Sisma	-4.2	15.26	22.33
Sisma	-4.4	19.28	20.1
Sisma	-4.6	22.85	17.88
Sisma	-4.8	25.99	15.66
Sisma	-5	28.67	13.44
Sisma	-5.2	30.92	11.21
Sisma	-5.4	32.71	8.99
Sisma	-5.6	34.07	6.77
Sisma	-5.8	34.98	4.55
Sisma	-6	35.44	2.32
Sisma	-6.2	35.46	0.1
Sisma	-6.4	35.04	-2.12
Sisma	-6.6	34.17	-4.35
Sisma	-6.8	32.85	-6.57
Sisma	-7	31.09	-8.79
Sisma	-7.2	28.89	-11.01
Sisma	-7.4	26.24	-13.24
Sisma	-7.6	23.15	-15.46
Sisma	-7.8	19.62	-17.68
Sisma	-8	15.63	-19.91
Sisma	-8.2	11.21	-22.13
Sisma	-8.4	6.34	-24.35
Sisma	-8.6	0.99	-26.75
Sisma	-8.8	-5.1	-30.46
Sisma	-9	-9.84	-23.67
Sisma	-9.2	-13.29	-17.29
Sisma	-9.4	-15.63	-11.66
Sisma	-9.6	-17	-6.87
Sisma	-9.8	-17.58	-2.91
Sisma	-10	-17.53	0.27
Sisma	-10.2	-16.98	2.73
Sisma	-10.4	-16.07	4.55
Sisma	-10.6	-14.91	5.83
Sisma	-10.8	-13.58	6.64
Sisma	-11	-12.16	7.07
Sisma	-11.2	-10.72	7.19
Sisma	-11.4	-9.31	7.06
Sisma	-11.6	-7.96	6.74
Sisma	-11.8	-6.7	6.3
Sisma	-12	-5.55	5.76
Sisma	-12.2	-4.52	5.17
Sisma	-12.4	-3.61	4.55
Sisma	-12.6	-2.82	3.94
Sisma	-12.8	-2.15	3.34
Sisma	-13	-1.6	2.78
Sisma	-13.2	-1.15	2.26
Sisma	-13.4	-0.79	1.79
Sisma	-13.6	-0.52	1.37

Design Assumption: NTC2018: SISMICA GEO	Risultati Paratia	Muro: LEFT	
Stage	Z (m)	Momento (kN*m/m)	Taglio (kN/m)
Sisma	-13.8	-0.32	1.01
Sisma	-14	-0.17	0.7
Sisma	-14.2	-0.08	0.46
Sisma	-14.4	-0.03	0.26
Sisma	-14.6	-0.01	0.12
Sisma	-14.8	0	0.04
Sisma	-15	0	0
Design Assumption: NTC2018: SISMICA GEO	Risultati Paratia	Muro: LEFT	
Stage	Z (m)	Momento (kN*m/m)	Taglio (kN/m)
Sisma	0	0	-1.21
Sisma	-0.2	-0.24	-1.21
Sisma	-0.4	-1.63	-6.93
Sisma	-0.5	-2.92	-12.92

4.5.6. Tabella Grafici dei Risultati

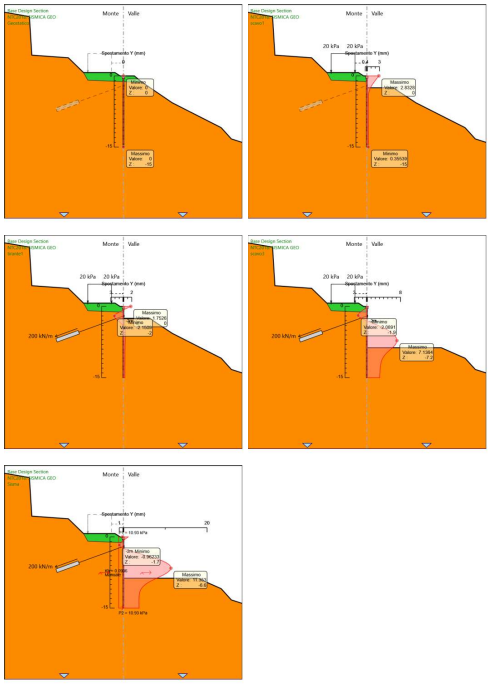

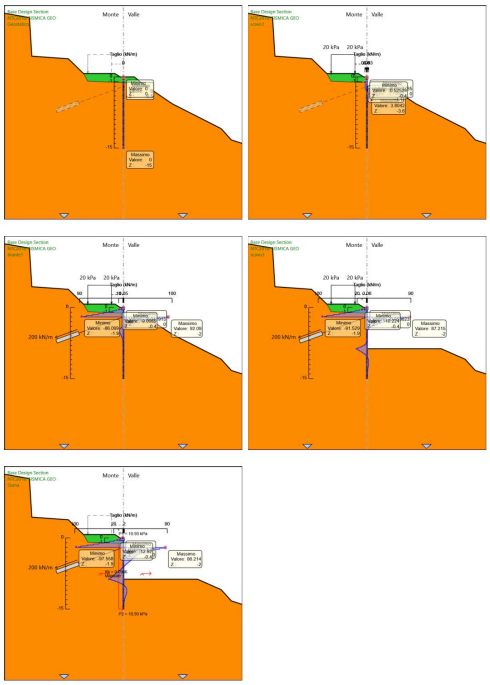

4.5.7. Risultati Elementi strutturali - NTC2018: SISMICA GEO

Design Assumption: NTC2018: SISMICA GEO Sollecitazione tirante1	
Stage	**Forza (kN/m)**
tirante1	200
scavo3	200.4393
Sisma	205.6737

5. Normative adottate per le verifiche degli Elementi Strutturali

Normative Verifiche	
Calcestruzzo	NTC
Acciaio	NTC
Tirante	NTC

Coefficienti per Verifica Tiranti	
GEO FS	1
ξa3	1.8
γs	1.15

5.1. Riepilogo Stage / Design Assumption per Inviluppo

Design Assumption	Geostatico	scavo1	tirante1	scavo3	Sisma
NTC2018: SLE (Rara/Frequente/Quasi Permanente)	V	V	V	V	V
NTC2018: A1+M1+R1 (R3 per tiranti)	V	V	V	V	V
NTC2018: A2+M2+R1	V	V	V	V	V
NTC2018: SISMICA STR	V	V	V	V	V
NTC2018: SISMICA GEO	V	V	V	V	V

5.2. Risultati SteelWorld

5.2.1. Tabella Inviluppi Tasso di Sfruttamento M-N - SteelWorld : LEFT

Inviluppi Tasso di Sfruttamento M-N - SteelWorld	LEFT
Z (m)	**Tasso di Sfruttamento M-N - SteelWorld**
-0.5	0.017
-0.7	0.039
-0.9	0.076
-1.1	0.127
-1.3	0.194
-1.5	0.278
-1.7	0.381
-1.9	0.504
-2	0.572
-2.2	0.442
-2.4	0.329
-2.6	0.233
-2.8	0.168
-3	0.115
-3.2	0.07
-3.4	0.069
-3.6	0.091
-3.8	0.103
-4	0.107
-4.2	0.104
-4.4	0.111
-4.6	0.131
-4.8	0.149
-5	0.165
-5.2	0.178
-5.4	0.188
-5.6	0.196
-5.8	0.201
-6	0.204
-6.2	0.204
-6.4	0.201
-6.6	0.196
-6.8	0.189
-7	0.179
-7.2	0.166
-7.4	0.151
-7.6	0.133
-7.8	0.129
-8	0.122
-8.2	0.109
-8.4	0.091
-8.6	0.066
-8.8	0.033
-9	0.057
-9.2	0.076
-9.4	0.09
-9.6	0.098
-9.8	0.101
-10	0.101
-10.2	0.098
-10.4	0.092
-10.6	0.086
-10.8	0.078
-11	0.07
-11.2	0.062
-11.4	0.054
-11.6	0.046
-11.8	0.039
-12	0.032
-12.2	0.027
-12.4	0.023
-12.6	0.019
-12.8	0.015
-13	0.012

Inviluppi Tasso di Sfruttamento M-N - SteelWorld	LEFT
Z (m)	Tasso di Sfruttamento M-N - SteelWorld
-13.2	0.009
-13.4	0.007
-13.6	0.005
-13.8	0.004
-14	0.002
-14.2	0.001
-14.4	0.001
-14.6	0
-14.8	0
-15	0

Inviluppi Tasso di Sfruttamento M-N - SteelWorld	LEFT
Z (m)	Tasso di Sfruttamento M-N - SteelWorld

5.2.2. Grafico Inviluppi Tasso di Sfruttamento M-N - SteelWorld

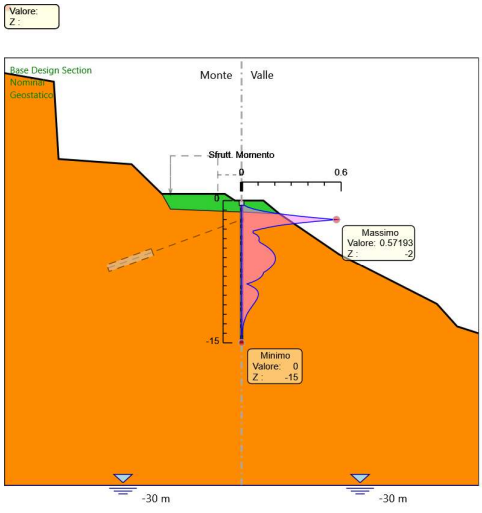

Inviluppi
Tasso di Sfruttamento M-N - SteelWorld

5.2.1. Tabella Inviluppi Tasso di Sfruttamento a Taglio - SteelWorld : LEFT

Inviluppi Tasso di Sfruttamento a Taglio - SteelWorld	LEFT
Z (m)	Tasso di Sfruttamento a Taglio - SteelWorld
-0.5	0.017
-0.7	0.025
-0.9	0.035
-1.1	0.046
-1.3	0.059
-1.5	0.072
-1.7	0.085
-1.9	0.095
-2	0.096
-2.2	0.083
-2.4	0.07
-2.6	0.058
-2.8	0.046
-3	0.037
-3.2	0.029
-3.4	0.024
-3.6	0.021
-3.8	0.02
-4	0.018
-4.2	0.016
-4.4	0.014
-4.6	0.013
-4.8	0.011
-5	0.009
-5.2	0.007
-5.4	0.007
-5.6	0.006
-5.8	0.005
-6	0.004
-6.2	0.003
-6.4	0.003
-6.6	0.005
-6.8	0.007
-7	0.009
-7.2	0.011
-7.4	0.012
-7.6	0.014
-7.8	0.016
-8	0.018
-8.2	0.019
-8.4	0.021
-8.6	0.024
-8.8	0.02
-9	0.016
-9.2	0.012
-9.4	0.009
-9.6	0.006
-9.8	0.004
-10	0.002
-10.2	0.004
-10.4	0.005
-10.6	0.005
-10.8	0.006
-11	0.006
-11.2	0.006
-11.4	0.005
-11.6	0.005
-11.8	0.005
-12	0.004
-12.2	0.004
-12.4	0.003
-12.6	0.003
-12.8	0.002
-13	0.002
-13.2	0.002
-13.4	0.001
-13.6	0.001

Inviluppi Tasso di Sfruttamento a Taglio - SteelWorld	LEFT
Z (m)	Tasso di Sfruttamento a Taglio - SteelWorld
-13.8	0.001
-14	0.001
-14.2	0
-14.4	0
-14.6	0
-14.8	0
-15	0

Inviluppi Tasso di Sfruttamento a Taglio - SteelWorld	LEFT
Z (m)	Tasso di Sfruttamento a Taglio - SteelWorld

5.2.2. Grafico Inviluppi Tasso di Sfruttamento a Taglio - SteelWorld

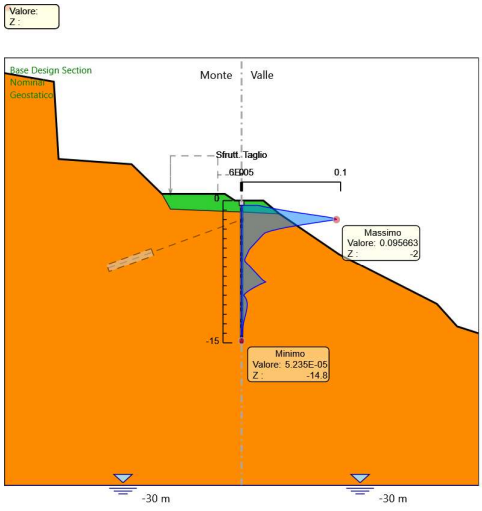

Inviluppi
Tasso di Sfruttamento a Taglio - SteelWorld

5.2.3. Verifiche Tiranti NTC2018: SLE (Rara/Frequente/Quasi Permanente)

Design Assumption: NTC2018: SLE (Rara/Frequente/Quasi Permanente)	Tipo Risultato: Verifiche Tiranti				NTC2018 (ITA)			
Tirante	Stage	Sollecitazione (kN)	Resistenza GEO (kN)	Resistenza STR (kN)	Ratio GEO	Ratio STR	Resistenza	Gerarchia delle Resistenze
tirante1	tirante1	480	1382.301	807.409	0.347	0.594		NO
tirante1	scavo3	481.054	1382.301	807.409	0.348	0.596		NO
tirante1	Sisma	480.398	1382.301	807.409	0.348	0.595		NO

5.2.4. Verifiche Tiranti NTC2018: A1+M1+R1 (R3 per tiranti)

Design Assumption: NTC2018: A1+M1+R1 (R3 per tiranti)	Tipo Risultato: Verifiche Tiranti	NTC2018 (ITA)						
Tirante	Stage	Sollecitazione (kN)	Resistenza GEO (kN)	Resistenza STR (kN)	Ratio GEO	Ratio STR	Resistenza	Gerarchia delle Resistenze
tirante1	tirante1	624	698.132	807.409	0.894	0.773		
tirante1	scavo3	625.414	698.132	807.409	0.896	0.775		
tirante1	Sisma	624.427	698.132	807.409	0.894	0.773		

5.2.5. Verifiche Tiranti NTC2018: A2+M2+R1

Design Assumption: NTC2018: A2+M2+R1	Tipo Risultato: Verifiche Tiranti	NTC2018 (ITA)						
Tirante	Stage	Sollecitazione (kN)	Resistenza GEO (kN)	Resistenza STR (kN)	Ratio GEO	Ratio STR	Resistenza	Gerarchia delle Resistenze
tirante1	tirante1	480	698.132	807.409	0.688	0.594		
tirante1	scavo3	480.657	698.132	807.409	0.688	0.595		
tirante1	Sisma	479.387	698.132	807.409	0.687	0.594		

5.2.6. Verifiche Tiranti NTC2018: SISMICA STR

Design Assumption: NTC2018: SISMICA STR	Tipo Risultato: Verifiche Tiranti	NTC2018 (ITA)						
Tirante	Stage	Sollecitazione (kN)	Resistenza GEO (kN)	Resistenza STR (kN)	Ratio GEO	Ratio STR	Resistenza	Gerarchia delle Resistenze
tirante1	tirante1	480	698.132	807.409	0.688	0.594		
tirante1	scavo3	481.054	698.132	807.409	0.689	0.596		
tirante1	Sisma	493.617	698.132	807.409	0.707	0.611		

5.2.7. Verifiche Tiranti NTC2018: SISMICA GEO

Design Assumption: NTC2018: SISMICA GEO	Tipo Risultato: Verifiche Tiranti	NTC2018 (ITA)						
Tirante	Stage	Sollecitazione (kN)	Resistenza GEO (kN)	Resistenza STR (kN)	Ratio GEO	Ratio STR	Resistenza	Gerarchia delle Resistenze
tirante1	tirante1	480	698.132	807.409	0.688	0.594		
tirante1	scavo3	481.054	698.132	807.409	0.689	0.596		
tirante1	Sisma	493.617	698.132	807.409	0.707	0.611		

5.2.8. Inviluppo Verifiche Tiranti (su tutte le D.A. attive)

Tirante	Tipo Risultato: Verifiche Tiranti Stage	Sollecitazione (kN)	Resistenza GEO (kN)	Resistenza STR (kN)	Ratio GEO	Ratio STR	Resistenza	Gerarchia delle Resistenze	Design Assumption
tirante1	scavo3	625.414	698.132	807.409	0.896	0.775			NTC2018: A1+M1+R1 (R3 per tiranti)

5.3. Verifiche Travi di Ripartizione Nominal

Design Assumption: Nominal Trave di Ripartizione	Tipo Risultato: Verifiche Travi di Ripartizione Elemento strutturale	Sezione	Materiale	Stage	Carico distribuito (kN/m)	Assiale (kN)	Ratio M-N	Ratio taglio	Instabilità
trave1	tirante1	HE 180B	S275	tirante1	200	0	0	0	0
trave1	tirante1	HE 180B	S275	scavo3	200.439	0	0	0	0
trave1	tirante1	HE 180B	S275	Sisma	205.674	0	0	0	0

5.4. Verifiche Travi di Ripartizione NTC2018: SLE (Rara/Frequente/Quasi Permanente)

Design Assumption: NTC2018: SLE (Rara/Frequente/Quasi Permanente) Trave di Ripartizione	Tipo Risultato: Verifiche Travi di Ripartizione Elemento strutturale	NTC2018 (ITA) Sezione	Materiale	Stage	Carico distribuito (kN/m)	Assiale (kN)	Ratio M-N	Ratio taglio	Instabilità
trave1	tirante1	HE 180B	S275	tirante1	200	0	0.417	0.511	0
trave1	tirante1	HE 180B	S275	scavo3	200.439	0	0.418	0.512	0
trave1	tirante1	HE 180B	S275	Sisma	200.166	0	0.418	0.511	0

5.5. Verifiche Travi di Ripartizione NTC2018: A1+M1+R1 (R3 per tiranti)

Design Assumption: NTC2018: A1+M1+R1 (R3 per tiranti) Trave di Ripartizione	Tipo Risultato: Verifiche Travi di Ripartizione Elemento strutturale	NTC2018 (ITA) Sezione	Materiale	Stage	Carico distribuito (kN/m)	Assiale (kN)	Ratio M-N	Ratio taglio	Instabilità
trave1	tirante1	HE 180B	S275	tirante1	260	0	0.552	0.664	0
trave1	tirante1	HE 180B	S275	scavo3	260.589	0	0.553	0.666	0
trave1	tirante1	HE 180B	S275	Sisma	260.178	0	0.552	0.665	0

5.6. Verifiche Travi di Ripartizione NTC2018: A2+M2+R1

Design Assumption: NTC2018: A2+M2+R1	Tipo Risultato: Verifiche Travi di Ripartizione	NTC2018 (ITA)								
Trave di Ripartizione	Elemento strutturale	Sezione	Mate-riale	Stage	Carico distribuito (kN/m)	Assiale (kN)	Ratio M-N	Ratio ta-glio	Instabi-lità
trave1	tirante1	HE 180B	S275	ti-rante1	200	0	0.417	0.511	0
trave1	tirante1	HE 180B	S275	scavo3	200.274	0	0.418	0.512	0
trave1	tirante1	HE 180B	S275	Sisma	199.745	0	0.417	0.51	0

5.7. Verifiche Travi di Ripartizione NTC2018: SISMICA STR

Design Assumption: NTC2018: SISMICA STR	Tipo Risultato: Verifiche Travi di Ripartizione	NTC2018 (ITA)								
Trave di Ripartizione	Elemento strutturale	Sezione	Mate-riale	Stage	Carico distribuito (kN/m)	Assiale (kN)	Ratio M-N	Ratio ta-glio	Instabi-lità
trave1	tirante1	HE 180B	S275	ti-rante1	200	0	0.417	0.511	0
trave1	tirante1	HE 180B	S275	scavo3	200.439	0	0.418	0.512	0
trave1	tirante1	HE 180B	S275	Sisma	205.674	0	0.429	0.526	0

5.8. Verifiche Travi di Ripartizione NTC2018: SISMICA GEO

Design Assumption: NTC2018: SISMICA GEO	Tipo Risultato: Verifiche Travi di Ripartizione	NTC2018 (ITA)								
Trave di Ripartizione	Elemento strutturale	Sezione	Mate-riale	Stage	Carico distribuito (kN/m)	Assiale (kN)	Ratio M-N	Ratio ta-glio	Instabi-lità
trave1	tirante1	HE 180B	S275	ti-rante1	200	0	0.417	0.511	0
trave1	tirante1	HE 180B	S275	scavo3	200.439	0	0.418	0.512	0
trave1	tirante1	HE 180B	S275	Sisma	205.674	0	0.429	0.526	0

6. Allegati

6.1. Design Assumption : Nominal - File di Paratie - File di input (.d)

```
* ParatiePlus VERSION 23.0.2
 * PARATIE ANALYSIS FOR DESIGN SECTION:Base Design Section USING ASSUMPTION: Nominal
 * Time:martedì 28 febbraio 2023 09:05:03
 * 1: Defining general settings
UNIT  m kN
TITLE Guinza_Paratia Provvisionale
DELTA 0.2
option param itemax 40
option control contact lagrange

option control hinges 0 0.0001 0.001

* 2: Defining wall(s)
WALL LeftWall_910 0 -15 0 1

* 3: Defining surfaces for wall(s)
SOIL 0_L LeftWall_910 -15 0 1 0
SOIL 0_R LeftWall_910 -15 0 2 180

* 4: Defining soil layers
*
* Soil Profile (Flyschmarnoso-arenaceo_2828_14_L_0)
*
LDATA Flyschmarnoso-arenaceo_2828_14_L_0 13.4 LeftWall_910
ATREST 0.5 0.5 1
WEIGHT 21 11 10
PERMEABILITY 1E-05
RESISTANCE 100 35 0 0 0
TZDATA  LINEAR 10000 0 25 0.5 0
KSCALE  0 0
YOUNG 30000 48000
ENDL
*
* Soil Profile (ColtreDetritica_2826_17_L_0)
*
LDATA ColtreDetritica_2826_17_L_0 0 LeftWall_910
ATREST 0.5 0.5 1
WEIGHT 18 8 10
PERMEABILITY 1E-05
RESISTANCE 0 30 0 0 0
TZDATA  LINEAR 10000 0 25 0.5 0
KSCALE  0 0
YOUNG 30000 48000
ENDL
*
* Soil Profile (Flyschmarnoso-arenaceo_2828_14_L_1)
*
LDATA Flyschmarnoso-arenaceo_2828_14_L_1 -1.2 LeftWall_910
ATREST 0.5 0.5 1
WEIGHT 21 11 10
PERMEABILITY 1E-05
RESISTANCE 100 35 0 0 0
TZDATA  LINEAR 10000 0 25 0.5 0
KSCALE  0 0
YOUNG 30000 48000
ENDL

* 5: Defining structural materials
* Steel material: 998 Name=S355 E=210000000 kPa
MATERIAL S355_998 2.1E+08
* Concrete material: 988 Name=C25/30 E=31475800 kPa
MATERIAL C2530_988 3.1476E+07
* Rebar material: 1008 Name=acciaio armonico E=200100000 kPa
MATERIAL acciaioarmonico_1008 2.001E+08
* Concrete material: 987 Name=C20/25 E=29962000 kPa
MATERIAL C2025_987 2.9962E+07
* Steel material: 992 Name=Fe360 E=206000200 kPa
MATERIAL Fe360_992 2.06E+08

* 6: Defining structural elements
* 6.1: Beams and combined Wall Elements
** rev 2021 and later
BEAM paratia_911 LeftWall_910 -15 -0.5 S355_998 0.10206 0.025514 8.8596E-05 1.9646 00 00 0
** rev 2021 and later
BEAM Cordolo_50387 LeftWall_910 -0.5 0 C2530_988 0.5 0.5 0.010417 12.5 00 00 0


* 6.2: Supports
WIRE tirantel_7498 LeftWall_910 -2 acciaioarmonico_1008 2.2604E-05 200 20 0 0
```

```
* 6.3: Strips
STRIP LeftWall_910 2 4 2.5 5 0.7 20 45

* 7: Defining Steps
STEP Geostatico_909
CHANGE Flyschmarnoso-arenaceo_2828_14_L_0 U-FRICT=35 LeftWall_910
CHANGE Flyschmarnoso-arenaceo_2828_14_L_1 U-FRICT=35 LeftWall_910
CHANGE Flyschmarnoso-arenaceo_2828_14_L_0 D-FRICT=35 LeftWall_910
CHANGE Flyschmarnoso-arenaceo_2828_14_L_1 D-FRICT=35 LeftWall_910
CHANGE Flyschmarnoso-arenaceo_2828_14_L_0 U-KA=0.224 LeftWall_910
CHANGE Flyschmarnoso-arenaceo_2828_14_L_0 U-KP=12.138 LeftWall_910
CHANGE Flyschmarnoso-arenaceo_2828_14_L_1 U-KA=0.224 LeftWall_910
CHANGE Flyschmarnoso-arenaceo_2828_14_L_1 U-KP=12.138 LeftWall_910
CHANGE Flyschmarnoso-arenaceo_2828_14_L_0 D-KA=0.224 LeftWall_910
CHANGE Flyschmarnoso-arenaceo_2828_14_L_0 D-KP=6.511 LeftWall_910
CHANGE Flyschmarnoso-arenaceo_2828_14_L_1 D-KA=0.224 LeftWall_910
CHANGE Flyschmarnoso-arenaceo_2828_14_L_1 D-KP=6.511 LeftWall_910
CHANGE ColtreDetritica_2826_17_L_0 U-FRICT=30 LeftWall_910
CHANGE ColtreDetritica_2826_17_L_0 D-FRICT=30 LeftWall_910
CHANGE ColtreDetritica_2826_17_L_0 U-KA=0.279 LeftWall_910
CHANGE ColtreDetritica_2826_17_L_0 U-KP=6.566 LeftWall_910
CHANGE ColtreDetritica_2826_17_L_0 D-KA=0.279 LeftWall_910
CHANGE ColtreDetritica_2826_17_L_0 D-KP=4.633 LeftWall_910
CHANGE Flyschmarnoso-arenaceo_2828_14_L_0 U-KA=0.246 LeftWall_910
CHANGE Flyschmarnoso-arenaceo_2828_14_L_0 U-KP=10.401 LeftWall_910
CHANGE Flyschmarnoso-arenaceo_2828_14_L_1 U-KA=0.246 LeftWall_910
CHANGE Flyschmarnoso-arenaceo_2828_14_L_1 U-KP=10.401 LeftWall_910
CHANGE Flyschmarnoso-arenaceo_2828_14_L_0 D-KA=0.19 LeftWall_910
CHANGE Flyschmarnoso-arenaceo_2828_14_L_0 D-KP=1.841 LeftWall_910
CHANGE Flyschmarnoso-arenaceo_2828_14_L_1 D-KA=0.19 LeftWall_910
CHANGE Flyschmarnoso-arenaceo_2828_14_L_1 D-KP=1.841 LeftWall_910
CHANGE Flyschmarnoso-arenaceo_2828_14_L_0 U-COHE=100 LeftWall_910
CHANGE Flyschmarnoso-arenaceo_2828_14_L_0 D-ADHES=0 LeftWall_910
CHANGE Flyschmarnoso-arenaceo_2828_14_L_1 U-COHE=100 LeftWall_910
CHANGE Flyschmarnoso-arenaceo_2828_14_L_1 D-ADHES=0 LeftWall_910
CHANGE Flyschmarnoso-arenaceo_2828_14_L_0 U-COHE=100 LeftWall_910
CHANGE Flyschmarnoso-arenaceo_2828_14_L_0 D-ADHES=0 LeftWall_910
CHANGE Flyschmarnoso-arenaceo_2828_14_L_1 D-COHE=100 LeftWall_910
CHANGE Flyschmarnoso-arenaceo_2828_14_L_1 D-ADHES=0 LeftWall_910
CHANGE ColtreDetritica_2826_17_L_0 U-COHE=0 LeftWall_910
CHANGE ColtreDetritica_2826_17_L_0 U-ADHES=0 LeftWall_910
CHANGE ColtreDetritica_2826_17_L_0 D-COHE=0 LeftWall_910
CHANGE ColtreDetritica_2826_17_L_0 D-ADHES=0 LeftWall_910
SETWALL LeftWall_910
GEOM 0 0
SURCHARGE 0 0 0 0
WATER -30 0 -15 0 0
ADD paratia_911 Cordolo_50387
ENDSTEP

STEP scavo1_6964
CHANGE Flyschmarnoso-arenaceo_2828_14_L_0 U-KA=0.224 LeftWall_910
CHANGE Flyschmarnoso-arenaceo_2828_14_L_0 U-KP=12.138 LeftWall_910
CHANGE Flyschmarnoso-arenaceo_2828_14_L_1 U-KA=0.224 LeftWall_910
CHANGE Flyschmarnoso-arenaceo_2828_14_L_1 U-KP=12.138 LeftWall_910
CHANGE Flyschmarnoso-arenaceo_2828_14_L_0 D-KA=0.224 LeftWall_910
CHANGE Flyschmarnoso-arenaceo_2828_14_L_0 D-KP=6.511 LeftWall_910
CHANGE Flyschmarnoso-arenaceo_2828_14_L_1 D-KA=0.224 LeftWall_910
CHANGE Flyschmarnoso-arenaceo_2828_14_L_1 D-KP=6.511 LeftWall_910
CHANGE Flyschmarnoso-arenaceo_2828_14_L_0 U-KA=0.246 LeftWall_910
CHANGE Flyschmarnoso-arenaceo_2828_14_L_0 U-KP=10.401 LeftWall_910
CHANGE Flyschmarnoso-arenaceo_2828_14_L_1 U-KA=0.246 LeftWall_910
CHANGE Flyschmarnoso-arenaceo_2828_14_L_1 U-KP=10.401 LeftWall_910
CHANGE Flyschmarnoso-arenaceo_2828_14_L_0 D-KA=0.223 LeftWall_910
CHANGE Flyschmarnoso-arenaceo_2828_14_L_0 D-KP=3.696 LeftWall_910
CHANGE Flyschmarnoso-arenaceo_2828_14_L_1 D-KA=0.223 LeftWall_910
CHANGE Flyschmarnoso-arenaceo_2828_14_L_1 D-KP=3.696 LeftWall_910
SETWALL LeftWall_910
GEOM 0 -2.5
SURCHARGE 0 0 0 0
WATER -30 0 -15 0 0
ENDSTEP

STEP tirantel_7231
CHANGE Flyschmarnoso-arenaceo_2828_14_L_0 U-KA=0.224 LeftWall_910
CHANGE Flyschmarnoso-arenaceo_2828_14_L_0 U-KP=12.138 LeftWall_910
CHANGE Flyschmarnoso-arenaceo_2828_14_L_1 U-KA=0.224 LeftWall_910
CHANGE Flyschmarnoso-arenaceo_2828_14_L_1 U-KP=12.138 LeftWall_910
CHANGE Flyschmarnoso-arenaceo_2828_14_L_0 D-KA=0.224 LeftWall_910
CHANGE Flyschmarnoso-arenaceo_2828_14_L_0 D-KP=6.511 LeftWall_910
CHANGE Flyschmarnoso-arenaceo_2828_14_L_1 D-KA=0.224 LeftWall_910
CHANGE Flyschmarnoso-arenaceo_2828_14_L_1 D-KP=6.511 LeftWall_910
CHANGE Flyschmarnoso-arenaceo_2828_14_L_0 U-KA=0.246 LeftWall_910
CHANGE Flyschmarnoso-arenaceo_2828_14_L_0 U-KP=10.401 LeftWall_910
CHANGE Flyschmarnoso-arenaceo_2828_14_L_1 U-KA=0.246 LeftWall_910
CHANGE Flyschmarnoso-arenaceo_2828_14_L_1 U-KP=10.401 LeftWall_910
CHANGE Flyschmarnoso-arenaceo_2828_14_L_0 D-KA=0.223 LeftWall_910
CHANGE Flyschmarnoso-arenaceo_2828_14_L_0 D-KP=3.696 LeftWall_910
CHANGE Flyschmarnoso-arenaceo_2828_14_L_1 D-KA=0.223 LeftWall_910
```



```
CHANGE Flyschmarnoso-arenaceo_2828_14_L_1 D-KP=3.696 LeftWall_910
SETWALL LeftWall_910
GEOM 0 -2.5
SURCHARGE 0 0 0 0
WATER -30 0 -15 0 0
ADD tirantel_7498
ENDSTEP

STEP scavo3_12389
CHANGE Flyschmarnoso-arenaceo_2828_14_L_0 U-KA=0.224 LeftWall_910
CHANGE Flyschmarnoso-arenaceo_2828_14_L_0 U-KP=12.138 LeftWall_910
CHANGE Flyschmarnoso-arenaceo_2828_14_L_1 U-KA=0.224 LeftWall_910
CHANGE Flyschmarnoso-arenaceo_2828_14_L_1 U-KP=12.138 LeftWall_910
CHANGE Flyschmarnoso-arenaceo_2828_14_L_0 D-KA=0.224 LeftWall_910
CHANGE Flyschmarnoso-arenaceo_2828_14_L_0 D-KP=6.511 LeftWall_910
CHANGE Flyschmarnoso-arenaceo_2828_14_L_1 D-KA=0.224 LeftWall_910
CHANGE Flyschmarnoso-arenaceo_2828_14_L_1 D-KP=6.511 LeftWall_910
CHANGE Flyschmarnoso-arenaceo_2828_14_L_0 U-KA=0.246 LeftWall_910
CHANGE Flyschmarnoso-arenaceo_2828_14_L_0 U-KP=10.401 LeftWall_910
CHANGE Flyschmarnoso-arenaceo_2828_14_L_1 U-KA=0.246 LeftWall_910
CHANGE Flyschmarnoso-arenaceo_2828_14_L_1 U-KP=10.401 LeftWall_910
SETWALL LeftWall_910
GEOM 0 -8.7
SURCHARGE 0 0 0 0
WATER -30 0 -15 0 0
ENDSTEP

STEP Sisma_14704
CHANGE Flyschmarnoso-arenaceo_2828_14_L_0 U-KA=0.224 LeftWall_910
CHANGE Flyschmarnoso-arenaceo_2828_14_L_0 U-KP=12.138 LeftWall_910
CHANGE Flyschmarnoso-arenaceo_2828_14_L_1 U-KA=0.224 LeftWall_910
CHANGE Flyschmarnoso-arenaceo_2828_14_L_1 U-KP=12.138 LeftWall_910
CHANGE Flyschmarnoso-arenaceo_2828_14_L_0 D-KA=0.271 LeftWall_910
CHANGE Flyschmarnoso-arenaceo_2828_14_L_0 D-KP=3.69 LeftWall_910
CHANGE Flyschmarnoso-arenaceo_2828_14_L_1 D-KA=0.271 LeftWall_910
CHANGE Flyschmarnoso-arenaceo_2828_14_L_1 D-KP=3.69 LeftWall_910
CHANGE ColtreDetritica_2826_17_L_0 D-KA=0.333 LeftWall_910
CHANGE ColtreDetritica_2826_17_L_0 D-KP=3 LeftWall_910
CHANGE Flyschmarnoso-arenaceo_2828_14_L_0 U-KA=0.246 LeftWall_910
CHANGE Flyschmarnoso-arenaceo_2828_14_L_0 U-KP=10.401 LeftWall_910
CHANGE Flyschmarnoso-arenaceo_2828_14_L_1 U-KA=0.246 LeftWall_910
CHANGE Flyschmarnoso-arenaceo_2828_14_L_1 U-KP=10.401 LeftWall_910
SETWALL LeftWall_910
GEOM 0 -8.7
SURCHARGE 0 0 0 0
WATER -30 0 -15 0 0
CHANGE Flyschmarnoso-arenaceo_2828_14_L_0 U-KAEW=0.277 LeftWall_910
CHANGE Flyschmarnoso-arenaceo_2828_14_L_0 U-KAEW=0.336 LeftWall_910
CHANGE Flyschmarnoso-arenaceo_2828_14_L_0 U-KPED=12.309 LeftWall_910
CHANGE Flyschmarnoso-arenaceo_2828_14_L_0 U-KPEW=12.317 LeftWall_910
CHANGE Flyschmarnoso-arenaceo_2828_14_L_1 U-KAED=0.277 LeftWall_910
CHANGE Flyschmarnoso-arenaceo_2828_14_L_1 U-KAEW=0.336 LeftWall_910
CHANGE Flyschmarnoso-arenaceo_2828_14_L_1 U-KPED=12.309 LeftWall_910
CHANGE Flyschmarnoso-arenaceo_2828_14_L_1 U-KPEW=12.317 LeftWall_910
CHANGE Flyschmarnoso-arenaceo_2828_14_L_0 D-KAED=0.324 LeftWall_910
CHANGE Flyschmarnoso-arenaceo_2828_14_L_0 D-KAEW=0.38 LeftWall_910
CHANGE Flyschmarnoso-arenaceo_2828_14_L_0 D-KPED=3.487 LeftWall_910
CHANGE Flyschmarnoso-arenaceo_2828_14_L_0 D-KPEW=3.265 LeftWall_910
CHANGE Flyschmarnoso-arenaceo_2828_14_L_1 D-KAED=0.324 LeftWall_910
CHANGE Flyschmarnoso-arenaceo_2828_14_L_1 D-KAEW=0.38 LeftWall_910
CHANGE Flyschmarnoso-arenaceo_2828_14_L_1 D-KPED=3.487 LeftWall_910
CHANGE Flyschmarnoso-arenaceo_2828_14_L_1 D-KPEW=3.265 LeftWall_910
CHANGE ColtreDetritica_2826_17_L_0 U-KAED=0.339 LeftWall_910
CHANGE ColtreDetritica_2826_17_L_0 U-KAEW=0.437 LeftWall_910
CHANGE ColtreDetritica_2826_17_L_0 U-KPED=6.437 LeftWall_910
CHANGE ColtreDetritica_2826_17_L_0 U-KPEW=6.159 LeftWall_910
CHANGE ColtreDetritica_2826_17_L_0 D-KAED=0.392 LeftWall_910
CHANGE ColtreDetritica_2826_17_L_0 D-KAEW=0.482 LeftWall_910
CHANGE ColtreDetritica_2826_17_L_0 D-KPED=2.816 LeftWall_910
CHANGE ColtreDetritica_2826_17_L_0 D-KPEW=2.53 LeftWall_910
CHANGE Flyschmarnoso-arenaceo_2828_14_L_0 U-KAED=0.31 LeftWall_910
CHANGE Flyschmarnoso-arenaceo_2828_14_L_0 U-KAEW=0.386 LeftWall_910
CHANGE Flyschmarnoso-arenaceo_2828_14_L_0 U-KPED=10.288 LeftWall_910
CHANGE Flyschmarnoso-arenaceo_2828_14_L_0 U-KPEW=10.079 LeftWall_910
CHANGE Flyschmarnoso-arenaceo_2828_14_L_1 U-KAED=0.31 LeftWall_910
CHANGE Flyschmarnoso-arenaceo_2828_14_L_1 U-KAEW=0.386 LeftWall_910
CHANGE Flyschmarnoso-arenaceo_2828_14_L_1 U-KPED=10.288 LeftWall_910
CHANGE Flyschmarnoso-arenaceo_2828_14_L_1 U-KPEW=10.079 LeftWall_910
CHANGE Flyschmarnoso-arenaceo_2828_14_L_0 D-KAED=0.324 LeftWall_910
CHANGE Flyschmarnoso-arenaceo_2828_14_L_0 D-KAEW=0.38 LeftWall_910
CHANGE Flyschmarnoso-arenaceo_2828_14_L_0 D-KPED=3.487 LeftWall_910
CHANGE Flyschmarnoso-arenaceo_2828_14_L_0 D-KPEW=3.265 LeftWall_910
CHANGE Flyschmarnoso-arenaceo_2828_14_L_1 D-KAED=0.324 LeftWall_910
CHANGE Flyschmarnoso-arenaceo_2828_14_L_1 D-KAEW=0.38 LeftWall_910
CHANGE Flyschmarnoso-arenaceo_2828_14_L_1 D-KPED=3.487 LeftWall_910
CHANGE Flyschmarnoso-arenaceo_2828_14_L_1 D-KPEW=3.265 LeftWall_910
EQK USER 0.0936 0 0 0 0.667 0 0 0 0
* Defining seismic surcharge pressures on wall LeftWall_910
*          min elevation = -15
*          max elevation = 0
*          average gamma = 20,76
*                        kh = 0,0936
```



```
*                deltaQ = 163,9521
DLOAD step LeftWall_910 -15 10.93 0 10.93
* Include pressure contribution from wall: LeftWall_910
* Include wall contribution
DLOAD step LeftWall_910 -15 0.18388 -0.5 0.18388
DLOAD step LeftWall_910 -0.5 1.17 0 1.17
ENDSTEP
```


6.2. Design Assumption : NTC2018: SLE (Rara/Frequente/Quasi Permanente) - File di Paratie - File di input (.d)

```
* ParatiePlus VERSION 23.0.2
 * PARATIE ANALYSIS FOR DESIGN SECTION:Base Design Section USING ASSUMPTION: NTC2018: SLE (Rara/Frequente/Quasi Permanente)
 * Time:martedì 28 febbraio 2023 09:05:04
 * 1: Defining general settings
UNIT  m kN
TITLE Guinza_Paratia Provvisionale
DELTA 0.2
option param itemax 40
option control contact lagrange

option control hinges 0 0.0001 0.001

* 2: Defining wall(s)
WALL LeftWall_910 0 -15 0 1

* 3: Defining surfaces for wall(s)
SOIL 0_L LeftWall_910 -15 0 1 0
SOIL 0_R LeftWall_910 -15 0 2 180

* 4: Defining soil layers
*
* Soil Profile (Flyschmarnoso-arenaceo_2828_14_L_0)
*
LDATA Flyschmarnoso-arenaceo_2828_14_L_0 13.4 LeftWall_910
ATREST 0.5 0.5 1
WEIGHT 21 11 10
PERMEABILITY 1E-05
RESISTANCE 100 35 0 0 0
TZDATA  LINEAR 10000 0 25 0.5 0
KSCALE  0 0
YOUNG 30000 48000
ENDL
*
* Soil Profile (ColtreDetritica_2826_17_L_0)
*
LDATA ColtreDetritica_2826_17_L_0 0 LeftWall_910
ATREST 0.5 0.5 1
WEIGHT 18 8 10
PERMEABILITY 1E-05
RESISTANCE 0 30 0 0 0
TZDATA  LINEAR 10000 0 25 0.5 0
KSCALE  0 0
YOUNG 30000 48000
ENDL
*
* Soil Profile (Flyschmarnoso-arenaceo_2828_14_L_1)
*
LDATA Flyschmarnoso-arenaceo_2828_14_L_1 -1.2 LeftWall_910
ATREST 0.5 0.5 1
WEIGHT 21 11 10
PERMEABILITY 1E-05
RESISTANCE 100 35 0 0 0
TZDATA  LINEAR 10000 0 25 0.5 0
KSCALE  0 0
YOUNG 30000 48000
ENDL

* 5: Defining structural materials
* Steel material: 998 Name=S355 E=210000000 kPa
MATERIAL S355_998 2.1E+08
* Concrete material: 988 Name=C25/30 E=31475800 kPa
MATERIAL C2530_988 3.1476E+07
* Rebar material: 1008 Name=acciaio armonico E=200100000 kPa
MATERIAL acciaioarmonico_1008 2.001E+08
* Concrete material: 987 Name=C20/25 E=29962000 kPa
MATERIAL C2025_987 2.996ZE+07
* Steel material: 992 Name=Fe360 E=206000200 kPa
MATERIAL Fe360_992 2.06E+08

* 6: Defining structural elements
* 6.1: Beams and combined Wall Elements
** rev 2021 and later
BEAM paratia_911 LeftWall_910 -15 -0.5 S355_998 0.10206 0.025514 8.8596E-05 1.9646 00 00 0
** rev 2021 and later
BEAM Cordolo_50387 LeftWall_910 -0.5 0 C2530_988 0.5 0.5 0.010417 12.5 00 00 0


* 6.2: Supports
WIRE tirantel_7498 LeftWall_910 -2 acciaioarmonico_1008 2.2604E-05 200 20 0 0
```

```
* 6.3: Strips
STRIP LeftWall_910 2 4 2.5 5 0.7 20 45

* 7: Defining Steps
STEP Geostatico_909
CHANGE Flyschmarnoso-arenaceo_2828_14_L_0 U-FRICT=35 LeftWall_910
CHANGE Flyschmarnoso-arenaceo_2828_14_L_1 U-FRICT=35 LeftWall_910
CHANGE Flyschmarnoso-arenaceo_2828_14_L_0 D-FRICT=35 LeftWall_910
CHANGE Flyschmarnoso-arenaceo_2828_14_L_1 D-FRICT=35 LeftWall_910
CHANGE Flyschmarnoso-arenaceo_2828_14_L_0 U-KA=0.224 LeftWall_910
CHANGE Flyschmarnoso-arenaceo_2828_14_L_0 U-KP=12.138 LeftWall_910
CHANGE Flyschmarnoso-arenaceo_2828_14_L_1 U-KA=0.224 LeftWall_910
CHANGE Flyschmarnoso-arenaceo_2828_14_L_1 U-KP=12.138 LeftWall_910
CHANGE Flyschmarnoso-arenaceo_2828_14_L_0 D-KA=0.224 LeftWall_910
CHANGE Flyschmarnoso-arenaceo_2828_14_L_0 D-KP=6.511 LeftWall_910
CHANGE Flyschmarnoso-arenaceo_2828_14_L_1 D-KA=0.224 LeftWall_910
CHANGE Flyschmarnoso-arenaceo_2828_14_L_1 D-KP=6.511 LeftWall_910
CHANGE Flyschmarnoso-arenaceo_2828_14_L_0 U-KA=0.246 LeftWall_910
CHANGE Flyschmarnoso-arenaceo_2828_14_L_0 U-KP=10.401 LeftWall_910
CHANGE Flyschmarnoso-arenaceo_2828_14_L_1 U-KA=0.246 LeftWall_910
CHANGE Flyschmarnoso-arenaceo_2828_14_L_1 U-KP=10.401 LeftWall_910
CHANGE ColtreDetritica_2826_17_L_0 U-FRICT=30 LeftWall_910
CHANGE ColtreDetritica_2826_17_L_0 D-FRICT=30 LeftWall_910
CHANGE ColtreDetritica_2826_17_L_0 U-KA=0.279 LeftWall_910
CHANGE ColtreDetritica_2826_17_L_0 U-KP=6.566 LeftWall_910
CHANGE ColtreDetritica_2826_17_L_0 D-KA=0.279 LeftWall_910
CHANGE ColtreDetritica_2826_17_L_0 D-KP=4.633 LeftWall_910
CHANGE Flyschmarnoso-arenaceo_2828_14_L_0 U-KA=0.246 LeftWall_910
CHANGE Flyschmarnoso-arenaceo_2828_14_L_0 U-KP=10.401 LeftWall_910
CHANGE Flyschmarnoso-arenaceo_2828_14_L_1 U-KA=0.246 LeftWall_910
CHANGE Flyschmarnoso-arenaceo_2828_14_L_1 U-KP=10.401 LeftWall_910
CHANGE Flyschmarnoso-arenaceo_2828_14_L_0 D-KA=0.19 LeftWall_910
CHANGE Flyschmarnoso-arenaceo_2828_14_L_0 D-KP=1.841 LeftWall_910
CHANGE Flyschmarnoso-arenaceo_2828_14_L_1 D-KA=0.19 LeftWall_910
CHANGE Flyschmarnoso-arenaceo_2828_14_L_1 D-KP=1.841 LeftWall_910
CHANGE Flyschmarnoso-arenaceo_2828_14_L_0 U-COHE=100 LeftWall_910
CHANGE Flyschmarnoso-arenaceo_2828_14_L_0 U-ADHES=0 LeftWall_910
CHANGE Flyschmarnoso-arenaceo_2828_14_L_1 U-COHE=100 LeftWall_910
CHANGE Flyschmarnoso-arenaceo_2828_14_L_1 U-ADHES=0 LeftWall_910
CHANGE Flyschmarnoso-arenaceo_2828_14_L_0 D-COHE=100 LeftWall_910
CHANGE Flyschmarnoso-arenaceo_2828_14_L_0 D-ADHES=0 LeftWall_910
CHANGE Flyschmarnoso-arenaceo_2828_14_L_1 D-COHE=100 LeftWall_910
CHANGE Flyschmarnoso-arenaceo_2828_14_L_1 D-ADHES=0 LeftWall_910
CHANGE ColtreDetritica_2826_17_L_0 U-COHE=0 LeftWall_910
CHANGE ColtreDetritica_2826_17_L_0 U-ADHES=0 LeftWall_910
CHANGE ColtreDetritica_2826_17_L_0 D-COHE=0 LeftWall_910
CHANGE ColtreDetritica_2826_17_L_0 D-ADHES=0 LeftWall_910
SETWALL LeftWall_910
GEOM 0 0
SURCHARGE 0 0 0 0
WATER -30 0 -15 0 0
ADD paratia_911 Cordolo_50387
ENDSTEP

STEP scavo1_6964
CHANGE Flyschmarnoso-arenaceo_2828_14_L_0 U-KA=0.224 LeftWall_910
CHANGE Flyschmarnoso-arenaceo_2828_14_L_0 U-KP=12.138 LeftWall_910
CHANGE Flyschmarnoso-arenaceo_2828_14_L_1 U-KA=0.224 LeftWall_910
CHANGE Flyschmarnoso-arenaceo_2828_14_L_1 U-KP=12.138 LeftWall_910
CHANGE Flyschmarnoso-arenaceo_2828_14_L_0 D-KA=0.224 LeftWall_910
CHANGE Flyschmarnoso-arenaceo_2828_14_L_0 D-KP=6.511 LeftWall_910
CHANGE Flyschmarnoso-arenaceo_2828_14_L_1 D-KA=0.224 LeftWall_910
CHANGE Flyschmarnoso-arenaceo_2828_14_L_1 D-KP=6.511 LeftWall_910
CHANGE Flyschmarnoso-arenaceo_2828_14_L_0 U-KA=0.246 LeftWall_910
CHANGE Flyschmarnoso-arenaceo_2828_14_L_0 U-KP=10.401 LeftWall_910
CHANGE Flyschmarnoso-arenaceo_2828_14_L_1 U-KA=0.246 LeftWall_910
CHANGE Flyschmarnoso-arenaceo_2828_14_L_1 U-KP=10.401 LeftWall_910
CHANGE Flyschmarnoso-arenaceo_2828_14_L_0 D-KA=0.223 LeftWall_910
CHANGE Flyschmarnoso-arenaceo_2828_14_L_0 D-KP=3.696 LeftWall_910
CHANGE Flyschmarnoso-arenaceo_2828_14_L_1 D-KA=0.223 LeftWall_910
CHANGE Flyschmarnoso-arenaceo_2828_14_L_1 D-KP=3.696 LeftWall_910
SETWALL LeftWall_910
GEOM 0 -2.5
SURCHARGE 0 0 0 0
WATER -30 0 -15 0 0
ENDSTEP

STEP tirantel_7231
CHANGE Flyschmarnoso-arenaceo_2828_14_L_0 U-KA=0.224 LeftWall_910
CHANGE Flyschmarnoso-arenaceo_2828_14_L_0 U-KP=12.138 LeftWall_910
CHANGE Flyschmarnoso-arenaceo_2828_14_L_1 U-KA=0.224 LeftWall_910
CHANGE Flyschmarnoso-arenaceo_2828_14_L_1 U-KP=12.138 LeftWall_910
CHANGE Flyschmarnoso-arenaceo_2828_14_L_0 D-KA=0.224 LeftWall_910
CHANGE Flyschmarnoso-arenaceo_2828_14_L_0 D-KP=6.511 LeftWall_910
CHANGE Flyschmarnoso-arenaceo_2828_14_L_1 D-KA=0.224 LeftWall_910
CHANGE Flyschmarnoso-arenaceo_2828_14_L_1 D-KP=6.511 LeftWall_910
CHANGE Flyschmarnoso-arenaceo_2828_14_L_0 U-KA=0.246 LeftWall_910
CHANGE Flyschmarnoso-arenaceo_2828_14_L_0 U-KP=10.401 LeftWall_910
CHANGE Flyschmarnoso-arenaceo_2828_14_L_1 U-KA=0.246 LeftWall_910
CHANGE Flyschmarnoso-arenaceo_2828_14_L_1 U-KP=10.401 LeftWall_910
CHANGE Flyschmarnoso-arenaceo_2828_14_L_0 D-KA=0.223 LeftWall_910
CHANGE Flyschmarnoso-arenaceo_2828_14_L_0 D-KP=3.696 LeftWall_910
CHANGE Flyschmarnoso-arenaceo_2828_14_L_1 D-KA=0.223 LeftWall_910
CHANGE Flyschmarnoso-arenaceo_2828_14_L_1 D-KP=3.696 LeftWall_910
SETWALL LeftWall_910
```



```
GEOM 0 -2.5
SURCHARGE 0 0 0 0
WATER -30 0 -15 0 0
ADD tirantel_7498
ENDSTEP

STEP scavo3_12389
CHANGE Flyschmarnoso-arenaceo_2828_14_L_0 U-KA=0.224 LeftWall_910
CHANGE Flyschmarnoso-arenaceo_2828_14_L_0 U-KP=12.138 LeftWall_910
CHANGE Flyschmarnoso-arenaceo_2828_14_L_1 U-KA=0.224 LeftWall_910
CHANGE Flyschmarnoso-arenaceo_2828_14_L_1 U-KP=12.138 LeftWall_910
CHANGE Flyschmarnoso-arenaceo_2828_14_L_0 D-KA=0.224 LeftWall_910
CHANGE Flyschmarnoso-arenaceo_2828_14_L_0 D-KP=6.511 LeftWall_910
CHANGE Flyschmarnoso-arenaceo_2828_14_L_1 D-KA=0.224 LeftWall_910
CHANGE Flyschmarnoso-arenaceo_2828_14_L_1 D-KP=6.511 LeftWall_910
CHANGE Flyschmarnoso-arenaceo_2828_14_L_0 U-KA=0.246 LeftWall_910
CHANGE Flyschmarnoso-arenaceo_2828_14_L_0 U-KP=10.401 LeftWall_910
CHANGE Flyschmarnoso-arenaceo_2828_14_L_1 U-KA=0.246 LeftWall_910
CHANGE Flyschmarnoso-arenaceo_2828_14_L_1 U-KP=10.401 LeftWall_910
SETWALL LeftWall_910
GEOM 0 -8.7
SURCHARGE 0 0 0 0
WATER -30 0 -15 0 0
ENDSTEP

STEP Sisma_14704
CHANGE Flyschmarnoso-arenaceo_2828_14_L_0 U-KA=0.224 LeftWall_910
CHANGE Flyschmarnoso-arenaceo_2828_14_L_0 U-KP=12.138 LeftWall_910
CHANGE Flyschmarnoso-arenaceo_2828_14_L_1 U-KA=0.224 LeftWall_910
CHANGE Flyschmarnoso-arenaceo_2828_14_L_1 U-KP=12.138 LeftWall_910
CHANGE Flyschmarnoso-arenaceo_2828_14_L_0 D-KA=0.271 LeftWall_910
CHANGE Flyschmarnoso-arenaceo_2828_14_L_0 D-KP=3.69 LeftWall_910
CHANGE Flyschmarnoso-arenaceo_2828_14_L_1 D-KA=0.271 LeftWall_910
CHANGE Flyschmarnoso-arenaceo_2828_14_L_1 D-KP=3.69 LeftWall_910
CHANGE ColtreDetritica_2826_17_L_0 D-KA=0.333 LeftWall_910
CHANGE ColtreDetritica_2826_17_L_0 D-KP=3 LeftWall_910
CHANGE Flyschmarnoso-arenaceo_2828_14_L_0 U-KA=0.246 LeftWall_910
CHANGE Flyschmarnoso-arenaceo_2828_14_L_0 U-KP=10.401 LeftWall_910
CHANGE Flyschmarnoso-arenaceo_2828_14_L_1 U-KA=0.246 LeftWall_910
CHANGE Flyschmarnoso-arenaceo_2828_14_L_1 U-KP=10.401 LeftWall_910
SETWALL LeftWall_910
GEOM 0 -8.7
SURCHARGE 0 0 0 0
WATER -30 0 -15 0 0
ENDSTEP
```


6.3. Design Assumption : NTC2018: A1+M1+R1 (R3 per tiranti) - File di Paratie - File di input (.d)

```
* ParatiePlus VERSION 23.0.2
 * PARATIE ANALYSIS FOR DESIGN SECTION:Base Design Section USING ASSUMPTION: NTC2018: A1+M1+R1 (R3 per tiranti)
 * Time:martedì 28 febbraio 2023 09:05:05
 * 1: Defining general settings
UNIT  m kN
TITLE Guinza_Paratia Provvisionale
DELTA  0.2
option param itemax 40
option control contact lagrange

option control hinges 0 0.0001 0.001

* 2: Defining wall(s)
WALL LeftWall_910 0 -15 0 1

* 3: Defining surfaces for wall(s)
SOIL 0_L LeftWall_910 -15 0 1 0
SOIL 0_R LeftWall_910 -15 0 2 180

* 4: Defining soil layers
*
* Soil Profile (Flyschmarnoso-arenaceo_2828_14_L_0)
*
LDATA Flyschmarnoso-arenaceo_2828_14_L_0 13.4 LeftWall_910
ATREST 0.5 0.5 1
WEIGHT 21 11 10
PERMEABILITY 1E-05
RESISTANCE 100 35 0 0 0
TZDATA  LINEAR 10000 0 25 0.5 0
KSCALE  0 0
YOUNG 30000 48000
ENDL
*
* Soil Profile (ColtreDetritica_2826_17_L_0)
*
LDATA ColtreDetritica_2826_17_L_0 0 LeftWall_910
ATREST 0.5 0.5 1
WEIGHT 18 8 10
PERMEABILITY 1E-05
RESISTANCE 0 30 0 0 0
TZDATA  LINEAR 10000 0 25 0.5 0
KSCALE  0 0
YOUNG 30000 48000
ENDL
*
* Soil Profile (Flyschmarnoso-arenaceo_2828_14_L_1)
*
LDATA Flyschmarnoso-arenaceo_2828_14_L_1 -1.2 LeftWall_910
ATREST 0.5 0.5 1
WEIGHT 21 11 10
PERMEABILITY 1E-05
RESISTANCE 100 35 0 0 0
TZDATA  LINEAR 10000 0 25 0.5 0
KSCALE  0 0
YOUNG 30000 48000
ENDL

* 5: Defining structural materials
 * Steel material: 998 Name=S355 E=210000000 kPa
MATERIAL S355_998 2.1E+08
 * Concrete material: 988 Name=C25/30 E=31475800 kPa
MATERIAL C2530_988 3.1476E+07
 * Rebar material: 1008 Name=acciaio armonico E=200100000 kPa
MATERIAL acciaioarmonico_1008 2.001E+08
 * Concrete material: 987 Name=C20/25 E=29962000 kPa
MATERIAL C2025_987 2.9962E+07
 * Steel material: 992 Name=Fe360 E=206000200 kPa
MATERIAL Fe360_992 2.06E+08

* 6: Defining structural elements
 * 6.1: Beams and combined Wall Elements
** rev 2021 and later
BEAM paratia_911 LeftWall_910 -15 -0.5 S355_998 0.10206 0.025514 8.8596E-05 1.9646 00 00 0
** rev 2021 and later
BEAM Cordolo_50387 LeftWall_910 -0.5 0 C2530_988 0.5 0.5 0.010417 12.5 00 00 0


* 6.2: Supports
WIRE tirantel_7498 LeftWall_910 -2 acciaioarmonico_1008 2.2604E-05 200 20 0 0
```



```
* 6.3: Strips
STRIP LeftWall_910 2 4 2.5 5 0.7 23.077 45

* 7: Defining Steps
STEP Geostatico_909
CHANGE Flyschmarnoso-arenaceo_2828_14_L_0 U-FRICT=35 LeftWall_910
CHANGE Flyschmarnoso-arenaceo_2828_14_L_1 U-FRICT=35 LeftWall_910
CHANGE Flyschmarnoso-arenaceo_2828_14_L_0 D-FRICT=35 LeftWall_910
CHANGE Flyschmarnoso-arenaceo_2828_14_L_1 D-FRICT=35 LeftWall_910
CHANGE Flyschmarnoso-arenaceo_2828_14_L_0 U-KA=0.224 LeftWall_910
CHANGE Flyschmarnoso-arenaceo_2828_14_L_0 U-KP=12.138 LeftWall_910
CHANGE Flyschmarnoso-arenaceo_2828_14_L_1 U-KA=0.224 LeftWall_910
CHANGE Flyschmarnoso-arenaceo_2828_14_L_1 U-KP=12.138 LeftWall_910
CHANGE Flyschmarnoso-arenaceo_2828_14_L_0 D-KA=0.224 LeftWall_910
CHANGE Flyschmarnoso-arenaceo_2828_14_L_0 D-KP=6.511 LeftWall_910
CHANGE Flyschmarnoso-arenaceo_2828_14_L_1 D-KA=0.224 LeftWall_910
CHANGE Flyschmarnoso-arenaceo_2828_14_L_1 D-KP=6.511 LeftWall_910
CHANGE ColtreDetritica_2826_17_L_0 U-FRICT=30 LeftWall_910
CHANGE ColtreDetritica_2826_17_L_0 D-FRICT=30 LeftWall_910
CHANGE ColtreDetritica_2826_17_L_0 U-KA=0.279 LeftWall_910
CHANGE ColtreDetritica_2826_17_L_0 U-KP=6.566 LeftWall_910
CHANGE ColtreDetritica_2826_17_L_0 D-KA=0.279 LeftWall_910
CHANGE ColtreDetritica_2826_17_L_0 D-KP=4.633 LeftWall_910
CHANGE Flyschmarnoso-arenaceo_2828_14_L_0 U-KA=0.246 LeftWall_910
CHANGE Flyschmarnoso-arenaceo_2828_14_L_0 U-KP=10.401 LeftWall_910
CHANGE Flyschmarnoso-arenaceo_2828_14_L_1 U-KA=0.246 LeftWall_910
CHANGE Flyschmarnoso-arenaceo_2828_14_L_1 U-KP=10.401 LeftWall_910
CHANGE Flyschmarnoso-arenaceo_2828_14_L_0 D-KA=0.19 LeftWall_910
CHANGE Flyschmarnoso-arenaceo_2828_14_L_0 D-KP=1.841 LeftWall_910
CHANGE Flyschmarnoso-arenaceo_2828_14_L_1 D-KA=0.19 LeftWall_910
CHANGE Flyschmarnoso-arenaceo_2828_14_L_1 D-KP=1.841 LeftWall_910
CHANGE Flyschmarnoso-arenaceo_2828_14_L_0 U-COHE=100 LeftWall_910
CHANGE Flyschmarnoso-arenaceo_2828_14_L_0 U-ADHES=0 LeftWall_910
CHANGE Flyschmarnoso-arenaceo_2828_14_L_1 U-COHE=100 LeftWall_910
CHANGE Flyschmarnoso-arenaceo_2828_14_L_1 U-ADHES=0 LeftWall_910
CHANGE Flyschmarnoso-arenaceo_2828_14_L_0 D-COHE=100 LeftWall_910
CHANGE Flyschmarnoso-arenaceo_2828_14_L_0 D-ADHES=0 LeftWall_910
CHANGE Flyschmarnoso-arenaceo_2828_14_L_1 D-COHE=100 LeftWall_910
CHANGE Flyschmarnoso-arenaceo_2828_14_L_1 D-ADHES=0 LeftWall_910
CHANGE ColtreDetritica_2826_17_L_0 U-COHE=0 LeftWall_910
CHANGE ColtreDetritica_2826_17_L_0 U-ADHES=0 LeftWall_910
CHANGE ColtreDetritica_2826_17_L_0 D-COHE=0 LeftWall_910
CHANGE ColtreDetritica_2826_17_L_0 D-ADHES=0 LeftWall_910
SETWALL LeftWall_910
GEOM 0 0
SURCHARGE 0 0 0 0
WATER -30 0 -15 0 0
ADD paratia_911 Cordolo_50387
ENDSTEP

STEP scavo1_6964
CHANGE Flyschmarnoso-arenaceo_2828_14_L_0 U-KA=0.224 LeftWall_910
CHANGE Flyschmarnoso-arenaceo_2828_14_L_0 U-KP=12.138 LeftWall_910
CHANGE Flyschmarnoso-arenaceo_2828_14_L_1 U-KA=0.224 LeftWall_910
CHANGE Flyschmarnoso-arenaceo_2828_14_L_1 U-KP=12.138 LeftWall_910
CHANGE Flyschmarnoso-arenaceo_2828_14_L_0 D-KA=0.224 LeftWall_910
CHANGE Flyschmarnoso-arenaceo_2828_14_L_0 D-KP=6.511 LeftWall_910
CHANGE Flyschmarnoso-arenaceo_2828_14_L_1 D-KA=0.224 LeftWall_910
CHANGE Flyschmarnoso-arenaceo_2828_14_L_1 D-KP=6.511 LeftWall_910
CHANGE Flyschmarnoso-arenaceo_2828_14_L_0 U-KA=0.246 LeftWall_910
CHANGE Flyschmarnoso-arenaceo_2828_14_L_0 U-KP=10.401 LeftWall_910
CHANGE Flyschmarnoso-arenaceo_2828_14_L_1 U-KA=0.246 LeftWall_910
CHANGE Flyschmarnoso-arenaceo_2828_14_L_1 U-KP=10.401 LeftWall_910
CHANGE Flyschmarnoso-arenaceo_2828_14_L_0 D-KA=0.223 LeftWall_910
CHANGE Flyschmarnoso-arenaceo_2828_14_L_0 D-KP=3.696 LeftWall_910
CHANGE Flyschmarnoso-arenaceo_2828_14_L_1 D-KA=0.223 LeftWall_910
CHANGE Flyschmarnoso-arenaceo_2828_14_L_1 D-KP=3.696 LeftWall_910
SETWALL LeftWall_910
GEOM 0 -2.5
SURCHARGE 0 0 0 0
WATER -30 0 -15 0 0
ENDSTEP

STEP tirantel_7231
CHANGE Flyschmarnoso-arenaceo_2828_14_L_0 U-KA=0.224 LeftWall_910
CHANGE Flyschmarnoso-arenaceo_2828_14_L_0 U-KP=12.138 LeftWall_910
CHANGE Flyschmarnoso-arenaceo_2828_14_L_1 U-KA=0.224 LeftWall_910
CHANGE Flyschmarnoso-arenaceo_2828_14_L_1 U-KP=12.138 LeftWall_910
CHANGE Flyschmarnoso-arenaceo_2828_14_L_0 D-KA=0.224 LeftWall_910
CHANGE Flyschmarnoso-arenaceo_2828_14_L_0 D-KP=6.511 LeftWall_910
CHANGE Flyschmarnoso-arenaceo_2828_14_L_1 D-KA=0.224 LeftWall_910
CHANGE Flyschmarnoso-arenaceo_2828_14_L_1 D-KP=6.511 LeftWall_910
CHANGE Flyschmarnoso-arenaceo_2828_14_L_0 U-KA=0.246 LeftWall_910
CHANGE Flyschmarnoso-arenaceo_2828_14_L_0 U-KP=10.401 LeftWall_910
CHANGE Flyschmarnoso-arenaceo_2828_14_L_1 U-KA=0.246 LeftWall_910
CHANGE Flyschmarnoso-arenaceo_2828_14_L_1 U-KP=10.401 LeftWall_910
CHANGE Flyschmarnoso-arenaceo_2828_14_L_0 D-KA=0.223 LeftWall_910
CHANGE Flyschmarnoso-arenaceo_2828_14_L_0 D-KP=3.696 LeftWall_910
CHANGE Flyschmarnoso-arenaceo_2828_14_L_1 D-KA=0.223 LeftWall_910
CHANGE Flyschmarnoso-arenaceo_2828_14_L_1 D-KP=3.696 LeftWall_910
SETWALL LeftWall_910
```

```
GEOM 0 -2.5
SURCHARGE 0 0 0 0
WATER -30 0 -15 0 0
ADD tirantel_7498
ENDSTEP

STEP scavo3_12389
CHANGE Flyschmarnoso-arenaceo_2828_14_L_0 U-KA=0.224 LeftWall_910
CHANGE Flyschmarnoso-arenaceo_2828_14_L_0 U-KP=12.138 LeftWall_910
CHANGE Flyschmarnoso-arenaceo_2828_14_L_1 U-KA=0.224 LeftWall_910
CHANGE Flyschmarnoso-arenaceo_2828_14_L_1 U-KP=12.138 LeftWall_910
CHANGE Flyschmarnoso-arenaceo_2828_14_L_0 D-KA=0.224 LeftWall_910
CHANGE Flyschmarnoso-arenaceo_2828_14_L_0 D-KP=6.511 LeftWall_910
CHANGE Flyschmarnoso-arenaceo_2828_14_L_1 D-KA=0.224 LeftWall_910
CHANGE Flyschmarnoso-arenaceo_2828_14_L_1 D-KP=6.511 LeftWall_910
CHANGE Flyschmarnoso-arenaceo_2828_14_L_0 U-KA=0.246 LeftWall_910
CHANGE Flyschmarnoso-arenaceo_2828_14_L_0 U-KP=10.401 LeftWall_910
CHANGE Flyschmarnoso-arenaceo_2828_14_L_1 U-KA=0.246 LeftWall_910
CHANGE Flyschmarnoso-arenaceo_2828_14_L_1 U-KP=10.401 LeftWall_910
SETWALL LeftWall_910
GEOM 0 -8.7
SURCHARGE 0 0 0 0
WATER -30 0 -15 0 0
ENDSTEP

STEP Sisma_14704
CHANGE Flyschmarnoso-arenaceo_2828_14_L_0 U-KA=0.224 LeftWall_910
CHANGE Flyschmarnoso-arenaceo_2828_14_L_0 U-KP=12.138 LeftWall_910
CHANGE Flyschmarnoso-arenaceo_2828_14_L_1 U-KA=0.224 LeftWall_910
CHANGE Flyschmarnoso-arenaceo_2828_14_L_1 U-KP=12.138 LeftWall_910
CHANGE Flyschmarnoso-arenaceo_2828_14_L_0 D-KA=0.271 LeftWall_910
CHANGE Flyschmarnoso-arenaceo_2828_14_L_0 D-KP=3.69 LeftWall_910
CHANGE Flyschmarnoso-arenaceo_2828_14_L_1 D-KA=0.271 LeftWall_910
CHANGE Flyschmarnoso-arenaceo_2828_14_L_1 D-KP=3.69 LeftWall_910
CHANGE ColtreDetritica_2826_17_L_0 D-KA=0.333 LeftWall_910
CHANGE ColtreDetritica_2826_17_L_0 D-KP=3 LeftWall_910
CHANGE Flyschmarnoso-arenaceo_2828_14_L_0 U-KA=0.246 LeftWall_910
CHANGE Flyschmarnoso-arenaceo_2828_14_L_0 U-KP=10.401 LeftWall_910
CHANGE Flyschmarnoso-arenaceo_2828_14_L_1 U-KA=0.246 LeftWall_910
CHANGE Flyschmarnoso-arenaceo_2828_14_L_1 U-KP=10.401 LeftWall_910
SETWALL LeftWall_910
GEOM 0 -8.7
SURCHARGE 0 0 0 0
WATER -30 0 -15 0 0
ENDSTEP
```


6.4. Design Assumption : NTC2018: A2+M2+R1 - File di Paratie - File di input (.d)

```
* ParatiePlus VERSION 23.0.2
 * PARATIE ANALYSIS FOR DESIGN SECTION:Base Design Section USING ASSUMPTION: NTC2018: A2+M2+R1
 * Time:martedì 28 febbraio 2023 09:05:05
 * 1: Defining general settings
UNIT  m kN
TITLE Guinza_Paratia Provvisionale
DELTA 0.2
option param itemax 40
option control contact lagrange

option control hinges 0 0.0001 0.001

 * 2: Defining wall(s)
WALL LeftWall_910 0 -15 0 1

 * 3: Defining surfaces for wall(s)
SOIL 0_L LeftWall_910 -15 0 1 0
SOIL 0_R LeftWall_910 -15 0 2 180

 * 4: Defining soil layers
 *
 * Soil Profile (Flyschmarnoso-arenaceo_2828_14_L_0)
 *
LDATA Flyschmarnoso-arenaceo_2828_14_L_0 13.4 LeftWall_910
ATREST 0.5 0.5 1
WEIGHT 21 11 10
PERMEABILITY 1E-05
RESISTANCE 100 35 0 0 0
TZDATA  LINEAR 10000 0 25 0.5 0
KSCALE  0 0
YOUNG 30000 48000
ENDL
 *
 * Soil Profile (ColtreDetritica_2826_17_L_0)
 *
LDATA ColtreDetritica_2826_17_L_0 0 LeftWall_910
ATREST 0.5 0.5 1
WEIGHT 18 8 10
PERMEABILITY 1E-05
RESISTANCE 0 30 0 0 0
TZDATA  LINEAR 10000 0 25 0.5 0
KSCALE  0 0
YOUNG 30000 48000
ENDL
 *
 * Soil Profile (Flyschmarnoso-arenaceo_2828_14_L_1)
 *
LDATA Flyschmarnoso-arenaceo_2828_14_L_1 -1.2 LeftWall_910
ATREST 0.5 0.5 1
WEIGHT 21 11 10
PERMEABILITY 1E-05
RESISTANCE 100 35 0 0 0
TZDATA  LINEAR 10000 0 25 0.5 0
KSCALE  0 0
YOUNG 30000 48000
ENDL

 * 5: Defining structural materials
 * Steel material: 998 Name=S355 E=210000000 kPa
MATERIAL S355_998 2.1E+08
 * Concrete material: 988 Name=C25/30 E=31475800 kPa
MATERIAL C2530_988 3.1476E+07
 * Rebar material: 1008 Name=acciaio armonico E=200100000 kPa
MATERIAL acciaioarmonico_1008 2.001E+08
 * Concrete material: 987 Name=C20/25 E=29962000 kPa
MATERIAL C2025_987 2.9962E+07
 * Steel material: 992 Name=Fe360 E=206000200 kPa
MATERIAL Fe360_992 2.06E+08

 * 6: Defining structural elements
 * 6.1: Beams and combined Wall Elements
 ** rev 2021 and later
BEAM paratia_911 LeftWall_910 -15 -0.5 S355_998 0.10206 0.025514 8.8596E-05 1.9646 00 00 0
 ** rev 2021 and later
BEAM Cordolo_50387 LeftWall_910 -0.5 0 C2530_988 0.5 0.5 0.010417 12.5 00 00 0


 * 6.2: Supports
WIRE tirantel_7498 LeftWall_910 -2 acciaioarmonico_1008 2.2604E-05 200 20 0 0




 * 6.3: Strips
STRIP LeftWall_910 2 4 2.5 5 0.7 26 45
```



```
 * 7: Defining Steps
STEP Geostatico_909
CHANGE Flyschmarnoso-arenaceo_2828_14_L_0 U-FRICT=29.256 LeftWall_910
CHANGE Flyschmarnoso-arenaceo_2828_14_L_1 U-FRICT=29.256 LeftWall_910
CHANGE Flyschmarnoso-arenaceo_2828_14_L_0 D-FRICT=29.256 LeftWall_910
CHANGE Flyschmarnoso-arenaceo_2828_14_L_1 D-FRICT=29.256 LeftWall_910
CHANGE Flyschmarnoso-arenaceo_2828_14_L_0 U-KA=0.288 LeftWall_910
CHANGE Flyschmarnoso-arenaceo_2828_14_L_0 U-KP=7.213 LeftWall_910
CHANGE Flyschmarnoso-arenaceo_2828_14_L_1 U-KA=0.288 LeftWall_910
CHANGE Flyschmarnoso-arenaceo_2828_14_L_1 U-KP=7.213 LeftWall_910
CHANGE Flyschmarnoso-arenaceo_2828_14_L_0 D-KA=0.288 LeftWall_910
CHANGE Flyschmarnoso-arenaceo_2828_14_L_0 D-KP=4.419 LeftWall_910
CHANGE Flyschmarnoso-arenaceo_2828_14_L_1 D-KA=0.288 LeftWall_910
CHANGE Flyschmarnoso-arenaceo_2828_14_L_1 D-KP=4.419 LeftWall_910
CHANGE ColtreDetritica_2826_17_L_0 U-FRICT=24.791 LeftWall_910
CHANGE ColtreDetritica_2826_17_L_0 D-FRICT=24.791 LeftWall_910
CHANGE ColtreDetritica_2826_17_L_0 U-KA=0.349 LeftWall_910
CHANGE ColtreDetritica_2826_17_L_0 U-KP=4.534 LeftWall_910
CHANGE ColtreDetritica_2826_17_L_0 D-KA=0.349 LeftWall_910
CHANGE ColtreDetritica_2826_17_L_0 D-KP=3.372 LeftWall_910
CHANGE Flyschmarnoso-arenaceo_2828_14_L_0 U-KA=0.322 LeftWall_910
CHANGE Flyschmarnoso-arenaceo_2828_14_L_0 U-KP=6.532 LeftWall_910
CHANGE Flyschmarnoso-arenaceo_2828_14_L_1 U-KA=0.322 LeftWall_910
CHANGE Flyschmarnoso-arenaceo_2828_14_L_1 U-KP=6.532 LeftWall_910
CHANGE Flyschmarnoso-arenaceo_2828_14_L_0 D-KA=0.239 LeftWall_910
CHANGE Flyschmarnoso-arenaceo_2828_14_L_0 D-KP=1.213 LeftWall_910
CHANGE Flyschmarnoso-arenaceo_2828_14_L_1 D-KA=0.239 LeftWall_910
CHANGE Flyschmarnoso-arenaceo_2828_14_L_1 D-KP=1.213 LeftWall_910
CHANGE Flyschmarnoso-arenaceo_2828_14_L_0 U-COHE=80 LeftWall_910
CHANGE Flyschmarnoso-arenaceo_2828_14_L_0 U-ADHES=0 LeftWall_910
CHANGE Flyschmarnoso-arenaceo_2828_14_L_1 U-COHE=80 LeftWall_910
CHANGE Flyschmarnoso-arenaceo_2828_14_L_1 U-ADHES=0 LeftWall_910
CHANGE Flyschmarnoso-arenaceo_2828_14_L_0 D-COHE=80 LeftWall_910
CHANGE Flyschmarnoso-arenaceo_2828_14_L_0 D-ADHES=0 LeftWall_910
CHANGE Flyschmarnoso-arenaceo_2828_14_L_1 D-COHE=80 LeftWall_910
CHANGE Flyschmarnoso-arenaceo_2828_14_L_1 D-ADHES=0 LeftWall_910
CHANGE ColtreDetritica_2826_17_L_0 D-COHE=0 LeftWall_910
CHANGE ColtreDetritica_2826_17_L_0 U-ADHES=0 LeftWall_910
CHANGE ColtreDetritica_2826_17_L_0 D-COHE=0 LeftWall_910
CHANGE ColtreDetritica_2826_17_L_0 D-ADHES=0 LeftWall_910
SETWALL LeftWall_910
GEOM 0 0
SURCHARGE 0 0 0 0
WATER -30 0 -15 0 0
ADD paratia_911 Cordolo_50387
ENDSTEP

STEP scavo1_6964
CHANGE Flyschmarnoso-arenaceo_2828_14_L_0 U-KA=0.288 LeftWall_910
CHANGE Flyschmarnoso-arenaceo_2828_14_L_0 U-KP=7.213 LeftWall_910
CHANGE Flyschmarnoso-arenaceo_2828_14_L_1 U-KA=0.288 LeftWall_910
CHANGE Flyschmarnoso-arenaceo_2828_14_L_1 U-KP=7.213 LeftWall_910
CHANGE Flyschmarnoso-arenaceo_2828_14_L_0 D-KA=0.288 LeftWall_910
CHANGE Flyschmarnoso-arenaceo_2828_14_L_0 D-KP=4.419 LeftWall_910
CHANGE Flyschmarnoso-arenaceo_2828_14_L_1 D-KA=0.288 LeftWall_910
CHANGE Flyschmarnoso-arenaceo_2828_14_L_1 D-KP=4.419 LeftWall_910
CHANGE Flyschmarnoso-arenaceo_2828_14_L_0 U-KA=0.322 LeftWall_910
CHANGE Flyschmarnoso-arenaceo_2828_14_L_0 U-KP=6.532 LeftWall_910
CHANGE Flyschmarnoso-arenaceo_2828_14_L_1 U-KA=0.322 LeftWall_910
CHANGE Flyschmarnoso-arenaceo_2828_14_L_1 U-KP=6.532 LeftWall_910
CHANGE Flyschmarnoso-arenaceo_2828_14_L_0 D-KA=0.286 LeftWall_910
CHANGE Flyschmarnoso-arenaceo_2828_14_L_0 D-KP=2.607 LeftWall_910
CHANGE Flyschmarnoso-arenaceo_2828_14_L_1 D-KA=0.286 LeftWall_910
CHANGE Flyschmarnoso-arenaceo_2828_14_L_1 D-KP=2.607 LeftWall_910
SETWALL LeftWall_910
GEOM 0 -2.5
SURCHARGE 0 0 0 0
WATER -30 0 -15 0 0
ENDSTEP

STEP tirantel_7231
CHANGE Flyschmarnoso-arenaceo_2828_14_L_0 U-KA=0.288 LeftWall_910
CHANGE Flyschmarnoso-arenaceo_2828_14_L_0 U-KP=7.213 LeftWall_910
CHANGE Flyschmarnoso-arenaceo_2828_14_L_1 U-KA=0.288 LeftWall_910
CHANGE Flyschmarnoso-arenaceo_2828_14_L_1 U-KP=7.213 LeftWall_910
CHANGE Flyschmarnoso-arenaceo_2828_14_L_0 D-KA=0.288 LeftWall_910
CHANGE Flyschmarnoso-arenaceo_2828_14_L_0 D-KP=4.419 LeftWall_910
CHANGE Flyschmarnoso-arenaceo_2828_14_L_1 D-KA=0.288 LeftWall_910
CHANGE Flyschmarnoso-arenaceo_2828_14_L_1 D-KP=4.419 LeftWall_910
CHANGE Flyschmarnoso-arenaceo_2828_14_L_0 U-KA=0.322 LeftWall_910
CHANGE Flyschmarnoso-arenaceo_2828_14_L_0 U-KP=6.532 LeftWall_910
CHANGE Flyschmarnoso-arenaceo_2828_14_L_1 U-KA=0.322 LeftWall_910
CHANGE Flyschmarnoso-arenaceo_2828_14_L_1 U-KP=6.532 LeftWall_910
CHANGE Flyschmarnoso-arenaceo_2828_14_L_0 D-KA=0.286 LeftWall_910
CHANGE Flyschmarnoso-arenaceo_2828_14_L_0 D-KP=2.607 LeftWall_910
CHANGE Flyschmarnoso-arenaceo_2828_14_L_1 D-KA=0.286 LeftWall_910
CHANGE Flyschmarnoso-arenaceo_2828_14_L_1 D-KP=2.607 LeftWall_910
SETWALL LeftWall_910
GEOM 0 -2.5
SURCHARGE 0 0 0 0
WATER -30 0 -15 0 0
```



```
ADD tirantel_7498
ENDSTEP

STEP scavo3_12389
CHANGE Flyschmarnoso-arenaceo_2828_14_L_0 U-KA=0.288 LeftWall_910
CHANGE Flyschmarnoso-arenaceo_2828_14_L_0 U-KP=7.213 LeftWall_910
CHANGE Flyschmarnoso-arenaceo_2828_14_L_1 U-KA=0.288 LeftWall_910
CHANGE Flyschmarnoso-arenaceo_2828_14_L_1 U-KP=7.213 LeftWall_910
CHANGE Flyschmarnoso-arenaceo_2828_14_L_0 D-KA=0.288 LeftWall_910
CHANGE Flyschmarnoso-arenaceo_2828_14_L_0 D-KP=4.419 LeftWall_910
CHANGE Flyschmarnoso-arenaceo_2828_14_L_1 D-KA=0.288 LeftWall_910
CHANGE Flyschmarnoso-arenaceo_2828_14_L_1 D-KP=4.419 LeftWall_910
CHANGE Flyschmarnoso-arenaceo_2828_14_L_0 U-KA=0.322 LeftWall_910
CHANGE Flyschmarnoso-arenaceo_2828_14_L_0 U-KP=6.532 LeftWall_910
CHANGE Flyschmarnoso-arenaceo_2828_14_L_1 U-KA=0.322 LeftWall_910
CHANGE Flyschmarnoso-arenaceo_2828_14_L_1 U-KP=6.532 LeftWall_910
SETWALL LeftWall_910
GEOM 0 -8.7
SURCHARGE 0 0 0 0
WATER -30 0 -15 0 0
ENDSTEP

STEP Sisma_14704
CHANGE Flyschmarnoso-arenaceo_2828_14_L_0 U-KA=0.288 LeftWall_910
CHANGE Flyschmarnoso-arenaceo_2828_14_L_0 U-KP=7.213 LeftWall_910
CHANGE Flyschmarnoso-arenaceo_2828_14_L_1 U-KA=0.288 LeftWall_910
CHANGE Flyschmarnoso-arenaceo_2828_14_L_1 U-KP=7.213 LeftWall_910
CHANGE Flyschmarnoso-arenaceo_2828_14_L_0 D-KA=0.343 LeftWall_910
CHANGE Flyschmarnoso-arenaceo_2828_14_L_0 D-KP=2.912 LeftWall_910
CHANGE Flyschmarnoso-arenaceo_2828_14_L_1 D-KA=0.343 LeftWall_910
CHANGE Flyschmarnoso-arenaceo_2828_14_L_1 D-KP=2.912 LeftWall_910
CHANGE ColtreDetritica_2826_17_L_0 D-KA=0.409 LeftWall_910
CHANGE ColtreDetritica_2826_17_L_0 D-KP=2.444 LeftWall_910
CHANGE Flyschmarnoso-arenaceo_2828_14_L_0 U-KA=0.322 LeftWall_910
CHANGE Flyschmarnoso-arenaceo_2828_14_L_0 U-KP=6.532 LeftWall_910
CHANGE Flyschmarnoso-arenaceo_2828_14_L_1 U-KA=0.322 LeftWall_910
CHANGE Flyschmarnoso-arenaceo_2828_14_L_1 U-KP=6.532 LeftWall_910
SETWALL LeftWall_910
GEOM 0 -8.7
SURCHARGE 0 0 0 0
WATER -30 0 -15 0 0
ENDSTEP
```

6.5. Design Assumption : NTC2018: SISMICA STR - File di Paratie - File di input (.d)

```
* ParatiePlus VERSION 23.0.2
 * PARATIE ANALYSIS FOR DESIGN SECTION:Base Design Section USING ASSUMPTION: NTC2018: SISMICA STR
 * Time:martedì 28 febbraio 2023 09:05:06
 * 1: Defining general settings
UNIT  m kN
TITLE Guinza_Paratia Provvisionale
DELTA 0.2
option param itemax 40
option control contact lagrange

option control hinges 0 0.0001 0.001

* 2: Defining wall(s)
WALL LeftWall_910 0 -15 0 1

* 3: Defining surfaces for wall(s)
SOIL 0_L LeftWall_910 -15 0 1 0
SOIL 0_R LeftWall_910 -15 0 2 180

* 4: Defining soil layers
*
* Soil Profile (Flyschmarnoso-arenaceo_2828_14_L_0)
*
LDATA Flyschmarnoso-arenaceo_2828_14_L_0 13.4 LeftWall_910
ATREST 0.5 0.5 1
WEIGHT 21 11 10
PERMEABILITY 1E-05
RESISTANCE 100 35 0 0 0
TZDATA  LINEAR 10000 0 25 0.5 0
KSCALE  0 0
YOUNG 30000 48000
ENDL
*
* Soil Profile (ColtreDetritica_2826_17_L_0)
*
LDATA ColtreDetritica_2826_17_L_0 0 LeftWall_910
ATREST 0.5 0.5 1
WEIGHT 18 8 10
PERMEABILITY 1E-05
RESISTANCE 0 30 0 0 0
TZDATA  LINEAR 10000 0 25 0.5 0
KSCALE  0 0
YOUNG 30000 48000
ENDL
*
* Soil Profile (Flyschmarnoso-arenaceo_2828_14_L_1)
*
LDATA Flyschmarnoso-arenaceo_2828_14_L_1 -1.2 LeftWall_910
ATREST 0.5 0.5 1
WEIGHT 21 11 10
PERMEABILITY 1E-05
RESISTANCE 100 35 0 0 0
TZDATA  LINEAR 10000 0 25 0.5 0
KSCALE  0 0
YOUNG 30000 48000
ENDL

* 5: Defining structural materials
* Steel material: 998 Name=S355 E=210000000 kPa
MATERIAL S355_998 2.1E+08
* Concrete material: 988 Name=C25/30 E=31475800 kPa
MATERIAL C2530_988 3.147E+07
* Rebar material: 1008 Name=acciaio armonico E=200100000 kPa
MATERIAL acciaioarmonico_1008 2.001E+08
* Concrete material: 987 Name=C20/25 E=29962000 kPa
MATERIAL C2025_987 2.996ZE+07
* Steel material: 992 Name=Fe360 E=206000200 kPa
MATERIAL Fe360_992 2.06E+08

* 6: Defining structural elements
* 6.1: Beams and combined Wall Elements
** rev 2021 and later
BEAM paratia_911 LeftWall_910 -15 -0.5 S355_998 0.10206 0.025514 8.8596E-05 1.9646 00 00 0
** rev 2021 and later
BEAM Cordolo_50387 LeftWall_910 -0.5 0 C2530_988 0.5 0.5 0.010417 12.5 00 00 0


* 6.2: Supports
WIRE tirantel_7498 LeftWall_910 -2 acciaioarmonico_1008 2.2604E-05 200 20 0 0




* 6.3: Strips
STRIP LeftWall_910 2 4 2.5 5 0.7 20 45
```



```
* 7: Defining Steps
STEP Geostatico_909
CHANGE Flyschmarnoso-arenaceo_2828_14_L_0 U-FRICT=35 LeftWall_910
CHANGE Flyschmarnoso-arenaceo_2828_14_L_1 U-FRICT=35 LeftWall_910
CHANGE Flyschmarnoso-arenaceo_2828_14_L_0 D-FRICT=35 LeftWall_910
CHANGE Flyschmarnoso-arenaceo_2828_14_L_1 D-FRICT=35 LeftWall_910
CHANGE Flyschmarnoso-arenaceo_2828_14_L_0 U-KA=0.224 LeftWall_910
CHANGE Flyschmarnoso-arenaceo_2828_14_L_0 U-KP=12.138 LeftWall_910
CHANGE Flyschmarnoso-arenaceo_2828_14_L_1 U-KA=0.224 LeftWall_910
CHANGE Flyschmarnoso-arenaceo_2828_14_L_1 U-KP=12.138 LeftWall_910
CHANGE Flyschmarnoso-arenaceo_2828_14_L_0 D-KA=0.224 LeftWall_910
CHANGE Flyschmarnoso-arenaceo_2828_14_L_0 D-KP=6.511 LeftWall_910
CHANGE Flyschmarnoso-arenaceo_2828_14_L_1 D-KA=0.224 LeftWall_910
CHANGE Flyschmarnoso-arenaceo_2828_14_L_1 D-KP=6.511 LeftWall_910
CHANGE ColtreDetritica_2826_17_L_0 D-FRICT=30 LeftWall_910
CHANGE ColtreDetritica_2826_17_L_0 U-KA=0.279 LeftWall_910
CHANGE ColtreDetritica_2826_17_L_0 U-KP=6.566 LeftWall_910
CHANGE ColtreDetritica_2826_17_L_0 D-KA=0.279 LeftWall_910
CHANGE ColtreDetritica_2826_17_L_0 D-KP=4.633 LeftWall_910
CHANGE Flyschmarnoso-arenaceo_2828_14_L_0 U-KA=0.246 LeftWall_910
CHANGE Flyschmarnoso-arenaceo_2828_14_L_0 U-KP=10.401 LeftWall_910
CHANGE Flyschmarnoso-arenaceo_2828_14_L_1 U-KA=0.246 LeftWall_910
CHANGE Flyschmarnoso-arenaceo_2828_14_L_1 U-KP=10.401 LeftWall_910
CHANGE Flyschmarnoso-arenaceo_2828_14_L_0 D-KA=0.19 LeftWall_910
CHANGE Flyschmarnoso-arenaceo_2828_14_L_0 D-KP=1.841 LeftWall_910
CHANGE Flyschmarnoso-arenaceo_2828_14_L_1 D-KA=0.19 LeftWall_910
CHANGE Flyschmarnoso-arenaceo_2828_14_L_1 D-KP=1.841 LeftWall_910
CHANGE Flyschmarnoso-arenaceo_2828_14_L_0 U-COHE=100 LeftWall_910
CHANGE Flyschmarnoso-arenaceo_2828_14_L_0 U-ADHES=0 LeftWall_910
CHANGE Flyschmarnoso-arenaceo_2828_14_L_1 U-COHE=100 LeftWall_910
CHANGE Flyschmarnoso-arenaceo_2828_14_L_1 U-ADHES=0 LeftWall_910
CHANGE Flyschmarnoso-arenaceo_2828_14_L_0 D-COHE=100 LeftWall_910
CHANGE Flyschmarnoso-arenaceo_2828_14_L_0 D-ADHES=0 LeftWall_910
CHANGE Flyschmarnoso-arenaceo_2828_14_L_1 D-COHE=100 LeftWall_910
CHANGE Flyschmarnoso-arenaceo_2828_14_L_1 D-ADHES=0 LeftWall_910
CHANGE ColtreDetritica_2826_17_L_0 U-COHE=0 LeftWall_910
CHANGE ColtreDetritica_2826_17_L_0 U-ADHES=0 LeftWall_910
CHANGE ColtreDetritica_2826_17_L_0 D-COHE=0 LeftWall_910
CHANGE ColtreDetritica_2826_17_L_0 D-ADHES=0 LeftWall_910
SETWALL LeftWall_910
GEOM 0 0
SURCHARGE 0 0 0 0
WATER -30 0 -15 0 0
ADD paratia_911 Cordolo_50387
ENDSTEP

STEP scavo1_6964
CHANGE Flyschmarnoso-arenaceo_2828_14_L_0 U-KA=0.224 LeftWall_910
CHANGE Flyschmarnoso-arenaceo_2828_14_L_0 U-KP=12.138 LeftWall_910
CHANGE Flyschmarnoso-arenaceo_2828_14_L_1 U-KA=0.224 LeftWall_910
CHANGE Flyschmarnoso-arenaceo_2828_14_L_1 U-KP=12.138 LeftWall_910
CHANGE Flyschmarnoso-arenaceo_2828_14_L_0 D-KA=0.224 LeftWall_910
CHANGE Flyschmarnoso-arenaceo_2828_14_L_0 D-KP=6.511 LeftWall_910
CHANGE Flyschmarnoso-arenaceo_2828_14_L_1 D-KA=0.224 LeftWall_910
CHANGE Flyschmarnoso-arenaceo_2828_14_L_1 D-KP=6.511 LeftWall_910
CHANGE Flyschmarnoso-arenaceo_2828_14_L_0 U-KA=0.246 LeftWall_910
CHANGE Flyschmarnoso-arenaceo_2828_14_L_0 U-KP=10.401 LeftWall_910
CHANGE Flyschmarnoso-arenaceo_2828_14_L_1 U-KA=0.246 LeftWall_910
CHANGE Flyschmarnoso-arenaceo_2828_14_L_1 U-KP=10.401 LeftWall_910
CHANGE Flyschmarnoso-arenaceo_2828_14_L_0 D-KA=0.223 LeftWall_910
CHANGE Flyschmarnoso-arenaceo_2828_14_L_0 D-KP=3.696 LeftWall_910
CHANGE Flyschmarnoso-arenaceo_2828_14_L_1 D-KA=0.223 LeftWall_910
CHANGE Flyschmarnoso-arenaceo_2828_14_L_1 D-KP=3.696 LeftWall_910
SETWALL LeftWall_910
GEOM 0 -2.5
SURCHARGE 0 0 0 0
WATER -30 0 -15 0 0
ENDSTEP

STEP tirantel_7231
CHANGE Flyschmarnoso-arenaceo_2828_14_L_0 U-KA=0.224 LeftWall_910
CHANGE Flyschmarnoso-arenaceo_2828_14_L_0 U-KP=12.138 LeftWall_910
CHANGE Flyschmarnoso-arenaceo_2828_14_L_1 U-KA=0.224 LeftWall_910
CHANGE Flyschmarnoso-arenaceo_2828_14_L_1 U-KP=12.138 LeftWall_910
CHANGE Flyschmarnoso-arenaceo_2828_14_L_0 D-KA=0.224 LeftWall_910
CHANGE Flyschmarnoso-arenaceo_2828_14_L_0 D-KP=6.511 LeftWall_910
CHANGE Flyschmarnoso-arenaceo_2828_14_L_1 D-KA=0.224 LeftWall_910
CHANGE Flyschmarnoso-arenaceo_2828_14_L_1 D-KP=6.511 LeftWall_910
CHANGE Flyschmarnoso-arenaceo_2828_14_L_0 U-KA=0.246 LeftWall_910
CHANGE Flyschmarnoso-arenaceo_2828_14_L_0 U-KP=10.401 LeftWall_910
CHANGE Flyschmarnoso-arenaceo_2828_14_L_1 U-KA=0.246 LeftWall_910
CHANGE Flyschmarnoso-arenaceo_2828_14_L_1 U-KP=10.401 LeftWall_910
CHANGE Flyschmarnoso-arenaceo_2828_14_L_0 D-KA=0.223 LeftWall_910
CHANGE Flyschmarnoso-arenaceo_2828_14_L_0 D-KP=3.696 LeftWall_910
CHANGE Flyschmarnoso-arenaceo_2828_14_L_1 D-KA=0.223 LeftWall_910
CHANGE Flyschmarnoso-arenaceo_2828_14_L_1 D-KP=3.696 LeftWall_910
SETWALL LeftWall_910
GEOM 0 -2.5
SURCHARGE 0 0 0 0
WATER -30 0 -15 0 0
```



```
ADD tirantel_7498
ENDSTEP

STEP scavo3_12389
CHANGE Flyschmarnoso-arenaceo_2828_14_L_0 U-KA=0.224 LeftWall_910
CHANGE Flyschmarnoso-arenaceo_2828_14_L_0 U-KP=12.138 LeftWall_910
CHANGE Flyschmarnoso-arenaceo_2828_14_L_1 U-KA=0.224 LeftWall_910
CHANGE Flyschmarnoso-arenaceo_2828_14_L_1 U-KP=12.138 LeftWall_910
CHANGE Flyschmarnoso-arenaceo_2828_14_L_0 D-KA=0.224 LeftWall_910
CHANGE Flyschmarnoso-arenaceo_2828_14_L_0 D-KP=6.511 LeftWall_910
CHANGE Flyschmarnoso-arenaceo_2828_14_L_1 D-KA=0.224 LeftWall_910
CHANGE Flyschmarnoso-arenaceo_2828_14_L_1 D-KP=6.511 LeftWall_910
CHANGE Flyschmarnoso-arenaceo_2828_14_L_0 U-KA=0.246 LeftWall_910
CHANGE Flyschmarnoso-arenaceo_2828_14_L_0 U-KP=10.401 LeftWall_910
CHANGE Flyschmarnoso-arenaceo_2828_14_L_1 U-KA=0.246 LeftWall_910
CHANGE Flyschmarnoso-arenaceo_2828_14_L_1 U-KP=10.401 LeftWall_910
SETWALL LeftWall_910
GEOM 0 -8.7
SURCHARGE 0 0 0 0
WATER -30 0 -15 0 0
ENDSTEP

STEP Sisma_14704
CHANGE Flyschmarnoso-arenaceo_2828_14_L_0 U-KA=0.224 LeftWall_910
CHANGE Flyschmarnoso-arenaceo_2828_14_L_0 U-KP=12.138 LeftWall_910
CHANGE Flyschmarnoso-arenaceo_2828_14_L_1 U-KA=0.224 LeftWall_910
CHANGE Flyschmarnoso-arenaceo_2828_14_L_1 U-KP=12.138 LeftWall_910
CHANGE Flyschmarnoso-arenaceo_2828_14_L_0 U-KA=0.271 LeftWall_910
CHANGE Flyschmarnoso-arenaceo_2828_14_L_0 U-KP=3.69 LeftWall_910
CHANGE Flyschmarnoso-arenaceo_2828_14_L_1 U-KA=0.271 LeftWall_910
CHANGE Flyschmarnoso-arenaceo_2828_14_L_1 U-KP=3.69 LeftWall_910
CHANGE ColtreDetritica_2826_17_L_0 D-KA=0.333 LeftWall_910
CHANGE ColtreDetritica_2826_17_L_0 D-KP=3 LeftWall_910
CHANGE Flyschmarnoso-arenaceo_2828_14_L_0 U-KA=0.246 LeftWall_910
CHANGE Flyschmarnoso-arenaceo_2828_14_L_0 U-KP=10.401 LeftWall_910
CHANGE Flyschmarnoso-arenaceo_2828_14_L_1 U-KA=0.246 LeftWall_910
CHANGE Flyschmarnoso-arenaceo_2828_14_L_1 U-KP=10.401 LeftWall_910
SETWALL LeftWall_910
GEOM 0 -8.7
SURCHARGE 0 0 0 0
WATER -30 0 -15 0 0
CHANGE Flyschmarnoso-arenaceo_2828_14_L_0 U-KAED=0.277 LeftWall_910
CHANGE Flyschmarnoso-arenaceo_2828_14_L_0 U-KAEW=0.336 LeftWall_910
CHANGE Flyschmarnoso-arenaceo_2828_14_L_0 U-KPED=12.309 LeftWall_910
CHANGE Flyschmarnoso-arenaceo_2828_14_L_0 U-KPEW=12.317 LeftWall_910
CHANGE Flyschmarnoso-arenaceo_2828_14_L_1 U-KAED=0.277 LeftWall_910
CHANGE Flyschmarnoso-arenaceo_2828_14_L_1 U-KAEW=0.336 LeftWall_910
CHANGE Flyschmarnoso-arenaceo_2828_14_L_1 U-KPED=12.309 LeftWall_910
CHANGE Flyschmarnoso-arenaceo_2828_14_L_1 U-KPEW=12.317 LeftWall_910
CHANGE Flyschmarnoso-arenaceo_2828_14_L_0 D-KAED=0.324 LeftWall_910
CHANGE Flyschmarnoso-arenaceo_2828_14_L_0 D-KAEW=0.38 LeftWall_910
CHANGE Flyschmarnoso-arenaceo_2828_14_L_0 D-KPED=3.487 LeftWall_910
CHANGE Flyschmarnoso-arenaceo_2828_14_L_0 D-KPEW=3.265 LeftWall_910
CHANGE Flyschmarnoso-arenaceo_2828_14_L_1 D-KAED=0.324 LeftWall_910
CHANGE Flyschmarnoso-arenaceo_2828_14_L_1 D-KAEW=0.38 LeftWall_910
CHANGE Flyschmarnoso-arenaceo_2828_14_L_1 D-KPED=3.487 LeftWall_910
CHANGE Flyschmarnoso-arenaceo_2828_14_L_1 D-KPEW=3.265 LeftWall_910
CHANGE ColtreDetritica_2826_17_L_0 U-KAED=0.339 LeftWall_910
CHANGE ColtreDetritica_2826_17_L_0 U-KAEW=0.437 LeftWall_910
CHANGE ColtreDetritica_2826_17_L_0 U-KPED=6.437 LeftWall_910
CHANGE ColtreDetritica_2826_17_L_0 U-KPEW=6.159 LeftWall_910
CHANGE ColtreDetritica_2826_17_L_0 D-KAED=0.392 LeftWall_910
CHANGE ColtreDetritica_2826_17_L_0 D-KAEW=0.482 LeftWall_910
CHANGE ColtreDetritica_2826_17_L_0 D-KPED=2.816 LeftWall_910
CHANGE ColtreDetritica_2826_17_L_0 D-KPEW=2.53 LeftWall_910
CHANGE Flyschmarnoso-arenaceo_2828_14_L_0 U-KAED=0.31 LeftWall_910
CHANGE Flyschmarnoso-arenaceo_2828_14_L_0 U-KAEW=0.386 LeftWall_910
CHANGE Flyschmarnoso-arenaceo_2828_14_L_0 U-KPED=10.288 LeftWall_910
CHANGE Flyschmarnoso-arenaceo_2828_14_L_0 U-KPEW=10.079 LeftWall_910
CHANGE Flyschmarnoso-arenaceo_2828_14_L_1 U-KAED=0.31 LeftWall_910
CHANGE Flyschmarnoso-arenaceo_2828_14_L_1 U-KAEW=0.386 LeftWall_910
CHANGE Flyschmarnoso-arenaceo_2828_14_L_1 U-KPED=10.288 LeftWall_910
CHANGE Flyschmarnoso-arenaceo_2828_14_L_1 U-KPEW=10.079 LeftWall_910
CHANGE Flyschmarnoso-arenaceo_2828_14_L_0 D-KAED=0.324 LeftWall_910
CHANGE Flyschmarnoso-arenaceo_2828_14_L_0 D-KAEW=0.38 LeftWall_910
CHANGE Flyschmarnoso-arenaceo_2828_14_L_0 D-KPED=3.487 LeftWall_910
CHANGE Flyschmarnoso-arenaceo_2828_14_L_0 D-KPEW=3.265 LeftWall_910
CHANGE Flyschmarnoso-arenaceo_2828_14_L_1 D-KAED=0.324 LeftWall_910
CHANGE Flyschmarnoso-arenaceo_2828_14_L_1 D-KAEW=0.38 LeftWall_910
CHANGE Flyschmarnoso-arenaceo_2828_14_L_1 D-KPED=3.487 LeftWall_910
CHANGE Flyschmarnoso-arenaceo_2828_14_L_1 D-KPEW=3.265 LeftWall_910
EQK USER 0.0936 0 0 0 0.667 0 0 0 0
* Defining seismic surcharge pressures on wall LeftWall_910
*         min elevation = -15
*         max elevation = 0
*         average gamma = 20,76
*                 kh = 0,0936
*              deltaQ = 163,9521
DLOAD step LeftWall_910 -15 10.93 0 10.93
* Include pressure contribution from wall: LeftWall_910
* Include wall contribution
DLOAD step LeftWall_910 -15 0.18388 -0.5 0.18388
```



```
DLOAD step LeftWall_910 -0.5 1.17 0 1.17
ENDSTEP
```

6.6. Design Assumption : NTC2018: SISMICA GEO - File di Paratie - File di input (.d)

```
* ParatiePlus VERSION 23.0.2
 * PARATIE ANALYSIS FOR DESIGN SECTION:Base Design Section USING ASSUMPTION: NTC2018: SISMICA GEO
 * Time:martedì 28 febbraio 2023 09:05:07
 * 1: Defining general settings
UNIT  m kN
TITLE Guinza_Paratia Provvisionale
DELTA 0.2
option param itemax 40
option control contact lagrange

option control hinges 0 0.0001 0.001

* 2: Defining wall(s)
WALL LeftWall_910 0 -15 0 1

* 3: Defining surfaces for wall(s)
SOIL 0_L LeftWall_910 -15 0 1 0
SOIL 0_R LeftWall_910 -15 0 2 180

* 4: Defining soil layers
*
* Soil Profile (Flyschmarnoso-arenaceo_2828_14_L_0)
*
LDATA Flyschmarnoso-arenaceo_2828_14_L_0 13.4 LeftWall_910
ATREST 0.5 0.5 1
WEIGHT 21 11 10
PERMEABILITY 1E-05
RESISTANCE 100 35 0 0 0
TZDATA  LINEAR 10000 0 25 0.5 0
KSCALE  0 0
YOUNG 30000 48000
ENDL
*
* Soil Profile (ColtreDetritica_2826_17_L_0)
*
LDATA ColtreDetritica_2826_17_L_0 0 LeftWall_910
ATREST 0.5 0.5 1
WEIGHT 18 8 10
PERMEABILITY 1E-05
RESISTANCE 0 30 0 0 0
TZDATA  LINEAR 10000 0 25 0.5 0
KSCALE  0 0
YOUNG 30000 48000
ENDL
*
* Soil Profile (Flyschmarnoso-arenaceo_2828_14_L_1)
*
LDATA Flyschmarnoso-arenaceo_2828_14_L_1 -1.2 LeftWall_910
ATREST 0.5 0.5 1
WEIGHT 21 11 10
PERMEABILITY 1E-05
RESISTANCE 100 35 0 0 0
TZDATA  LINEAR 10000 0 25 0.5 0
KSCALE  0 0
YOUNG 30000 48000
ENDL

* 5: Defining structural materials
* Steel material: 998 Name=S355 E=210000000 kPa
MATERIAL S355_998 2.1E+08
* Concrete material: 988 Name=C25/30 E=31475800 kPa
MATERIAL C2530_988 3.147E+07
* Rebar material: 1008 Name=acciaio armonico E=200100000 kPa
MATERIAL acciaioarmonico_1008 2.001E+08
* Concrete material: 987 Name=C20/25 E=29962000 kPa
MATERIAL C2025_987 2.996ZE+07
* Steel material: 992 Name=Fe360 E=206000200 kPa
MATERIAL Fe360_992 2.06E+08

* 6: Defining structural elements
* 6.1: Beams and combined Wall Elements
** rev 2021 and later
BEAM paratia_911 LeftWall_910 -15 -0.5 S355_998 0.10206 0.025514 8.8596E-05 1.9646 00 00 0
** rev 2021 and later
BEAM Cordolo_50387 LeftWall_910 -0.5 0 C2530_988 0.5 0.5 0.010417 12.5 00 00 0


* 6.2: Supports
WIRE tirantel_7498 LeftWall_910 -2 acciaioarmonico_1008 2.2604E-05 200 20 0 0 0
```

Descrizione metodo di calcolo

La verifica alla stabilità del pendio deve fornire un coefficiente di sicurezza non inferiore a **1.10**.
Viene usata la tecnica della suddivisione a strisce della superficie di scorrimento da analizzare.
In particolare il programma esamina un numero di superfici che dipende dalle impostazioni fornite e che sono riportate nella corrispondente sezione. Il processo iterativo permette di determinare il coefficiente di sicurezza di tutte le superfici analizzate.
Nella descrizione dei metodi di calcolo si adotterà la seguente simbologia:

l	lunghezza della base della striscia
a	angolo della base della striscia rispetto all'orizzontale
b	larghezza della striscia b=l x cos(a)
f	angolo di attrito lungo la base della striscia
c	coesione lungo la base della striscia
g	peso di volume del terreno
u	pressione neutra
W	peso della striscia
N	sforzo normale alla base della striscia
T	sforzo di taglio alla base della striscia
$\mathbf{E_s}$, $\mathbf{E_d}$	forze normali di interstriscia a sinistra e a destra
$\mathbf{X_s}$, $\mathbf{X_d}$	forze tangenziali di interstriscia a sinistra e a destra
$\mathbf{E_a}$, $\mathbf{E_b}$	forze normali di interstriscia alla base ed alla sommità del pendio
DX	variazione delle forze tangenziali sulla striscia $\mathbf{DX = X_d - X_s}$
DE	variazione delle forze normali sulla striscia $\mathbf{DE = E_d - E_s}$

Metodo di Morgenstern e Price

Nel metodo **Morgenstern e Price** le forze normali e tangenziali di interstriscia sono legate fra di loro dalla relazione

$$X = l\, f(x)\, E$$

dove f(x) è una funzione di forma definita in modo che |f(x)|<=1 e l è un parametro scalare che si ricava dal processo di soluzione.
Il coefficiente si ottiene dalla risoluzione del seguente sistema di equazioni differenziali:

$$\frac{dE}{dx}(K x + L) + K E = N x + P$$

$$X = \frac{dE}{dx} y - \frac{d}{dx}(E\, y_t)$$

le cui condizioni al contorno sono:

$$E(x) = E_a \quad \text{quando} \quad x = x_0$$
$$E(x) = E_b \quad \text{quando} \quad x = x_n$$

$$M = E\,(y - y_t) = \int_{xn}^{x0} (X - E\, dy/dx)\, dx = 0$$

I termini del sistema sono dati da:

$$K = l\, k \left(\frac{tg\, f}{F} + A\right)$$

$$L = l\, m \left(\frac{tg\, f}{F} + A\right) + A \frac{tg\, f}{F} - 1$$

$$N = p \left[A + \frac{tg\, f}{F} - r_u(1 + A^2) \frac{tg\, f}{F}\right]$$

$$P = q \left[A + \frac{tg\, f}{F} - r_u(1 + A^2) \frac{tg\, f}{F}\right] + \frac{tg\, f}{F} c\,[1 + A^2]$$

nelle quali **k** ed **m** sono i due parametri assegnati striscia per striscia per definire il rapporto tra la risultante delle forze tangenziali, **X**, all'interfaccia e quella delle pressioni normali, **E**, mentre la variabile **l** è introdotta per pareggiare il numero delle equazioni e quello delle incognite oltre che utile per tarare la funzione lineare tra le forze di interstriscia **X** ed **E**.
Nella formulazione di **Morgenstern-Price**, il peso e la superficie di scorrimento, sono espresse come funzioni lineari della *x*.
Inoltre il termine $\mathbf{r_u}$ è il coefficiente adimensionale che tiene conto della pressione neutra ed è definito dalla relazione: $\mathbf{r_u = u_w / W\, b}$.
Lo schema iterativo che permette di determinare il coefficiente di sicurezza è il seguente:
si assegnano due valori ad **F** ed a **l**;
si calcolano $\mathbf{M_i}$ ed $\mathbf{E_i}$ dalle equazioni riportate;
si calcolano **dl** e **dF**;

si incrementano **l = l + dl ed F = F + dF**;
si controlla la convergenza nel qual caso si ferma l'iterazione altrimenti si torna al punto **2**.
dove gli incrementi per **l** ed **F** sono espressi da:

$$dl = \frac{M_n \frac{dE_n}{dF} - E_n \frac{dM_n}{dF}}{\frac{dE_n}{dl}\frac{dM_n}{dF} - \frac{dM_n}{dl}\frac{dE_n}{dF}}$$

$$dl = \frac{E_n \frac{dM_n}{dF} - M_n \frac{dE_n}{dF}}{\frac{dE_n}{dl}\frac{dM_n}{dF} - \frac{dM_n}{dl}\frac{dE_n}{dF}}$$

dove $\mathbf{M_n}$ ed $\mathbf{E_n}$ sono i valori di **M** ed **E** all'ultima striscia.

Dati

Descrizione terreno

Simbologia adottata

Nr. Indice del terreno
Descrizione Descrizione terreno
g Peso di volume del terreno espresso in kN/mc
g_w Peso di volume saturo del terreno espresso in kN/mc
f Angolo d'attrito interno 'efficace' del terreno espresso in gradi
c Coesione 'efficace' del terreno espressa in kPa
f_u Angolo d'attrito interno 'totale' del terreno espresso gradi
c_u Coesione 'totale' del terreno espressa in kPa

n°	Descrizione	g	g_{sat}	f'	c'
		[kN/mc]	*[kN/mc]*	*[°]*	*[kPa]*
1	Detriti	18,00	18,00	30.00	0,0
2	Flysch marnoso-arenaceo	21,00	21,00	35.00	100,0

Profilo del piano campagna

Simbologia e convenzioni di segno adottate

L'ascissa è intesa positiva da sinistra verso destra e l'ordinata positiva verso l'alto.

Nr. Identificativo del punto
X Ascissa del punto del profilo espressa in m
Y Ordinata del punto del profilo espressa in m

n°	X	Y
	[m]	*[m]*
1	-50,00	-14,50
2	-25,00	-14,00
3	-22,73	-13,27
4	-20,59	-10,90
5	-10,30	-5,67
6	-4,00	-1,40
7	-2,30	0,00
8	0,00	0,00
9	0,70	0,00
10	1,77	0,70
11	8,40	0,70
12	11,60	3,82
13	19,80	12,50
14	25,00	13,40
15	50,00	13,40

Descrizione stratigrafia

Simbologia e convenzioni di segno adottate

Gli strati sono descritti mediante i punti di contorno (in senso antiorario) e l'indice del terreno di cui è costituito

Strato N° **1** costituito da terreno n° 2 (Flysch marnoso-arenaceo)

Coordinate dei vertici dello strato n° 1

n°	X	Y
	[m]	*[m]*
1	-4,00	-1,40
2	-10,30	-5,67
3	-20,59	-10,90
4	-22,73	-13,27
5	-25,00	-14,00
6	-50,00	-14,50
7	-50,00	-50,00
8	50,00	-50,00
9	50,00	13,40
10	25,00	13,40
11	19,80	12,50
12	11,60	3,82
13	8,40	0,70
14	7,50	-0,90

Strato N° **2** costituito da terreno n° 1 (Detriti)

Coordinate dei vertici dello strato n° 2

n°	X	Y
	[m]	*[m]*

n°	X	Y
	[m]	*[m]*
1	8,40	0,70
2	1,77	0,70
3	0,70	0,00
4	0,00	0,00
5	-2,30	0,00
6	-4,00	-1,40
7	7,50	-0,90

Carichi sul profilo

Simbologia e convenzioni di segno adottate
L'ascissa è intesa positiva da sinistra verso destra.
N° Identificativo del sovraccarico agente
Descrizione Descrizione carico
Carichi distribuiti
X_i, X_f Ascissa iniziale e finale del carico espressa in [m]
Vx_i, Vx_f, Vy_i, Vy_f Intensità del carico in direzione X e Y nei punti iniziale e finale, espresse in [kN/m]

Carichi distribuiti

n°	Descrizione	X_i	X_f	Vy_i	Vy_f	Vx_i	Vx_f
		[m]	*[m]*	*[kN/m]*	*[kN/m]*	*[kN/m]*	*[kN/m]*
1	mezzi	2,50	7,50	20,00	20,00	0,00	0,00

Interventi inseriti

Numero interventi inseriti 2

Paratia di micropali con 1 file di tiranti - Paratia provvisionale

Grado di sicurezza desiderato a monte	1,30	
Ascissa sul profilo (quota testa paratia)	0,00	m
Altezza totale paratia	15,00	m
Altezza inefficace paratia (a partire dal piede)	0,00	m
Diametro pali	0,24	m
Interasse pali	0,40	m
Altezza cordolo	0,50	m
Larghezza cordolo	0,50	m
Diametro tubolare	168,30	mm
Spessore tubolare	8,00	mm
Resistenza caratteristica a compressione del cls (Rbk)	24517	kPa
Altezza di scavo	8,75	m

Tiranti della paratia
Fila di tiranti n° 1 - Tiranti attivi

Posizione rispetto alla testa (positiva verso il basso)	2,00	m
Lunghezza totale tiranti	15,00	m
Lunghezza fondazione tiranti	5,00	m
Inclinazione tiranti	20,00	
Interasse tiranti	2,40	m
Diametro tiranti	16,00	cm
Resistenza caratteristica a compressione del cls (Rbk)	30000	kPa
Tiro applicato (per tirante)	480,00	kN

Paratia di micropali con 2 file di tiranti - Paratia essistente

Grado di sicurezza desiderato a monte	1,30	
Ascissa sul profilo (quota testa paratia)	19,80	m
Altezza totale paratia	12,00	m
Altezza inefficace paratia (a partire dal piede)	0,00	m
Diametro pali	0,22	m
Interasse pali	0,40	m
Altezza cordolo	0,50	m
Larghezza cordolo	0,50	m
Diametro tubolare	88,80	mm
Spessore tubolare	8,00	mm
Resistenza caratteristica a compressione del cls (Rbk)	24517	kPa
Altezza di scavo	8,13	m

Tiranti della paratia

Fila di tiranti n° 1 - Tiranti attivi

Posizione rispetto alla testa (positiva verso il basso)	5,00	m
Lunghezza totale tiranti	15,00	m
Lunghezza fondazione tiranti	5,00	m
Inclinazione tiranti	15,00	
Interasse tiranti	2,40	m
Diametro tiranti	16,00	cm
Resistenza caratteristica a compressione del cls (Rbk)	30000	kPa
Tiro applicato (per tirante)	400,00	kN

Fila di tiranti n° 2 - Tiranti attivi

Posizione rispetto alla testa (positiva verso il basso)	8,00	m
Lunghezza totale tiranti	15,00	m
Lunghezza fondazione tiranti	5,00	m
Inclinazione tiranti	15,00	
Interasse tiranti	3,60	m
Diametro tiranti	16,00	cm
Resistenza caratteristica a compressione del cls (Rbk)	30000	kPa
Tiro applicato (per tirante)	400,00	kN

Dati normativa

Normativa :
Norme Tecniche sulle Costruzioni 14/01/2008

Coefficienti parziali per le azioni o per l'effetto delle azioni:

Carichi	Effetto	Simbologia	A2 Statico	A2 Sismico
Permanenti	Favorevole	g_{Gfav}	1.00	1.00
Permanenti	Sfavorevole	g_{Gsfav}	1.00	1.00
Variabili	Favorevole	g_{Qfav}	0.00	0.00
Variabili	Sfavorevole	g_{Qsfav}	1.30	1.00

Coefficienti parziali per i parametri geotecnici del terreno:

Parametri	Simbologia	M2 Statico	M2 Sismico
Tangente dell'angolo di attrito	$g_{tanf'}$	1.25	1.25
Coesione efficace	$g_{c'}$	1.25	1.25
Resistenza non drenata	g_{cu}	1.40	1.40
Resistenza a compressione uniassiale	g_{qu}	1.60	1.60
Peso dell'unità di volume	g_g	1.00	1.00

Coefficiente di sicurezza richiesto 1.10

Impostazioni delle superfici di rottura

Superfici di rottura circolari

Si considerano delle superfici di rottura circolari generate tramite la seguente maglia dei centri

Origine maglia	[m]	X_0 = -17,96	Y_0 = 29,07
Passo maglia	[m]	dX = 1,50	dY = 1,50
Numero passi		Nx = 20	Ny = 14
Raggio	[m]	R = 35,00	

Si utilizza un raggio variabile con passo dR=1,00 [m] ed un numero di incrementi pari a 50

Opzioni di calcolo

Per l'analisi sono stati utilizzati i seguenti metodi di calcolo:
- MORGENSTERN

Le superfici sono state analizzate in condizioni **statiche**.
Le superfici sono state analizzate per i casi:
- Parametri di progetto [A2-M2]
- Sisma orizzontale e Sisma verticale (verso l'alto)

Analisi condotta in termini di **tensioni efficaci**

Presenza di carichi distribuiti

Condizioni di esclusione

Sono state escluse dall'analisi le superfici aventi:

- ascissa di intersezione a valle maggiore di	-3,00	m
- ascissa di intersezione a monte minore di	10,00	m

Risultati analisi

Numero di superfici analizzate	2747
Coefficiente di sicurezza minimo	2.581
Superficie con coefficiente di sicurezza minimo	1

Quadro sintetico coefficienti di sicurezza

Metodo	Nr. superfici	FS_{min}	S_{min}	FS_{max}	S_{max}
MORGENSTERN	2747	2.581	1	5.932	2747

Caratteristiche delle superfici analizzate

Simbologia adottata

Le ascisse X sono considerate positive verso monte
Le ordinate Y sono considerate positive verso l'alto

N°	numero d'ordine della superficie cerchio
C_x	ascissa x del centro [m]
C_y	ordinata y del centro [m]
R	raggio del cerchio espresso in m
x_v	ascissa del punto di intersezione con il profilo (valle) espresse in m
x_m	ascissa del punto di intersezione con il profilo (monte) espresse in m
V	volume interessato dalla superficie espresso [mc]
F_s	coefficiente di sicurezza
caso	caso di calcolo

Metodo di MORGENSTERN (M)

N°	Forma	C_x	C_y	R	x_v	x_m	V	F_s	Caso	Sisma
		[m]	*[m]*	*[m]*	*[m]*	*[m]*	*[mc]*			
1	C	-7,46	38,07	55,00	-25,16	41,70	783,22	2.581 (M)	[A2M2]	--
2	C	-8,96	42,57	59,00	-25,67	42,32	755,00	2.582 (M)	[A2M2]	--
3	C	-7,46	39,57	56,00	-24,40	42,05	762,04	2.582 (M)	[A2M2]	--
4	C	-7,46	41,07	58,00	-25,62	43,51	818,86	2.584 (M)	[A2M2]	--
5	C	-8,96	44,07	60,00	-24,57	42,61	732,17	2.584 (M)	[A2M2]	--
6	C	-7,46	42,57	59,00	-24,62	43,82	795,91	2.584 (M)	[A2M2]	--
7	C	-8,96	39,57	56,00	-25,26	40,55	720,99	2.586 (M)	[A2M2]	--
8	C	-7,46	41,07	57,00	-23,68	42,37	740,29	2.588 (M)	[A2M2]	--
9	C	-8,96	45,57	62,00	-26,07	44,04	787,79	2.588 (M)	[A2M2]	--
10	C	-8,96	47,07	63,00	-24,75	44,29	763,65	2.588 (M)	[A2M2]	--
11	C	-8,96	41,07	58,00	-27,04	42,01	777,55	2.589 (M)	[A2M2]	--
12	C	-8,96	41,07	57,00	-24,39	40,87	699,60	2.589 (M)	[A2M2]	--
13	C	-7,46	36,57	54,00	-26,33	41,32	804,57	2.590 (M)	[A2M2]	--
14	C	-7,46	39,57	57,00	-26,83	43,18	841,76	2.590 (M)	[A2M2]	--
15	C	-5,96	36,57	54,00	-24,95	42,82	845,87	2.590 (M)	[A2M2]	--
16	C	-5,96	38,07	55,00	-24,31	43,20	824,37	2.591 (M)	[A2M2]	--
17	C	-7,46	36,57	53,00	-24,16	40,21	726,88	2.591 (M)	[A2M2]	--
18	C	-7,46	44,07	60,00	-23,88	44,11	772,76	2.591 (M)	[A2M2]	--
19	C	-7,46	35,07	52,00	-24,83	39,81	746,94	2.592 (M)	[A2M2]	--
20	C	-10,46	47,07	63,00	-25,87	42,79	722,70	2.592 (M)	[A2M2]	--
21	C	-7,46	38,07	54,00	-23,46	40,58	706,47	2.593 (M)	[A2M2]	--
22	C	-8,96	44,07	61,00	-27,48	43,77	812,06	2.593 (M)	[A2M2]	--
23	C	-5,96	39,57	56,00	-23,64	43,55	802,51	2.593 (M)	[A2M2]	--
24	C	-8,96	45,57	61,00	-23,77	42,87	709,22	2.593 (M)	[A2M2]	--
25	C	-5,96	36,57	53,00	-23,39	41,71	767,53	2.594 (M)	[A2M2]	--
26	C	-5,96	35,07	52,00	-24,03	41,31	787,53	2.595 (M)	[A2M2]	--
27	C	-8,96	38,07	55,00	-26,58	40,20	742,32	2.595 (M)	[A2M2]	--
28	C	-10,46	44,07	60,00	-25,52	41,11	691,01	2.595 (M)	[A2M2]	--
29	C	-7,46	42,57	58,00	-22,92	42,67	718,22	2.595 (M)	[A2M2]	--
30	C	-10,46	48,57	64,00	-24,56	43,01	698,88	2.596 (M)	[A2M2]	--
31	C	-5,96	33,57	51,00	-24,64	40,88	807,40	2.597 (M)	[A2M2]	--
32	C	-7,46	45,57	62,00	-24,83	45,54	828,73	2.597 (M)	[A2M2]	--
33	C	-8,96	42,57	58,00	-23,60	41,17	677,92	2.597 (M)	[A2M2]	--
34	C	-8,96	39,57	57,00	-28,25	41,68	800,37	2.597 (M)	[A2M2]	--
35	C	-5,96	38,07	54,00	-22,72	42,08	746,79	2.597 (M)	[A2M2]	--
36	C	-10,46	45,57	62,00	-27,48	42,54	746,76	2.598 (M)	[A2M2]	--
37	C	-7,46	39,57	55,00	-22,73	40,91	686,09	2.598 (M)	[A2M2]	--
38	C	-5,96	41,07	57,00	-22,95	43,87	780,34	2.599 (M)	[A2M2]	--
39	C	-5,96	35,07	53,00	-25,94	42,41	867,06	2.599 (M)	[A2M2]	--
40	C	-7,46	38,07	56,00	-27,92	42,81	864,51	2.599 (M)	[A2M2]	--
41	C	-8,96	48,57	64,00	-23,93	44,51	739,48	2.599 (M)	[A2M2]	--
42	C	-7,46	44,07	61,00	-26,07	45,27	853,06	2.599 (M)	[A2M2]	--
43	C	-8,96	42,57	60,00	-28,74	43,47	836,41	2.600 (M)	[A2M2]	--
44	C	-7,46	45,57	61,00	-23,10	44,37	749,42	2.600 (M)	[A2M2]	--

N°	Forma	C_x	C_y	R	x_v	x_m	V	F_s	Caso	Sisma
		[m]	*[m]*	*[m]*	*[m]*	*[m]*	*[mc]*			
45	C	-7,46	35,07	53,00	-27,37	40,91	825,71	2.601 (M)	[A2M2]	--
46	C	-10,46	45,57	61,00	-24,42	41,37	668,49	2.601 (M)	[A2M2]	--
47	C	-10,46	42,57	59,00	-27,08	40,82	713,73	2.602 (M)	[A2M2]	--
48	C	-8,96	48,57	65,00	-26,46	45,70	819,64	2.603 (M)	[A2M2]	--
49	C	-7,46	33,57	51,00	-25,81	39,38	766,66	2.603 (M)	[A2M2]	--
50	C	-5,96	41,07	58,00	-24,57	45,01	859,73	2.603 (M)	[A2M2]	--
51	C	-5,96	39,57	57,00	-25,41	44,68	882,71	2.603 (M)	[A2M2]	--
52	C	-10,46	44,07	61,00	-28,89	42,27	770,71	2.605 (M)	[A2M2]	--
53	C	-10,46	48,57	65,00	-27,86	44,20	778,60	2.605 (M)	[A2M2]	--
54	C	-5,96	32,07	50,00	-25,37	40,42	826,89	2.605 (M)	[A2M2]	--
55	C	-7,46	47,07	63,00	-24,07	45,79	804,31	2.605 (M)	[A2M2]	--
56	C	-7,46	42,57	60,00	-27,32	44,97	877,43	2.605 (M)	[A2M2]	--
57	C	-5,96	33,57	50,00	-23,12	39,79	730,86	2.606 (M)	[A2M2]	--
58	C	-8,96	47,07	62,00	-22,93	43,10	686,19	2.606 (M)	[A2M2]	--
59	C	-5,96	35,07	51,00	-22,61	40,21	711,61	2.606 (M)	[A2M2]	--
60	C	-8,96	36,57	54,00	-27,75	39,82	763,61	2.606 (M)	[A2M2]	--
61	C	-8,96	38,07	56,00	-29,35	41,31	823,15	2.607 (M)	[A2M2]	--
62	C	-5,96	42,57	59,00	-23,88	45,32	836,48	2.608 (M)	[A2M2]	--
63	C	-8,96	47,07	64,00	-27,92	45,47	845,26	2.608 (M)	[A2M2]	--
64	C	-8,96	41,07	59,00	-29,88	43,15	860,29	2.608 (M)	[A2M2]	--
65	C	-5,96	39,57	55,00	-22,41	42,41	725,64	2.609 (M)	[A2M2]	--
66	C	-10,46	47,07	64,00	-29,32	43,97	804,21	2.610 (M)	[A2M2]	--
67	C	-7,46	36,57	55,00	-28,90	42,42	886,67	2.610 (M)	[A2M2]	--
68	C	-4,46	35,07	52,00	-23,22	42,81	828,07	2.610 (M)	[A2M2]	--
69	C	-10,46	41,07	58,00	-28,45	40,51	736,57	2.610 (M)	[A2M2]	--
70	C	-5,96	42,57	58,00	-22,50	44,17	757,89	2.610 (M)	[A2M2]	--
71	C	-5,96	38,07	56,00	-26,49	44,31	905,52	2.611 (M)	[A2M2]	--
72	C	-5,96	32,07	49,00	-23,73	39,34	749,66	2.611 (M)	[A2M2]	--
73	C	-5,96	33,57	52,00	-26,88	41,97	887,48	2.611 (M)	[A2M2]	--
74	C	-7,46	44,07	59,00	-22,47	42,94	696,00	2.611 (M)	[A2M2]	--
75	C	-4,46	36,57	53,00	-22,67	43,21	807,39	2.611 (M)	[A2M2]	--
76	C	-7,46	41,07	59,00	-28,45	44,65	901,71	2.612 (M)	[A2M2]	--
77	C	-4,46	33,57	51,00	-23,81	42,38	848,32	2.612 (M)	[A2M2]	--
78	C	-10,46	42,57	60,00	-30,16	41,97	794,99	2.612 (M)	[A2M2]	--
79	C	-8,96	36,57	53,00	-24,91	38,71	686,24	2.613 (M)	[A2M2]	--
80	C	-7,46	41,07	56,00	-22,40	41,23	665,04	2.613 (M)	[A2M2]	--
81	C	-5,96	36,57	52,00	-22,30	40,59	691,86	2.613 (M)	[A2M2]	--
82	C	-7,46	33,57	52,00	-28,31	40,47	846,53	2.614 (M)	[A2M2]	--
83	C	-8,96	45,57	63,00	-29,22	45,21	871,02	2.614 (M)	[A2M2]	--
84	C	-5,96	44,07	60,00	-23,17	45,61	812,97	2.614 (M)	[A2M2]	--
85	C	-11,96	48,57	64,00	-25,38	41,51	657,74	2.614 (M)	[A2M2]	--
86	C	-7,46	48,57	64,00	-23,27	46,01	780,01	2.614 (M)	[A2M2]	--
87	C	-8,96	38,07	54,00	-24,19	39,08	666,18	2.615 (M)	[A2M2]	--
88	C	-4,46	33,57	50,00	-22,53	41,29	770,97	2.616 (M)	[A2M2]	--
89	C	-7,46	47,07	62,00	-22,55	44,60	725,91	2.616 (M)	[A2M2]	--
90	C	-7,46	48,57	65,00	-25,06	47,20	860,89	2.616 (M)	[A2M2]	--
91	C	-4,46	32,07	49,00	-22,90	40,84	789,67	2.616 (M)	[A2M2]	--
92	C	-10,46	45,57	63,00	-30,63	43,71	829,90	2.616 (M)	[A2M2]	--
93	C	-4,46	32,07	50,00	-24,37	41,92	868,08	2.617 (M)	[A2M2]	--
94	C	-10,46	41,07	57,00	-25,16	39,37	658,80	2.617 (M)	[A2M2]	--
95	C	-8,96	39,57	58,00	-30,91	42,80	884,41	2.618 (M)	[A2M2]	--
96	C	-7,46	32,07	50,00	-26,80	38,92	786,01	2.618 (M)	[A2M2]	--
97	C	-8,96	36,57	55,00	-30,33	40,92	845,66	2.619 (M)	[A2M2]	--
98	C	-4,46	38,07	54,00	-22,37	43,58	786,23	2.619 (M)	[A2M2]	--
99	C	-5,96	30,57	48,00	-24,32	38,86	767,97	2.619 (M)	[A2M2]	--
100	C	-5,96	36,57	55,00	-27,47	43,92	928,10	2.619 (M)	[A2M2]	--
101	C	-5,96	30,57	49,00	-26,26	39,93	845,98	2.619 (M)	[A2M2]	--
102	C	-5,96	44,07	61,00	-24,82	46,77	894,30	2.619 (M)	[A2M2]	--
103	C	-4,46	36,57	54,00	-24,13	44,32	886,55	2.620 (M)	[A2M2]	--
104	C	-7,46	47,07	64,00	-26,51	46,97	886,27	2.620 (M)	[A2M2]	--
105	C	-11,96	47,07	63,00	-27,26	41,29	681,43	2.620 (M)	[A2M2]	--
106	C	-8,96	35,07	53,00	-28,80	39,41	784,75	2.620 (M)	[A2M2]	--
107	C	-4,46	38,07	55,00	-23,52	44,70	864,74	2.620 (M)	[A2M2]	--
108	C	-11,96	48,57	65,00	-29,26	42,70	737,26	2.620 (M)	[A2M2]	--
109	C	-10,46	39,57	57,00	-29,68	40,18	759,38	2.620 (M)	[A2M2]	--
110	C	-4,46	35,07	51,00	-22,24	41,71	751,26	2.620 (M)	[A2M2]	--
111	C	-7,46	39,57	58,00	-29,47	44,30	925,92	2.621 (M)	[A2M2]	--
112	C	-8,96	44,07	62,00	-30,39	44,92	896,76	2.621 (M)	[A2M2]	--
113	C	-8,96	39,57	55,00	-23,43	39,41	645,83	2.621 (M)	[A2M2]	--
114	C	-4,46	35,07	53,00	-24,71	43,91	907,93	2.621 (M)	[A2M2]	--
115	C	-5,96	42,57	60,00	-25,90	46,47	918,39	2.621 (M)	[A2M2]	--
116	C	-10,46	41,07	59,00	-31,30	41,65	819,21	2.622 (M)	[A2M2]	--
117	C	-8,96	44,07	59,00	-22,78	41,44	656,31	2.622 (M)	[A2M2]	--
118	C	-4,46	30,57	48,00	-23,47	40,36	808,26	2.622 (M)	[A2M2]	--
119	C	-7,46	35,07	51,00	-23,23	38,71	671,78	2.622 (M)	[A2M2]	--
120	C	-5,96	41,07	56,00	-22,09	42,73	704,06	2.622 (M)	[A2M2]	--
121	C	-7,46	35,07	54,00	-29,79	42,00	908,92	2.622 (M)	[A2M2]	--
122	C	-4,46	39,57	56,00	-22,87	45,05	842,57	2.623 (M)	[A2M2]	--
123	C	-8,96	35,07	52,00	-26,11	38,31	706,04	2.624 (M)	[A2M2]	--

N°	Forma	C_x	C_y	R	x_v	x_m	V	F_s	Caso	Sisma
		[m]	*[m]*	*[m]*	*[m]*	*[m]*	*[mc]*			
124	C	-7,46	33,57	50,00	-23,91	38,29	690,70	2.624 (M)	[A2M2]	--
125	C	-5,96	38,07	53,00	-21,99	40,95	671,91	2.624 (M)	[A2M2]	--
126	C	-4,46	30,57	49,00	-24,89	41,43	886,70	2.624 (M)	[A2M2]	--
127	C	-7,46	45,57	63,00	-27,80	46,71	912,03	2.624 (M)	[A2M2]	--
128	C	-10,46	42,57	58,00	-24,26	39,67	637,54	2.624 (M)	[A2M2]	--
129	C	-10,46	44,07	62,00	-31,81	43,42	855,22	2.624 (M)	[A2M2]	--
130	C	-5,96	32,07	51,00	-27,72	41,50	907,96	2.625 (M)	[A2M2]	--
131	C	-5,96	45,57	61,00	-22,59	45,87	789,53	2.625 (M)	[A2M2]	--
132	C	-10,46	39,57	56,00	-26,67	39,05	680,04	2.625 (M)	[A2M2]	--
133	C	-5,96	45,57	62,00	-24,11	47,04	869,72	2.626 (M)	[A2M2]	--
134	C	-11,96	45,57	62,00	-28,88	41,04	705,45	2.626 (M)	[A2M2]	--
135	C	-5,96	44,07	59,00	-22,18	44,44	735,05	2.626 (M)	[A2M2]	--
136	C	-7,46	36,57	52,00	-22,64	39,09	652,49	2.627 (M)	[A2M2]	--
137	C	-11,96	47,07	64,00	-30,73	42,47	762,78	2.627 (M)	[A2M2]	--
138	C	-5,96	41,07	59,00	-27,03	46,15	942,74	2.627 (M)	[A2M2]	--
139	C	-4,46	33,57	52,00	-25,44	43,47	928,87	2.628 (M)	[A2M2]	--
140	C	-4,46	36,57	52,00	-21,95	42,09	730,96	2.628 (M)	[A2M2]	--
141	C	-4,46	39,57	55,00	-22,07	43,91	764,58	2.629 (M)	[A2M2]	--
142	C	-10,46	48,57	66,00	-31,09	45,39	863,52	2.629 (M)	[A2M2]	--
143	C	-7,46	32,07	49,00	-24,55	37,84	709,20	2.629 (M)	[A2M2]	--
144	C	-10,46	47,07	62,00	-23,55	41,60	646,14	2.629 (M)	[A2M2]	--
145	C	-7,46	32,07	51,00	-29,16	40,00	867,06	2.629 (M)	[A2M2]	--
146	C	-8,96	42,57	61,00	-31,46	44,61	922,40	2.629 (M)	[A2M2]	--
147	C	-8,96	38,07	57,00	-31,84	42,42	908,28	2.630 (M)	[A2M2]	--
148	C	-7,46	44,07	62,00	-28,97	46,42	937,84	2.630 (M)	[A2M2]	--
149	C	-5,96	35,07	54,00	-28,36	43,50	950,35	2.630 (M)	[A2M2]	--
150	C	-7,46	38,07	57,00	-30,40	43,92	949,85	2.631 (M)	[A2M2]	--
151	C	-4,46	29,07	47,00	-24,00	39,85	826,27	2.631 (M)	[A2M2]	--
152	C	-5,96	29,07	47,00	-24,87	38,35	785,72	2.631 (M)	[A2M2]	--
153	C	-4,46	41,07	57,00	-22,49	45,37	820,34	2.632 (M)	[A2M2]	--
154	C	-4,46	38,07	56,00	-25,07	45,81	946,42	2.632 (M)	[A2M2]	--
155	C	3,04	33,57	43,00	-4,58	41,02	468,27	2.632 (M)	[A2M2]	--
156	C	-4,46	39,57	57,00	-24,43	46,18	923,51	2.632 (M)	[A2M2]	--
157	C	-10,46	38,07	56,00	-30,77	39,81	782,07	2.633 (M)	[A2M2]	--
158	C	-10,46	39,57	58,00	-32,34	41,30	843,27	2.633 (M)	[A2M2]	--
159	C	-8,96	35,07	54,00	-31,23	40,50	867,86	2.633 (M)	[A2M2]	--
160	C	-5,96	47,07	63,00	-23,37	47,29	844,93	2.633 (M)	[A2M2]	--
161	C	-4,46	32,07	48,00	-22,10	39,76	714,45	2.634 (M)	[A2M2]	--
162	C	-8,96	48,57	66,00	-29,68	46,89	904,66	2.634 (M)	[A2M2]	--
163	C	-10,46	42,57	61,00	-32,89	43,11	880,91	2.634 (M)	[A2M2]	--
164	C	-11,96	44,07	61,00	-30,31	40,77	729,63	2.634 (M)	[A2M2]	--
165	C	-5,96	39,57	58,00	-28,04	45,80	966,91	2.634 (M)	[A2M2]	--
166	C	-11,96	45,57	63,00	-32,05	42,21	788,40	2.634 (M)	[A2M2]	--
167	C	-4,46	33,57	49,00	-21,81	40,20	695,69	2.635 (M)	[A2M2]	--
168	C	-4,46	41,07	58,00	-23,79	46,51	900,59	2.635 (M)	[A2M2]	--
169	C	-4,46	30,57	47,00	-22,38	39,29	732,59	2.635 (M)	[A2M2]	--
170	C	-10,46	38,07	55,00	-27,99	38,70	701,30	2.635 (M)	[A2M2]	--
171	C	-10,46	47,07	65,00	-32,31	45,14	890,50	2.636 (M)	[A2M2]	--
172	C	-5,96	29,07	48,00	-27,06	39,41	864,52	2.637 (M)	[A2M2]	--
173	C	-8,96	33,57	52,00	-29,75	38,97	805,58	2.637 (M)	[A2M2]	--
174	C	-7,46	42,57	61,00	-30,03	46,11	963,53	2.637 (M)	[A2M2]	--
175	C	-7,46	33,57	53,00	-30,60	41,55	930,77	2.637 (M)	[A2M2]	--
176	C	-4,46	38,07	53,00	-21,64	42,45	710,20	2.637 (M)	[A2M2]	--
177	C	-7,46	30,57	49,00	-27,70	38,43	805,06	2.637 (M)	[A2M2]	--
178	C	-4,46	29,07	48,00	-25,62	40,91	905,34	2.639 (M)	[A2M2]	--
179	C	3,04	32,07	42,00	-6,85	40,66	482,51	2.639 (M)	[A2M2]	--
180	C	-11,96	48,57	66,00	-32,51	43,89	821,97	2.639 (M)	[A2M2]	--
181	C	-8,96	41,07	60,00	-32,43	44,28	947,87	2.639 (M)	[A2M2]	--
182	C	-7,46	38,07	53,00	-22,31	39,45	632,76	2.639 (M)	[A2M2]	--
183	C	-4,46	32,07	51,00	-26,28	43,00	949,40	2.639 (M)	[A2M2]	--
184	C	-8,96	47,07	65,00	-30,89	46,64	931,69	2.639 (M)	[A2M2]	--
185	C	-4,46	36,57	55,00	-26,04	45,42	969,04	2.639 (M)	[A2M2]	--
186	C	-5,96	47,07	64,00	-25,10	48,47	927,56	2.639 (M)	[A2M2]	--
187	C	3,04	30,57	40,00	-4,30	39,17	441,79	2.640 (M)	[A2M2]	--
188	C	-8,96	33,57	51,00	-27,23	37,88	725,28	2.640 (M)	[A2M2]	--
189	C	-4,46	42,57	59,00	-23,13	46,82	877,00	2.640 (M)	[A2M2]	--
190	C	-4,46	41,07	56,00	-21,76	44,23	742,47	2.640 (M)	[A2M2]	--
191	C	-4,46	35,07	50,00	-21,52	40,60	676,70	2.640 (M)	[A2M2]	--
192	C	-4,46	29,07	46,00	-22,65	38,79	750,07	2.640 (M)	[A2M2]	--
193	C	-8,96	48,57	63,00	-22,46	43,31	662,97	2.641 (M)	[A2M2]	--
194	C	-11,96	44,07	60,00	-26,91	39,61	650,03	2.641 (M)	[A2M2]	--
195	C	-5,96	30,57	50,00	-28,48	41,00	928,02	2.641 (M)	[A2M2]	--
196	C	-7,46	30,57	48,00	-25,27	37,36	726,76	2.641 (M)	[A2M2]	--
197	C	-5,96	47,07	62,00	-22,26	46,10	765,48	2.641 (M)	[A2M2]	--
198	C	4,54	29,07	39,00	-4,98	40,25	487,79	2.642 (M)	[A2M2]	--
199	C	-2,96	32,07	49,00	-22,40	42,34	829,64	2.642 (M)	[A2M2]	--
200	C	-5,96	45,57	63,00	-26,38	48,21	953,39	2.643 (M)	[A2M2]	--
201	C	-7,46	36,57	56,00	-31,25	43,52	972,94	2.643 (M)	[A2M2]	--
202	C	-5,96	32,07	48,00	-22,48	38,26	675,41	2.643 (M)	[A2M2]	--

N°	Forma	C_x	C_y	R	x_v	x_m	V	F_s	Caso	Sisma
		[m]	*[m]*	*[m]*	*[m]*	*[m]*	*[mc]*			
203	C	-5,96	38,07	57,00	-28,97	45,42	990,91	2.643 (M)	[A2M2]	--
204	C	-11,96	42,57	60,00	-31,58	40,47	753,85	2.643 (M)	[A2M2]	--
205	C	-5,96	33,57	53,00	-29,16	43,05	971,74	2.643 (M)	[A2M2]	--
206	C	-2,96	30,57	48,00	-22,67	41,86	848,56	2.643 (M)	[A2M2]	--
207	C	-2,96	33,57	50,00	-22,13	42,79	810,07	2.643 (M)	[A2M2]	--
208	C	-8,96	36,57	56,00	-32,69	42,02	931,94	2.643 (M)	[A2M2]	--
209	C	-11,96	44,07	62,00	-33,24	41,92	814,14	2.643 (M)	[A2M2]	--
210	C	-4,46	42,57	58,00	-22,18	45,67	797,37	2.644 (M)	[A2M2]	--
211	C	-5,96	30,57	47,00	-22,82	37,79	693,08	2.644 (M)	[A2M2]	--
212	C	-5,96	48,57	64,00	-22,67	47,51	819,98	2.644 (M)	[A2M2]	--
213	C	-10,46	45,57	64,00	-33,42	44,87	917,66	2.644 (M)	[A2M2]	--
214	C	-8,96	45,57	60,00	-22,40	41,69	634,23	2.644 (M)	[A2M2]	--
215	C	-10,46	41,07	60,00	-33,86	42,78	906,36	2.645 (M)	[A2M2]	--
216	C	-7,46	45,57	60,00	-22,13	43,19	673,34	2.645 (M)	[A2M2]	--
217	C	-2,96	33,57	51,00	-22,96	43,88	888,34	2.645 (M)	[A2M2]	--
218	C	-7,46	41,07	60,00	-31,00	45,78	989,04	2.645 (M)	[A2M2]	--
219	C	-7,46	42,57	57,00	-22,06	41,51	643,59	2.646 (M)	[A2M2]	--
220	C	-8,96	41,07	56,00	-22,69	39,73	625,25	2.646 (M)	[A2M2]	--
221	C	-10,46	38,07	57,00	-33,27	40,92	867,23	2.646 (M)	[A2M2]	--
222	C	-2,96	35,07	52,00	-22,57	44,31	867,81	2.646 (M)	[A2M2]	--
223	C	-5,96	33,57	49,00	-22,18	38,70	657,13	2.646 (M)	[A2M2]	--
224	C	-11,96	47,07	65,00	-33,73	43,64	849,01	2.646 (M)	[A2M2]	--
225	C	-5,96	48,57	65,00	-24,32	48,70	901,71	2.646 (M)	[A2M2]	--
226	C	-7,46	48,57	66,00	-28,26	48,39	946,01	2.646 (M)	[A2M2]	--
227	C	-8,96	45,57	64,00	-32,00	46,37	958,79	2.646 (M)	[A2M2]	--
228	C	-2,96	35,07	51,00	-21,85	43,21	789,90	2.647 (M)	[A2M2]	--
229	C	3,04	30,57	41,00	-8,58	40,27	497,23	2.647 (M)	[A2M2]	--
230	C	-10,46	48,57	63,00	-22,69	41,81	623,40	2.647 (M)	[A2M2]	--
231	C	-5,96	44,07	62,00	-27,55	47,92	979,20	2.647 (M)	[A2M2]	--
232	C	-10,46	36,57	55,00	-31,77	39,42	804,54	2.647 (M)	[A2M2]	--
233	C	-7,46	30,57	50,00	-29,93	39,50	887,07	2.647 (M)	[A2M2]	--
234	C	4,54	33,57	43,00	-3,08	42,52	501,40	2.648 (M)	[A2M2]	--
235	C	-11,96	42,57	59,00	-28,48	39,32	672,71	2.648 (M)	[A2M2]	--
236	C	-11,96	45,57	61,00	-25,08	39,87	627,75	2.649 (M)	[A2M2]	--
237	C	-4,46	35,07	54,00	-26,92	45,00	991,34	2.649 (M)	[A2M2]	--
238	C	-4,46	44,07	60,00	-22,60	47,11	853,14	2.649 (M)	[A2M2]	--
239	C	-4,46	42,57	60,00	-24,71	47,97	959,66	2.649 (M)	[A2M2]	--
240	C	3,04	36,57	46,00	-4,84	42,78	493,56	2.649 (M)	[A2M2]	--
241	C	-2,96	32,07	48,00	-21,69	41,26	753,23	2.649 (M)	[A2M2]	--
242	C	-8,96	33,57	53,00	-32,04	40,05	889,68	2.649 (M)	[A2M2]	--
243	C	-10,46	36,57	54,00	-29,17	38,32	722,20	2.650 (M)	[A2M2]	--
244	C	-2,96	32,07	50,00	-23,50	43,42	908,36	2.650 (M)	[A2M2]	--
245	C	3,04	29,07	39,00	-6,48	38,75	454,66	2.650 (M)	[A2M2]	--
246	C	-2,96	29,07	47,00	-23,11	41,35	866,82	2.650 (M)	[A2M2]	--
247	C	-4,46	41,07	59,00	-25,60	47,65	984,07	2.650 (M)	[A2M2]	--
248	C	-2,96	30,57	47,00	-21,96	40,79	771,82	2.650 (M)	[A2M2]	--
249	C	-8,96	39,57	59,00	-33,32	43,92	972,62	2.650 (M)	[A2M2]	--
250	C	-7,46	48,57	63,00	-22,20	44,81	702,11	2.651 (M)	[A2M2]	--
251	C	-7,46	47,07	65,00	-29,47	48,14	972,79	2.651 (M)	[A2M2]	--
252	C	-2,96	36,57	53,00	-22,29	44,71	846,71	2.651 (M)	[A2M2]	--
253	C	-2,96	33,57	49,00	-21,42	41,70	734,01	2.651 (M)	[A2M2]	--
254	C	-10,46	44,07	59,00	-23,41	39,94	616,08	2.651 (M)	[A2M2]	--
255	C	-10,46	38,07	54,00	-24,89	37,58	625,45	2.651 (M)	[A2M2]	--
256	C	-5,96	39,57	54,00	-21,67	41,27	651,19	2.652 (M)	[A2M2]	--
257	C	1,54	36,57	46,00	-6,34	41,28	460,28	2.652 (M)	[A2M2]	--
258	C	-2,96	36,57	52,00	-21,57	43,59	769,17	2.652 (M)	[A2M2]	--
259	C	-5,96	42,57	57,00	-21,76	43,01	682,05	2.652 (M)	[A2M2]	--
260	C	-5,96	42,57	61,00	-28,60	47,61	1004,51	2.653 (M)	[A2M2]	--
261	C	-5,96	35,07	50,00	-21,88	39,10	638,29	2.653 (M)	[A2M2]	--
262	C	4,54	32,07	42,00	-5,35	42,16	515,81	2.653 (M)	[A2M2]	--
263	C	3,04	29,07	40,00	-9,98	39,84	511,76	2.653 (M)	[A2M2]	--
264	C	-5,96	36,57	56,00	-29,81	45,02	1014,54	2.653 (M)	[A2M2]	--
265	C	-4,46	30,57	50,00	-27,04	42,50	969,45	2.653 (M)	[A2M2]	--
266	C	-4,46	44,07	61,00	-24,06	48,27	934,99	2.654 (M)	[A2M2]	--
267	C	-10,46	44,07	63,00	-34,44	44,57	944,21	2.654 (M)	[A2M2]	--
268	C	-11,96	42,57	61,00	-34,31	41,61	839,72	2.654 (M)	[A2M2]	--
269	C	-11,96	41,07	59,00	-32,73	40,15	778,12	2.654 (M)	[A2M2]	--
270	C	-7,46	32,07	52,00	-31,33	41,07	952,14	2.654 (M)	[A2M2]	--
271	C	-5,96	29,07	46,00	-23,41	37,29	710,20	2.654 (M)	[A2M2]	--
272	C	-4,46	42,57	57,00	-21,44	44,51	719,94	2.654 (M)	[A2M2]	--
273	C	-2,96	29,07	46,00	-22,22	40,29	789,28	2.655 (M)	[A2M2]	--
274	C	-8,96	44,07	63,00	-33,01	46,07	985,87	2.655 (M)	[A2M2]	--
275	C	-7,46	39,57	59,00	-31,88	45,42	1014,18	2.655 (M)	[A2M2]	--
276	C	-11,96	45,57	64,00	-34,85	43,37	876,04	2.655 (M)	[A2M2]	--
277	C	-2,96	35,07	50,00	-21,14	42,10	714,20	2.655 (M)	[A2M2]	--
278	C	-2,96	36,57	54,00	-23,30	45,82	927,19	2.655 (M)	[A2M2]	--
279	C	3,04	35,07	45,00	-7,20	42,48	509,33	2.656 (M)	[A2M2]	--
280	C	-8,96	35,07	51,00	-23,97	37,21	631,19	2.656 (M)	[A2M2]	--
281	C	-4,46	39,57	58,00	-26,61	47,30	1008,30	2.656 (M)	[A2M2]	--

N°	Forma	C_x	C_y	R	x_v	x_m	V	F_s	Caso	Sisma
		[m]	*[m]*	*[m]*	*[m]*	*[m]*	*[mc]*			
282	C	-2,96	30,57	49,00	-24,01	42,93	927,82	2.656 (M)	[A2M2]	--
283	C	-7,46	35,07	55,00	-32,02	43,09	996,13	2.656 (M)	[A2M2]	--
284	C	-2,96	38,07	55,00	-22,72	46,20	905,09	2.656 (M)	[A2M2]	--
285	C	1,54	33,57	43,00	-6,08	39,52	435,00	2.657 (M)	[A2M2]	--
286	C	-7,46	45,57	64,00	-30,57	47,87	999,94	2.657 (M)	[A2M2]	--
287	C	-2,96	35,07	53,00	-23,86	45,41	948,45	2.657 (M)	[A2M2]	--
288	C	-8,96	32,07	50,00	-28,24	37,42	744,57	2.657 (M)	[A2M2]	--
289	C	-4,46	44,07	59,00	-21,86	45,94	773,98	2.657 (M)	[A2M2]	--
290	C	-8,96	32,07	51,00	-30,60	38,50	825,48	2.657 (M)	[A2M2]	--
291	C	-8,96	33,57	50,00	-24,68	36,79	649,77	2.657 (M)	[A2M2]	--
292	C	-10,46	39,57	59,00	-34,76	42,42	931,45	2.657 (M)	[A2M2]	--
293	C	-8,96	36,57	52,00	-23,23	37,59	612,60	2.657 (M)	[A2M2]	--
294	C	-2,96	38,07	54,00	-22,00	45,08	825,07	2.657 (M)	[A2M2]	--
295	C	-11,96	41,07	58,00	-29,86	39,01	695,49	2.657 (M)	[A2M2]	--
296	C	-5,96	45,57	60,00	-21,84	44,69	711,83	2.658 (M)	[A2M2]	--
297	C	-13,46	48,57	65,00	-30,66	41,20	696,15	2.658 (M)	[A2M2]	--
298	C	-5,96	32,07	52,00	-29,89	42,57	993,14	2.658 (M)	[A2M2]	--
299	C	-10,46	39,57	55,00	-24,10	37,91	605,48	2.658 (M)	[A2M2]	--
300	C	4,54	30,57	41,00	-7,08	41,77	530,31	2.658 (M)	[A2M2]	--
301	C	-8,96	35,07	55,00	-33,46	41,59	955,14	2.659 (M)	[A2M2]	--
302	C	1,54	35,07	45,00	-8,70	40,98	476,08	2.659 (M)	[A2M2]	--
303	C	-2,96	38,07	53,00	-21,28	43,95	747,91	2.659 (M)	[A2M2]	--
304	C	-5,96	41,07	60,00	-29,57	47,28	1030,01	2.660 (M)	[A2M2]	--
305	C	-4,46	33,57	53,00	-27,72	44,55	1013,24	2.660 (M)	[A2M2]	--
306	C	-5,96	29,07	49,00	-29,17	40,47	947,50	2.660 (M)	[A2M2]	--
307	C	-4,46	45,57	62,00	-23,37	48,54	910,06	2.660 (M)	[A2M2]	--
308	C	-7,46	29,07	48,00	-28,51	37,91	823,03	2.660 (M)	[A2M2]	--
309	C	-2,96	33,57	52,00	-24,40	44,97	969,62	2.660 (M)	[A2M2]	--
310	C	4,54	29,07	40,00	-8,48	41,34	545,06	2.661 (M)	[A2M2]	--
311	C	3,04	33,57	44,00	-9,00	42,14	525,40	2.661 (M)	[A2M2]	--
312	C	-10,46	36,57	56,00	-34,13	40,52	890,79	2.661 (M)	[A2M2]	--
313	C	-10,46	36,57	53,00	-26,24	37,21	644,98	2.661 (M)	[A2M2]	--
314	C	-7,46	29,07	47,00	-26,22	36,85	744,38	2.662 (M)	[A2M2]	--
315	C	-2,96	32,07	47,00	-20,98	40,17	678,73	2.662 (M)	[A2M2]	--
316	C	-10,46	48,57	67,00	-33,95	46,57	953,16	2.662 (M)	[A2M2]	--
317	C	-2,96	36,57	51,00	-20,85	42,47	693,85	2.662 (M)	[A2M2]	--
318	C	-2,96	30,57	46,00	-21,25	39,72	696,98	2.662 (M)	[A2M2]	--
319	C	0,04	41,07	50,00	-4,20	41,69	435,42	2.662 (M)	[A2M2]	--
320	C	3,04	32,07	43,00	-10,48	41,78	541,65	2.662 (M)	[A2M2]	--
321	C	-13,46	48,57	66,00	-33,92	42,39	780,86	2.662 (M)	[A2M2]	--
322	C	-4,46	45,57	61,00	-22,28	47,37	828,91	2.662 (M)	[A2M2]	--
323	C	-4,46	39,57	54,00	-21,34	42,77	688,96	2.663 (M)	[A2M2]	--
324	C	-8,96	38,07	58,00	-34,13	43,53	997,54	2.663 (M)	[A2M2]	--
325	C	-4,46	38,07	57,00	-27,53	46,92	1031,85	2.663 (M)	[A2M2]	--
326	C	-4,46	36,57	51,00	-21,22	40,97	656,83	2.663 (M)	[A2M2]	--
327	C	-11,96	47,07	62,00	-24,14	40,10	605,51	2.664 (M)	[A2M2]	--
328	C	-7,46	44,07	63,00	-31,58	47,57	1026,96	2.664 (M)	[A2M2]	--
329	C	-2,96	39,57	56,00	-22,43	46,55	882,54	2.664 (M)	[A2M2]	--
330	C	-2,96	33,57	48,00	-20,71	40,60	660,22	2.664 (M)	[A2M2]	--
331	C	-13,46	47,07	64,00	-32,14	40,97	721,60	2.664 (M)	[A2M2]	--
332	C	-11,96	48,57	67,00	-35,37	45,07	911,48	2.665 (M)	[A2M2]	--
333	C	-8,96	42,57	62,00	-33,93	45,75	1012,71	2.665 (M)	[A2M2]	--
334	C	-10,46	42,57	62,00	-35,37	44,25	971,00	2.665 (M)	[A2M2]	--
335	C	-10,46	35,07	53,00	-30,23	37,91	743,27	2.665 (M)	[A2M2]	--
336	C	1,54	39,57	49,00	-6,59	42,97	484,72	2.665 (M)	[A2M2]	--
337	C	1,54	33,57	44,00	-10,50	40,64	492,30	2.665 (M)	[A2M2]	--
338	C	-5,96	35,07	55,00	-30,58	44,59	1037,79	2.666 (M)	[A2M2]	--
339	C	-2,96	39,57	55,00	-21,71	45,41	803,24	2.666 (M)	[A2M2]	--
340	C	-2,96	29,07	48,00	-24,48	42,41	946,65	2.666 (M)	[A2M2]	--
341	C	-11,96	44,07	63,00	-35,87	43,07	902,97	2.666 (M)	[A2M2]	--
342	C	-10,46	35,07	54,00	-32,67	39,00	826,30	2.666 (M)	[A2M2]	--
343	C	-2,96	32,07	51,00	-24,90	44,50	990,25	2.666 (M)	[A2M2]	--
344	C	-11,96	41,07	60,00	-35,30	41,28	865,14	2.666 (M)	[A2M2]	--
345	C	3,04	30,57	42,00	-11,72	41,37	557,92	2.666 (M)	[A2M2]	--
346	C	-5,96	48,57	66,00	-26,85	49,89	987,07	2.666 (M)	[A2M2]	--
347	C	-7,46	38,07	58,00	-32,69	45,03	1039,11	2.667 (M)	[A2M2]	--
348	C	1,54	32,07	42,00	-8,35	39,16	449,24	2.667 (M)	[A2M2]	--
349	C	-8,96	48,57	67,00	-32,52	48,07	994,28	2.667 (M)	[A2M2]	--
350	C	0,04	44,07	53,00	-4,32	43,26	457,73	2.667 (M)	[A2M2]	--
351	C	-11,96	39,57	58,00	-33,76	39,80	802,18	2.667 (M)	[A2M2]	--
352	C	-8,96	42,57	57,00	-22,34	40,01	604,37	2.667 (M)	[A2M2]	--
353	C	-8,96	32,07	49,00	-25,62	36,34	667,99	2.668 (M)	[A2M2]	--
354	C	-2,96	29,07	45,00	-21,52	39,22	714,57	2.668 (M)	[A2M2]	--
355	C	-5,96	41,07	55,00	-21,34	41,57	630,04	2.668 (M)	[A2M2]	--
356	C	-7,46	32,07	48,00	-22,98	36,76	635,35	2.668 (M)	[A2M2]	--
357	C	-7,46	29,07	49,00	-30,62	38,97	906,52	2.668 (M)	[A2M2]	--
358	C	-2,96	39,57	54,00	-20,98	44,27	726,18	2.668 (M)	[A2M2]	--
359	C	-8,96	32,07	52,00	-32,78	39,57	911,15	2.668 (M)	[A2M2]	--
360	C	-5,96	39,57	59,00	-30,45	46,92	1055,31	2.668 (M)	[A2M2]	--

N°	Forma	C_x	C_y	R	x_v	x_m	V	F_s	Caso	Sisma
		[m]	*[m]*	*[m]*	*[m]*	*[m]*	*[mc]*			
361	C	-4,46	47,07	63,00	-22,70	48,79	884,92	2.668 (M)	[A2M2]	--
362	C	-4,46	45,57	63,00	-24,98	49,71	994,34	2.669 (M)	[A2M2]	--
363	C	-7,46	33,57	49,00	-22,53	37,20	617,93	2.669 (M)	[A2M2]	--
364	C	-2,96	38,07	56,00	-24,20	47,31	987,54	2.669 (M)	[A2M2]	--
365	C	-5,96	47,07	65,00	-28,05	49,64	1014,19	2.670 (M)	[A2M2]	--
366	C	-10,46	45,57	60,00	-22,65	40,19	594,52	2.670 (M)	[A2M2]	--
367	C	1,54	32,07	43,00	-11,98	40,28	508,31	2.670 (M)	[A2M2]	--
368	C	-11,96	39,57	57,00	-31,10	38,68	717,87	2.670 (M)	[A2M2]	--
369	C	-7,46	39,57	54,00	-21,98	39,77	612,59	2.670 (M)	[A2M2]	--
370	C	-2,96	36,57	55,00	-24,76	46,92	1010,34	2.670 (M)	[A2M2]	--
371	C	-4,46	29,07	49,00	-27,73	41,97	988,31	2.670 (M)	[A2M2]	--
372	C	-10,46	47,07	66,00	-35,00	46,31	981,59	2.670 (M)	[A2M2]	--
373	C	-2,96	39,57	57,00	-23,62	47,68	964,33	2.670 (M)	[A2M2]	--
374	C	-5,96	44,07	58,00	-21,43	43,27	659,67	2.671 (M)	[A2M2]	--
375	C	-13,46	47,07	65,00	-35,15	42,14	807,76	2.671 (M)	[A2M2]	--
376	C	-10,46	38,07	58,00	-35,57	42,03	956,34	2.672 (M)	[A2M2]	--
377	C	-4,46	44,07	62,00	-26,12	49,42	1020,21	2.672 (M)	[A2M2]	--
378	C	-11,96	41,07	57,00	-26,55	37,87	617,53	2.672 (M)	[A2M2]	--
379	C	-4,46	45,57	60,00	-21,54	46,19	750,22	2.672 (M)	[A2M2]	--
380	C	-7,46	33,57	54,00	-32,73	42,63	1018,98	2.672 (M)	[A2M2]	--
381	C	-4,46	32,07	47,00	-21,38	38,67	641,54	2.672 (M)	[A2M2]	--
382	C	-7,46	42,57	62,00	-32,50	47,25	1053,79	2.672 (M)	[A2M2]	--
383	C	-4,46	36,57	56,00	-28,37	46,52	1055,49	2.672 (M)	[A2M2]	--
384	C	-5,96	48,57	63,00	-21,92	46,31	741,11	2.672 (M)	[A2M2]	--
385	C	1,54	38,07	48,00	-9,04	42,72	501,67	2.673 (M)	[A2M2]	--
386	C	-4,46	30,57	46,00	-21,67	38,22	659,34	2.673 (M)	[A2M2]	--
387	C	-13,46	45,57	63,00	-33,47	40,71	747,28	2.673 (M)	[A2M2]	--
388	C	6,04	29,07	39,00	-3,48	41,75	521,05	2.673 (M)	[A2M2]	--
389	C	-13,46	47,07	63,00	-28,64	39,79	640,39	2.673 (M)	[A2M2]	--
390	C	-2,96	41,07	57,00	-22,13	46,87	859,50	2.673 (M)	[A2M2]	--
391	C	-4,46	32,07	52,00	-28,44	44,07	1034,65	2.673 (M)	[A2M2]	--
392	C	-7,46	47,07	61,00	-21,79	43,41	650,35	2.673 (M)	[A2M2]	--
393	C	-7,46	44,07	58,00	-21,72	41,77	621,76	2.673 (M)	[A2M2]	--
394	C	-2,96	41,07	58,00	-23,00	48,01	940,75	2.673 (M)	[A2M2]	--
395	C	1,54	30,57	40,00	-5,80	37,67	408,54	2.673 (M)	[A2M2]	--
396	C	-7,46	30,57	51,00	-32,00	40,56	972,97	2.674 (M)	[A2M2]	--
397	C	-11,96	47,07	66,00	-36,42	44,81	939,86	2.674 (M)	[A2M2]	--
398	C	-8,96	47,07	66,00	-33,57	47,81	1022,83	2.674 (M)	[A2M2]	--
399	C	-5,96	45,57	64,00	-29,14	49,37	1041,42	2.674 (M)	[A2M2]	--
400	C	-7,46	30,57	47,00	-23,63	36,29	652,67	2.674 (M)	[A2M2]	--
401	C	3,04	29,07	41,00	-12,79	40,93	573,70	2.675 (M)	[A2M2]	--
402	C	-4,46	38,07	52,00	-20,91	41,32	636,47	2.675 (M)	[A2M2]	--
403	C	-4,46	47,07	64,00	-24,30	49,97	968,35	2.675 (M)	[A2M2]	--
404	C	4,54	36,57	46,00	-3,34	44,28	526,81	2.675 (M)	[A2M2]	--
405	C	-5,96	30,57	51,00	-30,55	42,06	1014,00	2.675 (M)	[A2M2]	--
406	C	-1,46	33,57	48,00	-20,11	42,10	696,40	2.675 (M)	[A2M2]	--
407	C	-10,46	35,07	52,00	-27,52	36,81	664,71	2.675 (M)	[A2M2]	--
408	C	-2,96	41,07	56,00	-21,41	45,73	780,63	2.676 (M)	[A2M2]	--
409	C	-8,96	41,07	61,00	-34,78	45,40	1039,28	2.676 (M)	[A2M2]	--
410	C	-2,96	35,07	54,00	-25,48	46,50	1032,22	2.676 (M)	[A2M2]	--
411	C	1,54	30,57	42,00	-13,22	39,87	524,56	2.676 (M)	[A2M2]	--
412	C	-4,46	42,57	61,00	-27,17	49,11	1045,97	2.676 (M)	[A2M2]	--
413	C	-8,96	47,07	61,00	-22,04	41,91	611,86	2.676 (M)	[A2M2]	--
414	C	1,54	30,57	41,00	-10,08	38,77	463,96	2.677 (M)	[A2M2]	--
415	C	-8,96	33,57	54,00	-34,17	41,13	977,88	2.677 (M)	[A2M2]	--
416	C	-4,46	29,07	45,00	-21,94	37,72	676,49	2.677 (M)	[A2M2]	--
417	C	-1,46	30,57	45,00	-19,83	40,14	661,15	2.677 (M)	[A2M2]	--
418	C	-4,46	41,07	55,00	-21,02	43,07	667,29	2.677 (M)	[A2M2]	--
419	C	-1,46	32,07	47,00	-20,55	41,67	715,65	2.677 (M)	[A2M2]	--
420	C	-10,46	41,07	61,00	-36,22	43,90	997,52	2.677 (M)	[A2M2]	--
421	C	-4,46	47,07	62,00	-21,95	47,60	804,32	2.678 (M)	[A2M2]	--
422	C	-2,96	30,57	50,00	-25,60	44,00	1010,33	2.678 (M)	[A2M2]	--
423	C	-11,96	42,57	62,00	-36,80	42,75	929,72	2.678 (M)	[A2M2]	--
424	C	-8,96	30,57	49,00	-29,14	36,93	763,66	2.678 (M)	[A2M2]	--
425	C	-5,96	47,07	61,00	-21,51	44,91	688,28	2.678 (M)	[A2M2]	--
426	C	-8,96	36,57	57,00	-34,88	43,12	1022,07	2.678 (M)	[A2M2]	--
427	C	-1,46	32,07	48,00	-21,27	42,76	790,90	2.678 (M)	[A2M2]	--
428	C	1,54	36,57	47,00	-10,91	42,43	519,24	2.678 (M)	[A2M2]	--
429	C	-5,96	36,57	51,00	-21,57	39,47	618,94	2.678 (M)	[A2M2]	--
430	C	-7,46	35,07	50,00	-22,22	37,60	599,60	2.678 (M)	[A2M2]	--
431	C	-10,46	35,07	55,00	-34,91	40,09	913,96	2.678 (M)	[A2M2]	--
432	C	-1,46	33,57	49,00	-21,01	43,20	771,24	2.678 (M)	[A2M2]	--
433	C	-5,96	38,07	58,00	-31,25	46,53	1080,27	2.679 (M)	[A2M2]	--
434	C	-1,46	30,57	46,00	-20,82	41,22	734,34	2.679 (M)	[A2M2]	--
435	C	3,04	39,57	49,00	-5,09	44,47	517,88	2.679 (M)	[A2M2]	--
436	C	4,54	35,07	45,00	-5,70	43,98	542,49	2.679 (M)	[A2M2]	--
437	C	-7,46	48,57	67,00	-31,10	49,57	1035,84	2.679 (M)	[A2M2]	--
438	C	-1,46	30,57	47,00	-21,52	42,29	809,96	2.679 (M)	[A2M2]	--
439	C	-8,96	30,57	50,00	-31,37	38,00	845,44	2.680 (M)	[A2M2]	--

N°	Forma	C_x	C_y	R	x_v	x_m	V	F_s	Caso	Sisma
		[m]	*[m]*	*[m]*	*[m]*	*[m]*	*[mc]*			
440	C	-10,46	45,57	65,00	-35,96	46,02	1009,76	2.680 (M)	[A2M2]	--
441	C	-5,96	33,57	54,00	-31,28	44,13	1060,55	2.680 (M)	[A2M2]	--
442	C	-13,46	45,57	62,00	-30,28	39,54	664,34	2.680 (M)	[A2M2]	--
443	C	1,54	35,07	46,00	-12,45	42,12	537,06	2.680 (M)	[A2M2]	--
444	C	-11,96	42,57	58,00	-24,90	38,17	596,78	2.680 (M)	[A2M2]	--
445	C	-7,46	36,57	57,00	-33,43	44,62	1063,79	2.680 (M)	[A2M2]	--
446	C	-11,96	39,57	59,00	-36,19	40,92	890,18	2.680 (M)	[A2M2]	--
447	C	-5,96	44,07	63,00	-30,14	49,07	1068,50	2.680 (M)	[A2M2]	--
448	C	-13,46	45,57	64,00	-36,27	41,87	834,75	2.681 (M)	[A2M2]	--
449	C	-2,96	42,57	59,00	-22,56	48,32	916,83	2.681 (M)	[A2M2]	--
450	C	-1,46	35,07	50,00	-20,74	43,60	750,98	2.681 (M)	[A2M2]	--
451	C	0,04	38,07	47,00	-4,07	40,04	412,24	2.681 (M)	[A2M2]	--
452	C	-13,46	48,57	64,00	-26,75	40,01	616,75	2.681 (M)	[A2M2]	--
453	C	4,54	32,07	43,00	-8,98	43,28	574,73	2.681 (M)	[A2M2]	--
454	C	-11,96	39,57	56,00	-28,07	37,55	638,69	2.682 (M)	[A2M2]	--
455	C	-4,46	41,07	60,00	-28,13	48,78	1071,43	2.682 (M)	[A2M2]	--
456	C	4,54	33,57	44,00	-7,50	43,64	558,66	2.682 (M)	[A2M2]	--
457	C	-7,46	41,07	61,00	-33,34	46,90	1080,49	2.682 (M)	[A2M2]	--
458	C	-8,96	45,57	65,00	-34,53	47,52	1051,05	2.682 (M)	[A2M2]	--
459	C	-8,96	38,07	53,00	-22,61	37,95	593,37	2.682 (M)	[A2M2]	--
460	C	-2,96	35,07	49,00	-20,31	40,99	640,81	2.682 (M)	[A2M2]	--
461	C	-13,46	48,57	67,00	-36,79	43,57	870,18	2.683 (M)	[A2M2]	--
462	C	-13,46	44,07	62,00	-34,66	40,42	772,90	2.683 (M)	[A2M2]	--
463	C	4,54	30,57	42,00	-10,22	42,87	590,98	2.683 (M)	[A2M2]	--
464	C	0,04	47,07	56,00	-4,45	44,79	479,42	2.683 (M)	[A2M2]	--
465	C	-1,46	29,07	45,00	-21,07	40,72	752,35	2.683 (M)	[A2M2]	--
466	C	-10,46	33,57	52,00	-31,18	37,47	764,05	2.683 (M)	[A2M2]	--
467	C	1,54	33,57	45,00	-13,76	41,77	554,90	2.683 (M)	[A2M2]	--
468	C	-4,46	35,07	55,00	-29,14	46,09	1078,81	2.683 (M)	[A2M2]	--
469	C	-11,96	38,07	56,00	-32,20	38,31	740,59	2.684 (M)	[A2M2]	--
470	C	-1,46	29,07	46,00	-21,77	41,79	828,29	2.684 (M)	[A2M2]	--
471	C	1,54	29,07	40,00	-11,48	38,34	478,67	2.684 (M)	[A2M2]	--
472	C	-2,96	42,57	58,00	-21,83	47,17	836,02	2.684 (M)	[A2M2]	--
473	C	3,04	38,07	48,00	-7,54	44,22	534,93	2.684 (M)	[A2M2]	--
474	C	-4,46	48,57	64,00	-22,37	49,01	859,51	2.684 (M)	[A2M2]	--
475	C	-10,46	41,07	56,00	-23,27	38,23	585,30	2.684 (M)	[A2M2]	--
476	C	-11,96	38,07	57,00	-34,71	39,42	825,54	2.684 (M)	[A2M2]	--
477	C	-4,46	44,07	58,00	-21,12	44,77	697,27	2.684 (M)	[A2M2]	--
478	C	-1,46	29,07	44,00	-20,24	39,66	678,35	2.684 (M)	[A2M2]	--
479	C	-1,46	36,57	51,00	-20,38	43,97	730,19	2.684 (M)	[A2M2]	--
480	C	-1,46	32,07	49,00	-21,97	43,84	868,41	2.685 (M)	[A2M2]	--
481	C	-1,46	33,57	50,00	-21,71	44,29	848,41	2.685 (M)	[A2M2]	--
482	C	-7,46	29,07	46,00	-24,25	35,79	669,50	2.685 (M)	[A2M2]	--
483	C	-11,96	45,57	65,00	-37,39	44,52	968,12	2.685 (M)	[A2M2]	--
484	C	-7,46	47,07	66,00	-32,14	49,31	1063,92	2.685 (M)	[A2M2]	--
485	C	-2,96	38,07	52,00	-20,53	42,82	673,00	2.685 (M)	[A2M2]	--
486	C	-2,96	39,57	58,00	-25,18	48,80	1049,24	2.686 (M)	[A2M2]	--
487	C	-2,96	41,07	59,00	-24,53	49,15	1024,93	2.686 (M)	[A2M2]	--
488	C	-2,96	33,57	53,00	-26,28	46,05	1054,15	2.686 (M)	[A2M2]	--
489	C	-10,46	33,57	53,00	-33,48	38,55	848,11	2.686 (M)	[A2M2]	--
490	C	0,04	39,57	49,00	-8,09	41,47	451,47	2.686 (M)	[A2M2]	--
491	C	-1,46	30,57	48,00	-22,22	43,36	887,74	2.687 (M)	[A2M2]	--
492	C	-8,96	30,57	48,00	-26,69	35,86	685,95	2.687 (M)	[A2M2]	--
493	C	-1,46	35,07	51,00	-21,45	44,71	827,80	2.687 (M)	[A2M2]	--
494	C	1,54	29,07	39,00	-7,98	37,25	421,41	2.687 (M)	[A2M2]	--
495	C	3,04	35,07	46,00	-10,95	43,62	570,19	2.687 (M)	[A2M2]	--
496	C	-2,96	42,57	57,00	-21,10	46,01	757,58	2.687 (M)	[A2M2]	--
497	C	3,04	36,57	47,00	-9,41	43,93	552,51	2.687 (M)	[A2M2]	--
498	C	-5,96	42,57	62,00	-31,06	48,75	1094,94	2.687 (M)	[A2M2]	--
499	C	-13,46	44,07	61,00	-31,72	39,27	688,46	2.688 (M)	[A2M2]	--
500	C	1,54	29,07	41,00	-14,29	39,43	540,68	2.688 (M)	[A2M2]	--
501	C	-10,46	36,57	57,00	-36,32	41,62	980,84	2.688 (M)	[A2M2]	--
502	C	3,04	33,57	45,00	-12,26	43,27	588,04	2.689 (M)	[A2M2]	--
503	C	-8,96	39,57	60,00	-35,56	45,03	1064,97	2.689 (M)	[A2M2]	--
504	C	-4,46	30,57	51,00	-29,10	43,56	1055,60	2.689 (M)	[A2M2]	--
505	C	-2,96	42,57	60,00	-23,92	49,47	1000,26	2.689 (M)	[A2M2]	--
506	C	-1,46	32,07	46,00	-19,39	40,58	642,97	2.689 (M)	[A2M2]	--
507	C	-11,96	48,57	63,00	-23,20	40,31	583,27	2.689 (M)	[A2M2]	--
508	C	-4,46	39,57	59,00	-29,01	48,42	1096,81	2.689 (M)	[A2M2]	--
509	C	0,04	30,57	45,00	-19,11	41,64	696,51	2.689 (M)	[A2M2]	--
510	C	4,54	29,07	41,00	-11,29	42,43	607,09	2.690 (M)	[A2M2]	--
511	C	-7,46	32,07	53,00	-33,37	42,14	1041,20	2.690 (M)	[A2M2]	--
512	C	-1,46	33,57	51,00	-22,42	45,38	928,35	2.690 (M)	[A2M2]	--
513	C	0,04	36,57	46,00	-7,84	39,78	427,15	2.690 (M)	[A2M2]	--
514	C	-10,46	44,07	64,00	-36,85	45,71	1037,87	2.691 (M)	[A2M2]	--
515	C	-5,96	36,57	57,00	-31,99	46,12	1104,83	2.691 (M)	[A2M2]	--
516	C	-1,46	32,07	50,00	-22,67	44,92	948,25	2.691 (M)	[A2M2]	--
517	C	-1,46	35,07	49,00	-19,66	42,49	676,63	2.691 (M)	[A2M2]	--
518	C	-4,46	33,57	48,00	-21,09	39,10	623,15	2.691 (M)	[A2M2]	--

N°	Forma	C_x	C_y	R	x_v	x_m	V	F_s	Caso	Sisma
		[m]	*[m]*	*[m]*	*[m]*	*[m]*	*[mc]*			
519	C	-1,46	36,57	52,00	-21,17	45,09	806,96	2.691 (M)	[A2M2]	--
520	C	-8,96	30,57	51,00	-33,44	39,06	931,31	2.691 (M)	[A2M2]	--
521	C	-10,46	39,57	60,00	-37,00	43,53	1023,73	2.691 (M)	[A2M2]	--
522	C	-5,96	38,07	52,00	-21,25	39,82	599,10	2.691 (M)	[A2M2]	--
523	C	-10,46	35,07	51,00	-24,70	35,71	590,64	2.691 (M)	[A2M2]	--
524	C	1,54	32,07	44,00	-14,88	41,38	572,47	2.691 (M)	[A2M2]	--
525	C	-1,46	29,07	47,00	-22,46	42,85	906,47	2.692 (M)	[A2M2]	--
526	C	-11,96	41,07	61,00	-37,66	42,40	956,37	2.692 (M)	[A2M2]	--
527	C	-2,96	38,07	57,00	-26,10	48,42	1073,26	2.692 (M)	[A2M2]	--
528	C	-10,46	33,57	51,00	-28,66	36,38	684,38	2.692 (M)	[A2M2]	--
529	C	-1,46	35,07	52,00	-22,16	45,81	907,38	2.692 (M)	[A2M2]	--
530	C	-8,96	44,07	64,00	-35,41	47,21	1079,19	2.692 (M)	[A2M2]	--
531	C	-7,46	45,57	65,00	-33,09	49,02	1092,13	2.692 (M)	[A2M2]	--
532	C	-2,96	44,07	60,00	-22,25	48,61	892,48	2.692 (M)	[A2M2]	--
533	C	6,04	29,07	40,00	-6,98	42,84	578,33	2.692 (M)	[A2M2]	--
534	C	6,04	30,57	41,00	-5,58	43,27	563,62	2.693 (M)	[A2M2]	--
535	C	-2,96	29,07	49,00	-26,28	43,47	1029,84	2.693 (M)	[A2M2]	--
536	C	0,04	42,57	52,00	-8,34	43,09	475,00	2.693 (M)	[A2M2]	--
537	C	-13,46	44,07	63,00	-37,30	41,57	861,78	2.693 (M)	[A2M2]	--
538	C	-13,46	47,07	66,00	-37,85	43,31	898,67	2.693 (M)	[A2M2]	--
539	C	-2,96	30,57	45,00	-20,52	38,64	624,88	2.693 (M)	[A2M2]	--
540	C	-11,96	38,07	55,00	-29,41	37,20	659,96	2.693 (M)	[A2M2]	--
541	C	-2,96	41,07	55,00	-20,68	44,57	704,00	2.693 (M)	[A2M2]	--
542	C	0,04	38,07	48,00	-10,54	41,22	468,55	2.693 (M)	[A2M2]	--
543	C	-2,96	44,07	61,00	-23,28	49,77	975,27	2.694 (M)	[A2M2]	--
544	C	-11,96	44,07	59,00	-24,02	38,44	575,74	2.694 (M)	[A2M2]	--
545	C	-5,96	42,57	56,00	-21,01	41,84	608,50	2.694 (M)	[A2M2]	--
546	C	-7,46	39,57	60,00	-34,12	46,53	1106,77	2.694 (M)	[A2M2]	--
547	C	-2,96	36,57	50,00	-19,81	41,35	620,96	2.694 (M)	[A2M2]	--
548	C	6,04	32,07	42,00	-3,85	43,66	548,92	2.694 (M)	[A2M2]	--
549	C	3,04	32,07	44,00	-13,38	42,88	605,78	2.694 (M)	[A2M2]	--
550	C	-4,46	48,57	63,00	-21,63	47,81	779,40	2.694 (M)	[A2M2]	--
551	C	-8,96	35,07	56,00	-35,56	42,68	1046,13	2.694 (M)	[A2M2]	--
552	C	-5,96	29,07	50,00	-31,15	41,52	1034,22	2.695 (M)	[A2M2]	--
553	C	-10,46	36,57	52,00	-23,93	36,09	572,08	2.695 (M)	[A2M2]	--
554	C	1,54	42,57	52,00	-6,84	44,59	508,15	2.695 (M)	[A2M2]	--
555	C	-4,46	39,57	53,00	-20,60	41,63	615,66	2.695 (M)	[A2M2]	--
556	C	-7,46	35,07	56,00	-34,11	44,18	1087,28	2.695 (M)	[A2M2]	--
557	C	-1,46	36,57	53,00	-21,89	46,21	885,81	2.696 (M)	[A2M2]	--
558	C	0,04	29,07	44,00	-19,51	41,16	714,44	2.696 (M)	[A2M2]	--
559	C	-7,46	29,07	50,00	-32,60	40,02	993,31	2.696 (M)	[A2M2]	--
560	C	-13,46	42,57	61,00	-35,74	40,11	798,00	2.696 (M)	[A2M2]	--
561	C	-2,96	44,07	59,00	-21,52	47,44	812,12	2.696 (M)	[A2M2]	--
562	C	-5,96	32,07	47,00	-21,76	37,17	603,66	2.696 (M)	[A2M2]	--
563	C	-5,96	41,07	61,00	-31,90	48,40	1121,54	2.696 (M)	[A2M2]	--
564	C	-7,46	41,07	55,00	-21,65	40,07	591,99	2.696 (M)	[A2M2]	--
565	C	-4,46	33,57	54,00	-29,83	45,63	1101,61	2.696 (M)	[A2M2]	--
566	C	-5,96	32,07	53,00	-31,92	43,64	1082,11	2.696 (M)	[A2M2]	--
567	C	-11,96	38,07	58,00	-37,01	40,53	915,18	2.696 (M)	[A2M2]	--
568	C	-1,46	30,57	49,00	-23,10	44,43	967,93	2.696 (M)	[A2M2]	--
569	C	-5,96	30,57	46,00	-22,05	36,72	620,59	2.696 (M)	[A2M2]	--
570	C	-1,46	33,57	47,00	-18,94	40,99	624,23	2.696 (M)	[A2M2]	--
571	C	-8,96	32,07	53,00	-34,81	40,64	1000,08	2.697 (M)	[A2M2]	--
572	C	-1,46	38,07	53,00	-20,90	45,45	785,17	2.697 (M)	[A2M2]	--
573	C	-11,96	44,07	64,00	-38,28	44,21	996,21	2.697 (M)	[A2M2]	--
574	C	-5,96	45,57	59,00	-21,09	43,50	636,94	2.698 (M)	[A2M2]	--
575	C	-7,46	45,57	59,00	-21,37	42,00	599,59	2.698 (M)	[A2M2]	--
576	C	-7,46	48,57	62,00	-21,43	43,60	627,06	2.698 (M)	[A2M2]	--
577	C	-2,96	32,07	52,00	-27,00	45,57	1075,60	2.698 (M)	[A2M2]	--
578	C	-4,46	35,07	49,00	-20,80	39,49	604,20	2.698 (M)	[A2M2]	--
579	C	-10,46	48,57	68,00	-36,54	47,74	1047,17	2.698 (M)	[A2M2]	--
580	C	-2,96	29,07	44,00	-20,81	38,16	642,14	2.698 (M)	[A2M2]	--
581	C	-10,46	33,57	54,00	-35,62	39,63	936,04	2.698 (M)	[A2M2]	--
582	C	-4,46	38,07	58,00	-29,81	48,03	1121,33	2.698 (M)	[A2M2]	--
583	C	0,04	33,57	48,00	-19,42	43,60	731,97	2.698 (M)	[A2M2]	--
584	C	-13,46	42,57	60,00	-33,00	38,97	712,38	2.699 (M)	[A2M2]	--
585	C	-5,96	29,07	45,00	-22,34	36,22	637,28	2.699 (M)	[A2M2]	--
586	C	-8,96	44,07	58,00	-21,99	40,27	583,12	2.699 (M)	[A2M2]	--
587	C	-1,46	35,07	53,00	-23,00	46,91	989,00	2.699 (M)	[A2M2]	--
588	C	0,04	36,57	47,00	-12,41	40,93	485,91	2.699 (M)	[A2M2]	--
589	C	0,04	35,07	45,00	-10,20	39,48	442,82	2.699 (M)	[A2M2]	--
590	C	1,54	30,57	43,00	-15,87	40,96	589,98	2.700 (M)	[A2M2]	--
591	C	-8,96	33,57	49,00	-23,03	35,70	577,88	2.700 (M)	[A2M2]	--
592	C	-2,96	36,57	56,00	-26,93	48,02	1096,96	2.700 (M)	[A2M2]	--
593	C	-2,96	39,57	53,00	-20,02	43,13	651,75	2.700 (M)	[A2M2]	--
594	C	-4,46	42,57	56,00	-20,70	43,34	645,21	2.700 (M)	[A2M2]	--
595	C	-1,46	36,57	54,00	-22,60	47,32	967,06	2.700 (M)	[A2M2]	--
596	C	-11,96	36,57	55,00	-33,20	37,92	763,05	2.700 (M)	[A2M2]	--
597	C	-1,46	35,07	48,00	-18,46	41,37	605,05	2.700 (M)	[A2M2]	--

N°	Forma	C_x	C_y	R	x_v	x_m	V	F_s	Caso	Sisma
		[m]	*[m]*	*[m]*	*[m]*	*[m]*	*[mc]*			
598	C	0,04	33,57	43,00	-7,58	38,02	401,75	2.700 (M)	[A2M2]	--
599	C	-10,46	33,57	50,00	-25,81	35,29	608,94	2.700 (M)	[A2M2]	--
600	C	0,04	32,07	46,00	-18,70	42,08	678,02	2.700 (M)	[A2M2]	--
601	C	-11,96	48,57	68,00	-37,97	46,24	1005,94	2.700 (M)	[A2M2]	--
602	C	0,04	32,07	47,00	-19,84	43,17	751,59	2.700 (M)	[A2M2]	--
603	C	0,04	29,07	43,00	-18,39	40,08	642,67	2.701 (M)	[A2M2]	--
604	C	-13,46	44,07	60,00	-28,30	38,11	608,67	2.701 (M)	[A2M2]	--
605	C	3,04	30,57	43,00	-14,37	42,46	623,36	2.701 (M)	[A2M2]	--
606	C	-7,46	44,07	64,00	-33,97	48,71	1120,42	2.701 (M)	[A2M2]	--
607	C	-1,46	38,07	54,00	-21,61	46,58	863,70	2.701 (M)	[A2M2]	--
608	C	-8,96	32,07	48,00	-23,74	35,26	595,30	2.701 (M)	[A2M2]	--
609	C	1,54	41,07	51,00	-9,37	44,38	526,48	2.701 (M)	[A2M2]	--
610	C	0,04	32,07	45,00	-17,54	40,98	607,30	2.702 (M)	[A2M2]	--
611	C	-1,46	36,57	50,00	-19,18	42,85	656,38	2.702 (M)	[A2M2]	--
612	C	-8,96	39,57	54,00	-22,27	38,27	573,74	2.702 (M)	[A2M2]	--
613	C	0,04	41,07	51,00	-10,87	42,88	493,21	2.702 (M)	[A2M2]	--
614	C	-8,96	29,07	48,00	-29,95	36,41	782,15	2.702 (M)	[A2M2]	--
615	C	0,04	35,07	46,00	-13,95	40,62	503,77	2.702 (M)	[A2M2]	--
616	C	-1,46	38,07	52,00	-19,90	44,32	709,24	2.702 (M)	[A2M2]	--
617	C	-4,46	47,07	61,00	-21,21	46,41	726,12	2.702 (M)	[A2M2]	--
618	C	-2,96	38,07	51,00	-19,30	41,68	600,68	2.702 (M)	[A2M2]	--
619	C	-1,46	33,57	52,00	-23,51	46,47	1010,44	2.702 (M)	[A2M2]	--
620	C	-11,96	36,57	56,00	-35,57	39,02	849,06	2.702 (M)	[A2M2]	--
621	C	0,04	30,57	44,00	-17,98	40,55	625,27	2.703 (M)	[A2M2]	--
622	C	-8,96	38,07	59,00	-36,28	44,63	1090,81	2.703 (M)	[A2M2]	--
623	C	-10,46	42,57	63,00	-37,67	45,38	1065,34	2.703 (M)	[A2M2]	--
624	C	-8,96	42,57	63,00	-36,23	46,88	1107,06	2.703 (M)	[A2M2]	--
625	C	-8,96	48,57	68,00	-35,11	49,24	1088,47	2.703 (M)	[A2M2]	--
626	C	-11,96	38,07	54,00	-26,18	36,08	584,24	2.703 (M)	[A2M2]	--
627	C	0,04	35,07	44,00	-3,94	38,33	388,26	2.704 (M)	[A2M2]	--
628	C	-13,46	45,57	65,00	-38,83	43,02	926,79	2.704 (M)	[A2M2]	--
629	C	-5,96	35,07	56,00	-32,66	45,68	1128,92	2.704 (M)	[A2M2]	--
630	C	-1,46	39,57	54,00	-20,61	45,77	762,95	2.705 (M)	[A2M2]	--
631	C	-10,46	32,07	51,00	-32,04	37,00	784,55	2.705 (M)	[A2M2]	--
632	C	-2,96	32,07	46,00	-20,06	39,08	607,04	2.705 (M)	[A2M2]	--
633	C	-1,46	38,07	55,00	-22,32	47,70	944,57	2.705 (M)	[A2M2]	--
634	C	-2,96	45,57	61,00	-21,94	48,87	867,74	2.705 (M)	[A2M2]	--
635	C	-8,96	48,57	62,00	-21,68	42,10	589,16	2.705 (M)	[A2M2]	--
636	C	0,04	33,57	46,00	-17,09	41,38	588,80	2.705 (M)	[A2M2]	--
637	C	0,04	30,57	46,00	-20,24	42,72	770,59	2.705 (M)	[A2M2]	--
638	C	1,54	39,57	50,00	-11,31	44,14	545,28	2.705 (M)	[A2M2]	--
639	C	-1,46	29,07	48,00	-23,56	43,91	986,99	2.705 (M)	[A2M2]	--
640	C	-8,96	29,07	49,00	-32,06	37,47	864,96	2.706 (M)	[A2M2]	--
641	C	1,54	38,07	49,00	-12,91	43,88	564,50	2.706 (M)	[A2M2]	--
642	C	-5,96	48,57	62,00	-21,16	45,10	664,70	2.706 (M)	[A2M2]	--
643	C	-13,46	42,57	62,00	-38,24	41,25	888,52	2.706 (M)	[A2M2]	--
644	C	-10,46	47,07	61,00	-22,28	40,41	572,71	2.706 (M)	[A2M2]	--
645	C	-5,96	39,57	60,00	-32,68	48,03	1147,81	2.706 (M)	[A2M2]	--
646	C	0,04	33,57	47,00	-18,27	42,49	658,99	2.706 (M)	[A2M2]	--
647	C	1,54	29,07	42,00	-16,54	40,51	607,13	2.707 (M)	[A2M2]	--
648	C	-7,46	38,07	59,00	-34,83	46,13	1132,65	2.707 (M)	[A2M2]	--
649	C	4,54	39,57	49,00	-3,59	45,97	551,14	2.707 (M)	[A2M2]	--
650	C	-10,46	35,07	56,00	-37,00	41,18	1005,03	2.707 (M)	[A2M2]	--
651	C	-7,46	36,57	51,00	-21,89	37,97	580,77	2.707 (M)	[A2M2]	--
652	C	0,04	33,57	45,00	-15,26	40,27	521,62	2.707 (M)	[A2M2]	--
653	C	-8,96	30,57	47,00	-24,42	34,79	612,31	2.707 (M)	[A2M2]	--
654	C	-10,46	38,07	59,00	-37,72	43,13	1049,71	2.707 (M)	[A2M2]	--
655	C	-11,96	39,57	60,00	-38,44	42,03	982,58	2.707 (M)	[A2M2]	--
656	C	-4,46	29,07	50,00	-29,70	43,02	1075,13	2.707 (M)	[A2M2]	--
657	C	-11,96	36,57	54,00	-30,60	36,82	681,17	2.707 (M)	[A2M2]	--
658	C	1,54	36,57	48,00	-14,27	43,58	583,84	2.707 (M)	[A2M2]	--
659	C	0,04	33,57	44,00	-12,00	39,14	458,99	2.708 (M)	[A2M2]	--
660	C	0,04	39,57	50,00	-12,81	42,64	512,13	2.708 (M)	[A2M2]	--
661	C	-1,46	32,07	51,00	-24,00	46,00	1030,80	2.708 (M)	[A2M2]	--
662	C	-10,46	47,07	67,00	-37,46	47,47	1076,71	2.708 (M)	[A2M2]	--
663	C	-1,46	39,57	55,00	-21,33	46,91	841,08	2.708 (M)	[A2M2]	--
664	C	-1,46	36,57	49,00	-17,97	41,72	585,44	2.708 (M)	[A2M2]	--
665	C	-1,46	38,07	51,00	-18,69	43,18	635,77	2.709 (M)	[A2M2]	--
666	C	-13,46	45,57	61,00	-26,46	38,37	586,76	2.709 (M)	[A2M2]	--
667	C	-4,46	41,07	54,00	-20,06	41,91	594,49	2.709 (M)	[A2M2]	--
668	C	-8,96	29,07	47,00	-27,65	35,35	703,53	2.709 (M)	[A2M2]	--
669	C	-4,46	45,57	59,00	-20,79	45,00	673,98	2.709 (M)	[A2M2]	--
670	C	-10,46	32,07	52,00	-34,22	38,07	869,46	2.709 (M)	[A2M2]	--
671	C	-4,46	36,57	57,00	-30,55	47,62	1145,92	2.709 (M)	[A2M2]	--
672	C	-14,96	48,57	66,00	-35,33	40,89	739,58	2.709 (M)	[A2M2]	--
673	C	-2,96	35,07	55,00	-27,70	47,59	1120,25	2.709 (M)	[A2M2]	--
674	C	-10,46	42,57	57,00	-22,60	38,51	564,94	2.709 (M)	[A2M2]	--
675	C	0,04	35,07	48,00	-17,81	42,87	639,46	2.710 (M)	[A2M2]	--
676	C	-2,96	45,57	60,00	-21,21	47,69	787,84	2.710 (M)	[A2M2]	--

N°	Forma	C_x	C_y	R	x_v	x_m	V	F_s	Caso	Sisma
		[m]	*[m]*	*[m]*	*[m]*	*[m]*	*[mc]*			
677	C	-7,46	30,57	52,00	-33,95	41,62	1062,80	2.710 (M)	[A2M2]	--
678	C	0,04	38,07	49,00	-14,41	42,38	531,40	2.710 (M)	[A2M2]	--
679	C	-13,46	42,57	59,00	-29,88	37,82	631,32	2.710 (M)	[A2M2]	--
680	C	-13,46	48,57	68,00	-39,40	44,74	964,14	2.710 (M)	[A2M2]	--
681	C	3,04	29,07	42,00	-15,23	42,01	640,19	2.710 (M)	[A2M2]	--
682	C	-10,46	32,07	50,00	-29,67	35,92	703,67	2.710 (M)	[A2M2]	--
683	C	-13,46	41,07	60,00	-36,73	39,78	823,50	2.710 (M)	[A2M2]	--
684	C	-2,96	41,07	54,00	-19,49	43,41	630,13	2.711 (M)	[A2M2]	--
685	C	-11,96	42,57	63,00	-39,10	43,88	1024,04	2.711 (M)	[A2M2]	--
686	C	-7,46	42,57	63,00	-34,78	48,38	1148,32	2.711 (M)	[A2M2]	--
687	C	-13,46	41,07	59,00	-34,15	38,65	736,53	2.711 (M)	[A2M2]	--
688	C	-2,96	42,57	56,00	-20,21	44,84	681,69	2.711 (M)	[A2M2]	--
689	C	-4,46	32,07	53,00	-30,47	45,14	1123,86	2.711 (M)	[A2M2]	--
690	C	-1,46	39,57	56,00	-22,04	48,05	921,55	2.711 (M)	[A2M2]	--
691	C	-11,96	47,07	67,00	-38,89	45,97	1035,00	2.711 (M)	[A2M2]	--
692	C	3,04	42,57	52,00	-5,34	46,09	541,43	2.711 (M)	[A2M2]	--
693	C	-2,96	33,57	47,00	-19,59	39,49	588,69	2.712 (M)	[A2M2]	--
694	C	-8,96	47,07	67,00	-36,02	48,97	1118,04	2.712 (M)	[A2M2]	--
695	C	4,54	38,07	48,00	-6,04	45,72	568,23	2.712 (M)	[A2M2]	--
696	C	-2,96	30,57	51,00	-27,65	45,06	1096,49	2.712 (M)	[A2M2]	--
697	C	-7,46	33,57	55,00	-34,73	43,71	1110,83	2.712 (M)	[A2M2]	--
698	C	0,04	32,07	43,00	-13,48	38,78	475,24	2.712 (M)	[A2M2]	--
699	C	0,04	35,07	49,00	-18,99	43,99	712,20	2.713 (M)	[A2M2]	--
700	C	0,04	35,07	47,00	-16,62	41,75	569,85	2.713 (M)	[A2M2]	--
701	C	-8,96	33,57	55,00	-36,18	42,21	1069,66	2.713 (M)	[A2M2]	--
702	C	0,04	29,07	45,00	-20,60	42,22	788,96	2.713 (M)	[A2M2]	--
703	C	1,54	35,07	47,00	-15,45	43,25	603,23	2.713 (M)	[A2M2]	--
704	C	-1,46	38,07	56,00	-23,36	48,81	1027,86	2.713 (M)	[A2M2]	--
705	C	0,04	36,57	48,00	-15,77	42,08	550,54	2.714 (M)	[A2M2]	--
706	C	1,54	32,07	45,00	-16,85	42,48	640,96	2.714 (M)	[A2M2]	--
707	C	-14,96	48,57	67,00	-38,22	42,07	828,95	2.714 (M)	[A2M2]	--
708	C	-1,46	32,07	45,00	-18,22	39,48	573,08	2.714 (M)	[A2M2]	--
709	C	0,04	32,07	42,00	-9,85	37,66	416,16	2.714 (M)	[A2M2]	--
710	C	-1,46	36,57	55,00	-23,90	48,42	1050,91	2.714 (M)	[A2M2]	--
711	C	0,04	30,57	43,00	-16,82	39,46	556,80	2.714 (M)	[A2M2]	--
712	C	-4,46	36,57	50,00	-20,42	39,85	584,75	2.714 (M)	[A2M2]	--
713	C	-2,96	44,07	58,00	-20,79	46,27	734,13	2.714 (M)	[A2M2]	--
714	C	1,54	29,07	43,00	-17,65	41,58	676,95	2.714 (M)	[A2M2]	--
715	C	-11,96	39,57	55,00	-24,75	36,41	564,55	2.714 (M)	[A2M2]	--
716	C	-2,96	39,57	52,00	-18,76	41,97	580,10	2.714 (M)	[A2M2]	--
717	C	-1,46	39,57	53,00	-19,41	44,63	687,56	2.714 (M)	[A2M2]	--
718	C	-1,46	39,57	57,00	-22,79	49,18	1004,37	2.714 (M)	[A2M2]	--
719	C	-11,96	36,57	57,00	-37,76	40,12	939,10	2.715 (M)	[A2M2]	--
720	C	-13,46	47,07	62,00	-24,70	38,60	564,86	2.715 (M)	[A2M2]	--
721	C	-5,96	30,57	52,00	-32,50	43,12	1103,70	2.715 (M)	[A2M2]	--
722	C	-1,46	29,07	43,00	-19,10	38,58	607,47	2.715 (M)	[A2M2]	--
723	C	-5,96	39,57	53,00	-20,93	40,13	578,82	2.715 (M)	[A2M2]	--
724	C	-4,46	44,07	57,00	-20,21	43,59	622,83	2.715 (M)	[A2M2]	--
725	C	-1,46	30,57	44,00	-18,67	39,05	590,40	2.715 (M)	[A2M2]	--
726	C	4,54	35,07	46,00	-9,45	45,12	603,48	2.715 (M)	[A2M2]	--
727	C	1,54	30,57	44,00	-17,26	42,05	659,25	2.716 (M)	[A2M2]	--
728	C	4,54	36,57	47,00	-7,91	45,43	585,62	2.716 (M)	[A2M2]	--
729	C	-8,96	41,07	62,00	-36,98	46,52	1134,60	2.716 (M)	[A2M2]	--
730	C	3,04	41,07	51,00	-7,87	45,88	559,60	2.716 (M)	[A2M2]	--
731	C	-1,46	30,57	50,00	-24,46	45,50	1051,05	2.716 (M)	[A2M2]	--
732	C	1,54	30,57	45,00	-18,38	43,14	731,34	2.716 (M)	[A2M2]	--
733	C	-11,96	36,57	53,00	-27,65	35,71	604,02	2.716 (M)	[A2M2]	--
734	C	0,04	29,07	42,00	-17,25	39,01	573,35	2.716 (M)	[A2M2]	--
735	C	4,54	33,57	45,00	-10,76	44,77	621,33	2.716 (M)	[A2M2]	--
736	C	0,04	32,07	44,00	-16,37	39,88	539,37	2.717 (M)	[A2M2]	--
737	C	-1,46	35,07	54,00	-24,41	48,00	1073,49	2.717 (M)	[A2M2]	--
738	C	-2,96	35,07	48,00	-19,09	39,87	570,12	2.717 (M)	[A2M2]	--
739	C	-10,46	41,07	62,00	-38,42	45,02	1092,87	2.717 (M)	[A2M2]	--
740	C	-1,46	41,07	56,00	-21,04	47,23	817,97	2.717 (M)	[A2M2]	--
741	C	0,04	36,57	49,00	-17,34	43,22	619,74	2.717 (M)	[A2M2]	--
742	C	1,54	33,57	46,00	-16,42	42,88	622,42	2.717 (M)	[A2M2]	--
743	C	-13,46	44,07	64,00	-39,72	42,71	954,85	2.717 (M)	[A2M2]	--
744	C	-4,46	41,07	61,00	-30,46	49,90	1163,16	2.717 (M)	[A2M2]	--
745	C	-5,96	44,07	57,00	-20,68	42,09	586,59	2.717 (M)	[A2M2]	--
746	C	-11,96	45,57	60,00	-23,10	38,69	554,62	2.718 (M)	[A2M2]	--
747	C	-2,96	39,57	59,00	-27,57	49,92	1137,80	2.718 (M)	[A2M2]	--
748	C	-10,46	32,07	49,00	-27,04	34,84	627,09	2.718 (M)	[A2M2]	--
749	C	-8,96	29,07	46,00	-25,11	34,29	628,83	2.718 (M)	[A2M2]	--
750	C	-14,96	47,07	65,00	-36,57	40,64	766,43	2.718 (M)	[A2M2]	--
751	C	0,04	35,07	50,00	-20,15	45,10	787,52	2.718 (M)	[A2M2]	--
752	C	-1,46	33,57	46,00	-17,74	39,88	554,94	2.718 (M)	[A2M2]	--
753	C	-5,96	33,57	48,00	-21,46	37,60	585,76	2.718 (M)	[A2M2]	--
754	C	-5,96	38,07	59,00	-33,39	47,63	1173,82	2.718 (M)	[A2M2]	--
755	C	-8,96	29,07	50,00	-34,05	38,52	951,51	2.718 (M)	[A2M2]	--

N°	Forma	C_x	C_y	R	x_v	x_m	V	F_s	Caso	Sisma
		[m]	*[m]*	*[m]*	*[m]*	*[m]*	*[mc]*			
756	C	-10,46	38,07	53,00	-23,12	36,45	553,24	2.718 (M)	[A2M2]	--
757	C	-14,96	48,57	65,00	-32,06	39,70	654,95	2.718 (M)	[A2M2]	--
758	C	3,04	39,57	50,00	-9,81	45,64	578,56	2.718 (M)	[A2M2]	--
759	C	-8,96	36,57	58,00	-36,93	44,21	1116,18	2.719 (M)	[A2M2]	--
760	C	0,04	36,57	51,00	-19,71	45,47	766,37	2.719 (M)	[A2M2]	--
761	C	-7,46	42,57	56,00	-21,30	40,34	571,00	2.719 (M)	[A2M2]	--
762	C	-11,96	35,07	54,00	-34,10	37,50	785,21	2.719 (M)	[A2M2]	--
763	C	-2,96	47,07	62,00	-21,63	49,10	842,63	2.719 (M)	[A2M2]	--
764	C	-10,46	45,57	66,00	-38,31	47,17	1106,27	2.719 (M)	[A2M2]	--
765	C	0,04	33,57	49,00	-20,56	44,70	808,16	2.719 (M)	[A2M2]	--
766	C	-1,46	41,07	57,00	-21,76	48,37	898,04	2.719 (M)	[A2M2]	--
767	C	-8,96	30,57	52,00	-35,40	40,12	1021,66	2.719 (M)	[A2M2]	--
768	C	3,04	38,07	49,00	-11,41	45,38	597,83	2.719 (M)	[A2M2]	--
769	C	-1,46	39,57	52,00	-18,17	43,47	614,79	2.720 (M)	[A2M2]	--
770	C	-1,46	38,07	50,00	-17,45	42,03	565,45	2.720 (M)	[A2M2]	--
771	C	-5,96	33,57	55,00	-33,28	45,21	1152,63	2.720 (M)	[A2M2]	--
772	C	0,04	32,07	48,00	-20,82	44,26	827,85	2.720 (M)	[A2M2]	--
773	C	-13,46	41,07	58,00	-31,28	37,51	654,04	2.721 (M)	[A2M2]	--
774	C	0,04	30,57	42,00	-14,72	38,37	491,51	2.721 (M)	[A2M2]	--
775	C	3,04	36,57	48,00	-12,77	45,08	616,98	2.721 (M)	[A2M2]	--
776	C	-2,96	33,57	54,00	-28,39	47,13	1142,50	2.721 (M)	[A2M2]	--
777	C	-7,46	36,57	58,00	-35,49	45,71	1158,06	2.721 (M)	[A2M2]	--
778	C	-1,46	33,57	53,00	-24,90	47,55	1095,52	2.721 (M)	[A2M2]	--
779	C	4,54	32,07	44,00	-11,88	44,38	638,90	2.721 (M)	[A2M2]	--
780	C	-1,46	41,07	58,00	-22,48	49,51	980,45	2.721 (M)	[A2M2]	--
781	C	-13,46	41,07	61,00	-39,10	40,90	914,48	2.721 (M)	[A2M2]	--
782	C	-4,46	35,07	56,00	-31,22	47,18	1170,04	2.722 (M)	[A2M2]	--
783	C	0,04	36,57	50,00	-18,53	44,35	691,64	2.722 (M)	[A2M2]	--
784	C	-7,46	29,07	45,00	-22,72	34,72	597,88	2.722 (M)	[A2M2]	--
785	C	-7,46	30,57	46,00	-22,42	35,22	581,68	2.722 (M)	[A2M2]	--
786	C	-4,46	29,07	44,00	-21,23	36,66	605,21	2.722 (M)	[A2M2]	--
787	C	-8,96	45,57	66,00	-36,87	48,67	1147,47	2.722 (M)	[A2M2]	--
788	C	0,04	45,57	55,00	-8,58	44,65	497,66	2.722 (M)	[A2M2]	--
789	C	-10,46	32,07	53,00	-36,26	39,14	958,21	2.722 (M)	[A2M2]	--
790	C	-5,96	47,07	60,00	-20,75	43,70	613,89	2.722 (M)	[A2M2]	--
791	C	-7,46	41,07	62,00	-35,53	48,02	1175,89	2.722 (M)	[A2M2]	--
792	C	-1,46	41,07	54,00	-18,89	44,91	665,63	2.722 (M)	[A2M2]	--
793	C	-13,46	47,07	67,00	-40,33	44,47	993,63	2.722 (M)	[A2M2]	--
794	C	1,54	29,07	44,00	-18,76	42,66	749,51	2.723 (M)	[A2M2]	--
795	C	0,04	30,57	47,00	-21,06	43,79	847,27	2.723 (M)	[A2M2]	--
796	C	-11,96	35,07	55,00	-36,35	38,59	872,32	2.723 (M)	[A2M2]	--
797	C	-4,46	42,57	55,00	-19,48	42,17	573,04	2.723 (M)	[A2M2]	--
798	C	-11,96	45,57	66,00	-39,75	45,67	1064,39	2.723 (M)	[A2M2]	--
799	C	-2,96	44,07	57,00	-19,66	45,09	658,84	2.724 (M)	[A2M2]	--
800	C	-11,96	35,07	53,00	-31,66	36,41	702,20	2.724 (M)	[A2M2]	--
801	C	-8,96	35,07	50,00	-22,53	36,10	560,07	2.724 (M)	[A2M2]	--
802	C	-10,46	36,57	58,00	-38,38	42,71	1075,10	2.725 (M)	[A2M2]	--
803	C	-11,96	38,07	59,00	-39,17	41,63	1008,40	2.725 (M)	[A2M2]	--
804	C	-1,46	41,07	55,00	-20,13	46,07	740,38	2.725 (M)	[A2M2]	--
805	C	-14,96	47,07	66,00	-39,28	41,81	857,28	2.725 (M)	[A2M2]	--
806	C	-2,96	42,57	55,00	-18,94	43,67	608,27	2.725 (M)	[A2M2]	--
807	C	-4,46	38,07	51,00	-19,88	40,18	565,16	2.725 (M)	[A2M2]	--
808	C	-2,96	38,07	58,00	-28,37	49,53	1162,81	2.725 (M)	[A2M2]	--
809	C	-5,96	42,57	63,00	-33,34	49,88	1189,49	2.725 (M)	[A2M2]	--
810	C	-13,46	39,57	58,00	-35,19	38,30	760,54	2.726 (M)	[A2M2]	--
811	C	-7,46	32,07	47,00	-22,11	35,67	564,86	2.726 (M)	[A2M2]	--
812	C	-11,96	41,07	62,00	-39,86	43,52	1051,55	2.726 (M)	[A2M2]	--
813	C	-14,96	47,07	64,00	-33,55	39,47	680,13	2.726 (M)	[A2M2]	--
814	C	-11,96	41,07	56,00	-23,89	36,73	544,78	2.726 (M)	[A2M2]	--
815	C	3,04	35,07	47,00	-13,95	44,75	636,29	2.726 (M)	[A2M2]	--
816	C	6,04	32,07	43,00	-7,48	44,78	608,02	2.726 (M)	[A2M2]	--
817	C	-2,96	36,57	49,00	-18,57	40,22	550,90	2.726 (M)	[A2M2]	--
818	C	-1,46	35,07	47,00	-17,25	40,25	536,35	2.726 (M)	[A2M2]	--
819	C	4,54	30,57	43,00	-12,87	43,96	656,40	2.726 (M)	[A2M2]	--
820	C	-1,46	29,07	49,00	-24,89	44,97	1070,63	2.726 (M)	[A2M2]	--
821	C	-4,46	39,57	60,00	-31,23	49,53	1189,47	2.726 (M)	[A2M2]	--
822	C	-7,46	47,07	60,00	-21,02	42,20	577,11	2.727 (M)	[A2M2]	--
823	C	0,04	38,07	51,00	-18,06	44,68	670,64	2.727 (M)	[A2M2]	--
824	C	-4,46	48,57	62,00	-20,88	46,60	701,69	2.727 (M)	[A2M2]	--
825	C	1,54	32,07	46,00	-17,99	43,58	712,90	2.727 (M)	[A2M2]	--
826	C	-13,46	39,57	59,00	-37,63	39,42	848,53	2.727 (M)	[A2M2]	--
827	C	0,04	30,57	41,00	-11,58	37,27	430,83	2.727 (M)	[A2M2]	--
828	C	-1,46	42,57	57,00	-20,74	47,51	794,43	2.727 (M)	[A2M2]	--
829	C	0,04	38,07	50,00	-16,84	43,53	599,36	2.727 (M)	[A2M2]	--
830	C	-4,46	47,07	60,00	-20,36	45,20	650,38	2.727 (M)	[A2M2]	--
831	C	6,04	33,57	44,00	-6,00	45,14	591,81	2.728 (M)	[A2M2]	--
832	C	-10,46	33,57	55,00	-37,63	40,71	1028,57	2.728 (M)	[A2M2]	--
833	C	1,54	45,57	55,00	-7,08	46,15	530,80	2.728 (M)	[A2M2]	--
834	C	-5,96	35,07	49,00	-21,15	37,99	567,31	2.728 (M)	[A2M2]	--

N°	Forma	C_x	C_y	R	x_v	x_m	V	F_s	Caso	Sisma
		[m]	[m]	[m]	[m]	[m]	[mc]			
835	C	-4,46	30,57	52,00	-31,04	44,62	1145,48	2.728 (M)	[A2M2]	--
836	C	0,04	29,07	46,00	-21,30	43,29	865,98	2.728 (M)	[A2M2]	--
837	C	6,04	35,07	45,00	-4,20	45,48	575,75	2.729 (M)	[A2M2]	--
838	C	-8,96	45,57	59,00	-21,63	40,50	561,54	2.729 (M)	[A2M2]	--
839	C	-2,96	29,07	50,00	-28,25	44,52	1116,73	2.729 (M)	[A2M2]	--
840	C	-1,46	42,57	58,00	-21,47	48,67	874,07	2.729 (M)	[A2M2]	--
841	C	6,04	30,57	42,00	-8,72	44,37	624,33	2.729 (M)	[A2M2]	--
842	C	-10,46	30,57	50,00	-32,81	36,50	804,52	2.729 (M)	[A2M2]	--
843	C	-8,96	39,57	61,00	-37,67	46,14	1161,91	2.730 (M)	[A2M2]	--
844	C	-2,96	41,07	53,00	-18,21	42,24	559,22	2.730 (M)	[A2M2]	--
845	C	-1,46	38,07	57,00	-24,80	49,92	1114,15	2.730 (M)	[A2M2]	--
846	C	-14,96	45,57	64,00	-37,70	40,37	793,11	2.730 (M)	[A2M2]	--
847	C	0,04	44,07	54,00	-11,19	44,48	517,09	2.730 (M)	[A2M2]	--
848	C	-1,46	42,57	59,00	-22,19	49,82	956,06	2.730 (M)	[A2M2]	--
849	C	-7,46	38,07	52,00	-21,57	38,32	561,46	2.731 (M)	[A2M2]	--
850	C	0,04	33,57	50,00	-21,28	45,79	886,47	2.731 (M)	[A2M2]	--
851	C	3,04	33,57	46,00	-14,99	44,38	655,54	2.731 (M)	[A2M2]	--
852	C	-1,46	32,07	52,00	-25,55	47,07	1117,01	2.731 (M)	[A2M2]	--
853	C	-10,46	44,07	65,00	-39,10	46,85	1135,43	2.731 (M)	[A2M2]	--
854	C	-7,46	32,07	54,00	-35,29	43,21	1133,78	2.731 (M)	[A2M2]	--
855	C	0,04	30,57	40,00	-7,30	36,17	375,43	2.732 (M)	[A2M2]	--
856	C	-5,96	36,57	58,00	-34,04	47,21	1199,26	2.732 (M)	[A2M2]	--
857	C	6,04	29,07	41,00	-9,79	43,93	640,38	2.732 (M)	[A2M2]	--
858	C	0,04	29,07	39,00	-9,48	35,75	388,14	2.732 (M)	[A2M2]	--
859	C	-8,96	41,07	55,00	-21,93	38,57	553,71	2.732 (M)	[A2M2]	--
860	C	-11,96	35,07	52,00	-28,94	35,31	623,75	2.732 (M)	[A2M2]	--
861	C	0,04	32,07	49,00	-21,52	45,34	906,89	2.732 (M)	[A2M2]	--
862	C	1,54	33,57	47,00	-17,57	43,99	693,53	2.732 (M)	[A2M2]	--
863	C	-10,46	39,57	61,00	-39,11	44,64	1120,01	2.732 (M)	[A2M2]	--
864	C	-13,46	42,57	63,00	-40,54	42,38	982,65	2.732 (M)	[A2M2]	--
865	C	0,04	35,07	51,00	-21,02	46,21	865,42	2.732 (M)	[A2M2]	--
866	C	-7,46	29,07	51,00	-34,47	41,07	1083,72	2.732 (M)	[A2M2]	--
867	C	-1,46	39,57	51,00	-16,91	42,31	545,13	2.732 (M)	[A2M2]	--
868	C	-10,46	30,57	49,00	-30,57	35,43	722,67	2.732 (M)	[A2M2]	--
869	C	-13,46	41,07	57,00	-27,94	36,37	576,53	2.733 (M)	[A2M2]	--
870	C	-8,96	44,07	65,00	-37,66	48,35	1176,62	2.733 (M)	[A2M2]	--
871	C	-4,46	45,57	58,00	-19,63	43,80	600,18	2.733 (M)	[A2M2]	--
872	C	-13,46	39,57	57,00	-32,52	37,18	676,83	2.733 (M)	[A2M2]	--
873	C	0,04	32,07	41,00	-3,80	36,54	363,17	2.733 (M)	[A2M2]	--
874	C	-8,96	32,07	54,00	-36,74	41,71	1092,59	2.733 (M)	[A2M2]	--
875	C	-1,46	41,07	53,00	-17,64	43,74	593,71	2.734 (M)	[A2M2]	--
876	C	1,54	35,07	48,00	-17,14	44,37	673,65	2.734 (M)	[A2M2]	--
877	C	1,54	44,07	54,00	-9,69	45,98	550,36	2.734 (M)	[A2M2]	--
878	C	-2,96	45,57	59,00	-20,39	46,50	710,33	2.734 (M)	[A2M2]	--
879	C	4,54	29,07	42,00	-13,73	43,51	673,54	2.734 (M)	[A2M2]	--
880	C	-2,96	48,57	63,00	-21,31	49,31	817,17	2.734 (M)	[A2M2]	--
881	C	0,04	29,07	41,00	-15,79	37,93	507,29	2.735 (M)	[A2M2]	--
882	C	-14,96	45,57	63,00	-34,88	39,21	705,68	2.735 (M)	[A2M2]	--
883	C	-2,96	32,07	53,00	-29,02	46,64	1164,83	2.735 (M)	[A2M2]	--
884	C	-7,46	39,57	61,00	-36,22	47,64	1203,06	2.735 (M)	[A2M2]	--
885	C	-1,46	36,57	56,00	-25,49	49,52	1137,88	2.735 (M)	[A2M2]	--
886	C	0,04	42,57	53,00	-13,20	44,29	537,26	2.735 (M)	[A2M2]	--
887	C	-2,96	36,57	57,00	-29,10	49,12	1187,50	2.735 (M)	[A2M2]	--
888	C	-13,46	48,57	63,00	-23,72	38,81	543,04	2.735 (M)	[A2M2]	--
889	C	-10,46	30,57	51,00	-34,89	37,56	890,27	2.735 (M)	[A2M2]	--
890	C	0,04	39,57	52,00	-17,56	44,97	649,27	2.735 (M)	[A2M2]	--
891	C	0,04	36,57	52,00	-20,76	46,59	843,79	2.735 (M)	[A2M2]	--
892	C	-11,96	35,07	56,00	-38,45	39,68	963,13	2.735 (M)	[A2M2]	--
893	C	-1,46	45,57	55,00	-10,08	43,15	464,37	2.735 (M)	[A2M2]	--
894	C	0,04	30,57	48,00	-21,76	44,86	926,16	2.735 (M)	[A2M2]	--
895	C	1,54	33,57	48,00	-18,72	45,10	767,44	2.736 (M)	[A2M2]	--
896	C	-13,46	45,57	66,00	-41,19	44,17	1022,99	2.736 (M)	[A2M2]	--
897	C	1,54	41,07	52,00	-13,36	45,57	590,96	2.736 (M)	[A2M2]	--
898	C	-5,96	41,07	62,00	-34,09	49,52	1217,09	2.736 (M)	[A2M2]	--
899	C	-1,46	42,57	55,00	-18,36	45,17	643,35	2.736 (M)	[A2M2]	--
900	C	0,04	41,07	52,00	-14,86	44,07	557,87	2.736 (M)	[A2M2]	--
901	C	-5,96	29,07	51,00	-33,02	42,57	1124,75	2.736 (M)	[A2M2]	--
902	C	-4,46	30,57	45,00	-20,95	37,14	588,39	2.736 (M)	[A2M2]	--
903	C	-14,96	48,57	68,00	-40,83	43,24	922,72	2.736 (M)	[A2M2]	--
904	C	-4,46	33,57	55,00	-31,83	46,71	1193,62	2.736 (M)	[A2M2]	--
905	C	0,04	38,07	52,00	-19,25	45,82	744,74	2.736 (M)	[A2M2]	--
906	C	-1,46	36,57	48,00	-16,73	40,58	517,36	2.736 (M)	[A2M2]	--
907	C	-8,96	35,07	57,00	-37,53	43,76	1141,22	2.737 (M)	[A2M2]	--
908	C	-11,96	44,07	65,00	-40,54	45,35	1093,51	2.737 (M)	[A2M2]	--
909	C	-5,96	41,07	54,00	-20,60	40,41	558,36	2.737 (M)	[A2M2]	--
910	C	1,54	42,57	53,00	-11,70	45,79	570,58	2.737 (M)	[A2M2]	--
911	C	-10,46	44,07	58,00	-22,24	38,77	544,28	2.737 (M)	[A2M2]	--
912	C	1,54	39,57	51,00	-14,77	45,31	611,71	2.737 (M)	[A2M2]	--
913	C	-4,46	38,07	59,00	-31,94	49,13	1214,83	2.737 (M)	[A2M2]	--

N°	Forma	C_x	C_y	R	x_v	x_m	V	F_s	Caso	Sisma
		[m]	*[m]*	*[m]*	*[m]*	*[m]*	*[mc]*			
914	C	0,04	39,57	51,00	-16,27	43,81	578,64	2.737 (M)	[A2M2]	--
915	C	-5,96	32,07	54,00	-33,84	44,71	1175,62	2.738 (M)	[A2M2]	--
916	C	0,04	29,07	40,00	-12,98	36,84	445,38	2.738 (M)	[A2M2]	--
917	C	-4,46	32,07	46,00	-20,66	37,58	570,94	2.738 (M)	[A2M2]	--
918	C	-14,96	45,57	65,00	-40,26	41,52	885,50	2.738 (M)	[A2M2]	--
919	C	-7,46	35,07	57,00	-36,08	45,26	1182,24	2.738 (M)	[A2M2]	--
920	C	-10,46	48,57	69,00	-38,94	48,90	1145,67	2.738 (M)	[A2M2]	--
921	C	3,04	32,07	45,00	-15,90	43,98	674,45	2.738 (M)	[A2M2]	--
922	C	1,54	32,07	47,00	-19,11	44,67	787,31	2.738 (M)	[A2M2]	--
923	C	-1,46	44,07	53,00	-5,82	41,76	424,58	2.738 (M)	[A2M2]	--
924	C	-2,96	47,07	61,00	-20,89	47,91	763,20	2.738 (M)	[A2M2]	--
925	C	-13,46	39,57	60,00	-39,88	40,53	940,65	2.738 (M)	[A2M2]	--
926	C	-13,46	42,57	58,00	-26,16	36,67	555,58	2.739 (M)	[A2M2]	--
927	C	-5,96	45,57	58,00	-20,14	42,30	564,39	2.739 (M)	[A2M2]	--
928	C	-4,46	39,57	52,00	-19,33	40,47	544,95	2.739 (M)	[A2M2]	--
929	C	0,04	38,07	53,00	-20,43	46,95	821,63	2.739 (M)	[A2M2]	--
930	C	1,54	36,57	49,00	-16,68	44,72	653,31	2.739 (M)	[A2M2]	--
931	C	-8,96	36,57	51,00	-22,20	36,47	541,78	2.740 (M)	[A2M2]	--
932	C	-11,96	48,57	69,00	-40,38	47,40	1104,25	2.740 (M)	[A2M2]	--
933	C	-1,46	42,57	56,00	-19,62	46,34	717,37	2.740 (M)	[A2M2]	--
934	C	-1,46	41,07	51,00	-12,37	41,38	460,05	2.740 (M)	[A2M2]	--
935	C	-2,96	38,07	50,00	-18,04	40,53	531,31	2.740 (M)	[A2M2]	--
936	C	-1,46	44,07	59,00	-21,17	48,94	849,67	2.740 (M)	[A2M2]	--
937	C	-1,46	47,07	56,00	-5,95	43,29	446,18	2.740 (M)	[A2M2]	--
938	C	-2,96	45,57	58,00	-19,10	45,30	635,72	2.740 (M)	[A2M2]	--
939	C	-10,46	30,57	48,00	-28,12	34,36	644,46	2.740 (M)	[A2M2]	--
940	C	0,04	29,07	47,00	-21,99	44,35	945,17	2.741 (M)	[A2M2]	--
941	C	-11,96	33,57	53,00	-34,92	37,05	806,99	2.741 (M)	[A2M2]	--
942	C	-10,46	48,57	62,00	-21,91	40,60	550,62	2.741 (M)	[A2M2]	--
943	C	-7,46	44,07	65,00	-36,21	49,85	1217,93	2.741 (M)	[A2M2]	--
944	C	-1,46	44,07	54,00	-12,69	42,98	483,92	2.741 (M)	[A2M2]	--
945	C	0,04	33,57	51,00	-21,97	46,88	967,26	2.742 (M)	[A2M2]	--
946	C	-11,96	39,57	61,00	-40,56	43,14	1078,66	2.742 (M)	[A2M2]	--
947	C	0,04	39,57	54,00	-19,97	47,27	799,02	2.743 (M)	[A2M2]	--
948	C	0,04	35,07	52,00	-21,72	47,31	945,87	2.743 (M)	[A2M2]	--
949	C	-2,96	44,07	56,00	-18,37	43,89	586,37	2.743 (M)	[A2M2]	--
950	C	1,54	38,07	50,00	-16,01	45,03	632,60	2.743 (M)	[A2M2]	--
951	C	-10,46	39,57	54,00	-22,54	36,77	534,16	2.743 (M)	[A2M2]	--
952	C	-13,46	38,07	57,00	-36,14	37,92	784,45	2.743 (M)	[A2M2]	--
953	C	-14,96	44,07	63,00	-38,73	40,07	819,98	2.743 (M)	[A2M2]	--
954	C	0,04	32,07	50,00	-22,22	46,42	988,01	2.743 (M)	[A2M2]	--
955	C	-1,46	35,07	55,00	-26,25	49,09	1161,20	2.743 (M)	[A2M2]	--
956	C	-4,46	44,07	56,00	-18,89	42,39	551,33	2.744 (M)	[A2M2]	--
957	C	1,54	30,57	46,00	-19,49	44,22	806,60	2.744 (M)	[A2M2]	--
958	C	-10,46	32,07	48,00	-24,49	33,76	554,82	2.744 (M)	[A2M2]	--
959	C	-13,46	39,57	56,00	-29,48	36,05	597,69	2.744 (M)	[A2M2]	--
960	C	-10,46	35,07	57,00	-38,98	42,26	1099,96	2.744 (M)	[A2M2]	--
961	C	-11,96	33,57	52,00	-32,61	35,97	723,05	2.744 (M)	[A2M2]	--
962	C	-11,96	36,57	58,00	-39,83	41,21	1033,76	2.744 (M)	[A2M2]	--
963	C	3,04	29,07	43,00	-16,90	43,08	711,00	2.744 (M)	[A2M2]	--
964	C	-5,96	48,57	61,00	-20,26	43,88	590,57	2.744 (M)	[A2M2]	--
965	C	-1,46	30,57	51,00	-26,21	46,56	1137,34	2.745 (M)	[A2M2]	--
966	C	-1,46	39,57	50,00	-14,31	41,14	478,85	2.745 (M)	[A2M2]	--
967	C	-10,46	42,57	64,00	-39,82	46,51	1163,65	2.745 (M)	[A2M2]	--
968	C	-10,46	33,57	49,00	-23,74	34,20	537,75	2.745 (M)	[A2M2]	--
969	C	0,04	36,57	53,00	-21,47	47,71	923,88	2.745 (M)	[A2M2]	--
970	C	-8,96	42,57	64,00	-38,38	48,01	1205,63	2.745 (M)	[A2M2]	--
971	C	-8,96	38,07	60,00	-38,30	45,73	1187,97	2.745 (M)	[A2M2]	--
972	C	-1,46	38,07	48,00	-12,04	39,72	435,25	2.745 (M)	[A2M2]	--
973	C	3,04	30,57	44,00	-16,53	43,55	693,01	2.746 (M)	[A2M2]	--
974	C	-13,46	38,07	58,00	-38,45	39,03	873,38	2.746 (M)	[A2M2]	--
975	C	-14,96	44,07	62,00	-36,08	38,92	731,24	2.746 (M)	[A2M2]	--
976	C	-7,46	44,07	57,00	-20,96	40,59	549,88	2.746 (M)	[A2M2]	--
977	C	-2,96	42,57	54,00	-17,63	42,48	538,06	2.746 (M)	[A2M2]	--
978	C	-8,96	29,07	51,00	-35,92	39,57	1041,73	2.746 (M)	[A2M2]	--
979	C	-2,96	35,07	56,00	-29,77	48,68	1211,66	2.746 (M)	[A2M2]	--
980	C	-2,96	29,07	43,00	-19,80	37,08	572,15	2.746 (M)	[A2M2]	--
981	C	-2,96	47,07	60,00	-19,82	46,70	686,29	2.746 (M)	[A2M2]	--
982	C	-1,46	38,07	49,00	-15,91	40,88	498,07	2.747 (M)	[A2M2]	--
983	C	0,04	41,07	53,00	-17,05	45,24	627,56	2.747 (M)	[A2M2]	--
984	C	-11,96	33,57	54,00	-37,06	38,13	895,03	2.747 (M)	[A2M2]	--
985	C	-5,96	35,07	57,00	-34,63	46,76	1224,17	2.747 (M)	[A2M2]	--
986	C	-14,96	45,57	62,00	-31,68	38,04	622,88	2.747 (M)	[A2M2]	--
987	C	-1,46	30,57	43,00	-17,50	37,96	522,87	2.747 (M)	[A2M2]	--
988	C	-14,96	48,57	64,00	-28,12	38,51	575,66	2.747 (M)	[A2M2]	--
989	C	0,04	30,57	49,00	-22,45	45,93	1008,07	2.747 (M)	[A2M2]	--
990	C	-13,46	44,07	59,00	-24,59	36,94	534,88	2.747 (M)	[A2M2]	--
991	C	-5,96	39,57	61,00	-34,77	49,14	1244,29	2.747 (M)	[A2M2]	--
992	C	-11,96	47,07	61,00	-22,50	38,91	533,40	2.747 (M)	[A2M2]	--

N°	Forma	C_x	C_y	R	x_v	x_m	V	F_s	Caso	Sisma
		[m]	*[m]*	*[m]*	*[m]*	*[m]*	*[mc]*			
993	C	-4,46	48,57	61,00	-19,76	45,38	626,66	2.748 (M)	[A2M2]	--
994	C	-4,46	29,07	51,00	-31,56	44,07	1166,42	2.748 (M)	[A2M2]	--
995	C	-11,96	35,07	51,00	-25,80	34,21	549,75	2.748 (M)	[A2M2]	--
996	C	-4,46	33,57	47,00	-20,22	37,99	552,95	2.748 (M)	[A2M2]	--
997	C	0,04	39,57	53,00	-18,78	46,13	722,75	2.748 (M)	[A2M2]	--
998	C	-2,96	32,07	45,00	-18,87	37,98	538,08	2.748 (M)	[A2M2]	--
999	C	-1,46	29,07	42,00	-17,95	37,51	539,42	2.748 (M)	[A2M2]	--
1000	C	-1,46	42,57	53,00	-14,70	42,79	504,15	2.748 (M)	[A2M2]	--
1001	C	-13,46	48,57	69,00	-41,81	45,90	1062,31	2.748 (M)	[A2M2]	--
1002	C	-13,46	38,07	56,00	-33,63	36,81	699,45	2.748 (M)	[A2M2]	--
1003	C	-2,96	30,57	44,00	-19,34	37,55	555,40	2.748 (M)	[A2M2]	--
1004	C	-1,46	42,57	54,00	-17,09	43,98	572,13	2.749 (M)	[A2M2]	--
1005	C	-11,96	42,57	57,00	-22,99	37,01	525,09	2.749 (M)	[A2M2]	--
1006	C	-13,46	41,07	62,00	-41,30	42,02	1010,13	2.749 (M)	[A2M2]	--
1007	C	-14,96	47,07	67,00	-41,76	42,97	952,17	2.749 (M)	[A2M2]	--
1008	C	-1,46	42,57	52,00	-9,84	41,59	441,72	2.749 (M)	[A2M2]	--
1009	C	-5,96	36,57	50,00	-20,83	38,35	548,35	2.749 (M)	[A2M2]	--
1010	C	-10,46	47,07	68,00	-39,76	48,62	1176,38	2.749 (M)	[A2M2]	--
1011	C	-10,46	38,07	60,00	-39,75	44,23	1146,70	2.749 (M)	[A2M2]	--
1012	C	-7,46	38,07	60,00	-36,85	47,23	1229,77	2.749 (M)	[A2M2]	--
1013	C	-4,46	36,57	58,00	-32,59	48,71	1240,25	2.749 (M)	[A2M2]	--
1014	C	0,04	38,07	54,00	-21,20	48,08	901,32	2.749 (M)	[A2M2]	--
1015	C	-10,46	30,57	52,00	-36,85	38,62	979,93	2.750 (M)	[A2M2]	--
1016	C	1,54	35,07	49,00	-18,30	45,49	747,02	2.750 (M)	[A2M2]	--
1017	C	-1,46	44,07	57,00	-19,09	46,59	694,13	2.750 (M)	[A2M2]	--
1018	C	-11,96	33,57	51,00	-30,08	34,88	643,35	2.750 (M)	[A2M2]	--
1019	C	-13,46	44,07	65,00	-41,98	43,85	1052,08	2.750 (M)	[A2M2]	--
1020	C	-1,46	41,07	52,00	-16,36	42,57	524,52	2.750 (M)	[A2M2]	--
1021	C	-1,46	32,07	44,00	-17,02	38,38	505,79	2.750 (M)	[A2M2]	--
1022	C	-2,96	30,57	52,00	-29,59	46,12	1186,47	2.751 (M)	[A2M2]	--
1023	C	-10,46	30,57	47,00	-25,36	33,29	571,13	2.751 (M)	[A2M2]	--
1024	C	-1,46	44,07	58,00	-20,34	47,77	770,50	2.751 (M)	[A2M2]	--
1025	C	-7,46	33,57	48,00	-21,80	36,10	547,46	2.751 (M)	[A2M2]	--
1026	C	3,04	45,57	55,00	-5,58	47,65	564,09	2.751 (M)	[A2M2]	--
1027	C	-7,46	39,57	53,00	-21,23	38,63	541,72	2.751 (M)	[A2M2]	--
1028	C	1,54	29,07	45,00	-19,85	43,72	824,87	2.751 (M)	[A2M2]	--
1029	C	-11,96	47,07	68,00	-41,20	47,12	1134,93	2.752 (M)	[A2M2]	--
1030	C	-11,96	42,57	64,00	-41,27	45,01	1122,29	2.752 (M)	[A2M2]	--
1031	C	0,04	33,57	52,00	-22,67	47,97	1050,37	2.752 (M)	[A2M2]	--
1032	C	0,04	35,07	53,00	-22,43	48,41	1028,64	2.752 (M)	[A2M2]	--
1033	C	-10,46	32,07	54,00	-38,19	40,21	1050,74	2.752 (M)	[A2M2]	--
1034	C	4,54	42,57	52,00	-3,84	47,59	574,57	2.752 (M)	[A2M2]	--
1035	C	-1,46	44,07	56,00	-17,81	45,39	620,80	2.752 (M)	[A2M2]	--
1036	C	-14,96	44,07	64,00	-41,16	41,21	912,89	2.752 (M)	[A2M2]	--
1037	C	-5,96	29,07	44,00	-21,63	35,16	567,24	2.752 (M)	[A2M2]	--
1038	C	-4,46	32,07	54,00	-32,39	46,21	1216,59	2.752 (M)	[A2M2]	--
1039	C	-1,46	45,57	60,00	-20,87	49,19	824,88	2.752 (M)	[A2M2]	--
1040	C	-7,46	30,57	53,00	-35,80	42,68	1156,05	2.753 (M)	[A2M2]	--
1041	C	-1,46	36,57	47,00	-13,91	39,43	452,82	2.753 (M)	[A2M2]	--
1042	C	-7,46	42,57	64,00	-36,93	49,51	1246,78	2.753 (M)	[A2M2]	--
1043	C	0,04	29,07	48,00	-22,68	45,41	1026,83	2.753 (M)	[A2M2]	--
1044	C	-2,96	33,57	46,00	-18,37	38,38	520,32	2.754 (M)	[A2M2]	--
1045	C	0,04	36,57	54,00	-22,17	48,82	1006,29	2.754 (M)	[A2M2]	--
1046	C	0,04	48,57	58,00	-8,82	46,16	519,66	2.754 (M)	[A2M2]	--
1047	C	-1,46	33,57	54,00	-26,94	48,63	1184,04	2.754 (M)	[A2M2]	--
1048	C	-14,96	47,07	63,00	-30,03	38,29	599,01	2.754 (M)	[A2M2]	--
1049	C	-4,46	47,07	59,00	-19,02	43,99	577,51	2.754 (M)	[A2M2]	--
1050	C	-1,46	39,57	49,00	-9,59	39,97	418,30	2.755 (M)	[A2M2]	--
1051	C	-8,96	30,57	46,00	-22,81	33,72	542,11	2.755 (M)	[A2M2]	--
1052	C	-5,96	42,57	55,00	-20,01	40,67	537,35	2.755 (M)	[A2M2]	--
1053	C	0,04	41,07	54,00	-18,28	46,41	700,39	2.755 (M)	[A2M2]	--
1054	C	-2,96	39,57	51,00	-17,48	40,81	511,41	2.755 (M)	[A2M2]	--
1055	C	-4,46	35,07	48,00	-19,70	38,37	534,52	2.755 (M)	[A2M2]	--
1056	C	0,04	39,57	55,00	-20,93	48,41	878,24	2.755 (M)	[A2M2]	--
1057	C	3,04	30,57	45,00	-17,64	44,64	766,00	2.756 (M)	[A2M2]	--
1058	C	-7,46	33,57	56,00	-36,63	44,78	1206,52	2.756 (M)	[A2M2]	--
1059	C	0,04	32,07	51,00	-23,09	47,50	1071,47	2.756 (M)	[A2M2]	--
1060	C	-14,96	44,07	61,00	-33,13	37,77	647,03	2.756 (M)	[A2M2]	--
1061	C	-1,46	35,07	45,00	-11,70	37,98	409,67	2.756 (M)	[A2M2]	--
1062	C	-8,96	33,57	56,00	-38,08	43,28	1165,51	2.756 (M)	[A2M2]	--
1063	C	-8,96	30,57	53,00	-37,25	41,18	1115,05	2.756 (M)	[A2M2]	--
1064	C	-1,46	35,07	46,00	-15,45	39,12	470,63	2.756 (M)	[A2M2]	--
1065	C	-13,46	38,07	55,00	-30,83	35,70	618,86	2.757 (M)	[A2M2]	--
1066	C	4,54	41,07	51,00	-6,37	47,38	592,91	2.757 (M)	[A2M2]	--
1067	C	-1,46	33,57	45,00	-16,52	38,77	488,24	2.757 (M)	[A2M2]	--
1068	C	4,54	36,57	48,00	-11,27	46,58	650,27	2.757 (M)	[A2M2]	--
1069	C	-4,46	41,07	53,00	-18,75	40,74	524,49	2.757 (M)	[A2M2]	--
1070	C	-13,46	38,07	59,00	-40,61	40,13	966,43	2.757 (M)	[A2M2]	--
1071	C	0,04	38,07	55,00	-21,91	49,20	983,36	2.758 (M)	[A2M2]	--

N°	Forma	C_x	C_y	R	x_v	x_m	V	F_s	Caso	Sisma
		[m]	*[m]*	*[m]*	*[m]*	*[m]*	*[mc]*			
1072	C	7,54	30,57	41,00	-4,08	44,77	596,89	2.758 (M)	[A2M2]	--
1073	C	4,54	38,07	49,00	-9,91	46,88	630,93	2.758 (M)	[A2M2]	--
1074	C	-5,96	30,57	53,00	-34,35	44,18	1197,13	2.758 (M)	[A2M2]	--
1075	C	-10,46	29,07	49,00	-33,51	35,97	823,94	2.758 (M)	[A2M2]	--
1076	C	1,54	36,57	50,00	-17,86	45,85	726,11	2.758 (M)	[A2M2]	--
1077	C	3,04	44,07	54,00	-8,19	47,48	583,61	2.758 (M)	[A2M2]	--
1078	C	-14,96	42,57	62,00	-39,67	39,75	846,69	2.759 (M)	[A2M2]	--
1079	C	-1,46	48,57	58,00	-10,32	44,66	486,48	2.759 (M)	[A2M2]	--
1080	C	-7,46	48,57	61,00	-20,67	42,38	554,35	2.759 (M)	[A2M2]	--
1081	C	-8,96	41,07	63,00	-39,05	47,64	1234,08	2.759 (M)	[A2M2]	--
1082	C	1,54	35,07	50,00	-19,44	46,60	823,04	2.759 (M)	[A2M2]	--
1083	C	4,54	39,57	50,00	-8,31	47,14	611,66	2.759 (M)	[A2M2]	--
1084	C	-8,96	47,07	60,00	-21,27	40,70	539,85	2.759 (M)	[A2M2]	--
1085	C	7,54	29,07	40,00	-5,48	44,34	611,45	2.759 (M)	[A2M2]	--
1086	C	-14,96	42,57	61,00	-37,17	38,61	756,86	2.759 (M)	[A2M2]	--
1087	C	1,54	36,57	51,00	-19,02	46,97	801,59	2.760 (M)	[A2M2]	--
1088	C	-8,96	29,07	45,00	-23,50	33,22	557,51	2.760 (M)	[A2M2]	--
1089	C	-10,46	41,07	63,00	-40,49	46,14	1192,08	2.760 (M)	[A2M2]	--
1090	C	-2,96	33,57	55,00	-30,38	48,21	1234,65	2.760 (M)	[A2M2]	--
1091	C	-2,96	47,07	59,00	-18,51	45,49	612,44	2.760 (M)	[A2M2]	--
1092	C	-10,46	29,07	48,00	-31,39	34,91	740,52	2.760 (M)	[A2M2]	--
1093	C	-1,46	29,07	50,00	-26,80	46,02	1157,61	2.760 (M)	[A2M2]	--
1094	C	4,54	35,07	47,00	-12,45	46,25	669,66	2.760 (M)	[A2M2]	--
1095	C	0,04	42,57	54,00	-16,52	45,48	605,56	2.760 (M)	[A2M2]	--
1096	C	-1,46	41,07	50,00	-5,70	40,19	402,17	2.760 (M)	[A2M2]	--
1097	C	-8,96	42,57	56,00	-21,57	38,84	533,29	2.760 (M)	[A2M2]	--
1098	C	-11,96	33,57	55,00	-39,08	39,21	986,64	2.760 (M)	[A2M2]	--
1099	C	1,54	33,57	49,00	-19,84	46,20	844,04	2.760 (M)	[A2M2]	--
1100	C	-5,96	38,07	60,00	-35,40	48,73	1271,02	2.760 (M)	[A2M2]	--
1101	C	-11,96	38,07	60,00	-41,20	42,73	1105,33	2.761 (M)	[A2M2]	--
1102	C	-10,46	45,57	67,00	-40,52	48,31	1206,81	2.761 (M)	[A2M2]	--
1103	C	-2,96	48,57	62,00	-20,55	48,10	738,24	2.761 (M)	[A2M2]	--
1104	C	-2,96	45,57	57,00	-17,78	44,09	564,03	2.761 (M)	[A2M2]	--
1105	C	0,04	47,07	57,00	-11,50	46,03	540,30	2.761 (M)	[A2M2]	--
1106	C	-13,46	47,07	68,00	-42,64	45,62	1092,95	2.761 (M)	[A2M2]	--
1107	C	-11,96	36,57	52,00	-24,60	34,59	531,51	2.762 (M)	[A2M2]	--
1108	C	0,04	41,07	55,00	-19,50	47,57	775,98	2.762 (M)	[A2M2]	--
1109	C	3,04	41,07	52,00	-11,86	47,07	624,31	2.763 (M)	[A2M2]	--
1110	C	-8,96	36,57	59,00	-38,89	45,30	1214,15	2.763 (M)	[A2M2]	--
1111	C	1,54	48,57	58,00	-7,32	47,66	552,92	2.763 (M)	[A2M2]	--
1112	C	1,54	38,07	51,00	-17,40	46,18	704,76	2.763 (M)	[A2M2]	--
1113	C	3,04	42,57	53,00	-10,20	47,29	603,70	2.763 (M)	[A2M2]	--
1114	C	-11,96	33,57	50,00	-27,22	33,79	567,61	2.763 (M)	[A2M2]	--
1115	C	3,04	39,57	51,00	-13,27	46,81	645,07	2.763 (M)	[A2M2]	--
1116	C	3,04	29,07	44,00	-17,99	44,16	784,46	2.763 (M)	[A2M2]	--
1117	C	-2,96	48,57	61,00	-19,24	46,88	662,07	2.763 (M)	[A2M2]	--
1118	C	4,54	33,57	46,00	-13,49	45,88	688,84	2.763 (M)	[A2M2]	--
1119	C	0,04	41,07	56,00	-20,65	48,73	854,67	2.763 (M)	[A2M2]	--
1120	C	-13,46	36,57	56,00	-37,00	37,52	807,96	2.763 (M)	[A2M2]	--
1121	C	0,04	39,57	56,00	-21,64	49,55	959,89	2.763 (M)	[A2M2]	--
1122	C	-14,96	45,57	66,00	-42,62	42,67	981,68	2.763 (M)	[A2M2]	--
1123	C	-4,46	35,07	57,00	-33,18	48,26	1265,30	2.763 (M)	[A2M2]	--
1124	C	-1,46	45,57	58,00	-18,54	46,80	670,71	2.764 (M)	[A2M2]	--
1125	C	-5,96	33,57	56,00	-35,18	46,28	1248,49	2.764 (M)	[A2M2]	--
1126	C	0,04	36,57	55,00	-23,02	49,92	1091,04	2.764 (M)	[A2M2]	--
1127	C	-5,96	47,07	59,00	-19,51	42,49	542,02	2.764 (M)	[A2M2]	--
1128	C	-8,96	45,57	67,00	-39,07	49,81	1248,20	2.764 (M)	[A2M2]	--
1129	C	0,04	30,57	50,00	-23,53	47,00	1091,95	2.764 (M)	[A2M2]	--
1130	C	-2,96	35,07	47,00	-17,85	38,75	502,12	2.764 (M)	[A2M2]	--
1131	C	1,54	32,07	48,00	-20,22	45,76	864,43	2.764 (M)	[A2M2]	--
1132	C	-10,46	29,07	50,00	-35,50	37,02	910,46	2.765 (M)	[A2M2]	--
1133	C	-11,96	45,57	67,00	-41,96	46,81	1164,77	2.765 (M)	[A2M2]	--
1134	C	-10,46	33,57	56,00	-39,53	41,78	1124,24	2.765 (M)	[A2M2]	--
1135	C	-7,46	36,57	59,00	-37,43	46,80	1255,96	2.765 (M)	[A2M2]	--
1136	C	0,04	44,07	55,00	-15,29	45,69	583,46	2.765 (M)	[A2M2]	--
1137	C	-10,46	29,07	47,00	-29,09	33,85	662,08	2.765 (M)	[A2M2]	--
1138	C	-14,96	48,57	69,00	-43,25	44,40	1021,00	2.765 (M)	[A2M2]	--
1139	C	-7,46	41,07	63,00	-37,60	49,14	1275,23	2.765 (M)	[A2M2]	--
1140	C	0,04	45,57	56,00	-13,57	45,88	561,74	2.766 (M)	[A2M2]	--
1141	C	-4,46	36,57	49,00	-19,16	38,72	515,66	2.766 (M)	[A2M2]	--
1142	C	-4,46	45,57	57,00	-18,28	42,59	529,46	2.766 (M)	[A2M2]	--
1143	C	6,04	35,07	46,00	-7,95	46,62	636,57	2.766 (M)	[A2M2]	--
1144	C	-13,46	36,57	55,00	-34,63	36,42	721,87	2.766 (M)	[A2M2]	--
1145	C	0,04	42,57	55,00	-17,77	46,67	677,71	2.766 (M)	[A2M2]	--
1146	C	0,04	35,07	54,00	-23,51	49,50	1113,85	2.766 (M)	[A2M2]	--
1147	C	-11,96	35,07	57,00	-40,43	40,76	1057,89	2.766 (M)	[A2M2]	--
1148	C	-13,46	45,57	60,00	-23,63	37,19	514,42	2.766 (M)	[A2M2]	--
1149	C	3,04	38,07	50,00	-14,51	46,53	665,88	2.766 (M)	[A2M2]	--
1150	C	-11,96	32,07	52,00	-35,66	36,57	828,31	2.766 (M)	[A2M2]	--

N°	Forma	C_x	C_y	R	x_v	x_m	V	F_s	Caso	Sisma
		[m]	[m]	[m]	[m]	[m]	[mc]			
1151	C	-13,46	42,57	64,00	-42,71	43,51	1081,03	2.766 (M)	[A2M2]	--
1152	C	-1,46	32,07	53,00	-27,57	48,14	1206,33	2.767 (M)	[A2M2]	--
1153	C	3,04	32,07	46,00	-17,26	45,08	746,90	2.767 (M)	[A2M2]	--
1154	C	-11,96	32,07	51,00	-33,48	35,50	743,45	2.767 (M)	[A2M2]	--
1155	C	-5,96	38,07	51,00	-20,45	38,68	528,95	2.767 (M)	[A2M2]	--
1156	C	6,04	33,57	45,00	-9,26	46,27	654,47	2.767 (M)	[A2M2]	--
1157	C	-8,96	38,07	52,00	-21,86	36,82	523,29	2.767 (M)	[A2M2]	--
1158	C	6,04	32,07	44,00	-10,38	45,88	672,21	2.767 (M)	[A2M2]	--
1159	C	-1,46	45,57	59,00	-19,81	48,00	746,28	2.767 (M)	[A2M2]	--
1160	C	-13,46	39,57	61,00	-42,00	41,64	1036,74	2.767 (M)	[A2M2]	--
1161	C	-13,46	36,57	57,00	-39,21	38,62	897,85	2.767 (M)	[A2M2]	--
1162	C	-10,46	36,57	59,00	-40,34	43,80	1172,87	2.767 (M)	[A2M2]	--
1163	C	-14,96	42,57	60,00	-34,41	37,47	671,18	2.768 (M)	[A2M2]	--
1164	C	-11,96	41,07	63,00	-41,94	44,64	1150,69	2.768 (M)	[A2M2]	--
1165	C	4,54	32,07	45,00	-14,40	45,48	707,47	2.768 (M)	[A2M2]	--
1166	C	-1,46	47,07	57,00	-13,00	44,53	507,04	2.768 (M)	[A2M2]	--
1167	C	-2,96	44,07	55,00	-17,04	42,69	516,69	2.768 (M)	[A2M2]	--
1168	C	-14,96	42,57	63,00	-41,98	40,88	940,82	2.768 (M)	[A2M2]	--
1169	C	-10,46	35,07	50,00	-22,96	34,60	520,35	2.769 (M)	[A2M2]	--
1170	C	-1,46	45,57	57,00	-17,25	45,59	598,03	2.769 (M)	[A2M2]	--
1171	C	6,04	36,57	47,00	-6,41	46,93	618,94	2.769 (M)	[A2M2]	--
1172	C	-1,46	44,07	55,00	-16,52	44,19	550,30	2.769 (M)	[A2M2]	--
1173	C	-2,96	29,07	51,00	-30,11	45,57	1207,42	2.769 (M)	[A2M2]	--
1174	C	-10,46	41,07	55,00	-22,18	37,07	514,95	2.769 (M)	[A2M2]	--
1175	C	-1,46	33,57	44,00	-13,50	37,64	425,71	2.769 (M)	[A2M2]	--
1176	C	0,04	42,57	57,00	-20,22	49,01	830,69	2.770 (M)	[A2M2]	--
1177	C	-5,96	30,57	45,00	-21,33	35,64	550,89	2.770 (M)	[A2M2]	--
1178	C	3,04	36,57	49,00	-15,59	46,22	686,46	2.770 (M)	[A2M2]	--
1179	C	-10,46	45,57	59,00	-21,87	39,00	523,30	2.770 (M)	[A2M2]	--
1180	C	0,04	41,07	57,00	-21,36	49,87	935,91	2.770 (M)	[A2M2]	--
1181	C	6,04	30,57	43,00	-11,37	45,46	689,70	2.770 (M)	[A2M2]	--
1182	C	1,54	47,07	57,00	-10,00	47,53	573,48	2.770 (M)	[A2M2]	--
1183	C	1,54	30,57	47,00	-20,58	45,29	884,20	2.770 (M)	[A2M2]	--
1184	C	-16,46	48,57	67,00	-39,64	40,57	787,15	2.770 (M)	[A2M2]	--
1185	C	-10,46	29,07	46,00	-26,53	32,79	587,55	2.771 (M)	[A2M2]	--
1186	C	-4,46	30,57	53,00	-32,89	45,68	1239,03	2.771 (M)	[A2M2]	--
1187	C	1,54	39,57	52,00	-16,93	46,47	683,02	2.771 (M)	[A2M2]	--
1188	C	-7,46	35,07	49,00	-21,48	36,49	529,53	2.771 (M)	[A2M2]	--
1189	C	0,04	33,57	53,00	-23,98	49,05	1136,12	2.771 (M)	[A2M2]	--
1190	C	6,04	38,07	48,00	-4,54	47,22	601,36	2.771 (M)	[A2M2]	--
1191	C	3,04	33,57	47,00	-16,87	45,49	727,23	2.772 (M)	[A2M2]	--
1192	C	-13,46	36,57	54,00	-32,02	35,32	640,11	2.772 (M)	[A2M2]	--
1193	C	-11,96	38,07	53,00	-23,76	34,95	513,07	2.772 (M)	[A2M2]	--
1194	C	3,04	35,07	48,00	-16,45	45,87	707,03	2.773 (M)	[A2M2]	--
1195	C	-11,96	32,07	50,00	-31,10	34,42	662,10	2.773 (M)	[A2M2]	--
1196	C	-11,96	32,07	53,00	-37,71	37,64	917,20	2.773 (M)	[A2M2]	--
1197	C	-5,96	32,07	46,00	-21,03	36,08	533,93	2.774 (M)	[A2M2]	--
1198	C	-1,46	45,57	56,00	-15,07	44,38	528,47	2.774 (M)	[A2M2]	--
1199	C	-8,96	39,57	62,00	-39,66	47,25	1262,09	2.774 (M)	[A2M2]	--
1200	C	0,04	29,07	49,00	-23,94	46,47	1111,75	2.774 (M)	[A2M2]	--
1201	C	-10,46	44,07	66,00	-41,22	47,98	1236,90	2.774 (M)	[A2M2]	--
1202	C	-16,46	48,57	68,00	-42,26	41,74	880,91	2.775 (M)	[A2M2]	--
1203	C	-14,96	41,07	60,00	-38,16	38,28	782,23	2.775 (M)	[A2M2]	--
1204	C	-2,96	32,07	54,00	-30,94	47,71	1257,64	2.775 (M)	[A2M2]	--
1205	C	-5,96	36,57	59,00	-35,98	48,30	1297,23	2.775 (M)	[A2M2]	--
1206	C	-14,96	47,07	62,00	-25,59	37,10	523,71	2.775 (M)	[A2M2]	--
1207	C	0,04	42,57	56,00	-19,00	47,84	752,66	2.776 (M)	[A2M2]	--
1208	C	-14,96	41,07	61,00	-40,53	39,40	873,14	2.776 (M)	[A2M2]	--
1209	C	-7,46	29,07	52,00	-36,26	42,12	1177,59	2.776 (M)	[A2M2]	--
1210	C	-13,46	45,57	67,00	-43,40	45,31	1123,51	2.776 (M)	[A2M2]	--
1211	C	-10,46	39,57	62,00	-41,11	45,75	1220,04	2.776 (M)	[A2M2]	--
1212	C	-8,96	44,07	66,00	-39,77	49,48	1278,32	2.776 (M)	[A2M2]	--
1213	C	1,54	38,07	52,00	-18,58	47,32	779,67	2.776 (M)	[A2M2]	--
1214	C	-4,46	48,57	60,00	-18,40	44,15	554,52	2.776 (M)	[A2M2]	--
1215	C	-7,46	32,07	55,00	-37,13	44,27	1230,14	2.776 (M)	[A2M2]	--
1216	C	-1,46	32,07	43,00	-14,98	37,28	441,90	2.776 (M)	[A2M2]	--
1217	C	1,54	45,57	56,00	-12,07	47,38	594,91	2.777 (M)	[A2M2]	--
1218	C	-2,96	36,57	48,00	-17,31	39,08	483,55	2.777 (M)	[A2M2]	--
1219	C	1,54	29,07	46,00	-20,81	44,79	903,29	2.777 (M)	[A2M2]	--
1220	C	-7,46	41,07	54,00	-20,89	38,91	521,58	2.777 (M)	[A2M2]	--
1221	C	-1,46	36,57	46,00	-9,34	38,28	393,86	2.777 (M)	[A2M2]	--
1222	C	-2,96	41,07	52,00	-16,90	41,07	491,23	2.777 (M)	[A2M2]	--
1223	C	-7,46	45,57	58,00	-20,61	40,80	528,21	2.777 (M)	[A2M2]	--
1224	C	4,54	30,57	44,00	-15,21	45,05	726,10	2.778 (M)	[A2M2]	--
1225	C	1,54	44,07	55,00	-13,79	47,19	616,74	2.778 (M)	[A2M2]	--
1226	C	6,04	29,07	42,00	-12,23	45,01	706,62	2.778 (M)	[A2M2]	--
1227	C	0,04	32,07	52,00	-24,43	48,57	1157,78	2.778 (M)	[A2M2]	--
1228	C	-10,46	30,57	53,00	-38,71	39,68	1073,01	2.778 (M)	[A2M2]	--
1229	C	-8,96	32,07	55,00	-38,58	42,77	1189,15	2.778 (M)	[A2M2]	--

N°	Forma	C_x	C_y	R	x_v	x_m	V	F_s	Caso	Sisma
		[m]	*[m]*	*[m]*	*[m]*	*[m]*	*[mc]*			
1230	C	-16,46	48,57	66,00	-36,75	39,39	698,02	2.778 (M)	[A2M2]	--
1231	C	-14,96	45,57	61,00	-27,83	36,87	545,48	2.778 (M)	[A2M2]	--
1232	C	-5,96	44,07	56,00	-19,40	40,89	516,12	2.779 (M)	[A2M2]	--
1233	C	-11,96	44,07	58,00	-22,46	37,27	505,03	2.779 (M)	[A2M2]	--
1234	C	-14,96	44,07	65,00	-43,42	42,35	1010,76	2.779 (M)	[A2M2]	--
1235	C	1,54	42,57	54,00	-15,26	46,98	638,84	2.779 (M)	[A2M2]	--
1236	C	-4,46	33,57	56,00	-33,73	47,78	1289,63	2.779 (M)	[A2M2]	--
1237	C	-11,96	44,07	66,00	-42,66	46,48	1194,83	2.779 (M)	[A2M2]	--
1238	C	-1,46	47,07	59,00	-17,98	46,99	646,99	2.779 (M)	[A2M2]	--
1239	C	-1,46	47,07	61,00	-20,53	49,41	799,73	2.779 (M)	[A2M2]	--
1240	C	-1,46	47,07	60,00	-19,27	48,20	721,78	2.779 (M)	[A2M2]	--
1241	C	0,04	44,07	56,00	-17,24	46,89	654,75	2.779 (M)	[A2M2]	--
1242	C	-7,46	39,57	62,00	-38,21	48,75	1303,42	2.779 (M)	[A2M2]	--
1243	C	-14,96	47,07	68,00	-44,08	44,12	1051,64	2.780 (M)	[A2M2]	--
1244	C	3,04	33,57	48,00	-17,99	46,60	801,96	2.780 (M)	[A2M2]	--
1245	C	-13,46	39,57	55,00	-25,85	34,91	523,63	2.780 (M)	[A2M2]	--
1246	C	-5,96	29,07	52,00	-34,81	43,62	1218,68	2.780 (M)	[A2M2]	--
1247	C	-2,96	48,57	60,00	-17,91	45,65	589,02	2.780 (M)	[A2M2]	--
1248	C	-11,96	32,07	49,00	-28,46	33,34	585,75	2.780 (M)	[A2M2]	--
1249	C	-10,46	29,07	51,00	-37,38	38,07	1000,84	2.780 (M)	[A2M2]	--
1250	C	-13,46	36,57	58,00	-41,27	39,71	991,93	2.780 (M)	[A2M2]	--
1251	C	-14,96	42,57	59,00	-31,29	36,32	590,19	2.780 (M)	[A2M2]	--
1252	C	-4,46	42,57	54,00	-18,16	40,98	503,79	2.780 (M)	[A2M2]	--
1253	C	-11,96	36,57	59,00	-41,79	42,30	1131,48	2.781 (M)	[A2M2]	--
1254	C	-1,46	38,07	47,00	-5,57	38,54	379,10	2.781 (M)	[A2M2]	--
1255	C	1,54	41,07	53,00	-16,44	46,74	660,93	2.781 (M)	[A2M2]	--
1256	C	-14,96	41,07	59,00	-35,57	37,15	695,29	2.781 (M)	[A2M2]	--
1257	C	-11,96	48,57	70,00	-42,63	48,56	1206,74	2.781 (M)	[A2M2]	--
1258	C	-8,96	32,07	47,00	-22,44	34,17	525,81	2.781 (M)	[A2M2]	--
1259	C	-8,96	35,07	58,00	-39,42	44,84	1239,76	2.781 (M)	[A2M2]	--
1260	C	1,54	36,57	52,00	-20,16	48,09	880,01	2.782 (M)	[A2M2]	--
1261	C	-1,46	30,57	52,00	-28,14	47,62	1227,30	2.782 (M)	[A2M2]	--
1262	C	-4,46	38,07	50,00	-18,60	39,03	496,50	2.782 (M)	[A2M2]	--
1263	C	1,54	35,07	51,00	-20,57	47,71	902,02	2.782 (M)	[A2M2]	--
1264	C	0,04	29,07	38,00	-3,65	34,66	337,10	2.782 (M)	[A2M2]	--
1265	C	-5,96	32,07	55,00	-35,67	45,77	1272,14	2.782 (M)	[A2M2]	--
1266	C	1,54	33,57	50,00	-20,82	47,29	923,46	2.782 (M)	[A2M2]	--
1267	C	-5,96	39,57	52,00	-19,87	38,97	509,20	2.783 (M)	[A2M2]	--
1268	C	-16,46	47,07	66,00	-40,71	40,31	815,43	2.783 (M)	[A2M2]	--
1269	C	-7,46	35,07	58,00	-37,97	46,34	1281,77	2.783 (M)	[A2M2]	--
1270	C	-8,96	29,07	52,00	-37,72	40,62	1135,60	2.783 (M)	[A2M2]	--
1271	C	3,04	32,07	47,00	-18,37	46,17	822,13	2.783 (M)	[A2M2]	--
1272	C	4,54	29,07	43,00	-15,92	44,58	744,18	2.783 (M)	[A2M2]	--
1273	C	1,54	38,07	53,00	-19,74	48,45	857,46	2.783 (M)	[A2M2]	--
1274	C	-11,96	48,57	62,00	-22,12	39,10	511,93	2.784 (M)	[A2M2]	--
1275	C	-13,46	41,07	63,00	-43,39	43,14	1109,43	2.784 (M)	[A2M2]	--
1276	C	1,54	32,07	49,00	-21,05	46,84	944,27	2.784 (M)	[A2M2]	--
1277	C	-2,96	47,07	58,00	-17,17	44,27	541,52	2.785 (M)	[A2M2]	--
1278	C	0,04	44,07	57,00	-18,49	48,09	729,02	2.785 (M)	[A2M2]	--
1279	C	-11,96	39,57	62,00	-42,56	44,25	1178,84	2.786 (M)	[A2M2]	--
1280	C	-13,46	35,07	55,00	-37,79	37,09	831,10	2.786 (M)	[A2M2]	--
1281	C	1,54	39,57	54,00	-19,30	48,77	834,54	2.786 (M)	[A2M2]	--
1282	C	-14,96	41,07	62,00	-42,75	40,52	968,29	2.786 (M)	[A2M2]	--
1283	C	-13,46	35,07	54,00	-35,54	36,00	743,99	2.786 (M)	[A2M2]	--
1284	C	0,04	30,57	51,00	-24,84	48,06	1178,78	2.787 (M)	[A2M2]	--
1285	C	-7,46	29,07	44,00	-22,00	33,66	529,00	2.787 (M)	[A2M2]	--
1286	C	-2,96	35,07	57,00	-31,73	49,76	1306,93	2.787 (M)	[A2M2]	--
1287	C	-14,96	44,07	60,00	-29,69	36,61	567,72	2.787 (M)	[A2M2]	--
1288	C	-1,46	30,57	42,00	-16,22	36,87	458,22	2.787 (M)	[A2M2]	--
1289	C	1,54	39,57	53,00	-18,12	47,63	757,32	2.787 (M)	[A2M2]	--
1290	C	-13,46	36,57	53,00	-29,06	34,21	562,66	2.787 (M)	[A2M2]	--
1291	C	-7,46	36,57	50,00	-21,15	36,85	511,39	2.787 (M)	[A2M2]	--
1292	C	-13,46	38,07	60,00	-42,65	41,23	1063,40	2.788 (M)	[A2M2]	--
1293	C	-10,46	35,07	58,00	-40,87	43,34	1198,46	2.788 (M)	[A2M2]	--
1294	C	-16,46	47,07	65,00	-37,99	39,14	724,84	2.788 (M)	[A2M2]	--
1295	C	-11,96	32,07	54,00	-39,65	38,71	1009,56	2.788 (M)	[A2M2]	--
1296	C	3,04	30,57	46,00	-18,73	45,72	841,69	2.788 (M)	[A2M2]	--
1297	C	-10,46	32,07	55,00	-40,04	41,27	1147,86	2.788 (M)	[A2M2]	--
1298	C	-1,46	30,57	41,00	-13,08	35,77	397,57	2.788 (M)	[A2M2]	--
1299	C	-16,46	47,07	67,00	-43,20	41,47	910,35	2.789 (M)	[A2M2]	--
1300	C	1,54	30,57	48,00	-21,28	46,36	964,39	2.789 (M)	[A2M2]	--
1301	C	-10,46	42,57	65,00	-41,87	47,63	1266,61	2.789 (M)	[A2M2]	--
1302	C	-1,46	29,07	41,00	-16,78	36,43	474,22	2.789 (M)	[A2M2]	--
1303	C	-13,46	48,57	70,00	-44,07	47,06	1164,86	2.790 (M)	[A2M2]	--
1304	C	-8,96	42,57	65,00	-40,42	49,13	1308,05	2.790 (M)	[A2M2]	--
1305	C	-8,96	44,07	57,00	-21,22	39,09	512,53	2.790 (M)	[A2M2]	--
1306	C	-4,46	29,07	43,00	-20,47	35,58	535,90	2.790 (M)	[A2M2]	--
1307	C	-5,96	33,57	47,00	-20,73	36,49	516,71	2.790 (M)	[A2M2]	--
1308	C	-11,96	33,57	56,00	-40,99	40,28	1082,13	2.790 (M)	[A2M2]	--

N°	Forma	C_x	C_y	R	x_v	x_m	V	F_s	Caso	Sisma
		[m]	*[m]*	*[m]*	*[m]*	*[m]*	*[mc]*			
1309	C	-8,96	38,07	61,00	-40,23	46,83	1289,58	2.791 (M)	[A2M2]	--
1310	C	-1,46	47,07	58,00	-16,66	45,77	575,06	2.791 (M)	[A2M2]	--
1311	C	-1,46	33,57	55,00	-28,93	49,71	1276,20	2.791 (M)	[A2M2]	--
1312	C	-13,46	38,07	54,00	-27,58	34,58	543,23	2.791 (M)	[A2M2]	--
1313	C	0,04	44,07	58,00	-19,72	49,27	806,59	2.791 (M)	[A2M2]	--
1314	C	-13,46	41,07	56,00	-24,48	35,23	504,23	2.791 (M)	[A2M2]	--
1315	C	-4,46	29,07	52,00	-33,35	45,12	1260,61	2.791 (M)	[A2M2]	--
1316	C	7,54	30,57	42,00	-7,22	45,87	657,40	2.791 (M)	[A2M2]	--
1317	C	-5,96	35,07	58,00	-36,51	47,84	1322,86	2.791 (M)	[A2M2]	--
1318	C	-16,46	48,57	65,00	-33,45	38,20	613,53	2.791 (M)	[A2M2]	--
1319	C	-13,46	35,07	56,00	-39,90	38,18	921,86	2.791 (M)	[A2M2]	--
1320	C	-1,46	32,07	42,00	-11,35	36,16	382,85	2.792 (M)	[A2M2]	--
1321	C	-13,46	44,07	66,00	-44,11	44,98	1153,58	2.792 (M)	[A2M2]	--
1322	C	-14,96	48,57	63,00	-24,21	37,31	502,54	2.792 (M)	[A2M2]	--
1323	C	-14,96	41,07	58,00	-32,69	36,01	612,94	2.792 (M)	[A2M2]	--
1324	C	7,54	29,07	41,00	-8,29	45,43	673,49	2.792 (M)	[A2M2]	--
1325	C	-8,96	39,57	53,00	-21,51	37,13	504,11	2.792 (M)	[A2M2]	--
1326	C	-10,46	47,07	69,00	-41,92	49,77	1279,92	2.792 (M)	[A2M2]	--
1327	C	-4,46	36,57	59,00	-34,53	49,80	1338,40	2.792 (M)	[A2M2]	--
1328	C	-2,96	30,57	53,00	-31,44	47,18	1279,95	2.792 (M)	[A2M2]	--
1329	C	0,04	45,57	57,00	-16,69	47,09	631,59	2.792 (M)	[A2M2]	--
1330	C	-13,46	47,07	61,00	-22,69	37,41	493,73	2.793 (M)	[A2M2]	--
1331	C	-2,96	30,57	43,00	-18,15	36,46	488,72	2.793 (M)	[A2M2]	--
1332	C	-14,96	39,57	59,00	-39,06	37,92	807,22	2.793 (M)	[A2M2]	--
1333	C	-2,96	29,07	42,00	-18,62	36,01	504,92	2.793 (M)	[A2M2]	--
1334	C	-11,96	32,07	48,00	-25,41	32,26	513,70	2.793 (M)	[A2M2]	--
1335	C	-13,46	35,07	53,00	-33,09	34,91	660,66	2.793 (M)	[A2M2]	--
1336	C	-4,46	30,57	44,00	-19,99	36,05	519,50	2.793 (M)	[A2M2]	--
1337	C	-5,96	48,57	60,00	-18,87	42,65	519,49	2.793 (M)	[A2M2]	--
1338	C	3,04	35,07	49,00	-17,59	46,99	781,23	2.793 (M)	[A2M2]	--
1339	C	-10,46	36,57	51,00	-22,48	34,97	502,61	2.794 (M)	[A2M2]	--
1340	C	7,54	32,07	43,00	-5,98	46,28	641,34	2.794 (M)	[A2M2]	--
1341	C	-8,96	33,57	48,00	-22,12	34,60	508,94	2.794 (M)	[A2M2]	--
1342	C	-10,46	38,07	61,00	-41,68	45,33	1247,50	2.794 (M)	[A2M2]	--
1343	C	1,54	41,07	54,00	-17,65	47,91	734,60	2.794 (M)	[A2M2]	--
1344	C	-4,46	47,07	58,00	-17,66	42,77	507,43	2.794 (M)	[A2M2]	--
1345	C	-11,96	30,57	50,00	-34,25	35,00	762,75	2.794 (M)	[A2M2]	--
1346	C	-11,96	47,07	69,00	-43,37	48,27	1238,61	2.795 (M)	[A2M2]	--
1347	C	-11,96	39,57	54,00	-22,87	35,27	494,44	2.795 (M)	[A2M2]	--
1348	C	-1,46	48,57	61,00	-18,70	48,38	697,12	2.795 (M)	[A2M2]	--
1349	C	-7,46	38,07	61,00	-38,78	48,33	1330,93	2.795 (M)	[A2M2]	--
1350	C	7,54	33,57	44,00	-4,50	46,64	625,08	2.795 (M)	[A2M2]	--
1351	C	-4,46	32,07	45,00	-19,50	36,48	502,91	2.795 (M)	[A2M2]	--
1352	C	-1,46	48,57	60,00	-17,39	47,15	623,08	2.795 (M)	[A2M2]	--
1353	C	-14,96	45,57	67,00	-44,84	43,81	1082,00	2.795 (M)	[A2M2]	--
1354	C	-2,96	38,07	49,00	-16,75	39,38	464,85	2.795 (M)	[A2M2]	--
1355	C	-11,96	42,57	65,00	-43,32	46,13	1224,72	2.795 (M)	[A2M2]	--
1356	C	-11,96	30,57	51,00	-36,34	36,06	849,24	2.795 (M)	[A2M2]	--
1357	C	1,54	29,07	47,00	-21,49	45,85	983,78	2.796 (M)	[A2M2]	--
1358	C	-14,96	39,57	60,00	-41,33	39,03	899,44	2.796 (M)	[A2M2]	--
1359	C	-14,96	42,57	64,00	-44,15	42,01	1038,91	2.796 (M)	[A2M2]	--
1360	C	3,04	29,07	45,00	-19,07	45,22	860,59	2.796 (M)	[A2M2]	--
1361	C	-4,46	32,07	55,00	-34,22	47,27	1313,30	2.797 (M)	[A2M2]	--
1362	C	-2,96	44,07	54,00	-14,19	41,48	450,65	2.797 (M)	[A2M2]	--
1363	C	-16,46	45,57	65,00	-41,69	40,02	843,75	2.797 (M)	[A2M2]	--
1364	C	-8,96	48,57	61,00	-20,91	40,88	517,68	2.797 (M)	[A2M2]	--
1365	C	-2,96	45,57	56,00	-16,43	42,88	495,30	2.797 (M)	[A2M2]	--
1366	C	-1,46	48,57	62,00	-19,99	49,60	774,55	2.797 (M)	[A2M2]	--
1367	C	-14,96	39,57	58,00	-36,62	36,80	719,39	2.797 (M)	[A2M2]	--
1368	C	-2,96	47,07	57,00	-14,50	43,03	473,92	2.797 (M)	[A2M2]	--
1369	C	1,54	35,07	52,00	-21,27	48,81	983,61	2.798 (M)	[A2M2]	--
1370	C	3,04	48,57	58,00	-5,82	49,16	586,09	2.798 (M)	[A2M2]	--
1371	C	-11,96	30,57	49,00	-32,01	33,93	681,16	2.798 (M)	[A2M2]	--
1372	C	1,54	33,57	51,00	-21,51	48,38	1005,40	2.798 (M)	[A2M2]	--
1373	C	-2,96	32,07	44,00	-17,65	36,88	472,07	2.798 (M)	[A2M2]	--
1374	C	-16,46	48,57	69,00	-44,68	42,90	979,46	2.798 (M)	[A2M2]	--
1375	C	4,54	45,57	55,00	-4,08	49,15	597,35	2.799 (M)	[A2M2]	--
1376	C	-7,46	30,57	54,00	-37,58	43,74	1253,24	2.799 (M)	[A2M2]	--
1377	C	-1,46	29,07	51,00	-28,66	47,07	1248,22	2.799 (M)	[A2M2]	--
1378	C	0,04	45,57	58,00	-17,96	48,30	705,39	2.799 (M)	[A2M2]	--
1379	C	1,54	36,57	53,00	-21,03	49,21	961,20	2.799 (M)	[A2M2]	--
1380	C	0,04	48,57	59,00	-13,94	47,41	585,32	2.799 (M)	[A2M2]	--
1381	C	-16,46	45,57	64,00	-39,12	38,87	751,77	2.800 (M)	[A2M2]	--
1382	C	-16,46	47,07	64,00	-34,96	37,97	638,90	2.800 (M)	[A2M2]	--
1383	C	0,04	29,07	50,00	-25,34	47,52	1199,09	2.800 (M)	[A2M2]	--
1384	C	-11,96	30,57	48,00	-29,55	32,86	603,64	2.800 (M)	[A2M2]	--
1385	C	4,54	39,57	51,00	-11,77	48,31	678,15	2.800 (M)	[A2M2]	--
1386	C	-10,46	29,07	45,00	-24,26	31,72	517,26	2.800 (M)	[A2M2]	--
1387	C	-4,46	33,57	46,00	-18,98	36,88	485,49	2.800 (M)	[A2M2]	--

N°	Forma	C_x	C_y	R	x_v	x_m	V	F_s	Caso	Sisma
		[m]	*[m]*	*[m]*	*[m]*	*[m]*	*[mc]*			
1388	C	-10,46	42,57	56,00	-21,82	37,34	495,12	2.800 (M)	[A2M2]	--
1389	C	1,54	32,07	50,00	-21,74	47,92	1026,53	2.801 (M)	[A2M2]	--
1390	C	-1,46	29,07	40,00	-14,48	35,34	412,29	2.801 (M)	[A2M2]	--
1391	C	-2,96	42,57	53,00	-16,20	41,29	470,82	2.801 (M)	[A2M2]	--
1392	C	0,04	47,07	58,00	-15,71	47,27	608,36	2.801 (M)	[A2M2]	--
1393	C	3,04	36,57	50,00	-17,17	47,35	760,00	2.801 (M)	[A2M2]	--
1394	C	-5,96	35,07	48,00	-20,28	36,87	498,68	2.802 (M)	[A2M2]	--
1395	C	-8,96	30,57	54,00	-39,03	42,24	1212,06	2.802 (M)	[A2M2]	--
1396	C	4,54	38,07	50,00	-13,01	48,03	699,03	2.802 (M)	[A2M2]	--
1397	C	-2,96	33,57	56,00	-32,27	49,28	1330,56	2.802 (M)	[A2M2]	--
1398	C	-8,96	33,57	57,00	-39,91	44,35	1264,72	2.802 (M)	[A2M2]	--
1399	C	4,54	41,07	52,00	-10,36	48,57	657,40	2.802 (M)	[A2M2]	--
1400	C	1,54	38,07	54,00	-20,77	49,58	938,22	2.802 (M)	[A2M2]	--
1401	C	-7,46	33,57	57,00	-38,45	45,85	1305,93	2.802 (M)	[A2M2]	--
1402	C	-11,96	35,07	58,00	-42,32	41,84	1157,27	2.803 (M)	[A2M2]	--
1403	C	-13,46	35,07	52,00	-30,36	33,81	582,31	2.803 (M)	[A2M2]	--
1404	C	4,54	30,57	45,00	-16,87	46,14	799,68	2.803 (M)	[A2M2]	--
1405	C	4,54	44,07	54,00	-6,69	48,98	616,79	2.803 (M)	[A2M2]	--
1406	C	4,54	36,57	49,00	-14,09	47,72	719,78	2.803 (M)	[A2M2]	--
1407	C	-1,46	48,57	59,00	-15,44	45,91	552,05	2.803 (M)	[A2M2]	--
1408	C	-13,46	39,57	62,00	-44,01	42,75	1137,39	2.803 (M)	[A2M2]	--
1409	C	-11,96	30,57	52,00	-38,30	37,12	938,77	2.803 (M)	[A2M2]	--
1410	C	-4,46	39,57	51,00	-18,02	39,31	477,04	2.804 (M)	[A2M2]	--
1411	C	-13,46	47,07	69,00	-44,81	46,77	1196,52	2.804 (M)	[A2M2]	--
1412	C	-5,96	30,57	54,00	-36,12	45,24	1294,16	2.804 (M)	[A2M2]	--
1413	C	-16,46	45,57	66,00	-44,06	41,17	939,66	2.804 (M)	[A2M2]	--
1414	C	-10,46	47,07	60,00	-21,50	39,20	502,01	2.804 (M)	[A2M2]	--
1415	C	-8,96	41,07	64,00	-41,02	48,75	1337,32	2.805 (M)	[A2M2]	--
1416	C	3,04	47,07	57,00	-8,50	49,03	606,74	2.805 (M)	[A2M2]	--
1417	C	-7,46	47,07	59,00	-19,97	40,99	506,32	2.805 (M)	[A2M2]	--
1418	C	4,54	42,57	53,00	-8,70	48,79	637,01	2.805 (M)	[A2M2]	--
1419	C	-14,96	48,57	70,00	-45,51	45,56	1123,34	2.805 (M)	[A2M2]	--
1420	C	-11,96	38,07	61,00	-43,13	43,83	1206,31	2.805 (M)	[A2M2]	--
1421	C	-10,46	41,07	64,00	-42,47	47,25	1295,16	2.805 (M)	[A2M2]	--
1422	C	-4,46	44,07	55,00	-17,54	41,19	482,88	2.805 (M)	[A2M2]	--
1423	C	1,54	42,57	55,00	-17,16	48,17	711,87	2.805 (M)	[A2M2]	--
1424	C	-5,96	41,07	53,00	-19,27	39,24	489,15	2.805 (M)	[A2M2]	--
1425	C	-1,46	32,07	54,00	-29,48	49,21	1299,33	2.805 (M)	[A2M2]	--
1426	C	1,54	30,57	49,00	-21,97	47,43	1046,96	2.805 (M)	[A2M2]	--
1427	C	-10,46	45,57	68,00	-42,61	49,45	1311,27	2.805 (M)	[A2M2]	--
1428	C	1,54	41,07	55,00	-18,84	49,07	811,49	2.805 (M)	[A2M2]	--
1429	C	-2,96	33,57	45,00	-17,13	37,27	454,90	2.805 (M)	[A2M2]	--
1430	C	3,04	38,07	51,00	-16,73	47,68	738,58	2.806 (M)	[A2M2]	--
1431	C	-5,96	38,07	61,00	-37,33	49,83	1372,02	2.806 (M)	[A2M2]	--
1432	C	-13,46	35,07	57,00	-41,88	39,26	1016,77	2.806 (M)	[A2M2]	--
1433	C	3,04	35,07	50,00	-18,72	48,10	858,09	2.806 (M)	[A2M2]	--
1434	C	-14,96	39,57	57,00	-33,94	35,68	635,63	2.806 (M)	[A2M2]	--
1435	C	3,04	36,57	51,00	-18,32	48,47	836,65	2.806 (M)	[A2M2]	--
1436	C	1,54	39,57	55,00	-20,46	49,91	915,05	2.806 (M)	[A2M2]	--
1437	C	4,54	35,07	48,00	-15,05	47,37	740,34	2.806 (M)	[A2M2]	--
1438	C	-10,46	29,07	52,00	-39,17	39,12	1094,54	2.806 (M)	[A2M2]	--
1439	C	3,04	42,57	54,00	-13,76	48,48	672,01	2.807 (M)	[A2M2]	--
1440	C	6,04	35,07	47,00	-10,95	47,75	702,73	2.807 (M)	[A2M2]	--
1441	C	-7,46	42,57	55,00	-20,51	39,17	501,07	2.807 (M)	[A2M2]	--
1442	C	0,04	45,57	59,00	-19,21	49,50	781,98	2.807 (M)	[A2M2]	--
1443	C	0,04	32,07	53,00	-26,12	49,64	1247,23	2.807 (M)	[A2M2]	--
1444	C	-14,96	39,57	61,00	-43,45	40,14	995,38	2.807 (M)	[A2M2]	--
1445	C	-5,96	45,57	57,00	-18,77	41,09	494,69	2.807 (M)	[A2M2]	--
1446	C	3,04	44,07	55,00	-12,29	48,69	649,90	2.807 (M)	[A2M2]	--
1447	C	-4,46	35,07	58,00	-35,06	49,34	1364,05	2.807 (M)	[A2M2]	--
1448	C	6,04	33,57	46,00	-11,99	47,38	721,97	2.808 (M)	[A2M2]	--
1449	C	3,04	33,57	49,00	-19,10	47,70	879,32	2.808 (M)	[A2M2]	--
1450	C	6,04	36,57	48,00	-9,77	48,08	683,41	2.808 (M)	[A2M2]	--
1451	C	3,04	45,57	56,00	-10,57	48,88	628,17	2.808 (M)	[A2M2]	--
1452	C	6,04	38,07	49,00	-8,41	48,38	664,21	2.809 (M)	[A2M2]	--
1453	C	-11,96	33,57	49,00	-24,43	32,70	496,98	2.809 (M)	[A2M2]	--
1454	C	-13,46	42,57	65,00	-44,76	44,63	1183,25	2.809 (M)	[A2M2]	--
1455	C	-11,96	45,57	68,00	-44,05	47,95	1269,32	2.809 (M)	[A2M2]	--
1456	C	3,04	41,07	53,00	-15,04	48,24	694,23	2.809 (M)	[A2M2]	--
1457	C	-8,96	36,57	60,00	-40,75	46,39	1315,73	2.809 (M)	[A2M2]	--
1458	C	-1,46	33,57	43,00	-9,08	36,52	368,60	2.809 (M)	[A2M2]	--
1459	C	-7,46	38,07	51,00	-20,82	37,18	492,52	2.809 (M)	[A2M2]	--
1460	C	-5,96	33,57	57,00	-37,00	47,35	1347,84	2.810 (M)	[A2M2]	--
1461	C	-13,46	42,57	57,00	-23,54	35,51	484,77	2.810 (M)	[A2M2]	--
1462	C	-10,46	33,57	57,00	-41,36	42,85	1223,41	2.810 (M)	[A2M2]	--
1463	C	-16,46	45,57	63,00	-36,30	37,71	664,49	2.810 (M)	[A2M2]	--
1464	C	-13,46	36,57	59,00	-43,24	40,80	1089,54	2.810 (M)	[A2M2]	--
1465	C	4,54	29,07	44,00	-17,21	45,66	818,40	2.810 (M)	[A2M2]	--
1466	C	-7,46	30,57	45,00	-21,69	34,14	513,14	2.811 (M)	[A2M2]	--

N°	Forma	C_x	C_y	R	x_v	x_m	V	F_s	Caso	Sisma
		[m]	*[m]*	*[m]*	*[m]*	*[m]*	*[mc]*			
1467	C	-2,96	39,57	50,00	-15,81	39,64	445,70	2.811 (M)	[A2M2]	--
1468	C	1,54	35,07	53,00	-21,97	49,91	1067,52	2.811 (M)	[A2M2]	--
1469	C	3,04	39,57	52,00	-16,17	47,97	716,50	2.811 (M)	[A2M2]	--
1470	C	-13,46	33,57	54,00	-38,51	36,63	853,78	2.812 (M)	[A2M2]	--
1471	C	-13,46	33,57	53,00	-36,36	35,55	765,27	2.812 (M)	[A2M2]	--
1472	C	-7,46	36,57	60,00	-39,30	47,89	1357,86	2.812 (M)	[A2M2]	--
1473	C	-2,96	29,07	52,00	-31,89	46,62	1301,51	2.812 (M)	[A2M2]	--
1474	C	1,54	33,57	52,00	-22,21	49,47	1089,65	2.812 (M)	[A2M2]	--
1475	C	-4,46	35,07	47,00	-18,43	37,25	467,70	2.812 (M)	[A2M2]	--
1476	C	3,04	32,07	48,00	-19,46	47,26	899,97	2.812 (M)	[A2M2]	--
1477	C	-14,96	44,07	66,00	-45,55	43,48	1112,04	2.812 (M)	[A2M2]	--
1478	C	-2,96	48,57	59,00	-16,55	44,41	518,88	2.812 (M)	[A2M2]	--
1479	C	1,54	29,07	48,00	-22,18	46,91	1066,64	2.812 (M)	[A2M2]	--
1480	C	6,04	32,07	45,00	-12,90	46,98	740,88	2.813 (M)	[A2M2]	--
1481	C	-11,96	41,07	64,00	-43,92	45,75	1253,97	2.813 (M)	[A2M2]	--
1482	C	-16,46	44,07	64,00	-42,59	39,71	871,64	2.813 (M)	[A2M2]	--
1483	C	-11,96	30,57	47,00	-26,77	31,79	530,28	2.813 (M)	[A2M2]	--
1484	C	6,04	39,57	50,00	-6,81	48,64	644,99	2.813 (M)	[A2M2]	--
1485	C	-5,96	36,57	49,00	-19,72	37,22	480,27	2.813 (M)	[A2M2]	--
1486	C	4,54	32,07	46,00	-16,51	46,58	780,32	2.813 (M)	[A2M2]	--
1487	C	-1,46	35,07	44,00	-5,44	36,83	355,02	2.813 (M)	[A2M2]	--
1488	C	-10,46	36,57	60,00	-42,21	44,89	1274,39	2.813 (M)	[A2M2]	--
1489	C	4,54	33,57	47,00	-15,91	46,99	760,41	2.814 (M)	[A2M2]	--
1490	C	-14,96	38,07	58,00	-39,89	37,53	832,04	2.814 (M)	[A2M2]	--
1491	C	-16,46	47,07	68,00	-45,51	42,62	1009,50	2.814 (M)	[A2M2]	--
1492	C	-14,96	44,07	59,00	-25,35	35,44	494,00	2.814 (M)	[A2M2]	--
1493	C	-16,46	44,07	63,00	-40,16	38,57	778,61	2.814 (M)	[A2M2]	--
1494	C	0,04	47,07	59,00	-17,42	48,49	681,23	2.814 (M)	[A2M2]	--
1495	C	-11,96	45,57	59,00	-22,08	37,50	484,66	2.815 (M)	[A2M2]	--
1496	C	-10,46	30,57	54,00	-40,49	40,74	1169,83	2.815 (M)	[A2M2]	--
1497	C	1,54	32,07	51,00	-22,44	49,00	1111,10	2.815 (M)	[A2M2]	--
1498	C	-10,46	30,57	46,00	-23,54	32,22	501,79	2.815 (M)	[A2M2]	--
1499	C	-13,46	33,57	52,00	-34,05	34,47	681,40	2.815 (M)	[A2M2]	--
1500	C	-14,96	41,07	63,00	-44,83	41,64	1067,28	2.816 (M)	[A2M2]	--
1501	C	-10,46	32,07	47,00	-22,78	32,67	485,90	2.816 (M)	[A2M2]	--
1502	C	-14,96	38,07	57,00	-37,58	36,42	743,17	2.816 (M)	[A2M2]	--
1503	C	-4,46	30,57	54,00	-34,66	46,74	1336,24	2.816 (M)	[A2M2]	--
1504	C	6,04	41,07	51,00	-4,87	48,88	626,04	2.816 (M)	[A2M2]	--
1505	C	-11,96	32,07	55,00	-41,49	39,77	1105,93	2.817 (M)	[A2M2]	--
1506	C	-10,46	38,07	52,00	-22,13	35,32	484,43	2.817 (M)	[A2M2]	--
1507	C	1,54	44,07	56,00	-16,65	48,39	688,51	2.818 (M)	[A2M2]	--
1508	C	-8,96	35,07	49,00	-21,78	34,99	491,56	2.818 (M)	[A2M2]	--
1509	C	6,04	30,57	44,00	-13,71	46,55	759,43	2.818 (M)	[A2M2]	--
1510	C	3,04	30,57	47,00	-19,81	46,79	920,05	2.818 (M)	[A2M2]	--
1511	C	0,04	47,07	60,00	-18,69	49,70	757,12	2.818 (M)	[A2M2]	--
1512	C	-14,96	38,07	59,00	-42,05	38,63	925,23	2.818 (M)	[A2M2]	--
1513	C	-13,46	33,57	55,00	-40,52	37,71	945,35	2.818 (M)	[A2M2]	--
1514	C	-2,96	32,07	55,00	-32,76	48,77	1354,20	2.819 (M)	[A2M2]	--
1515	C	1,54	42,57	56,00	-18,37	49,34	787,78	2.819 (M)	[A2M2]	--
1516	C	-11,96	30,57	53,00	-40,16	38,18	1031,82	2.819 (M)	[A2M2]	--
1517	C	-8,96	41,07	54,00	-21,16	37,41	484,54	2.819 (M)	[A2M2]	--
1518	C	-13,46	45,57	68,00	-45,50	46,45	1227,84	2.819 (M)	[A2M2]	--
1519	C	-13,46	36,57	52,00	-25,53	33,09	490,35	2.819 (M)	[A2M2]	--
1520	C	-10,46	44,07	67,00	-43,24	49,11	1342,24	2.820 (M)	[A2M2]	--
1521	C	1,54	30,57	50,00	-22,65	48,50	1131,83	2.820 (M)	[A2M2]	--
1522	C	-14,96	47,07	69,00	-46,25	45,27	1154,97	2.820 (M)	[A2M2]	--
1523	C	-2,96	35,07	46,00	-16,59	37,62	437,34	2.820 (M)	[A2M2]	--
1524	C	-13,46	33,57	51,00	-31,51	33,38	601,93	2.820 (M)	[A2M2]	--
1525	C	0,04	30,57	52,00	-26,69	49,12	1268,92	2.821 (M)	[A2M2]	--
1526	C	-8,96	39,57	63,00	-41,57	48,35	1366,09	2.821 (M)	[A2M2]	--
1527	C	-16,46	44,07	65,00	-44,86	40,85	968,71	2.821 (M)	[A2M2]	--
1528	C	-2,96	48,57	58,00	-11,82	43,16	453,23	2.821 (M)	[A2M2]	--
1529	C	1,54	48,57	59,00	-12,44	48,91	618,49	2.822 (M)	[A2M2]	--
1530	C	-1,46	30,57	53,00	-29,98	48,68	1321,68	2.822 (M)	[A2M2]	--
1531	C	-5,96	36,57	60,00	-37,84	49,39	1398,94	2.822 (M)	[A2M2]	--
1532	C	6,04	29,07	43,00	-14,42	46,08	777,15	2.822 (M)	[A2M2]	--
1533	C	1,54	47,07	58,00	-14,21	48,77	641,54	2.822 (M)	[A2M2]	--
1534	C	-16,46	44,07	62,00	-37,50	37,42	690,04	2.822 (M)	[A2M2]	--
1535	C	3,04	38,07	52,00	-17,89	48,82	814,39	2.822 (M)	[A2M2]	--
1536	C	-10,46	39,57	63,00	-43,03	46,85	1324,12	2.823 (M)	[A2M2]	--
1537	C	-14,96	39,57	56,00	-30,89	34,55	556,31	2.823 (M)	[A2M2]	--
1538	C	1,54	45,57	57,00	-15,73	48,59	664,88	2.823 (M)	[A2M2]	--
1539	C	-2,96	41,07	51,00	-13,87	39,88	426,79	2.823 (M)	[A2M2]	--
1540	C	-7,46	29,07	53,00	-37,98	43,17	1275,37	2.823 (M)	[A2M2]	--
1541	C	-7,46	32,07	56,00	-38,89	45,34	1330,19	2.824 (M)	[A2M2]	--
1542	C	-11,96	35,07	50,00	-23,61	33,10	479,96	2.824 (M)	[A2M2]	--
1543	C	-2,96	36,57	47,00	-15,41	37,93	419,49	2.824 (M)	[A2M2]	--
1544	C	-14,96	38,07	56,00	-35,05	35,31	657,77	2.824 (M)	[A2M2]	--
1545	C	-11,96	29,07	47,00	-30,52	32,35	621,17	2.824 (M)	[A2M2]	--

N°	Forma	C_x	C_y	R	x_v	x_m	V	F_s	Caso	Sisma
		[m]	*[m]*	*[m]*	*[m]*	*[m]*	*[mc]*			
1546	C	-13,46	38,07	61,00	-44,59	42,33	1164,04	2.824 (M)	[A2M2]	--
1547	C	-11,96	44,07	67,00	-44,69	47,61	1300,27	2.824 (M)	[A2M2]	--
1548	C	-8,96	45,57	58,00	-20,86	39,30	491,46	2.825 (M)	[A2M2]	--
1549	C	-4,46	33,57	57,00	-35,54	48,85	1389,04	2.825 (M)	[A2M2]	--
1550	C	-11,96	29,07	49,00	-34,96	34,47	782,15	2.825 (M)	[A2M2]	--
1551	C	-8,96	32,07	56,00	-40,35	43,84	1288,98	2.825 (M)	[A2M2]	--
1552	C	-4,46	41,07	52,00	-17,42	39,57	457,50	2.825 (M)	[A2M2]	--
1553	C	-14,96	42,57	58,00	-27,53	35,17	514,56	2.825 (M)	[A2M2]	--
1554	C	-11,96	41,07	55,00	-22,42	35,57	475,58	2.826 (M)	[A2M2]	--
1555	C	-11,96	48,57	71,00	-44,77	49,72	1313,45	2.826 (M)	[A2M2]	--
1556	C	-11,96	36,57	60,00	-43,66	43,39	1233,21	2.826 (M)	[A2M2]	--
1557	C	-7,46	32,07	46,00	-21,38	34,58	496,69	2.826 (M)	[A2M2]	--
1558	C	-7,46	39,57	63,00	-40,12	49,85	1407,48	2.826 (M)	[A2M2]	--
1559	C	-11,96	29,07	48,00	-32,83	33,41	699,70	2.826 (M)	[A2M2]	--
1560	C	7,54	32,07	44,00	-8,88	47,38	705,32	2.827 (M)	[A2M2]	--
1561	C	-11,96	33,57	57,00	-42,82	41,35	1181,36	2.827 (M)	[A2M2]	--
1562	C	-5,96	29,07	53,00	-36,52	44,67	1316,27	2.827 (M)	[A2M2]	--
1563	C	-13,46	41,07	64,00	-45,37	44,25	1212,48	2.827 (M)	[A2M2]	--
1564	C	3,04	29,07	46,00	-20,13	46,29	939,39	2.827 (M)	[A2M2]	--
1565	C	1,54	44,07	57,00	-17,88	49,59	763,75	2.828 (M)	[A2M2]	--
1566	C	-4,46	48,57	59,00	-17,01	42,91	485,27	2.828 (M)	[A2M2]	--
1567	C	-8,96	29,07	53,00	-39,44	41,67	1234,19	2.828 (M)	[A2M2]	--
1568	C	-16,46	48,57	70,00	-46,95	44,06	1081,74	2.828 (M)	[A2M2]	--
1569	C	-14,96	41,07	57,00	-29,34	34,87	535,49	2.828 (M)	[A2M2]	--
1570	C	-4,46	36,57	48,00	-17,87	37,58	449,54	2.829 (M)	[A2M2]	--
1571	C	7,54	33,57	45,00	-7,76	47,77	687,75	2.829 (M)	[A2M2]	--
1572	C	0,04	48,57	60,00	-16,86	48,65	656,89	2.829 (M)	[A2M2]	--
1573	C	-2,96	47,07	56,00	-7,45	41,79	412,93	2.829 (M)	[A2M2]	--
1574	C	-8,96	35,07	59,00	-41,23	45,92	1342,00	2.829 (M)	[A2M2]	--
1575	C	1,54	29,07	49,00	-22,98	47,97	1151,81	2.829 (M)	[A2M2]	--
1576	C	-5,96	32,07	56,00	-37,43	46,84	1372,10	2.829 (M)	[A2M2]	--
1577	C	4,54	33,57	48,00	-17,25	48,10	836,28	2.830 (M)	[A2M2]	--
1578	C	7,54	30,57	43,00	-9,87	46,96	722,82	2.830 (M)	[A2M2]	--
1579	C	-11,96	29,07	50,00	-36,95	35,52	868,61	2.830 (M)	[A2M2]	--
1580	C	-16,46	45,57	67,00	-46,28	42,31	1039,83	2.830 (M)	[A2M2]	--
1581	C	-7,46	35,07	59,00	-39,77	47,42	1384,17	2.830 (M)	[A2M2]	--
1582	C	-14,96	42,57	65,00	-46,21	43,13	1141,70	2.831 (M)	[A2M2]	--
1583	C	-14,96	38,07	60,00	-44,09	39,73	1022,02	2.831 (M)	[A2M2]	--
1584	C	-16,46	42,57	62,00	-41,10	38,25	805,42	2.831 (M)	[A2M2]	--
1585	C	-7,46	44,07	56,00	-19,87	39,39	480,32	2.831 (M)	[A2M2]	--
1586	C	-16,46	42,57	63,00	-43,42	39,38	899,40	2.831 (M)	[A2M2]	--
1587	C	-11,96	39,57	63,00	-44,48	45,35	1282,71	2.831 (M)	[A2M2]	--
1588	C	-5,96	38,07	50,00	-19,14	37,53	461,50	2.831 (M)	[A2M2]	--
1589	C	3,04	36,57	52,00	-19,44	49,59	915,98	2.832 (M)	[A2M2]	--
1590	C	-5,96	42,57	54,00	-18,66	39,48	468,92	2.832 (M)	[A2M2]	--
1591	C	-13,46	38,07	53,00	-24,37	33,45	472,31	2.832 (M)	[A2M2]	--
1592	C	3,04	35,07	51,00	-19,83	49,21	938,34	2.833 (M)	[A2M2]	--
1593	C	3,04	38,07	53,00	-19,04	49,95	893,18	2.833 (M)	[A2M2]	--
1594	C	-13,46	33,57	50,00	-28,63	32,29	526,69	2.833 (M)	[A2M2]	--
1595	C	0,04	48,57	61,00	-18,14	49,88	732,02	2.833 (M)	[A2M2]	--
1596	C	4,54	32,07	47,00	-17,61	47,67	856,38	2.833 (M)	[A2M2]	--
1597	C	-13,46	48,57	71,00	-46,21	48,22	1271,26	2.833 (M)	[A2M2]	--
1598	C	3,04	39,57	53,00	-17,46	49,13	791,70	2.833 (M)	[A2M2]	--
1599	C	7,54	35,07	46,00	-6,45	48,12	669,90	2.833 (M)	[A2M2]	--
1600	C	7,54	29,07	42,00	-10,73	46,51	739,96	2.833 (M)	[A2M2]	--
1601	C	-7,46	39,57	52,00	-20,39	37,47	473,24	2.834 (M)	[A2M2]	--
1602	C	-5,96	29,07	43,00	-20,91	34,08	499,49	2.834 (M)	[A2M2]	--
1603	C	-16,46	48,57	64,00	-29,49	37,01	534,38	2.834 (M)	[A2M2]	--
1604	C	-13,46	33,57	56,00	-42,44	38,78	1041,03	2.834 (M)	[A2M2]	--
1605	C	-16,46	47,07	63,00	-31,42	36,79	557,86	2.834 (M)	[A2M2]	--
1606	C	-10,46	32,07	56,00	-41,80	42,34	1247,66	2.834 (M)	[A2M2]	--
1607	C	-11,96	36,57	51,00	-22,75	33,47	462,94	2.834 (M)	[A2M2]	--
1608	C	-13,46	35,07	51,00	-27,20	32,71	508,49	2.834 (M)	[A2M2]	--
1609	C	-13,46	35,07	58,00	-43,78	40,34	1115,12	2.835 (M)	[A2M2]	--
1610	C	-10,46	35,07	59,00	-42,68	44,42	1300,89	2.835 (M)	[A2M2]	--
1611	C	-14,96	38,07	55,00	-32,24	34,20	577,42	2.835 (M)	[A2M2]	--
1612	C	-10,46	42,57	66,00	-43,82	48,74	1372,99	2.836 (M)	[A2M2]	--
1613	C	3,04	33,57	50,00	-20,20	48,79	959,70	2.836 (M)	[A2M2]	--
1614	C	7,54	36,57	47,00	-4,91	48,43	652,05	2.836 (M)	[A2M2]	--
1615	C	-13,46	44,07	67,00	-46,13	46,11	1258,78	2.836 (M)	[A2M2]	--
1616	C	-16,46	44,07	61,00	-34,53	36,27	605,79	2.836 (M)	[A2M2]	--
1617	C	-11,96	29,07	46,00	-27,96	31,29	546,62	2.836 (M)	[A2M2]	--
1618	C	-10,46	44,07	57,00	-21,46	37,59	474,96	2.836 (M)	[A2M2]	--
1619	C	-16,46	42,57	61,00	-38,60	37,11	715,53	2.836 (M)	[A2M2]	--
1620	C	-11,96	29,07	51,00	-38,83	36,57	959,67	2.837 (M)	[A2M2]	--
1621	C	-14,96	39,57	62,00	-45,46	41,25	1095,21	2.837 (M)	[A2M2]	--
1622	C	0,04	29,07	51,00	-27,20	48,57	1289,89	2.837 (M)	[A2M2]	--
1623	C	-14,96	45,57	68,00	-46,94	44,95	1186,27	2.837 (M)	[A2M2]	--
1624	C	-2,96	30,57	54,00	-33,21	48,24	1377,29	2.837 (M)	[A2M2]	--

N°	Forma	C_x	C_y	R	x_v	x_m	V	F_s	Caso	Sisma
		[m]	*[m]*	*[m]*	*[m]*	*[m]*	*[mc]*			
1625	C	-14,96	36,57	57,00	-40,65	37,12	856,63	2.837 (M)	[A2M2]	--
1626	C	-7,46	33,57	47,00	-21,06	34,99	479,68	2.838 (M)	[A2M2]	--
1627	C	-2,96	45,57	55,00	-11,58	41,65	431,23	2.838 (M)	[A2M2]	--
1628	C	-5,96	47,07	58,00	-18,11	41,27	473,15	2.838 (M)	[A2M2]	--
1629	C	-4,46	45,57	56,00	-16,91	41,38	461,79	2.838 (M)	[A2M2]	--
1630	C	-4,46	29,07	53,00	-35,06	46,17	1358,38	2.838 (M)	[A2M2]	--
1631	C	-8,96	38,07	62,00	-42,08	47,92	1394,30	2.838 (M)	[A2M2]	--
1632	C	-8,96	29,07	44,00	-22,35	32,16	489,86	2.838 (M)	[A2M2]	--
1633	C	-13,46	32,07	52,00	-37,11	35,07	786,59	2.839 (M)	[A2M2]	--
1634	C	4,54	30,57	46,00	-17,95	47,22	876,20	2.839 (M)	[A2M2]	--
1635	C	-14,96	36,57	56,00	-38,44	36,02	766,08	2.839 (M)	[A2M2]	--
1636	C	-5,96	35,07	59,00	-38,32	48,92	1425,45	2.839 (M)	[A2M2]	--
1637	C	-7,46	48,57	60,00	-19,31	41,15	484,28	2.839 (M)	[A2M2]	--
1638	C	-2,96	29,07	41,00	-17,43	34,93	440,33	2.840 (M)	[A2M2]	--
1639	C	3,04	41,07	54,00	-17,00	49,41	768,61	2.840 (M)	[A2M2]	--
1640	C	-11,96	47,07	70,00	-45,43	49,41	1346,06	2.840 (M)	[A2M2]	--
1641	C	-1,46	29,07	39,00	-10,98	34,25	355,03	2.840 (M)	[A2M2]	--
1642	C	-8,96	36,57	50,00	-21,44	35,35	473,69	2.840 (M)	[A2M2]	--
1643	C	-10,46	33,57	48,00	-22,41	33,10	469,58	2.840 (M)	[A2M2]	--
1644	C	1,54	45,57	58,00	-17,37	49,80	739,43	2.840 (M)	[A2M2]	--
1645	C	-17,96	48,57	68,00	-43,69	40,24	839,45	2.841 (M)	[A2M2]	--
1646	C	-1,46	29,07	52,00	-30,44	48,12	1342,47	2.841 (M)	[A2M2]	--
1647	C	-2,96	30,57	42,00	-16,93	35,37	424,69	2.841 (M)	[A2M2]	--
1648	C	-13,46	32,07	51,00	-34,91	34,00	701,77	2.841 (M)	[A2M2]	--
1649	C	-16,46	42,57	64,00	-45,60	40,51	997,44	2.841 (M)	[A2M2]	--
1650	C	3,04	32,07	49,00	-20,55	48,34	980,83	2.841 (M)	[A2M2]	--
1651	C	-13,46	32,07	50,00	-32,53	32,92	621,16	2.841 (M)	[A2M2]	--
1652	C	-11,96	42,57	66,00	-45,27	47,24	1330,78	2.841 (M)	[A2M2]	--
1653	C	7,54	38,07	48,00	-3,04	48,72	634,64	2.841 (M)	[A2M2]	--
1654	C	-10,46	38,07	62,00	-43,54	46,42	1352,32	2.841 (M)	[A2M2]	--
1655	C	9,04	29,07	40,00	-3,98	45,84	644,73	2.842 (M)	[A2M2]	--
1656	C	-16,46	45,57	62,00	-33,08	36,54	581,76	2.842 (M)	[A2M2]	--
1657	C	1,54	30,57	51,00	-23,88	49,56	1219,29	2.842 (M)	[A2M2]	--
1658	C	-7,46	38,07	62,00	-40,63	49,42	1435,71	2.843 (M)	[A2M2]	--
1659	C	-13,46	32,07	53,00	-39,16	36,14	875,15	2.843 (M)	[A2M2]	--
1660	C	4,54	35,07	49,00	-16,87	48,49	815,25	2.843 (M)	[A2M2]	--
1661	C	-14,96	36,57	58,00	-42,72	38,21	950,57	2.843 (M)	[A2M2]	--
1662	C	-4,46	32,07	56,00	-35,98	48,34	1413,32	2.843 (M)	[A2M2]	--
1663	C	-14,96	36,57	55,00	-36,06	34,92	680,26	2.844 (M)	[A2M2]	--
1664	C	-10,46	29,07	53,00	-40,90	40,17	1191,94	2.844 (M)	[A2M2]	--
1665	C	-5,96	30,57	44,00	-20,61	34,55	483,50	2.844 (M)	[A2M2]	--
1666	C	-17,96	48,57	69,00	-46,12	41,40	937,38	2.845 (M)	[A2M2]	--
1667	C	-16,46	47,07	69,00	-47,70	43,77	1113,34	2.845 (M)	[A2M2]	--
1668	C	-4,46	30,57	43,00	-18,77	34,96	453,84	2.845 (M)	[A2M2]	--
1669	C	-10,46	48,57	61,00	-21,12	39,38	480,46	2.845 (M)	[A2M2]	--
1670	C	4,54	42,57	54,00	-12,26	49,98	705,28	2.845 (M)	[A2M2]	--
1671	C	-11,96	30,57	54,00	-41,95	39,24	1128,84	2.846 (M)	[A2M2]	--
1672	C	4,54	41,07	53,00	-13,54	49,74	727,38	2.846 (M)	[A2M2]	--
1673	C	-8,96	30,57	45,00	-22,03	32,64	474,46	2.846 (M)	[A2M2]	--
1674	C	4,54	39,57	52,00	-14,67	49,47	749,56	2.846 (M)	[A2M2]	--
1675	C	-4,46	29,07	42,00	-19,27	34,51	469,71	2.846 (M)	[A2M2]	--
1676	C	3,04	30,57	48,00	-20,78	47,86	1001,30	2.847 (M)	[A2M2]	--
1677	C	-13,46	36,57	60,00	-45,11	41,89	1190,92	2.847 (M)	[A2M2]	--
1678	C	-7,46	30,57	55,00	-39,29	44,79	1353,69	2.847 (M)	[A2M2]	--
1679	C	-4,46	38,07	49,00	-17,29	37,88	431,06	2.847 (M)	[A2M2]	--
1680	C	-10,46	39,57	53,00	-21,77	35,63	465,84	2.847 (M)	[A2M2]	--
1681	C	-17,96	48,57	67,00	-41,06	39,07	745,85	2.847 (M)	[A2M2]	--
1682	C	4,54	29,07	45,00	-18,27	46,72	895,35	2.847 (M)	[A2M2]	--
1683	C	-14,96	48,57	71,00	-47,66	46,72	1229,68	2.847 (M)	[A2M2]	--
1684	C	-13,46	39,57	63,00	-45,93	43,85	1241,22	2.847 (M)	[A2M2]	--
1685	C	-2,96	42,57	52,00	-11,34	40,09	408,46	2.848 (M)	[A2M2]	--
1686	C	4,54	38,07	51,00	-15,68	49,18	771,68	2.848 (M)	[A2M2]	--
1687	C	-16,46	42,57	60,00	-35,83	35,97	629,98	2.848 (M)	[A2M2]	--
1688	C	-13,46	47,07	70,00	-46,88	47,91	1303,83	2.848 (M)	[A2M2]	--
1689	C	6,04	36,57	49,00	-12,59	49,22	752,91	2.848 (M)	[A2M2]	--
1690	C	-11,96	35,07	59,00	-44,14	42,92	1259,49	2.848 (M)	[A2M2]	--
1691	C	-14,96	45,57	60,00	-24,14	35,69	473,79	2.849 (M)	[A2M2]	--
1692	C	-16,46	44,07	66,00	-47,00	41,98	1069,83	2.849 (M)	[A2M2]	--
1693	C	-5,96	32,07	45,00	-20,10	34,98	466,96	2.849 (M)	[A2M2]	--
1694	C	-13,46	32,07	54,00	-41,10	37,21	968,43	2.849 (M)	[A2M2]	--
1695	C	6,04	38,07	50,00	-11,51	49,53	732,32	2.849 (M)	[A2M2]	--
1696	C	-8,96	30,57	55,00	-40,75	43,29	1312,47	2.849 (M)	[A2M2]	--
1697	C	-16,46	41,07	61,00	-41,97	37,90	831,88	2.850 (M)	[A2M2]	--
1698	C	3,04	42,57	55,00	-16,52	49,67	745,24	2.850 (M)	[A2M2]	--
1699	C	-2,96	38,07	48,00	-13,54	38,22	402,14	2.850 (M)	[A2M2]	--
1700	C	-7,46	33,57	58,00	-40,20	46,92	1409,78	2.851 (M)	[A2M2]	--
1701	C	-8,96	33,57	58,00	-41,66	45,42	1367,58	2.851 (M)	[A2M2]	--
1702	C	-14,96	41,07	64,00	-46,82	42,75	1170,16	2.851 (M)	[A2M2]	--
1703	C	-2,96	32,07	43,00	-16,41	35,78	408,84	2.851 (M)	[A2M2]	--

N°	Forma	C_x	C_y	R	x_v	x_m	V	F_s	Caso	Sisma
		[m]	*[m]*	*[m]*	*[m]*	*[m]*	*[mc]*			
1704	C	4,54	36,57	50,00	-16,47	48,85	793,70	2.851 (M)	[A2M2]	--
1705	C	-14,96	36,57	54,00	-33,44	33,82	598,58	2.851 (M)	[A2M2]	--
1706	C	-11,96	38,07	62,00	-44,99	44,92	1310,90	2.851 (M)	[A2M2]	--
1707	C	6,04	35,07	48,00	-13,55	48,87	773,47	2.851 (M)	[A2M2]	--
1708	C	-5,96	30,57	55,00	-37,83	46,29	1395,82	2.851 (M)	[A2M2]	--
1709	C	-2,96	44,07	53,00	-7,32	40,26	391,33	2.852 (M)	[A2M2]	--
1710	C	-4,46	32,07	44,00	-18,25	35,38	437,53	2.852 (M)	[A2M2]	--
1711	C	-16,46	41,07	62,00	-44,19	39,02	926,84	2.852 (M)	[A2M2]	--
1712	C	6,04	39,57	51,00	-10,27	49,81	711,51	2.852 (M)	[A2M2]	--
1713	C	-8,96	41,07	65,00	-42,91	49,86	1444,29	2.852 (M)	[A2M2]	--
1714	C	-13,46	44,07	58,00	-22,66	35,77	465,24	2.852 (M)	[A2M2]	--
1715	C	-10,46	41,07	65,00	-44,36	48,36	1403,04	2.852 (M)	[A2M2]	--
1716	C	-8,96	42,57	55,00	-20,81	37,67	464,61	2.853 (M)	[A2M2]	--
1717	C	-13,46	48,57	62,00	-22,30	37,60	472,89	2.853 (M)	[A2M2]	--
1718	C	-13,46	32,07	49,00	-29,88	31,84	544,76	2.853 (M)	[A2M2]	--
1719	C	-11,96	29,07	52,00	-40,63	37,62	1053,34	2.853 (M)	[A2M2]	--
1720	C	-16,46	41,07	60,00	-39,59	36,78	740,86	2.853 (M)	[A2M2]	--
1721	C	-11,96	32,07	56,00	-43,26	40,84	1205,61	2.853 (M)	[A2M2]	--
1722	C	3,04	44,07	56,00	-15,56	49,89	721,61	2.853 (M)	[A2M2]	--
1723	C	-13,46	42,57	66,00	-46,72	45,74	1289,27	2.854 (M)	[A2M2]	--
1724	C	1,54	29,07	50,00	-24,26	49,02	1239,75	2.854 (M)	[A2M2]	--
1725	C	-5,96	39,57	51,00	-18,53	37,81	442,49	2.854 (M)	[A2M2]	--
1726	C	1,54	47,07	59,00	-16,84	49,99	714,87	2.855 (M)	[A2M2]	--
1727	C	3,04	29,07	47,00	-20,98	47,35	1021,02	2.855 (M)	[A2M2]	--
1728	C	-14,96	44,07	67,00	-47,58	44,61	1217,19	2.855 (M)	[A2M2]	--
1729	C	6,04	33,57	47,00	-14,41	48,49	793,75	2.855 (M)	[A2M2]	--
1730	C	-11,96	45,57	69,00	-46,05	49,08	1378,28	2.855 (M)	[A2M2]	--
1731	C	-7,46	41,07	53,00	-19,77	37,74	453,68	2.855 (M)	[A2M2]	--
1732	C	-5,96	33,57	46,00	-19,56	35,38	449,98	2.855 (M)	[A2M2]	--
1733	C	-17,96	47,07	67,00	-44,63	39,97	868,93	2.856 (M)	[A2M2]	--
1734	C	6,04	32,07	46,00	-15,17	48,08	813,66	2.856 (M)	[A2M2]	--
1735	C	-7,46	35,07	48,00	-20,73	35,37	462,15	2.856 (M)	[A2M2]	--
1736	C	-14,96	36,57	59,00	-44,69	39,30	1048,15	2.857 (M)	[A2M2]	--
1737	C	-4,46	42,57	53,00	-16,80	39,79	437,55	2.857 (M)	[A2M2]	--
1738	C	-8,96	36,57	61,00	-42,55	47,47	1421,01	2.858 (M)	[A2M2]	--
1739	C	-10,46	33,57	58,00	-43,12	43,92	1326,49	2.858 (M)	[A2M2]	--
1740	C	-2,96	29,07	53,00	-33,61	47,67	1399,44	2.858 (M)	[A2M2]	--
1741	C	3,04	33,57	51,00	-21,03	49,88	1043,17	2.858 (M)	[A2M2]	--
1742	C	-5,96	33,57	58,00	-38,75	48,42	1451,07	2.858 (M)	[A2M2]	--
1743	C	4,54	36,57	51,00	-17,59	49,97	870,93	2.858 (M)	[A2M2]	--
1744	C	4,54	35,07	50,00	-17,98	49,60	893,01	2.859 (M)	[A2M2]	--
1745	C	-5,96	44,07	55,00	-18,02	39,69	448,67	2.859 (M)	[A2M2]	--
1746	C	-17,96	48,57	66,00	-38,16	37,89	656,68	2.859 (M)	[A2M2]	--
1747	C	-11,96	41,07	65,00	-45,82	46,86	1360,80	2.859 (M)	[A2M2]	--
1748	C	-14,96	38,07	61,00	-46,04	40,83	1122,63	2.860 (M)	[A2M2]	--
1749	C	-17,96	47,07	66,00	-42,14	38,81	774,12	2.860 (M)	[A2M2]	--
1750	C	-10,46	35,07	49,00	-22,07	33,49	453,04	2.860 (M)	[A2M2]	--
1751	C	-7,46	36,57	61,00	-41,09	48,97	1463,31	2.861 (M)	[A2M2]	--
1752	C	-1,46	32,07	41,00	-5,30	35,04	329,93	2.861 (M)	[A2M2]	--
1753	C	4,54	33,57	49,00	-18,34	49,20	914,54	2.861 (M)	[A2M2]	--
1754	C	-17,96	47,07	68,00	-46,95	41,12	967,95	2.861 (M)	[A2M2]	--
1755	C	-13,46	33,57	57,00	-44,27	39,85	1140,06	2.861 (M)	[A2M2]	--
1756	C	-10,46	30,57	55,00	-42,20	41,79	1270,27	2.862 (M)	[A2M2]	--
1757	C	-8,96	47,07	59,00	-20,41	39,49	470,10	2.862 (M)	[A2M2]	--
1758	C	-7,46	45,57	57,00	-19,22	39,59	459,38	2.862 (M)	[A2M2]	--
1759	C	-10,46	36,57	61,00	-44,00	45,97	1379,91	2.862 (M)	[A2M2]	--
1760	C	3,04	32,07	50,00	-21,25	49,42	1064,22	2.862 (M)	[A2M2]	--
1761	C	-2,96	33,57	44,00	-15,00	36,14	392,59	2.863 (M)	[A2M2]	--
1762	C	-16,46	41,07	63,00	-46,28	40,14	1025,79	2.863 (M)	[A2M2]	--
1763	C	-16,46	45,57	68,00	-48,39	43,45	1144,84	2.863 (M)	[A2M2]	--
1764	C	-14,96	35,07	55,00	-39,23	35,59	789,19	2.863 (M)	[A2M2]	--
1765	C	-14,96	47,07	70,00	-48,33	46,41	1262,23	2.864 (M)	[A2M2]	--
1766	C	6,04	29,07	44,00	-16,41	47,16	851,70	2.864 (M)	[A2M2]	--
1767	C	-4,46	33,57	45,00	-17,71	35,77	421,01	2.864 (M)	[A2M2]	--
1768	C	-4,46	30,57	55,00	-36,37	47,79	1436,82	2.864 (M)	[A2M2]	--
1769	C	-16,46	41,07	59,00	-37,00	35,65	653,67	2.864 (M)	[A2M2]	--
1770	C	-2,96	32,07	56,00	-34,52	49,84	1454,42	2.864 (M)	[A2M2]	--
1771	C	-8,96	38,07	51,00	-21,10	35,68	455,38	2.865 (M)	[A2M2]	--
1772	C	-13,46	45,57	69,00	-47,50	47,58	1336,01	2.865 (M)	[A2M2]	--
1773	C	-14,96	39,57	55,00	-27,23	33,41	482,37	2.865 (M)	[A2M2]	--
1774	C	-13,46	32,07	55,00	-42,94	38,27	1064,65	2.865 (M)	[A2M2]	--
1775	C	-1,46	30,57	54,00	-31,75	49,74	1419,02	2.865 (M)	[A2M2]	--
1776	C	4,54	32,07	48,00	-18,69	48,76	935,47	2.865 (M)	[A2M2]	--
1777	C	-14,96	36,57	53,00	-30,47	32,71	521,62	2.866 (M)	[A2M2]	--
1778	C	-14,96	35,07	56,00	-41,34	36,68	879,91	2.866 (M)	[A2M2]	--
1779	C	-13,46	30,57	49,00	-33,45	32,43	640,12	2.866 (M)	[A2M2]	--
1780	C	6,04	30,57	45,00	-15,84	47,64	833,10	2.866 (M)	[A2M2]	--
1781	C	7,54	35,07	47,00	-9,45	49,25	736,09	2.866 (M)	[A2M2]	--
1782	C	-13,46	39,57	54,00	-23,44	33,77	454,36	2.866 (M)	[A2M2]	--

N°	Forma	C_x	C_y	R	x_v	x_m	V	F_s	Caso	Sisma
		[m]	*[m]*	*[m]*	*[m]*	*[m]*	*[mc]*			
1783	C	-14,96	35,07	54,00	-36,97	34,50	702,38	2.867 (M)	[A2M2]	--
1784	C	-14,96	41,07	56,00	-25,11	33,73	463,13	2.867 (M)	[A2M2]	--
1785	C	7,54	33,57	46,00	-10,49	48,88	755,27	2.867 (M)	[A2M2]	--
1786	C	-8,96	32,07	46,00	-21,70	33,08	458,52	2.867 (M)	[A2M2]	--
1787	C	-11,96	29,07	45,00	-25,00	30,22	476,14	2.867 (M)	[A2M2]	--
1788	C	7,54	32,07	45,00	-11,40	48,48	773,91	2.868 (M)	[A2M2]	--
1789	C	3,04	30,57	49,00	-21,46	48,93	1085,00	2.868 (M)	[A2M2]	--
1790	C	-16,46	42,57	65,00	-47,66	41,63	1099,67	2.869 (M)	[A2M2]	--
1791	C	-13,46	30,57	50,00	-35,70	33,50	721,80	2.869 (M)	[A2M2]	--
1792	C	-13,46	38,07	62,00	-46,44	43,42	1269,39	2.869 (M)	[A2M2]	--
1793	C	-16,46	48,57	71,00	-49,10	45,22	1188,25	2.869 (M)	[A2M2]	--
1794	C	-13,46	30,57	51,00	-37,78	34,56	807,39	2.869 (M)	[A2M2]	--
1795	C	-17,96	48,57	70,00	-48,39	42,56	1039,72	2.869 (M)	[A2M2]	--
1796	C	-8,96	39,57	64,00	-43,41	49,44	1473,77	2.869 (M)	[A2M2]	--
1797	C	9,04	30,57	42,00	-5,72	47,37	690,74	2.870 (M)	[A2M2]	--
1798	C	-14,96	35,07	53,00	-34,52	33,41	619,55	2.870 (M)	[A2M2]	--
1799	C	-17,96	47,07	65,00	-39,41	37,64	683,45	2.870 (M)	[A2M2]	--
1800	C	-14,96	38,07	54,00	-28,98	33,08	501,95	2.870 (M)	[A2M2]	--
1801	C	7,54	36,57	48,00	-8,27	49,58	716,71	2.870 (M)	[A2M2]	--
1802	C	-2,96	39,57	49,00	-11,09	38,47	385,05	2.870 (M)	[A2M2]	--
1803	C	-5,96	35,07	47,00	-18,99	35,75	432,57	2.870 (M)	[A2M2]	--
1804	C	9,04	29,07	41,00	-6,79	46,93	706,80	2.870 (M)	[A2M2]	--
1805	C	-14,96	35,07	57,00	-43,33	37,76	975,39	2.871 (M)	[A2M2]	--
1806	C	-10,46	39,57	64,00	-44,86	47,94	1431,71	2.871 (M)	[A2M2]	--
1807	C	-16,46	39,57	60,00	-42,77	37,53	858,01	2.871 (M)	[A2M2]	--
1808	C	-13,46	35,07	59,00	-45,59	41,42	1217,17	2.871 (M)	[A2M2]	--
1809	C	-11,96	44,07	68,00	-46,62	48,73	1409,30	2.872 (M)	[A2M2]	--
1810	C	7,54	30,57	44,00	-12,21	48,05	792,53	2.872 (M)	[A2M2]	--
1811	C	-14,96	39,57	63,00	-47,38	42,35	1198,86	2.872 (M)	[A2M2]	--
1812	C	-7,46	29,07	54,00	-39,64	44,22	1376,34	2.872 (M)	[A2M2]	--
1813	C	4,54	30,57	47,00	-19,02	48,29	955,31	2.873 (M)	[A2M2]	--
1814	C	-17,96	45,57	66,00	-45,50	39,67	898,14	2.873 (M)	[A2M2]	--
1815	C	-4,46	33,57	58,00	-37,29	49,92	1492,08	2.873 (M)	[A2M2]	--
1816	C	-11,96	47,07	60,00	-21,70	37,70	463,99	2.873 (M)	[A2M2]	--
1817	C	-11,96	33,57	58,00	-44,57	42,42	1285,08	2.873 (M)	[A2M2]	--
1818	C	-11,96	36,57	61,00	-45,46	44,47	1338,48	2.873 (M)	[A2M2]	--
1819	C	-16,46	45,57	61,00	-29,20	35,37	504,42	2.873 (M)	[A2M2]	--
1820	C	-13,46	41,07	65,00	-47,27	45,36	1319,27	2.873 (M)	[A2M2]	--
1821	C	-7,46	32,07	57,00	-40,59	46,40	1433,66	2.874 (M)	[A2M2]	--
1822	C	-16,46	44,07	60,00	-31,08	35,11	526,56	2.874 (M)	[A2M2]	--
1823	C	-14,96	42,57	66,00	-48,17	44,24	1247,90	2.874 (M)	[A2M2]	--
1824	C	9,04	32,07	43,00	-4,48	47,78	674,44	2.874 (M)	[A2M2]	--
1825	C	-8,96	32,07	57,00	-42,05	44,90	1392,41	2.874 (M)	[A2M2]	--
1826	C	-16,46	39,57	59,00	-40,50	36,42	765,40	2.874 (M)	[A2M2]	--
1827	C	-16,46	39,57	61,00	-44,89	38,64	953,90	2.875 (M)	[A2M2]	--
1828	C	-17,96	45,57	65,00	-43,12	38,52	802,29	2.875 (M)	[A2M2]	--
1829	C	-2,96	41,07	50,00	-7,20	38,69	368,92	2.875 (M)	[A2M2]	--
1830	C	-13,46	30,57	52,00	-39,75	35,62	896,71	2.876 (M)	[A2M2]	--
1831	C	7,54	38,07	49,00	-6,91	49,88	697,37	2.876 (M)	[A2M2]	--
1832	C	-7,46	36,57	49,00	-20,26	35,72	444,19	2.876 (M)	[A2M2]	--
1833	C	-1,46	30,57	40,00	-8,80	34,67	342,18	2.876 (M)	[A2M2]	--
1834	C	-13,46	30,57	48,00	-30,98	31,36	562,59	2.876 (M)	[A2M2]	--
1835	C	3,04	29,07	48,00	-21,66	48,41	1105,00	2.876 (M)	[A2M2]	--
1836	C	-5,96	29,07	54,00	-38,18	45,72	1417,44	2.876 (M)	[A2M2]	--
1837	C	-8,96	29,07	54,00	-41,10	42,72	1335,13	2.876 (M)	[A2M2]	--
1838	C	0,04	29,07	52,00	-28,98	49,62	1384,24	2.877 (M)	[A2M2]	--
1839	C	-11,96	42,57	56,00	-22,05	35,84	456,37	2.877 (M)	[A2M2]	--
1840	C	-11,96	29,07	53,00	-42,36	38,67	1150,97	2.877 (M)	[A2M2]	--
1841	C	-16,46	41,07	58,00	-34,10	34,51	571,38	2.878 (M)	[A2M2]	--
1842	C	-8,96	35,07	60,00	-42,97	46,99	1447,90	2.879 (M)	[A2M2]	--
1843	C	-13,46	48,57	72,00	-48,25	49,37	1381,54	2.879 (M)	[A2M2]	--
1844	C	-11,96	39,57	64,00	-46,32	46,44	1390,27	2.879 (M)	[A2M2]	--
1845	C	-16,46	47,07	62,00	-26,94	35,60	482,70	2.879 (M)	[A2M2]	--
1846	C	-5,96	32,07	57,00	-39,13	47,90	1475,94	2.879 (M)	[A2M2]	--
1847	C	-7,46	35,07	60,00	-41,51	48,49	1490,24	2.880 (M)	[A2M2]	--
1848	C	-17,96	45,57	67,00	-47,73	40,81	998,46	2.880 (M)	[A2M2]	--
1849	C	7,54	29,07	43,00	-12,92	47,58	810,61	2.880 (M)	[A2M2]	--
1850	C	-14,96	45,57	69,00	-48,95	46,08	1294,64	2.881 (M)	[A2M2]	--
1851	C	-11,96	30,57	46,00	-24,25	30,72	461,43	2.882 (M)	[A2M2]	--
1852	C	-11,96	38,07	52,00	-22,37	33,82	445,36	2.882 (M)	[A2M2]	--
1853	C	-7,46	29,07	43,00	-21,27	32,58	462,15	2.882 (M)	[A2M2]	--
1854	C	9,04	33,57	44,00	-3,00	48,14	658,37	2.882 (M)	[A2M2]	--
1855	C	-16,46	39,57	58,00	-38,05	35,30	677,63	2.882 (M)	[A2M2]	--
1856	C	-13,46	44,07	68,00	-48,07	47,23	1367,76	2.882 (M)	[A2M2]	--
1857	C	4,54	29,07	46,00	-19,32	47,79	974,86	2.882 (M)	[A2M2]	--
1858	C	-16,46	44,07	67,00	-49,03	43,11	1175,06	2.882 (M)	[A2M2]	--
1859	C	-17,96	45,57	64,00	-40,55	37,37	710,34	2.883 (M)	[A2M2]	--
1860	C	-10,46	32,07	57,00	-43,51	43,40	1351,34	2.883 (M)	[A2M2]	--
1861	C	-11,96	30,57	55,00	-43,66	40,29	1229,10	2.883 (M)	[A2M2]	--

N°	Forma	C_x	C_y	R	x_v	x_m	V	F_s	Caso	Sisma
		[m]	*[m]*	*[m]*	*[m]*	*[m]*	*[mc]*			
1862	C	-14,96	35,07	52,00	-31,78	32,31	541,29	2.883 (M)	[A2M2]	--
1863	C	-10,46	42,57	67,00	-45,70	49,86	1482,93	2.884 (M)	[A2M2]	--
1864	C	-16,46	42,57	59,00	-32,69	34,82	548,75	2.884 (M)	[A2M2]	--
1865	C	-10,46	35,07	60,00	-44,43	45,49	1406,82	2.884 (M)	[A2M2]	--
1866	C	-2,96	29,07	40,00	-15,98	33,84	379,02	2.884 (M)	[A2M2]	--
1867	C	-13,46	30,57	53,00	-41,62	36,68	989,71	2.884 (M)	[A2M2]	--
1868	C	-2,96	30,57	55,00	-34,91	49,29	1477,93	2.884 (M)	[A2M2]	--
1869	C	-14,96	36,57	60,00	-46,56	40,39	1149,49	2.885 (M)	[A2M2]	--
1870	C	-14,96	35,07	58,00	-45,23	38,84	1073,71	2.885 (M)	[A2M2]	--
1871	C	-8,96	33,57	47,00	-21,37	33,49	442,36	2.886 (M)	[A2M2]	--
1872	C	-1,46	29,07	53,00	-32,15	49,17	1440,27	2.886 (M)	[A2M2]	--
1873	C	-16,46	47,07	70,00	-49,77	44,91	1220,80	2.887 (M)	[A2M2]	--
1874	C	3,04	30,57	50,00	-22,15	50,00	1170,99	2.887 (M)	[A2M2]	--
1875	C	-17,96	47,07	69,00	-49,14	42,27	1071,31	2.887 (M)	[A2M2]	--
1876	C	-4,46	29,07	54,00	-36,72	47,22	1459,48	2.887 (M)	[A2M2]	--
1877	C	-16,46	39,57	62,00	-46,91	39,75	1053,91	2.887 (M)	[A2M2]	--
1878	C	-17,96	47,07	64,00	-36,36	36,47	597,67	2.888 (M)	[A2M2]	--
1879	C	-8,96	38,07	63,00	-43,86	49,01	1502,92	2.888 (M)	[A2M2]	--
1880	C	-2,96	35,07	45,00	-13,20	36,48	376,42	2.889 (M)	[A2M2]	--
1881	C	-5,96	35,07	60,00	-40,06	49,99	1531,57	2.889 (M)	[A2M2]	--
1882	C	6,04	32,07	47,00	-16,83	49,17	890,32	2.889 (M)	[A2M2]	--
1883	C	-11,96	42,57	67,00	-47,15	48,36	1440,57	2.889 (M)	[A2M2]	--
1884	C	-7,46	30,57	44,00	-20,96	33,05	446,65	2.889 (M)	[A2M2]	--
1885	C	-10,46	29,07	54,00	-42,56	41,22	1292,93	2.890 (M)	[A2M2]	--
1886	C	-13,46	32,07	56,00	-44,72	39,34	1164,30	2.891 (M)	[A2M2]	--
1887	C	-14,96	33,57	54,00	-39,95	35,13	811,85	2.891 (M)	[A2M2]	--
1888	C	-10,46	38,07	63,00	-45,32	47,51	1460,58	2.891 (M)	[A2M2]	--
1889	C	-16,46	41,07	64,00	-48,27	41,25	1128,87	2.891 (M)	[A2M2]	--
1890	C	-10,46	45,57	58,00	-21,09	37,80	454,49	2.891 (M)	[A2M2]	--
1891	C	-11,96	32,07	47,00	-23,45	31,17	445,92	2.892 (M)	[A2M2]	--
1892	C	-14,96	33,57	52,00	-35,48	32,97	640,35	2.892 (M)	[A2M2]	--
1893	C	-17,96	44,07	64,00	-44,03	38,21	830,14	2.892 (M)	[A2M2]	--
1894	C	-16,46	39,57	57,00	-35,36	34,18	594,02	2.892 (M)	[A2M2]	--
1895	C	-17,96	44,07	65,00	-46,30	39,35	927,16	2.892 (M)	[A2M2]	--
1896	C	-14,96	48,57	72,00	-49,70	47,87	1340,16	2.892 (M)	[A2M2]	--
1897	C	-10,46	29,07	44,00	-22,67	30,66	450,45	2.893 (M)	[A2M2]	--
1898	C	-14,96	33,57	53,00	-37,80	34,05	724,13	2.893 (M)	[A2M2]	--
1899	C	-13,46	36,57	61,00	-46,91	42,97	1296,00	2.893 (M)	[A2M2]	--
1900	C	-4,46	32,07	57,00	-37,67	49,40	1516,92	2.893 (M)	[A2M2]	--
1901	C	-5,96	48,57	59,00	-17,44	41,41	451,49	2.894 (M)	[A2M2]	--
1902	C	-13,46	39,57	64,00	-47,77	44,94	1348,72	2.894 (M)	[A2M2]	--
1903	C	6,04	35,07	49,00	-15,89	49,99	848,35	2.894 (M)	[A2M2]	--
1904	C	-13,46	29,07	48,00	-34,27	31,91	658,62	2.894 (M)	[A2M2]	--
1905	C	-7,46	38,07	50,00	-19,65	36,03	425,90	2.895 (M)	[A2M2]	--
1906	C	-13,46	47,07	71,00	-48,86	49,05	1414,96	2.895 (M)	[A2M2]	--
1907	C	-14,96	41,07	65,00	-48,72	43,86	1277,91	2.895 (M)	[A2M2]	--
1908	C	6,04	30,57	46,00	-17,15	48,72	910,40	2.895 (M)	[A2M2]	--
1909	C	-14,96	33,57	55,00	-41,97	36,21	903,40	2.895 (M)	[A2M2]	--
1910	C	3,04	29,07	49,00	-22,34	49,47	1191,28	2.895 (M)	[A2M2]	--
1911	C	-16,46	38,07	59,00	-43,50	37,13	883,77	2.896 (M)	[A2M2]	--
1912	C	-14,96	38,07	62,00	-47,90	41,92	1227,26	2.896 (M)	[A2M2]	--
1913	C	-17,96	48,57	65,00	-34,85	36,70	572,26	2.896 (M)	[A2M2]	--
1914	C	-5,96	41,07	52,00	-17,91	38,07	423,23	2.897 (M)	[A2M2]	--
1915	C	-16,46	38,07	58,00	-41,33	36,03	790,21	2.897 (M)	[A2M2]	--
1916	C	-11,96	35,07	60,00	-45,89	43,99	1365,38	2.897 (M)	[A2M2]	--
1917	C	-4,46	35,07	46,00	-17,14	36,12	403,87	2.897 (M)	[A2M2]	--
1918	C	-13,46	33,57	49,00	-25,20	31,20	456,19	2.897 (M)	[A2M2]	--
1919	C	-4,46	29,07	41,00	-18,05	33,43	406,35	2.897 (M)	[A2M2]	--
1920	C	-7,46	30,57	56,00	-40,94	45,84	1457,68	2.898 (M)	[A2M2]	--
1921	C	4,54	32,07	49,00	-19,76	49,84	1017,09	2.898 (M)	[A2M2]	--
1922	C	-17,96	44,07	63,00	-41,59	37,07	737,29	2.898 (M)	[A2M2]	--
1923	C	-5,96	29,07	42,00	-19,90	33,01	434,22	2.898 (M)	[A2M2]	--
1924	C	-17,96	45,57	63,00	-37,71	36,21	623,14	2.899 (M)	[A2M2]	--
1925	C	-13,46	29,07	49,00	-36,40	32,97	741,21	2.899 (M)	[A2M2]	--
1926	C	-13,46	33,57	58,00	-46,03	40,92	1242,74	2.899 (M)	[A2M2]	--
1927	C	-10,46	41,07	54,00	-21,41	35,91	446,86	2.899 (M)	[A2M2]	--
1928	C	-13,46	30,57	54,00	-43,40	37,74	1087,55	2.899 (M)	[A2M2]	--
1929	C	6,04	33,57	48,00	-16,49	49,60	869,60	2.900 (M)	[A2M2]	--
1930	C	-11,96	38,07	63,00	-46,78	46,01	1419,13	2.900 (M)	[A2M2]	--
1931	C	-14,96	44,07	68,00	-49,52	45,73	1326,39	2.900 (M)	[A2M2]	--
1932	C	-8,96	30,57	56,00	-42,40	44,34	1416,68	2.900 (M)	[A2M2]	--
1933	C	-16,46	38,07	60,00	-45,54	38,23	980,52	2.900 (M)	[A2M2]	--
1934	C	-11,96	32,07	57,00	-44,97	41,90	1308,88	2.901 (M)	[A2M2]	--
1935	C	-4,46	47,07	57,00	-16,00	41,53	440,61	2.901 (M)	[A2M2]	--
1936	C	-17,96	44,07	66,00	-48,44	40,48	1028,47	2.901 (M)	[A2M2]	--
1937	C	-13,46	42,57	67,00	-48,61	46,86	1399,01	2.901 (M)	[A2M2]	--
1938	C	-5,96	30,57	43,00	-19,38	33,46	418,76	2.901 (M)	[A2M2]	--
1939	C	-8,96	33,57	59,00	-43,36	46,49	1474,33	2.901 (M)	[A2M2]	--
1940	C	-7,46	33,57	59,00	-41,90	47,99	1516,42	2.901 (M)	[A2M2]	--

N°	Forma	C_x	C_y	R	x_v	x_m	V	F_s	Caso	Sisma
		[m]	*[m]*	*[m]*	*[m]*	*[m]*	*[mc]*			
1941	C	-14,96	33,57	56,00	-43,89	37,28	999,63	2.901 (M)	[A2M2]	--
1942	C	-10,46	41,07	66,00	-46,19	49,46	1513,69	2.902 (M)	[A2M2]	--
1943	C	9,04	30,57	43,00	-8,37	48,46	756,13	2.902 (M)	[A2M2]	--
1944	C	-7,46	42,57	54,00	-19,12	37,98	433,89	2.902 (M)	[A2M2]	--
1945	C	-13,46	32,07	48,00	-26,81	30,76	472,75	2.902 (M)	[A2M2]	--
1946	C	-16,46	38,07	57,00	-39,01	34,92	701,38	2.902 (M)	[A2M2]	--
1947	C	-1,46	29,07	38,00	-5,15	33,16	303,87	2.902 (M)	[A2M2]	--
1948	C	-5,96	30,57	56,00	-39,48	47,34	1499,99	2.902 (M)	[A2M2]	--
1949	C	-16,46	42,57	66,00	-49,62	42,74	1205,53	2.903 (M)	[A2M2]	--
1950	C	9,04	32,07	44,00	-7,38	48,88	738,63	2.903 (M)	[A2M2]	--
1951	C	-13,46	29,07	50,00	-38,40	34,02	827,57	2.903 (M)	[A2M2]	--
1952	C	-7,46	32,07	45,00	-20,64	33,48	430,90	2.903 (M)	[A2M2]	--
1953	C	6,04	29,07	45,00	-17,46	48,22	929,79	2.904 (M)	[A2M2]	--
1954	C	9,04	29,07	42,00	-9,23	48,01	773,34	2.904 (M)	[A2M2]	--
1955	C	-14,96	33,57	51,00	-32,93	31,88	560,82	2.904 (M)	[A2M2]	--
1956	C	-8,96	44,07	56,00	-20,32	37,89	444,37	2.905 (M)	[A2M2]	--
1957	C	9,04	33,57	45,00	-6,26	49,27	720,89	2.905 (M)	[A2M2]	--
1958	C	-10,46	36,57	50,00	-21,72	33,85	435,74	2.905 (M)	[A2M2]	--
1959	C	4,54	30,57	48,00	-20,07	49,36	1037,90	2.906 (M)	[A2M2]	--
1960	C	-13,46	29,07	47,00	-31,95	30,85	579,62	2.906 (M)	[A2M2]	--
1961	C	-4,46	30,57	42,00	-17,53	33,87	391,09	2.906 (M)	[A2M2]	--
1962	C	-17,96	45,57	68,00	-49,83	41,95	1102,58	2.906 (M)	[A2M2]	--
1963	C	-13,46	30,57	47,00	-28,19	30,29	488,93	2.906 (M)	[A2M2]	--
1964	C	-2,96	29,07	54,00	-35,26	48,72	1500,59	2.906 (M)	[A2M2]	--
1965	C	-2,96	36,57	46,00	-10,84	36,78	360,61	2.907 (M)	[A2M2]	--
1966	C	-10,46	33,57	59,00	-44,81	44,99	1433,00	2.908 (M)	[A2M2]	--
1967	C	-5,96	36,57	48,00	-18,40	36,08	415,14	2.908 (M)	[A2M2]	--
1968	C	-8,96	36,57	62,00	-44,28	48,55	1531,15	2.908 (M)	[A2M2]	--
1969	C	-11,96	41,07	66,00	-47,64	47,96	1471,30	2.908 (M)	[A2M2]	--
1970	C	7,54	33,57	47,00	-12,91	49,99	826,86	2.908 (M)	[A2M2]	--
1971	C	-14,96	47,07	61,00	-23,09	35,91	453,61	2.909 (M)	[A2M2]	--
1972	C	-16,46	38,07	56,00	-36,48	33,81	616,67	2.909 (M)	[A2M2]	--
1973	C	-16,46	48,57	63,00	-24,67	35,81	461,65	2.909 (M)	[A2M2]	--
1974	C	-5,96	33,57	59,00	-40,44	49,49	1557,76	2.909 (M)	[A2M2]	--
1975	C	-4,46	39,57	50,00	-16,68	38,14	412,32	2.910 (M)	[A2M2]	--
1976	C	-10,46	30,57	56,00	-43,86	42,84	1375,38	2.910 (M)	[A2M2]	--
1977	C	-2,96	30,57	41,00	-14,58	34,27	364,25	2.912 (M)	[A2M2]	--
1978	C	-17,96	42,57	63,00	-44,86	37,88	857,87	2.912 (M)	[A2M2]	--
1979	C	9,04	35,07	46,00	-4,95	49,62	703,18	2.912 (M)	[A2M2]	--
1980	C	-13,46	45,57	70,00	-49,42	48,71	1447,95	2.912 (M)	[A2M2]	--
1981	C	-10,46	30,57	45,00	-22,34	31,14	435,65	2.912 (M)	[A2M2]	--
1982	C	-10,46	36,57	62,00	-45,74	47,05	1488,79	2.912 (M)	[A2M2]	--
1983	C	-5,96	32,07	44,00	-18,83	33,88	402,81	2.912 (M)	[A2M2]	--
1984	C	-14,96	35,07	59,00	-47,05	39,92	1175,97	2.912 (M)	[A2M2]	--
1985	C	-13,46	29,07	51,00	-40,28	35,07	917,76	2.912 (M)	[A2M2]	--
1986	C	-17,96	44,07	62,00	-38,92	35,92	648,27	2.913 (M)	[A2M2]	--
1987	C	7,54	29,07	44,00	-14,95	48,66	885,09	2.913 (M)	[A2M2]	--
1988	C	-2,96	38,07	47,00	-7,07	37,04	345,86	2.913 (M)	[A2M2]	--
1989	C	-8,96	39,57	52,00	-20,75	35,97	436,66	2.914 (M)	[A2M2]	--
1990	C	-17,96	42,57	64,00	-47,04	39,01	956,07	2.914 (M)	[A2M2]	--
1991	C	-16,46	38,07	61,00	-47,49	39,33	1081,33	2.914 (M)	[A2M2]	--
1992	C	7,54	32,07	46,00	-13,67	49,58	846,77	2.914 (M)	[A2M2]	--
1993	C	-16,46	39,57	63,00	-48,83	40,85	1157,59	2.915 (M)	[A2M2]	--
1994	C	-4,46	30,57	56,00	-38,02	48,84	1540,95	2.915 (M)	[A2M2]	--
1995	C	-11,96	29,07	54,00	-44,02	39,72	1251,76	2.915 (M)	[A2M2]	--
1996	C	-16,46	41,07	57,00	-30,73	33,37	494,10	2.916 (M)	[A2M2]	--
1997	C	7,54	30,57	45,00	-14,34	49,14	866,21	2.916 (M)	[A2M2]	--
1998	C	4,54	29,07	47,00	-20,37	48,85	1057,38	2.916 (M)	[A2M2]	--
1999	C	-13,46	38,07	63,00	-48,23	44,51	1377,83	2.917 (M)	[A2M2]	--
2000	C	-14,96	33,57	57,00	-45,73	38,35	1098,63	2.917 (M)	[A2M2]	--
2001	C	-14,96	32,07	51,00	-36,35	32,50	660,71	2.917 (M)	[A2M2]	--
2002	C	-17,96	42,57	62,00	-42,54	36,75	763,44	2.918 (M)	[A2M2]	--
2003	C	-14,96	39,57	64,00	-49,23	43,44	1306,47	2.918 (M)	[A2M2]	--
2004	C	-7,46	33,57	46,00	-20,11	33,88	414,33	2.918 (M)	[A2M2]	--
2005	C	-13,46	35,07	60,00	-47,34	42,49	1322,88	2.918 (M)	[A2M2]	--
2006	C	-11,96	44,07	69,00	-48,49	49,85	1522,90	2.920 (M)	[A2M2]	--
2007	C	-14,96	32,07	52,00	-38,55	33,57	745,43	2.921 (M)	[A2M2]	--
2008	C	9,04	36,57	47,00	-3,41	49,93	685,36	2.921 (M)	[A2M2]	--
2009	C	-10,46	39,57	65,00	-46,64	49,04	1543,85	2.921 (M)	[A2M2]	--
2010	C	-14,96	36,57	61,00	-48,37	41,47	1254,82	2.921 (M)	[A2M2]	--
2011	C	-13,46	41,07	66,00	-49,10	46,46	1430,00	2.921 (M)	[A2M2]	--
2012	C	-13,46	29,07	52,00	-42,09	36,12	1011,25	2.922 (M)	[A2M2]	--
2013	C	-16,46	36,57	57,00	-42,09	35,62	814,65	2.922 (M)	[A2M2]	--
2014	C	-14,96	32,07	53,00	-40,61	34,64	834,15	2.922 (M)	[A2M2]	--
2015	C	-11,96	33,57	59,00	-46,27	43,49	1391,56	2.922 (M)	[A2M2]	--
2016	C	-14,96	42,57	57,00	-24,06	34,01	444,36	2.922 (M)	[A2M2]	--
2017	C	-11,96	36,57	62,00	-47,20	45,55	1447,33	2.923 (M)	[A2M2]	--
2018	C	-13,46	30,57	55,00	-45,12	38,79	1187,79	2.923 (M)	[A2M2]	--
2019	C	-17,96	42,57	65,00	-49,11	40,13	1058,09	2.924 (M)	[A2M2]	--

N°	Forma	C_x	C_y	R	x_v	x_m	V	F_s	Caso	Sisma
		[m]	*[m]*	*[m]*	*[m]*	*[m]*	*[mc]*			
2020	C	-16,46	38,07	55,00	-33,65	32,70	536,27	2.924 (M)	[A2M2]	--
2021	C	-7,46	29,07	55,00	-41,25	45,26	1480,82	2.924 (M)	[A2M2]	--
2022	C	-16,46	36,57	58,00	-44,17	36,71	908,39	2.924 (M)	[A2M2]	--
2023	C	-7,46	32,07	58,00	-42,24	47,45	1541,82	2.925 (M)	[A2M2]	--
2024	C	-4,46	48,57	58,00	-13,32	41,66	420,04	2.925 (M)	[A2M2]	--
2025	C	-8,96	35,07	48,00	-21,03	33,87	425,38	2.925 (M)	[A2M2]	--
2026	C	-16,46	36,57	56,00	-39,88	34,52	724,83	2.926 (M)	[A2M2]	--
2027	C	-8,96	32,07	58,00	-43,70	45,95	1499,72	2.926 (M)	[A2M2]	--
2028	C	-13,46	41,07	55,00	-22,63	34,07	436,04	2.926 (M)	[A2M2]	--
2029	C	-5,96	29,07	55,00	-39,79	46,76	1523,16	2.927 (M)	[A2M2]	--
2030	C	-8,96	29,07	55,00	-42,71	43,76	1439,85	2.928 (M)	[A2M2]	--
2031	C	-17,96	42,57	61,00	-40,02	35,61	673,71	2.928 (M)	[A2M2]	--
2032	C	-16,46	36,57	55,00	-37,49	33,42	639,04	2.928 (M)	[A2M2]	--
2033	C	-14,96	32,07	54,00	-42,55	35,71	926,31	2.929 (M)	[A2M2]	--
2034	C	-11,96	39,57	65,00	-48,09	47,54	1501,44	2.929 (M)	[A2M2]	--
2035	C	-13,46	32,07	57,00	-46,43	40,40	1267,56	2.929 (M)	[A2M2]	--
2036	C	-4,46	44,07	54,00	-15,69	39,98	417,49	2.929 (M)	[A2M2]	--
2037	C	-16,46	36,57	59,00	-46,14	37,80	1006,83	2.929 (M)	[A2M2]	--
2038	C	-16,46	39,57	56,00	-32,29	33,05	515,26	2.929 (M)	[A2M2]	--
2039	C	-8,96	48,57	60,00	-19,72	39,65	448,61	2.929 (M)	[A2M2]	--
2040	C	-5,96	45,57	56,00	-17,36	39,88	428,08	2.929 (M)	[A2M2]	--
2041	C	-14,96	32,07	50,00	-33,96	31,42	579,55	2.929 (M)	[A2M2]	--
2042	C	-11,96	30,57	56,00	-45,32	41,34	1332,90	2.930 (M)	[A2M2]	--
2043	C	-8,96	35,07	61,00	-44,66	48,06	1557,65	2.930 (M)	[A2M2]	--
2044	C	-13,46	35,07	50,00	-24,24	31,60	439,58	2.930 (M)	[A2M2]	--
2045	C	-13,46	44,07	69,00	-49,94	48,35	1480,74	2.931 (M)	[A2M2]	--
2046	C	-5,96	32,07	58,00	-40,78	48,95	1583,16	2.931 (M)	[A2M2]	--
2047	C	-13,46	45,57	59,00	-22,28	36,00	445,50	2.931 (M)	[A2M2]	--
2048	C	-7,46	35,07	61,00	-43,20	49,56	1599,83	2.932 (M)	[A2M2]	--
2049	C	-7,46	47,07	58,00	-18,55	39,77	438,51	2.932 (M)	[A2M2]	--
2050	C	6,04	30,57	47,00	-18,21	49,79	990,49	2.932 (M)	[A2M2]	--
2051	C	-13,46	29,07	46,00	-29,38	29,79	505,28	2.933 (M)	[A2M2]	--
2052	C	-10,46	32,07	58,00	-45,16	44,45	1458,39	2.934 (M)	[A2M2]	--
2053	C	-17,96	41,07	62,00	-45,63	37,52	885,29	2.934 (M)	[A2M2]	--
2054	C	-10,46	35,07	61,00	-46,12	46,56	1516,28	2.935 (M)	[A2M2]	--
2055	C	-2,96	32,07	42,00	-12,85	34,66	349,77	2.936 (M)	[A2M2]	--
2056	C	-11,96	33,57	48,00	-22,68	31,60	430,15	2.936 (M)	[A2M2]	--
2057	C	-17,96	47,07	63,00	-32,80	35,29	516,70	2.937 (M)	[A2M2]	--
2058	C	9,04	32,07	45,00	-9,90	49,98	807,31	2.937 (M)	[A2M2]	--
2059	C	-13,46	29,07	53,00	-43,81	37,17	1109,67	2.937 (M)	[A2M2]	--
2060	C	-14,96	32,07	55,00	-44,40	36,77	1022,30	2.937 (M)	[A2M2]	--
2061	C	-11,96	44,07	57,00	-21,67	36,09	436,83	2.937 (M)	[A2M2]	--
2062	C	-17,96	45,57	62,00	-34,48	35,04	540,20	2.937 (M)	[A2M2]	--
2063	C	-17,96	41,07	63,00	-47,73	38,64	984,42	2.938 (M)	[A2M2]	--
2064	C	-17,96	41,07	61,00	-43,41	36,40	789,86	2.938 (M)	[A2M2]	--
2065	C	-4,46	29,07	55,00	-38,33	48,26	1564,35	2.939 (M)	[A2M2]	--
2066	C	-11,96	42,57	68,00	-48,97	49,47	1554,02	2.939 (M)	[A2M2]	--
2067	C	-16,46	38,07	62,00	-49,35	40,42	1185,75	2.940 (M)	[A2M2]	--
2068	C	-8,96	29,07	43,00	-21,61	31,08	424,54	2.941 (M)	[A2M2]	--
2069	C	-13,46	36,57	62,00	-48,65	44,05	1406,05	2.941 (M)	[A2M2]	--
2070	C	9,04	30,57	44,00	-10,71	49,55	825,86	2.941 (M)	[A2M2]	--
2071	C	-10,46	29,07	55,00	-44,18	42,26	1397,23	2.941 (M)	[A2M2]	--
2072	C	-14,96	38,07	63,00	-49,69	43,01	1335,32	2.942 (M)	[A2M2]	--
2073	C	-10,46	38,07	64,00	-47,05	48,59	1572,41	2.942 (M)	[A2M2]	--
2074	C	-17,96	42,57	60,00	-37,25	34,47	588,34	2.942 (M)	[A2M2]	--
2075	C	-16,46	36,57	54,00	-34,86	32,32	557,36	2.942 (M)	[A2M2]	--
2076	C	-14,96	33,57	58,00	-47,49	39,42	1201,55	2.942 (M)	[A2M2]	--
2077	C	6,04	29,07	46,00	-18,50	49,29	1010,29	2.942 (M)	[A2M2]	--
2078	C	-16,46	36,57	60,00	-48,02	38,89	1108,20	2.943 (M)	[A2M2]	--
2079	C	-13,46	39,57	65,00	-49,55	46,04	1460,15	2.943 (M)	[A2M2]	--
2080	C	4,54	29,07	48,00	-21,12	49,91	1143,04	2.944 (M)	[A2M2]	--
2081	C	-17,96	48,57	64,00	-30,86	35,51	493,22	2.944 (M)	[A2M2]	--
2082	C	-16,46	42,57	58,00	-28,91	33,67	473,27	2.945 (M)	[A2M2]	--
2083	C	-13,46	33,57	59,00	-47,73	41,99	1349,30	2.946 (M)	[A2M2]	--
2084	C	9,04	29,07	43,00	-11,42	49,08	843,60	2.946 (M)	[A2M2]	--
2085	C	-14,96	30,57	50,00	-37,14	32,00	680,61	2.946 (M)	[A2M2]	--
2086	C	-11,96	35,07	61,00	-47,58	45,06	1474,82	2.947 (M)	[A2M2]	--
2087	C	-17,96	41,07	60,00	-41,02	35,28	699,14	2.947 (M)	[A2M2]	--
2088	C	-17,96	44,07	61,00	-35,94	34,77	564,26	2.947 (M)	[A2M2]	--
2089	C	-10,46	32,07	46,00	-22,00	31,58	420,27	2.948 (M)	[A2M2]	--
2090	C	-17,96	41,07	64,00	-49,72	39,75	1087,28	2.949 (M)	[A2M2]	--
2091	C	-14,96	35,07	51,00	-28,60	31,21	467,48	2.949 (M)	[A2M2]	--
2092	C	-14,96	35,07	60,00	-48,80	40,99	1281,71	2.949 (M)	[A2M2]	--
2093	C	-11,96	32,07	58,00	-46,62	42,95	1416,95	2.949 (M)	[A2M2]	--
2094	C	-16,46	35,07	56,00	-42,79	35,18	838,65	2.950 (M)	[A2M2]	--
2095	C	-4,46	45,57	55,00	-13,08	40,15	397,93	2.950 (M)	[A2M2]	--
2096	C	-7,46	30,57	57,00	-42,55	46,89	1565,21	2.950 (M)	[A2M2]	--
2097	C	-11,96	38,07	64,00	-48,51	47,09	1530,92	2.950 (M)	[A2M2]	--
2098	C	-14,96	30,57	51,00	-39,23	33,06	766,20	2.951 (M)	[A2M2]	--

N°	Forma	C_x	C_y	R	x_v	x_m	V	F_s	Caso	Sisma
		[m]	*[m]*	*[m]*	*[m]*	*[m]*	*[mc]*			
2099	C	-16,46	35,07	54,00	-38,41	33,00	661,12	2.951 (M)	[A2M2]	--
2100	C	-14,96	32,07	56,00	-46,17	37,84	1123,09	2.951 (M)	[A2M2]	--
2101	C	-11,96	39,57	53,00	-22,01	34,13	427,36	2.951 (M)	[A2M2]	--
2102	C	-16,46	44,07	59,00	-26,70	33,94	452,76	2.952 (M)	[A2M2]	--
2103	C	-8,96	30,57	57,00	-44,01	45,39	1524,26	2.952 (M)	[A2M2]	--
2104	C	-16,46	35,07	55,00	-40,67	34,09	748,06	2.953 (M)	[A2M2]	--
2105	C	-8,96	33,57	60,00	-45,00	47,55	1584,37	2.954 (M)	[A2M2]	--
2106	C	-2,96	33,57	43,00	-10,58	35,02	335,35	2.954 (M)	[A2M2]	--
2107	C	-7,46	33,57	60,00	-43,54	49,05	1626,84	2.954 (M)	[A2M2]	--
2108	C	-14,96	33,57	50,00	-30,04	30,79	485,24	2.954 (M)	[A2M2]	--
2109	C	-16,46	35,07	57,00	-44,78	36,26	933,20	2.955 (M)	[A2M2]	--
2110	C	-5,96	30,57	57,00	-41,08	48,39	1607,70	2.955 (M)	[A2M2]	--
2111	C	-10,46	42,57	55,00	-21,04	36,17	427,53	2.955 (M)	[A2M2]	--
2112	C	-4,46	41,07	51,00	-15,37	38,38	393,46	2.956 (M)	[A2M2]	--
2113	C	-4,46	47,07	56,00	-8,95	40,29	379,75	2.956 (M)	[A2M2]	--
2114	C	-11,96	48,57	61,00	-21,32	37,88	443,07	2.956 (M)	[A2M2]	--
2115	C	-14,96	30,57	52,00	-41,20	34,12	855,71	2.957 (M)	[A2M2]	--
2116	C	-17,96	41,07	59,00	-38,42	34,15	612,39	2.957 (M)	[A2M2]	--
2117	C	-4,46	32,07	43,00	-16,98	34,28	375,38	2.957 (M)	[A2M2]	--
2118	C	-10,46	38,07	51,00	-21,36	34,18	418,01	2.957 (M)	[A2M2]	--
2119	C	-14,96	32,07	49,00	-31,30	30,34	503,34	2.957 (M)	[A2M2]	--
2120	C	-2,96	29,07	55,00	-36,86	49,76	1605,25	2.957 (M)	[A2M2]	--
2121	C	-14,96	30,57	49,00	-34,88	30,93	598,50	2.957 (M)	[A2M2]	--
2122	C	-11,96	41,07	67,00	-49,41	49,06	1585,42	2.959 (M)	[A2M2]	--
2123	C	-7,46	39,57	51,00	-19,02	36,31	407,52	2.959 (M)	[A2M2]	--
2124	C	-13,46	29,07	54,00	-45,48	38,22	1210,45	2.960 (M)	[A2M2]	--
2125	C	-14,96	36,57	52,00	-26,91	31,59	449,39	2.960 (M)	[A2M2]	--
2126	C	-10,46	33,57	60,00	-46,46	46,05	1543,00	2.960 (M)	[A2M2]	--
2127	C	-4,46	36,57	47,00	-16,55	36,43	386,39	2.960 (M)	[A2M2]	--
2128	C	-8,96	36,57	63,00	-45,96	49,62	1643,73	2.960 (M)	[A2M2]	--
2129	C	-17,96	39,57	60,00	-44,21	36,03	815,97	2.961 (M)	[A2M2]	--
2130	C	-2,96	35,07	44,00	-6,94	35,33	321,77	2.961 (M)	[A2M2]	--
2131	C	-17,96	39,57	61,00	-46,34	37,14	911,86	2.961 (M)	[A2M2]	--
2132	C	-13,46	30,57	56,00	-46,78	39,84	1291,84	2.961 (M)	[A2M2]	--
2133	C	-11,96	29,07	55,00	-45,64	40,76	1356,06	2.961 (M)	[A2M2]	--
2134	C	-16,46	35,07	58,00	-46,68	37,34	1031,52	2.962 (M)	[A2M2]	--
2135	C	-10,46	30,57	57,00	-45,47	43,89	1482,93	2.962 (M)	[A2M2]	--
2136	C	10,54	29,07	41,00	-5,29	48,43	739,85	2.963 (M)	[A2M2]	--
2137	C	-16,46	35,07	53,00	-35,94	31,91	578,40	2.963 (M)	[A2M2]	--
2138	C	-17,96	39,57	62,00	-48,36	38,25	1012,33	2.964 (M)	[A2M2]	--
2139	C	-10,46	36,57	63,00	-47,42	48,12	1601,20	2.964 (M)	[A2M2]	--
2140	C	-13,46	36,57	51,00	-23,34	31,97	422,73	2.965 (M)	[A2M2]	--
2141	C	-14,96	30,57	53,00	-43,07	35,18	948,57	2.965 (M)	[A2M2]	--
2142	C	-8,96	41,07	53,00	-20,23	36,24	417,60	2.966 (M)	[A2M2]	--
2143	C	-13,46	38,07	64,00	-49,96	45,59	1489,65	2.966 (M)	[A2M2]	--
2144	C	-13,46	35,07	61,00	-49,04	43,56	1433,55	2.967 (M)	[A2M2]	--
2145	C	7,54	29,07	45,00	-16,63	49,72	963,22	2.967 (M)	[A2M2]	--
2146	C	-4,46	30,57	57,00	-39,62	49,89	1648,94	2.967 (M)	[A2M2]	--
2147	C	10,54	30,57	42,00	-4,22	48,87	723,82	2.967 (M)	[A2M2]	--
2148	C	-17,96	39,57	59,00	-41,94	34,92	724,07	2.968 (M)	[A2M2]	--
2149	C	-5,96	33,57	45,00	-18,26	34,27	386,48	2.968 (M)	[A2M2]	--
2150	C	-16,46	36,57	61,00	-49,82	39,97	1213,30	2.968 (M)	[A2M2]	--
2151	C	-5,96	38,07	49,00	-17,79	36,38	397,12	2.970 (M)	[A2M2]	--
2152	C	-14,96	44,07	58,00	-23,03	34,27	425,33	2.970 (M)	[A2M2]	--
2153	C	-8,96	30,57	44,00	-21,28	31,55	409,57	2.972 (M)	[A2M2]	--
2154	C	-7,46	35,07	47,00	-19,52	34,25	397,39	2.972 (M)	[A2M2]	--
2155	C	-10,46	47,07	59,00	-20,71	37,99	433,74	2.973 (M)	[A2M2]	--
2156	C	-11,96	33,57	60,00	-47,92	44,55	1501,53	2.973 (M)	[A2M2]	--
2157	C	-14,96	48,57	62,00	-22,46	36,10	433,41	2.974 (M)	[A2M2]	--
2158	C	-7,46	44,07	55,00	-18,46	38,19	413,95	2.974 (M)	[A2M2]	--
2159	C	-11,96	36,57	63,00	-48,88	46,62	1560,00	2.974 (M)	[A2M2]	--
2160	C	-8,96	36,57	49,00	-20,69	34,22	407,95	2.974 (M)	[A2M2]	--
2161	C	-17,96	39,57	58,00	-39,48	33,80	636,31	2.974 (M)	[A2M2]	--
2162	C	-14,96	32,07	57,00	-47,89	38,90	1226,39	2.974 (M)	[A2M2]	--
2163	C	-8,96	45,57	57,00	-19,64	38,09	423,96	2.974 (M)	[A2M2]	--
2164	C	-14,96	30,57	54,00	-44,86	36,24	1045,20	2.975 (M)	[A2M2]	--
2165	C	-13,46	32,07	58,00	-48,08	41,45	1374,69	2.975 (M)	[A2M2]	--
2166	C	-16,46	35,07	59,00	-48,50	38,42	1134,45	2.975 (M)	[A2M2]	--
2167	C	-16,46	33,57	53,00	-39,24	32,55	682,84	2.977 (M)	[A2M2]	--
2168	C	-7,46	29,07	56,00	-42,82	46,30	1588,80	2.978 (M)	[A2M2]	--
2169	C	-7,46	32,07	59,00	-43,84	48,51	1652,76	2.978 (M)	[A2M2]	--
2170	C	-4,46	42,57	52,00	-12,84	38,59	375,29	2.979 (M)	[A2M2]	--
2171	C	-8,96	32,07	59,00	-45,31	47,01	1610,25	2.979 (M)	[A2M2]	--
2172	C	-14,96	33,57	59,00	-49,19	40,49	1307,88	2.980 (M)	[A2M2]	--
2173	C	-11,96	39,57	66,00	-49,81	48,63	1616,49	2.980 (M)	[A2M2]	--
2174	C	-11,96	30,57	57,00	-46,93	42,39	1440,24	2.980 (M)	[A2M2]	--
2175	C	-16,46	33,57	54,00	-41,40	33,63	770,72	2.980 (M)	[A2M2]	--
2176	C	-5,96	29,07	56,00	-41,35	47,80	1631,32	2.981 (M)	[A2M2]	--
2177	C	-8,96	29,07	56,00	-44,28	44,80	1547,88	2.981 (M)	[A2M2]	--

N°	Forma	C_x	C_y	R	x_v	x_m	V	F_s	Caso	Sisma
		[m]	*[m]*	*[m]*	*[m]*	*[m]*	*[mc]*			
2178	C	-14,96	38,07	53,00	-24,94	31,95	431,55	2.981 (M)	[A2M2]	--
2179	C	-16,46	33,57	55,00	-43,42	34,71	862,12	2.981 (M)	[A2M2]	--
2180	C	-14,96	29,07	49,00	-37,85	31,47	699,26	2.982 (M)	[A2M2]	--
2181	C	-8,96	35,07	62,00	-46,30	49,13	1671,79	2.983 (M)	[A2M2]	--
2182	C	-11,96	35,07	49,00	-22,32	31,99	413,91	2.983 (M)	[A2M2]	--
2183	C	-14,96	30,57	48,00	-32,40	29,86	521,17	2.985 (M)	[A2M2]	--
2184	C	-5,96	42,57	53,00	-17,27	38,29	403,76	2.985 (M)	[A2M2]	--
2185	C	-14,96	29,07	50,00	-39,85	32,52	786,50	2.985 (M)	[A2M2]	--
2186	C	-10,46	32,07	59,00	-46,77	45,51	1568,89	2.986 (M)	[A2M2]	--
2187	C	-17,96	38,07	59,00	-44,94	35,63	841,71	2.987 (M)	[A2M2]	--
2188	C	-10,46	35,07	62,00	-47,76	47,63	1629,24	2.988 (M)	[A2M2]	--
2189	C	-16,46	45,57	60,00	-24,61	34,19	433,10	2.988 (M)	[A2M2]	--
2190	C	-16,46	33,57	56,00	-45,34	35,78	957,61	2.989 (M)	[A2M2]	--
2191	C	-7,46	29,07	42,00	-20,50	31,51	397,97	2.989 (M)	[A2M2]	--
2192	C	-17,96	38,07	60,00	-46,99	36,73	938,48	2.989 (M)	[A2M2]	--
2193	C	10,54	30,57	43,00	-6,87	49,96	789,25	2.989 (M)	[A2M2]	--
2194	C	-16,46	33,57	52,00	-36,91	31,47	598,58	2.990 (M)	[A2M2]	--
2195	C	-14,96	29,07	48,00	-35,71	30,41	617,02	2.990 (M)	[A2M2]	--
2196	C	-14,96	30,57	55,00	-46,58	37,29	1145,43	2.991 (M)	[A2M2]	--
2197	C	-13,46	42,57	56,00	-22,25	34,34	417,46	2.991 (M)	[A2M2]	--
2198	C	10,54	29,07	42,00	-7,73	49,51	806,39	2.991 (M)	[A2M2]	--
2199	C	-17,96	39,57	57,00	-36,77	32,68	552,84	2.992 (M)	[A2M2]	--
2200	C	-10,46	29,07	56,00	-45,75	43,30	1506,55	2.992 (M)	[A2M2]	--
2201	C	-4,46	29,07	56,00	-39,89	49,30	1672,56	2.992 (M)	[A2M2]	--
2202	C	-17,96	38,07	58,00	-42,77	34,53	748,86	2.992 (M)	[A2M2]	--
2203	C	-10,46	38,07	65,00	-48,72	49,68	1688,85	2.994 (M)	[A2M2]	--
2204	C	-17,96	38,07	61,00	-48,94	37,83	1038,91	2.994 (M)	[A2M2]	--
2205	C	-17,96	38,07	57,00	-40,44	33,42	660,16	2.995 (M)	[A2M2]	--
2206	C	-13,46	33,57	60,00	-49,38	43,05	1459,13	2.995 (M)	[A2M2]	--
2207	C	-17,96	41,07	58,00	-35,51	33,01	530,22	2.995 (M)	[A2M2]	--
2208	C	-14,96	29,07	51,00	-41,74	33,57	876,60	2.995 (M)	[A2M2]	--
2209	C	-16,46	33,57	57,00	-47,18	36,85	1056,46	2.996 (M)	[A2M2]	--
2210	C	-13,46	29,07	55,00	-47,10	39,26	1315,01	2.997 (M)	[A2M2]	--
2211	C	-17,96	42,57	59,00	-34,09	33,32	507,56	2.997 (M)	[A2M2]	--
2212	C	-4,46	38,07	48,00	-15,04	36,72	368,83	2.998 (M)	[A2M2]	--
2213	C	-13,46	47,07	60,00	-21,89	36,20	425,48	2.998 (M)	[A2M2]	--
2214	C	-11,96	35,07	62,00	-49,22	46,13	1588,06	2.999 (M)	[A2M2]	--
2215	C	-11,96	32,07	59,00	-48,23	44,01	1527,72	3.001 (M)	[A2M2]	--
2216	C	-16,46	35,07	52,00	-33,19	30,81	499,75	3.002 (M)	[A2M2]	--
2217	C	-7,46	30,57	58,00	-44,11	47,94	1676,49	3.005 (M)	[A2M2]	--
2218	C	-14,96	29,07	52,00	-43,54	34,62	970,10	3.005 (M)	[A2M2]	--
2219	C	-2,96	29,07	39,00	-12,48	32,75	321,78	3.005 (M)	[A2M2]	--
2220	C	-7,46	48,57	59,00	-17,85	39,91	417,37	3.006 (M)	[A2M2]	--
2221	C	-8,96	30,57	58,00	-45,58	46,44	1635,25	3.006 (M)	[A2M2]	--
2222	C	-13,46	30,57	57,00	-48,40	40,89	1399,23	3.007 (M)	[A2M2]	--
2223	C	-2,96	32,07	41,00	-6,80	33,54	296,80	3.007 (M)	[A2M2]	--
2224	C	-8,96	33,57	61,00	-46,60	48,61	1697,86	3.008 (M)	[A2M2]	--
2225	C	-10,46	33,57	47,00	-21,65	31,99	404,36	3.009 (M)	[A2M2]	--
2226	C	-8,96	32,07	45,00	-20,95	31,98	394,02	3.009 (M)	[A2M2]	--
2227	C	-5,96	30,57	58,00	-42,65	49,44	1718,83	3.009 (M)	[A2M2]	--
2228	C	-16,46	32,07	52,00	-39,99	32,07	703,52	3.009 (M)	[A2M2]	--
2229	C	-5,96	29,07	41,00	-18,65	31,93	371,59	3.009 (M)	[A2M2]	--
2230	C	-17,96	38,07	56,00	-37,90	32,31	575,36	3.010 (M)	[A2M2]	--
2231	C	-16,46	33,57	58,00	-48,95	37,92	1158,94	3.011 (M)	[A2M2]	--
2232	C	-16,46	32,07	53,00	-42,05	33,14	792,85	3.011 (M)	[A2M2]	--
2233	C	-14,96	30,57	56,00	-48,24	38,34	1250,43	3.012 (M)	[A2M2]	--
2234	C	-14,96	32,07	58,00	-49,54	39,95	1333,27	3.012 (M)	[A2M2]	--
2235	C	-11,96	29,07	56,00	-47,21	41,80	1463,85	3.013 (M)	[A2M2]	--
2236	C	-17,96	44,07	60,00	-32,47	33,61	485,18	3.013 (M)	[A2M2]	--
2237	C	-10,46	33,57	61,00	-48,06	47,11	1656,46	3.013 (M)	[A2M2]	--
2238	C	-11,96	41,07	54,00	-21,63	34,41	408,99	3.014 (M)	[A2M2]	--
2239	C	-10,46	30,57	58,00	-47,04	44,94	1593,89	3.015 (M)	[A2M2]	--
2240	C	-14,96	29,07	53,00	-45,27	35,67	1067,53	3.016 (M)	[A2M2]	--
2241	C	-17,96	36,57	58,00	-45,62	35,21	867,18	3.016 (M)	[A2M2]	--
2242	C	-16,46	32,07	54,00	-44,00	34,21	885,01	3.016 (M)	[A2M2]	--
2243	C	-14,96	29,07	47,00	-33,39	29,35	538,66	3.017 (M)	[A2M2]	--
2244	C	-7,46	30,57	43,00	-19,95	31,96	383,03	3.017 (M)	[A2M2]	--
2245	C	-10,46	36,57	64,00	-49,06	49,20	1717,11	3.017 (M)	[A2M2]	--
2246	C	-17,96	36,57	56,00	-41,32	33,02	683,60	3.018 (M)	[A2M2]	--
2247	C	-17,96	36,57	57,00	-43,53	34,12	773,27	3.019 (M)	[A2M2]	--
2248	C	-16,46	32,07	51,00	-37,79	31,00	618,93	3.019 (M)	[A2M2]	--
2249	C	-4,46	33,57	44,00	-16,41	34,64	359,32	3.019 (M)	[A2M2]	--
2250	C	-5,96	47,07	57,00	-16,68	40,03	407,38	3.019 (M)	[A2M2]	--
2251	C	-16,46	33,57	51,00	-34,36	30,38	519,25	3.020 (M)	[A2M2]	--
2252	C	-17,96	36,57	59,00	-47,59	36,30	964,59	3.020 (M)	[A2M2]	--
2253	C	-2,96	30,57	40,00	-10,30	33,17	308,90	3.023 (M)	[A2M2]	--
2254	C	-4,46	39,57	49,00	-12,59	36,97	351,80	3.023 (M)	[A2M2]	--
2255	C	-11,96	45,57	58,00	-21,29	36,30	416,98	3.024 (M)	[A2M2]	--
2256	C	-17,96	45,57	61,00	-30,57	33,87	463,05	3.024 (M)	[A2M2]	--

N°	Forma	C_x	C_y	R	x_v	x_m	V	F_s	Caso	Sisma
		[m]	*[m]*	*[m]*	*[m]*	*[m]*	*[mc]*			
2257	C	-14,96	39,57	54,00	-23,98	32,27	413,82	3.024 (M)	[A2M2]	--
2258	C	-13,46	32,07	59,00	-49,69	42,51	1485,02	3.025 (M)	[A2M2]	--
2259	C	-16,46	32,07	55,00	-45,85	35,27	981,22	3.026 (M)	[A2M2]	--
2260	C	-11,96	33,57	61,00	-49,53	45,61	1615,31	3.026 (M)	[A2M2]	--
2261	C	-17,96	36,57	60,00	-49,47	37,39	1065,76	3.026 (M)	[A2M2]	--
2262	C	-16,46	36,57	53,00	-31,88	31,21	480,17	3.027 (M)	[A2M2]	--
2263	C	-13,46	38,07	52,00	-22,60	32,32	405,69	3.030 (M)	[A2M2]	--
2264	C	-5,96	35,07	46,00	-17,67	34,62	369,79	3.031 (M)	[A2M2]	--
2265	C	-11,96	30,57	58,00	-48,50	43,44	1552,75	3.032 (M)	[A2M2]	--
2266	C	-14,96	29,07	54,00	-46,94	36,72	1168,11	3.032 (M)	[A2M2]	--
2267	C	-7,46	32,07	60,00	-45,40	49,56	1766,89	3.033 (M)	[A2M2]	--
2268	C	-7,46	29,07	57,00	-44,34	47,34	1700,52	3.033 (M)	[A2M2]	--
2269	C	-10,46	39,57	52,00	-21,00	34,47	399,88	3.033 (M)	[A2M2]	--
2270	C	-16,46	32,07	56,00	-47,63	36,34	1080,70	3.033 (M)	[A2M2]	--
2271	C	-17,96	36,57	55,00	-38,92	31,92	597,19	3.033 (M)	[A2M2]	--
2272	C	-8,96	32,07	60,00	-46,87	48,06	1724,21	3.034 (M)	[A2M2]	--
2273	C	-8,96	29,07	57,00	-45,81	45,84	1659,29	3.036 (M)	[A2M2]	--
2274	C	-5,96	29,07	57,00	-42,88	48,84	1742,87	3.036 (M)	[A2M2]	--
2275	C	-8,96	42,57	54,00	-19,56	36,48	398,51	3.037 (M)	[A2M2]	--
2276	C	-11,96	36,57	50,00	-21,96	32,35	397,20	3.039 (M)	[A2M2]	--
2277	C	-16,46	38,07	54,00	-30,37	31,58	460,84	3.039 (M)	[A2M2]	--
2278	C	-5,96	39,57	50,00	-17,16	36,64	378,84	3.040 (M)	[A2M2]	--
2279	C	-7,46	36,57	48,00	-18,91	34,58	380,10	3.040 (M)	[A2M2]	--
2280	C	-10,46	32,07	60,00	-48,33	46,56	1682,82	3.041 (M)	[A2M2]	--
2281	C	-13,46	29,07	56,00	-48,67	40,30	1422,87	3.041 (M)	[A2M2]	--
2282	C	-10,46	44,07	56,00	-20,67	36,39	407,88	3.041 (M)	[A2M2]	--
2283	C	-10,46	35,07	63,00	-49,36	48,70	1745,65	3.042 (M)	[A2M2]	--
2284	C	-13,46	29,07	45,00	-26,40	28,72	435,33	3.043 (M)	[A2M2]	--
2285	C	-16,46	30,57	51,00	-40,68	31,56	724,32	3.043 (M)	[A2M2]	--
2286	C	-16,46	47,07	61,00	-23,51	34,41	413,43	3.044 (M)	[A2M2]	--
2287	C	-16,46	39,57	55,00	-28,61	31,91	441,36	3.044 (M)	[A2M2]	--
2288	C	-8,96	38,07	50,00	-20,13	34,53	390,13	3.045 (M)	[A2M2]	--
2289	C	-17,96	35,07	55,00	-42,11	32,59	706,67	3.046 (M)	[A2M2]	--
2290	C	-16,46	30,57	52,00	-42,65	32,62	814,39	3.046 (M)	[A2M2]	--
2291	C	-10,46	29,07	57,00	-47,28	44,34	1617,94	3.046 (M)	[A2M2]	--
2292	C	-17,96	35,07	56,00	-44,23	33,68	797,23	3.047 (M)	[A2M2]	--
2293	C	-4,46	35,07	45,00	-14,70	34,98	343,27	3.047 (M)	[A2M2]	--
2294	C	-16,46	32,07	50,00	-35,39	29,92	538,59	3.048 (M)	[A2M2]	--
2295	C	-14,96	30,57	57,00	-49,86	39,39	1357,82	3.048 (M)	[A2M2]	--
2296	C	-17,96	35,07	57,00	-46,23	34,76	891,98	3.048 (M)	[A2M2]	--
2297	C	-7,46	45,57	56,00	-17,78	38,38	393,88	3.049 (M)	[A2M2]	--
2298	C	-4,46	29,07	40,00	-16,81	32,34	345,57	3.049 (M)	[A2M2]	--
2299	C	-16,46	32,07	57,00	-49,35	37,40	1183,77	3.049 (M)	[A2M2]	--
2300	C	-7,46	41,07	52,00	-18,37	36,57	388,75	3.049 (M)	[A2M2]	--
2301	C	-17,96	47,07	62,00	-28,28	34,10	441,43	3.049 (M)	[A2M2]	--
2302	C	-13,46	30,57	46,00	-24,93	29,22	420,49	3.050 (M)	[A2M2]	--
2303	C	-16,46	30,57	50,00	-38,58	30,50	638,83	3.052 (M)	[A2M2]	--
2304	C	-16,46	41,07	56,00	-26,46	32,23	422,18	3.052 (M)	[A2M2]	--
2305	C	-17,96	48,57	63,00	-25,26	34,31	420,71	3.052 (M)	[A2M2]	--
2306	C	-8,96	47,07	58,00	-18,95	38,27	403,41	3.053 (M)	[A2M2]	--
2307	C	-17,96	35,07	58,00	-48,13	35,84	990,14	3.054 (M)	[A2M2]	--
2308	C	-11,96	32,07	60,00	-49,80	45,06	1641,69	3.055 (M)	[A2M2]	--
2309	C	-16,46	30,57	53,00	-44,52	33,68	907,25	3.056 (M)	[A2M2]	--
2310	C	-14,96	29,07	55,00	-48,56	37,76	1272,19	3.056 (M)	[A2M2]	--
2311	C	-10,46	48,57	60,00	-20,10	38,15	412,79	3.056 (M)	[A2M2]	--
2312	C	-14,96	45,57	59,00	-22,44	34,50	406,22	3.056 (M)	[A2M2]	--
2313	C	-13,46	30,57	58,00	-49,97	41,94	1510,03	3.057 (M)	[A2M2]	--
2314	C	-11,96	29,07	44,00	-23,28	29,16	410,25	3.058 (M)	[A2M2]	--
2315	C	-5,96	44,07	54,00	-16,60	38,48	384,14	3.059 (M)	[A2M2]	--
2316	C	-17,96	35,07	54,00	-39,84	31,50	619,38	3.059 (M)	[A2M2]	--
2317	C	-7,46	30,57	59,00	-45,64	48,99	1792,34	3.060 (M)	[A2M2]	--
2318	C	-17,96	35,07	59,00	-49,96	36,92	1092,00	3.061 (M)	[A2M2]	--
2319	C	-10,46	35,07	48,00	-21,30	32,37	387,95	3.061 (M)	[A2M2]	--
2320	C	-8,96	30,57	59,00	-47,10	47,49	1749,63	3.062 (M)	[A2M2]	--
2321	C	-8,96	33,57	62,00	-48,16	49,67	1816,10	3.062 (M)	[A2M2]	--
2322	C	-16,46	30,57	54,00	-46,32	34,74	1004,13	3.065 (M)	[A2M2]	--
2323	C	-5,96	30,57	42,00	-18,10	32,37	356,74	3.065 (M)	[A2M2]	--
2324	C	-11,96	29,07	57,00	-48,74	42,84	1575,36	3.066 (M)	[A2M2]	--
2325	C	-10,46	33,57	62,00	-49,63	48,17	1773,70	3.068 (M)	[A2M2]	--
2326	C	-5,96	48,57	58,00	-14,82	40,16	386,79	3.069 (M)	[A2M2]	--
2327	C	-10,46	30,57	59,00	-48,57	45,99	1708,25	3.070 (M)	[A2M2]	--
2328	C	-7,46	32,07	44,00	-19,38	32,38	367,52	3.072 (M)	[A2M2]	--
2329	C	-4,46	36,57	46,00	-12,34	35,28	327,50	3.072 (M)	[A2M2]	--
2330	C	-17,96	36,57	54,00	-36,28	30,82	515,82	3.073 (M)	[A2M2]	--
2331	C	-13,46	32,07	47,00	-24,10	29,67	405,37	3.073 (M)	[A2M2]	--
2332	C	-16,46	30,57	55,00	-48,04	35,79	1104,20	3.075 (M)	[A2M2]	--
2333	C	-14,96	41,07	55,00	-22,96	32,57	395,99	3.075 (M)	[A2M2]	--
2334	C	-4,46	30,57	41,00	-16,08	32,77	331,20	3.076 (M)	[A2M2]	--
2335	C	-8,96	33,57	46,00	-20,62	32,38	377,95	3.077 (M)	[A2M2]	--

N°	Forma	C_x	C_y	R	x_v	x_m	V	F_s	Caso	Sisma
		[m]	[m]	[m]	[m]	[m]	[mc]			
2336	C	-17,96	33,57	54,00	-42,84	32,13	728,63	3.078 (M)	[A2M2]	--
2337	C	-17,96	33,57	55,00	-44,87	33,21	820,85	3.079 (M)	[A2M2]	--
2338	C	-16,46	30,57	49,00	-36,32	29,43	557,41	3.080 (M)	[A2M2]	--
2339	C	-13,46	44,07	57,00	-21,86	34,59	398,54	3.081 (M)	[A2M2]	--
2340	C	-16,46	29,07	50,00	-41,30	31,02	744,52	3.082 (M)	[A2M2]	--
2341	C	-14,96	29,07	46,00	-30,80	28,29	464,23	3.083 (M)	[A2M2]	--
2342	C	-17,96	33,57	56,00	-46,79	34,28	916,21	3.084 (M)	[A2M2]	--
2343	C	-11,96	30,57	45,00	-22,62	29,64	395,95	3.084 (M)	[A2M2]	--
2344	C	-16,46	29,07	51,00	-43,19	32,07	834,33	3.087 (M)	[A2M2]	--
2345	C	-2,96	29,07	38,00	-6,65	31,66	270,63	3.089 (M)	[A2M2]	--
2346	C	-17,96	33,57	53,00	-40,68	31,05	641,11	3.089 (M)	[A2M2]	--
2347	C	-7,46	29,07	58,00	-45,84	48,38	1815,31	3.089 (M)	[A2M2]	--
2348	C	-8,96	32,07	61,00	-48,40	49,11	1841,54	3.090 (M)	[A2M2]	--
2349	C	-16,46	30,57	56,00	-49,70	36,84	1207,81	3.090 (M)	[A2M2]	--
2350	C	-16,46	29,07	49,00	-39,29	29,97	658,33	3.091 (M)	[A2M2]	--
2351	C	-17,96	33,57	57,00	-48,63	35,35	1015,07	3.091 (M)	[A2M2]	--
2352	C	-17,96	35,07	53,00	-37,37	30,41	536,74	3.091 (M)	[A2M2]	--
2353	C	-8,96	29,07	58,00	-47,31	46,88	1774,06	3.092 (M)	[A2M2]	--
2354	C	-5,96	29,07	58,00	-44,37	49,88	1858,14	3.092 (M)	[A2M2]	--
2355	C	-13,46	48,57	61,00	-21,49	36,38	405,20	3.094 (M)	[A2M2]	--
2356	C	-16,46	42,57	57,00	-24,55	32,51	403,54	3.096 (M)	[A2M2]	--
2357	C	-10,46	32,07	61,00	-49,86	47,61	1800,51	3.096 (M)	[A2M2]	--
2358	C	-13,46	39,57	53,00	-22,22	32,63	388,32	3.098 (M)	[A2M2]	--
2359	C	-17,96	38,07	55,00	-35,07	31,20	494,81	3.098 (M)	[A2M2]	--
2360	C	-16,46	29,07	52,00	-45,00	33,12	928,96	3.099 (M)	[A2M2]	--
2361	C	-5,96	36,57	47,00	-17,05	34,93	352,84	3.100 (M)	[A2M2]	--
2362	C	-4,46	32,07	42,00	-14,35	33,16	316,52	3.101 (M)	[A2M2]	--
2363	C	-10,46	29,07	58,00	-48,77	45,38	1733,05	3.102 (M)	[A2M2]	--
2364	C	-11,96	42,57	55,00	-21,26	34,67	390,28	3.103 (M)	[A2M2]	--
2365	C	-14,96	32,07	48,00	-28,21	29,26	431,50	3.103 (M)	[A2M2]	--
2366	C	-5,96	32,07	43,00	-17,53	32,78	341,69	3.103 (M)	[A2M2]	--
2367	C	-5,96	45,57	55,00	-14,58	38,65	364,80	3.106 (M)	[A2M2]	--
2368	C	-16,46	29,07	53,00	-46,73	34,17	1026,26	3.108 (M)	[A2M2]	--
2369	C	-7,46	38,07	49,00	-18,27	34,88	362,56	3.109 (M)	[A2M2]	--
2370	C	-17,96	39,57	56,00	-33,70	31,55	474,03	3.111 (M)	[A2M2]	--
2371	C	-14,96	30,57	47,00	-29,60	28,79	447,97	3.111 (M)	[A2M2]	--
2372	C	-17,96	32,07	53,00	-43,50	31,64	750,77	3.113 (M)	[A2M2]	--
2373	C	-11,96	47,07	59,00	-20,90	36,49	397,02	3.115 (M)	[A2M2]	--
2374	C	-5,96	41,07	51,00	-16,51	36,88	360,36	3.116 (M)	[A2M2]	--
2375	C	-17,96	32,07	54,00	-45,45	32,71	842,81	3.116 (M)	[A2M2]	--
2376	C	-17,96	41,07	57,00	-32,12	31,87	453,03	3.117 (M)	[A2M2]	--
2377	C	-14,96	33,57	49,00	-26,58	29,70	414,97	3.117 (M)	[A2M2]	--
2378	C	-8,96	44,07	55,00	-18,88	36,69	379,06	3.117 (M)	[A2M2]	--
2379	C	-16,46	29,07	48,00	-37,15	28,91	575,87	3.118 (M)	[A2M2]	--
2380	C	-8,96	39,57	51,00	-19,48	34,81	372,12	3.118 (M)	[A2M2]	--
2381	C	-8,96	30,57	60,00	-48,60	48,53	1867,36	3.119 (M)	[A2M2]	--
2382	C	-17,96	33,57	52,00	-38,35	29,97	557,40	3.119 (M)	[A2M2]	--
2383	C	-16,46	29,07	54,00	-48,40	35,22	1126,87	3.120 (M)	[A2M2]	--
2384	C	-10,46	41,07	53,00	-20,63	34,74	381,39	3.120 (M)	[A2M2]	--
2385	C	-10,46	29,07	43,00	-21,92	29,58	386,17	3.121 (M)	[A2M2]	--
2386	C	-11,96	38,07	51,00	-21,59	32,68	380,07	3.122 (M)	[A2M2]	--
2387	C	-10,46	45,57	57,00	-20,04	36,59	388,17	3.123 (M)	[A2M2]	--
2388	C	-17,96	32,07	55,00	-47,31	33,77	939,80	3.123 (M)	[A2M2]	--
2389	C	-17,96	32,07	52,00	-41,44	30,57	662,39	3.123 (M)	[A2M2]	--
2390	C	-14,96	35,07	50,00	-24,83	30,10	398,59	3.126 (M)	[A2M2]	--
2391	C	-13,46	33,57	48,00	-23,22	30,10	389,94	3.129 (M)	[A2M2]	--
2392	C	-7,46	42,57	53,00	-17,70	36,79	369,84	3.129 (M)	[A2M2]	--
2393	C	-16,46	48,57	62,00	-22,60	34,60	393,84	3.129 (M)	[A2M2]	--
2394	C	-17,96	32,07	56,00	-49,09	34,84	1039,30	3.130 (M)	[A2M2]	--
2395	C	-11,96	32,07	46,00	-22,27	30,08	381,13	3.131 (M)	[A2M2]	--
2396	C	-7,46	33,57	45,00	-18,78	32,77	351,82	3.138 (M)	[A2M2]	--
2397	C	-8,96	48,57	59,00	-18,23	38,41	382,82	3.138 (M)	[A2M2]	--
2398	C	-10,46	36,57	49,00	-20,95	32,72	371,10	3.141 (M)	[A2M2]	--
2399	C	-7,46	29,07	59,00	-47,30	49,42	1935,09	3.146 (M)	[A2M2]	--
2400	C	-8,96	35,07	47,00	-20,02	32,75	361,47	3.146 (M)	[A2M2]	--
2401	C	-16,46	30,57	48,00	-33,83	28,36	480,00	3.146 (M)	[A2M2]	--
2402	C	-17,96	42,57	58,00	-30,28	32,17	432,16	3.147 (M)	[A2M2]	--
2403	C	-8,96	29,07	59,00	-48,77	47,92	1892,16	3.149 (M)	[A2M2]	--
2404	C	-4,46	33,57	43,00	-12,08	33,52	302,10	3.149 (M)	[A2M2]	--
2405	C	-17,96	30,57	52,00	-44,10	31,12	772,48	3.152 (M)	[A2M2]	--
2406	C	-7,46	47,07	57,00	-17,07	38,53	373,71	3.152 (M)	[A2M2]	--
2407	C	-17,96	32,07	51,00	-39,23	29,50	577,81	3.153 (M)	[A2M2]	--
2408	C	-16,46	44,07	58,00	-23,46	32,77	385,01	3.155 (M)	[A2M2]	--
2409	C	-14,96	47,07	60,00	-22,04	34,70	386,86	3.155 (M)	[A2M2]	--
2410	C	-17,96	30,57	53,00	-45,98	32,18	865,08	3.155 (M)	[A2M2]	--
2411	C	-17,96	44,07	59,00	-28,05	32,44	411,75	3.158 (M)	[A2M2]	--
2412	C	-5,96	42,57	52,00	-14,34	37,09	342,04	3.159 (M)	[A2M2]	--
2413	C	-10,46	30,57	44,00	-21,58	30,05	371,71	3.160 (M)	[A2M2]	--
2414	C	-17,96	45,57	60,00	-25,11	32,69	392,03	3.162 (M)	[A2M2]	--

N°	Forma	C_x	C_y	R	x_v	x_m	V	F_s	Caso	Sisma
		[m]	*[m]*	*[m]*	*[m]*	*[m]*	*[mc]*			
2415	C	-17,96	30,57	51,00	-42,12	30,06	683,14	3.162 (M)	[A2M2]	--
2416	C	-17,96	30,57	54,00	-47,77	33,24	962,69	3.167 (M)	[A2M2]	--
2417	C	-16,46	33,57	50,00	-31,45	29,29	444,26	3.167 (M)	[A2M2]	--
2418	C	-14,96	42,57	56,00	-22,42	32,84	378,04	3.168 (M)	[A2M2]	--
2419	C	-14,96	36,57	51,00	-23,89	30,47	382,48	3.168 (M)	[A2M2]	--
2420	C	-5,96	33,57	44,00	-16,93	33,14	326,02	3.169 (M)	[A2M2]	--
2421	C	-17,96	30,57	55,00	-49,50	34,29	1062,78	3.174 (M)	[A2M2]	--
2422	C	-16,46	32,07	49,00	-32,72	28,84	462,25	3.175 (M)	[A2M2]	--
2423	C	-5,96	38,07	48,00	-16,41	35,22	335,56	3.176 (M)	[A2M2]	--
2424	C	-13,46	35,07	49,00	-22,56	30,49	374,51	3.177 (M)	[A2M2]	--
2425	C	-13,46	45,57	58,00	-21,47	34,80	379,34	3.179 (M)	[A2M2]	--
2426	C	-16,46	35,07	51,00	-30,00	29,71	426,14	3.182 (M)	[A2M2]	--
2427	C	-7,46	35,07	46,00	-18,16	33,12	335,58	3.185 (M)	[A2M2]	--
2428	C	-11,96	33,57	47,00	-21,91	30,49	366,07	3.186 (M)	[A2M2]	--
2429	C	-16,46	36,57	52,00	-28,29	30,09	408,12	3.186 (M)	[A2M2]	--
2430	C	-16,46	29,07	47,00	-34,82	27,85	497,02	3.187 (M)	[A2M2]	--
2431	C	-8,96	29,07	42,00	-20,87	30,01	361,41	3.187 (M)	[A2M2]	--
2432	C	-13,46	41,07	54,00	-21,83	32,91	370,57	3.190 (M)	[A2M2]	--
2433	C	-7,46	39,57	50,00	-17,61	35,14	344,77	3.190 (M)	[A2M2]	--
2434	C	-17,96	30,57	50,00	-40,02	29,00	597,67	3.191 (M)	[A2M2]	--
2435	C	-16,46	38,07	53,00	-26,22	30,45	390,33	3.194 (M)	[A2M2]	--
2436	C	-17,96	29,07	51,00	-44,64	30,57	793,39	3.196 (M)	[A2M2]	--
2437	C	-8,96	36,57	48,00	-19,38	33,08	344,89	3.198 (M)	[A2M2]	--
2438	C	-8,96	41,07	52,00	-18,80	35,07	353,82	3.198 (M)	[A2M2]	--
2439	C	-11,96	44,07	56,00	-20,88	34,89	371,25	3.199 (M)	[A2M2]	--
2440	C	-17,96	29,07	52,00	-46,45	31,62	886,65	3.199 (M)	[A2M2]	--
2441	C	-10,46	42,57	54,00	-19,97	34,98	362,64	3.202 (M)	[A2M2]	--
2442	C	-17,96	29,07	50,00	-42,74	29,52	703,29	3.206 (M)	[A2M2]	--
2443	C	-10,46	38,07	50,00	-20,58	33,03	353,83	3.206 (M)	[A2M2]	--
2444	C	-10,46	32,07	45,00	-21,24	30,48	357,01	3.210 (M)	[A2M2]	--
2445	C	-11,96	39,57	52,00	-21,22	32,97	362,55	3.211 (M)	[A2M2]	--
2446	C	-5,96	39,57	49,00	-14,09	35,47	318,64	3.212 (M)	[A2M2]	--
2447	C	-11,96	48,57	60,00	-20,45	36,65	376,66	3.212 (M)	[A2M2]	--
2448	C	-17,96	29,07	53,00	-48,19	32,67	983,62	3.213 (M)	[A2M2]	--
2449	C	-10,46	47,07	58,00	-19,31	36,77	368,19	3.213 (M)	[A2M2]	--
2450	C	-4,46	29,07	39,00	-13,98	31,25	288,51	3.216 (M)	[A2M2]	--
2451	C	-7,46	29,07	41,00	-19,22	30,43	336,64	3.218 (M)	[A2M2]	--
2452	C	-7,46	44,07	54,00	-17,01	36,98	350,74	3.219 (M)	[A2M2]	--
2453	C	-14,96	38,07	52,00	-22,89	30,82	365,93	3.221 (M)	[A2M2]	--
2454	C	-17,96	29,07	54,00	-49,86	33,72	1085,45	3.221 (M)	[A2M2]	--
2455	C	-8,96	30,57	43,00	-20,50	30,46	347,12	3.227 (M)	[A2M2]	--
2456	C	-8,96	45,57	56,00	-18,17	36,88	359,52	3.228 (M)	[A2M2]	--
2457	C	-17,96	32,07	50,00	-36,82	28,42	497,31	3.229 (M)	[A2M2]	--
2458	C	-5,96	29,07	40,00	-17,38	30,84	312,03	3.235 (M)	[A2M2]	--
2459	C	-17,96	29,07	49,00	-40,74	28,47	616,99	3.235 (M)	[A2M2]	--
2460	C	-4,46	30,57	40,00	-11,80	31,67	275,81	3.242 (M)	[A2M2]	--
2461	C	-17,96	47,07	61,00	-23,89	32,91	372,91	3.242 (M)	[A2M2]	--
2462	C	-5,96	35,07	45,00	-16,20	33,48	310,02	3.243 (M)	[A2M2]	--
2463	C	-16,46	39,57	54,00	-24,48	30,77	373,21	3.244 (M)	[A2M2]	--
2464	C	-16,46	45,57	59,00	-22,59	33,00	366,51	3.246 (M)	[A2M2]	--
2465	C	-13,46	36,57	50,00	-22,18	30,85	358,43	3.246 (M)	[A2M2]	--
2466	C	-7,46	48,57	58,00	-16,32	38,66	353,48	3.247 (M)	[A2M2]	--
2467	C	-14,96	44,07	57,00	-22,03	33,09	359,78	3.250 (M)	[A2M2]	--
2468	C	-7,46	30,57	42,00	-18,65	30,87	322,18	3.256 (M)	[A2M2]	--
2469	C	-17,96	35,07	52,00	-34,61	29,31	458,72	3.259 (M)	[A2M2]	--
2470	C	-14,96	48,57	61,00	-21,64	34,88	367,24	3.267 (M)	[A2M2]	--
2471	C	-17,96	30,57	49,00	-37,75	27,93	515,61	3.268 (M)	[A2M2]	--
2472	C	-8,96	32,07	44,00	-19,90	30,88	332,06	3.268 (M)	[A2M2]	--
2473	C	-17,96	33,57	51,00	-35,78	28,88	478,11	3.268 (M)	[A2M2]	--
2474	C	-7,46	36,57	47,00	-17,52	33,43	319,11	3.269 (M)	[A2M2]	--
2475	C	-11,96	35,07	48,00	-21,55	30,87	350,27	3.272 (M)	[A2M2]	--
2476	C	-13,46	42,57	55,00	-21,45	33,17	352,49	3.273 (M)	[A2M2]	--
2477	C	-17,96	36,57	53,00	-33,29	29,71	439,07	3.277 (M)	[A2M2]	--
2478	C	-7,46	41,07	51,00	-16,93	35,38	326,80	3.280 (M)	[A2M2]	--
2479	C	-8,96	38,07	49,00	-18,72	33,38	327,81	3.281 (M)	[A2M2]	--
2480	C	-17,96	38,07	54,00	-31,77	30,08	419,48	3.284 (M)	[A2M2]	--
2481	C	-13,46	47,07	59,00	-21,07	34,99	359,87	3.286 (M)	[A2M2]	--
2482	C	-10,46	33,57	46,00	-20,89	30,88	341,51	3.289 (M)	[A2M2]	--
2483	C	-8,96	42,57	53,00	-18,10	35,29	335,39	3.290 (M)	[A2M2]	--
2484	C	-10,46	39,57	51,00	-19,90	33,31	336,46	3.290 (M)	[A2M2]	--
2485	C	-11,96	41,07	53,00	-20,84	33,24	344,85	3.291 (M)	[A2M2]	--
2486	C	-17,96	39,57	55,00	-29,98	30,41	400,01	3.297 (M)	[A2M2]	--
2487	C	-10,46	44,07	55,00	-19,26	35,19	343,79	3.299 (M)	[A2M2]	--
2488	C	-11,96	45,57	57,00	-20,40	35,09	351,95	3.301 (M)	[A2M2]	--
2489	C	-5,96	36,57	46,00	-13,84	33,78	294,21	3.302 (M)	[A2M2]	--
2490	C	-5,96	30,57	41,00	-16,80	31,27	297,80	3.304 (M)	[A2M2]	--
2491	C	-16,46	41,07	55,00	-23,41	31,07	355,94	3.306 (M)	[A2M2]	--
2492	C	-17,96	29,07	48,00	-38,59	27,41	534,22	3.307 (M)	[A2M2]	--
2493	C	-17,96	41,07	56,00	-27,81	30,73	380,89	3.307 (M)	[A2M2]	--

N°	Forma	C_x	C_y	R	x_v	x_m	V	F_s	Caso	Sisma
		[m]	*[m]*	*[m]*	*[m]*	*[m]*	*[mc]*			
2494	C	-13,46	29,07	44,00	-23,95	27,66	370,17	3.310 (M)	[A2M2]	--
2495	C	-17,96	42,57	57,00	-24,99	31,01	362,66	3.311 (M)	[A2M2]	--
2496	C	-7,46	45,57	55,00	-16,08	37,15	331,55	3.313 (M)	[A2M2]	--
2497	C	-10,46	48,57	59,00	-18,56	36,91	348,13	3.313 (M)	[A2M2]	--
2498	C	-14,96	39,57	53,00	-22,40	31,13	349,19	3.320 (M)	[A2M2]	--
2499	C	-17,96	48,57	62,00	-22,71	33,10	353,90	3.321 (M)	[A2M2]	--
2500	C	-14,96	30,57	46,00	-26,24	27,72	379,51	3.323 (M)	[A2M2]	--
2501	C	-7,46	32,07	43,00	-18,05	31,28	307,34	3.325 (M)	[A2M2]	--
2502	C	-14,96	29,07	45,00	-27,81	27,22	394,02	3.332 (M)	[A2M2]	--
2503	C	-8,96	47,07	57,00	-17,43	37,03	339,94	3.335 (M)	[A2M2]	--
2504	C	-14,96	32,07	47,00	-24,71	28,17	364,72	3.335 (M)	[A2M2]	--
2505	C	-11,96	36,57	49,00	-21,18	31,22	334,01	3.341 (M)	[A2M2]	--
2506	C	-13,46	30,57	45,00	-23,09	28,14	356,28	3.342 (M)	[A2M2]	--
2507	C	-13,46	38,07	51,00	-21,80	31,18	341,92	3.343 (M)	[A2M2]	--
2508	C	-8,96	33,57	45,00	-19,28	31,27	316,61	3.344 (M)	[A2M2]	--
2509	C	-16,46	47,07	60,00	-22,18	33,20	347,82	3.347 (M)	[A2M2]	--
2510	C	-11,96	29,07	43,00	-22,21	28,08	347,60	3.350 (M)	[A2M2]	--
2511	C	-10,46	35,07	47,00	-20,49	31,25	325,53	3.355 (M)	[A2M2]	--
2512	C	-16,46	33,57	49,00	-27,97	28,20	373,95	3.359 (M)	[A2M2]	--
2513	C	-16,46	32,07	48,00	-29,61	27,76	390,07	3.359 (M)	[A2M2]	--
2514	C	-16,46	29,07	46,00	-32,22	26,79	422,84	3.359 (M)	[A2M2]	--
2515	C	-16,46	35,07	50,00	-25,96	28,60	357,66	3.362 (M)	[A2M2]	--
2516	C	-7,46	38,07	48,00	-16,85	33,72	302,32	3.362 (M)	[A2M2]	--
2517	C	-16,46	30,57	47,00	-31,01	27,29	406,58	3.365 (M)	[A2M2]	--
2518	C	-14,96	45,57	58,00	-21,62	33,30	341,39	3.366 (M)	[A2M2]	--
2519	C	-7,46	42,57	52,00	-15,84	35,59	308,91	3.368 (M)	[A2M2]	--
2520	C	-5,96	32,07	42,00	-15,85	31,66	283,21	3.370 (M)	[A2M2]	--
2521	C	-8,96	39,57	50,00	-18,03	33,64	310,62	3.377 (M)	[A2M2]	--
2522	C	-14,96	33,57	48,00	-23,79	28,60	349,76	3.379 (M)	[A2M2]	--
2523	C	-17,96	29,07	47,00	-36,25	26,35	455,91	3.385 (M)	[A2M2]	--
2524	C	-14,96	35,07	49,00	-22,81	28,99	334,70	3.387 (M)	[A2M2]	--
2525	C	-13,46	44,07	56,00	-21,05	33,39	334,32	3.387 (M)	[A2M2]	--
2526	C	-13,46	48,57	60,00	-20,68	35,15	340,16	3.389 (M)	[A2M2]	--
2527	C	-16,46	36,57	51,00	-24,40	28,97	341,74	3.389 (M)	[A2M2]	--
2528	C	-10,46	41,07	52,00	-19,20	33,57	318,71	3.392 (M)	[A2M2]	--
2529	C	-13,46	32,07	46,00	-22,51	28,58	342,13	3.392 (M)	[A2M2]	--
2530	C	-11,96	42,57	54,00	-20,34	33,48	326,66	3.399 (M)	[A2M2]	--
2531	C	-8,96	44,07	54,00	-17,38	35,48	316,83	3.399 (M)	[A2M2]	--
2532	C	-17,96	44,07	58,00	-23,85	31,27	344,67	3.403 (M)	[A2M2]	--
2533	C	-10,46	45,57	56,00	-18,52	35,38	324,78	3.406 (M)	[A2M2]	--
2534	C	-5,96	33,57	43,00	-13,58	32,02	268,96	3.407 (M)	[A2M2]	--
2535	C	-16,46	42,57	56,00	-22,57	31,34	338,59	3.407 (M)	[A2M2]	--
2536	C	-11,96	47,07	58,00	-19,64	35,27	332,54	3.409 (M)	[A2M2]	--
2537	C	-14,96	41,07	54,00	-22,01	31,41	332,09	3.410 (M)	[A2M2]	--
2538	C	-7,46	33,57	44,00	-17,42	31,64	292,13	3.413 (M)	[A2M2]	--
2539	C	-17,96	32,07	49,00	-34,14	27,34	420,71	3.420 (M)	[A2M2]	--
2540	C	-11,96	30,57	44,00	-21,86	28,55	333,73	3.428 (M)	[A2M2]	--
2541	C	-8,96	35,07	46,00	-18,63	31,62	300,82	3.432 (M)	[A2M2]	--
2542	C	-13,46	39,57	52,00	-21,42	31,47	325,03	3.433 (M)	[A2M2]	--
2543	C	-10,46	29,07	42,00	-21,17	28,51	324,54	3.433 (M)	[A2M2]	--
2544	C	-17,96	33,57	50,00	-32,86	27,79	402,74	3.437 (M)	[A2M2]	--
2545	C	-17,96	35,07	51,00	-31,40	28,21	385,02	3.440 (M)	[A2M2]	--
2546	C	-10,46	36,57	48,00	-19,82	31,58	309,23	3.445 (M)	[A2M2]	--
2547	C	-11,96	38,07	50,00	-20,81	31,53	317,35	3.446 (M)	[A2M2]	--
2548	C	-17,96	36,57	52,00	-29,67	28,59	367,04	3.447 (M)	[A2M2]	--
2549	C	-17,96	38,07	53,00	-27,57	28,95	349,33	3.451 (M)	[A2M2]	--
2550	C	-16,46	38,07	52,00	-23,35	29,32	325,69	3.452 (M)	[A2M2]	--
2551	C	-17,96	30,57	48,00	-35,26	26,86	438,54	3.456 (M)	[A2M2]	--
2552	C	-13,46	33,57	47,00	-22,14	28,99	327,39	3.462 (M)	[A2M2]	--
2553	C	-14,96	36,57	50,00	-22,38	29,35	319,22	3.464 (M)	[A2M2]	--
2554	C	-7,46	39,57	49,00	-15,59	33,97	285,39	3.473 (M)	[A2M2]	--
2555	C	-16,46	48,57	61,00	-21,76	33,38	329,02	3.482 (M)	[A2M2]	--
2556	C	-8,96	29,07	41,00	-19,76	28,93	300,98	3.483 (M)	[A2M2]	--
2557	C	-17,96	39,57	54,00	-24,93	29,27	332,25	3.484 (M)	[A2M2]	--
2558	C	-11,96	32,07	45,00	-21,50	28,98	319,31	3.492 (M)	[A2M2]	--
2559	C	-17,96	45,57	59,00	-22,70	31,50	326,81	3.493 (M)	[A2M2]	--
2560	C	-8,96	41,07	51,00	-17,32	33,88	293,17	3.494 (M)	[A2M2]	--
2561	C	-14,96	47,07	59,00	-21,22	33,49	322,58	3.505 (M)	[A2M2]	--
2562	C	-10,46	42,57	53,00	-18,47	33,79	300,80	3.506 (M)	[A2M2]	--
2563	C	-10,46	30,57	43,00	-20,83	28,96	310,48	3.510 (M)	[A2M2]	--
2564	C	-7,46	35,07	45,00	-16,77	31,98	276,61	3.513 (M)	[A2M2]	--
2565	C	-11,96	44,07	55,00	-19,60	33,69	308,32	3.515 (M)	[A2M2]	--
2566	C	-16,46	44,07	57,00	-22,16	31,59	321,00	3.520 (M)	[A2M2]	--
2567	C	-13,46	45,57	57,00	-20,66	33,59	315,66	3.524 (M)	[A2M2]	--
2568	C	-10,46	47,07	57,00	-17,76	35,53	305,73	3.526 (M)	[A2M2]	--
2569	C	-5,96	29,07	39,00	-15,48	29,75	255,41	3.534 (M)	[A2M2]	--
2570	C	-8,96	36,57	47,00	-17,96	31,93	284,79	3.535 (M)	[A2M2]	--
2571	C	-14,96	42,57	55,00	-21,61	31,67	314,67	3.539 (M)	[A2M2]	--
2572	C	-7,46	29,07	40,00	-17,91	29,34	277,76	3.539 (M)	[A2M2]	--

N°	Forma	C_x	C_y	R	x_v	x_m	V	F_s	Caso	Sisma
		[m]	*[m]*	*[m]*	*[m]*	*[m]*	*[mc]*			
2573	C	-11,96	48,57	59,00	-18,87	35,41	313,11	3.540 (M)	[A2M2]	--
2574	C	-10,46	38,07	49,00	-19,13	31,88	292,75	3.557 (M)	[A2M2]	--
2575	C	-17,96	41,07	55,00	-23,81	29,57	315,46	3.558 (M)	[A2M2]	--
2576	C	-8,96	30,57	42,00	-19,16	29,37	286,98	3.558 (M)	[A2M2]	--
2577	C	-13,46	41,07	53,00	-21,03	31,74	307,79	3.559 (M)	[A2M2]	--
2578	C	-16,46	39,57	53,00	-22,56	29,63	309,55	3.561 (M)	[A2M2]	--
2579	C	-14,96	38,07	51,00	-21,98	29,68	303,34	3.561 (M)	[A2M2]	--
2580	C	-11,96	33,57	46,00	-21,14	29,38	304,38	3.563 (M)	[A2M2]	--
2581	C	-5,96	30,57	40,00	-13,30	30,17	242,57	3.564 (M)	[A2M2]	--
2582	C	-13,46	35,07	48,00	-21,77	29,37	312,17	3.567 (M)	[A2M2]	--
2583	C	-11,96	39,57	51,00	-20,29	31,81	300,34	3.568 (M)	[A2M2]	--
2584	C	-10,46	32,07	44,00	-20,39	29,38	295,89	3.576 (M)	[A2M2]	--
2585	C	-13,46	36,57	49,00	-21,39	29,72	296,52	3.585 (M)	[A2M2]	--
2586	C	-7,46	30,57	41,00	-17,31	29,77	264,20	3.593 (M)	[A2M2]	--
2587	C	-7,46	36,57	46,00	-15,34	32,28	261,09	3.595 (M)	[A2M2]	--
2588	C	-10,46	44,07	54,00	-17,72	33,98	282,86	3.636 (M)	[A2M2]	--
2589	C	-17,96	47,07	60,00	-22,28	31,70	308,80	3.647 (M)	[A2M2]	--
2590	C	-11,96	45,57	56,00	-18,83	33,88	289,88	3.657 (M)	[A2M2]	--
2591	C	-8,96	32,07	43,00	-18,53	29,78	272,57	3.657 (M)	[A2M2]	--
2592	C	-14,96	48,57	60,00	-20,81	33,65	303,58	3.659 (M)	[A2M2]	--
2593	C	-13,46	47,07	58,00	-19,94	33,77	296,83	3.663 (M)	[A2M2]	--
2594	C	-8,96	38,07	48,00	-17,26	32,22	268,52	3.664 (M)	[A2M2]	--
2595	C	-16,46	45,57	58,00	-21,75	31,80	303,12	3.673 (M)	[A2M2]	--
2596	C	-10,46	33,57	45,00	-19,73	29,77	280,92	3.674 (M)	[A2M2]	--
2597	C	-16,46	41,07	54,00	-22,15	29,91	293,11	3.675 (M)	[A2M2]	--
2598	C	-11,96	35,07	47,00	-20,77	29,75	288,99	3.679 (M)	[A2M2]	--
2599	C	-10,46	39,57	50,00	-18,41	32,14	275,99	3.684 (M)	[A2M2]	--
2600	C	-11,96	36,57	48,00	-20,22	30,08	273,39	3.690 (M)	[A2M2]	--
2601	C	-14,96	44,07	56,00	-21,20	31,89	296,94	3.695 (M)	[A2M2]	--
2602	C	-11,96	41,07	52,00	-19,55	32,07	283,21	3.697 (M)	[A2M2]	--
2603	C	-14,96	39,57	52,00	-21,59	29,97	287,09	3.699 (M)	[A2M2]	--
2604	C	-7,46	32,07	42,00	-16,67	30,16	250,04	3.704 (M)	[A2M2]	--
2605	C	-13,46	42,57	54,00	-20,64	31,98	290,23	3.705 (M)	[A2M2]	--
2606	C	-14,96	29,07	44,00	-24,58	26,16	329,50	3.715 (M)	[A2M2]	--
2607	C	-13,46	38,07	50,00	-21,00	30,03	280,47	3.718 (M)	[A2M2]	--
2608	C	-16,46	47,07	59,00	-21,34	31,99	285,00	3.726 (M)	[A2M2]	--
2609	C	-8,96	33,57	44,00	-17,87	30,14	258,06	3.734 (M)	[A2M2]	--
2610	C	-17,96	48,57	61,00	-21,86	31,88	290,56	3.735 (M)	[A2M2]	--
2611	C	-16,46	29,07	45,00	-29,22	25,72	352,87	3.738 (M)	[A2M2]	--
2612	C	-13,46	29,07	43,00	-22,47	26,58	308,22	3.750 (M)	[A2M2]	--
2613	C	-14,96	30,57	45,00	-23,68	26,64	316,04	3.751 (M)	[A2M2]	--
2614	C	-10,46	35,07	46,00	-19,06	30,12	265,85	3.757 (M)	[A2M2]	--
2615	C	-16,46	32,07	47,00	-25,69	26,67	323,57	3.758 (M)	[A2M2]	--
2616	C	-16,46	30,57	46,00	-27,63	26,22	338,22	3.762 (M)	[A2M2]	--
2617	C	-17,96	42,57	56,00	-22,69	29,84	298,69	3.770 (M)	[A2M2]	--
2618	C	-7,46	33,57	43,00	-15,08	30,52	235,72	3.783 (M)	[A2M2]	--
2619	C	-10,46	36,57	47,00	-18,35	30,43	250,32	3.801 (M)	[A2M2]	--
2620	C	-16,46	33,57	48,00	-24,32	27,10	309,20	3.804 (M)	[A2M2]	--
2621	C	-14,96	32,07	46,00	-22,73	27,08	302,26	3.810 (M)	[A2M2]	--
2622	C	-13,46	48,57	59,00	-19,13	33,91	277,97	3.819 (M)	[A2M2]	--
2623	C	-11,96	38,07	49,00	-19,50	30,38	257,38	3.823 (M)	[A2M2]	--
2624	C	-11,96	42,57	53,00	-18,79	32,29	265,91	3.824 (M)	[A2M2]	--
2625	C	-10,46	41,07	51,00	-17,67	32,38	259,09	3.828 (M)	[A2M2]	--
2626	C	-14,96	41,07	53,00	-21,19	30,24	270,64	3.834 (M)	[A2M2]	--
2627	C	-13,46	44,07	55,00	-19,90	32,19	272,47	3.836 (M)	[A2M2]	--
2628	C	-14,96	45,57	57,00	-20,80	32,09	278,95	3.836 (M)	[A2M2]	--
2629	C	-13,46	39,57	51,00	-20,61	30,31	264,23	3.839 (M)	[A2M2]	--
2630	C	-17,96	32,07	48,00	-31,02	26,26	349,04	3.844 (M)	[A2M2]	--
2631	C	-17,96	30,57	47,00	-32,43	25,79	365,33	3.849 (M)	[A2M2]	--
2632	C	-17,96	33,57	49,00	-29,35	26,70	332,65	3.852 (M)	[A2M2]	--
2633	C	-13,46	30,57	44,00	-22,10	27,05	294,93	3.858 (M)	[A2M2]	--
2634	C	-17,96	29,07	46,00	-33,65	25,29	381,35	3.862 (M)	[A2M2]	--
2635	C	-11,96	29,07	42,00	-21,44	27,01	286,85	3.868 (M)	[A2M2]	--
2636	C	-8,96	35,07	45,00	-17,19	30,48	243,06	3.876 (M)	[A2M2]	--
2637	C	-16,46	35,07	49,00	-23,29	27,49	294,55	3.876 (M)	[A2M2]	--
2638	C	-17,96	35,07	50,00	-27,32	27,10	316,48	3.894 (M)	[A2M2]	--
2639	C	-14,96	33,57	47,00	-22,35	27,49	288,30	3.903 (M)	[A2M2]	--
2640	C	-13,46	45,57	56,00	-19,10	32,38	254,71	3.905 (M)	[A2M2]	--
2641	C	-17,96	36,57	51,00	-24,87	27,47	300,72	3.911 (M)	[A2M2]	--
2642	C	-14,96	47,07	58,00	-20,19	32,27	260,75	3.918 (M)	[A2M2]	--
2643	C	-16,46	48,57	60,00	-20,92	32,15	266,64	3.926 (M)	[A2M2]	--
2644	C	-13,46	32,07	45,00	-21,73	27,48	281,28	3.943 (M)	[A2M2]	--
2645	C	-16,46	29,07	44,00	-25,42	24,63	288,14	3.949 (M)	[A2M2]	--
2646	C	-11,96	30,57	43,00	-21,09	27,46	273,56	3.949 (M)	[A2M2]	--
2647	C	-10,46	38,07	48,00	-17,62	30,72	234,60	3.950 (M)	[A2M2]	--
2648	C	-17,96	44,07	57,00	-22,28	30,09	281,78	3.962 (M)	[A2M2]	--
2649	C	-10,46	29,07	41,00	-20,27	27,43	265,11	3.966 (M)	[A2M2]	--
2650	C	-17,96	38,07	52,00	-23,77	27,82	285,49	3.974 (M)	[A2M2]	--
2651	C	-11,96	39,57	50,00	-18,75	30,64	241,17	3.977 (M)	[A2M2]	--

N°	Forma	C_x	C_y	R	x_v	x_m	V	F_s	Caso	Sisma
		[m]	*[m]*	*[m]*	*[m]*	*[m]*	*[mc]*			
2652	C	-16,46	42,57	55,00	-21,74	30,17	276,44	3.991 (M)	[A2M2]	--
2653	C	-13,46	41,07	52,00	-19,87	30,57	247,60	4.013 (M)	[A2M2]	--
2654	C	-8,96	29,07	40,00	-18,42	27,84	243,39	4.019 (M)	[A2M2]	--
2655	C	-16,46	36,57	50,00	-22,54	27,85	279,86	4.024 (M)	[A2M2]	--
2656	C	-14,96	35,07	48,00	-21,96	27,87	273,74	4.025 (M)	[A2M2]	--
2657	C	-17,96	30,57	46,00	-29,02	24,69	296,96	4.038 (M)	[A2M2]	--
2658	C	-13,46	33,57	46,00	-21,36	27,88	266,99	4.049 (M)	[A2M2]	--
2659	C	-10,46	30,57	42,00	-19,64	27,87	251,61	4.078 (M)	[A2M2]	--
2660	C	-11,96	32,07	44,00	-20,72	27,88	259,57	4.084 (M)	[A2M2]	--
2661	C	-17,96	39,57	53,00	-22,68	28,13	270,01	4.091 (M)	[A2M2]	--
2662	C	-7,46	29,07	39,00	-16,56	28,25	222,16	4.108 (M)	[A2M2]	--
2663	C	-17,96	45,57	58,00	-21,85	30,30	264,73	4.139 (M)	[A2M2]	--
2664	C	-17,96	29,07	45,00	-30,62	19,66	293,30	4.146 (M)	[A2M2]	--
2665	C	-8,96	30,57	41,00	-17,78	28,27	230,10	4.146 (M)	[A2M2]	--
2666	C	-16,46	44,07	56,00	-21,33	30,39	259,52	4.165 (M)	[A2M2]	--
2667	C	-16,46	38,07	51,00	-22,14	28,18	264,65	4.170 (M)	[A2M2]	--
2668	C	-10,46	32,07	43,00	-18,97	28,28	237,73	4.173 (M)	[A2M2]	--
2669	C	-14,96	29,07	43,00	-22,69	25,08	268,45	4.183 (M)	[A2M2]	--
2670	C	-14,96	42,57	54,00	-20,78	30,48	253,75	4.185 (M)	[A2M2]	--
2671	C	-13,46	35,07	47,00	-20,97	28,25	252,23	4.187 (M)	[A2M2]	--
2672	C	-14,96	36,57	49,00	-21,57	28,22	258,74	4.203 (M)	[A2M2]	--
2673	C	-11,96	33,57	45,00	-20,15	28,27	245,14	4.204 (M)	[A2M2]	--
2674	C	-16,46	30,57	45,00	-24,23	25,14	275,44	4.212 (M)	[A2M2]	--
2675	C	-17,96	32,07	47,00	-27,06	25,17	282,33	4.263 (M)	[A2M2]	--
2676	C	-17,96	33,57	48,00	-24,81	25,60	268,49	4.277 (M)	[A2M2]	--
2677	C	-16,46	32,07	46,00	-23,23	25,58	262,23	4.283 (M)	[A2M2]	--
2678	C	-14,96	30,57	44,00	-22,32	25,55	255,88	4.284 (M)	[A2M2]	--
2679	C	-8,96	32,07	42,00	-17,11	28,66	216,44	4.299 (M)	[A2M2]	--
2680	C	-17,96	41,07	54,00	-22,27	28,41	254,25	4.319 (M)	[A2M2]	--
2681	C	-17,96	47,07	59,00	-21,43	30,49	247,37	4.351 (M)	[A2M2]	--
2682	C	-10,46	33,57	44,00	-18,29	28,64	223,51	4.355 (M)	[A2M2]	--
2683	C	-16,46	39,57	52,00	-21,73	28,47	249,07	4.356 (M)	[A2M2]	--
2684	C	-11,96	35,07	46,00	-19,44	28,62	230,40	4.368 (M)	[A2M2]	--
2685	C	-14,96	44,07	55,00	-20,16	30,69	236,66	4.369 (M)	[A2M2]	--
2686	C	-14,96	38,07	50,00	-21,17	28,53	243,35	4.369 (M)	[A2M2]	--
2687	C	-16,46	45,57	57,00	-20,91	30,59	242,21	4.385 (M)	[A2M2]	--
2688	C	-13,46	36,57	48,00	-20,59	28,58	237,06	4.388 (M)	[A2M2]	--
2689	C	-17,96	35,07	49,00	-23,72	25,99	254,32	4.390 (M)	[A2M2]	--
2690	C	-16,46	33,57	47,00	-22,52	25,99	248,77	4.396 (M)	[A2M2]	--
2691	C	-13,46	29,07	42,00	-21,69	25,51	248,88	4.415 (M)	[A2M2]	--
2692	C	-17,96	42,57	55,00	-21,85	28,67	238,18	4.483 (M)	[A2M2]	--
2693	C	-16,46	41,07	53,00	-21,32	28,74	233,14	4.508 (M)	[A2M2]	--
2694	C	-17,96	29,07	44,00	-26,79	18,45	238,84	4.510 (M)	[A2M2]	--
2695	C	-17,96	36,57	50,00	-22,67	26,35	240,05	4.524 (M)	[A2M2]	--
2696	C	-13,46	30,57	43,00	-21,32	25,96	236,07	4.524 (M)	[A2M2]	--
2697	C	-11,96	36,57	47,00	-18,71	28,93	215,41	4.525 (M)	[A2M2]	--
2698	C	-14,96	32,07	45,00	-21,93	25,98	242,75	4.528 (M)	[A2M2]	--
2699	C	-11,96	29,07	41,00	-20,67	25,93	228,73	4.562 (M)	[A2M2]	--
2700	C	-16,46	35,07	48,00	-22,12	26,37	234,86	4.569 (M)	[A2M2]	--
2701	C	-13,46	38,07	49,00	-19,83	28,88	221,62	4.574 (M)	[A2M2]	--
2702	C	-14,96	39,57	51,00	-20,77	28,81	227,60	4.584 (M)	[A2M2]	--
2703	C	-17,96	30,57	45,00	-24,74	18,63	223,23	4.586 (M)	[A2M2]	--
2704	C	-16,46	29,07	43,00	-23,15	18,74	216,76	4.631 (M)	[A2M2]	--
2705	C	-10,46	29,07	40,00	-18,88	26,34	208,42	4.651 (M)	[A2M2]	--
2706	C	-17,96	44,07	56,00	-21,42	28,89	221,82	4.670 (M)	[A2M2]	--
2707	C	-11,96	30,57	42,00	-20,08	26,37	215,74	4.671 (M)	[A2M2]	--
2708	C	-17,96	38,07	51,00	-22,26	26,68	225,51	4.671 (M)	[A2M2]	--
2709	C	-16,46	42,57	54,00	-20,90	28,98	216,92	4.688 (M)	[A2M2]	--
2710	C	-14,96	33,57	46,00	-21,54	26,38	229,10	4.700 (M)	[A2M2]	--
2711	C	-16,46	36,57	49,00	-21,72	26,72	220,53	4.707 (M)	[A2M2]	--
2712	C	-17,96	32,07	46,00	-23,67	18,76	207,80	4.735 (M)	[A2M2]	--
2713	C	-13,46	32,07	44,00	-20,94	26,38	222,71	4.736 (M)	[A2M2]	--
2714	C	-10,46	30,57	41,00	-18,21	26,77	195,60	4.797 (M)	[A2M2]	--
2715	C	-8,96	29,07	39,00	-17,02	26,75	188,62	4.806 (M)	[A2M2]	--
2716	C	-16,46	30,57	44,00	-22,50	18,89	201,88	4.812 (M)	[A2M2]	--
2717	C	-11,96	32,07	43,00	-19,38	26,78	202,37	4.830 (M)	[A2M2]	--
2718	C	-14,96	35,07	47,00	-21,15	26,75	214,98	4.834 (M)	[A2M2]	--
2719	C	-13,46	33,57	45,00	-20,53	26,77	208,85	4.853 (M)	[A2M2]	--
2720	C	-17,96	39,57	52,00	-21,84	26,97	210,61	4.870 (M)	[A2M2]	--
2721	C	-16,46	38,07	50,00	-21,31	27,03	205,80	4.895 (M)	[A2M2]	--
2722	C	-14,96	29,07	42,00	-21,90	19,01	195,52	4.929 (M)	[A2M2]	--
2723	C	-11,96	33,57	44,00	-18,66	27,14	188,69	4.937 (M)	[A2M2]	--
2724	C	-17,96	33,57	47,00	-22,66	18,87	192,51	4.946 (M)	[A2M2]	--
2725	C	-17,96	29,07	43,00	-23,62	17,24	190,02	4.971 (M)	[A2M2]	--
2726	C	-13,46	35,07	46,00	-19,79	27,12	194,66	4.974 (M)	[A2M2]	--
2727	C	-14,96	36,57	48,00	-20,75	27,08	200,46	5.021 (M)	[A2M2]	--
2728	C	-16,46	32,07	45,00	-22,10	19,00	186,83	5.067 (M)	[A2M2]	--
2729	C	-17,96	41,07	53,00	-21,42	27,24	195,38	5.081 (M)	[A2M2]	--
2730	C	-14,96	30,57	43,00	-21,52	19,14	180,64	5.160 (M)	[A2M2]	--

N°	Forma	C_x	C_y	R	x_v	x_m	V	F_s	Caso	Sisma
		[m]	[m]	[m]	[m]	[m]	[mc]			
2731	C	-17,96	30,57	44,00	-22,65	17,39	175,71	5.181 (M)	[A2M2]	--
2732	C	-17,96	35,07	48,00	-22,25	18,94	177,19	5.222 (M)	[A2M2]	--
2733	C	-13,46	29,07	41,00	-20,90	19,26	173,84	5.267 (M)	[A2M2]	--
2734	C	-16,46	29,07	42,00	-22,08	17,51	170,31	5.308 (M)	[A2M2]	--
2735	C	-16,46	33,57	46,00	-21,70	19,08	171,64	5.346 (M)	[A2M2]	--
2736	C	-14,96	32,07	44,00	-21,13	19,23	165,54	5.465 (M)	[A2M2]	--
2737	C	-17,96	32,07	45,00	-22,24	17,50	161,32	5.518 (M)	[A2M2]	--
2738	C	-13,46	30,57	42,00	-20,47	19,37	158,89	5.566 (M)	[A2M2]	--
2739	C	-17,96	36,57	49,00	-21,83	18,97	161,79	5.585 (M)	[A2M2]	--
2740	C	-11,96	29,07	40,00	-19,31	19,50	151,91	5.609 (M)	[A2M2]	--
2741	C	-16,46	30,57	43,00	-21,68	17,64	156,05	5.647 (M)	[A2M2]	--
2742	C	-16,46	35,07	47,00	-21,29	19,13	156,29	5.670 (M)	[A2M2]	--
2743	C	-14,96	29,07	41,00	-21,10	17,76	150,25	5.767 (M)	[A2M2]	--
2744	C	-14,96	33,57	45,00	-20,73	19,28	150,30	5.790 (M)	[A2M2]	--
2745	C	-13,46	32,07	43,00	-19,74	19,43	143,88	5.857 (M)	[A2M2]	--
2746	C	-17,96	33,57	46,00	-21,82	17,58	146,78	5.883 (M)	[A2M2]	--
2747	C	-17,96	29,07	42,00	-22,23	16,01	144,86	5.932 (M)	[A2M2]	--

Analisi della superficie critica

Simbologia adottata

Le ascisse X sono considerate positive verso destra
Le ordinate Y sono considerate positive verso l'alto
Le strisce sono numerate da valle verso monte

N°	numero d'ordine della striscia
X_s	ascissa sinistra della striscia espressa in m
Y_{ss}	ordinata superiore sinistra della striscia espressa in m
Y_{si}	ordinata inferiore sinistra della striscia espressa in m
X_g	ascissa del baricentro della striscia espressa in m
Y_g	ordinata del baricentro della striscia espressa in m
a	angolo fra la base della striscia e l'orizzontale espresso °(positivo antiorario)
f	angolo d'attrito del terreno lungo la base della striscia
c	coesione del terreno lungo la base della striscia espressa in kPa
L	sviluppo della base della striscia espressa in m(L=b/cosa)
u	pressione neutra lungo la base della striscia espressa in kPa
W	peso della striscia espresso in kN
Q	carico applicato sulla striscia espresso in kN
N	sforzo normale alla base della striscia espresso in kN
T	sforzo tangenziale alla base della striscia espresso in kN
U	pressione neutra alla base della striscia espressa in kN
E_s, E_d	forze orizzontali sulla striscia a sinistra e a destra espresse in kN
X_s, X_d	forze verticali sulla striscia a sinistra e a destra espresse in kN
ID	Indice della superficie interessata dall'intervento

Superficie n° 1

Analisi della superficie 1 - coefficienti parziali caso A2M2 e sisma verso l'alto

Numero di strisce	26	
Coordinate del centro	X[m]= -7,46	Y[m]= 38,07
Raggio del cerchio	R[m]= 55,00	
Intersezione a valle con il profilo topografico	X_v[m]= -25,16	Y_v[m]= -14,00
Intersezione a monte con il profilo topografico	X_m[m]= 41,70	Y_m[m]= 13,40
Coefficiente di sicurezza	F_S= 2.581	

Geometria e caratteristiche strisce

N°	X_s	Y_{ss}	Y_{si}	X_d	Y_{ds}	Y_{di}	X_g	Y_g	L	a	f	c
	[m]	[m]	[m]	[m]	[m]	[m]	[m]	[m]	[m]	[°]	[°]	[kPa]
1	-25,16	-14,00	-14,00	-25,00	-14,00	-14,06	-25,05	-14,02	0,17	-18,69	29.26	80
2	-25,00	-14,00	-14,06	-22,73	-13,27	-14,77	-23,51	-14,02	2,38	-17,36	29.26	80
3	-22,73	-13,27	-14,77	-20,59	-10,90	-15,34	-21,48	-13,50	2,22	-14,97	29.26	80
4	-20,59	-10,90	-15,34	-18,47	-9,82	-15,82	-19,48	-12,96	2,17	-12,68	29.26	80
5	-18,47	-9,82	-15,82	-16,36	-8,75	-16,21	-17,38	-12,64	2,15	-10,43	29.26	80
6	-16,36	-8,75	-16,21	-13,09	-8,75	-16,64	-14,71	-12,59	3,30	-7,59	29.26	80
7	-13,09	-8,75	-16,64	-9,82	-8,75	-16,88	-11,44	-12,76	3,28	-4,16	29.26	80
8	-9,82	-8,75	-16,88	-6,54	-8,75	-16,92	-8,18	-12,83	3,27	-0,75	29.26	80
9	-6,54	-8,75	-16,92	-3,27	-8,75	-16,77	-4,91	-12,80	3,28	2,66	29.26	80
10	-3,27	-8,75	-16,77	0,00	-8,75	-16,42	-1,65	-12,67	3,29	6,08	29.26	80
11	0,00	0,00	-16,42	0,70	0,00	-16,32	0,35	-8,19	0,71	8,16	29.26	80
12	0,70	0,00	-16,32	1,77	0,70	-16,15	1,24	-7,94	1,08	9,10	29.26	80
13	1,77	0,70	-16,15	5,09	0,70	-15,48	3,42	-7,56	3,38	11,42	29.26	80
14	5,09	0,70	-15,48	8,40	0,70	-14,59	6,73	-7,17	3,43	14,97	29.26	80
15	8,40	0,70	-14,59	11,60	3,82	-13,52	10,03	-5,88	3,37	18,52	29.26	80
16	11,60	3,82	-13,52	12,12	4,37	-13,33	11,86	-4,66	0,55	20,57	29.26	80
17	12,12	4,37	-13,33	14,68	4,37	-12,28	13,39	-4,22	2,77	22,30	29.26	80

N°	X_s	Y_{ss}	Y_{si}	X_d	Y_{ds}	Y_{di}	X_g	Y_g	L	a	f	c
	[m]	*[m]*	*[m]*	*[m]*	*[m]*	*[m]*	*[m]*	*[m]*	*[m]*	*[°]*	*[°]*	*[kPa]*
18	14,68	4,37	-12,28	17,24	4,37	-11,07	15,94	-3,66	2,83	25,21	29.26	80
19	17,24	4,37	-11,07	19,80	4,37	-9,70	18,50	-3,01	2,90	28,20	29.26	80
20	19,80	12,50	-9,70	22,40	12,95	-8,12	21,09	1,90	3,04	31,30	29.26	80
21	22,40	12,95	-8,12	25,00	13,40	-6,33	23,69	2,97	3,16	34,53	29.26	80
22	25,00	13,40	-6,33	28,34	13,40	-3,68	26,63	4,18	4,26	38,39	29.26	80
23	28,34	13,40	-3,68	31,68	13,40	-0,57	29,95	5,61	4,57	42,99	29.26	80
24	31,68	13,40	-0,57	35,02	13,40	3,13	33,26	7,29	4,99	47,96	29.26	80
25	35,02	13,40	3,13	38,36	13,40	7,64	36,53	9,29	5,61	53,49	29.26	80
26	38,36	13,40	7,64	41,70	13,40	13,40	39,47	11,48	6,65	59,88	29.26	80

Forze applicate sulle strisce [MORGENSTERN]

N°	W	Q	N	T	U	E_s	E_d	X_s	X_d	ID
	[kN]	*[kN]*	*[kN]*	*[kN]*	*[kN]*	*[kN]*	*[kN]*	*[kN]*	*[kN]*	
1	0,10	0,00	4,62	6,32	0,00	0,00	7,47	0,00	-2,26	
2	37,09	0,00	109,02	97,37	0,00	7,47	132,93	-2,26	-40,18	
3	133,42	0,00	222,72	116,99	0,00	132,93	303,47	-40,18	-91,72	
4	231,64	0,00	333,75	139,62	0,00	303,47	512,95	-91,72	-155,03	
5	298,61	0,00	400,62	153,60	0,00	512,95	736,56	-155,03	-222,61	
6	527,24	0,00	666,28	246,90	0,00	736,56	1069,33	-222,61	-323,18	
7	550,41	0,00	658,03	244,48	0,00	1069,33	1360,95	-323,18	-411,32	
8	560,06	0,00	638,30	239,94	0,00	1360,95	1609,23	-411,32	-486,36	
9	556,31	0,00	608,09	233,49	0,00	1609,23	1814,24	-486,36	-548,32	
10	539,11	0,00	567,95	225,24	0,00	1814,24	1978,04	-548,32	-597,83	
11	238,12	0,00	241,88	74,41	0,00	1978,04	2017,35	-597,83	-609,71	
12	367,79	0,00	370,74	114,04	0,00	2017,35	2071,35	-609,71	-626,03	
13	1132,03	67,21	1187,28	362,48	0,00	2071,35	2191,51	-626,03	-662,34	
14	1081,39	62,79	1106,98	346,59	0,00	2191,51	2240,34	-662,34	-677,10	
15	1096,55	0,00	1040,31	330,36	0,00	2240,34	2223,19	-677,10	-671,92	
16	191,16	0,00	179,69	56,20	0,00	2223,19	2212,68	-671,92	-668,74	
17	923,22	0,00	861,63	272,75	0,00	2212,68	2138,15	-668,74	-646,22	
18	862,60	0,00	796,21	260,49	0,00	2138,15	2034,68	-646,22	-614,94	
19	793,30	0,00	724,82	247,33	0,00	2034,68	1910,17	-614,94	-577,31	
20	1181,21	0,00	1076,02	327,82	0,00	1910,17	1654,85	-577,31	-500,15	
21	1113,80	0,00	1017,46	318,62	0,00	1654,85	1340,67	-500,15	-405,19	
22	1290,82	0,00	1175,61	387,18	0,00	1340,67	914,08	-405,19	-276,26	
23	1088,91	0,00	986,65	355,61	0,00	914,08	501,47	-276,26	-151,56	
24	849,89	0,00	757,78	319,02	0,00	501,47	152,26	-151,56	-46,02	
25	561,84	0,00	465,75	275,03	0,00	152,26	-58,44	-46,02	17,66	
26	201,84	0,00	59,59	219,19	0,00	-58,44	0,00	17,66	0,00	

Descrizione metodo di calcolo

La verifica alla stabilità del pendio deve fornire un coefficiente di sicurezza non inferiore a **1.10**.
Viene usata la tecnica della suddivisione a strisce della superficie di scorrimento da analizzare.
In particolare il programma esamina un numero di superfici che dipende dalle impostazioni fornite e che sono riportate nella corrispondente sezione. Il processo iterativo permette di determinare il coefficiente di sicurezza di tutte le superfici analizzate.
Nella descrizione dei metodi di calcolo si adotterà la seguente simbologia:

l	lunghezza della base della striscia
a	angolo della base della striscia rispetto all'orizzontale
b	larghezza della striscia b=l x cos(a)
f	angolo di attrito lungo la base della striscia
c	coesione lungo la base della striscia
g	peso di volume del terreno
u	pressione neutra
W	peso della striscia
N	sforzo normale alla base della striscia
T	sforzo di taglio alla base della striscia
$\mathbf{E_s}$, $\mathbf{E_d}$	forze normali di interstriscia a sinistra e a destra
$\mathbf{X_s}$, $\mathbf{X_d}$	forze tangenziali di interstriscia a sinistra e a destra
$\mathbf{E_a}$, $\mathbf{E_b}$	forze normali di interstriscia alla base ed alla sommità del pendio
DX	variazione delle forze tangenziali sulla striscia $\mathbf{DX = X_d - X_s}$
DE	variazione delle forze normali sulla striscia $\mathbf{DE = E_d - E_s}$

Metodo di Morgenstern e Price

Nel metodo **Morgenstern e Price** le forze normali e tangenziali di interstriscia sono legate fra di loro dalla relazione

$$X = l\, f(x)\, E$$

dove f(x) è una funzione di forma definita in modo che |f(x)|<=1 e l è un parametro scalare che si ricava dal processo di soluzione.
Il coefficiente si ottiene dalla risoluzione del seguente sistema di equazioni differenziali:

$$\frac{dE}{dx}(K x + L) + K E = N x + P$$

$$X = \frac{dE}{dx} y - \frac{d}{dx}(E\, y_t)$$

le cui condizioni al contorno sono:

$$E(x) = E_a \quad \text{quando} \quad x = x_0$$
$$E(x) = E_b \quad \text{quando} \quad x = x_n$$

$$M = E\,(y - y_t) = \int_{xn}^{x0} (X - E\, dy/dx)\, dx = 0$$

I termini del sistema sono dati da:

$$K = l\, k \left(\frac{tg\, f}{F} + A\right)$$

$$L = l\, m \left(\frac{tg\, f}{F} + A\right) + A \frac{tg\, f}{F} - 1$$

$$N = p \left[A + \frac{tg\, f}{F} - r_u(1 + A^2) \frac{tg\, f}{F}\right]$$

$$P = q \left[A + \frac{tg\, f}{F} - r_u(1 + A^2) \frac{tg\, f}{F}\right] + \frac{tg\, f}{F} c\,[1 + A^2]$$

nelle quali **k** ed **m** sono i due parametri assegnati striscia per striscia per definire il rapporto tra la risultante delle forze tangenziali, **X**, all'interfaccia e quella delle pressioni normali, **E**, mentre la variabile **l** è introdotta per pareggiare il numero delle equazioni e quello delle incognite oltre che utile per tarare la funzione lineare tra le forze di interstriscia **X** ed **E**.
Nella formulazione di **Morgenstern-Price**, il peso e la superficie di scorrimento, sono espresse come funzioni lineari della *x*.
Inoltre il termine $\mathbf{r_u}$ è il coefficiente adimensionale che tiene conto della pressione neutra ed è definito dalla relazione: $\mathbf{r_u = u_w / W\, b}$.
Lo schema iterativo che permette di determinare il coefficiente di sicurezza è il seguente:
si assegnano due valori ad **F** ed a **l**;
si calcolano $\mathbf{M_i}$ ed $\mathbf{E_i}$ dalle equazioni riportate;
si calcolano **dl** e **dF**;

si incrementano **l = l + dl ed F = F + dF**;
si controlla la convergenza nel qual caso si ferma l'iterazione altrimenti si torna al punto **2**.
dove gli incrementi per **l** ed **F** sono espressi da:

$$dl = \frac{M_n \frac{dE_n}{dF} - E_n \frac{dM_n}{dF}}{\frac{dE_n}{dl}\frac{dM_n}{dF} - \frac{dM_n}{dl}\frac{dE_n}{dF}}$$

$$dl = \frac{E_n \frac{dM_n}{dF} - M_n \frac{dE_n}{dF}}{\frac{dE_n}{dl}\frac{dM_n}{dF} - \frac{dM_n}{dl}\frac{dE_n}{dF}}$$

dove $\mathbf{M_n}$ ed $\mathbf{E_n}$ sono i valori di **M** ed **E** all'ultima striscia.

Dati

Descrizione terreno

Simbologia adottata

Nr. Indice del terreno
Descrizione Descrizione terreno
g Peso di volume del terreno espresso in kN/mc
g_w Peso di volume saturo del terreno espresso in kN/mc
f Angolo d'attrito interno 'efficace' del terreno espresso in gradi
c Coesione 'efficace' del terreno espressa in kPa
f_u Angolo d'attrito interno 'totale' del terreno espresso gradi
c_u Coesione 'totale' del terreno espressa in kPa

n°	Descrizione	g	g_{sat}	f'	c'
		[kN/mc]	*[kN/mc]*	*[°]*	*[kPa]*
1	Detriti	18,00	18,00	30.00	0,0
2	Flysch marnoso-arenaceo	21,00	21,00	35.00	100,0

Profilo del piano campagna

Simbologia e convenzioni di segno adottate

L'ascissa è intesa positiva da sinistra verso destra e l'ordinata positiva verso l'alto.

Nr. Identificativo del punto
X Ascissa del punto del profilo espressa in m
Y Ordinata del punto del profilo espressa in m

n°	X	Y
	[m]	*[m]*
1	-50,00	-14,50
2	-25,00	-14,00
3	-22,73	-13,27
4	-20,59	-10,90
5	-10,30	-5,67
6	-4,00	-1,40
7	-2,30	0,00
8	0,00	0,00
9	0,70	0,00
10	1,77	0,70
11	8,40	0,70
12	11,60	3,82
13	19,80	12,50
14	25,00	13,40
15	50,00	13,40

Descrizione stratigrafia

Simbologia e convenzioni di segno adottate

Gli strati sono descritti mediante i punti di contorno (in senso antiorario) e l'indice del terreno di cui è costituito

Strato N° **1** costituito da terreno n° 2 (Flysch marnoso-arenaceo)

Coordinate dei vertici dello strato n° 1

n°	X	Y
	[m]	*[m]*
1	-4,00	-1,40
2	-10,30	-5,67
3	-20,59	-10,90
4	-22,73	-13,27
5	-25,00	-14,00
6	-50,00	-14,50
7	-50,00	-50,00
8	50,00	-50,00
9	50,00	13,40
10	25,00	13,40
11	19,80	12,50
12	11,60	3,82
13	8,40	0,70
14	7,50	-0,90

Strato N° **2** costituito da terreno n° 1 (Detriti)

Coordinate dei vertici dello strato n° 2

n°	X	Y
	[m]	*[m]*

n°	X	Y
	[m]	*[m]*
1	8,40	0,70
2	1,77	0,70
3	0,70	0,00
4	0,00	0,00
5	-2,30	0,00
6	-4,00	-1,40
7	7,50	-0,90

Carichi sul profilo

Simbologia e convenzioni di segno adottate
L'ascissa è intesa positiva da sinistra verso destra.
N° Identificativo del sovraccarico agente
Descrizione Descrizione carico
Carichi distribuiti
X_i, X_f Ascissa iniziale e finale del carico espressa in [m]
Vx_i, Vx_f, Vy_i, Vy_f Intensità del carico in direzione X e Y nei punti iniziale e finale, espresse in [kN/m]

Carichi distribuiti

n°	Descrizione	X_i	X_f	Vy_i	Vy_f	Vx_i	Vx_f
		[m]	*[m]*	*[kN/m]*	*[kN/m]*	*[kN/m]*	*[kN/m]*
1	mezzi	2,50	7,50	20,00	20,00	0,00	0,00

Interventi inseriti

Numero interventi inseriti 2

Paratia di micropali con 1 file di tiranti - Paratia provvisionale

Grado di sicurezza desiderato a monte	1,30	
Ascissa sul profilo (quota testa paratia)	0,00	m
Altezza totale paratia	15,00	m
Altezza inefficace paratia (a partire dal piede)	0,00	m
Diametro pali	0,24	m
Interasse pali	0,40	m
Altezza cordolo	0,50	m
Larghezza cordolo	0,50	m
Diametro tubolare	168,30	mm
Spessore tubolare	8,00	mm
Resistenza caratteristica a compressione del cls (Rbk)	24517	kPa
Altezza di scavo	8,75	m

Tiranti della paratia
Fila di tiranti n° 1 - Tiranti attivi

Posizione rispetto alla testa (positiva verso il basso)	2,00	m
Lunghezza totale tiranti	15,00	m
Lunghezza fondazione tiranti	5,00	m
Inclinazione tiranti	20,00	
Interasse tiranti	2,40	m
Diametro tiranti	16,00	cm
Resistenza caratteristica a compressione del cls (Rbk)	30000	kPa
Tiro applicato (per tirante)	480,00	kN

Paratia di micropali con 2 file di tiranti - Paratia essistente

Grado di sicurezza desiderato a monte	1,30	
Ascissa sul profilo (quota testa paratia)	19,80	m
Altezza totale paratia	12,00	m
Altezza inefficace paratia (a partire dal piede)	0,00	m
Diametro pali	0,22	m
Interasse pali	0,40	m
Altezza cordolo	0,50	m
Larghezza cordolo	0,50	m
Diametro tubolare	88,80	mm
Spessore tubolare	8,00	mm
Resistenza caratteristica a compressione del cls (Rbk)	24517	kPa
Altezza di scavo	8,13	m

Tiranti della paratia

Fila di tiranti n° 1 - Tiranti attivi

Posizione rispetto alla testa (positiva verso il basso)	5,00	m
Lunghezza totale tiranti	15,00	m
Lunghezza fondazione tiranti	5,00	m
Inclinazione tiranti	15,00	
Interasse tiranti	2,40	m
Diametro tiranti	16,00	cm
Resistenza caratteristica a compressione del cls (Rbk)	30000	kPa
Tiro applicato (per tirante)	400,00	kN

Fila di tiranti n° 2 - Tiranti attivi

Posizione rispetto alla testa (positiva verso il basso)	8,00	m
Lunghezza totale tiranti	15,00	m
Lunghezza fondazione tiranti	5,00	m
Inclinazione tiranti	15,00	
Interasse tiranti	3,60	m
Diametro tiranti	16,00	cm
Resistenza caratteristica a compressione del cls (Rbk)	30000	kPa
Tiro applicato (per tirante)	400,00	kN

Dati zona sismica

Identificazione del sito

Latitudine	43.612776
Longitudine	12.293281
Comune	
Provincia	
Regione	
Punti di interpolazione del reticolo	20740 - 20739 - 20961 - 20962

Tipo di opera

Tipo di costruzione	Opera ordinaria
Vita nominale	10 anni
Classe d'uso	II - Normali affollamenti e industrie non pericolose
Vita di riferimento	10 anni
Accelerazione al suolo a_g =	1.142 [m/s^2]
Coefficiente di amplificazione per tipo di sottosuolo (Ss)	1.20
Coefficiente di amplificazione topografica (St)	1.20
Coefficiente riduzione (b_s)	0.38
Rapporto intensità sismica verticale/orizzontale	0.50
Coefficiente di intensità sismica orizzontale (percento)	$k_h=(a_g/g*b_s*St*S)$ = 6.37
Coefficiente di intensità sismica verticale (percento)	$k_v=0.50 * k_h$ = 3.18

Dati normativa

Normativa :
Norme Tecniche sulle Costruzioni 14/01/2008

Coefficienti parziali per le azioni o per l'effetto delle azioni:

Carichi	Effetto	Simbologia	A2 Statico	A2 Sismico
Permanenti	Favorevole	g_{Gfav}	1.00	1.00
Permanenti	Sfavorevole	g_{Gsfav}	1.00	1.00
Variabili	Favorevole	g_{Qfav}	0.00	0.00
Variabili	Sfavorevole	g_{Qsfav}	1.30	1.00

Coefficienti parziali per i parametri geotecnici del terreno:

Parametri	Simbologia	M2 Statico	M2 Sismico
Tangente dell'angolo di attrito	$g_{tanf'}$	1.25	1.25
Coesione efficace	$g_{c'}$	1.25	1.25
Resistenza non drenata	g_{cu}	1.40	1.40
Resistenza a compressione uniassiale	g_{qu}	1.60	1.60
Peso dell'unità di volume	g_g	1.00	1.00

Coefficiente di sicurezza richiesto 1.10

Impostazioni delle superfici di rottura

Superfici di rottura circolari

Si considerano delle superfici di rottura circolari generate tramite la seguente maglia dei centri

Origine maglia	[m]	X_0 = -17,96	Y_0 = 29,07
Passo maglia	[m]	dX = 1,50	dY = 1,50
Numero passi		Nx = 20	Ny = 14
Raggio	[m]	R = 35,00	

Si utilizza un raggio variabile con passo dR=1,00 [m] ed un numero di incrementi pari a 50

Opzioni di calcolo

Per l'analisi sono stati utilizzati i seguenti metodi di calcolo:
- MORGENSTERN

Le superfici sono state analizzate solo in condizioni **sismiche**.
Le superfici sono state analizzate per i casi:
- Parametri caratteristici [PC];
- Sisma orizzontale e Sisma verticale (verso il basso e verso l'alto)

Analisi condotta in termini di **tensioni efficaci**
Presenza di carichi distribuiti

Condizioni di esclusione

Sono state escluse dall'analisi le superfici aventi:

- ascissa di intersezione a valle maggiore di	-3,00	m
- ascissa di intersezione a monte minore di	10,00	m

Risultati analisi

Numero di superfici analizzate	5494
Coefficiente di sicurezza minimo	2.797
Superficie con coefficiente di sicurezza minimo	1

Quadro sintetico coefficienti di sicurezza

Metodo	Nr. superfici	FS_{min}	S_{min}	FS_{max}	S_{max}
MORGENSTERN	5494	2.797	1	6.315	5494

Caratteristiche delle superfici analizzate

Simbologia adottata

Le ascisse X sono considerate positive verso monte
Le ordinate Y sono considerate positive verso l'alto

N°	numero d'ordine della superficie cerchio
C_x	ascissa x del centro [m]
C_y	ordinata y del centro [m]
R	raggio del cerchio espresso in m
x_v	ascissa del punto di intersezione con il profilo (valle) espresse in m
x_m	ascissa del punto di intersezione con il profilo (monte) espresse in m
V	volume interessato dalla superficie espresso [mc]
F_s	coefficiente di sicurezza
caso	caso di calcolo

Metodo di MORGENSTERN (M)

N°	Forma	C_x	C_y	R	x_v	x_m	V	F_s	Caso	Sisma
		[m]	*[m]*	*[m]*	*[m]*	*[m]*	*[mc]*			
1	C	-7,46	42,57	59,00	-24,62	43,82	795,91	2.797 (M)	[PC]	H+V
2	C	-8,96	47,07	63,00	-24,75	44,29	763,65	2.798 (M)	[PC]	H+V
3	C	-7,46	41,07	58,00	-25,62	43,51	818,86	2.799 (M)	[PC]	H+V
4	C	-8,96	45,57	62,00	-26,07	44,04	787,79	2.800 (M)	[PC]	H+V
5	C	-8,96	42,57	59,00	-25,67	42,32	755,00	2.801 (M)	[PC]	H+V
6	C	-8,96	44,07	60,00	-24,57	42,61	732,17	2.801 (M)	[PC]	H+V
7	C	-7,46	45,57	62,00	-24,83	45,54	828,73	2.803 (M)	[PC]	H+V
8	C	-7,46	44,07	60,00	-23,88	44,11	772,76	2.803 (M)	[PC]	H+V
9	C	-7,46	39,57	56,00	-24,40	42,05	762,04	2.803 (M)	[PC]	H+V
10	C	-7,46	38,07	55,00	-25,16	41,70	783,22	2.804 (M)	[PC]	H+V
11	C	-7,46	44,07	61,00	-26,07	45,27	853,06	2.807 (M)	[PC]	H+V
12	C	-8,96	44,07	61,00	-27,48	43,77	812,06	2.807 (M)	[PC]	H+V
13	C	-7,46	41,07	57,00	-23,68	42,37	740,29	2.807 (M)	[PC]	H+V
14	C	-8,96	48,57	65,00	-26,46	45,70	819,64	2.808 (M)	[PC]	H+V
15	C	-10,46	47,07	63,00	-25,87	42,79	722,70	2.808 (M)	[PC]	H+V
16	C	-8,96	48,57	64,00	-23,93	44,51	739,48	2.808 (M)	[PC]	H+V
17	C	-7,46	39,57	57,00	-26,83	43,18	841,76	2.808 (M)	[PC]	H+V
18	C	-5,96	38,07	55,00	-24,31	43,20	824,37	2.809 (M)	[PC]	H+V
19	C	-7,46	47,07	63,00	-24,07	45,79	804,31	2.809 (M)	[PC]	H+V
20	C	-8,96	45,57	61,00	-23,77	42,87	709,22	2.810 (M)	[PC]	H+V
21	C	-8,96	41,07	58,00	-27,04	42,01	777,55	2.810 (M)	[PC]	H+V
22	C	-5,96	39,57	56,00	-23,64	43,55	802,51	2.810 (M)	[PC]	H+V
23	C	-10,46	48,57	64,00	-24,56	43,01	698,88	2.810 (M)	[PC]	H+V
24	C	-5,96	36,57	54,00	-24,95	42,82	845,87	2.811 (M)	[PC]	H+V
25	C	-7,46	45,57	61,00	-23,10	44,37	749,42	2.811 (M)	[PC]	H+V
26	C	-8,96	39,57	56,00	-25,26	40,55	720,99	2.812 (M)	[PC]	H+V
27	C	-5,96	41,07	58,00	-24,57	45,01	859,73	2.813 (M)	[PC]	H+V
28	C	-8,96	41,07	57,00	-24,39	40,87	699,60	2.813 (M)	[PC]	H+V
29	C	-5,96	41,07	57,00	-22,95	43,87	780,34	2.814 (M)	[PC]	H+V
30	C	-7,46	42,57	58,00	-22,92	42,67	718,22	2.814 (M)	[PC]	H+V
31	C	-7,46	48,57	65,00	-25,06	47,20	860,89	2.814 (M)	[PC]	H+V
32	C	-8,96	47,07	64,00	-27,92	45,47	845,26	2.815 (M)	[PC]	H+V
33	C	-7,46	42,57	60,00	-27,32	44,97	877,43	2.815 (M)	[PC]	H+V
34	C	-7,46	36,57	54,00	-26,33	41,32	804,57	2.816 (M)	[PC]	H+V
35	C	-5,96	39,57	57,00	-25,41	44,68	882,71	2.816 (M)	[PC]	H+V
36	C	-8,96	42,57	60,00	-28,74	43,47	836,41	2.816 (M)	[PC]	H+V
37	C	-10,46	45,57	62,00	-27,48	42,54	746,76	2.816 (M)	[PC]	H+V
38	C	-10,46	48,57	65,00	-27,86	44,20	778,60	2.816 (M)	[PC]	H+V
39	C	-5,96	42,57	59,00	-23,88	45,32	836,48	2.816 (M)	[PC]	H+V
40	C	-10,46	44,07	60,00	-25,52	41,11	691,01	2.817 (M)	[PC]	H+V
41	C	-7,46	48,57	64,00	-23,27	46,01	780,01	2.818 (M)	[PC]	H+V
42	C	-5,96	36,57	53,00	-23,39	41,71	767,53	2.819 (M)	[PC]	H+V
43	C	-7,46	38,07	56,00	-27,92	42,81	864,51	2.820 (M)	[PC]	H+V
44	C	-7,46	36,57	53,00	-24,16	40,21	726,88	2.820 (M)	[PC]	H+V

N°	Forma	C_x	C_y	R	x_v	x_m	V	F_s	Caso	Sisma
		[m]	*[m]*	*[m]*	*[m]*	*[m]*	*[mc]*			
45	C	-5,96	38,07	54,00	-22,72	42,08	746,79	2.820 (M)	[PC]	H+V
46	C	-7,46	47,07	64,00	-26,51	46,97	886,27	2.820 (M)	[PC]	H+V
47	C	-8,96	42,57	58,00	-23,60	41,17	677,92	2.820 (M)	[PC]	H+V
48	C	-8,96	39,57	57,00	-28,25	41,68	800,37	2.820 (M)	[PC]	H+V
49	C	-7,46	38,07	54,00	-23,46	40,58	706,47	2.820 (M)	[PC]	H+V
50	C	-5,96	44,07	60,00	-23,17	45,61	812,97	2.821 (M)	[PC]	H+V
51	C	-8,96	47,07	62,00	-22,93	43,10	686,19	2.821 (M)	[PC]	H+V
52	C	-5,96	44,07	61,00	-24,82	46,77	894,30	2.821 (M)	[PC]	H+V
53	C	-5,96	35,07	52,00	-24,03	41,31	787,53	2.822 (M)	[PC]	H+V
54	C	-10,46	45,57	61,00	-24,42	41,37	668,49	2.822 (M)	[PC]	H+V
55	C	-8,96	45,57	63,00	-29,22	45,21	871,02	2.823 (M)	[PC]	H+V
56	C	-5,96	35,07	53,00	-25,94	42,41	867,06	2.823 (M)	[PC]	H+V
57	C	-7,46	35,07	52,00	-24,83	39,81	746,94	2.823 (M)	[PC]	H+V
58	C	-10,46	47,07	64,00	-29,32	43,97	804,21	2.823 (M)	[PC]	H+V
59	C	-8,96	38,07	55,00	-26,58	40,20	742,32	2.823 (M)	[PC]	H+V
60	C	-7,46	39,57	55,00	-22,73	40,91	686,09	2.824 (M)	[PC]	H+V
61	C	-10,46	44,07	61,00	-28,89	42,27	770,71	2.824 (M)	[PC]	H+V
62	C	-5,96	42,57	58,00	-22,50	44,17	757,89	2.824 (M)	[PC]	H+V
63	C	-7,46	42,57	59,00	-24,62	43,82	795,91	2.825 (M)	[PC]	H-V
64	C	-7,46	41,07	59,00	-28,45	44,65	901,71	2.825 (M)	[PC]	H+V
65	C	-8,96	47,07	63,00	-24,75	44,29	763,65	2.825 (M)	[PC]	H-V
66	C	-5,96	42,57	60,00	-25,90	46,47	918,39	2.826 (M)	[PC]	H+V
67	C	-5,96	38,07	56,00	-26,49	44,31	905,52	2.826 (M)	[PC]	H+V
68	C	-5,96	45,57	62,00	-24,11	47,04	869,72	2.826 (M)	[PC]	H+V
69	C	-7,46	41,07	58,00	-25,62	43,51	818,86	2.826 (M)	[PC]	H-V
70	C	-5,96	33,57	51,00	-24,64	40,88	807,40	2.826 (M)	[PC]	H+V
71	C	-8,96	41,07	59,00	-29,88	43,15	860,29	2.826 (M)	[PC]	H+V
72	C	-7,46	47,07	62,00	-22,55	44,60	725,91	2.826 (M)	[PC]	H+V
73	C	-10,46	42,57	59,00	-27,08	40,82	713,73	2.827 (M)	[PC]	H+V
74	C	-7,46	45,57	63,00	-27,80	46,71	912,03	2.827 (M)	[PC]	H+V
75	C	-8,96	45,57	62,00	-26,07	44,04	787,79	2.827 (M)	[PC]	H-V
76	C	-8,96	42,57	59,00	-25,67	42,32	755,00	2.827 (M)	[PC]	H-V
77	C	-8,96	44,07	60,00	-24,57	42,61	732,17	2.827 (M)	[PC]	H-V
78	C	-7,46	35,07	53,00	-27,37	40,91	825,71	2.829 (M)	[PC]	H+V
79	C	-7,46	44,07	59,00	-22,47	42,94	696,00	2.829 (M)	[PC]	H+V
80	C	-7,46	39,57	56,00	-24,40	42,05	762,04	2.830 (M)	[PC]	H-V
81	C	-7,46	44,07	60,00	-23,88	44,11	772,76	2.830 (M)	[PC]	H-V
82	C	-7,46	45,57	62,00	-24,83	45,54	828,73	2.830 (M)	[PC]	H-V
83	C	-5,96	45,57	61,00	-22,59	45,87	789,53	2.831 (M)	[PC]	H+V
84	C	-10,46	45,57	63,00	-30,63	43,71	829,90	2.831 (M)	[PC]	H+V
85	C	-5,96	39,57	55,00	-22,41	42,41	725,64	2.831 (M)	[PC]	H+V
86	C	-7,46	38,07	55,00	-25,16	41,70	783,22	2.831 (M)	[PC]	H-V
87	C	-8,96	44,07	62,00	-30,39	44,92	896,76	2.831 (M)	[PC]	H+V
88	C	-5,96	47,07	63,00	-23,37	47,29	844,93	2.832 (M)	[PC]	H+V
89	C	-4,46	36,57	53,00	-22,67	43,21	807,39	2.832 (M)	[PC]	H+V
90	C	-8,96	38,07	56,00	-29,35	41,31	823,15	2.833 (M)	[PC]	H+V
91	C	-7,46	36,57	55,00	-28,90	42,42	886,67	2.833 (M)	[PC]	H+V
92	C	-5,96	47,07	64,00	-25,10	48,47	927,56	2.833 (M)	[PC]	H+V
93	C	-4,46	35,07	52,00	-23,22	42,81	828,07	2.833 (M)	[PC]	H+V
94	C	-10,46	42,57	60,00	-30,16	41,97	794,99	2.834 (M)	[PC]	H+V
95	C	-5,96	41,07	59,00	-27,03	46,15	942,74	2.834 (M)	[PC]	H+V
96	C	-7,46	41,07	57,00	-23,68	42,37	740,29	2.834 (M)	[PC]	H-V
97	C	-4,46	38,07	55,00	-23,52	44,70	864,74	2.834 (M)	[PC]	H+V
98	C	-8,96	44,07	61,00	-27,48	43,77	812,06	2.834 (M)	[PC]	H-V
99	C	-11,96	48,57	64,00	-25,38	41,51	657,74	2.835 (M)	[PC]	H+V
100	C	-4,46	39,57	56,00	-22,87	45,05	842,57	2.835 (M)	[PC]	H+V
101	C	-7,46	44,07	62,00	-28,97	46,42	937,84	2.835 (M)	[PC]	H+V
102	C	-10,46	47,07	63,00	-25,87	42,79	722,70	2.835 (M)	[PC]	H-V
103	C	-7,46	44,07	61,00	-26,07	45,27	853,06	2.835 (M)	[PC]	H-V
104	C	-8,96	48,57	66,00	-29,68	46,89	904,66	2.835 (M)	[PC]	H+V
105	C	-8,96	48,57	65,00	-26,46	45,70	819,64	2.835 (M)	[PC]	H-V
106	C	-8,96	48,57	64,00	-23,93	44,51	739,48	2.835 (M)	[PC]	H-V
107	C	-7,46	39,57	58,00	-29,47	44,30	925,92	2.835 (M)	[PC]	H+V
108	C	-7,46	39,57	57,00	-26,83	43,18	841,76	2.836 (M)	[PC]	H-V
109	C	-4,46	36,57	54,00	-24,13	44,32	886,55	2.836 (M)	[PC]	H+V
110	C	-7,46	33,57	51,00	-25,81	39,38	766,66	2.836 (M)	[PC]	H+V
111	C	-10,46	48,57	66,00	-31,09	45,39	863,52	2.836 (M)	[PC]	H+V
112	C	-8,96	45,57	61,00	-23,77	42,87	709,22	2.836 (M)	[PC]	H-V
113	C	-8,96	36,57	54,00	-27,75	39,82	763,61	2.837 (M)	[PC]	H+V
114	C	-10,46	41,07	58,00	-28,45	40,51	736,57	2.837 (M)	[PC]	H+V
115	C	-8,96	41,07	58,00	-27,04	42,01	777,55	2.837 (M)	[PC]	H-V
116	C	-5,96	38,07	55,00	-24,31	43,20	824,37	2.837 (M)	[PC]	H-V
117	C	-5,96	32,07	50,00	-25,37	40,42	826,89	2.837 (M)	[PC]	H+V
118	C	-10,46	48,57	64,00	-24,56	43,01	698,88	2.837 (M)	[PC]	H-V
119	C	-7,46	47,07	63,00	-24,07	45,79	804,31	2.837 (M)	[PC]	H-V
120	C	-5,96	39,57	56,00	-23,64	43,55	802,51	2.838 (M)	[PC]	H-V
121	C	-5,96	36,57	55,00	-27,47	43,92	928,10	2.838 (M)	[PC]	H+V
122	C	-5,96	35,07	51,00	-22,61	40,21	711,61	2.838 (M)	[PC]	H+V
123	C	-5,96	33,57	52,00	-26,88	41,97	887,48	2.838 (M)	[PC]	H+V

N°	Forma	C_x	C_y	R	x_v	x_m	V	F_s	Caso	Sisma
		[m]	*[m]*	*[m]*	*[m]*	*[m]*	*[mc]*			
124	C	-8,96	39,57	58,00	-30,91	42,80	884,41	2.838 (M)	[PC]	H+V
125	C	-8,96	39,57	56,00	-25,26	40,55	720,99	2.838 (M)	[PC]	H-V
126	C	-11,96	48,57	65,00	-29,26	42,70	737,26	2.838 (M)	[PC]	H+V
127	C	-4,46	33,57	51,00	-23,81	42,38	848,32	2.838 (M)	[PC]	H+V
128	C	-7,46	45,57	61,00	-23,10	44,37	749,42	2.839 (M)	[PC]	H-V
129	C	-4,46	38,07	54,00	-22,37	43,58	786,23	2.839 (M)	[PC]	H+V
130	C	-5,96	48,57	65,00	-24,32	48,70	901,71	2.839 (M)	[PC]	H+V
131	C	-5,96	36,57	54,00	-24,95	42,82	845,87	2.839 (M)	[PC]	H-V
132	C	-5,96	33,57	50,00	-23,12	39,79	730,86	2.839 (M)	[PC]	H+V
133	C	-7,46	41,07	56,00	-22,40	41,23	665,04	2.839 (M)	[PC]	H+V
134	C	-5,96	45,57	63,00	-26,38	48,21	953,39	2.839 (M)	[PC]	H+V
135	C	-4,46	39,57	57,00	-24,43	46,18	923,51	2.840 (M)	[PC]	H+V
136	C	-8,96	41,07	57,00	-24,39	40,87	699,60	2.840 (M)	[PC]	H-V
137	C	-5,96	44,07	59,00	-22,18	44,44	735,05	2.840 (M)	[PC]	H+V
138	C	-10,46	44,07	62,00	-31,81	43,42	855,22	2.840 (M)	[PC]	H+V
139	C	-4,46	35,07	53,00	-24,71	43,91	907,93	2.840 (M)	[PC]	H+V
140	C	-4,46	41,07	58,00	-23,79	46,51	900,59	2.840 (M)	[PC]	H+V
141	C	-7,46	42,57	58,00	-22,92	42,67	718,22	2.841 (M)	[PC]	H-V
142	C	-5,96	41,07	57,00	-22,95	43,87	780,34	2.841 (M)	[PC]	H-V
143	C	-5,96	41,07	58,00	-24,57	45,01	859,73	2.841 (M)	[PC]	H-V
144	C	-8,96	42,57	61,00	-31,46	44,61	922,40	2.841 (M)	[PC]	H+V
145	C	-7,46	48,57	66,00	-28,26	48,39	946,01	2.842 (M)	[PC]	H+V
146	C	-5,96	48,57	64,00	-22,67	47,51	819,98	2.842 (M)	[PC]	H+V
147	C	-4,46	38,07	56,00	-25,07	45,81	946,42	2.842 (M)	[PC]	H+V
148	C	-4,46	41,07	57,00	-22,49	45,37	820,34	2.842 (M)	[PC]	H+V
149	C	-7,46	48,57	65,00	-25,06	47,20	860,89	2.842 (M)	[PC]	H-V
150	C	-8,96	47,07	65,00	-30,89	46,64	931,69	2.842 (M)	[PC]	H+V
151	C	-8,96	47,07	64,00	-27,92	45,47	845,26	2.842 (M)	[PC]	H-V
152	C	-11,96	47,07	63,00	-27,26	41,29	681,43	2.842 (M)	[PC]	H+V
153	C	-10,46	45,57	62,00	-27,48	42,54	746,76	2.843 (M)	[PC]	H-V
154	C	-7,46	36,57	54,00	-26,33	41,32	804,57	2.843 (M)	[PC]	H-V
155	C	-4,46	42,57	59,00	-23,13	46,82	877,00	2.843 (M)	[PC]	H+V
156	C	-10,46	48,57	65,00	-27,86	44,20	778,60	2.843 (M)	[PC]	H-V
157	C	-8,96	42,57	60,00	-28,74	43,47	836,41	2.843 (M)	[PC]	H-V
158	C	-7,46	42,57	60,00	-27,32	44,97	877,43	2.843 (M)	[PC]	H-V
159	C	-8,96	44,07	59,00	-22,78	41,44	656,31	2.844 (M)	[PC]	H+V
160	C	-5,96	39,57	57,00	-25,41	44,68	882,71	2.844 (M)	[PC]	H-V
161	C	-5,96	39,57	58,00	-28,04	45,80	966,91	2.844 (M)	[PC]	H+V
162	C	-7,46	42,57	61,00	-30,03	46,11	963,53	2.844 (M)	[PC]	H+V
163	C	-10,46	44,07	60,00	-25,52	41,11	691,01	2.844 (M)	[PC]	H-V
164	C	-5,96	42,57	59,00	-23,88	45,32	836,48	2.844 (M)	[PC]	H-V
165	C	-5,96	41,07	56,00	-22,09	42,73	704,06	2.844 (M)	[PC]	H+V
166	C	-5,96	36,57	52,00	-22,30	40,59	691,86	2.844 (M)	[PC]	H+V
167	C	-10,46	47,07	65,00	-32,31	45,14	890,50	2.844 (M)	[PC]	H+V
168	C	-10,46	41,07	59,00	-31,30	41,65	819,21	2.845 (M)	[PC]	H+V
169	C	-7,46	33,57	52,00	-28,31	40,47	846,53	2.845 (M)	[PC]	H+V
170	C	-8,96	36,57	53,00	-24,91	38,71	686,24	2.845 (M)	[PC]	H+V
171	C	-10,46	41,07	57,00	-25,16	39,37	658,80	2.845 (M)	[PC]	H+V
172	C	-4,46	32,07	50,00	-24,37	41,92	868,08	2.846 (M)	[PC]	H+V
173	C	-7,46	48,57	64,00	-23,27	46,01	780,01	2.846 (M)	[PC]	H-V
174	C	-11,96	47,07	64,00	-30,73	42,47	762,78	2.846 (M)	[PC]	H+V
175	C	-5,96	44,07	62,00	-27,55	47,92	979,20	2.846 (M)	[PC]	H+V
176	C	-4,46	33,57	50,00	-22,53	41,29	770,97	2.846 (M)	[PC]	H+V
177	C	-5,96	36,57	53,00	-23,39	41,71	767,53	2.846 (M)	[PC]	H-V
178	C	-5,96	32,07	49,00	-23,73	39,34	749,66	2.846 (M)	[PC]	H+V
179	C	-8,96	38,07	54,00	-24,19	39,08	666,18	2.846 (M)	[PC]	H+V
180	C	-8,96	36,57	55,00	-30,33	40,92	845,66	2.847 (M)	[PC]	H+V
181	C	-5,96	47,07	62,00	-22,26	46,10	765,48	2.847 (M)	[PC]	H+V
182	C	-7,46	36,57	53,00	-24,16	40,21	726,88	2.847 (M)	[PC]	H-V
183	C	-8,96	42,57	58,00	-23,60	41,17	677,92	2.847 (M)	[PC]	H-V
184	C	-4,46	39,57	55,00	-22,07	43,91	764,58	2.847 (M)	[PC]	H+V
185	C	-7,46	38,07	56,00	-27,92	42,81	864,51	2.847 (M)	[PC]	H-V
186	C	-7,46	38,07	54,00	-23,46	40,58	706,47	2.847 (M)	[PC]	H-V
187	C	-5,96	38,07	54,00	-22,72	42,08	746,79	2.847 (M)	[PC]	H-V
188	C	-8,96	39,57	57,00	-28,25	41,68	800,37	2.847 (M)	[PC]	H-V
189	C	-8,96	47,07	62,00	-22,93	43,10	686,19	2.848 (M)	[PC]	H-V
190	C	-4,46	42,57	60,00	-24,71	47,97	959,66	2.848 (M)	[PC]	H+V
191	C	-7,46	38,07	57,00	-30,40	43,92	949,85	2.848 (M)	[PC]	H+V
192	C	-7,46	47,07	65,00	-29,47	48,14	972,79	2.848 (M)	[PC]	H+V
193	C	-7,46	35,07	54,00	-29,79	42,00	908,92	2.848 (M)	[PC]	H+V
194	C	-7,46	47,07	64,00	-26,51	46,97	886,27	2.848 (M)	[PC]	H-V
195	C	-10,46	39,57	57,00	-29,68	40,18	759,38	2.849 (M)	[PC]	H+V
196	C	-4,46	32,07	49,00	-22,90	40,84	789,67	2.849 (M)	[PC]	H+V
197	C	-5,96	44,07	60,00	-23,17	45,61	812,97	2.849 (M)	[PC]	H-V
198	C	-10,46	45,57	61,00	-24,42	41,37	668,49	2.849 (M)	[PC]	H-V
199	C	-4,46	35,07	51,00	-22,24	41,71	751,26	2.849 (M)	[PC]	H+V
200	C	-5,96	35,07	52,00	-24,03	41,31	787,53	2.849 (M)	[PC]	H-V
201	C	-10,46	47,07	62,00	-23,55	41,60	646,14	2.849 (M)	[PC]	H+V
202	C	-8,96	38,07	55,00	-26,58	40,20	742,32	2.850 (M)	[PC]	H-V

N°	Forma	C_x	C_y	R	x_v	x_m	V	F_s	Caso	Sisma
		[m]	*[m]*	*[m]*	*[m]*	*[m]*	*[mc]*			
203	C	-5,96	44,07	61,00	-24,82	46,77	894,30	2.850 (M)	[PC]	H-V
204	C	-7,46	35,07	52,00	-24,83	39,81	746,94	2.850 (M)	[PC]	H-V
205	C	-4,46	33,57	52,00	-25,44	43,47	928,87	2.850 (M)	[PC]	H+V
206	C	-10,46	47,07	64,00	-29,32	43,97	804,21	2.850 (M)	[PC]	H-V
207	C	-4,46	44,07	60,00	-22,60	47,11	853,14	2.850 (M)	[PC]	H+V
208	C	-8,96	45,57	63,00	-29,22	45,21	871,02	2.850 (M)	[PC]	H-V
209	C	-11,96	45,57	62,00	-28,88	41,04	705,45	2.850 (M)	[PC]	H+V
210	C	-4,46	44,07	61,00	-24,06	48,27	934,99	2.850 (M)	[PC]	H+V
211	C	-5,96	35,07	53,00	-25,94	42,41	867,06	2.851 (M)	[PC]	H-V
212	C	-7,46	39,57	55,00	-22,73	40,91	686,09	2.851 (M)	[PC]	H-V
213	C	-10,46	42,57	61,00	-32,89	43,11	880,91	2.851 (M)	[PC]	H+V
214	C	-8,96	45,57	64,00	-32,00	46,37	958,79	2.851 (M)	[PC]	H+V
215	C	-8,96	39,57	55,00	-23,43	39,41	645,83	2.851 (M)	[PC]	H+V
216	C	-10,46	44,07	61,00	-28,89	42,27	770,71	2.851 (M)	[PC]	H-V
217	C	-5,96	35,07	54,00	-28,36	43,50	950,35	2.851 (M)	[PC]	H+V
218	C	-4,46	41,07	59,00	-25,60	47,65	984,07	2.851 (M)	[PC]	H+V
219	C	-8,96	38,07	57,00	-31,84	42,42	908,28	2.852 (M)	[PC]	H+V
220	C	-10,46	42,57	58,00	-24,26	39,67	637,54	2.852 (M)	[PC]	H+V
221	C	-5,96	42,57	58,00	-22,50	44,17	757,89	2.852 (M)	[PC]	H-V
222	C	-11,96	48,57	66,00	-32,51	43,89	821,97	2.852 (M)	[PC]	H+V
223	C	-7,46	41,07	59,00	-28,45	44,65	901,71	2.853 (M)	[PC]	H-V
224	C	-4,46	36,57	55,00	-26,04	45,42	969,04	2.853 (M)	[PC]	H+V
225	C	-8,96	35,07	53,00	-28,80	39,41	784,75	2.853 (M)	[PC]	H+V
226	C	-8,96	41,07	60,00	-32,43	44,28	947,87	2.853 (M)	[PC]	H+V
227	C	-4,46	42,57	58,00	-22,18	45,67	797,37	2.853 (M)	[PC]	H+V
228	C	-10,46	42,57	59,00	-27,08	40,82	713,73	2.853 (M)	[PC]	H-V
229	C	-7,46	47,07	62,00	-22,55	44,60	725,91	2.854 (M)	[PC]	H-V
230	C	-5,96	33,57	51,00	-24,64	40,88	807,40	2.854 (M)	[PC]	H-V
231	C	-8,96	41,07	59,00	-29,88	43,15	860,29	2.854 (M)	[PC]	H-V
232	C	-10,46	45,57	64,00	-33,42	44,87	917,66	2.854 (M)	[PC]	H+V
233	C	-5,96	38,07	56,00	-26,49	44,31	905,52	2.854 (M)	[PC]	H-V
234	C	-5,96	42,57	61,00	-28,60	47,61	1004,51	2.854 (M)	[PC]	H+V
235	C	-5,96	42,57	60,00	-25,90	46,47	918,39	2.854 (M)	[PC]	H-V
236	C	-5,96	38,07	53,00	-21,99	40,95	671,91	2.854 (M)	[PC]	H+V
237	C	-5,96	45,57	62,00	-24,11	47,04	869,72	2.854 (M)	[PC]	H-V
238	C	-11,96	45,57	63,00	-32,05	42,21	788,40	2.854 (M)	[PC]	H+V
239	C	-7,46	41,07	60,00	-31,00	45,78	989,04	2.854 (M)	[PC]	H+V
240	C	-4,46	45,57	62,00	-23,37	48,54	910,06	2.855 (M)	[PC]	H+V
241	C	-7,46	32,07	50,00	-26,80	38,92	786,01	2.855 (M)	[PC]	H+V
242	C	-5,96	32,07	51,00	-27,72	41,50	907,96	2.855 (M)	[PC]	H+V
243	C	-4,46	36,57	52,00	-21,95	42,09	730,96	2.855 (M)	[PC]	H+V
244	C	-5,96	30,57	49,00	-26,26	39,93	845,98	2.855 (M)	[PC]	H+V
245	C	-7,46	45,57	63,00	-27,80	46,71	912,03	2.855 (M)	[PC]	H-V
246	C	-5,96	38,07	57,00	-28,97	45,42	990,91	2.855 (M)	[PC]	H+V
247	C	-5,96	48,57	66,00	-26,85	49,89	987,07	2.855 (M)	[PC]	H+V
248	C	-8,96	48,57	63,00	-22,46	43,31	662,97	2.856 (M)	[PC]	H+V
249	C	-7,46	45,57	64,00	-30,57	47,87	999,94	2.856 (M)	[PC]	H+V
250	C	-10,46	39,57	56,00	-26,67	39,05	680,04	2.856 (M)	[PC]	H+V
251	C	-4,46	30,57	49,00	-24,89	41,43	886,70	2.856 (M)	[PC]	H+V
252	C	-7,46	44,07	59,00	-22,47	42,94	696,00	2.856 (M)	[PC]	H-V
253	C	-7,46	35,07	53,00	-27,37	40,91	825,71	2.857 (M)	[PC]	H-V
254	C	-7,46	35,07	51,00	-23,23	38,71	671,78	2.857 (M)	[PC]	H+V
255	C	-10,46	39,57	58,00	-32,34	41,30	843,27	2.857 (M)	[PC]	H+V
256	C	-5,96	30,57	48,00	-24,32	38,86	767,97	2.857 (M)	[PC]	H+V
257	C	-4,46	30,57	48,00	-23,47	40,36	808,26	2.858 (M)	[PC]	H+V
258	C	-4,46	41,07	56,00	-21,76	44,23	742,47	2.858 (M)	[PC]	H+V
259	C	-10,46	45,57	63,00	-30,63	43,71	829,90	2.858 (M)	[PC]	H-V
260	C	-5,96	39,57	55,00	-22,41	42,41	725,64	2.858 (M)	[PC]	H-V
261	C	-8,96	35,07	52,00	-26,11	38,31	706,04	2.858 (M)	[PC]	H+V
262	C	-5,96	45,57	61,00	-22,59	45,87	789,53	2.859 (M)	[PC]	H-V
263	C	-4,46	45,57	63,00	-24,98	49,71	994,34	2.859 (M)	[PC]	H+V
264	C	-11,96	44,07	61,00	-30,31	40,77	729,63	2.859 (M)	[PC]	H+V
265	C	-8,96	44,07	62,00	-30,39	44,92	896,76	2.859 (M)	[PC]	H-V
266	C	-8,96	38,07	56,00	-29,35	41,31	823,15	2.860 (M)	[PC]	H-V
267	C	-7,46	36,57	52,00	-22,64	39,09	652,49	2.860 (M)	[PC]	H+V
268	C	-4,46	39,57	58,00	-26,61	47,30	1008,30	2.860 (M)	[PC]	H+V
269	C	-7,46	33,57	50,00	-23,91	38,29	690,70	2.860 (M)	[PC]	H+V
270	C	-4,46	36,57	53,00	-22,67	43,21	807,39	2.860 (M)	[PC]	H-V
271	C	-11,96	47,07	65,00	-33,73	43,64	849,01	2.860 (M)	[PC]	H+V
272	C	-7,46	48,57	63,00	-22,20	44,81	702,11	2.861 (M)	[PC]	H+V
273	C	-5,96	47,07	63,00	-23,37	47,29	844,93	2.861 (M)	[PC]	H-V
274	C	-5,96	47,07	65,00	-28,05	49,64	1014,19	2.861 (M)	[PC]	H+V
275	C	-10,46	42,57	60,00	-30,16	41,97	794,99	2.861 (M)	[PC]	H-V
276	C	-7,46	36,57	55,00	-28,90	42,42	886,67	2.861 (M)	[PC]	H-V
277	C	-8,96	44,07	63,00	-33,01	46,07	985,87	2.861 (M)	[PC]	H+V
278	C	-11,96	48,57	64,00	-25,38	41,51	657,74	2.861 (M)	[PC]	H-V
279	C	-4,46	35,07	52,00	-23,22	42,81	828,07	2.861 (M)	[PC]	H-V
280	C	-4,46	47,07	63,00	-22,70	48,79	884,92	2.862 (M)	[PC]	H+V
281	C	-7,46	45,57	60,00	-22,13	43,19	673,34	2.862 (M)	[PC]	H+V

N°	Forma	C_x	C_y	R	x_v	x_m	V	F_s	Caso	Sisma
		[m]	*[m]*	*[m]*	*[m]*	*[m]*	*[mc]*			
282	C	-5,96	47,07	64,00	-25,10	48,47	927,56	2.862 (M)	[PC]	H-V
283	C	-7,46	36,57	56,00	-31,25	43,52	972,94	2.862 (M)	[PC]	H+V
284	C	-10,46	38,07	56,00	-30,77	39,81	782,07	2.862 (M)	[PC]	H+V
285	C	-4,46	38,07	55,00	-23,52	44,70	864,74	2.863 (M)	[PC]	H-V
286	C	-5,96	41,07	59,00	-27,03	46,15	942,74	2.863 (M)	[PC]	H-V
287	C	-8,96	35,07	54,00	-31,23	40,50	867,86	2.863 (M)	[PC]	H+V
288	C	-4,46	39,57	56,00	-22,87	45,05	842,57	2.863 (M)	[PC]	H-V
289	C	-4,46	45,57	61,00	-22,28	47,37	828,91	2.863 (M)	[PC]	H+V
290	C	-4,46	47,07	64,00	-24,30	49,97	968,35	2.863 (M)	[PC]	H+V
291	C	-10,46	41,07	60,00	-33,86	42,78	906,36	2.863 (M)	[PC]	H+V
292	C	-7,46	44,07	62,00	-28,97	46,42	937,84	2.863 (M)	[PC]	H-V
293	C	-8,96	48,57	66,00	-29,68	46,89	904,66	2.863 (M)	[PC]	H-V
294	C	-7,46	33,57	51,00	-25,81	39,38	766,66	2.863 (M)	[PC]	H-V
295	C	-7,46	32,07	51,00	-29,16	40,00	867,06	2.863 (M)	[PC]	H+V
296	C	-10,46	41,07	58,00	-28,45	40,51	736,57	2.863 (M)	[PC]	H-V
297	C	-8,96	36,57	54,00	-27,75	39,82	763,61	2.864 (M)	[PC]	H-V
298	C	-7,46	39,57	58,00	-29,47	44,30	925,92	2.864 (M)	[PC]	H-V
299	C	-4,46	38,07	53,00	-21,64	42,45	710,20	2.864 (M)	[PC]	H+V
300	C	-5,96	41,07	60,00	-29,57	47,28	1030,01	2.864 (M)	[PC]	H+V
301	C	-8,96	48,57	67,00	-32,52	48,07	994,28	2.864 (M)	[PC]	H+V
302	C	-10,46	48,57	66,00	-31,09	45,39	863,52	2.864 (M)	[PC]	H-V
303	C	-11,96	44,07	62,00	-33,24	41,92	814,14	2.864 (M)	[PC]	H+V
304	C	-10,46	48,57	67,00	-33,95	46,57	953,16	2.864 (M)	[PC]	H+V
305	C	-4,46	36,57	54,00	-24,13	44,32	886,55	2.865 (M)	[PC]	H-V
306	C	-5,96	32,07	50,00	-25,37	40,42	826,89	2.865 (M)	[PC]	H-V
307	C	-4,46	44,07	62,00	-26,12	49,42	1020,21	2.865 (M)	[PC]	H+V
308	C	-7,46	44,07	63,00	-31,58	47,57	1026,96	2.865 (M)	[PC]	H+V
309	C	3,04	33,57	43,00	-4,58	41,02	468,27	2.865 (M)	[PC]	H+V
310	C	-5,96	35,07	51,00	-22,61	40,21	711,61	2.865 (M)	[PC]	H-V
311	C	-10,46	44,07	63,00	-34,44	44,57	944,21	2.865 (M)	[PC]	H+V
312	C	-11,96	48,57	65,00	-29,26	42,70	737,26	2.865 (M)	[PC]	H-V
313	C	-4,46	35,07	54,00	-26,92	45,00	991,34	2.865 (M)	[PC]	H+V
314	C	-4,46	32,07	51,00	-26,28	43,00	949,40	2.865 (M)	[PC]	H+V
315	C	-2,96	35,07	52,00	-22,57	44,31	867,81	2.865 (M)	[PC]	H+V
316	C	-7,46	33,57	53,00	-30,60	41,55	930,77	2.866 (M)	[PC]	H+V
317	C	-8,96	39,57	58,00	-30,91	42,80	884,41	2.866 (M)	[PC]	H-V
318	C	-4,46	44,07	59,00	-21,86	45,94	773,98	2.866 (M)	[PC]	H+V
319	C	-2,96	38,07	55,00	-22,72	46,20	905,09	2.866 (M)	[PC]	H+V
320	C	-7,46	41,07	56,00	-22,40	41,23	665,04	2.866 (M)	[PC]	H-V
321	C	-5,96	33,57	52,00	-26,88	41,97	887,48	2.866 (M)	[PC]	H-V
322	C	-5,96	36,57	55,00	-27,47	43,92	928,10	2.866 (M)	[PC]	H-V
323	C	-8,96	39,57	59,00	-33,32	43,92	972,62	2.866 (M)	[PC]	H+V
324	C	-5,96	33,57	50,00	-23,12	39,79	730,86	2.866 (M)	[PC]	H-V
325	C	-4,46	33,57	51,00	-23,81	42,38	848,32	2.866 (M)	[PC]	H-V
326	C	-7,46	39,57	59,00	-31,88	45,42	1014,18	2.866 (M)	[PC]	H+V
327	C	-4,46	38,07	54,00	-22,37	43,58	786,23	2.867 (M)	[PC]	H-V
328	C	-8,96	45,57	60,00	-22,40	41,69	634,23	2.867 (M)	[PC]	H+V
329	C	-10,46	48,57	63,00	-22,69	41,81	623,40	2.867 (M)	[PC]	H+V
330	C	-7,46	32,07	49,00	-24,55	37,84	709,20	2.867 (M)	[PC]	H+V
331	C	-8,96	36,57	56,00	-32,69	42,02	931,94	2.867 (M)	[PC]	H+V
332	C	-2,96	33,57	51,00	-22,96	43,88	888,34	2.867 (M)	[PC]	H+V
333	C	-5,96	33,57	53,00	-29,16	43,05	971,74	2.867 (M)	[PC]	H+V
334	C	-5,96	44,07	59,00	-22,18	44,44	735,05	2.867 (M)	[PC]	H-V
335	C	-2,96	36,57	54,00	-23,30	45,82	927,19	2.868 (M)	[PC]	H+V
336	C	-10,46	44,07	62,00	-31,81	43,42	855,22	2.868 (M)	[PC]	H-V
337	C	-5,96	45,57	64,00	-29,14	49,37	1041,42	2.868 (M)	[PC]	H+V
338	C	-5,96	48,57	65,00	-24,32	48,70	901,71	2.868 (M)	[PC]	H-V
339	C	-2,96	36,57	53,00	-22,29	44,71	846,71	2.868 (M)	[PC]	H+V
340	C	-5,96	45,57	63,00	-26,38	48,21	953,39	2.868 (M)	[PC]	H-V
341	C	-10,46	38,07	55,00	-27,99	38,70	701,30	2.868 (M)	[PC]	H+V
342	C	-5,96	36,57	56,00	-29,81	45,02	1014,54	2.869 (M)	[PC]	H+V
343	C	-4,46	39,57	57,00	-24,43	46,18	923,51	2.869 (M)	[PC]	H-V
344	C	-4,46	35,07	53,00	-24,71	43,91	907,93	2.869 (M)	[PC]	H-V
345	C	-11,96	44,07	60,00	-26,91	39,61	650,03	2.869 (M)	[PC]	H+V
346	C	-11,96	47,07	63,00	-27,26	41,29	681,43	2.869 (M)	[PC]	H-V
347	C	-4,46	41,07	58,00	-23,79	46,51	900,59	2.869 (M)	[PC]	H-V
348	C	-11,96	42,57	60,00	-31,58	40,47	753,85	2.869 (M)	[PC]	H+V
349	C	-8,96	42,57	61,00	-31,46	44,61	922,40	2.869 (M)	[PC]	H-V
350	C	-4,46	29,07	47,00	-24,00	39,85	826,27	2.870 (M)	[PC]	H+V
351	C	-11,96	45,57	64,00	-34,85	43,37	876,04	2.870 (M)	[PC]	H+V
352	C	-5,96	48,57	64,00	-22,67	47,51	819,98	2.870 (M)	[PC]	H-V
353	C	-5,96	45,57	60,00	-21,84	44,69	711,83	2.870 (M)	[PC]	H+V
354	C	-7,46	48,57	66,00	-28,26	48,39	946,01	2.870 (M)	[PC]	H-V
355	C	-4,46	41,07	57,00	-22,49	45,37	820,34	2.870 (M)	[PC]	H-V
356	C	-8,96	44,07	59,00	-22,78	41,44	656,31	2.871 (M)	[PC]	H-V
357	C	4,54	33,57	43,00	-3,08	42,52	501,40	2.871 (M)	[PC]	H+V
358	C	-7,46	48,57	67,00	-31,10	49,57	1035,84	2.871 (M)	[PC]	H+V
359	C	-8,96	47,07	65,00	-30,89	46,64	931,69	2.871 (M)	[PC]	H-V
360	C	-2,96	33,57	50,00	-22,13	42,79	810,07	2.871 (M)	[PC]	H+V

N°	Forma	C_x	C_y	R	x_v	x_m	V	F_s	Caso	Sisma
		[m]	*[m]*	*[m]*	*[m]*	*[m]*	*[mc]*			
361	C	-4,46	38,07	56,00	-25,07	45,81	946,42	2.871 (M)	[PC]	H-V
362	C	-4,46	38,07	57,00	-27,53	46,92	1031,85	2.871 (M)	[PC]	H+V
363	C	-7,46	42,57	57,00	-22,06	41,51	643,59	2.871 (M)	[PC]	H+V
364	C	-5,96	36,57	52,00	-22,30	40,59	691,86	2.871 (M)	[PC]	H-V
365	C	-5,96	41,07	56,00	-22,09	42,73	704,06	2.871 (M)	[PC]	H-V
366	C	-4,46	42,57	57,00	-21,44	44,51	719,94	2.871 (M)	[PC]	H+V
367	C	-2,96	39,57	56,00	-22,43	46,55	882,54	2.871 (M)	[PC]	H+V
368	C	-8,96	33,57	52,00	-29,75	38,97	805,58	2.872 (M)	[PC]	H+V
369	C	-4,46	42,57	59,00	-23,13	46,82	877,00	2.872 (M)	[PC]	H-V
370	C	-10,46	41,07	57,00	-25,16	39,37	658,80	2.872 (M)	[PC]	H-V
371	C	-2,96	32,07	49,00	-22,40	42,34	829,64	2.872 (M)	[PC]	H+V
372	C	-8,96	36,57	53,00	-24,91	38,71	686,24	2.872 (M)	[PC]	H-V
373	C	-2,96	35,07	53,00	-23,86	45,41	948,45	2.872 (M)	[PC]	H+V
374	C	-4,46	32,07	48,00	-22,10	39,76	714,45	2.872 (M)	[PC]	H+V
375	C	-10,46	41,07	59,00	-31,30	41,65	819,21	2.872 (M)	[PC]	H-V
376	C	-4,46	42,57	61,00	-27,17	49,11	1045,97	2.872 (M)	[PC]	H+V
377	C	-4,46	33,57	49,00	-21,81	40,20	695,69	2.872 (M)	[PC]	H+V
378	C	-10,46	38,07	57,00	-33,27	40,92	867,23	2.872 (M)	[PC]	H+V
379	C	-2,96	35,07	51,00	-21,85	43,21	789,90	2.872 (M)	[PC]	H+V
380	C	-5,96	29,07	47,00	-24,87	38,35	785,72	2.872 (M)	[PC]	H+V
381	C	-8,96	42,57	62,00	-33,93	45,75	1012,71	2.872 (M)	[PC]	H+V
382	C	-10,46	47,07	65,00	-32,31	45,14	890,50	2.872 (M)	[PC]	H-V
383	C	-7,46	38,07	53,00	-22,31	39,45	632,76	2.872 (M)	[PC]	H+V
384	C	-7,46	42,57	61,00	-30,03	46,11	963,53	2.873 (M)	[PC]	H-V
385	C	-11,96	48,57	67,00	-35,37	45,07	911,48	2.873 (M)	[PC]	H+V
386	C	-8,96	47,07	66,00	-33,57	47,81	1022,83	2.873 (M)	[PC]	H+V
387	C	-7,46	33,57	52,00	-28,31	40,47	846,53	2.873 (M)	[PC]	H-V
388	C	-5,96	39,57	58,00	-28,04	45,80	966,91	2.873 (M)	[PC]	H-V
389	C	3,04	36,57	46,00	-4,84	42,78	493,56	2.873 (M)	[PC]	H+V
390	C	-11,96	47,07	64,00	-30,73	42,47	762,78	2.873 (M)	[PC]	H-V
391	C	-2,96	38,07	54,00	-22,00	45,08	825,07	2.873 (M)	[PC]	H+V
392	C	-2,96	39,57	57,00	-23,62	47,68	964,33	2.873 (M)	[PC]	H+V
393	C	-5,96	42,57	57,00	-21,76	43,01	682,05	2.873 (M)	[PC]	H+V
394	C	-8,96	38,07	54,00	-24,19	39,08	666,18	2.873 (M)	[PC]	H-V
395	C	-2,96	41,07	58,00	-23,00	48,01	940,75	2.873 (M)	[PC]	H+V
396	C	-5,96	32,07	49,00	-23,73	39,34	749,66	2.874 (M)	[PC]	H-V
397	C	-4,46	32,07	50,00	-24,37	41,92	868,08	2.874 (M)	[PC]	H-V
398	C	-10,46	47,07	66,00	-35,00	46,31	981,59	2.874 (M)	[PC]	H+V
399	C	-4,46	33,57	50,00	-22,53	41,29	770,97	2.874 (M)	[PC]	H-V
400	C	-11,96	45,57	61,00	-25,08	39,87	627,75	2.874 (M)	[PC]	H+V
401	C	-8,96	36,57	55,00	-30,33	40,92	845,66	2.874 (M)	[PC]	H-V
402	C	-8,96	41,07	56,00	-22,69	39,73	625,25	2.875 (M)	[PC]	H+V
403	C	-4,46	29,07	48,00	-25,62	40,91	905,34	2.875 (M)	[PC]	H+V
404	C	-2,96	38,07	56,00	-24,20	47,31	987,54	2.875 (M)	[PC]	H+V
405	C	-5,96	30,57	50,00	-28,48	41,00	928,02	2.875 (M)	[PC]	H+V
406	C	-5,96	47,07	62,00	-22,26	46,10	765,48	2.875 (M)	[PC]	H-V
407	C	-2,96	32,07	50,00	-23,50	43,42	908,36	2.875 (M)	[PC]	H+V
408	C	-4,46	39,57	55,00	-22,07	43,91	764,58	2.875 (M)	[PC]	H-V
409	C	-5,96	39,57	59,00	-30,45	46,92	1055,31	2.875 (M)	[PC]	H+V
410	C	-7,46	42,57	62,00	-32,50	47,25	1053,79	2.875 (M)	[PC]	H+V
411	C	-5,96	44,07	62,00	-27,55	47,92	979,20	2.875 (M)	[PC]	H-V
412	C	-4,46	30,57	47,00	-22,38	39,29	732,59	2.875 (M)	[PC]	H+V
413	C	-10,46	39,57	57,00	-29,68	40,18	759,38	2.876 (M)	[PC]	H-V
414	C	-2,96	30,57	48,00	-22,67	41,86	848,56	2.876 (M)	[PC]	H+V
415	C	-5,96	44,07	63,00	-30,14	49,07	1068,50	2.876 (M)	[PC]	H+V
416	C	-11,96	42,57	61,00	-34,31	41,61	839,72	2.876 (M)	[PC]	H+V
417	C	-2,96	36,57	52,00	-21,57	43,59	769,17	2.876 (M)	[PC]	H+V
418	C	-10,46	47,07	62,00	-23,55	41,60	646,14	2.876 (M)	[PC]	H-V
419	C	-5,96	29,07	48,00	-27,06	39,41	864,52	2.876 (M)	[PC]	H+V
420	C	-4,46	48,57	64,00	-22,37	49,01	859,51	2.876 (M)	[PC]	H+V
421	C	-4,46	35,07	50,00	-21,52	40,60	676,70	2.876 (M)	[PC]	H+V
422	C	-7,46	38,07	57,00	-30,40	43,92	949,85	2.876 (M)	[PC]	H-V
423	C	-7,46	35,07	54,00	-29,79	42,00	908,92	2.876 (M)	[PC]	H-V
424	C	-4,46	32,07	49,00	-22,90	40,84	789,67	2.876 (M)	[PC]	H-V
425	C	-7,46	30,57	49,00	-27,70	38,43	805,06	2.877 (M)	[PC]	H+V
426	C	-4,46	35,07	51,00	-22,24	41,71	751,26	2.877 (M)	[PC]	H-V
427	C	-7,46	47,07	65,00	-29,47	48,14	972,79	2.877 (M)	[PC]	H-V
428	C	-11,96	45,57	62,00	-28,88	41,04	705,45	2.877 (M)	[PC]	H-V
429	C	-10,46	39,57	59,00	-34,76	42,42	931,45	2.877 (M)	[PC]	H+V
430	C	-10,46	42,57	62,00	-35,37	44,25	971,00	2.877 (M)	[PC]	H+V
431	C	-5,96	48,57	63,00	-21,92	46,31	741,11	2.877 (M)	[PC]	H+V
432	C	-8,96	33,57	51,00	-27,23	37,88	725,28	2.877 (M)	[PC]	H+V
433	C	-4,46	42,57	60,00	-24,71	47,97	959,66	2.877 (M)	[PC]	H-V
434	C	-8,96	39,57	55,00	-23,43	39,41	645,83	2.878 (M)	[PC]	H-V
435	C	-4,46	47,07	62,00	-21,95	47,60	804,32	2.878 (M)	[PC]	H+V
436	C	-10,46	44,07	59,00	-23,41	39,94	616,08	2.878 (M)	[PC]	H+V
437	C	-7,46	47,07	66,00	-32,14	49,31	1063,92	2.878 (M)	[PC]	H+V
438	C	-2,96	36,57	55,00	-24,76	46,92	1010,34	2.878 (M)	[PC]	H+V
439	C	-11,96	42,57	59,00	-28,48	39,32	672,71	2.878 (M)	[PC]	H+V

N°	Forma	C_x	C_y	R	x_v	x_m	V	F_s	Caso	Sisma
		[m]	*[m]*	*[m]*	*[m]*	*[m]*	*[mc]*			
440	C	-10,46	42,57	58,00	-24,26	39,67	637,54	2.878 (M)	[PC]	H-V
441	C	-2,96	33,57	52,00	-24,40	44,97	969,62	2.879 (M)	[PC]	H+V
442	C	-10,46	42,57	61,00	-32,89	43,11	880,91	2.879 (M)	[PC]	H-V
443	C	-4,46	33,57	52,00	-25,44	43,47	928,87	2.879 (M)	[PC]	H-V
444	C	-7,46	35,07	55,00	-32,02	43,09	996,13	2.879 (M)	[PC]	H+V
445	C	-10,46	36,57	55,00	-31,77	39,42	804,54	2.879 (M)	[PC]	H+V
446	C	-2,96	41,07	57,00	-22,13	46,87	859,50	2.879 (M)	[PC]	H+V
447	C	-2,96	42,57	59,00	-22,56	48,32	916,83	2.879 (M)	[PC]	H+V
448	C	-4,46	44,07	60,00	-22,60	47,11	853,14	2.879 (M)	[PC]	H-V
449	C	-8,96	38,07	57,00	-31,84	42,42	908,28	2.879 (M)	[PC]	H-V
450	C	-8,96	45,57	64,00	-32,00	46,37	958,79	2.880 (M)	[PC]	H-V
451	C	-11,96	48,57	66,00	-32,51	43,89	821,97	2.880 (M)	[PC]	H-V
452	C	-2,96	39,57	55,00	-21,71	45,41	803,24	2.880 (M)	[PC]	H+V
453	C	-4,46	44,07	61,00	-24,06	48,27	934,99	2.880 (M)	[PC]	H-V
454	C	-5,96	35,07	54,00	-28,36	43,50	950,35	2.880 (M)	[PC]	H-V
455	C	-4,46	33,57	53,00	-27,72	44,55	1013,24	2.880 (M)	[PC]	H+V
456	C	-8,96	35,07	53,00	-28,80	39,41	784,75	2.880 (M)	[PC]	H-V
457	C	-7,46	38,07	58,00	-32,69	45,03	1039,11	2.880 (M)	[PC]	H+V
458	C	-4,46	45,57	60,00	-21,54	46,19	750,22	2.880 (M)	[PC]	H+V
459	C	-4,46	41,07	60,00	-28,13	48,78	1071,43	2.880 (M)	[PC]	H+V
460	C	3,04	32,07	42,00	-6,85	40,66	482,51	2.881 (M)	[PC]	H+V
461	C	-4,46	41,07	59,00	-25,60	47,65	984,07	2.881 (M)	[PC]	H-V
462	C	-8,96	38,07	58,00	-34,13	43,53	997,54	2.881 (M)	[PC]	H+V
463	C	-5,96	39,57	54,00	-21,67	41,27	651,19	2.881 (M)	[PC]	H+V
464	C	-8,96	41,07	60,00	-32,43	44,28	947,87	2.881 (M)	[PC]	H-V
465	C	-5,96	38,07	53,00	-21,99	40,95	671,91	2.881 (M)	[PC]	H-V
466	C	-4,46	42,57	58,00	-22,18	45,67	797,37	2.881 (M)	[PC]	H-V
467	C	-11,96	44,07	63,00	-35,87	43,07	902,97	2.881 (M)	[PC]	H+V
468	C	-13,46	48,57	66,00	-33,92	42,39	780,86	2.882 (M)	[PC]	H+V
469	C	-8,96	33,57	53,00	-32,04	40,05	889,68	2.882 (M)	[PC]	H+V
470	C	-11,96	45,57	63,00	-32,05	42,21	788,40	2.882 (M)	[PC]	H-V
471	C	3,04	30,57	40,00	-4,30	39,17	441,79	2.882 (M)	[PC]	H+V
472	C	-11,96	41,07	59,00	-32,73	40,15	778,12	2.882 (M)	[PC]	H+V
473	C	-4,46	36,57	55,00	-26,04	45,42	969,04	2.882 (M)	[PC]	H-V
474	C	-13,46	48,57	65,00	-30,66	41,20	696,15	2.882 (M)	[PC]	H+V
475	C	-2,96	41,07	59,00	-24,53	49,15	1024,93	2.882 (M)	[PC]	H+V
476	C	-2,96	38,07	53,00	-21,28	43,95	747,91	2.882 (M)	[PC]	H+V
477	C	0,04	44,07	53,00	-4,32	43,26	457,73	2.882 (M)	[PC]	H+V
478	C	-10,46	45,57	64,00	-33,42	44,87	917,66	2.882 (M)	[PC]	H-V
479	C	-7,46	30,57	48,00	-25,27	37,36	726,76	2.882 (M)	[PC]	H+V
480	C	-8,96	45,57	65,00	-34,53	47,52	1051,05	2.882 (M)	[PC]	H+V
481	C	-7,46	32,07	50,00	-26,80	38,92	786,01	2.882 (M)	[PC]	H-V
482	C	-2,96	42,57	60,00	-23,92	49,47	1000,26	2.882 (M)	[PC]	H+V
483	C	-10,46	39,57	56,00	-26,67	39,05	680,04	2.883 (M)	[PC]	H-V
484	C	-4,46	29,07	46,00	-22,65	38,79	750,07	2.883 (M)	[PC]	H+V
485	C	-8,96	48,57	63,00	-22,46	43,31	662,97	2.883 (M)	[PC]	H-V
486	C	-4,46	36,57	52,00	-21,95	42,09	730,96	2.883 (M)	[PC]	H-V
487	C	-11,96	47,07	66,00	-36,42	44,81	939,86	2.883 (M)	[PC]	H+V
488	C	-5,96	32,07	48,00	-22,48	38,26	675,41	2.883 (M)	[PC]	H+V
489	C	-4,46	36,57	56,00	-28,37	46,52	1055,49	2.883 (M)	[PC]	H+V
490	C	-5,96	30,57	49,00	-26,26	39,93	845,98	2.883 (M)	[PC]	H-V
491	C	-4,46	30,57	50,00	-27,04	42,50	969,45	2.883 (M)	[PC]	H+V
492	C	-5,96	32,07	51,00	-27,72	41,50	907,96	2.883 (M)	[PC]	H-V
493	C	-7,46	41,07	60,00	-31,00	45,78	989,04	2.883 (M)	[PC]	H-V
494	C	-5,96	42,57	61,00	-28,60	47,61	1004,51	2.884 (M)	[PC]	H-V
495	C	-5,96	35,07	55,00	-30,58	44,59	1037,79	2.884 (M)	[PC]	H+V
496	C	-4,46	45,57	62,00	-23,37	48,54	910,06	2.884 (M)	[PC]	H-V
497	C	-7,46	35,07	51,00	-23,23	38,71	671,78	2.884 (M)	[PC]	H-V
498	C	-10,46	45,57	65,00	-35,96	46,02	1009,76	2.884 (M)	[PC]	H+V
499	C	-5,96	38,07	57,00	-28,97	45,42	990,91	2.884 (M)	[PC]	H-V
500	C	-10,46	36,57	54,00	-29,17	38,32	722,20	2.884 (M)	[PC]	H+V
501	C	-2,96	39,57	58,00	-25,18	48,80	1049,24	2.884 (M)	[PC]	H+V
502	C	-7,46	30,57	50,00	-29,93	39,50	887,07	2.884 (M)	[PC]	H+V
503	C	-4,46	30,57	49,00	-24,89	41,43	886,70	2.885 (M)	[PC]	H-V
504	C	4,54	29,07	39,00	-4,98	40,25	487,79	2.885 (M)	[PC]	H+V
505	C	-2,96	44,07	61,00	-23,28	49,77	975,27	2.885 (M)	[PC]	H+V
506	C	-10,46	39,57	58,00	-32,34	41,30	843,27	2.885 (M)	[PC]	H-V
507	C	0,04	41,07	50,00	-4,20	41,69	435,42	2.885 (M)	[PC]	H+V
508	C	-7,46	45,57	64,00	-30,57	47,87	999,94	2.885 (M)	[PC]	H-V
509	C	-5,96	30,57	48,00	-24,32	38,86	767,97	2.885 (M)	[PC]	H-V
510	C	-5,96	48,57	66,00	-26,85	49,89	987,07	2.885 (M)	[PC]	H-V
511	C	-2,96	33,57	49,00	-21,42	41,70	734,01	2.885 (M)	[PC]	H+V
512	C	-2,96	30,57	49,00	-24,01	42,93	927,82	2.885 (M)	[PC]	H+V
513	C	-8,96	35,07	55,00	-33,46	41,59	955,14	2.885 (M)	[PC]	H+V
514	C	-8,96	41,07	61,00	-34,78	45,40	1039,28	2.885 (M)	[PC]	H+V
515	C	-2,96	32,07	48,00	-21,69	41,26	753,23	2.885 (M)	[PC]	H+V
516	C	-5,96	33,57	49,00	-22,18	38,70	657,13	2.885 (M)	[PC]	H+V
517	C	-8,96	35,07	52,00	-26,11	38,31	706,04	2.885 (M)	[PC]	H-V
518	C	-5,96	42,57	62,00	-31,06	48,75	1094,94	2.885 (M)	[PC]	H+V

N°	Forma	C_x	C_y	R	x_v	x_m	V	F_s	Caso	Sisma
		[m]	*[m]*	*[m]*	*[m]*	*[m]*	*[mc]*			
519	C	1,54	36,57	46,00	-6,34	41,28	460,28	2.885 (M)	[PC]	H+V
520	C	-7,46	32,07	52,00	-31,33	41,07	952,14	2.885 (M)	[PC]	H+V
521	C	-5,96	32,07	52,00	-29,89	42,57	993,14	2.886 (M)	[PC]	H+V
522	C	-4,46	30,57	48,00	-23,47	40,36	808,26	2.886 (M)	[PC]	H-V
523	C	4,54	32,07	42,00	-5,35	42,16	515,81	2.886 (M)	[PC]	H+V
524	C	-4,46	41,07	56,00	-21,76	44,23	742,47	2.886 (M)	[PC]	H-V
525	C	-5,96	30,57	47,00	-22,82	37,79	693,08	2.886 (M)	[PC]	H+V
526	C	-11,96	44,07	61,00	-30,31	40,77	729,63	2.886 (M)	[PC]	H-V
527	C	-2,96	29,07	47,00	-23,11	41,35	866,82	2.886 (M)	[PC]	H+V
528	C	-10,46	38,07	54,00	-24,89	37,58	625,45	2.886 (M)	[PC]	H+V
529	C	-7,46	36,57	52,00	-22,64	39,09	652,49	2.887 (M)	[PC]	H-V
530	C	-7,46	45,57	65,00	-33,09	49,02	1092,13	2.887 (M)	[PC]	H+V
531	C	-7,46	41,07	61,00	-33,34	46,90	1080,49	2.887 (M)	[PC]	H+V
532	C	-7,46	33,57	50,00	-23,91	38,29	690,70	2.887 (M)	[PC]	H-V
533	C	-2,96	35,07	54,00	-25,48	46,50	1032,22	2.888 (M)	[PC]	H+V
534	C	-2,96	32,07	51,00	-24,90	44,50	990,25	2.888 (M)	[PC]	H+V
535	C	3,04	35,07	45,00	-7,20	42,48	509,33	2.888 (M)	[PC]	H+V
536	C	-5,96	38,07	58,00	-31,25	46,53	1080,27	2.888 (M)	[PC]	H+V
537	C	-2,96	35,07	50,00	-21,14	42,10	714,20	2.888 (M)	[PC]	H+V
538	C	-11,96	47,07	65,00	-33,73	43,64	849,01	2.888 (M)	[PC]	H-V
539	C	-4,46	39,57	54,00	-21,34	42,77	688,96	2.888 (M)	[PC]	H+V
540	C	-2,96	30,57	47,00	-21,96	40,79	771,82	2.888 (M)	[PC]	H+V
541	C	4,54	36,57	46,00	-3,34	44,28	526,81	2.888 (M)	[PC]	H+V
542	C	-7,46	48,57	63,00	-22,20	44,81	702,11	2.888 (M)	[PC]	H-V
543	C	-2,96	42,57	58,00	-21,83	47,17	836,02	2.888 (M)	[PC]	H+V
544	C	-2,96	41,07	56,00	-21,41	45,73	780,63	2.889 (M)	[PC]	H+V
545	C	-10,46	36,57	56,00	-34,13	40,52	890,79	2.889 (M)	[PC]	H+V
546	C	-11,96	47,07	62,00	-24,14	40,10	605,51	2.889 (M)	[PC]	H+V
547	C	-2,96	44,07	60,00	-22,25	48,61	892,48	2.889 (M)	[PC]	H+V
548	C	-11,96	41,07	58,00	-29,86	39,01	695,49	2.889 (M)	[PC]	H+V
549	C	-4,46	45,57	63,00	-24,98	49,71	994,34	2.889 (M)	[PC]	H-V
550	C	-13,46	47,07	64,00	-32,14	40,97	721,60	2.889 (M)	[PC]	H+V
551	C	-11,96	41,07	60,00	-35,30	41,28	865,14	2.889 (M)	[PC]	H+V
552	C	-10,46	38,07	56,00	-30,77	39,81	782,07	2.890 (M)	[PC]	H-V
553	C	-7,46	45,57	60,00	-22,13	43,19	673,34	2.890 (M)	[PC]	H-V
554	C	-8,96	44,07	63,00	-33,01	46,07	985,87	2.890 (M)	[PC]	H-V
555	C	-4,46	39,57	58,00	-26,61	47,30	1008,30	2.890 (M)	[PC]	H-V
556	C	1,54	39,57	49,00	-6,59	42,97	484,72	2.890 (M)	[PC]	H+V
557	C	-2,96	39,57	54,00	-20,98	44,27	726,18	2.890 (M)	[PC]	H+V
558	C	-13,46	47,07	65,00	-35,15	42,14	807,76	2.890 (M)	[PC]	H+V
559	C	0,04	47,07	56,00	-4,45	44,79	479,42	2.890 (M)	[PC]	H+V
560	C	-5,96	47,07	65,00	-28,05	49,64	1014,19	2.891 (M)	[PC]	H-V
561	C	-8,96	35,07	54,00	-31,23	40,50	867,86	2.891 (M)	[PC]	H-V
562	C	-4,46	39,57	59,00	-29,01	48,42	1096,81	2.891 (M)	[PC]	H+V
563	C	-5,96	47,07	61,00	-21,51	44,91	688,28	2.891 (M)	[PC]	H+V
564	C	-10,46	41,07	61,00	-36,22	43,90	997,52	2.891 (M)	[PC]	H+V
565	C	-4,46	47,07	63,00	-22,70	48,79	884,92	2.891 (M)	[PC]	H-V
566	C	-7,46	47,07	61,00	-21,79	43,41	650,35	2.891 (M)	[PC]	H+V
567	C	-7,46	36,57	56,00	-31,25	43,52	972,94	2.891 (M)	[PC]	H-V
568	C	-10,46	41,07	60,00	-33,86	42,78	906,36	2.891 (M)	[PC]	H-V
569	C	-4,46	38,07	53,00	-21,64	42,45	710,20	2.891 (M)	[PC]	H-V
570	C	-7,46	32,07	51,00	-29,16	40,00	867,06	2.891 (M)	[PC]	H-V
571	C	-5,96	35,07	50,00	-21,88	39,10	638,29	2.891 (M)	[PC]	H+V
572	C	-5,96	44,07	58,00	-21,43	43,27	659,67	2.892 (M)	[PC]	H+V
573	C	-11,96	44,07	62,00	-33,24	41,92	814,14	2.892 (M)	[PC]	H-V
574	C	-4,46	45,57	61,00	-22,28	47,37	828,91	2.892 (M)	[PC]	H-V
575	C	3,04	33,57	43,00	-4,58	41,02	468,27	2.892 (M)	[PC]	H-V
576	C	-10,46	39,57	55,00	-24,10	37,91	605,48	2.893 (M)	[PC]	H+V
577	C	-8,96	48,57	67,00	-32,52	48,07	994,28	2.893 (M)	[PC]	H-V
578	C	-10,46	48,57	67,00	-33,95	46,57	953,16	2.893 (M)	[PC]	H-V
579	C	-5,96	41,07	60,00	-29,57	47,28	1030,01	2.893 (M)	[PC]	H-V
580	C	-4,46	47,07	64,00	-24,30	49,97	968,35	2.893 (M)	[PC]	H-V
581	C	-10,46	44,07	63,00	-34,44	44,57	944,21	2.893 (M)	[PC]	H-V
582	C	-10,46	38,07	58,00	-35,57	42,03	956,34	2.893 (M)	[PC]	H+V
583	C	3,04	39,57	49,00	-5,09	44,47	517,88	2.893 (M)	[PC]	H+V
584	C	-8,96	44,07	64,00	-35,41	47,21	1079,19	2.893 (M)	[PC]	H+V
585	C	-8,96	45,57	60,00	-22,40	41,69	634,23	2.894 (M)	[PC]	H-V
586	C	-2,96	36,57	51,00	-20,85	42,47	693,85	2.894 (M)	[PC]	H+V
587	C	-10,46	48,57	63,00	-22,69	41,81	623,40	2.894 (M)	[PC]	H-V
588	C	-7,46	33,57	53,00	-30,60	41,55	930,77	2.894 (M)	[PC]	H-V
589	C	-2,96	38,07	57,00	-26,10	48,42	1073,26	2.894 (M)	[PC]	H+V
590	C	-4,46	48,57	63,00	-21,63	47,81	779,40	2.894 (M)	[PC]	H+V
591	C	-7,46	44,07	63,00	-31,58	47,57	1026,96	2.894 (M)	[PC]	H-V
592	C	-11,96	45,57	65,00	-37,39	44,52	968,12	2.894 (M)	[PC]	H+V
593	C	-4,46	44,07	59,00	-21,86	45,94	773,98	2.894 (M)	[PC]	H-V
594	C	-8,96	35,07	51,00	-23,97	37,21	631,19	2.894 (M)	[PC]	H+V
595	C	-4,46	32,07	51,00	-26,28	43,00	949,40	2.894 (M)	[PC]	H-V
596	C	-2,96	35,07	52,00	-22,57	44,31	867,81	2.894 (M)	[PC]	H-V
597	C	-11,96	42,57	62,00	-36,80	42,75	929,72	2.894 (M)	[PC]	H+V

N°	Forma	C_x	C_y	R	x_v	x_m	V	F_s	Caso	Sisma
		[m]	*[m]*	*[m]*	*[m]*	*[m]*	*[mc]*			
598	C	-7,46	32,07	49,00	-24,55	37,84	709,20	2.894 (M)	[PC]	H-V
599	C	-4,46	35,07	54,00	-26,92	45,00	991,34	2.894 (M)	[PC]	H-V
600	C	-8,96	39,57	59,00	-33,32	43,92	972,62	2.895 (M)	[PC]	H-V
601	C	-8,96	32,07	51,00	-30,60	38,50	825,48	2.895 (M)	[PC]	H+V
602	C	-8,96	36,57	52,00	-23,23	37,59	612,60	2.895 (M)	[PC]	H+V
603	C	-4,46	44,07	62,00	-26,12	49,42	1020,21	2.895 (M)	[PC]	H-V
604	C	-10,46	48,57	68,00	-36,54	47,74	1047,17	2.895 (M)	[PC]	H+V
605	C	-2,96	38,07	55,00	-22,72	46,20	905,09	2.895 (M)	[PC]	H-V
606	C	-10,46	38,07	55,00	-27,99	38,70	701,30	2.895 (M)	[PC]	H-V
607	C	-8,96	48,57	68,00	-35,11	49,24	1088,47	2.895 (M)	[PC]	H+V
608	C	-2,96	29,07	46,00	-22,22	40,29	789,28	2.895 (M)	[PC]	H+V
609	C	-7,46	39,57	59,00	-31,88	45,42	1014,18	2.895 (M)	[PC]	H-V
610	C	-8,96	36,57	56,00	-32,69	42,02	931,94	2.895 (M)	[PC]	H-V
611	C	3,04	30,57	41,00	-8,58	40,27	497,23	2.895 (M)	[PC]	H+V
612	C	-13,46	48,57	67,00	-36,79	43,57	870,18	2.896 (M)	[PC]	H+V
613	C	-11,96	44,07	60,00	-26,91	39,61	650,03	2.896 (M)	[PC]	H-V
614	C	-7,46	36,57	57,00	-33,43	44,62	1063,79	2.896 (M)	[PC]	H+V
615	C	-11,96	39,57	58,00	-33,76	39,80	802,18	2.896 (M)	[PC]	H+V
616	C	-10,46	45,57	60,00	-22,65	40,19	594,52	2.896 (M)	[PC]	H+V
617	C	-10,46	44,07	64,00	-36,85	45,71	1037,87	2.896 (M)	[PC]	H+V
618	C	-5,96	33,57	53,00	-29,16	43,05	971,74	2.896 (M)	[PC]	H-V
619	C	-2,96	33,57	51,00	-22,96	43,88	888,34	2.896 (M)	[PC]	H-V
620	C	-11,96	42,57	60,00	-31,58	40,47	753,85	2.896 (M)	[PC]	H-V
621	C	-5,96	41,07	61,00	-31,90	48,40	1121,54	2.897 (M)	[PC]	H+V
622	C	-8,96	42,57	57,00	-22,34	40,01	604,37	2.897 (M)	[PC]	H+V
623	C	-8,96	33,57	50,00	-24,68	36,79	649,77	2.897 (M)	[PC]	H+V
624	C	-4,46	32,07	52,00	-28,44	44,07	1034,65	2.897 (M)	[PC]	H+V
625	C	-2,96	36,57	54,00	-23,30	45,82	927,19	2.897 (M)	[PC]	H-V
626	C	-8,96	32,07	50,00	-28,24	37,42	744,57	2.897 (M)	[PC]	H+V
627	C	-2,96	36,57	53,00	-22,29	44,71	846,71	2.897 (M)	[PC]	H-V
628	C	-7,46	33,57	54,00	-32,73	42,63	1018,98	2.897 (M)	[PC]	H+V
629	C	-4,46	35,07	55,00	-29,14	46,09	1078,81	2.897 (M)	[PC]	H+V
630	C	-5,96	29,07	49,00	-29,17	40,47	947,50	2.897 (M)	[PC]	H+V
631	C	-5,96	41,07	55,00	-21,34	41,57	630,04	2.897 (M)	[PC]	H+V
632	C	-7,46	44,07	64,00	-33,97	48,71	1120,42	2.898 (M)	[PC]	H+V
633	C	-5,96	45,57	64,00	-29,14	49,37	1041,42	2.898 (M)	[PC]	H-V
634	C	-8,96	36,57	57,00	-34,88	43,12	1022,07	2.898 (M)	[PC]	H+V
635	C	-5,96	36,57	56,00	-29,81	45,02	1014,54	2.898 (M)	[PC]	H-V
636	C	-13,46	45,57	63,00	-33,47	40,71	747,28	2.898 (M)	[PC]	H+V
637	C	-4,46	36,57	51,00	-21,22	40,97	656,83	2.898 (M)	[PC]	H+V
638	C	-11,96	45,57	64,00	-34,85	43,37	876,04	2.898 (M)	[PC]	H-V
639	C	-4,46	29,07	47,00	-24,00	39,85	826,27	2.898 (M)	[PC]	H-V
640	C	-2,96	29,07	48,00	-24,48	42,41	946,65	2.898 (M)	[PC]	H+V
641	C	-7,46	42,57	57,00	-22,06	41,51	643,59	2.898 (M)	[PC]	H-V
642	C	4,54	30,57	41,00	-7,08	41,77	530,31	2.898 (M)	[PC]	H+V
643	C	-5,96	45,57	60,00	-21,84	44,69	711,83	2.898 (M)	[PC]	H-V
644	C	-5,96	29,07	46,00	-23,41	37,29	710,20	2.899 (M)	[PC]	H+V
645	C	-10,46	36,57	53,00	-26,24	37,21	644,98	2.899 (M)	[PC]	H+V
646	C	1,54	33,57	43,00	-6,08	39,52	435,00	2.899 (M)	[PC]	H+V
647	C	4,54	33,57	43,00	-3,08	42,52	501,40	2.899 (M)	[PC]	H-V
648	C	-7,46	44,07	58,00	-21,72	41,77	621,76	2.899 (M)	[PC]	H+V
649	C	-8,96	47,07	61,00	-22,04	41,91	611,86	2.899 (M)	[PC]	H+V
650	C	-2,96	33,57	50,00	-22,13	42,79	810,07	2.899 (M)	[PC]	H-V
651	C	-10,46	35,07	54,00	-32,67	39,00	826,30	2.899 (M)	[PC]	H+V
652	C	-8,96	33,57	52,00	-29,75	38,97	805,58	2.899 (M)	[PC]	H-V
653	C	-4,46	42,57	57,00	-21,44	44,51	719,94	2.899 (M)	[PC]	H-V
654	C	-7,46	38,07	53,00	-22,31	39,45	632,76	2.899 (M)	[PC]	H-V
655	C	-2,96	42,57	57,00	-21,10	46,01	757,58	2.899 (M)	[PC]	H+V
656	C	3,04	33,57	44,00	-9,00	42,14	525,40	2.899 (M)	[PC]	H+V
657	C	-4,46	33,57	49,00	-21,81	40,20	695,69	2.899 (M)	[PC]	H-V
658	C	-4,46	32,07	48,00	-22,10	39,76	714,45	2.899 (M)	[PC]	H-V
659	C	-2,96	44,07	59,00	-21,52	47,44	812,12	2.900 (M)	[PC]	H+V
660	C	-8,96	39,57	60,00	-35,56	45,03	1064,97	2.900 (M)	[PC]	H+V
661	C	-10,46	38,07	57,00	-33,27	40,92	867,23	2.900 (M)	[PC]	H-V
662	C	-5,96	29,07	47,00	-24,87	38,35	785,72	2.900 (M)	[PC]	H-V
663	C	-7,46	48,57	67,00	-31,10	49,57	1035,84	2.900 (M)	[PC]	H-V
664	C	-2,96	32,07	49,00	-22,40	42,34	829,64	2.900 (M)	[PC]	H-V
665	C	-2,96	45,57	61,00	-21,94	48,87	867,74	2.900 (M)	[PC]	H+V
666	C	1,54	35,07	45,00	-8,70	40,98	476,08	2.900 (M)	[PC]	H+V
667	C	-4,46	44,07	58,00	-21,12	44,77	697,27	2.901 (M)	[PC]	H+V
668	C	-2,96	35,07	51,00	-21,85	43,21	789,90	2.901 (M)	[PC]	H-V
669	C	-4,46	38,07	57,00	-27,53	46,92	1031,85	2.901 (M)	[PC]	H-V
670	C	3,04	36,57	46,00	-4,84	42,78	493,56	2.901 (M)	[PC]	H-V
671	C	-5,96	42,57	57,00	-21,76	43,01	682,05	2.901 (M)	[PC]	H-V
672	C	-13,46	45,57	64,00	-36,27	41,87	834,75	2.901 (M)	[PC]	H+V
673	C	-7,46	39,57	60,00	-34,12	46,53	1106,77	2.901 (M)	[PC]	H+V
674	C	-2,96	39,57	56,00	-22,43	46,55	882,54	2.901 (M)	[PC]	H-V
675	C	-11,96	48,57	67,00	-35,37	45,07	911,48	2.901 (M)	[PC]	H-V
676	C	-11,96	45,57	61,00	-25,08	39,87	627,75	2.901 (M)	[PC]	H-V

N°	Forma	C_x	C_y	R	x_v	x_m	V	F_s	Caso	Sisma
		[m]	*[m]*	*[m]*	*[m]*	*[m]*	*[mc]*			
677	C	-5,96	33,57	54,00	-31,28	44,13	1060,55	2.901 (M)	[PC]	H+V
678	C	3,04	29,07	39,00	-6,48	38,75	454,66	2.901 (M)	[PC]	H+V
679	C	-8,96	42,57	62,00	-33,93	45,75	1012,71	2.901 (M)	[PC]	H-V
680	C	-2,96	33,57	53,00	-26,28	46,05	1054,15	2.901 (M)	[PC]	H+V
681	C	-2,96	35,07	53,00	-23,86	45,41	948,45	2.901 (M)	[PC]	H-V
682	C	-8,96	41,07	56,00	-22,69	39,73	625,25	2.901 (M)	[PC]	H-V
683	C	4,54	35,07	45,00	-5,70	43,98	542,49	2.902 (M)	[PC]	H+V
684	C	-10,46	35,07	53,00	-30,23	37,91	743,27	2.902 (M)	[PC]	H+V
685	C	-13,46	47,07	63,00	-28,64	39,79	640,39	2.902 (M)	[PC]	H+V
686	C	-2,96	38,07	54,00	-22,00	45,08	825,07	2.902 (M)	[PC]	H-V
687	C	-8,96	47,07	66,00	-33,57	47,81	1022,83	2.902 (M)	[PC]	H-V
688	C	-11,96	48,57	68,00	-37,97	46,24	1005,94	2.902 (M)	[PC]	H+V
689	C	-4,46	41,07	55,00	-21,02	43,07	667,29	2.902 (M)	[PC]	H+V
690	C	-4,46	42,57	61,00	-27,17	49,11	1045,97	2.902 (M)	[PC]	H-V
691	C	-5,96	36,57	57,00	-31,99	46,12	1104,83	2.902 (M)	[PC]	H+V
692	C	-11,96	39,57	57,00	-31,10	38,68	717,87	2.903 (M)	[PC]	H+V
693	C	-10,46	47,07	66,00	-35,00	46,31	981,59	2.903 (M)	[PC]	H-V
694	C	-7,46	29,07	48,00	-28,51	37,91	823,03	2.903 (M)	[PC]	H+V
695	C	-8,96	32,07	52,00	-32,78	39,57	911,15	2.903 (M)	[PC]	H+V
696	C	-4,46	38,07	58,00	-29,81	48,03	1121,33	2.903 (M)	[PC]	H+V
697	C	-7,46	39,57	54,00	-21,98	39,77	612,59	2.903 (M)	[PC]	H+V
698	C	-2,96	39,57	57,00	-23,62	47,68	964,33	2.903 (M)	[PC]	H-V
699	C	-4,46	30,57	47,00	-22,38	39,29	732,59	2.903 (M)	[PC]	H-V
700	C	-5,96	30,57	50,00	-28,48	41,00	928,02	2.903 (M)	[PC]	H-V
701	C	-2,96	41,07	58,00	-23,00	48,01	940,75	2.903 (M)	[PC]	H-V
702	C	-4,46	29,07	48,00	-25,62	40,91	905,34	2.903 (M)	[PC]	H-V
703	C	-2,96	30,57	50,00	-25,60	44,00	1010,33	2.903 (M)	[PC]	H+V
704	C	-11,96	42,57	61,00	-34,31	41,61	839,72	2.904 (M)	[PC]	H-V
705	C	-4,46	35,07	50,00	-21,52	40,60	676,70	2.904 (M)	[PC]	H-V
706	C	-2,96	32,07	50,00	-23,50	43,42	908,36	2.904 (M)	[PC]	H-V
707	C	-11,96	39,57	59,00	-36,19	40,92	890,18	2.904 (M)	[PC]	H+V
708	C	-2,96	36,57	52,00	-21,57	43,59	769,17	2.904 (M)	[PC]	H-V
709	C	-4,46	29,07	49,00	-27,73	41,97	988,31	2.904 (M)	[PC]	H+V
710	C	-5,96	29,07	48,00	-27,06	39,41	864,52	2.904 (M)	[PC]	H-V
711	C	-2,96	30,57	48,00	-22,67	41,86	848,56	2.904 (M)	[PC]	H-V
712	C	-7,46	30,57	49,00	-27,70	38,43	805,06	2.904 (M)	[PC]	H-V
713	C	-8,96	33,57	51,00	-27,23	37,88	725,28	2.904 (M)	[PC]	H-V
714	C	-5,96	39,57	59,00	-30,45	46,92	1055,31	2.905 (M)	[PC]	H-V
715	C	-2,96	38,07	56,00	-24,20	47,31	987,54	2.905 (M)	[PC]	H-V
716	C	-7,46	42,57	62,00	-32,50	47,25	1053,79	2.905 (M)	[PC]	H-V
717	C	-10,46	44,07	59,00	-23,41	39,94	616,08	2.905 (M)	[PC]	H-V
718	C	-2,96	32,07	47,00	-20,98	40,17	678,73	2.905 (M)	[PC]	H+V
719	C	1,54	38,07	48,00	-9,04	42,72	501,67	2.905 (M)	[PC]	H+V
720	C	-8,96	33,57	54,00	-34,17	41,13	977,88	2.905 (M)	[PC]	H+V
721	C	-11,96	42,57	59,00	-28,48	39,32	672,71	2.905 (M)	[PC]	H-V
722	C	-8,96	47,07	67,00	-36,02	48,97	1118,04	2.905 (M)	[PC]	H+V
723	C	-2,96	36,57	56,00	-26,93	48,02	1096,96	2.905 (M)	[PC]	H+V
724	C	-10,46	39,57	59,00	-34,76	42,42	931,45	2.905 (M)	[PC]	H-V
725	C	-5,96	48,57	63,00	-21,92	46,31	741,11	2.906 (M)	[PC]	H-V
726	C	-4,46	48,57	64,00	-22,37	49,01	859,51	2.906 (M)	[PC]	H-V
727	C	-10,46	42,57	62,00	-35,37	44,25	971,00	2.906 (M)	[PC]	H-V
728	C	-2,96	33,57	48,00	-20,71	40,60	660,22	2.906 (M)	[PC]	H+V
729	C	-7,46	29,07	47,00	-26,22	36,85	744,38	2.906 (M)	[PC]	H+V
730	C	-10,46	47,07	67,00	-37,46	47,47	1076,71	2.906 (M)	[PC]	H+V
731	C	-5,96	44,07	63,00	-30,14	49,07	1068,50	2.906 (M)	[PC]	H-V
732	C	-8,96	42,57	63,00	-36,23	46,88	1107,06	2.906 (M)	[PC]	H+V
733	C	-13,46	47,07	66,00	-37,85	43,31	898,67	2.906 (M)	[PC]	H+V
734	C	-5,96	30,57	51,00	-30,55	42,06	1014,00	2.906 (M)	[PC]	H+V
735	C	-11,96	41,07	57,00	-26,55	37,87	617,53	2.906 (M)	[PC]	H+V
736	C	-10,46	36,57	55,00	-31,77	39,42	804,54	2.906 (M)	[PC]	H-V
737	C	3,04	38,07	48,00	-7,54	44,22	534,93	2.906 (M)	[PC]	H+V
738	C	-10,46	39,57	60,00	-37,00	43,53	1023,73	2.906 (M)	[PC]	H+V
739	C	3,04	32,07	43,00	-10,48	41,78	541,65	2.907 (M)	[PC]	H+V
740	C	-4,46	47,07	62,00	-21,95	47,60	804,32	2.907 (M)	[PC]	H-V
741	C	6,04	29,07	39,00	-3,48	41,75	521,05	2.907 (M)	[PC]	H+V
742	C	-2,96	30,57	46,00	-21,25	39,72	696,98	2.907 (M)	[PC]	H+V
743	C	-11,96	44,07	64,00	-38,28	44,21	996,21	2.907 (M)	[PC]	H+V
744	C	-7,46	35,07	55,00	-32,02	43,09	996,13	2.908 (M)	[PC]	H-V
745	C	-1,46	36,57	54,00	-22,60	47,32	967,06	2.908 (M)	[PC]	H+V
746	C	4,54	29,07	40,00	-8,48	41,34	545,06	2.908 (M)	[PC]	H+V
747	C	-1,46	35,07	52,00	-22,16	45,81	907,38	2.908 (M)	[PC]	H+V
748	C	-13,46	48,57	64,00	-26,75	40,01	616,75	2.908 (M)	[PC]	H+V
749	C	3,04	32,07	42,00	-6,85	40,66	482,51	2.908 (M)	[PC]	H-V
750	C	-10,46	35,07	55,00	-34,91	40,09	913,96	2.908 (M)	[PC]	H+V
751	C	-7,46	30,57	51,00	-32,00	40,56	972,97	2.908 (M)	[PC]	H+V
752	C	3,04	29,07	40,00	-9,98	39,84	511,76	2.908 (M)	[PC]	H+V
753	C	-2,96	33,57	52,00	-24,40	44,97	969,62	2.908 (M)	[PC]	H-V
754	C	-7,46	47,07	66,00	-32,14	49,31	1063,92	2.908 (M)	[PC]	H-V
755	C	-5,96	39,57	54,00	-21,67	41,27	651,19	2.908 (M)	[PC]	H-V

N°	Forma	C_x	C_y	R	x_v	x_m	V	F_s	Caso	Sisma
		[m]	*[m]*	*[m]*	*[m]*	*[m]*	*[mc]*			
756	C	-2,96	41,07	57,00	-22,13	46,87	859,50	2.908 (M)	[PC]	H-V
757	C	-2,96	36,57	55,00	-24,76	46,92	1010,34	2.908 (M)	[PC]	H-V
758	C	-2,96	39,57	55,00	-21,71	45,41	803,24	2.909 (M)	[PC]	H-V
759	C	-13,46	44,07	62,00	-34,66	40,42	772,90	2.909 (M)	[PC]	H+V
760	C	-1,46	33,57	51,00	-22,42	45,38	928,35	2.909 (M)	[PC]	H+V
761	C	-7,46	29,07	49,00	-30,62	38,97	906,52	2.909 (M)	[PC]	H+V
762	C	-13,46	48,57	65,00	-30,66	41,20	696,15	2.909 (M)	[PC]	H-V
763	C	-4,46	45,57	60,00	-21,54	46,19	750,22	2.909 (M)	[PC]	H-V
764	C	-1,46	35,07	51,00	-21,45	44,71	827,80	2.909 (M)	[PC]	H+V
765	C	-13,46	48,57	66,00	-33,92	42,39	780,86	2.909 (M)	[PC]	H-V
766	C	3,04	30,57	40,00	-4,30	39,17	441,79	2.909 (M)	[PC]	H-V
767	C	-1,46	33,57	50,00	-21,71	44,29	848,41	2.909 (M)	[PC]	H+V
768	C	-1,46	36,57	53,00	-21,89	46,21	885,81	2.909 (M)	[PC]	H+V
769	C	-11,96	41,07	59,00	-32,73	40,15	778,12	2.909 (M)	[PC]	H-V
770	C	-2,96	42,57	59,00	-22,56	48,32	916,83	2.909 (M)	[PC]	H-V
771	C	-4,46	38,07	52,00	-20,91	41,32	636,47	2.909 (M)	[PC]	H+V
772	C	-5,96	39,57	60,00	-32,68	48,03	1147,81	2.909 (M)	[PC]	H+V
773	C	-11,96	41,07	61,00	-37,66	42,40	956,37	2.909 (M)	[PC]	H+V
774	C	-7,46	42,57	63,00	-34,78	48,38	1148,32	2.909 (M)	[PC]	H+V
775	C	-4,46	33,57	53,00	-27,72	44,55	1013,24	2.909 (M)	[PC]	H-V
776	C	-7,46	38,07	58,00	-32,69	45,03	1039,11	2.909 (M)	[PC]	H-V
777	C	-1,46	33,57	49,00	-21,01	43,20	771,24	2.909 (M)	[PC]	H+V
778	C	-11,96	44,07	63,00	-35,87	43,07	902,97	2.910 (M)	[PC]	H-V
779	C	-8,96	33,57	53,00	-32,04	40,05	889,68	2.910 (M)	[PC]	H-V
780	C	-13,46	45,57	62,00	-30,28	39,54	664,34	2.910 (M)	[PC]	H+V
781	C	-7,46	30,57	48,00	-25,27	37,36	726,76	2.910 (M)	[PC]	H-V
782	C	-8,96	32,07	49,00	-25,62	36,34	667,99	2.910 (M)	[PC]	H+V
783	C	-1,46	35,07	53,00	-23,00	46,91	989,00	2.910 (M)	[PC]	H+V
784	C	-4,46	47,07	61,00	-21,21	46,41	726,12	2.910 (M)	[PC]	H+V
785	C	0,04	44,07	53,00	-4,32	43,26	457,73	2.910 (M)	[PC]	H-V
786	C	-8,96	38,07	58,00	-34,13	43,53	997,54	2.910 (M)	[PC]	H-V
787	C	-1,46	38,07	55,00	-22,32	47,70	944,57	2.910 (M)	[PC]	H+V
788	C	-10,46	42,57	63,00	-37,67	45,38	1065,34	2.910 (M)	[PC]	H+V
789	C	-2,96	38,07	53,00	-21,28	43,95	747,91	2.910 (M)	[PC]	H-V
790	C	-5,96	32,07	48,00	-22,48	38,26	675,41	2.910 (M)	[PC]	H-V
791	C	-1,46	35,07	50,00	-20,74	43,60	750,98	2.910 (M)	[PC]	H+V
792	C	-4,46	29,07	46,00	-22,65	38,79	750,07	2.911 (M)	[PC]	H-V
793	C	-7,46	33,57	49,00	-22,53	37,20	617,93	2.911 (M)	[PC]	H+V
794	C	-4,46	41,07	60,00	-28,13	48,78	1071,43	2.911 (M)	[PC]	H-V
795	C	4,54	39,57	49,00	-3,59	45,97	551,14	2.911 (M)	[PC]	H+V
796	C	-7,46	32,07	48,00	-22,98	36,76	635,35	2.911 (M)	[PC]	H+V
797	C	-1,46	36,57	52,00	-21,17	45,09	806,96	2.911 (M)	[PC]	H+V
798	C	1,54	42,57	52,00	-6,84	44,59	508,15	2.911 (M)	[PC]	H+V
799	C	-1,46	32,07	48,00	-21,27	42,76	790,90	2.911 (M)	[PC]	H+V
800	C	0,04	38,07	47,00	-4,07	40,04	412,24	2.911 (M)	[PC]	H+V
801	C	-11,96	47,07	66,00	-36,42	44,81	939,86	2.911 (M)	[PC]	H-V
802	C	4,54	33,57	44,00	-7,50	43,64	558,66	2.911 (M)	[PC]	H+V
803	C	-10,46	36,57	57,00	-36,32	41,62	980,84	2.911 (M)	[PC]	H+V
804	C	-1,46	32,07	49,00	-21,97	43,84	868,41	2.911 (M)	[PC]	H+V
805	C	-10,46	36,57	54,00	-29,17	38,32	722,20	2.912 (M)	[PC]	H-V
806	C	-8,96	45,57	65,00	-34,53	47,52	1051,05	2.912 (M)	[PC]	H-V
807	C	-11,96	42,57	58,00	-24,90	38,17	596,78	2.912 (M)	[PC]	H+V
808	C	-1,46	39,57	57,00	-22,79	49,18	1004,37	2.912 (M)	[PC]	H+V
809	C	-1,46	36,57	51,00	-20,38	43,97	730,19	2.912 (M)	[PC]	H+V
810	C	-1,46	32,07	50,00	-22,67	44,92	948,25	2.912 (M)	[PC]	H+V
811	C	0,04	41,07	50,00	-4,20	41,69	435,42	2.912 (M)	[PC]	H-V
812	C	-1,46	38,07	54,00	-21,61	46,58	863,70	2.912 (M)	[PC]	H+V
813	C	-2,96	41,07	59,00	-24,53	49,15	1024,93	2.912 (M)	[PC]	H-V
814	C	-4,46	30,57	50,00	-27,04	42,50	969,45	2.912 (M)	[PC]	H-V
815	C	4,54	29,07	39,00	-4,98	40,25	487,79	2.913 (M)	[PC]	H-V
816	C	-2,96	45,57	60,00	-21,21	47,69	787,84	2.913 (M)	[PC]	H+V
817	C	-5,96	33,57	49,00	-22,18	38,70	657,13	2.913 (M)	[PC]	H-V
818	C	1,54	33,57	44,00	-10,50	40,64	492,30	2.913 (M)	[PC]	H+V
819	C	1,54	36,57	46,00	-6,34	41,28	460,28	2.913 (M)	[PC]	H-V
820	C	-7,46	30,57	50,00	-29,93	39,50	887,07	2.913 (M)	[PC]	H-V
821	C	-4,46	41,07	61,00	-30,46	49,90	1163,16	2.913 (M)	[PC]	H+V
822	C	-2,96	42,57	60,00	-23,92	49,47	1000,26	2.913 (M)	[PC]	H-V
823	C	-13,46	44,07	63,00	-37,30	41,57	861,78	2.913 (M)	[PC]	H+V
824	C	-2,96	33,57	49,00	-21,42	41,70	734,01	2.913 (M)	[PC]	H-V
825	C	-4,46	36,57	56,00	-28,37	46,52	1055,49	2.913 (M)	[PC]	H-V
826	C	-1,46	33,57	48,00	-20,11	42,10	696,40	2.913 (M)	[PC]	H+V
827	C	-5,96	35,07	55,00	-30,58	44,59	1037,79	2.913 (M)	[PC]	H-V
828	C	-2,96	32,07	48,00	-21,69	41,26	753,23	2.913 (M)	[PC]	H-V
829	C	-10,46	45,57	65,00	-35,96	46,02	1009,76	2.913 (M)	[PC]	H-V
830	C	-5,96	30,57	47,00	-22,82	37,79	693,08	2.913 (M)	[PC]	H-V
831	C	-10,46	38,07	54,00	-24,89	37,58	625,45	2.913 (M)	[PC]	H-V
832	C	-8,96	35,07	55,00	-33,46	41,59	955,14	2.914 (M)	[PC]	H-V
833	C	-4,46	33,57	54,00	-29,83	45,63	1101,61	2.914 (M)	[PC]	H+V
834	C	-2,96	47,07	62,00	-21,63	49,10	842,63	2.914 (M)	[PC]	H+V

N°	Forma	C_x	C_y	R	x_v	x_m	V	F_s	Caso	Sisma
		[m]	*[m]*	*[m]*	*[m]*	*[m]*	*[mc]*			
835	C	-11,96	47,07	67,00	-38,89	45,97	1035,00	2.914 (M)	[PC]	H+V
836	C	-1,46	38,07	56,00	-23,36	48,81	1027,86	2.914 (M)	[PC]	H+V
837	C	4,54	32,07	42,00	-5,35	42,16	515,81	2.914 (M)	[PC]	H-V
838	C	-11,96	38,07	57,00	-34,71	39,42	825,54	2.914 (M)	[PC]	H+V
839	C	-7,46	35,07	56,00	-34,11	44,18	1087,28	2.914 (M)	[PC]	H+V
840	C	-2,96	39,57	59,00	-27,57	49,92	1137,80	2.914 (M)	[PC]	H+V
841	C	-2,96	41,07	55,00	-20,68	44,57	704,00	2.914 (M)	[PC]	H+V
842	C	-11,96	48,57	63,00	-23,20	40,31	583,27	2.914 (M)	[PC]	H+V
843	C	-7,46	32,07	52,00	-31,33	41,07	952,14	2.914 (M)	[PC]	H-V
844	C	-1,46	39,57	56,00	-22,04	48,05	921,55	2.914 (M)	[PC]	H+V
845	C	-2,96	30,57	49,00	-24,01	42,93	927,82	2.914 (M)	[PC]	H-V
846	C	-8,96	41,07	61,00	-34,78	45,40	1039,28	2.914 (M)	[PC]	H-V
847	C	-2,96	29,07	45,00	-21,52	39,22	714,57	2.915 (M)	[PC]	H+V
848	C	-5,96	32,07	52,00	-29,89	42,57	993,14	2.915 (M)	[PC]	H-V
849	C	-2,96	29,07	47,00	-23,11	41,35	866,82	2.915 (M)	[PC]	H-V
850	C	-10,46	35,07	52,00	-27,52	36,81	664,71	2.915 (M)	[PC]	H+V
851	C	-2,96	39,57	58,00	-25,18	48,80	1049,24	2.915 (M)	[PC]	H-V
852	C	-1,46	30,57	47,00	-21,52	42,29	809,96	2.915 (M)	[PC]	H+V
853	C	-2,96	44,07	61,00	-23,28	49,77	975,27	2.915 (M)	[PC]	H-V
854	C	-1,46	38,07	53,00	-20,90	45,45	785,17	2.915 (M)	[PC]	H+V
855	C	3,04	35,07	45,00	-7,20	42,48	509,33	2.915 (M)	[PC]	H-V
856	C	-2,96	38,07	52,00	-20,53	42,82	673,00	2.916 (M)	[PC]	H+V
857	C	-5,96	42,57	62,00	-31,06	48,75	1094,94	2.916 (M)	[PC]	H-V
858	C	-5,96	36,57	51,00	-21,57	39,47	618,94	2.916 (M)	[PC]	H+V
859	C	-11,96	47,07	62,00	-24,14	40,10	605,51	2.916 (M)	[PC]	H-V
860	C	-2,96	35,07	50,00	-21,14	42,10	714,20	2.916 (M)	[PC]	H-V
861	C	3,04	30,57	42,00	-11,72	41,37	557,92	2.916 (M)	[PC]	H+V
862	C	3,04	36,57	47,00	-9,41	43,93	552,51	2.916 (M)	[PC]	H+V
863	C	-4,46	39,57	54,00	-21,34	42,77	688,96	2.916 (M)	[PC]	H-V
864	C	-11,96	41,07	58,00	-29,86	39,01	695,49	2.916 (M)	[PC]	H-V
865	C	-7,46	38,07	59,00	-34,83	46,13	1132,65	2.916 (M)	[PC]	H+V
866	C	1,54	36,57	47,00	-10,91	42,43	519,24	2.916 (M)	[PC]	H+V
867	C	-8,96	38,07	59,00	-36,28	44,63	1090,81	2.916 (M)	[PC]	H+V
868	C	-13,46	47,07	64,00	-32,14	40,97	721,60	2.916 (M)	[PC]	H-V
869	C	-4,46	30,57	51,00	-29,10	43,56	1055,60	2.916 (M)	[PC]	H+V
870	C	-1,46	33,57	52,00	-23,51	46,47	1010,44	2.916 (M)	[PC]	H+V
871	C	-8,96	45,57	66,00	-36,87	48,67	1147,47	2.916 (M)	[PC]	H+V
872	C	-8,96	35,07	56,00	-35,56	42,68	1046,13	2.916 (M)	[PC]	H+V
873	C	-2,96	30,57	47,00	-21,96	40,79	771,82	2.917 (M)	[PC]	H-V
874	C	-1,46	30,57	48,00	-22,22	43,36	887,74	2.917 (M)	[PC]	H+V
875	C	-1,46	41,07	58,00	-22,48	49,51	980,45	2.917 (M)	[PC]	H+V
876	C	-7,46	48,57	62,00	-21,43	43,60	627,06	2.917 (M)	[PC]	H+V
877	C	-13,46	48,57	68,00	-39,40	44,74	964,14	2.917 (M)	[PC]	H+V
878	C	-4,46	36,57	57,00	-30,55	47,62	1145,92	2.917 (M)	[PC]	H+V
879	C	-10,46	36,57	56,00	-34,13	40,52	890,79	2.917 (M)	[PC]	H-V
880	C	-7,46	41,07	61,00	-33,34	46,90	1080,49	2.917 (M)	[PC]	H-V
881	C	6,04	32,07	42,00	-3,85	43,66	548,92	2.917 (M)	[PC]	H+V
882	C	3,04	42,57	52,00	-5,34	46,09	541,43	2.917 (M)	[PC]	H+V
883	C	-11,96	41,07	60,00	-35,30	41,28	865,14	2.917 (M)	[PC]	H-V
884	C	-7,46	45,57	65,00	-33,09	49,02	1092,13	2.917 (M)	[PC]	H-V
885	C	-1,46	32,07	47,00	-20,55	41,67	715,65	2.917 (M)	[PC]	H+V
886	C	4,54	36,57	46,00	-3,34	44,28	526,81	2.917 (M)	[PC]	H-V
887	C	-4,46	32,07	47,00	-21,38	38,67	641,54	2.917 (M)	[PC]	H+V
888	C	-2,96	32,07	52,00	-27,00	45,57	1075,60	2.917 (M)	[PC]	H+V
889	C	4,54	32,07	43,00	-8,98	43,28	574,73	2.917 (M)	[PC]	H+V
890	C	-2,96	41,07	56,00	-21,41	45,73	780,63	2.917 (M)	[PC]	H-V
891	C	-2,96	32,07	51,00	-24,90	44,50	990,25	2.917 (M)	[PC]	H-V
892	C	-10,46	41,07	56,00	-23,27	38,23	585,30	2.917 (M)	[PC]	H+V
893	C	1,54	32,07	42,00	-8,35	39,16	449,24	2.917 (M)	[PC]	H+V
894	C	-1,46	36,57	55,00	-23,90	48,42	1050,91	2.918 (M)	[PC]	H+V
895	C	-11,96	38,07	56,00	-32,20	38,31	740,59	2.918 (M)	[PC]	H+V
896	C	1,54	39,57	49,00	-6,59	42,97	484,72	2.918 (M)	[PC]	H-V
897	C	-13,46	45,57	65,00	-38,83	43,02	926,79	2.918 (M)	[PC]	H+V
898	C	-5,96	38,07	58,00	-31,25	46,53	1080,27	2.918 (M)	[PC]	H-V
899	C	-1,46	39,57	55,00	-21,33	46,91	841,08	2.918 (M)	[PC]	H+V
900	C	-2,96	35,07	54,00	-25,48	46,50	1032,22	2.918 (M)	[PC]	H-V
901	C	-2,96	42,57	58,00	-21,83	47,17	836,02	2.918 (M)	[PC]	H-V
902	C	-7,46	32,07	53,00	-33,37	42,14	1041,20	2.918 (M)	[PC]	H+V
903	C	-13,46	47,07	65,00	-35,15	42,14	807,76	2.918 (M)	[PC]	H-V
904	C	-10,46	45,57	66,00	-38,31	47,17	1106,27	2.918 (M)	[PC]	H+V
905	C	-11,96	39,57	56,00	-28,07	37,55	638,69	2.918 (M)	[PC]	H+V
906	C	-2,96	39,57	54,00	-20,98	44,27	726,18	2.918 (M)	[PC]	H-V
907	C	-13,46	44,07	61,00	-31,72	39,27	688,46	2.918 (M)	[PC]	H+V
908	C	-5,96	35,07	50,00	-21,88	39,10	638,29	2.919 (M)	[PC]	H-V
909	C	-8,96	38,07	53,00	-22,61	37,95	593,37	2.919 (M)	[PC]	H+V
910	C	-2,96	35,07	55,00	-27,70	47,59	1120,25	2.919 (M)	[PC]	H+V
911	C	-7,46	47,07	61,00	-21,79	43,41	650,35	2.919 (M)	[PC]	H-V
912	C	0,04	47,07	56,00	-4,45	44,79	479,42	2.919 (M)	[PC]	H-V
913	C	-2,96	44,07	60,00	-22,25	48,61	892,48	2.919 (M)	[PC]	H-V

N°	Forma	C_x	C_y	R	x_v	x_m	V	F_s	Caso	Sisma
		[m]	*[m]*	*[m]*	*[m]*	*[m]*	*[mc]*			
914	C	-5,96	45,57	59,00	-21,09	43,50	636,94	2.919 (M)	[PC]	H+V
915	C	-5,96	47,07	61,00	-21,51	44,91	688,28	2.919 (M)	[PC]	H-V
916	C	-7,46	30,57	47,00	-23,63	36,29	652,67	2.919 (M)	[PC]	H+V
917	C	-4,46	30,57	46,00	-21,67	38,22	659,34	2.919 (M)	[PC]	H+V
918	C	-5,96	35,07	56,00	-32,66	45,68	1128,92	2.919 (M)	[PC]	H+V
919	C	-5,96	48,57	62,00	-21,16	45,10	664,70	2.919 (M)	[PC]	H+V
920	C	-5,96	44,07	58,00	-21,43	43,27	659,67	2.919 (M)	[PC]	H-V
921	C	-10,46	39,57	55,00	-24,10	37,91	605,48	2.919 (M)	[PC]	H-V
922	C	-5,96	42,57	63,00	-33,34	49,88	1189,49	2.919 (M)	[PC]	H+V
923	C	-7,46	35,07	50,00	-22,22	37,60	599,60	2.919 (M)	[PC]	H+V
924	C	-8,96	30,57	50,00	-31,37	38,00	845,44	2.920 (M)	[PC]	H+V
925	C	-10,46	41,07	61,00	-36,22	43,90	997,52	2.920 (M)	[PC]	H-V
926	C	0,04	42,57	52,00	-8,34	43,09	475,00	2.920 (M)	[PC]	H+V
927	C	-8,96	41,07	62,00	-36,98	46,52	1134,60	2.920 (M)	[PC]	H+V
928	C	-8,96	30,57	49,00	-29,14	36,93	763,66	2.920 (M)	[PC]	H+V
929	C	-1,46	41,07	57,00	-21,76	48,37	898,04	2.920 (M)	[PC]	H+V
930	C	-5,96	32,07	53,00	-31,92	43,64	1082,11	2.921 (M)	[PC]	H+V
931	C	-10,46	33,57	53,00	-33,48	38,55	848,11	2.921 (M)	[PC]	H+V
932	C	-1,46	30,57	46,00	-20,82	41,22	734,34	2.921 (M)	[PC]	H+V
933	C	-4,46	39,57	59,00	-29,01	48,42	1096,81	2.921 (M)	[PC]	H-V
934	C	3,04	35,07	46,00	-10,95	43,62	570,19	2.921 (M)	[PC]	H+V
935	C	-8,96	35,07	51,00	-23,97	37,21	631,19	2.921 (M)	[PC]	H-V
936	C	-11,96	38,07	58,00	-37,01	40,53	915,18	2.921 (M)	[PC]	H+V
937	C	-2,96	36,57	51,00	-20,85	42,47	693,85	2.922 (M)	[PC]	H-V
938	C	-11,96	42,57	63,00	-39,10	43,88	1024,04	2.922 (M)	[PC]	H+V
939	C	-1,46	30,57	49,00	-23,10	44,43	967,93	2.922 (M)	[PC]	H+V
940	C	-8,96	36,57	52,00	-23,23	37,59	612,60	2.922 (M)	[PC]	H-V
941	C	0,04	39,57	49,00	-8,09	41,47	451,47	2.922 (M)	[PC]	H+V
942	C	-10,46	38,07	58,00	-35,57	42,03	956,34	2.922 (M)	[PC]	H-V
943	C	-10,46	33,57	52,00	-31,18	37,47	764,05	2.922 (M)	[PC]	H+V
944	C	-1,46	39,57	54,00	-20,61	45,77	762,95	2.922 (M)	[PC]	H+V
945	C	3,04	39,57	49,00	-5,09	44,47	517,88	2.922 (M)	[PC]	H-V
946	C	-13,46	42,57	61,00	-35,74	40,11	798,00	2.922 (M)	[PC]	H+V
947	C	1,54	32,07	43,00	-11,98	40,28	508,31	2.922 (M)	[PC]	H+V
948	C	-1,46	29,07	46,00	-21,77	41,79	828,29	2.922 (M)	[PC]	H+V
949	C	-2,96	35,07	49,00	-20,31	40,99	640,81	2.922 (M)	[PC]	H+V
950	C	-8,96	32,07	51,00	-30,60	38,50	825,48	2.923 (M)	[PC]	H-V
951	C	1,54	35,07	46,00	-12,45	42,12	537,06	2.923 (M)	[PC]	H+V
952	C	-7,46	41,07	62,00	-35,53	48,02	1175,89	2.923 (M)	[PC]	H+V
953	C	3,04	30,57	41,00	-8,58	40,27	497,23	2.923 (M)	[PC]	H-V
954	C	-11,96	42,57	62,00	-36,80	42,75	929,72	2.923 (M)	[PC]	H-V
955	C	-2,96	29,07	49,00	-26,28	43,47	1029,84	2.923 (M)	[PC]	H+V
956	C	-11,96	45,57	65,00	-37,39	44,52	968,12	2.923 (M)	[PC]	H-V
957	C	-8,96	44,07	64,00	-35,41	47,21	1079,19	2.923 (M)	[PC]	H-V
958	C	-10,46	45,57	60,00	-22,65	40,19	594,52	2.923 (M)	[PC]	H-V
959	C	-4,46	48,57	63,00	-21,63	47,81	779,40	2.923 (M)	[PC]	H-V
960	C	-1,46	42,57	59,00	-22,19	49,82	956,06	2.923 (M)	[PC]	H+V
961	C	-5,96	42,57	56,00	-21,01	41,84	608,50	2.923 (M)	[PC]	H+V
962	C	-11,96	39,57	58,00	-33,76	39,80	802,18	2.924 (M)	[PC]	H-V
963	C	-5,96	38,07	59,00	-33,39	47,63	1173,82	2.924 (M)	[PC]	H+V
964	C	-13,46	48,57	67,00	-36,79	43,57	870,18	2.924 (M)	[PC]	H-V
965	C	-1,46	35,07	54,00	-24,41	48,00	1073,49	2.924 (M)	[PC]	H+V
966	C	-8,96	42,57	57,00	-22,34	40,01	604,37	2.924 (M)	[PC]	H-V
967	C	-2,96	29,07	46,00	-22,22	40,29	789,28	2.924 (M)	[PC]	H-V
968	C	-10,46	38,07	59,00	-37,72	43,13	1049,71	2.924 (M)	[PC]	H+V
969	C	6,04	30,57	41,00	-5,58	43,27	563,62	2.924 (M)	[PC]	H+V
970	C	-8,96	33,57	50,00	-24,68	36,79	649,77	2.924 (M)	[PC]	H-V
971	C	-7,46	45,57	59,00	-21,37	42,00	599,59	2.924 (M)	[PC]	H+V
972	C	-8,96	32,07	50,00	-28,24	37,42	744,57	2.925 (M)	[PC]	H-V
973	C	-4,46	39,57	60,00	-31,23	49,53	1189,47	2.925 (M)	[PC]	H+V
974	C	-2,96	38,07	57,00	-26,10	48,42	1073,26	2.925 (M)	[PC]	H-V
975	C	-10,46	48,57	68,00	-36,54	47,74	1047,17	2.925 (M)	[PC]	H-V
976	C	4,54	38,07	48,00	-6,04	45,72	568,23	2.925 (M)	[PC]	H+V
977	C	-4,46	42,57	56,00	-20,70	43,34	645,21	2.925 (M)	[PC]	H+V
978	C	-4,46	29,07	45,00	-21,94	37,72	676,49	2.925 (M)	[PC]	H+V
979	C	-1,46	29,07	47,00	-22,46	42,85	906,47	2.925 (M)	[PC]	H+V
980	C	-5,96	41,07	55,00	-21,34	41,57	630,04	2.925 (M)	[PC]	H-V
981	C	4,54	30,57	42,00	-10,22	42,87	590,98	2.925 (M)	[PC]	H+V
982	C	1,54	41,07	51,00	-9,37	44,38	526,48	2.925 (M)	[PC]	H+V
983	C	-4,46	45,57	59,00	-20,79	45,00	673,98	2.925 (M)	[PC]	H+V
984	C	-2,96	38,07	58,00	-28,37	49,53	1162,81	2.925 (M)	[PC]	H+V
985	C	-10,46	41,07	62,00	-38,42	45,02	1092,87	2.925 (M)	[PC]	H+V
986	C	-1,46	41,07	56,00	-21,04	47,23	817,97	2.925 (M)	[PC]	H+V
987	C	-13,46	45,57	63,00	-33,47	40,71	747,28	2.925 (M)	[PC]	H-V
988	C	1,54	30,57	40,00	-5,80	37,67	408,54	2.925 (M)	[PC]	H+V
989	C	-8,96	48,57	68,00	-35,11	49,24	1088,47	2.925 (M)	[PC]	H-V
990	C	-2,96	44,07	58,00	-20,79	46,27	734,13	2.925 (M)	[PC]	H+V
991	C	-11,96	44,07	59,00	-24,02	38,44	575,74	2.925 (M)	[PC]	H+V
992	C	-7,46	36,57	57,00	-33,43	44,62	1063,79	2.925 (M)	[PC]	H-V

N°	Forma	C_x	C_y	R	x_v	x_m	V	F_s	Caso	Sisma
		[m]	*[m]*	*[m]*	*[m]*	*[m]*	*[mc]*			
993	C	-4,46	36,57	51,00	-21,22	40,97	656,83	2.926 (M)	[PC]	H-V
994	C	-10,46	44,07	64,00	-36,85	45,71	1037,87	2.926 (M)	[PC]	H-V
995	C	-10,46	36,57	53,00	-26,24	37,21	644,98	2.926 (M)	[PC]	H-V
996	C	-1,46	30,57	45,00	-19,83	40,14	661,15	2.926 (M)	[PC]	H+V
997	C	-1,46	32,07	51,00	-24,00	46,00	1030,80	2.926 (M)	[PC]	H+V
998	C	-11,96	39,57	60,00	-38,44	42,03	982,58	2.926 (M)	[PC]	H+V
999	C	1,54	33,57	43,00	-6,08	39,52	435,00	2.926 (M)	[PC]	H-V
1000	C	-5,96	29,07	49,00	-29,17	40,47	947,50	2.926 (M)	[PC]	H-V
1001	C	-7,46	44,07	58,00	-21,72	41,77	621,76	2.926 (M)	[PC]	H-V
1002	C	-5,96	29,07	46,00	-23,41	37,29	710,20	2.926 (M)	[PC]	H-V
1003	C	-7,46	33,57	54,00	-32,73	42,63	1018,98	2.926 (M)	[PC]	H-V
1004	C	-8,96	47,07	61,00	-22,04	41,91	611,86	2.926 (M)	[PC]	H-V
1005	C	-11,96	45,57	66,00	-39,75	45,67	1064,39	2.926 (M)	[PC]	H+V
1006	C	-1,46	35,07	49,00	-19,66	42,49	676,63	2.927 (M)	[PC]	H+V
1007	C	4,54	30,57	41,00	-7,08	41,77	530,31	2.927 (M)	[PC]	H-V
1008	C	-4,46	32,07	52,00	-28,44	44,07	1034,65	2.927 (M)	[PC]	H-V
1009	C	-13,46	42,57	62,00	-38,24	41,25	888,52	2.927 (M)	[PC]	H+V
1010	C	-8,96	36,57	57,00	-34,88	43,12	1022,07	2.927 (M)	[PC]	H-V
1011	C	-1,46	38,07	57,00	-24,80	49,92	1114,15	2.927 (M)	[PC]	H+V
1012	C	-5,96	41,07	61,00	-31,90	48,40	1121,54	2.927 (M)	[PC]	H-V
1013	C	-10,46	35,07	54,00	-32,67	39,00	826,30	2.927 (M)	[PC]	H-V
1014	C	3,04	33,57	44,00	-9,00	42,14	525,40	2.927 (M)	[PC]	H-V
1015	C	3,04	33,57	45,00	-12,26	43,27	588,04	2.927 (M)	[PC]	H+V
1016	C	-4,46	35,07	55,00	-29,14	46,09	1078,81	2.927 (M)	[PC]	H-V
1017	C	-1,46	38,07	52,00	-19,90	44,32	709,24	2.928 (M)	[PC]	H+V
1018	C	1,54	35,07	45,00	-8,70	40,98	476,08	2.928 (M)	[PC]	H-V
1019	C	-2,96	29,07	48,00	-24,48	42,41	946,65	2.928 (M)	[PC]	H-V
1020	C	-7,46	44,07	64,00	-33,97	48,71	1120,42	2.928 (M)	[PC]	H-V
1021	C	-8,96	32,07	53,00	-34,81	40,64	1000,08	2.928 (M)	[PC]	H+V
1022	C	-1,46	29,07	45,00	-21,07	40,72	752,35	2.928 (M)	[PC]	H+V
1023	C	-2,96	42,57	57,00	-21,10	46,01	757,58	2.928 (M)	[PC]	H-V
1024	C	3,04	29,07	39,00	-6,48	38,75	454,66	2.928 (M)	[PC]	H-V
1025	C	-8,96	30,57	51,00	-33,44	39,06	931,31	2.928 (M)	[PC]	H+V
1026	C	-2,96	48,57	63,00	-21,31	49,31	817,17	2.928 (M)	[PC]	H+V
1027	C	-1,46	42,57	58,00	-21,47	48,67	874,07	2.929 (M)	[PC]	H+V
1028	C	-13,46	45,57	64,00	-36,27	41,87	834,75	2.929 (M)	[PC]	H-V
1029	C	-13,46	47,07	63,00	-28,64	39,79	640,39	2.929 (M)	[PC]	H-V
1030	C	-8,96	44,07	58,00	-21,99	40,27	583,12	2.929 (M)	[PC]	H+V
1031	C	-2,96	39,57	53,00	-20,02	43,13	651,75	2.929 (M)	[PC]	H+V
1032	C	-4,46	44,07	58,00	-21,12	44,77	697,27	2.929 (M)	[PC]	H-V
1033	C	-10,46	48,57	69,00	-38,94	48,90	1145,67	2.929 (M)	[PC]	H+V
1034	C	-8,96	44,07	65,00	-37,66	48,35	1176,62	2.929 (M)	[PC]	H+V
1035	C	-13,46	47,07	67,00	-40,33	44,47	993,63	2.929 (M)	[PC]	H+V
1036	C	-2,96	44,07	59,00	-21,52	47,44	812,12	2.929 (M)	[PC]	H-V
1037	C	3,04	41,07	51,00	-7,87	45,88	559,60	2.929 (M)	[PC]	H+V
1038	C	-10,46	35,07	53,00	-30,23	37,91	743,27	2.929 (M)	[PC]	H-V
1039	C	-5,96	38,07	52,00	-21,25	39,82	599,10	2.929 (M)	[PC]	H+V
1040	C	-4,46	39,57	53,00	-20,60	41,63	615,66	2.929 (M)	[PC]	H+V
1041	C	-8,96	39,57	60,00	-35,56	45,03	1064,97	2.929 (M)	[PC]	H-V
1042	C	-5,96	29,07	50,00	-31,15	41,52	1034,22	2.929 (M)	[PC]	H+V
1043	C	3,04	29,07	41,00	-12,79	40,93	573,70	2.929 (M)	[PC]	H+V
1044	C	-7,46	41,07	55,00	-21,65	40,07	591,99	2.929 (M)	[PC]	H+V
1045	C	-8,96	48,57	62,00	-21,68	42,10	589,16	2.929 (M)	[PC]	H+V
1046	C	-10,46	33,57	54,00	-35,62	39,63	936,04	2.930 (M)	[PC]	H+V
1047	C	-11,96	39,57	57,00	-31,10	38,68	717,87	2.930 (M)	[PC]	H-V
1048	C	-13,46	42,57	60,00	-33,00	38,97	712,38	2.930 (M)	[PC]	H+V
1049	C	-4,46	41,07	55,00	-21,02	43,07	667,29	2.930 (M)	[PC]	H-V
1050	C	-7,46	39,57	54,00	-21,98	39,77	612,59	2.930 (M)	[PC]	H-V
1051	C	1,54	33,57	45,00	-13,76	41,77	554,90	2.930 (M)	[PC]	H+V
1052	C	4,54	35,07	45,00	-5,70	43,98	542,49	2.930 (M)	[PC]	H-V
1053	C	-2,96	45,57	61,00	-21,94	48,87	867,74	2.930 (M)	[PC]	H-V
1054	C	-5,96	33,57	54,00	-31,28	44,13	1060,55	2.931 (M)	[PC]	H-V
1055	C	-7,46	39,57	60,00	-34,12	46,53	1106,77	2.931 (M)	[PC]	H-V
1056	C	-2,96	42,57	56,00	-20,21	44,84	681,69	2.931 (M)	[PC]	H+V
1057	C	-7,46	29,07	48,00	-28,51	37,91	823,03	2.931 (M)	[PC]	H-V
1058	C	-13,46	44,07	64,00	-39,72	42,71	954,85	2.931 (M)	[PC]	H+V
1059	C	-10,46	44,07	65,00	-39,10	46,85	1135,43	2.931 (M)	[PC]	H+V
1060	C	-11,96	48,57	68,00	-37,97	46,24	1005,94	2.931 (M)	[PC]	H-V
1061	C	-8,96	32,07	52,00	-32,78	39,57	911,15	2.931 (M)	[PC]	H-V
1062	C	-11,96	38,07	55,00	-29,41	37,20	659,96	2.931 (M)	[PC]	H+V
1063	C	6,04	29,07	40,00	-6,98	42,84	578,33	2.931 (M)	[PC]	H+V
1064	C	-7,46	29,07	46,00	-24,25	35,79	669,50	2.932 (M)	[PC]	H+V
1065	C	-8,96	30,57	48,00	-26,69	35,86	685,95	2.932 (M)	[PC]	H+V
1066	C	-14,96	48,57	67,00	-38,22	42,07	828,95	2.932 (M)	[PC]	H+V
1067	C	-2,96	33,57	53,00	-26,28	46,05	1054,15	2.932 (M)	[PC]	H-V
1068	C	-5,96	41,07	62,00	-34,09	49,52	1217,09	2.932 (M)	[PC]	H+V
1069	C	-10,46	35,07	56,00	-37,00	41,18	1005,03	2.932 (M)	[PC]	H+V
1070	C	-1,46	33,57	53,00	-24,90	47,55	1095,52	2.932 (M)	[PC]	H+V
1071	C	-4,46	32,07	53,00	-30,47	45,14	1123,86	2.932 (M)	[PC]	H+V

N°	Forma	C_x	C_y	R	x_v	x_m	V	F_s	Caso	Sisma
		[m]	*[m]*	*[m]*	*[m]*	*[m]*	*[mc]*			
1072	C	-11,96	39,57	59,00	-36,19	40,92	890,18	2.932 (M)	[PC]	H-V
1073	C	-4,46	35,07	56,00	-31,22	47,18	1170,04	2.932 (M)	[PC]	H+V
1074	C	0,04	33,57	48,00	-19,42	43,60	731,97	2.933 (M)	[PC]	H+V
1075	C	-5,96	36,57	57,00	-31,99	46,12	1104,83	2.933 (M)	[PC]	H-V
1076	C	-2,96	32,07	47,00	-20,98	40,17	678,73	2.933 (M)	[PC]	H-V
1077	C	1,54	38,07	48,00	-9,04	42,72	501,67	2.933 (M)	[PC]	H-V
1078	C	-2,96	36,57	50,00	-19,81	41,35	620,96	2.933 (M)	[PC]	H+V
1079	C	-7,46	36,57	58,00	-35,49	45,71	1158,06	2.933 (M)	[PC]	H+V
1080	C	-11,96	36,57	56,00	-35,57	39,02	849,06	2.933 (M)	[PC]	H+V
1081	C	1,54	30,57	42,00	-13,22	39,87	524,56	2.933 (M)	[PC]	H+V
1082	C	-11,96	41,07	57,00	-26,55	37,87	617,53	2.933 (M)	[PC]	H-V
1083	C	-7,46	44,07	65,00	-36,21	49,85	1217,93	2.933 (M)	[PC]	H+V
1084	C	-2,96	33,57	48,00	-20,71	40,60	660,22	2.933 (M)	[PC]	H-V
1085	C	-2,96	30,57	50,00	-25,60	44,00	1010,33	2.933 (M)	[PC]	H-V
1086	C	-14,96	48,57	66,00	-35,33	40,89	739,58	2.933 (M)	[PC]	H+V
1087	C	-4,46	38,07	58,00	-29,81	48,03	1121,33	2.933 (M)	[PC]	H-V
1088	C	-10,46	33,57	51,00	-28,66	36,38	684,38	2.934 (M)	[PC]	H+V
1089	C	-7,46	29,07	50,00	-32,60	40,02	993,31	2.934 (M)	[PC]	H+V
1090	C	-7,46	33,57	55,00	-34,73	43,71	1110,83	2.934 (M)	[PC]	H+V
1091	C	-10,46	47,07	61,00	-22,28	40,41	572,71	2.934 (M)	[PC]	H+V
1092	C	-7,46	29,07	47,00	-26,22	36,85	744,38	2.934 (M)	[PC]	H-V
1093	C	1,54	30,57	41,00	-10,08	38,77	463,96	2.934 (M)	[PC]	H+V
1094	C	-4,46	29,07	49,00	-27,73	41,97	988,31	2.934 (M)	[PC]	H-V
1095	C	0,04	36,57	46,00	-7,84	39,78	427,15	2.934 (M)	[PC]	H+V
1096	C	-8,96	33,57	54,00	-34,17	41,13	977,88	2.934 (M)	[PC]	H-V
1097	C	-8,96	36,57	58,00	-36,93	44,21	1116,18	2.934 (M)	[PC]	H+V
1098	C	1,54	39,57	50,00	-11,31	44,14	545,28	2.934 (M)	[PC]	H+V
1099	C	-4,46	48,57	62,00	-20,88	46,60	701,69	2.934 (M)	[PC]	H+V
1100	C	-2,96	33,57	54,00	-28,39	47,13	1142,50	2.934 (M)	[PC]	H+V
1101	C	-1,46	42,57	57,00	-20,74	47,51	794,43	2.934 (M)	[PC]	H+V
1102	C	-13,46	47,07	66,00	-37,85	43,31	898,67	2.934 (M)	[PC]	H-V
1103	C	-10,46	35,07	51,00	-24,70	35,71	590,64	2.934 (M)	[PC]	H+V
1104	C	3,04	32,07	43,00	-10,48	41,78	541,65	2.934 (M)	[PC]	H-V
1105	C	-13,46	48,57	64,00	-26,75	40,01	616,75	2.935 (M)	[PC]	H-V
1106	C	-11,96	48,57	69,00	-40,38	47,40	1104,25	2.935 (M)	[PC]	H+V
1107	C	-1,46	29,07	48,00	-23,56	43,91	986,99	2.935 (M)	[PC]	H+V
1108	C	-4,46	33,57	48,00	-21,09	39,10	623,15	2.935 (M)	[PC]	H+V
1109	C	3,04	38,07	48,00	-7,54	44,22	534,93	2.935 (M)	[PC]	H-V
1110	C	-2,96	30,57	46,00	-21,25	39,72	696,98	2.935 (M)	[PC]	H-V
1111	C	4,54	36,57	47,00	-7,91	45,43	585,62	2.935 (M)	[PC]	H+V
1112	C	0,04	30,57	45,00	-19,11	41,64	696,51	2.935 (M)	[PC]	H+V
1113	C	-11,96	36,57	55,00	-33,20	37,92	763,05	2.935 (M)	[PC]	H+V
1114	C	1,54	45,57	55,00	-7,08	46,15	530,80	2.935 (M)	[PC]	H+V
1115	C	-1,46	36,57	56,00	-25,49	49,52	1137,88	2.935 (M)	[PC]	H+V
1116	C	3,04	29,07	40,00	-9,98	39,84	511,76	2.935 (M)	[PC]	H-V
1117	C	0,04	41,07	51,00	-10,87	42,88	493,21	2.936 (M)	[PC]	H+V
1118	C	-8,96	47,07	67,00	-36,02	48,97	1118,04	2.936 (M)	[PC]	H-V
1119	C	0,04	38,07	48,00	-10,54	41,22	468,55	2.936 (M)	[PC]	H+V
1120	C	-5,96	30,57	51,00	-30,55	42,06	1014,00	2.936 (M)	[PC]	H-V
1121	C	-1,46	32,07	46,00	-19,39	40,58	642,97	2.936 (M)	[PC]	H+V
1122	C	-10,46	39,57	60,00	-37,00	43,53	1023,73	2.936 (M)	[PC]	H-V
1123	C	-10,46	47,07	67,00	-37,46	47,47	1076,71	2.936 (M)	[PC]	H-V
1124	C	4,54	29,07	40,00	-8,48	41,34	545,06	2.936 (M)	[PC]	H-V
1125	C	-13,46	44,07	60,00	-28,30	38,11	608,67	2.936 (M)	[PC]	H+V
1126	C	-1,46	36,57	50,00	-19,18	42,85	656,38	2.936 (M)	[PC]	H+V
1127	C	-2,96	30,57	51,00	-27,65	45,06	1096,49	2.936 (M)	[PC]	H+V
1128	C	-1,46	29,07	44,00	-20,24	39,66	678,35	2.936 (M)	[PC]	H+V
1129	C	6,04	29,07	39,00	-3,48	41,75	521,05	2.936 (M)	[PC]	H-V
1130	C	-8,96	42,57	63,00	-36,23	46,88	1107,06	2.936 (M)	[PC]	H-V
1131	C	-8,96	39,57	61,00	-37,67	46,14	1161,91	2.936 (M)	[PC]	H+V
1132	C	-13,46	44,07	62,00	-34,66	40,42	772,90	2.936 (M)	[PC]	H-V
1133	C	-11,96	44,07	64,00	-38,28	44,21	996,21	2.936 (M)	[PC]	H-V
1134	C	-2,96	36,57	56,00	-26,93	48,02	1096,96	2.936 (M)	[PC]	H-V
1135	C	-10,46	35,07	55,00	-34,91	40,09	913,96	2.936 (M)	[PC]	H-V
1136	C	-4,46	38,07	52,00	-20,91	41,32	636,47	2.937 (M)	[PC]	H-V
1137	C	-13,46	45,57	62,00	-30,28	39,54	664,34	2.937 (M)	[PC]	H-V
1138	C	-10,46	36,57	52,00	-23,93	36,09	572,08	2.937 (M)	[PC]	H+V
1139	C	-13,46	41,07	60,00	-36,73	39,78	823,50	2.937 (M)	[PC]	H+V
1140	C	4,54	29,07	41,00	-11,29	42,43	607,09	2.937 (M)	[PC]	H+V
1141	C	0,04	32,07	47,00	-19,84	43,17	751,59	2.937 (M)	[PC]	H+V
1142	C	-7,46	30,57	51,00	-32,00	40,56	972,97	2.937 (M)	[PC]	H-V
1143	C	-8,96	32,07	49,00	-25,62	36,34	667,99	2.937 (M)	[PC]	H-V
1144	C	-7,46	29,07	49,00	-30,62	38,97	906,52	2.937 (M)	[PC]	H-V
1145	C	-8,96	33,57	55,00	-36,18	42,21	1069,66	2.937 (M)	[PC]	H+V
1146	C	-7,46	39,57	61,00	-36,22	47,64	1203,06	2.938 (M)	[PC]	H+V
1147	C	3,04	32,07	44,00	-13,38	42,88	605,78	2.938 (M)	[PC]	H+V
1148	C	-11,96	41,07	62,00	-39,86	43,52	1051,55	2.938 (M)	[PC]	H+V
1149	C	-1,46	35,07	52,00	-22,16	45,81	907,38	2.938 (M)	[PC]	H-V
1150	C	3,04	39,57	50,00	-9,81	45,64	578,56	2.938 (M)	[PC]	H+V

N°	Forma	C_x	C_y	R	x_v	x_m	V	F_s	Caso	Sisma
		[m]	*[m]*	*[m]*	*[m]*	*[m]*	*[mc]*			
1151	C	-1,46	30,57	50,00	-24,46	45,50	1051,05	2.938 (M)	[PC]	H+V
1152	C	-5,96	33,57	55,00	-33,28	45,21	1152,63	2.938 (M)	[PC]	H+V
1153	C	-7,46	33,57	49,00	-22,53	37,20	617,93	2.938 (M)	[PC]	H-V
1154	C	-11,96	41,07	61,00	-37,66	42,40	956,37	2.938 (M)	[PC]	H-V
1155	C	-2,96	36,57	57,00	-29,10	49,12	1187,50	2.938 (M)	[PC]	H+V
1156	C	-1,46	36,57	54,00	-22,60	47,32	967,06	2.938 (M)	[PC]	H-V
1157	C	-4,46	38,07	59,00	-31,94	49,13	1214,83	2.938 (M)	[PC]	H+V
1158	C	-1,46	35,07	51,00	-21,45	44,71	827,80	2.938 (M)	[PC]	H-V
1159	C	-7,46	32,07	48,00	-22,98	36,76	635,35	2.938 (M)	[PC]	H-V
1160	C	-1,46	44,07	59,00	-21,17	48,94	849,67	2.938 (M)	[PC]	H+V
1161	C	-1,46	33,57	49,00	-21,01	43,20	771,24	2.938 (M)	[PC]	H-V
1162	C	-1,46	33,57	50,00	-21,71	44,29	848,41	2.938 (M)	[PC]	H-V
1163	C	-8,96	39,57	54,00	-22,27	38,27	573,74	2.938 (M)	[PC]	H+V
1164	C	-1,46	39,57	53,00	-19,41	44,63	687,56	2.938 (M)	[PC]	H+V
1165	C	-4,46	47,07	61,00	-21,21	46,41	726,12	2.939 (M)	[PC]	H-V
1166	C	-1,46	33,57	51,00	-22,42	45,38	928,35	2.939 (M)	[PC]	H-V
1167	C	0,04	38,07	47,00	-4,07	40,04	412,24	2.939 (M)	[PC]	H-V
1168	C	-1,46	36,57	53,00	-21,89	46,21	885,81	2.939 (M)	[PC]	H-V
1169	C	-4,46	29,07	50,00	-29,70	43,02	1075,13	2.939 (M)	[PC]	H+V
1170	C	1,54	38,07	49,00	-12,91	43,88	564,50	2.939 (M)	[PC]	H+V
1171	C	-11,96	42,57	58,00	-24,90	38,17	596,78	2.939 (M)	[PC]	H-V
1172	C	-1,46	35,07	50,00	-20,74	43,60	750,98	2.939 (M)	[PC]	H-V
1173	C	-2,96	41,07	54,00	-19,49	43,41	630,13	2.939 (M)	[PC]	H+V
1174	C	1,54	42,57	52,00	-6,84	44,59	508,15	2.939 (M)	[PC]	H-V
1175	C	-10,46	42,57	63,00	-37,67	45,38	1065,34	2.940 (M)	[PC]	H-V
1176	C	-5,96	36,57	58,00	-34,04	47,21	1199,26	2.940 (M)	[PC]	H+V
1177	C	1,54	33,57	44,00	-10,50	40,64	492,30	2.940 (M)	[PC]	H-V
1178	C	-5,96	39,57	60,00	-32,68	48,03	1147,81	2.940 (M)	[PC]	H-V
1179	C	-7,46	42,57	63,00	-34,78	48,38	1148,32	2.940 (M)	[PC]	H-V
1180	C	-1,46	32,07	48,00	-21,27	42,76	790,90	2.940 (M)	[PC]	H-V
1181	C	4,54	33,57	44,00	-7,50	43,64	558,66	2.940 (M)	[PC]	H-V
1182	C	-1,46	35,07	53,00	-23,00	46,91	989,00	2.940 (M)	[PC]	H-V
1183	C	-2,96	47,07	61,00	-20,89	47,91	763,20	2.940 (M)	[PC]	H+V
1184	C	-2,96	38,07	51,00	-19,30	41,68	600,68	2.940 (M)	[PC]	H+V
1185	C	-10,46	36,57	57,00	-36,32	41,62	980,84	2.940 (M)	[PC]	H-V
1186	C	-4,46	44,07	57,00	-20,21	43,59	622,83	2.940 (M)	[PC]	H+V
1187	C	-1,46	36,57	52,00	-21,17	45,09	806,96	2.940 (M)	[PC]	H-V
1188	C	-1,46	41,07	55,00	-20,13	46,07	740,38	2.940 (M)	[PC]	H+V
1189	C	0,04	45,57	55,00	-8,58	44,65	497,66	2.940 (M)	[PC]	H+V
1190	C	4,54	39,57	49,00	-3,59	45,97	551,14	2.940 (M)	[PC]	H-V
1191	C	-1,46	38,07	55,00	-22,32	47,70	944,57	2.940 (M)	[PC]	H-V
1192	C	4,54	35,07	46,00	-9,45	45,12	603,48	2.941 (M)	[PC]	H+V
1193	C	-1,46	36,57	51,00	-20,38	43,97	730,19	2.941 (M)	[PC]	H-V
1194	C	-11,96	44,07	65,00	-40,54	45,35	1093,51	2.941 (M)	[PC]	H+V
1195	C	-10,46	47,07	68,00	-39,76	48,62	1176,38	2.941 (M)	[PC]	H+V
1196	C	6,04	35,07	45,00	-4,20	45,48	575,75	2.941 (M)	[PC]	H+V
1197	C	-11,96	36,57	57,00	-37,76	40,12	939,10	2.941 (M)	[PC]	H+V
1198	C	-7,46	30,57	52,00	-33,95	41,62	1062,80	2.941 (M)	[PC]	H+V
1199	C	-1,46	32,07	49,00	-21,97	43,84	868,41	2.941 (M)	[PC]	H-V
1200	C	-13,46	44,07	63,00	-37,30	41,57	861,78	2.941 (M)	[PC]	H-V
1201	C	-1,46	33,57	47,00	-18,94	40,99	624,23	2.941 (M)	[PC]	H+V
1202	C	-13,46	45,57	61,00	-26,46	38,37	586,76	2.941 (M)	[PC]	H+V
1203	C	-1,46	33,57	48,00	-20,11	42,10	696,40	2.941 (M)	[PC]	H-V
1204	C	-11,96	48,57	63,00	-23,20	40,31	583,27	2.941 (M)	[PC]	H-V
1205	C	-4,46	35,07	49,00	-20,80	39,49	604,20	2.942 (M)	[PC]	H+V
1206	C	-1,46	38,07	51,00	-18,69	43,18	635,77	2.942 (M)	[PC]	H+V
1207	C	0,04	36,57	51,00	-19,71	45,47	766,37	2.942 (M)	[PC]	H+V
1208	C	-11,96	38,07	57,00	-34,71	39,42	825,54	2.942 (M)	[PC]	H-V
1209	C	-10,46	39,57	61,00	-39,11	44,64	1120,01	2.942 (M)	[PC]	H+V
1210	C	-14,96	47,07	65,00	-36,57	40,64	766,43	2.942 (M)	[PC]	H+V
1211	C	-2,96	45,57	60,00	-21,21	47,69	787,84	2.942 (M)	[PC]	H-V
1212	C	-10,46	35,07	52,00	-27,52	36,81	664,71	2.942 (M)	[PC]	H-V
1213	C	-1,46	38,07	54,00	-21,61	46,58	863,70	2.942 (M)	[PC]	H-V
1214	C	1,54	32,07	44,00	-14,88	41,38	572,47	2.942 (M)	[PC]	H+V
1215	C	-1,46	32,07	50,00	-22,67	44,92	948,25	2.942 (M)	[PC]	H-V
1216	C	0,04	35,07	44,00	-3,94	38,33	388,26	2.943 (M)	[PC]	H+V
1217	C	-13,46	41,07	61,00	-39,10	40,90	914,48	2.943 (M)	[PC]	H+V
1218	C	-10,46	42,57	57,00	-22,60	38,51	564,94	2.943 (M)	[PC]	H+V
1219	C	-2,96	41,07	55,00	-20,68	44,57	704,00	2.943 (M)	[PC]	H-V
1220	C	-2,96	29,07	45,00	-21,52	39,22	714,57	2.943 (M)	[PC]	H-V
1221	C	-13,46	45,57	66,00	-41,19	44,17	1022,99	2.943 (M)	[PC]	H+V
1222	C	-4,46	41,07	54,00	-20,06	41,91	594,49	2.943 (M)	[PC]	H+V
1223	C	-14,96	47,07	66,00	-39,28	41,81	857,28	2.943 (M)	[PC]	H+V
1224	C	-13,46	41,07	59,00	-34,15	38,65	736,53	2.943 (M)	[PC]	H+V
1225	C	0,04	35,07	50,00	-20,15	45,10	787,52	2.943 (M)	[PC]	H+V
1226	C	-5,96	30,57	52,00	-32,50	43,12	1103,70	2.943 (M)	[PC]	H+V
1227	C	-8,96	42,57	64,00	-38,38	48,01	1205,63	2.943 (M)	[PC]	H+V
1228	C	-1,46	39,57	57,00	-22,79	49,18	1004,37	2.943 (M)	[PC]	H-V
1229	C	-10,46	36,57	58,00	-38,38	42,71	1075,10	2.943 (M)	[PC]	H+V

N°	Forma	C_x	C_y	R	x_v	x_m	V	F_s	Caso	Sisma
		[m]	*[m]*	*[m]*	*[m]*	*[m]*	*[mc]*			
1230	C	0,04	32,07	46,00	-18,70	42,08	678,02	2.943 (M)	[PC]	H+V
1231	C	-5,96	36,57	51,00	-21,57	39,47	618,94	2.943 (M)	[PC]	H-V
1232	C	-2,96	44,07	57,00	-19,66	45,09	658,84	2.943 (M)	[PC]	H+V
1233	C	-11,96	47,07	67,00	-38,89	45,97	1035,00	2.943 (M)	[PC]	H-V
1234	C	-1,46	35,07	48,00	-18,46	41,37	605,05	2.943 (M)	[PC]	H+V
1235	C	3,04	38,07	49,00	-11,41	45,38	597,83	2.943 (M)	[PC]	H+V
1236	C	1,54	36,57	47,00	-10,91	42,43	519,24	2.944 (M)	[PC]	H-V
1237	C	3,04	30,57	42,00	-11,72	41,37	557,92	2.944 (M)	[PC]	H-V
1238	C	-5,96	32,07	47,00	-21,76	37,17	603,66	2.944 (M)	[PC]	H+V
1239	C	-2,96	38,07	52,00	-20,53	42,82	673,00	2.944 (M)	[PC]	H-V
1240	C	-2,96	47,07	62,00	-21,63	49,10	842,63	2.944 (M)	[PC]	H-V
1241	C	-7,46	35,07	56,00	-34,11	44,18	1087,28	2.944 (M)	[PC]	H-V
1242	C	-4,46	41,07	61,00	-30,46	49,90	1163,16	2.944 (M)	[PC]	H-V
1243	C	-4,46	33,57	54,00	-29,83	45,63	1101,61	2.944 (M)	[PC]	H-V
1244	C	0,04	35,07	49,00	-18,99	43,99	712,20	2.944 (M)	[PC]	H+V
1245	C	-4,46	47,07	60,00	-20,36	45,20	650,38	2.944 (M)	[PC]	H+V
1246	C	1,54	36,57	48,00	-14,27	43,58	583,84	2.944 (M)	[PC]	H+V
1247	C	-1,46	30,57	47,00	-21,52	42,29	809,96	2.944 (M)	[PC]	H-V
1248	C	0,04	29,07	44,00	-19,51	41,16	714,44	2.944 (M)	[PC]	H+V
1249	C	3,04	36,57	47,00	-9,41	43,93	552,51	2.944 (M)	[PC]	H-V
1250	C	-5,96	47,07	60,00	-20,75	43,70	613,89	2.944 (M)	[PC]	H+V
1251	C	-2,96	45,57	59,00	-20,39	46,50	710,33	2.944 (M)	[PC]	H+V
1252	C	-7,46	48,57	62,00	-21,43	43,60	627,06	2.944 (M)	[PC]	H-V
1253	C	1,54	32,07	42,00	-8,35	39,16	449,24	2.944 (M)	[PC]	H-V
1254	C	-1,46	38,07	53,00	-20,90	45,45	785,17	2.945 (M)	[PC]	H-V
1255	C	-11,96	38,07	59,00	-39,17	41,63	1008,40	2.945 (M)	[PC]	H+V
1256	C	-10,46	41,07	56,00	-23,27	38,23	585,30	2.945 (M)	[PC]	H-V
1257	C	-5,96	30,57	46,00	-22,05	36,72	620,59	2.945 (M)	[PC]	H+V
1258	C	-1,46	39,57	56,00	-22,04	48,05	921,55	2.945 (M)	[PC]	H-V
1259	C	-1,46	38,07	56,00	-23,36	48,81	1027,86	2.945 (M)	[PC]	H-V
1260	C	0,04	30,57	46,00	-20,24	42,72	770,59	2.945 (M)	[PC]	H+V
1261	C	-4,46	32,07	47,00	-21,38	38,67	641,54	2.945 (M)	[PC]	H-V
1262	C	-2,96	30,57	45,00	-20,52	38,64	624,88	2.945 (M)	[PC]	H+V
1263	C	-11,96	39,57	56,00	-28,07	37,55	638,69	2.945 (M)	[PC]	H-V
1264	C	-10,46	32,07	51,00	-32,04	37,00	784,55	2.945 (M)	[PC]	H+V
1265	C	-8,96	33,57	49,00	-23,03	35,70	577,88	2.945 (M)	[PC]	H+V
1266	C	-11,96	38,07	56,00	-32,20	38,31	740,59	2.945 (M)	[PC]	H-V
1267	C	-10,46	33,57	50,00	-25,81	35,29	608,94	2.945 (M)	[PC]	H+V
1268	C	-2,96	39,57	59,00	-27,57	49,92	1137,80	2.945 (M)	[PC]	H-V
1269	C	-11,96	38,07	54,00	-26,18	36,08	584,24	2.945 (M)	[PC]	H+V
1270	C	-13,46	47,07	62,00	-24,70	38,60	564,86	2.945 (M)	[PC]	H+V
1271	C	-1,46	41,07	54,00	-18,89	44,91	665,63	2.946 (M)	[PC]	H+V
1272	C	-1,46	32,07	47,00	-20,55	41,67	715,65	2.946 (M)	[PC]	H-V
1273	C	-13,46	48,57	68,00	-39,40	44,74	964,14	2.946 (M)	[PC]	H-V
1274	C	-13,46	44,07	61,00	-31,72	39,27	688,46	2.946 (M)	[PC]	H-V
1275	C	-8,96	38,07	53,00	-22,61	37,95	593,37	2.946 (M)	[PC]	H-V
1276	C	4,54	42,57	52,00	-3,84	47,59	574,57	2.946 (M)	[PC]	H+V
1277	C	-8,96	38,07	59,00	-36,28	44,63	1090,81	2.946 (M)	[PC]	H-V
1278	C	-10,46	32,07	52,00	-34,22	38,07	869,46	2.946 (M)	[PC]	H+V
1279	C	-8,96	35,07	56,00	-35,56	42,68	1046,13	2.946 (M)	[PC]	H-V
1280	C	-5,96	39,57	61,00	-34,77	49,14	1244,29	2.946 (M)	[PC]	H+V
1281	C	4,54	32,07	43,00	-8,98	43,28	574,73	2.946 (M)	[PC]	H-V
1282	C	-1,46	32,07	52,00	-25,55	47,07	1117,01	2.946 (M)	[PC]	H+V
1283	C	-10,46	42,57	64,00	-39,82	46,51	1163,65	2.946 (M)	[PC]	H+V
1284	C	-13,46	42,57	59,00	-29,88	37,82	631,32	2.946 (M)	[PC]	H+V
1285	C	0,04	39,57	50,00	-12,81	42,64	512,13	2.946 (M)	[PC]	H+V
1286	C	-7,46	38,07	59,00	-34,83	46,13	1132,65	2.946 (M)	[PC]	H-V
1287	C	-4,46	30,57	51,00	-29,10	43,56	1055,60	2.946 (M)	[PC]	H-V
1288	C	-13,46	45,57	65,00	-38,83	43,02	926,79	2.946 (M)	[PC]	H-V
1289	C	-1,46	30,57	48,00	-22,22	43,36	887,74	2.946 (M)	[PC]	H-V
1290	C	3,04	42,57	52,00	-5,34	46,09	541,43	2.946 (M)	[PC]	H-V
1291	C	0,04	36,57	47,00	-12,41	40,93	485,91	2.946 (M)	[PC]	H+V
1292	C	-7,46	42,57	64,00	-36,93	49,51	1246,78	2.946 (M)	[PC]	H+V
1293	C	1,54	29,07	40,00	-11,48	38,34	478,67	2.946 (M)	[PC]	H+V
1294	C	-13,46	42,57	63,00	-40,54	42,38	982,65	2.946 (M)	[PC]	H+V
1295	C	-14,96	48,57	68,00	-40,83	43,24	922,72	2.946 (M)	[PC]	H+V
1296	C	6,04	32,07	42,00	-3,85	43,66	548,92	2.947 (M)	[PC]	H-V
1297	C	0,04	33,57	49,00	-20,56	44,70	808,16	2.947 (M)	[PC]	H+V
1298	C	-7,46	30,57	47,00	-23,63	36,29	652,67	2.947 (M)	[PC]	H-V
1299	C	-7,46	35,07	50,00	-22,22	37,60	599,60	2.947 (M)	[PC]	H-V
1300	C	-4,46	30,57	46,00	-21,67	38,22	659,34	2.947 (M)	[PC]	H-V
1301	C	-5,96	45,57	59,00	-21,09	43,50	636,94	2.947 (M)	[PC]	H-V
1302	C	4,54	33,57	45,00	-10,76	44,77	621,33	2.947 (M)	[PC]	H+V
1303	C	-11,96	36,57	54,00	-30,60	36,82	681,17	2.947 (M)	[PC]	H+V
1304	C	0,04	33,57	47,00	-18,27	42,49	658,99	2.947 (M)	[PC]	H+V
1305	C	-8,96	45,57	66,00	-36,87	48,67	1147,47	2.947 (M)	[PC]	H-V
1306	C	-1,46	33,57	52,00	-23,51	46,47	1010,44	2.947 (M)	[PC]	H-V
1307	C	-8,96	29,07	48,00	-29,95	36,41	782,15	2.947 (M)	[PC]	H+V
1308	C	-7,46	32,07	53,00	-33,37	42,14	1041,20	2.947 (M)	[PC]	H-V

N°	Forma	C_x	C_y	R	x_v	x_m	V	F_s	Caso	Sisma
		[m]	*[m]*	*[m]*	*[m]*	*[m]*	*[mc]*			
1309	C	-11,96	47,07	68,00	-41,20	47,12	1134,93	2.947 (M)	[PC]	H+V
1310	C	0,04	42,57	52,00	-8,34	43,09	475,00	2.948 (M)	[PC]	H-V
1311	C	-4,46	36,57	57,00	-30,55	47,62	1145,92	2.948 (M)	[PC]	H-V
1312	C	6,04	33,57	44,00	-6,00	45,14	591,81	2.948 (M)	[PC]	H+V
1313	C	-1,46	41,07	58,00	-22,48	49,51	980,45	2.948 (M)	[PC]	H-V
1314	C	3,04	45,57	55,00	-5,58	47,65	564,09	2.948 (M)	[PC]	H+V
1315	C	-1,46	39,57	55,00	-21,33	46,91	841,08	2.948 (M)	[PC]	H-V
1316	C	-5,96	48,57	62,00	-21,16	45,10	664,70	2.948 (M)	[PC]	H-V
1317	C	-13,46	48,57	69,00	-41,81	45,90	1062,31	2.948 (M)	[PC]	H+V
1318	C	-7,46	36,57	51,00	-21,89	37,97	580,77	2.948 (M)	[PC]	H+V
1319	C	-1,46	35,07	55,00	-26,25	49,09	1161,20	2.948 (M)	[PC]	H+V
1320	C	1,54	29,07	39,00	-7,98	37,25	421,41	2.948 (M)	[PC]	H+V
1321	C	-2,96	32,07	52,00	-27,00	45,57	1075,60	2.948 (M)	[PC]	H-V
1322	C	-10,46	45,57	66,00	-38,31	47,17	1106,27	2.948 (M)	[PC]	H-V
1323	C	-8,96	30,57	50,00	-31,37	38,00	845,44	2.948 (M)	[PC]	H-V
1324	C	-8,96	32,07	48,00	-23,74	35,26	595,30	2.948 (M)	[PC]	H+V
1325	C	0,04	35,07	48,00	-17,81	42,87	639,46	2.948 (M)	[PC]	H+V
1326	C	-5,96	44,07	57,00	-20,68	42,09	586,59	2.948 (M)	[PC]	H+V
1327	C	1,54	44,07	54,00	-9,69	45,98	550,36	2.948 (M)	[PC]	H+V
1328	C	-8,96	29,07	49,00	-32,06	37,47	864,96	2.948 (M)	[PC]	H+V
1329	C	-8,96	30,57	49,00	-29,14	36,93	763,66	2.948 (M)	[PC]	H-V
1330	C	-5,96	29,07	45,00	-22,34	36,22	637,28	2.948 (M)	[PC]	H+V
1331	C	3,04	30,57	43,00	-14,37	42,46	623,36	2.948 (M)	[PC]	H+V
1332	C	-14,96	48,57	65,00	-32,06	39,70	654,95	2.949 (M)	[PC]	H+V
1333	C	-1,46	36,57	55,00	-23,90	48,42	1050,91	2.949 (M)	[PC]	H-V
1334	C	0,04	39,57	49,00	-8,09	41,47	451,47	2.949 (M)	[PC]	H-V
1335	C	-11,96	45,57	60,00	-23,10	38,69	554,62	2.949 (M)	[PC]	H+V
1336	C	-10,46	33,57	53,00	-33,48	38,55	848,11	2.949 (M)	[PC]	H-V
1337	C	3,04	36,57	48,00	-12,77	45,08	616,98	2.949 (M)	[PC]	H+V
1338	C	1,54	32,07	43,00	-11,98	40,28	508,31	2.949 (M)	[PC]	H-V
1339	C	-5,96	35,07	56,00	-32,66	45,68	1128,92	2.950 (M)	[PC]	H-V
1340	C	3,04	35,07	46,00	-10,95	43,62	570,19	2.950 (M)	[PC]	H-V
1341	C	1,54	29,07	41,00	-14,29	39,43	540,68	2.950 (M)	[PC]	H+V
1342	C	-2,96	35,07	55,00	-27,70	47,59	1120,25	2.950 (M)	[PC]	H-V
1343	C	-10,46	33,57	52,00	-31,18	37,47	764,05	2.950 (M)	[PC]	H-V
1344	C	-1,46	30,57	46,00	-20,82	41,22	734,34	2.950 (M)	[PC]	H-V
1345	C	-1,46	45,57	60,00	-20,87	49,19	824,88	2.950 (M)	[PC]	H+V
1346	C	-11,96	38,07	58,00	-37,01	40,53	915,18	2.950 (M)	[PC]	H-V
1347	C	-13,46	42,57	61,00	-35,74	40,11	798,00	2.950 (M)	[PC]	H-V
1348	C	0,04	32,07	48,00	-20,82	44,26	827,85	2.950 (M)	[PC]	H+V
1349	C	1,54	35,07	46,00	-12,45	42,12	537,06	2.950 (M)	[PC]	H-V
1350	C	-4,46	33,57	55,00	-31,83	46,71	1193,62	2.950 (M)	[PC]	H+V
1351	C	-2,96	35,07	49,00	-20,31	40,99	640,81	2.950 (M)	[PC]	H-V
1352	C	0,04	35,07	45,00	-10,20	39,48	442,82	2.950 (M)	[PC]	H+V
1353	C	0,04	35,07	51,00	-21,02	46,21	865,42	2.950 (M)	[PC]	H+V
1354	C	-8,96	41,07	62,00	-36,98	46,52	1134,60	2.950 (M)	[PC]	H-V
1355	C	-5,96	42,57	63,00	-33,34	49,88	1189,49	2.951 (M)	[PC]	H-V
1356	C	-1,46	36,57	49,00	-17,97	41,72	585,44	2.951 (M)	[PC]	H+V
1357	C	0,04	36,57	50,00	-18,53	44,35	691,64	2.951 (M)	[PC]	H+V
1358	C	-11,96	42,57	63,00	-39,10	43,88	1024,04	2.951 (M)	[PC]	H-V
1359	C	-1,46	41,07	57,00	-21,76	48,37	898,04	2.951 (M)	[PC]	H-V
1360	C	-5,96	32,07	53,00	-31,92	43,64	1082,11	2.951 (M)	[PC]	H-V
1361	C	-5,96	42,57	56,00	-21,01	41,84	608,50	2.951 (M)	[PC]	H-V
1362	C	-1,46	39,57	54,00	-20,61	45,77	762,95	2.951 (M)	[PC]	H-V
1363	C	0,04	36,57	52,00	-20,76	46,59	843,79	2.951 (M)	[PC]	H+V
1364	C	0,04	32,07	45,00	-17,54	40,98	607,30	2.951 (M)	[PC]	H+V
1365	C	-7,46	45,57	59,00	-21,37	42,00	599,59	2.952 (M)	[PC]	H-V
1366	C	-1,46	29,07	46,00	-21,77	41,79	828,29	2.952 (M)	[PC]	H-V
1367	C	-2,96	29,07	44,00	-20,81	38,16	642,14	2.952 (M)	[PC]	H+V
1368	C	0,04	33,57	50,00	-21,28	45,79	886,47	2.952 (M)	[PC]	H+V
1369	C	0,04	38,07	49,00	-14,41	42,38	531,40	2.952 (M)	[PC]	H+V
1370	C	-2,96	32,07	53,00	-29,02	46,64	1164,83	2.952 (M)	[PC]	H+V
1371	C	-1,46	30,57	49,00	-23,10	44,43	967,93	2.952 (M)	[PC]	H-V
1372	C	-1,46	39,57	52,00	-18,17	43,47	614,79	2.952 (M)	[PC]	H+V
1373	C	-2,96	39,57	52,00	-18,76	41,97	580,10	2.952 (M)	[PC]	H+V
1374	C	-7,46	35,07	57,00	-36,08	45,26	1182,24	2.952 (M)	[PC]	H+V
1375	C	1,54	30,57	40,00	-5,80	37,67	408,54	2.952 (M)	[PC]	H-V
1376	C	-1,46	29,07	49,00	-24,89	44,97	1070,63	2.952 (M)	[PC]	H+V
1377	C	-11,96	44,07	59,00	-24,02	38,44	575,74	2.953 (M)	[PC]	H-V
1378	C	-4,46	29,07	45,00	-21,94	37,72	676,49	2.953 (M)	[PC]	H-V
1379	C	-4,46	42,57	56,00	-20,70	43,34	645,21	2.953 (M)	[PC]	H-V
1380	C	0,04	38,07	53,00	-20,43	46,95	821,63	2.953 (M)	[PC]	H+V
1381	C	-4,46	30,57	52,00	-31,04	44,62	1145,48	2.953 (M)	[PC]	H+V
1382	C	-2,96	35,07	56,00	-29,77	48,68	1211,66	2.953 (M)	[PC]	H+V
1383	C	6,04	32,07	43,00	-7,48	44,78	608,02	2.953 (M)	[PC]	H+V
1384	C	-8,96	45,57	67,00	-39,07	49,81	1248,20	2.953 (M)	[PC]	H+V
1385	C	-2,96	29,07	49,00	-26,28	43,47	1029,84	2.953 (M)	[PC]	H-V
1386	C	-7,46	42,57	56,00	-21,30	40,34	571,00	2.953 (M)	[PC]	H+V
1387	C	0,04	33,57	43,00	-7,58	38,02	401,75	2.953 (M)	[PC]	H+V

N°	Forma	C_x	C_y	R	x_v	x_m	V	F_s	Caso	Sisma
		[m]	*[m]*	*[m]*	*[m]*	*[m]*	*[mc]*			
1388	C	-8,96	30,57	52,00	-35,40	40,12	1021,66	2.953 (M)	[PC]	H+V
1389	C	-5,96	39,57	53,00	-20,93	40,13	578,82	2.953 (M)	[PC]	H+V
1390	C	1,54	41,07	51,00	-9,37	44,38	526,48	2.953 (M)	[PC]	H-V
1391	C	0,04	35,07	46,00	-13,95	40,62	503,77	2.953 (M)	[PC]	H+V
1392	C	1,54	35,07	47,00	-15,45	43,25	603,23	2.953 (M)	[PC]	H+V
1393	C	6,04	30,57	41,00	-5,58	43,27	563,62	2.953 (M)	[PC]	H-V
1394	C	-10,46	38,07	59,00	-37,72	43,13	1049,71	2.953 (M)	[PC]	H-V
1395	C	-7,46	41,07	62,00	-35,53	48,02	1175,89	2.953 (M)	[PC]	H-V
1396	C	-4,46	45,57	59,00	-20,79	45,00	673,98	2.954 (M)	[PC]	H-V
1397	C	4,54	30,57	42,00	-10,22	42,87	590,98	2.954 (M)	[PC]	H-V
1398	C	-4,46	36,57	58,00	-32,59	48,71	1240,25	2.954 (M)	[PC]	H+V
1399	C	-2,96	42,57	55,00	-18,94	43,67	608,27	2.954 (M)	[PC]	H+V
1400	C	0,04	33,57	46,00	-17,09	41,38	588,80	2.954 (M)	[PC]	H+V
1401	C	-11,96	39,57	55,00	-24,75	36,41	564,55	2.954 (M)	[PC]	H+V
1402	C	-1,46	42,57	56,00	-19,62	46,34	717,37	2.954 (M)	[PC]	H+V
1403	C	-8,96	38,07	60,00	-38,30	45,73	1187,97	2.954 (M)	[PC]	H+V
1404	C	-1,46	30,57	45,00	-19,83	40,14	661,15	2.954 (M)	[PC]	H-V
1405	C	-13,46	39,57	59,00	-37,63	39,42	848,53	2.954 (M)	[PC]	H+V
1406	C	-10,46	45,57	67,00	-40,52	48,31	1206,81	2.954 (M)	[PC]	H+V
1407	C	-7,46	38,07	60,00	-36,85	47,23	1229,77	2.954 (M)	[PC]	H+V
1408	C	-14,96	45,57	64,00	-37,70	40,37	793,11	2.954 (M)	[PC]	H+V
1409	C	0,04	36,57	49,00	-17,34	43,22	619,74	2.954 (M)	[PC]	H+V
1410	C	-10,46	32,07	50,00	-29,67	35,92	703,67	2.954 (M)	[PC]	H+V
1411	C	-8,96	35,07	57,00	-37,53	43,76	1141,22	2.954 (M)	[PC]	H+V
1412	C	4,54	38,07	48,00	-6,04	45,72	568,23	2.954 (M)	[PC]	H-V
1413	C	-7,46	47,07	60,00	-21,02	42,20	577,11	2.954 (M)	[PC]	H+V
1414	C	1,54	30,57	43,00	-15,87	40,96	589,98	2.954 (M)	[PC]	H+V
1415	C	0,04	36,57	53,00	-21,47	47,71	923,88	2.954 (M)	[PC]	H+V
1416	C	0,04	38,07	51,00	-18,06	44,68	670,64	2.954 (M)	[PC]	H+V
1417	C	-2,96	44,07	58,00	-20,79	46,27	734,13	2.954 (M)	[PC]	H-V
1418	C	-1,46	42,57	59,00	-22,19	49,82	956,06	2.954 (M)	[PC]	H-V
1419	C	-5,96	38,07	59,00	-33,39	47,63	1173,82	2.954 (M)	[PC]	H-V
1420	C	0,04	30,57	44,00	-17,98	40,55	625,27	2.954 (M)	[PC]	H+V
1421	C	0,04	35,07	52,00	-21,72	47,31	945,87	2.954 (M)	[PC]	H+V
1422	C	0,04	39,57	54,00	-19,97	47,27	799,02	2.955 (M)	[PC]	H+V
1423	C	-2,96	32,07	46,00	-20,06	39,08	607,04	2.955 (M)	[PC]	H+V
1424	C	-1,46	29,07	47,00	-22,46	42,85	906,47	2.955 (M)	[PC]	H-V
1425	C	-10,46	33,57	55,00	-37,63	40,71	1028,57	2.955 (M)	[PC]	H+V
1426	C	-1,46	35,07	49,00	-19,66	42,49	676,63	2.955 (M)	[PC]	H-V
1427	C	-1,46	35,07	54,00	-24,41	48,00	1073,49	2.955 (M)	[PC]	H-V
1428	C	-11,96	39,57	60,00	-38,44	42,03	982,58	2.955 (M)	[PC]	H-V
1429	C	-1,46	41,07	56,00	-21,04	47,23	817,97	2.955 (M)	[PC]	H-V
1430	C	-10,46	41,07	62,00	-38,42	45,02	1092,87	2.955 (M)	[PC]	H-V
1431	C	0,04	44,07	54,00	-11,19	44,48	517,09	2.955 (M)	[PC]	H+V
1432	C	-13,46	42,57	62,00	-38,24	41,25	888,52	2.955 (M)	[PC]	H-V
1433	C	0,04	29,07	43,00	-18,39	40,08	642,67	2.955 (M)	[PC]	H+V
1434	C	-8,96	30,57	47,00	-24,42	34,79	612,31	2.955 (M)	[PC]	H+V
1435	C	-11,96	35,07	55,00	-36,35	38,59	872,32	2.955 (M)	[PC]	H+V
1436	C	-14,96	45,57	65,00	-40,26	41,52	885,50	2.955 (M)	[PC]	H+V
1437	C	-11,96	39,57	61,00	-40,56	43,14	1078,66	2.955 (M)	[PC]	H+V
1438	C	-11,96	35,07	54,00	-34,10	37,50	785,21	2.955 (M)	[PC]	H+V
1439	C	-10,46	32,07	53,00	-36,26	39,14	958,21	2.956 (M)	[PC]	H+V
1440	C	0,04	29,07	45,00	-20,60	42,22	788,96	2.956 (M)	[PC]	H+V
1441	C	-7,46	32,07	54,00	-35,29	43,21	1133,78	2.956 (M)	[PC]	H+V
1442	C	0,04	32,07	49,00	-21,52	45,34	906,89	2.956 (M)	[PC]	H+V
1443	C	3,04	33,57	45,00	-12,26	43,27	588,04	2.956 (M)	[PC]	H-V
1444	C	0,04	30,57	47,00	-21,06	43,79	847,27	2.956 (M)	[PC]	H+V
1445	C	-4,46	39,57	60,00	-31,23	49,53	1189,47	2.956 (M)	[PC]	H-V
1446	C	-14,96	47,07	64,00	-33,55	39,47	680,13	2.956 (M)	[PC]	H+V
1447	C	-8,96	44,07	58,00	-21,99	40,27	583,12	2.956 (M)	[PC]	H-V
1448	C	-11,96	45,57	66,00	-39,75	45,67	1064,39	2.956 (M)	[PC]	H-V
1449	C	-1,46	38,07	52,00	-19,90	44,32	709,24	2.956 (M)	[PC]	H-V
1450	C	-11,96	42,57	64,00	-41,27	45,01	1122,29	2.956 (M)	[PC]	H+V
1451	C	0,04	38,07	54,00	-21,20	48,08	901,32	2.956 (M)	[PC]	H+V
1452	C	-1,46	44,07	58,00	-20,34	47,77	770,50	2.956 (M)	[PC]	H+V
1453	C	-8,96	29,07	47,00	-27,65	35,35	703,53	2.956 (M)	[PC]	H+V
1454	C	0,04	38,07	52,00	-19,25	45,82	744,74	2.956 (M)	[PC]	H+V
1455	C	1,54	42,57	53,00	-11,70	45,79	570,58	2.957 (M)	[PC]	H+V
1456	C	-2,96	38,07	58,00	-28,37	49,53	1162,81	2.957 (M)	[PC]	H-V
1457	C	-5,96	38,07	52,00	-21,25	39,82	599,10	2.957 (M)	[PC]	H-V
1458	C	-1,46	29,07	45,00	-21,07	40,72	752,35	2.957 (M)	[PC]	H-V
1459	C	-1,46	32,07	51,00	-24,00	46,00	1030,80	2.957 (M)	[PC]	H-V
1460	C	-7,46	41,07	55,00	-21,65	40,07	591,99	2.957 (M)	[PC]	H-V
1461	C	-2,96	29,07	50,00	-28,25	44,52	1116,73	2.957 (M)	[PC]	H+V
1462	C	0,04	33,57	51,00	-21,97	46,88	967,26	2.957 (M)	[PC]	H+V
1463	C	-1,46	47,07	56,00	-5,95	43,29	446,18	2.957 (M)	[PC]	H+V
1464	C	4,54	32,07	44,00	-11,88	44,38	638,90	2.957 (M)	[PC]	H+V
1465	C	-2,96	47,07	60,00	-19,82	46,70	686,29	2.957 (M)	[PC]	H+V
1466	C	-8,96	48,57	62,00	-21,68	42,10	589,16	2.957 (M)	[PC]	H-V

N°	Forma	C_x	C_y	R	x_v	x_m	V	F_s	Caso	Sisma
		[m]	*[m]*	*[m]*	*[m]*	*[m]*	*[mc]*			
1467	C	-4,46	39,57	53,00	-20,60	41,63	615,66	2.957 (M)	[PC]	H-V
1468	C	-2,96	39,57	53,00	-20,02	43,13	651,75	2.957 (M)	[PC]	H-V
1469	C	-4,46	36,57	50,00	-20,42	39,85	584,75	2.957 (M)	[PC]	H+V
1470	C	-8,96	32,07	53,00	-34,81	40,64	1000,08	2.957 (M)	[PC]	H-V
1471	C	3,04	29,07	41,00	-12,79	40,93	573,70	2.957 (M)	[PC]	H-V
1472	C	-8,96	30,57	51,00	-33,44	39,06	931,31	2.957 (M)	[PC]	H-V
1473	C	0,04	36,57	54,00	-22,17	48,82	1006,29	2.957 (M)	[PC]	H+V
1474	C	-13,46	42,57	60,00	-33,00	38,97	712,38	2.957 (M)	[PC]	H-V
1475	C	-4,46	42,57	55,00	-19,48	42,17	573,04	2.957 (M)	[PC]	H+V
1476	C	-13,46	44,07	65,00	-41,98	43,85	1052,08	2.958 (M)	[PC]	H+V
1477	C	-13,46	41,07	58,00	-31,28	37,51	654,04	2.958 (M)	[PC]	H+V
1478	C	-5,96	35,07	57,00	-34,63	46,76	1224,17	2.958 (M)	[PC]	H+V
1479	C	1,54	33,57	45,00	-13,76	41,77	554,90	2.958 (M)	[PC]	H-V
1480	C	-13,46	39,57	58,00	-35,19	38,30	760,54	2.958 (M)	[PC]	H+V
1481	C	1,54	30,57	45,00	-18,38	43,14	731,34	2.958 (M)	[PC]	H+V
1482	C	3,04	41,07	51,00	-7,87	45,88	559,60	2.958 (M)	[PC]	H-V
1483	C	-1,46	42,57	55,00	-18,36	45,17	643,35	2.958 (M)	[PC]	H+V
1484	C	-13,46	47,07	67,00	-40,33	44,47	993,63	2.958 (M)	[PC]	H-V
1485	C	0,04	35,07	53,00	-22,43	48,41	1028,64	2.958 (M)	[PC]	H+V
1486	C	-8,96	29,07	50,00	-34,05	38,52	951,51	2.958 (M)	[PC]	H+V
1487	C	-8,96	41,07	63,00	-39,05	47,64	1234,08	2.958 (M)	[PC]	H+V
1488	C	0,04	38,07	55,00	-21,91	49,20	983,36	2.958 (M)	[PC]	H+V
1489	C	3,04	35,07	47,00	-13,95	44,75	636,29	2.958 (M)	[PC]	H+V
1490	C	-1,46	38,07	57,00	-24,80	49,92	1114,15	2.959 (M)	[PC]	H-V
1491	C	-2,96	48,57	63,00	-21,31	49,31	817,17	2.959 (M)	[PC]	H-V
1492	C	-10,46	33,57	54,00	-35,62	39,63	936,04	2.959 (M)	[PC]	H-V
1493	C	-11,96	38,07	55,00	-29,41	37,20	659,96	2.959 (M)	[PC]	H-V
1494	C	-5,96	32,07	54,00	-33,84	44,71	1175,62	2.959 (M)	[PC]	H+V
1495	C	-4,46	45,57	58,00	-19,63	43,80	600,18	2.959 (M)	[PC]	H+V
1496	C	0,04	36,57	48,00	-15,77	42,08	550,54	2.959 (M)	[PC]	H+V
1497	C	-1,46	42,57	58,00	-21,47	48,67	874,07	2.959 (M)	[PC]	H-V
1498	C	4,54	41,07	51,00	-6,37	47,38	592,91	2.959 (M)	[PC]	H+V
1499	C	-5,96	29,07	50,00	-31,15	41,52	1034,22	2.959 (M)	[PC]	H-V
1500	C	-14,96	47,07	67,00	-41,76	42,97	952,17	2.959 (M)	[PC]	H+V
1501	C	1,54	41,07	52,00	-13,36	45,57	590,96	2.959 (M)	[PC]	H+V
1502	C	1,54	32,07	45,00	-16,85	42,48	640,96	2.959 (M)	[PC]	H+V
1503	C	-8,96	30,57	48,00	-26,69	35,86	685,95	2.959 (M)	[PC]	H-V
1504	C	-10,46	48,57	69,00	-38,94	48,90	1145,67	2.959 (M)	[PC]	H-V
1505	C	-7,46	29,07	46,00	-24,25	35,79	669,50	2.960 (M)	[PC]	H-V
1506	C	-2,96	42,57	56,00	-20,21	44,84	681,69	2.960 (M)	[PC]	H-V
1507	C	-10,46	38,07	53,00	-23,12	36,45	553,24	2.960 (M)	[PC]	H+V
1508	C	-8,96	44,07	65,00	-37,66	48,35	1176,62	2.960 (M)	[PC]	H-V
1509	C	0,04	35,07	47,00	-16,62	41,75	569,85	2.960 (M)	[PC]	H+V
1510	C	-2,96	45,57	58,00	-19,10	45,30	635,72	2.960 (M)	[PC]	H+V
1511	C	-14,96	48,57	67,00	-38,22	42,07	828,95	2.960 (M)	[PC]	H-V
1512	C	-8,96	45,57	59,00	-21,63	40,50	561,54	2.960 (M)	[PC]	H+V
1513	C	-11,96	36,57	53,00	-27,65	35,71	604,02	2.960 (M)	[PC]	H+V
1514	C	-13,46	44,07	64,00	-39,72	42,71	954,85	2.960 (M)	[PC]	H-V
1515	C	-13,46	39,57	60,00	-39,88	40,53	940,65	2.960 (M)	[PC]	H+V
1516	C	0,04	39,57	55,00	-20,93	48,41	878,24	2.960 (M)	[PC]	H+V
1517	C	-10,46	38,07	60,00	-39,75	44,23	1146,70	2.960 (M)	[PC]	H+V
1518	C	1,54	30,57	42,00	-13,22	39,87	524,56	2.960 (M)	[PC]	H-V
1519	C	-2,96	33,57	47,00	-19,59	39,49	588,69	2.960 (M)	[PC]	H+V
1520	C	-2,96	36,57	50,00	-19,81	41,35	620,96	2.961 (M)	[PC]	H-V
1521	C	-8,96	32,07	54,00	-36,74	41,71	1092,59	2.961 (M)	[PC]	H+V
1522	C	1,54	33,57	46,00	-16,42	42,88	622,42	2.961 (M)	[PC]	H+V
1523	C	6,04	29,07	40,00	-6,98	42,84	578,33	2.961 (M)	[PC]	H-V
1524	C	1,54	30,57	41,00	-10,08	38,77	463,96	2.961 (M)	[PC]	H-V
1525	C	-14,96	48,57	66,00	-35,33	40,89	739,58	2.961 (M)	[PC]	H-V
1526	C	-10,46	47,07	61,00	-22,28	40,41	572,71	2.961 (M)	[PC]	H-V
1527	C	-7,46	41,07	63,00	-37,60	49,14	1275,23	2.961 (M)	[PC]	H+V
1528	C	0,04	36,57	46,00	-7,84	39,78	427,15	2.961 (M)	[PC]	H-V
1529	C	-13,46	47,07	68,00	-42,64	45,62	1092,95	2.961 (M)	[PC]	H+V
1530	C	-10,46	33,57	51,00	-28,66	36,38	684,38	2.961 (M)	[PC]	H-V
1531	C	-10,46	35,07	56,00	-37,00	41,18	1005,03	2.961 (M)	[PC]	H-V
1532	C	0,04	39,57	56,00	-21,64	49,55	959,89	2.961 (M)	[PC]	H+V
1533	C	-11,96	45,57	67,00	-41,96	46,81	1164,77	2.961 (M)	[PC]	H+V
1534	C	0,04	33,57	48,00	-19,42	43,60	731,97	2.961 (M)	[PC]	H-V
1535	C	-11,96	36,57	56,00	-35,57	39,02	849,06	2.961 (M)	[PC]	H-V
1536	C	0,04	33,57	52,00	-22,67	47,97	1050,37	2.961 (M)	[PC]	H+V
1537	C	0,04	32,07	50,00	-22,22	46,42	988,01	2.962 (M)	[PC]	H+V
1538	C	-10,46	44,07	65,00	-39,10	46,85	1135,43	2.962 (M)	[PC]	H-V
1539	C	-10,46	35,07	51,00	-24,70	35,71	590,64	2.962 (M)	[PC]	H-V
1540	C	0,04	33,57	45,00	-15,26	40,27	521,62	2.962 (M)	[PC]	H+V
1541	C	1,54	48,57	58,00	-7,32	47,66	552,92	2.962 (M)	[PC]	H+V
1542	C	-5,96	38,07	60,00	-35,40	48,73	1271,02	2.962 (M)	[PC]	H+V
1543	C	-1,46	38,07	50,00	-17,45	42,03	565,45	2.962 (M)	[PC]	H+V
1544	C	0,04	39,57	52,00	-17,56	44,97	649,27	2.962 (M)	[PC]	H+V
1545	C	3,04	44,07	54,00	-8,19	47,48	583,61	2.962 (M)	[PC]	H+V

N°	Forma	C_x	C_y	R	x_v	x_m	V	F_s	Caso	Sisma
		[m]	*[m]*	*[m]*	*[m]*	*[m]*	*[mc]*			
1546	C	1,54	39,57	50,00	-11,31	44,14	545,28	2.962 (M)	[PC]	H-V
1547	C	6,04	30,57	42,00	-8,72	44,37	624,33	2.962 (M)	[PC]	H+V
1548	C	0,04	36,57	55,00	-23,02	49,92	1091,04	2.962 (M)	[PC]	H+V
1549	C	-10,46	41,07	63,00	-40,49	46,14	1192,08	2.962 (M)	[PC]	H+V
1550	C	-1,46	33,57	54,00	-26,94	48,63	1184,04	2.962 (M)	[PC]	H+V
1551	C	0,04	30,57	48,00	-21,76	44,86	926,16	2.963 (M)	[PC]	H+V
1552	C	-4,46	33,57	48,00	-21,09	39,10	623,15	2.963 (M)	[PC]	H-V
1553	C	-2,96	48,57	62,00	-20,55	48,10	738,24	2.963 (M)	[PC]	H+V
1554	C	3,04	29,07	42,00	-15,23	42,01	640,19	2.963 (M)	[PC]	H+V
1555	C	-1,46	44,07	53,00	-5,82	41,76	424,58	2.963 (M)	[PC]	H+V
1556	C	-13,46	44,07	60,00	-28,30	38,11	608,67	2.963 (M)	[PC]	H-V
1557	C	0,04	38,07	48,00	-10,54	41,22	468,55	2.963 (M)	[PC]	H-V
1558	C	-4,46	32,07	53,00	-30,47	45,14	1123,86	2.963 (M)	[PC]	H-V
1559	C	-7,46	29,07	50,00	-32,60	40,02	993,31	2.963 (M)	[PC]	H-V
1560	C	-11,96	36,57	55,00	-33,20	37,92	763,05	2.963 (M)	[PC]	H-V
1561	C	-1,46	44,07	57,00	-19,09	46,59	694,13	2.963 (M)	[PC]	H+V
1562	C	0,04	41,07	51,00	-10,87	42,88	493,21	2.963 (M)	[PC]	H-V
1563	C	-11,96	35,07	56,00	-38,45	39,68	963,13	2.963 (M)	[PC]	H+V
1564	C	-4,46	48,57	62,00	-20,88	46,60	701,69	2.963 (M)	[PC]	H-V
1565	C	-5,96	41,07	62,00	-34,09	49,52	1217,09	2.963 (M)	[PC]	H-V
1566	C	-1,46	33,57	53,00	-24,90	47,55	1095,52	2.963 (M)	[PC]	H-V
1567	C	0,04	30,57	45,00	-19,11	41,64	696,51	2.963 (M)	[PC]	H-V
1568	C	0,04	38,07	50,00	-16,84	43,53	599,36	2.964 (M)	[PC]	H+V
1569	C	-4,46	35,07	56,00	-31,22	47,18	1170,04	2.964 (M)	[PC]	H-V
1570	C	-1,46	32,07	46,00	-19,39	40,58	642,97	2.964 (M)	[PC]	H-V
1571	C	-7,46	36,57	58,00	-35,49	45,71	1158,06	2.964 (M)	[PC]	H-V
1572	C	-13,46	41,07	62,00	-41,30	42,02	1010,13	2.964 (M)	[PC]	H+V
1573	C	1,54	30,57	44,00	-17,26	42,05	659,25	2.964 (M)	[PC]	H+V
1574	C	-7,46	33,57	55,00	-34,73	43,71	1110,83	2.964 (M)	[PC]	H-V
1575	C	0,04	48,57	58,00	-8,82	46,16	519,66	2.964 (M)	[PC]	H+V
1576	C	-10,46	36,57	52,00	-23,93	36,09	572,08	2.964 (M)	[PC]	H-V
1577	C	-1,46	29,07	44,00	-20,24	39,66	678,35	2.964 (M)	[PC]	H-V
1578	C	0,04	33,57	44,00	-12,00	39,14	458,99	2.964 (M)	[PC]	H+V
1579	C	-1,46	30,57	51,00	-26,21	46,56	1137,34	2.964 (M)	[PC]	H+V
1580	C	-1,46	36,57	50,00	-19,18	42,85	656,38	2.964 (M)	[PC]	H-V
1581	C	1,54	39,57	51,00	-14,77	45,31	611,71	2.964 (M)	[PC]	H+V
1582	C	-2,96	35,07	48,00	-19,09	39,87	570,12	2.964 (M)	[PC]	H+V
1583	C	-10,46	35,07	57,00	-38,98	42,26	1099,96	2.964 (M)	[PC]	H+V
1584	C	-1,46	42,57	57,00	-20,74	47,51	794,43	2.964 (M)	[PC]	H-V
1585	C	-8,96	36,57	58,00	-36,93	44,21	1116,18	2.964 (M)	[PC]	H-V
1586	C	0,04	42,57	53,00	-13,20	44,29	537,26	2.964 (M)	[PC]	H+V
1587	C	-4,46	48,57	61,00	-19,76	45,38	626,66	2.964 (M)	[PC]	H+V
1588	C	1,54	45,57	55,00	-7,08	46,15	530,80	2.964 (M)	[PC]	H-V
1589	C	4,54	36,57	47,00	-7,91	45,43	585,62	2.964 (M)	[PC]	H-V
1590	C	-5,96	33,57	48,00	-21,46	37,60	585,76	2.965 (M)	[PC]	H+V
1591	C	0,04	29,07	46,00	-21,30	43,29	865,98	2.965 (M)	[PC]	H+V
1592	C	-7,46	44,07	65,00	-36,21	49,85	1217,93	2.965 (M)	[PC]	H-V
1593	C	1,54	29,07	42,00	-16,54	40,51	607,13	2.965 (M)	[PC]	H+V
1594	C	-11,96	35,07	53,00	-31,66	36,41	702,20	2.965 (M)	[PC]	H+V
1595	C	-11,96	48,57	69,00	-40,38	47,40	1104,25	2.965 (M)	[PC]	H-V
1596	C	-14,96	45,57	63,00	-34,88	39,21	705,68	2.965 (M)	[PC]	H+V
1597	C	-1,46	45,57	55,00	-10,08	43,15	464,37	2.965 (M)	[PC]	H+V
1598	C	-10,46	32,07	49,00	-27,04	34,84	627,09	2.965 (M)	[PC]	H+V
1599	C	1,54	33,57	48,00	-18,72	45,10	767,44	2.965 (M)	[PC]	H+V
1600	C	-13,46	41,07	60,00	-36,73	39,78	823,50	2.965 (M)	[PC]	H-V
1601	C	1,54	32,07	46,00	-17,99	43,58	712,90	2.965 (M)	[PC]	H+V
1602	C	-11,96	41,07	56,00	-23,89	36,73	544,78	2.965 (M)	[PC]	H+V
1603	C	-1,46	41,07	53,00	-17,64	43,74	593,71	2.965 (M)	[PC]	H+V
1604	C	-11,96	36,57	58,00	-39,83	41,21	1033,76	2.965 (M)	[PC]	H+V
1605	C	-1,46	29,07	48,00	-23,56	43,91	986,99	2.965 (M)	[PC]	H-V
1606	C	1,54	29,07	43,00	-17,65	41,58	676,95	2.965 (M)	[PC]	H+V
1607	C	-2,96	33,57	54,00	-28,39	47,13	1142,50	2.966 (M)	[PC]	H-V
1608	C	-8,96	39,57	54,00	-22,27	38,27	573,74	2.966 (M)	[PC]	H-V
1609	C	4,54	29,07	41,00	-11,29	42,43	607,09	2.966 (M)	[PC]	H-V
1610	C	3,04	32,07	44,00	-13,38	42,88	605,78	2.966 (M)	[PC]	H-V
1611	C	0,04	39,57	53,00	-18,78	46,13	722,75	2.966 (M)	[PC]	H+V
1612	C	0,04	32,07	47,00	-19,84	43,17	751,59	2.966 (M)	[PC]	H-V
1613	C	0,04	41,07	57,00	-21,36	49,87	935,91	2.966 (M)	[PC]	H+V
1614	C	0,04	41,07	56,00	-20,65	48,73	854,67	2.966 (M)	[PC]	H+V
1615	C	-13,46	48,57	63,00	-23,72	38,81	543,04	2.966 (M)	[PC]	H+V
1616	C	-8,96	39,57	61,00	-37,67	46,14	1161,91	2.967 (M)	[PC]	H-V
1617	C	-2,96	30,57	51,00	-27,65	45,06	1096,49	2.967 (M)	[PC]	H-V
1618	C	-8,96	44,07	66,00	-39,77	49,48	1278,32	2.967 (M)	[PC]	H+V
1619	C	-7,46	29,07	51,00	-34,47	41,07	1083,72	2.967 (M)	[PC]	H+V
1620	C	3,04	39,57	50,00	-9,81	45,64	578,56	2.967 (M)	[PC]	H-V
1621	C	4,54	30,57	43,00	-12,87	43,96	656,40	2.967 (M)	[PC]	H+V
1622	C	-14,96	44,07	63,00	-38,73	40,07	819,98	2.967 (M)	[PC]	H+V
1623	C	1,54	38,07	49,00	-12,91	43,88	564,50	2.967 (M)	[PC]	H-V
1624	C	-8,96	33,57	55,00	-36,18	42,21	1069,66	2.967 (M)	[PC]	H-V

N°	Forma	C_x	C_y	R	x_v	x_m	V	F_s	Caso	Sisma
		[m]	*[m]*	*[m]*	*[m]*	*[m]*	*[mc]*			
1625	C	-1,46	36,57	56,00	-25,49	49,52	1137,88	2.967 (M)	[PC]	H-V
1626	C	1,54	35,07	48,00	-17,14	44,37	673,65	2.967 (M)	[PC]	H+V
1627	C	-11,96	41,07	62,00	-39,86	43,52	1051,55	2.967 (M)	[PC]	H-V
1628	C	-1,46	39,57	53,00	-19,41	44,63	687,56	2.967 (M)	[PC]	H-V
1629	C	-2,96	41,07	54,00	-19,49	43,41	630,13	2.967 (M)	[PC]	H-V
1630	C	-5,96	29,07	51,00	-33,02	42,57	1124,75	2.967 (M)	[PC]	H+V
1631	C	3,04	33,57	46,00	-14,99	44,38	655,54	2.967 (M)	[PC]	H+V
1632	C	-1,46	32,07	45,00	-18,22	39,48	573,08	2.968 (M)	[PC]	H+V
1633	C	-2,96	41,07	53,00	-18,21	42,24	559,22	2.968 (M)	[PC]	H+V
1634	C	-5,96	48,57	61,00	-20,26	43,88	590,57	2.968 (M)	[PC]	H+V
1635	C	1,54	33,57	47,00	-17,57	43,99	693,53	2.968 (M)	[PC]	H+V
1636	C	-4,46	38,07	51,00	-19,88	40,18	565,16	2.968 (M)	[PC]	H+V
1637	C	4,54	39,57	50,00	-8,31	47,14	611,66	2.968 (M)	[PC]	H+V
1638	C	-8,96	29,07	46,00	-25,11	34,29	628,83	2.968 (M)	[PC]	H+V
1639	C	-2,96	38,07	51,00	-19,30	41,68	600,68	2.968 (M)	[PC]	H-V
1640	C	1,54	29,07	44,00	-18,76	42,66	749,51	2.968 (M)	[PC]	H+V
1641	C	-13,46	45,57	61,00	-26,46	38,37	586,76	2.968 (M)	[PC]	H-V
1642	C	0,04	41,07	52,00	-14,86	44,07	557,87	2.968 (M)	[PC]	H+V
1643	C	-10,46	44,07	66,00	-41,22	47,98	1236,90	2.968 (M)	[PC]	H+V
1644	C	-4,46	44,07	57,00	-20,21	43,59	622,83	2.968 (M)	[PC]	H-V
1645	C	-5,96	33,57	55,00	-33,28	45,21	1152,63	2.969 (M)	[PC]	H-V
1646	C	-7,46	39,57	61,00	-36,22	47,64	1203,06	2.969 (M)	[PC]	H-V
1647	C	-14,96	48,57	69,00	-43,25	44,40	1021,00	2.969 (M)	[PC]	H+V
1648	C	0,04	35,07	54,00	-23,51	49,50	1113,85	2.969 (M)	[PC]	H+V
1649	C	0,04	45,57	55,00	-8,58	44,65	497,66	2.969 (M)	[PC]	H-V
1650	C	-1,46	44,07	59,00	-21,17	48,94	849,67	2.969 (M)	[PC]	H-V
1651	C	0,04	30,57	49,00	-22,45	45,93	1008,07	2.969 (M)	[PC]	H+V
1652	C	-1,46	30,57	50,00	-24,46	45,50	1051,05	2.969 (M)	[PC]	H-V
1653	C	-8,96	35,07	50,00	-22,53	36,10	560,07	2.969 (M)	[PC]	H+V
1654	C	-1,46	33,57	47,00	-18,94	40,99	624,23	2.969 (M)	[PC]	H-V
1655	C	-4,46	35,07	49,00	-20,80	39,49	604,20	2.969 (M)	[PC]	H-V
1656	C	-8,96	41,07	55,00	-21,93	38,57	553,71	2.969 (M)	[PC]	H+V
1657	C	-4,46	29,07	50,00	-29,70	43,02	1075,13	2.969 (M)	[PC]	H-V
1658	C	-14,96	44,07	64,00	-41,16	41,21	912,89	2.970 (M)	[PC]	H+V
1659	C	-2,96	36,57	57,00	-29,10	49,12	1187,50	2.970 (M)	[PC]	H-V
1660	C	-1,46	41,07	55,00	-20,13	46,07	740,38	2.970 (M)	[PC]	H-V
1661	C	-4,46	38,07	59,00	-31,94	49,13	1214,83	2.970 (M)	[PC]	H-V
1662	C	-11,96	48,57	70,00	-42,63	48,56	1206,74	2.970 (M)	[PC]	H+V
1663	C	-1,46	38,07	51,00	-18,69	43,18	635,77	2.970 (M)	[PC]	H-V
1664	C	-11,96	36,57	57,00	-37,76	40,12	939,10	2.970 (M)	[PC]	H-V
1665	C	-10,46	42,57	57,00	-22,60	38,51	564,94	2.970 (M)	[PC]	H-V
1666	C	-14,96	47,07	65,00	-36,57	40,64	766,43	2.970 (M)	[PC]	H-V
1667	C	0,04	32,07	51,00	-23,09	47,50	1071,47	2.970 (M)	[PC]	H+V
1668	C	4,54	35,07	46,00	-9,45	45,12	603,48	2.970 (M)	[PC]	H-V
1669	C	1,54	32,07	44,00	-14,88	41,38	572,47	2.970 (M)	[PC]	H-V
1670	C	-2,96	47,07	61,00	-20,89	47,91	763,20	2.970 (M)	[PC]	H-V
1671	C	-2,96	33,57	55,00	-30,38	48,21	1234,65	2.970 (M)	[PC]	H+V
1672	C	-4,46	32,07	54,00	-32,39	46,21	1216,59	2.970 (M)	[PC]	H+V
1673	C	0,04	35,07	44,00	-3,94	38,33	388,26	2.970 (M)	[PC]	H-V
1674	C	-5,96	45,57	58,00	-20,14	42,30	564,39	2.970 (M)	[PC]	H+V
1675	C	-4,46	41,07	54,00	-20,06	41,91	594,49	2.970 (M)	[PC]	H-V
1676	C	-10,46	48,57	62,00	-21,91	40,60	550,62	2.970 (M)	[PC]	H+V
1677	C	-1,46	33,57	46,00	-17,74	39,88	554,94	2.970 (M)	[PC]	H+V
1678	C	-13,46	41,07	59,00	-34,15	38,65	736,53	2.971 (M)	[PC]	H-V
1679	C	-4,46	35,07	57,00	-33,18	48,26	1265,30	2.971 (M)	[PC]	H+V
1680	C	-11,96	44,07	65,00	-40,54	45,35	1093,51	2.971 (M)	[PC]	H-V
1681	C	-1,46	30,57	44,00	-18,67	39,05	590,40	2.971 (M)	[PC]	H+V
1682	C	1,54	32,07	47,00	-19,11	44,67	787,31	2.971 (M)	[PC]	H+V
1683	C	-5,96	36,57	58,00	-34,04	47,21	1199,26	2.971 (M)	[PC]	H-V
1684	C	-7,46	30,57	52,00	-33,95	41,62	1062,80	2.971 (M)	[PC]	H-V
1685	C	-2,96	44,07	56,00	-18,37	43,89	586,37	2.971 (M)	[PC]	H+V
1686	C	1,54	36,57	49,00	-16,68	44,72	653,31	2.971 (M)	[PC]	H+V
1687	C	6,04	35,07	45,00	-4,20	45,48	575,75	2.971 (M)	[PC]	H-V
1688	C	-13,46	39,57	57,00	-32,52	37,18	676,83	2.971 (M)	[PC]	H+V
1689	C	-14,96	47,07	66,00	-39,28	41,81	857,28	2.971 (M)	[PC]	H-V
1690	C	0,04	36,57	51,00	-19,71	45,47	766,37	2.971 (M)	[PC]	H-V
1691	C	0,04	42,57	57,00	-20,22	49,01	830,69	2.971 (M)	[PC]	H+V
1692	C	-5,96	32,07	47,00	-21,76	37,17	603,66	2.971 (M)	[PC]	H-V
1693	C	-1,46	35,07	48,00	-18,46	41,37	605,05	2.971 (M)	[PC]	H-V
1694	C	-13,46	41,07	61,00	-39,10	40,90	914,48	2.971 (M)	[PC]	H-V
1695	C	6,04	29,07	41,00	-9,79	43,93	640,38	2.971 (M)	[PC]	H+V
1696	C	-1,46	45,57	59,00	-19,81	48,00	746,28	2.971 (M)	[PC]	H+V
1697	C	-10,46	44,07	58,00	-22,24	38,77	544,28	2.972 (M)	[PC]	H+V
1698	C	0,04	32,07	46,00	-18,70	42,08	678,02	2.972 (M)	[PC]	H-V
1699	C	-10,46	47,07	68,00	-39,76	48,62	1176,38	2.972 (M)	[PC]	H-V
1700	C	-2,96	30,57	52,00	-29,59	46,12	1186,47	2.972 (M)	[PC]	H+V
1701	C	-2,96	44,07	57,00	-19,66	45,09	658,84	2.972 (M)	[PC]	H-V
1702	C	0,04	41,07	55,00	-19,50	47,57	775,98	2.972 (M)	[PC]	H+V
1703	C	0,04	29,07	47,00	-21,99	44,35	945,17	2.972 (M)	[PC]	H+V

N°	Forma	C_x	C_y	R	x_v	x_m	V	F_s	Caso	Sisma
		[m]	*[m]*	*[m]*	*[m]*	*[m]*	*[mc]*			
1704	C	-7,46	38,07	52,00	-21,57	38,32	561,46	2.972 (M)	[PC]	H+V
1705	C	3,04	42,57	53,00	-10,20	47,29	603,70	2.972 (M)	[PC]	H+V
1706	C	-10,46	30,57	50,00	-32,81	36,50	804,52	2.972 (M)	[PC]	H+V
1707	C	4,54	38,07	49,00	-9,91	46,88	630,93	2.972 (M)	[PC]	H+V
1708	C	-10,46	39,57	61,00	-39,11	44,64	1120,01	2.972 (M)	[PC]	H-V
1709	C	-13,46	45,57	66,00	-41,19	44,17	1022,99	2.972 (M)	[PC]	H-V
1710	C	-11,96	38,07	54,00	-26,18	36,08	584,24	2.972 (M)	[PC]	H-V
1711	C	-7,46	36,57	59,00	-37,43	46,80	1255,96	2.972 (M)	[PC]	H+V
1712	C	-5,96	47,07	60,00	-20,75	43,70	613,89	2.972 (M)	[PC]	H-V
1713	C	0,04	41,07	54,00	-18,28	46,41	700,39	2.972 (M)	[PC]	H+V
1714	C	-5,96	30,57	46,00	-22,05	36,72	620,59	2.972 (M)	[PC]	H-V
1715	C	-1,46	29,07	43,00	-19,10	38,58	607,47	2.972 (M)	[PC]	H+V
1716	C	1,54	36,57	48,00	-14,27	43,58	583,84	2.973 (M)	[PC]	H-V
1717	C	0,04	35,07	50,00	-20,15	45,10	787,52	2.973 (M)	[PC]	H-V
1718	C	-8,96	33,57	49,00	-23,03	35,70	577,88	2.973 (M)	[PC]	H-V
1719	C	6,04	38,07	48,00	-4,54	47,22	601,36	2.973 (M)	[PC]	H+V
1720	C	-10,46	33,57	50,00	-25,81	35,29	608,94	2.973 (M)	[PC]	H-V
1721	C	3,04	38,07	49,00	-11,41	45,38	597,83	2.973 (M)	[PC]	H-V
1722	C	-7,46	30,57	46,00	-22,42	35,22	581,68	2.973 (M)	[PC]	H+V
1723	C	-4,46	47,07	60,00	-20,36	45,20	650,38	2.973 (M)	[PC]	H-V
1724	C	-13,46	47,07	62,00	-24,70	38,60	564,86	2.973 (M)	[PC]	H-V
1725	C	0,04	41,07	53,00	-17,05	45,24	627,56	2.973 (M)	[PC]	H+V
1726	C	-2,96	30,57	45,00	-20,52	38,64	624,88	2.973 (M)	[PC]	H-V
1727	C	-10,46	36,57	58,00	-38,38	42,71	1075,10	2.973 (M)	[PC]	H-V
1728	C	0,04	39,57	51,00	-16,27	43,81	578,64	2.973 (M)	[PC]	H+V
1729	C	1,54	38,07	50,00	-16,01	45,03	632,60	2.973 (M)	[PC]	H+V
1730	C	0,04	29,07	44,00	-19,51	41,16	714,44	2.973 (M)	[PC]	H-V
1731	C	-8,96	36,57	59,00	-38,89	45,30	1214,15	2.973 (M)	[PC]	H+V
1732	C	0,04	35,07	49,00	-18,99	43,99	712,20	2.973 (M)	[PC]	H-V
1733	C	-2,96	36,57	49,00	-18,57	40,22	550,90	2.973 (M)	[PC]	H+V
1734	C	-2,96	48,57	61,00	-19,24	46,88	662,07	2.973 (M)	[PC]	H+V
1735	C	-5,96	30,57	52,00	-32,50	43,12	1103,70	2.973 (M)	[PC]	H-V
1736	C	0,04	32,07	43,00	-13,48	38,78	475,24	2.973 (M)	[PC]	H+V
1737	C	-13,46	42,57	59,00	-29,88	37,82	631,32	2.973 (M)	[PC]	H-V
1738	C	-7,46	33,57	56,00	-36,63	44,78	1206,52	2.973 (M)	[PC]	H+V
1739	C	-13,46	38,07	58,00	-38,45	39,03	873,38	2.973 (M)	[PC]	H+V
1740	C	-7,46	29,07	45,00	-22,72	34,72	597,88	2.973 (M)	[PC]	H+V
1741	C	-14,96	45,57	66,00	-42,62	42,67	981,68	2.973 (M)	[PC]	H+V
1742	C	-10,46	32,07	51,00	-32,04	37,00	784,55	2.973 (M)	[PC]	H-V
1743	C	0,04	30,57	43,00	-16,82	39,46	556,80	2.974 (M)	[PC]	H+V
1744	C	-11,96	41,07	63,00	-41,94	44,64	1150,69	2.974 (M)	[PC]	H+V
1745	C	1,54	29,07	40,00	-11,48	38,34	478,67	2.974 (M)	[PC]	H-V
1746	C	0,04	36,57	47,00	-12,41	40,93	485,91	2.974 (M)	[PC]	H-V
1747	C	-2,96	45,57	59,00	-20,39	46,50	710,33	2.974 (M)	[PC]	H-V
1748	C	0,04	39,57	50,00	-12,81	42,64	512,13	2.974 (M)	[PC]	H-V
1749	C	-8,96	42,57	64,00	-38,38	48,01	1205,63	2.974 (M)	[PC]	H-V
1750	C	-11,96	38,07	59,00	-39,17	41,63	1008,40	2.974 (M)	[PC]	H-V
1751	C	-1,46	44,07	56,00	-17,81	45,39	620,80	2.974 (M)	[PC]	H+V
1752	C	0,04	30,57	46,00	-20,24	42,72	770,59	2.974 (M)	[PC]	H-V
1753	C	-1,46	39,57	51,00	-16,91	42,31	545,13	2.974 (M)	[PC]	H+V
1754	C	-10,46	30,57	51,00	-34,89	37,56	890,27	2.974 (M)	[PC]	H+V
1755	C	-1,46	41,07	54,00	-18,89	44,91	665,63	2.974 (M)	[PC]	H-V
1756	C	-5,96	35,07	49,00	-21,15	37,99	567,31	2.974 (M)	[PC]	H+V
1757	C	-13,46	42,57	64,00	-42,71	43,51	1081,03	2.974 (M)	[PC]	H+V
1758	C	-11,96	36,57	54,00	-30,60	36,82	681,17	2.974 (M)	[PC]	H-V
1759	C	0,04	32,07	44,00	-16,37	39,88	539,37	2.975 (M)	[PC]	H+V
1760	C	-10,46	32,07	52,00	-34,22	38,07	869,46	2.975 (M)	[PC]	H-V
1761	C	-13,46	41,07	57,00	-27,94	36,37	576,53	2.975 (M)	[PC]	H+V
1762	C	0,04	32,07	42,00	-9,85	37,66	416,16	2.975 (M)	[PC]	H+V
1763	C	-11,96	38,07	60,00	-41,20	42,73	1105,33	2.975 (M)	[PC]	H+V
1764	C	1,54	29,07	39,00	-7,98	37,25	421,41	2.975 (M)	[PC]	H-V
1765	C	-1,46	47,07	61,00	-20,53	49,41	799,73	2.975 (M)	[PC]	H+V
1766	C	-8,96	39,57	62,00	-39,66	47,25	1262,09	2.975 (M)	[PC]	H+V
1767	C	-7,46	36,57	51,00	-21,89	37,97	580,77	2.975 (M)	[PC]	H-V
1768	C	0,04	33,57	47,00	-18,27	42,49	658,99	2.975 (M)	[PC]	H-V
1769	C	-14,96	48,57	68,00	-40,83	43,24	922,72	2.975 (M)	[PC]	H-V
1770	C	-8,96	32,07	48,00	-23,74	35,26	595,30	2.976 (M)	[PC]	H-V
1771	C	-8,96	29,07	48,00	-29,95	36,41	782,15	2.976 (M)	[PC]	H-V
1772	C	-5,96	41,07	54,00	-20,60	40,41	558,36	2.976 (M)	[PC]	H+V
1773	C	-13,46	42,57	63,00	-40,54	42,38	982,65	2.976 (M)	[PC]	H-V
1774	C	-14,96	48,57	65,00	-32,06	39,70	654,95	2.976 (M)	[PC]	H-V
1775	C	-13,46	38,07	57,00	-36,14	37,92	784,45	2.976 (M)	[PC]	H+V
1776	C	-5,96	44,07	57,00	-20,68	42,09	586,59	2.976 (M)	[PC]	H-V
1777	C	-14,96	44,07	62,00	-36,08	38,92	731,24	2.976 (M)	[PC]	H+V
1778	C	1,54	35,07	49,00	-18,30	45,49	747,02	2.976 (M)	[PC]	H+V
1779	C	-13,46	45,57	67,00	-43,40	45,31	1123,51	2.976 (M)	[PC]	H+V
1780	C	1,54	47,07	57,00	-10,00	47,53	573,48	2.976 (M)	[PC]	H+V
1781	C	4,54	33,57	45,00	-10,76	44,77	621,33	2.976 (M)	[PC]	H-V
1782	C	-7,46	32,07	47,00	-22,11	35,67	564,86	2.976 (M)	[PC]	H+V

N°	Forma	C_x	C_y	R	x_v	x_m	V	F_s	Caso	Sisma
		[m]	*[m]*	*[m]*	*[m]*	*[m]*	*[mc]*			
1783	C	-4,46	29,07	51,00	-31,56	44,07	1166,42	2.976 (M)	[PC]	H+V
1784	C	-8,96	33,57	56,00	-38,08	43,28	1165,51	2.976 (M)	[PC]	H+V
1785	C	-5,96	29,07	45,00	-22,34	36,22	637,28	2.976 (M)	[PC]	H-V
1786	C	4,54	36,57	48,00	-11,27	46,58	650,27	2.976 (M)	[PC]	H+V
1787	C	-1,46	45,57	58,00	-18,54	46,80	670,71	2.976 (M)	[PC]	H+V
1788	C	0,04	33,57	49,00	-20,56	44,70	808,16	2.976 (M)	[PC]	H-V
1789	C	3,04	41,07	52,00	-11,86	47,07	624,31	2.976 (M)	[PC]	H+V
1790	C	-11,96	45,57	60,00	-23,10	38,69	554,62	2.976 (M)	[PC]	H-V
1791	C	4,54	42,57	52,00	-3,84	47,59	574,57	2.976 (M)	[PC]	H-V
1792	C	0,04	35,07	48,00	-17,81	42,87	639,46	2.977 (M)	[PC]	H-V
1793	C	-11,96	44,07	66,00	-42,66	46,48	1194,83	2.977 (M)	[PC]	H+V
1794	C	-10,46	42,57	64,00	-39,82	46,51	1163,65	2.977 (M)	[PC]	H-V
1795	C	-4,46	29,07	44,00	-21,23	36,66	605,21	2.977 (M)	[PC]	H+V
1796	C	1,54	29,07	41,00	-14,29	39,43	540,68	2.977 (M)	[PC]	H-V
1797	C	3,04	30,57	43,00	-14,37	42,46	623,36	2.977 (M)	[PC]	H-V
1798	C	-1,46	44,07	54,00	-12,69	42,98	483,92	2.977 (M)	[PC]	H+V
1799	C	-8,96	29,07	49,00	-32,06	37,47	864,96	2.977 (M)	[PC]	H-V
1800	C	1,54	44,07	54,00	-9,69	45,98	550,36	2.977 (M)	[PC]	H-V
1801	C	0,04	33,57	53,00	-23,98	49,05	1136,12	2.977 (M)	[PC]	H+V
1802	C	-7,46	39,57	62,00	-38,21	48,75	1303,42	2.977 (M)	[PC]	H+V
1803	C	-11,96	35,07	52,00	-28,94	35,31	623,75	2.977 (M)	[PC]	H+V
1804	C	0,04	35,07	45,00	-10,20	39,48	442,82	2.977 (M)	[PC]	H-V
1805	C	1,54	36,57	51,00	-19,02	46,97	801,59	2.977 (M)	[PC]	H+V
1806	C	0,04	47,07	57,00	-11,50	46,03	540,30	2.978 (M)	[PC]	H+V
1807	C	6,04	36,57	47,00	-6,41	46,93	618,94	2.978 (M)	[PC]	H+V
1808	C	-5,96	39,57	61,00	-34,77	49,14	1244,29	2.978 (M)	[PC]	H-V
1809	C	6,04	33,57	44,00	-6,00	45,14	591,81	2.978 (M)	[PC]	H-V
1810	C	-1,46	32,07	52,00	-25,55	47,07	1117,01	2.978 (M)	[PC]	H-V
1811	C	3,04	45,57	55,00	-5,58	47,65	564,09	2.978 (M)	[PC]	H-V
1812	C	-5,96	33,57	56,00	-35,18	46,28	1248,49	2.978 (M)	[PC]	H+V
1813	C	-13,46	48,57	69,00	-41,81	45,90	1062,31	2.978 (M)	[PC]	H-V
1814	C	-10,46	47,07	69,00	-41,92	49,77	1279,92	2.978 (M)	[PC]	H+V
1815	C	0,04	29,07	42,00	-17,25	39,01	573,35	2.978 (M)	[PC]	H+V
1816	C	-11,96	47,07	68,00	-41,20	47,12	1134,93	2.978 (M)	[PC]	H-V
1817	C	-7,46	42,57	64,00	-36,93	49,51	1246,78	2.978 (M)	[PC]	H-V
1818	C	-1,46	35,07	47,00	-17,25	40,25	536,35	2.978 (M)	[PC]	H+V
1819	C	-13,46	42,57	58,00	-26,16	36,67	555,58	2.978 (M)	[PC]	H+V
1820	C	-4,46	44,07	56,00	-18,89	42,39	551,33	2.978 (M)	[PC]	H+V
1821	C	-10,46	30,57	49,00	-30,57	35,43	722,67	2.978 (M)	[PC]	H+V
1822	C	3,04	36,57	48,00	-12,77	45,08	616,98	2.979 (M)	[PC]	H-V
1823	C	-1,46	36,57	49,00	-17,97	41,72	585,44	2.979 (M)	[PC]	H-V
1824	C	3,04	32,07	45,00	-15,90	43,98	674,45	2.979 (M)	[PC]	H+V
1825	C	-11,96	33,57	53,00	-34,92	37,05	806,99	2.979 (M)	[PC]	H+V
1826	C	-5,96	36,57	59,00	-35,98	48,30	1297,23	2.979 (M)	[PC]	H+V
1827	C	7,54	30,57	41,00	-4,08	44,77	596,89	2.979 (M)	[PC]	H+V
1828	C	0,04	29,07	48,00	-22,68	45,41	1026,83	2.979 (M)	[PC]	H+V
1829	C	-1,46	32,07	53,00	-27,57	48,14	1206,33	2.979 (M)	[PC]	H+V
1830	C	-2,96	47,07	59,00	-18,51	45,49	612,44	2.979 (M)	[PC]	H+V
1831	C	1,54	30,57	46,00	-19,49	44,22	806,60	2.979 (M)	[PC]	H+V
1832	C	0,04	32,07	45,00	-17,54	40,98	607,30	2.979 (M)	[PC]	H-V
1833	C	1,54	35,07	50,00	-19,44	46,60	823,04	2.979 (M)	[PC]	H+V
1834	C	0,04	38,07	49,00	-14,41	42,38	531,40	2.980 (M)	[PC]	H-V
1835	C	-2,96	29,07	44,00	-20,81	38,16	642,14	2.980 (M)	[PC]	H-V
1836	C	4,54	29,07	42,00	-13,73	43,51	673,54	2.980 (M)	[PC]	H+V
1837	C	-1,46	35,07	55,00	-26,25	49,09	1161,20	2.980 (M)	[PC]	H-V
1838	C	-2,96	39,57	52,00	-18,76	41,97	580,10	2.980 (M)	[PC]	H-V
1839	C	0,04	36,57	50,00	-18,53	44,35	691,64	2.980 (M)	[PC]	H-V
1840	C	-13,46	38,07	59,00	-40,61	40,13	966,43	2.980 (M)	[PC]	H+V
1841	C	0,04	32,07	48,00	-20,82	44,26	827,85	2.980 (M)	[PC]	H-V
1842	C	-7,46	30,57	53,00	-35,80	42,68	1156,05	2.980 (M)	[PC]	H+V
1843	C	-11,96	47,07	61,00	-22,50	38,91	533,40	2.980 (M)	[PC]	H+V
1844	C	0,04	33,57	43,00	-7,58	38,02	401,75	2.980 (M)	[PC]	H-V
1845	C	-11,96	33,57	54,00	-37,06	38,13	895,03	2.980 (M)	[PC]	H+V
1846	C	-1,46	48,57	58,00	-10,32	44,66	486,48	2.980 (M)	[PC]	H+V
1847	C	-4,46	47,07	59,00	-19,02	43,99	577,51	2.980 (M)	[PC]	H+V
1848	C	-1,46	39,57	52,00	-18,17	43,47	614,79	2.980 (M)	[PC]	H-V
1849	C	-1,46	45,57	60,00	-20,87	49,19	824,88	2.980 (M)	[PC]	H-V
1850	C	-1,46	42,57	54,00	-17,09	43,98	572,13	2.980 (M)	[PC]	H+V
1851	C	-10,46	39,57	62,00	-41,11	45,75	1220,04	2.980 (M)	[PC]	H+V
1852	C	0,04	35,07	46,00	-13,95	40,62	503,77	2.981 (M)	[PC]	H-V
1853	C	-7,46	42,57	56,00	-21,30	40,34	571,00	2.981 (M)	[PC]	H-V
1854	C	-10,46	36,57	59,00	-40,34	43,80	1172,87	2.981 (M)	[PC]	H+V
1855	C	3,04	39,57	51,00	-13,27	46,81	645,07	2.981 (M)	[PC]	H+V
1856	C	0,04	35,07	51,00	-21,02	46,21	865,42	2.981 (M)	[PC]	H-V
1857	C	-5,96	39,57	53,00	-20,93	40,13	578,82	2.981 (M)	[PC]	H-V
1858	C	-11,96	39,57	55,00	-24,75	36,41	564,55	2.981 (M)	[PC]	H-V
1859	C	-14,96	48,57	64,00	-28,12	38,51	575,66	2.981 (M)	[PC]	H+V
1860	C	-10,46	32,07	54,00	-38,19	40,21	1050,74	2.981 (M)	[PC]	H+V
1861	C	6,04	35,07	46,00	-7,95	46,62	636,57	2.981 (M)	[PC]	H+V

N°	Forma	C_x	C_y	R	x_v	x_m	V	F_s	Caso	Sisma
		[m]	*[m]*	*[m]*	*[m]*	*[m]*	*[mc]*			
1862	C	-7,46	44,07	57,00	-20,96	40,59	549,88	2.981 (M)	[PC]	H+V
1863	C	-4,46	39,57	52,00	-19,33	40,47	544,95	2.981 (M)	[PC]	H+V
1864	C	0,04	33,57	46,00	-17,09	41,38	588,80	2.982 (M)	[PC]	H-V
1865	C	0,04	36,57	52,00	-20,76	46,59	843,79	2.982 (M)	[PC]	H-V
1866	C	-4,46	33,57	55,00	-31,83	46,71	1193,62	2.982 (M)	[PC]	H-V
1867	C	-13,46	48,57	70,00	-44,07	47,06	1164,86	2.982 (M)	[PC]	H+V
1868	C	0,04	32,07	41,00	-3,80	36,54	363,17	2.982 (M)	[PC]	H+V
1869	C	1,54	35,07	47,00	-15,45	43,25	603,23	2.982 (M)	[PC]	H-V
1870	C	-2,96	42,57	55,00	-18,94	43,67	608,27	2.982 (M)	[PC]	H-V
1871	C	-8,96	42,57	65,00	-40,42	49,13	1308,05	2.982 (M)	[PC]	H+V
1872	C	-7,46	47,07	60,00	-21,02	42,20	577,11	2.982 (M)	[PC]	H-V
1873	C	1,54	36,57	50,00	-17,86	45,85	726,11	2.982 (M)	[PC]	H+V
1874	C	0,04	30,57	50,00	-23,53	47,00	1091,95	2.982 (M)	[PC]	H+V
1875	C	-10,46	32,07	50,00	-29,67	35,92	703,67	2.982 (M)	[PC]	H-V
1876	C	-14,96	42,57	62,00	-39,67	39,75	846,69	2.982 (M)	[PC]	H+V
1877	C	-14,96	45,57	64,00	-37,70	40,37	793,11	2.982 (M)	[PC]	H-V
1878	C	1,54	30,57	43,00	-15,87	40,96	589,98	2.982 (M)	[PC]	H-V
1879	C	0,04	33,57	50,00	-21,28	45,79	886,47	2.982 (M)	[PC]	H-V
1880	C	-13,46	39,57	59,00	-37,63	39,42	848,53	2.982 (M)	[PC]	H-V
1881	C	-2,96	32,07	46,00	-20,06	39,08	607,04	2.982 (M)	[PC]	H-V
1882	C	0,04	42,57	55,00	-17,77	46,67	677,71	2.982 (M)	[PC]	H+V
1883	C	-5,96	30,57	53,00	-34,35	44,18	1197,13	2.983 (M)	[PC]	H+V
1884	C	0,04	36,57	49,00	-17,34	43,22	619,74	2.983 (M)	[PC]	H-V
1885	C	0,04	30,57	44,00	-17,98	40,55	625,27	2.983 (M)	[PC]	H-V
1886	C	-14,96	47,07	68,00	-44,08	44,12	1051,64	2.983 (M)	[PC]	H+V
1887	C	4,54	45,57	55,00	-4,08	49,15	597,35	2.983 (M)	[PC]	H+V
1888	C	-8,96	30,57	47,00	-24,42	34,79	612,31	2.983 (M)	[PC]	H-V
1889	C	-8,96	30,57	52,00	-35,40	40,12	1021,66	2.983 (M)	[PC]	H-V
1890	C	-13,46	39,57	61,00	-42,00	41,64	1036,74	2.983 (M)	[PC]	H+V
1891	C	6,04	32,07	43,00	-7,48	44,78	608,02	2.983 (M)	[PC]	H-V
1892	C	-8,96	29,07	51,00	-35,92	39,57	1041,73	2.983 (M)	[PC]	H+V
1893	C	-1,46	47,07	60,00	-19,27	48,20	721,78	2.983 (M)	[PC]	H+V
1894	C	0,04	38,07	53,00	-20,43	46,95	821,63	2.983 (M)	[PC]	H-V
1895	C	-1,46	42,57	56,00	-19,62	46,34	717,37	2.983 (M)	[PC]	H-V
1896	C	-14,96	45,57	62,00	-31,68	38,04	622,88	2.983 (M)	[PC]	H+V
1897	C	-7,46	35,07	57,00	-36,08	45,26	1182,24	2.983 (M)	[PC]	H-V
1898	C	-2,96	32,07	53,00	-29,02	46,64	1164,83	2.983 (M)	[PC]	H-V
1899	C	0,04	44,07	54,00	-11,19	44,48	517,09	2.983 (M)	[PC]	H-V
1900	C	0,04	29,07	43,00	-18,39	40,08	642,67	2.983 (M)	[PC]	H-V
1901	C	0,04	38,07	51,00	-18,06	44,68	670,64	2.983 (M)	[PC]	H-V
1902	C	-1,46	41,07	51,00	-12,37	41,38	460,05	2.983 (M)	[PC]	H+V
1903	C	1,54	33,57	49,00	-19,84	46,20	844,04	2.984 (M)	[PC]	H+V
1904	C	-14,96	47,07	64,00	-33,55	39,47	680,13	2.984 (M)	[PC]	H-V
1905	C	-11,96	35,07	54,00	-34,10	37,50	785,21	2.984 (M)	[PC]	H-V
1906	C	-11,96	47,07	69,00	-43,37	48,27	1238,61	2.984 (M)	[PC]	H+V
1907	C	-1,46	29,07	49,00	-24,89	44,97	1070,63	2.984 (M)	[PC]	H-V
1908	C	0,04	42,57	56,00	-19,00	47,84	752,66	2.984 (M)	[PC]	H+V
1909	C	-4,46	30,57	52,00	-31,04	44,62	1145,48	2.984 (M)	[PC]	H-V
1910	C	-11,96	35,07	55,00	-36,35	38,59	872,32	2.984 (M)	[PC]	H-V
1911	C	-14,96	45,57	65,00	-40,26	41,52	885,50	2.984 (M)	[PC]	H-V
1912	C	4,54	35,07	47,00	-12,45	46,25	669,66	2.984 (M)	[PC]	H+V
1913	C	-1,46	29,07	50,00	-26,80	46,02	1157,61	2.984 (M)	[PC]	H+V
1914	C	-10,46	42,57	65,00	-41,87	47,63	1266,61	2.984 (M)	[PC]	H+V
1915	C	-10,46	39,57	54,00	-22,54	36,77	534,16	2.984 (M)	[PC]	H+V
1916	C	-10,46	33,57	55,00	-37,63	40,71	1028,57	2.984 (M)	[PC]	H-V
1917	C	-8,96	45,57	67,00	-39,07	49,81	1248,20	2.985 (M)	[PC]	H-V
1918	C	-2,96	42,57	54,00	-17,63	42,48	538,06	2.985 (M)	[PC]	H+V
1919	C	-8,96	38,07	60,00	-38,30	45,73	1187,97	2.985 (M)	[PC]	H-V
1920	C	-8,96	29,07	47,00	-27,65	35,35	703,53	2.985 (M)	[PC]	H-V
1921	C	-4,46	36,57	50,00	-20,42	39,85	584,75	2.985 (M)	[PC]	H-V
1922	C	-8,96	35,07	57,00	-37,53	43,76	1141,22	2.985 (M)	[PC]	H-V
1923	C	1,54	38,07	51,00	-17,40	46,18	704,76	2.985 (M)	[PC]	H+V
1924	C	0,04	39,57	54,00	-19,97	47,27	799,02	2.985 (M)	[PC]	H-V
1925	C	-2,96	35,07	56,00	-29,77	48,68	1211,66	2.985 (M)	[PC]	H-V
1926	C	-8,96	36,57	51,00	-22,20	36,47	541,78	2.985 (M)	[PC]	H+V
1927	C	-10,46	32,07	53,00	-36,26	39,14	958,21	2.985 (M)	[PC]	H-V
1928	C	3,04	48,57	58,00	-5,82	49,16	586,09	2.985 (M)	[PC]	H+V
1929	C	-10,46	45,57	67,00	-40,52	48,31	1206,81	2.985 (M)	[PC]	H-V
1930	C	-13,46	41,07	58,00	-31,28	37,51	654,04	2.985 (M)	[PC]	H-V
1931	C	0,04	29,07	45,00	-20,60	42,22	788,96	2.985 (M)	[PC]	H-V
1932	C	-4,46	42,57	55,00	-19,48	42,17	573,04	2.985 (M)	[PC]	H-V
1933	C	-10,46	30,57	52,00	-36,85	38,62	979,93	2.985 (M)	[PC]	H+V
1934	C	-1,46	47,07	56,00	-5,95	43,29	446,18	2.985 (M)	[PC]	H-V
1935	C	-13,46	44,07	59,00	-24,59	36,94	534,88	2.985 (M)	[PC]	H+V
1936	C	-4,46	36,57	58,00	-32,59	48,71	1240,25	2.985 (M)	[PC]	H-V
1937	C	-7,46	38,07	60,00	-36,85	47,23	1229,77	2.985 (M)	[PC]	H-V
1938	C	-11,96	39,57	61,00	-40,56	43,14	1078,66	2.985 (M)	[PC]	H-V
1939	C	0,04	36,57	53,00	-21,47	47,71	923,88	2.985 (M)	[PC]	H-V
1940	C	1,54	42,57	53,00	-11,70	45,79	570,58	2.986 (M)	[PC]	H-V

N°	Forma	C_x	C_y	R	x_v	x_m	V	F_s	Caso	Sisma
		[m]	*[m]*	*[m]*	*[m]*	*[m]*	*[mc]*			
1941	C	0,04	30,57	42,00	-14,72	38,37	491,51	2.986 (M)	[PC]	H+V
1942	C	0,04	35,07	52,00	-21,72	47,31	945,87	2.986 (M)	[PC]	H-V
1943	C	-1,46	42,57	52,00	-9,84	41,59	441,72	2.986 (M)	[PC]	H+V
1944	C	-14,96	42,57	63,00	-41,98	40,88	940,82	2.986 (M)	[PC]	H+V
1945	C	0,04	42,57	54,00	-16,52	45,48	605,56	2.986 (M)	[PC]	H+V
1946	C	-11,96	33,57	52,00	-32,61	35,97	723,05	2.986 (M)	[PC]	H+V
1947	C	0,04	45,57	56,00	-13,57	45,88	561,74	2.986 (M)	[PC]	H+V
1948	C	0,04	30,57	47,00	-21,06	43,79	847,27	2.986 (M)	[PC]	H-V
1949	C	-13,46	39,57	58,00	-35,19	38,30	760,54	2.986 (M)	[PC]	H-V
1950	C	-2,96	47,07	60,00	-19,82	46,70	686,29	2.986 (M)	[PC]	H-V
1951	C	0,04	38,07	52,00	-19,25	45,82	744,74	2.986 (M)	[PC]	H-V
1952	C	-7,46	32,07	54,00	-35,29	43,21	1133,78	2.986 (M)	[PC]	H-V
1953	C	-8,96	30,57	53,00	-37,25	41,18	1115,05	2.986 (M)	[PC]	H+V
1954	C	4,54	32,07	44,00	-11,88	44,38	638,90	2.986 (M)	[PC]	H-V
1955	C	0,04	32,07	49,00	-21,52	45,34	906,89	2.986 (M)	[PC]	H-V
1956	C	0,04	36,57	48,00	-15,77	42,08	550,54	2.986 (M)	[PC]	H-V
1957	C	-1,46	44,07	58,00	-20,34	47,77	770,50	2.987 (M)	[PC]	H-V
1958	C	-13,46	38,07	56,00	-33,63	36,81	699,45	2.987 (M)	[PC]	H+V
1959	C	-11,96	42,57	64,00	-41,27	45,01	1122,29	2.987 (M)	[PC]	H-V
1960	C	-2,96	38,07	50,00	-18,04	40,53	531,31	2.987 (M)	[PC]	H+V
1961	C	-4,46	45,57	58,00	-19,63	43,80	600,18	2.987 (M)	[PC]	H-V
1962	C	1,54	45,57	56,00	-12,07	47,38	594,91	2.987 (M)	[PC]	H+V
1963	C	-10,46	38,07	53,00	-23,12	36,45	553,24	2.987 (M)	[PC]	H-V
1964	C	-13,46	39,57	56,00	-29,48	36,05	597,69	2.987 (M)	[PC]	H+V
1965	C	-1,46	42,57	55,00	-18,36	45,17	643,35	2.987 (M)	[PC]	H-V
1966	C	-11,96	36,57	53,00	-27,65	35,71	604,02	2.987 (M)	[PC]	H-V
1967	C	-1,46	42,57	53,00	-14,70	42,79	504,15	2.987 (M)	[PC]	H+V
1968	C	0,04	38,07	54,00	-21,20	48,08	901,32	2.987 (M)	[PC]	H-V
1969	C	1,54	30,57	45,00	-18,38	43,14	731,34	2.987 (M)	[PC]	H-V
1970	C	-8,96	45,57	59,00	-21,63	40,50	561,54	2.988 (M)	[PC]	H-V
1971	C	-10,46	33,57	56,00	-39,53	41,78	1124,24	2.988 (M)	[PC]	H+V
1972	C	0,04	35,07	47,00	-16,62	41,75	569,85	2.988 (M)	[PC]	H-V
1973	C	-13,46	44,07	65,00	-41,98	43,85	1052,08	2.988 (M)	[PC]	H-V
1974	C	3,04	35,07	47,00	-13,95	44,75	636,29	2.988 (M)	[PC]	H-V
1975	C	-8,96	29,07	50,00	-34,05	38,52	951,51	2.988 (M)	[PC]	H-V
1976	C	-11,96	42,57	57,00	-22,99	37,01	525,09	2.988 (M)	[PC]	H+V
1977	C	3,04	38,07	50,00	-14,51	46,53	665,88	2.988 (M)	[PC]	H+V
1978	C	-1,46	36,57	48,00	-16,73	40,58	517,36	2.988 (M)	[PC]	H+V
1979	C	-2,96	29,07	50,00	-28,25	44,52	1116,73	2.988 (M)	[PC]	H-V
1980	C	1,54	32,07	45,00	-16,85	42,48	640,96	2.988 (M)	[PC]	H-V
1981	C	0,04	33,57	51,00	-21,97	46,88	967,26	2.988 (M)	[PC]	H-V
1982	C	-2,96	33,57	47,00	-19,59	39,49	588,69	2.988 (M)	[PC]	H-V
1983	C	0,04	32,07	52,00	-24,43	48,57	1157,78	2.988 (M)	[PC]	H+V
1984	C	6,04	33,57	45,00	-9,26	46,27	654,47	2.988 (M)	[PC]	H+V
1985	C	1,54	41,07	52,00	-13,36	45,57	590,96	2.988 (M)	[PC]	H-V
1986	C	-7,46	48,57	61,00	-20,67	42,38	554,35	2.988 (M)	[PC]	H+V
1987	C	-14,96	47,07	67,00	-41,76	42,97	952,17	2.988 (M)	[PC]	H-V
1988	C	-2,96	45,57	58,00	-19,10	45,30	635,72	2.989 (M)	[PC]	H-V
1989	C	0,04	44,07	55,00	-15,29	45,69	583,46	2.989 (M)	[PC]	H+V
1990	C	7,54	29,07	40,00	-5,48	44,34	611,45	2.989 (M)	[PC]	H+V
1991	C	0,04	33,57	45,00	-15,26	40,27	521,62	2.989 (M)	[PC]	H-V
1992	C	0,04	36,57	54,00	-22,17	48,82	1006,29	2.989 (M)	[PC]	H-V
1993	C	-11,96	35,07	57,00	-40,43	40,76	1057,89	2.989 (M)	[PC]	H+V
1994	C	1,54	33,57	46,00	-16,42	42,88	622,42	2.989 (M)	[PC]	H-V
1995	C	-5,96	35,07	57,00	-34,63	46,76	1224,17	2.989 (M)	[PC]	H-V
1996	C	-14,96	42,57	61,00	-37,17	38,61	756,86	2.989 (M)	[PC]	H+V
1997	C	-14,96	44,07	65,00	-43,42	42,35	1010,76	2.989 (M)	[PC]	H+V
1998	C	-2,96	32,07	54,00	-30,94	47,71	1257,64	2.989 (M)	[PC]	H+V
1999	C	-13,46	39,57	60,00	-39,88	40,53	940,65	2.989 (M)	[PC]	H-V
2000	C	-4,46	30,57	45,00	-20,95	37,14	588,39	2.989 (M)	[PC]	H+V
2001	C	-14,96	47,07	63,00	-30,03	38,29	599,01	2.990 (M)	[PC]	H+V
2002	C	-1,46	38,07	50,00	-17,45	42,03	565,45	2.990 (M)	[PC]	H-V
2003	C	-16,46	48,57	68,00	-42,26	41,74	880,91	2.990 (M)	[PC]	H+V
2004	C	3,04	30,57	44,00	-16,53	43,55	693,01	2.990 (M)	[PC]	H+V
2005	C	4,54	41,07	51,00	-6,37	47,38	592,91	2.990 (M)	[PC]	H-V
2006	C	-11,96	33,57	55,00	-39,08	39,21	986,64	2.990 (M)	[PC]	H+V
2007	C	-8,96	41,07	63,00	-39,05	47,64	1234,08	2.990 (M)	[PC]	H-V
2008	C	-5,96	32,07	54,00	-33,84	44,71	1175,62	2.990 (M)	[PC]	H-V
2009	C	-4,46	33,57	56,00	-33,73	47,78	1289,63	2.990 (M)	[PC]	H+V
2010	C	0,04	38,07	55,00	-21,91	49,20	983,36	2.990 (M)	[PC]	H-V
2011	C	-2,96	45,57	57,00	-17,78	44,09	564,03	2.990 (M)	[PC]	H+V
2012	C	0,04	35,07	53,00	-22,43	48,41	1028,64	2.990 (M)	[PC]	H-V
2013	C	-10,46	30,57	48,00	-28,12	34,36	644,46	2.990 (M)	[PC]	H+V
2014	C	-2,96	35,07	57,00	-31,73	49,76	1306,93	2.990 (M)	[PC]	H+V
2015	C	0,04	44,07	58,00	-19,72	49,27	806,59	2.991 (M)	[PC]	H+V
2016	C	1,54	32,07	48,00	-20,22	45,76	864,43	2.991 (M)	[PC]	H+V
2017	C	1,54	29,07	45,00	-19,85	43,72	824,87	2.991 (M)	[PC]	H+V
2018	C	-4,46	32,07	46,00	-20,66	37,58	570,94	2.991 (M)	[PC]	H+V
2019	C	-8,96	32,07	54,00	-36,74	41,71	1092,59	2.991 (M)	[PC]	H-V

N°	Forma	C_x	C_y	R	x_v	x_m	V	F_s	Caso	Sisma
		[m]	*[m]*	*[m]*	*[m]*	*[m]*	*[mc]*			
2020	C	-1,46	44,07	53,00	-5,82	41,76	424,58	2.991 (M)	[PC]	H-V
2021	C	0,04	39,57	52,00	-17,56	44,97	649,27	2.991 (M)	[PC]	H-V
2022	C	-10,46	38,07	60,00	-39,75	44,23	1146,70	2.991 (M)	[PC]	H-V
2023	C	1,54	38,07	52,00	-18,58	47,32	779,67	2.991 (M)	[PC]	H+V
2024	C	-1,46	45,57	57,00	-17,25	45,59	598,03	2.991 (M)	[PC]	H+V
2025	C	0,04	33,57	44,00	-12,00	39,14	458,99	2.991 (M)	[PC]	H-V
2026	C	0,04	39,57	55,00	-20,93	48,41	878,24	2.991 (M)	[PC]	H-V
2027	C	1,54	39,57	52,00	-16,93	46,47	683,02	2.991 (M)	[PC]	H+V
2028	C	4,54	33,57	46,00	-13,49	45,88	688,84	2.991 (M)	[PC]	H+V
2029	C	3,04	29,07	42,00	-15,23	42,01	640,19	2.991 (M)	[PC]	H-V
2030	C	-13,46	47,07	68,00	-42,64	45,62	1092,95	2.992 (M)	[PC]	H-V
2031	C	1,54	48,57	58,00	-7,32	47,66	552,92	2.992 (M)	[PC]	H-V
2032	C	1,54	44,07	55,00	-13,79	47,19	616,74	2.992 (M)	[PC]	H+V
2033	C	-2,96	35,07	48,00	-19,09	39,87	570,12	2.992 (M)	[PC]	H-V
2034	C	3,04	29,07	43,00	-16,90	43,08	711,00	2.992 (M)	[PC]	H+V
2035	C	0,04	38,07	50,00	-16,84	43,53	599,36	2.992 (M)	[PC]	H-V
2036	C	-1,46	48,57	62,00	-19,99	49,60	774,55	2.992 (M)	[PC]	H+V
2037	C	1,54	38,07	53,00	-19,74	48,45	857,46	2.992 (M)	[PC]	H+V
2038	C	-8,96	47,07	60,00	-21,27	40,70	539,85	2.992 (M)	[PC]	H+V
2039	C	-1,46	47,07	59,00	-17,98	46,99	646,99	2.992 (M)	[PC]	H+V
2040	C	-1,46	41,07	50,00	-5,70	40,19	402,17	2.992 (M)	[PC]	H+V
2041	C	-10,46	45,57	68,00	-42,61	49,45	1311,27	2.992 (M)	[PC]	H+V
2042	C	3,04	44,07	54,00	-8,19	47,48	583,61	2.992 (M)	[PC]	H-V
2043	C	-5,96	33,57	48,00	-21,46	37,60	585,76	2.992 (M)	[PC]	H-V
2044	C	-11,96	45,57	67,00	-41,96	46,81	1164,77	2.992 (M)	[PC]	H-V
2045	C	-13,46	44,07	66,00	-44,11	44,98	1153,58	2.992 (M)	[PC]	H+V
2046	C	-4,46	30,57	53,00	-32,89	45,68	1239,03	2.992 (M)	[PC]	H+V
2047	C	0,04	44,07	57,00	-18,49	48,09	729,02	2.992 (M)	[PC]	H+V
2048	C	-1,46	41,07	52,00	-16,36	42,57	524,52	2.992 (M)	[PC]	H+V
2049	C	6,04	30,57	42,00	-8,72	44,37	624,33	2.993 (M)	[PC]	H-V
2050	C	-2,96	48,57	62,00	-20,55	48,10	738,24	2.993 (M)	[PC]	H-V
2051	C	1,54	30,57	44,00	-17,26	42,05	659,25	2.993 (M)	[PC]	H-V
2052	C	-16,46	48,57	67,00	-39,64	40,57	787,15	2.993 (M)	[PC]	H+V
2053	C	-11,96	41,07	56,00	-23,89	36,73	544,78	2.993 (M)	[PC]	H-V
2054	C	-11,96	35,07	56,00	-38,45	39,68	963,13	2.993 (M)	[PC]	H-V
2055	C	-1,46	39,57	50,00	-14,31	41,14	478,85	2.993 (M)	[PC]	H+V
2056	C	-7,46	35,07	58,00	-37,97	46,34	1281,77	2.993 (M)	[PC]	H+V
2057	C	-1,46	44,07	57,00	-19,09	46,59	694,13	2.993 (M)	[PC]	H-V
2058	C	0,04	42,57	53,00	-13,20	44,29	537,26	2.993 (M)	[PC]	H-V
2059	C	-11,96	39,57	62,00	-42,56	44,25	1178,84	2.993 (M)	[PC]	H+V
2060	C	-4,46	36,57	59,00	-34,53	49,80	1338,40	2.993 (M)	[PC]	H+V
2061	C	-13,46	41,07	63,00	-43,39	43,14	1109,43	2.993 (M)	[PC]	H+V
2062	C	1,54	29,07	42,00	-16,54	40,51	607,13	2.993 (M)	[PC]	H-V
2063	C	-11,96	35,07	53,00	-31,66	36,41	702,20	2.993 (M)	[PC]	H-V
2064	C	-10,46	32,07	49,00	-27,04	34,84	627,09	2.993 (M)	[PC]	H-V
2065	C	1,54	39,57	54,00	-19,30	48,77	834,54	2.993 (M)	[PC]	H+V
2066	C	-14,96	44,07	61,00	-33,13	37,77	647,03	2.993 (M)	[PC]	H+V
2067	C	1,54	36,57	52,00	-20,16	48,09	880,01	2.993 (M)	[PC]	H+V
2068	C	-14,96	45,57	63,00	-34,88	39,21	705,68	2.993 (M)	[PC]	H-V
2069	C	-7,46	41,07	63,00	-37,60	49,14	1275,23	2.993 (M)	[PC]	H-V
2070	C	0,04	32,07	50,00	-22,22	46,42	988,01	2.993 (M)	[PC]	H-V
2071	C	-1,46	45,57	55,00	-10,08	43,15	464,37	2.993 (M)	[PC]	H-V
2072	C	0,04	39,57	56,00	-21,64	49,55	959,89	2.993 (M)	[PC]	H-V
2073	C	0,04	48,57	58,00	-8,82	46,16	519,66	2.993 (M)	[PC]	H-V
2074	C	-4,46	48,57	61,00	-19,76	45,38	626,66	2.993 (M)	[PC]	H-V
2075	C	1,54	39,57	51,00	-14,77	45,31	611,71	2.993 (M)	[PC]	H-V
2076	C	-13,46	41,07	62,00	-41,30	42,02	1010,13	2.993 (M)	[PC]	H-V
2077	C	-7,46	39,57	53,00	-21,23	38,63	541,72	2.993 (M)	[PC]	H+V
2078	C	0,04	30,57	48,00	-21,76	44,86	926,16	2.993 (M)	[PC]	H-V
2079	C	0,04	33,57	52,00	-22,67	47,97	1050,37	2.993 (M)	[PC]	H-V
2080	C	-10,46	41,07	63,00	-40,49	46,14	1192,08	2.994 (M)	[PC]	H-V
2081	C	0,04	30,57	41,00	-11,58	37,27	430,83	2.994 (M)	[PC]	H+V
2082	C	-5,96	38,07	60,00	-35,40	48,73	1271,02	2.994 (M)	[PC]	H-V
2083	C	-1,46	41,07	53,00	-17,64	43,74	593,71	2.994 (M)	[PC]	H-V
2084	C	-13,46	48,57	63,00	-23,72	38,81	543,04	2.994 (M)	[PC]	H-V
2085	C	-11,96	42,57	65,00	-43,32	46,13	1224,72	2.994 (M)	[PC]	H+V
2086	C	-8,96	38,07	61,00	-40,23	46,83	1289,58	2.994 (M)	[PC]	H+V
2087	C	3,04	30,57	45,00	-17,64	44,64	766,00	2.994 (M)	[PC]	H+V
2088	C	-8,96	35,07	58,00	-39,42	44,84	1239,76	2.994 (M)	[PC]	H+V
2089	C	6,04	32,07	44,00	-10,38	45,88	672,21	2.994 (M)	[PC]	H+V
2090	C	1,54	29,07	43,00	-17,65	41,58	676,95	2.994 (M)	[PC]	H-V
2091	C	-2,96	29,07	51,00	-30,11	45,57	1207,42	2.994 (M)	[PC]	H+V
2092	C	-5,96	42,57	55,00	-20,01	40,67	537,35	2.994 (M)	[PC]	H+V
2093	C	-10,46	35,07	57,00	-38,98	42,26	1099,96	2.994 (M)	[PC]	H-V
2094	C	1,54	32,07	46,00	-17,99	43,58	712,90	2.995 (M)	[PC]	H-V
2095	C	-1,46	33,57	54,00	-26,94	48,63	1184,04	2.995 (M)	[PC]	H-V
2096	C	0,04	36,57	55,00	-23,02	49,92	1091,04	2.995 (M)	[PC]	H-V
2097	C	3,04	36,57	49,00	-15,59	46,22	686,46	2.995 (M)	[PC]	H+V
2098	C	0,04	30,57	40,00	-7,30	36,17	375,43	2.995 (M)	[PC]	H+V

N°	Forma	C_x	C_y	R	x_v	x_m	V	F_s	Caso	Sisma
		[m]	*[m]*	*[m]*	*[m]*	*[m]*	*[mc]*			
2099	C	0,04	29,07	46,00	-21,30	43,29	865,98	2.995 (M)	[PC]	H-V
2100	C	0,04	44,07	56,00	-17,24	46,89	654,75	2.995 (M)	[PC]	H+V
2101	C	-7,46	38,07	61,00	-38,78	48,33	1330,93	2.995 (M)	[PC]	H+V
2102	C	1,54	33,57	48,00	-18,72	45,10	767,44	2.995 (M)	[PC]	H-V
2103	C	-11,96	36,57	58,00	-39,83	41,21	1033,76	2.995 (M)	[PC]	H-V
2104	C	-1,46	47,07	57,00	-13,00	44,53	507,04	2.995 (M)	[PC]	H+V
2105	C	4,54	44,07	54,00	-6,69	48,98	616,79	2.995 (M)	[PC]	H+V
2106	C	-1,46	32,07	45,00	-18,22	39,48	573,08	2.995 (M)	[PC]	H-V
2107	C	-10,46	32,07	48,00	-24,49	33,76	554,82	2.995 (M)	[PC]	H+V
2108	C	-2,96	41,07	53,00	-18,21	42,24	559,22	2.996 (M)	[PC]	H-V
2109	C	-5,96	36,57	50,00	-20,83	38,35	548,35	2.996 (M)	[PC]	H+V
2110	C	-14,96	44,07	63,00	-38,73	40,07	819,98	2.996 (M)	[PC]	H-V
2111	C	-13,46	36,57	57,00	-39,21	38,62	897,85	2.996 (M)	[PC]	H+V
2112	C	-4,46	38,07	51,00	-19,88	40,18	565,16	2.996 (M)	[PC]	H-V
2113	C	-1,46	30,57	51,00	-26,21	46,56	1137,34	2.996 (M)	[PC]	H-V
2114	C	-10,46	33,57	49,00	-23,74	34,20	537,75	2.996 (M)	[PC]	H+V
2115	C	-5,96	48,57	61,00	-20,26	43,88	590,57	2.996 (M)	[PC]	H-V
2116	C	0,04	39,57	53,00	-18,78	46,13	722,75	2.996 (M)	[PC]	H-V
2117	C	-8,96	29,07	46,00	-25,11	34,29	628,83	2.996 (M)	[PC]	H-V
2118	C	1,54	42,57	54,00	-15,26	46,98	638,84	2.996 (M)	[PC]	H+V
2119	C	-13,46	47,07	69,00	-44,81	46,77	1196,52	2.996 (M)	[PC]	H+V
2120	C	-5,96	47,07	59,00	-19,51	42,49	542,02	2.996 (M)	[PC]	H+V
2121	C	-8,96	35,07	50,00	-22,53	36,10	560,07	2.996 (M)	[PC]	H-V
2122	C	1,54	35,07	51,00	-20,57	47,71	902,02	2.996 (M)	[PC]	H+V
2123	C	-13,46	36,57	56,00	-37,00	37,52	807,96	2.996 (M)	[PC]	H+V
2124	C	-11,96	36,57	59,00	-41,79	42,30	1131,48	2.996 (M)	[PC]	H+V
2125	C	4,54	30,57	43,00	-12,87	43,96	656,40	2.997 (M)	[PC]	H-V
2126	C	1,54	35,07	48,00	-17,14	44,37	673,65	2.997 (M)	[PC]	H-V
2127	C	-7,46	32,07	55,00	-37,13	44,27	1230,14	2.997 (M)	[PC]	H+V
2128	C	0,04	41,07	52,00	-14,86	44,07	557,87	2.997 (M)	[PC]	H-V
2129	C	-8,96	41,07	55,00	-21,93	38,57	553,71	2.997 (M)	[PC]	H-V
2130	C	3,04	33,57	46,00	-14,99	44,38	655,54	2.997 (M)	[PC]	H-V
2131	C	-11,96	33,57	51,00	-30,08	34,88	643,35	2.997 (M)	[PC]	H+V
2132	C	0,04	29,07	49,00	-23,94	46,47	1111,75	2.997 (M)	[PC]	H+V
2133	C	-1,46	33,57	55,00	-28,93	49,71	1276,20	2.997 (M)	[PC]	H+V
2134	C	-7,46	29,07	51,00	-34,47	41,07	1083,72	2.997 (M)	[PC]	H-V
2135	C	1,54	33,57	47,00	-17,57	43,99	693,53	2.997 (M)	[PC]	H-V
2136	C	-11,96	35,07	51,00	-25,80	34,21	549,75	2.997 (M)	[PC]	H+V
2137	C	0,04	41,07	56,00	-20,65	48,73	854,67	2.997 (M)	[PC]	H-V
2138	C	-1,46	38,07	49,00	-15,91	40,88	498,07	2.997 (M)	[PC]	H+V
2139	C	1,54	29,07	44,00	-18,76	42,66	749,51	2.998 (M)	[PC]	H-V
2140	C	0,04	41,07	57,00	-21,36	49,87	935,91	2.998 (M)	[PC]	H-V
2141	C	-1,46	38,07	48,00	-12,04	39,72	435,25	2.998 (M)	[PC]	H+V
2142	C	-1,46	48,57	61,00	-18,70	48,38	697,12	2.998 (M)	[PC]	H+V
2143	C	-5,96	45,57	58,00	-20,14	42,30	564,39	2.998 (M)	[PC]	H-V
2144	C	-10,46	48,57	62,00	-21,91	40,60	550,62	2.998 (M)	[PC]	H-V
2145	C	-1,46	33,57	46,00	-17,74	39,88	554,94	2.998 (M)	[PC]	H-V
2146	C	-5,96	29,07	51,00	-33,02	42,57	1124,75	2.998 (M)	[PC]	H-V
2147	C	-14,96	45,57	67,00	-44,84	43,81	1082,00	2.998 (M)	[PC]	H+V
2148	C	4,54	39,57	50,00	-8,31	47,14	611,66	2.998 (M)	[PC]	H-V
2149	C	-14,96	48,57	69,00	-43,25	44,40	1021,00	2.998 (M)	[PC]	H-V
2150	C	-5,96	35,07	58,00	-36,51	47,84	1322,86	2.999 (M)	[PC]	H+V
2151	C	-8,96	41,07	64,00	-41,02	48,75	1337,32	2.999 (M)	[PC]	H+V
2152	C	-8,96	44,07	66,00	-39,77	49,48	1278,32	2.999 (M)	[PC]	H-V
2153	C	-14,96	44,07	64,00	-41,16	41,21	912,89	2.999 (M)	[PC]	H-V
2154	C	-1,46	30,57	44,00	-18,67	39,05	590,40	2.999 (M)	[PC]	H-V
2155	C	3,04	47,07	57,00	-8,50	49,03	606,74	2.999 (M)	[PC]	H+V
2156	C	-13,46	39,57	57,00	-32,52	37,18	676,83	2.999 (M)	[PC]	H-V
2157	C	-1,46	30,57	52,00	-28,14	47,62	1227,30	2.999 (M)	[PC]	H+V
2158	C	-8,96	42,57	56,00	-21,57	38,84	533,29	2.999 (M)	[PC]	H+V
2159	C	-11,96	45,57	68,00	-44,05	47,95	1269,32	2.999 (M)	[PC]	H+V
2160	C	-10,46	44,07	58,00	-22,24	38,77	544,28	2.999 (M)	[PC]	H-V
2161	C	-2,96	44,07	56,00	-18,37	43,89	586,37	2.999 (M)	[PC]	H-V
2162	C	1,54	33,57	50,00	-20,82	47,29	923,46	3.000 (M)	[PC]	H+V
2163	C	-7,46	38,07	52,00	-21,57	38,32	561,46	3.000 (M)	[PC]	H-V
2164	C	-14,96	41,07	61,00	-40,53	39,40	873,14	3.000 (M)	[PC]	H+V
2165	C	-2,96	48,57	60,00	-17,91	45,65	589,02	3.000 (M)	[PC]	H+V
2166	C	-10,46	44,07	66,00	-41,22	47,98	1236,90	3.000 (M)	[PC]	H-V
2167	C	-5,96	32,07	55,00	-35,67	45,77	1272,14	3.000 (M)	[PC]	H+V
2168	C	1,54	39,57	53,00	-18,12	47,63	757,32	3.000 (M)	[PC]	H+V
2169	C	-4,46	33,57	47,00	-20,22	37,99	552,95	3.000 (M)	[PC]	H+V
2170	C	-1,46	39,57	49,00	-9,59	39,97	418,30	3.000 (M)	[PC]	H+V
2171	C	-10,46	38,07	61,00	-41,68	45,33	1247,50	3.000 (M)	[PC]	H+V
2172	C	1,54	36,57	49,00	-16,68	44,72	653,31	3.000 (M)	[PC]	H-V
2173	C	-14,96	48,57	70,00	-45,51	45,56	1123,34	3.000 (M)	[PC]	H+V
2174	C	0,04	30,57	49,00	-22,45	45,93	1008,07	3.000 (M)	[PC]	H-V
2175	C	-7,46	30,57	46,00	-22,42	35,22	581,68	3.000 (M)	[PC]	H-V
2176	C	1,54	30,57	47,00	-20,58	45,29	884,20	3.000 (M)	[PC]	H+V
2177	C	0,04	32,07	43,00	-13,48	38,78	475,24	3.001 (M)	[PC]	H-V

N°	Forma	C_x	C_y	R	x_v	x_m	V	F_s	Caso	Sisma
		[m]	*[m]*	*[m]*	*[m]*	*[m]*	*[mc]*			
2178	C	-1,46	29,07	43,00	-19,10	38,58	607,47	3.001 (M)	[PC]	H-V
2179	C	-4,46	41,07	53,00	-18,75	40,74	524,49	3.001 (M)	[PC]	H+V
2180	C	3,04	32,07	46,00	-17,26	45,08	746,90	3.001 (M)	[PC]	H+V
2181	C	-8,96	32,07	55,00	-38,58	42,77	1189,15	3.001 (M)	[PC]	H+V
2182	C	-10,46	30,57	50,00	-32,81	36,50	804,52	3.001 (M)	[PC]	H-V
2183	C	1,54	41,07	53,00	-16,44	46,74	660,93	3.001 (M)	[PC]	H+V
2184	C	-13,46	38,07	55,00	-30,83	35,70	618,86	3.001 (M)	[PC]	H+V
2185	C	-2,96	36,57	49,00	-18,57	40,22	550,90	3.001 (M)	[PC]	H-V
2186	C	1,54	32,07	47,00	-19,11	44,67	787,31	3.001 (M)	[PC]	H-V
2187	C	-1,46	44,07	55,00	-16,52	44,19	550,30	3.001 (M)	[PC]	H+V
2188	C	0,04	35,07	54,00	-23,51	49,50	1113,85	3.001 (M)	[PC]	H-V
2189	C	-7,46	33,57	48,00	-21,80	36,10	547,46	3.001 (M)	[PC]	H+V
2190	C	0,04	30,57	43,00	-16,82	39,46	556,80	3.001 (M)	[PC]	H-V
2191	C	-11,96	48,57	70,00	-42,63	48,56	1206,74	3.001 (M)	[PC]	H-V
2192	C	3,04	35,07	48,00	-16,45	45,87	707,03	3.001 (M)	[PC]	H+V
2193	C	0,04	39,57	51,00	-16,27	43,81	578,64	3.001 (M)	[PC]	H-V
2194	C	4,54	32,07	45,00	-14,40	45,48	707,47	3.001 (M)	[PC]	H+V
2195	C	-7,46	29,07	45,00	-22,72	34,72	597,88	3.001 (M)	[PC]	H-V
2196	C	6,04	29,07	41,00	-9,79	43,93	640,38	3.001 (M)	[PC]	H-V
2197	C	-4,46	45,57	57,00	-18,28	42,59	529,46	3.002 (M)	[PC]	H+V
2198	C	-1,46	45,57	59,00	-19,81	48,00	746,28	3.002 (M)	[PC]	H-V
2199	C	0,04	41,07	53,00	-17,05	45,24	627,56	3.002 (M)	[PC]	H-V
2200	C	0,04	30,57	51,00	-24,84	48,06	1178,78	3.002 (M)	[PC]	H+V
2201	C	0,04	32,07	42,00	-9,85	37,66	416,16	3.002 (M)	[PC]	H-V
2202	C	-4,46	32,07	54,00	-32,39	46,21	1216,59	3.002 (M)	[PC]	H-V
2203	C	-13,46	41,07	57,00	-27,94	36,37	576,53	3.002 (M)	[PC]	H-V
2204	C	-10,46	41,07	64,00	-42,47	47,25	1295,16	3.002 (M)	[PC]	H+V
2205	C	3,04	42,57	53,00	-10,20	47,29	603,70	3.002 (M)	[PC]	H-V
2206	C	-1,46	39,57	51,00	-16,91	42,31	545,13	3.002 (M)	[PC]	H-V
2207	C	1,54	38,07	50,00	-16,01	45,03	632,60	3.002 (M)	[PC]	H-V
2208	C	-5,96	35,07	49,00	-21,15	37,99	567,31	3.002 (M)	[PC]	H-V
2209	C	0,04	32,07	51,00	-23,09	47,50	1071,47	3.002 (M)	[PC]	H-V
2210	C	0,04	32,07	44,00	-16,37	39,88	539,37	3.002 (M)	[PC]	H-V
2211	C	0,04	42,57	57,00	-20,22	49,01	830,69	3.002 (M)	[PC]	H-V
2212	C	0,04	41,07	54,00	-18,28	46,41	700,39	3.002 (M)	[PC]	H-V
2213	C	0,04	41,07	55,00	-19,50	47,57	775,98	3.002 (M)	[PC]	H-V
2214	C	-2,96	33,57	55,00	-30,38	48,21	1234,65	3.002 (M)	[PC]	H-V
2215	C	-13,46	38,07	58,00	-38,45	39,03	873,38	3.002 (M)	[PC]	H-V
2216	C	4,54	38,07	49,00	-9,91	46,88	630,93	3.002 (M)	[PC]	H-V
2217	C	3,04	33,57	47,00	-16,87	45,49	727,23	3.003 (M)	[PC]	H+V
2218	C	-10,46	29,07	49,00	-33,51	35,97	823,94	3.003 (M)	[PC]	H+V
2219	C	-2,96	39,57	51,00	-17,48	40,81	511,41	3.003 (M)	[PC]	H+V
2220	C	-5,96	38,07	61,00	-37,33	49,83	1372,02	3.003 (M)	[PC]	H+V
2221	C	-2,96	48,57	61,00	-19,24	46,88	662,07	3.003 (M)	[PC]	H-V
2222	C	-16,46	47,07	67,00	-43,20	41,47	910,35	3.003 (M)	[PC]	H+V
2223	C	6,04	30,57	43,00	-11,37	45,46	689,70	3.003 (M)	[PC]	H+V
2224	C	-4,46	35,07	57,00	-33,18	48,26	1265,30	3.003 (M)	[PC]	H-V
2225	C	0,04	29,07	47,00	-21,99	44,35	945,17	3.003 (M)	[PC]	H-V
2226	C	-1,46	44,07	56,00	-17,81	45,39	620,80	3.003 (M)	[PC]	H-V
2227	C	-10,46	35,07	58,00	-40,87	43,34	1198,46	3.003 (M)	[PC]	H+V
2228	C	-14,96	45,57	66,00	-42,62	42,67	981,68	3.003 (M)	[PC]	H-V
2229	C	-4,46	48,57	60,00	-18,40	44,15	554,52	3.003 (M)	[PC]	H+V
2230	C	4,54	42,57	53,00	-8,70	48,79	637,01	3.003 (M)	[PC]	H+V
2231	C	0,04	29,07	41,00	-15,79	37,93	507,29	3.003 (M)	[PC]	H+V
2232	C	-5,96	41,07	54,00	-20,60	40,41	558,36	3.003 (M)	[PC]	H-V
2233	C	-10,46	30,57	51,00	-34,89	37,56	890,27	3.003 (M)	[PC]	H-V
2234	C	-13,46	36,57	58,00	-41,27	39,71	991,93	3.004 (M)	[PC]	H+V
2235	C	-2,96	30,57	52,00	-29,59	46,12	1186,47	3.004 (M)	[PC]	H-V
2236	C	6,04	38,07	48,00	-4,54	47,22	601,36	3.004 (M)	[PC]	H-V
2237	C	0,04	29,07	39,00	-9,48	35,75	388,14	3.004 (M)	[PC]	H+V
2238	C	-16,46	47,07	66,00	-40,71	40,31	815,43	3.004 (M)	[PC]	H+V
2239	C	-7,46	32,07	47,00	-22,11	35,67	564,86	3.004 (M)	[PC]	H-V
2240	C	1,54	36,57	53,00	-21,03	49,21	961,20	3.004 (M)	[PC]	H+V
2241	C	-14,96	41,07	62,00	-42,75	40,52	968,29	3.004 (M)	[PC]	H+V
2242	C	-14,96	44,07	62,00	-36,08	38,92	731,24	3.004 (M)	[PC]	H-V
2243	C	-7,46	36,57	59,00	-37,43	46,80	1255,96	3.004 (M)	[PC]	H-V
2244	C	7,54	33,57	44,00	-4,50	46,64	625,08	3.004 (M)	[PC]	H+V
2245	C	-14,96	42,57	60,00	-34,41	37,47	671,18	3.004 (M)	[PC]	H+V
2246	C	-10,46	30,57	47,00	-25,36	33,29	571,13	3.004 (M)	[PC]	H+V
2247	C	-8,96	36,57	59,00	-38,89	45,30	1214,15	3.004 (M)	[PC]	H-V
2248	C	-13,46	38,07	60,00	-42,65	41,23	1063,40	3.004 (M)	[PC]	H+V
2249	C	-13,46	38,07	57,00	-36,14	37,92	784,45	3.004 (M)	[PC]	H-V
2250	C	-11,96	41,07	63,00	-41,94	44,64	1150,69	3.004 (M)	[PC]	H-V
2251	C	1,54	38,07	54,00	-20,77	49,58	938,22	3.005 (M)	[PC]	H+V
2252	C	-1,46	45,57	56,00	-15,07	44,38	528,47	3.005 (M)	[PC]	H+V
2253	C	3,04	33,57	48,00	-17,99	46,60	801,96	3.005 (M)	[PC]	H+V
2254	C	0,04	45,57	59,00	-19,21	49,50	781,98	3.005 (M)	[PC]	H+V
2255	C	3,04	29,07	44,00	-17,99	44,16	784,46	3.005 (M)	[PC]	H+V
2256	C	-7,46	33,57	56,00	-36,63	44,78	1206,52	3.005 (M)	[PC]	H-V

N°	Forma	C_x	C_y	R	x_v	x_m	V	F_s	Caso	Sisma
		[m]	*[m]*	*[m]*	*[m]*	*[m]*	*[mc]*			
2257	C	-14,96	41,07	60,00	-38,16	38,28	782,23	3.005 (M)	[PC]	H+V
2258	C	-13,46	42,57	64,00	-42,71	43,51	1081,03	3.005 (M)	[PC]	H-V
2259	C	0,04	45,57	58,00	-17,96	48,30	705,39	3.005 (M)	[PC]	H+V
2260	C	1,54	32,07	49,00	-21,05	46,84	944,27	3.005 (M)	[PC]	H+V
2261	C	-4,46	29,07	44,00	-21,23	36,66	605,21	3.005 (M)	[PC]	H-V
2262	C	-1,46	44,07	54,00	-12,69	42,98	483,92	3.005 (M)	[PC]	H-V
2263	C	-11,96	35,07	52,00	-28,94	35,31	623,75	3.005 (M)	[PC]	H-V
2264	C	-13,46	36,57	55,00	-34,63	36,42	721,87	3.005 (M)	[PC]	H+V
2265	C	-13,46	45,57	60,00	-23,63	37,19	514,42	3.005 (M)	[PC]	H+V
2266	C	-16,46	48,57	69,00	-44,68	42,90	979,46	3.005 (M)	[PC]	H+V
2267	C	1,54	41,07	54,00	-17,65	47,91	734,60	3.005 (M)	[PC]	H+V
2268	C	-11,96	38,07	60,00	-41,20	42,73	1105,33	3.005 (M)	[PC]	H-V
2269	C	-13,46	42,57	58,00	-26,16	36,67	555,58	3.005 (M)	[PC]	H-V
2270	C	1,54	35,07	52,00	-21,27	48,81	983,61	3.005 (M)	[PC]	H+V
2271	C	-11,96	32,07	52,00	-35,66	36,57	828,31	3.006 (M)	[PC]	H+V
2272	C	-2,96	32,07	45,00	-18,87	37,98	538,08	3.006 (M)	[PC]	H+V
2273	C	-1,46	35,07	47,00	-17,25	40,25	536,35	3.006 (M)	[PC]	H-V
2274	C	0,04	29,07	42,00	-17,25	39,01	573,35	3.006 (M)	[PC]	H-V
2275	C	4,54	41,07	52,00	-10,36	48,57	657,40	3.006 (M)	[PC]	H+V
2276	C	-1,46	45,57	58,00	-18,54	46,80	670,71	3.006 (M)	[PC]	H-V
2277	C	1,54	47,07	57,00	-10,00	47,53	573,48	3.006 (M)	[PC]	H-V
2278	C	-1,46	47,07	61,00	-20,53	49,41	799,73	3.006 (M)	[PC]	H-V
2279	C	1,54	35,07	49,00	-18,30	45,49	747,02	3.006 (M)	[PC]	H-V
2280	C	-10,46	45,57	59,00	-21,87	39,00	523,30	3.006 (M)	[PC]	H+V
2281	C	1,54	39,57	55,00	-20,46	49,91	915,05	3.006 (M)	[PC]	H+V
2282	C	-10,46	29,07	50,00	-35,50	37,02	910,46	3.006 (M)	[PC]	H+V
2283	C	-4,46	44,07	56,00	-18,89	42,39	551,33	3.006 (M)	[PC]	H-V
2284	C	3,04	41,07	52,00	-11,86	47,07	624,31	3.006 (M)	[PC]	H-V
2285	C	0,04	47,07	57,00	-11,50	46,03	540,30	3.007 (M)	[PC]	H-V
2286	C	4,54	36,57	48,00	-11,27	46,58	650,27	3.007 (M)	[PC]	H-V
2287	C	6,04	41,07	51,00	-4,87	48,88	626,04	3.007 (M)	[PC]	H+V
2288	C	-13,46	45,57	67,00	-43,40	45,31	1123,51	3.007 (M)	[PC]	H-V
2289	C	-14,96	42,57	64,00	-44,15	42,01	1038,91	3.007 (M)	[PC]	H+V
2290	C	-10,46	30,57	49,00	-30,57	35,43	722,67	3.007 (M)	[PC]	H-V
2291	C	-2,96	29,07	43,00	-19,80	37,08	572,15	3.007 (M)	[PC]	H+V
2292	C	-8,96	39,57	62,00	-39,66	47,25	1262,09	3.007 (M)	[PC]	H-V
2293	C	-7,46	29,07	52,00	-36,26	42,12	1177,59	3.007 (M)	[PC]	H+V
2294	C	-2,96	30,57	44,00	-19,34	37,55	555,40	3.007 (M)	[PC]	H+V
2295	C	-4,46	35,07	48,00	-19,70	38,37	534,52	3.007 (M)	[PC]	H+V
2296	C	-8,96	33,57	56,00	-38,08	43,28	1165,51	3.007 (M)	[PC]	H-V
2297	C	-11,96	48,57	71,00	-44,77	49,72	1313,45	3.007 (M)	[PC]	H+V
2298	C	-2,96	44,07	55,00	-17,04	42,69	516,69	3.008 (M)	[PC]	H+V
2299	C	-16,46	48,57	66,00	-36,75	39,39	698,02	3.008 (M)	[PC]	H+V
2300	C	-11,96	33,57	53,00	-34,92	37,05	806,99	3.008 (M)	[PC]	H-V
2301	C	-11,96	47,07	61,00	-22,50	38,91	533,40	3.008 (M)	[PC]	H-V
2302	C	-4,46	29,07	51,00	-31,56	44,07	1166,42	3.008 (M)	[PC]	H-V
2303	C	3,04	45,57	56,00	-10,57	48,88	628,17	3.008 (M)	[PC]	H+V
2304	C	-10,46	44,07	67,00	-43,24	49,11	1342,24	3.008 (M)	[PC]	H+V
2305	C	0,04	45,57	57,00	-16,69	47,09	631,59	3.008 (M)	[PC]	H+V
2306	C	1,54	36,57	51,00	-19,02	46,97	801,59	3.008 (M)	[PC]	H-V
2307	C	-11,96	44,07	66,00	-42,66	46,48	1194,83	3.008 (M)	[PC]	H-V
2308	C	-10,46	29,07	48,00	-31,39	34,91	740,52	3.008 (M)	[PC]	H+V
2309	C	-2,96	47,07	59,00	-18,51	45,49	612,44	3.008 (M)	[PC]	H-V
2310	C	3,04	32,07	45,00	-15,90	43,98	674,45	3.008 (M)	[PC]	H-V
2311	C	-11,96	32,07	53,00	-37,71	37,64	917,20	3.008 (M)	[PC]	H+V
2312	C	-1,46	48,57	60,00	-17,39	47,15	623,08	3.008 (M)	[PC]	H+V
2313	C	-5,96	29,07	52,00	-34,81	43,62	1218,68	3.008 (M)	[PC]	H+V
2314	C	-14,96	48,57	64,00	-28,12	38,51	575,66	3.008 (M)	[PC]	H-V
2315	C	6,04	36,57	47,00	-6,41	46,93	618,94	3.009 (M)	[PC]	H-V
2316	C	-4,46	47,07	59,00	-19,02	43,99	577,51	3.009 (M)	[PC]	H-V
2317	C	4,54	39,57	51,00	-11,77	48,31	678,15	3.009 (M)	[PC]	H+V
2318	C	-1,46	48,57	58,00	-10,32	44,66	486,48	3.009 (M)	[PC]	H-V
2319	C	-1,46	42,57	54,00	-17,09	43,98	572,13	3.009 (M)	[PC]	H-V
2320	C	1,54	41,07	55,00	-18,84	49,07	811,49	3.009 (M)	[PC]	H+V
2321	C	-7,46	44,07	57,00	-20,96	40,59	549,88	3.009 (M)	[PC]	H-V
2322	C	-4,46	39,57	52,00	-19,33	40,47	544,95	3.009 (M)	[PC]	H-V
2323	C	0,04	29,07	40,00	-12,98	36,84	445,38	3.009 (M)	[PC]	H+V
2324	C	-2,96	33,57	56,00	-32,27	49,28	1330,56	3.009 (M)	[PC]	H+V
2325	C	1,54	33,57	51,00	-21,51	48,38	1005,40	3.009 (M)	[PC]	H+V
2326	C	-1,46	36,57	47,00	-13,91	39,43	452,82	3.009 (M)	[PC]	H+V
2327	C	-11,96	33,57	54,00	-37,06	38,13	895,03	3.009 (M)	[PC]	H-V
2328	C	-7,46	39,57	62,00	-38,21	48,75	1303,42	3.009 (M)	[PC]	H-V
2329	C	-8,96	30,57	46,00	-22,81	33,72	542,11	3.009 (M)	[PC]	H+V
2330	C	0,04	32,07	41,00	-3,80	36,54	363,17	3.010 (M)	[PC]	H-V
2331	C	-5,96	33,57	56,00	-35,18	46,28	1248,49	3.010 (M)	[PC]	H-V
2332	C	4,54	29,07	42,00	-13,73	43,51	673,54	3.010 (M)	[PC]	H-V
2333	C	-13,46	38,07	59,00	-40,61	40,13	966,43	3.010 (M)	[PC]	H-V
2334	C	-10,46	30,57	53,00	-38,71	39,68	1073,01	3.010 (M)	[PC]	H+V
2335	C	1,54	30,57	46,00	-19,49	44,22	806,60	3.010 (M)	[PC]	H-V

N°	Forma	C_x	C_y	R	x_v	x_m	V	F_s	Caso	Sisma
		[m]	*[m]*	*[m]*	*[m]*	*[m]*	*[mc]*			
2336	C	-11,96	36,57	52,00	-24,60	34,59	531,51	3.010 (M)	[PC]	H+V
2337	C	-5,96	29,07	44,00	-21,63	35,16	567,24	3.010 (M)	[PC]	H+V
2338	C	-10,46	47,07	69,00	-41,92	49,77	1279,92	3.010 (M)	[PC]	H-V
2339	C	0,04	33,57	53,00	-23,98	49,05	1136,12	3.010 (M)	[PC]	H-V
2340	C	-13,46	42,57	65,00	-44,76	44,63	1183,25	3.010 (M)	[PC]	H+V
2341	C	-11,96	32,07	51,00	-33,48	35,50	743,45	3.010 (M)	[PC]	H+V
2342	C	1,54	35,07	50,00	-19,44	46,60	823,04	3.010 (M)	[PC]	H-V
2343	C	-1,46	30,57	43,00	-17,50	37,96	522,87	3.010 (M)	[PC]	H+V
2344	C	7,54	30,57	41,00	-4,08	44,77	596,89	3.010 (M)	[PC]	H-V
2345	C	-2,96	33,57	46,00	-18,37	38,38	520,32	3.011 (M)	[PC]	H+V
2346	C	1,54	29,07	46,00	-20,81	44,79	903,29	3.011 (M)	[PC]	H+V
2347	C	6,04	39,57	50,00	-6,81	48,64	644,99	3.011 (M)	[PC]	H+V
2348	C	7,54	32,07	43,00	-5,98	46,28	641,34	3.011 (M)	[PC]	H+V
2349	C	-2,96	30,57	53,00	-31,44	47,18	1279,95	3.011 (M)	[PC]	H+V
2350	C	-14,96	45,57	62,00	-31,68	38,04	622,88	3.011 (M)	[PC]	H-V
2351	C	3,04	32,07	47,00	-18,37	46,17	822,13	3.011 (M)	[PC]	H+V
2352	C	3,04	39,57	51,00	-13,27	46,81	645,07	3.011 (M)	[PC]	H-V
2353	C	0,04	48,57	59,00	-13,94	47,41	585,32	3.011 (M)	[PC]	H+V
2354	C	-1,46	41,07	51,00	-12,37	41,38	460,05	3.011 (M)	[PC]	H-V
2355	C	0,04	29,07	48,00	-22,68	45,41	1026,83	3.011 (M)	[PC]	H-V
2356	C	-14,96	42,57	62,00	-39,67	39,75	846,69	3.011 (M)	[PC]	H-V
2357	C	-7,46	30,57	53,00	-35,80	42,68	1156,05	3.011 (M)	[PC]	H-V
2358	C	3,04	44,07	55,00	-12,29	48,69	649,90	3.011 (M)	[PC]	H+V
2359	C	-4,46	35,07	58,00	-35,06	49,34	1364,05	3.011 (M)	[PC]	H+V
2360	C	-4,46	32,07	55,00	-34,22	47,27	1313,30	3.011 (M)	[PC]	H+V
2361	C	-5,96	36,57	59,00	-35,98	48,30	1297,23	3.011 (M)	[PC]	H-V
2362	C	-10,46	32,07	54,00	-38,19	40,21	1050,74	3.011 (M)	[PC]	H-V
2363	C	-10,46	36,57	59,00	-40,34	43,80	1172,87	3.012 (M)	[PC]	H-V
2364	C	-1,46	32,07	53,00	-27,57	48,14	1206,33	3.012 (M)	[PC]	H-V
2365	C	-10,46	41,07	55,00	-22,18	37,07	514,95	3.012 (M)	[PC]	H+V
2366	C	-10,46	39,57	62,00	-41,11	45,75	1220,04	3.012 (M)	[PC]	H-V
2367	C	-10,46	39,57	54,00	-22,54	36,77	534,16	3.012 (M)	[PC]	H-V
2368	C	-13,46	45,57	68,00	-45,50	46,45	1227,84	3.012 (M)	[PC]	H+V
2369	C	-11,96	41,07	64,00	-43,92	45,75	1253,97	3.012 (M)	[PC]	H+V
2370	C	1,54	36,57	50,00	-17,86	45,85	726,11	3.012 (M)	[PC]	H-V
2371	C	6,04	35,07	46,00	-7,95	46,62	636,57	3.012 (M)	[PC]	H-V
2372	C	0,04	42,57	55,00	-17,77	46,67	677,71	3.012 (M)	[PC]	H-V
2373	C	-8,96	36,57	51,00	-22,20	36,47	541,78	3.012 (M)	[PC]	H-V
2374	C	-2,96	42,57	54,00	-17,63	42,48	538,06	3.013 (M)	[PC]	H-V
2375	C	-13,46	39,57	62,00	-44,01	42,75	1137,39	3.013 (M)	[PC]	H+V
2376	C	-13,46	44,07	59,00	-24,59	36,94	534,88	3.013 (M)	[PC]	H-V
2377	C	6,04	38,07	49,00	-8,41	48,38	664,21	3.013 (M)	[PC]	H+V
2378	C	-13,46	48,57	70,00	-44,07	47,06	1164,86	3.013 (M)	[PC]	H-V
2379	C	1,54	30,57	48,00	-21,28	46,36	964,39	3.013 (M)	[PC]	H+V
2380	C	0,04	30,57	42,00	-14,72	38,37	491,51	3.013 (M)	[PC]	H-V
2381	C	-8,96	38,07	52,00	-21,86	36,82	523,29	3.013 (M)	[PC]	H+V
2382	C	-1,46	32,07	44,00	-17,02	38,38	505,79	3.013 (M)	[PC]	H+V
2383	C	-14,96	47,07	68,00	-44,08	44,12	1051,64	3.013 (M)	[PC]	H-V
2384	C	-1,46	29,07	42,00	-17,95	37,51	539,42	3.013 (M)	[PC]	H+V
2385	C	-13,46	39,57	61,00	-42,00	41,64	1036,74	3.013 (M)	[PC]	H-V
2386	C	-10,46	32,07	55,00	-40,04	41,27	1147,86	3.013 (M)	[PC]	H+V
2387	C	-8,96	29,07	51,00	-35,92	39,57	1041,73	3.013 (M)	[PC]	H-V
2388	C	1,54	35,07	53,00	-21,97	49,91	1067,52	3.013 (M)	[PC]	H+V
2389	C	-11,96	38,07	61,00	-43,13	43,83	1206,31	3.013 (M)	[PC]	H+V
2390	C	-1,46	47,07	60,00	-19,27	48,20	721,78	3.013 (M)	[PC]	H-V
2391	C	-1,46	47,07	58,00	-16,66	45,77	575,06	3.014 (M)	[PC]	H+V
2392	C	-1,46	42,57	52,00	-9,84	41,59	441,72	3.014 (M)	[PC]	H-V
2393	C	-5,96	30,57	53,00	-34,35	44,18	1197,13	3.014 (M)	[PC]	H-V
2394	C	-8,96	42,57	65,00	-40,42	49,13	1308,05	3.014 (M)	[PC]	H-V
2395	C	-14,96	47,07	62,00	-25,59	37,10	523,71	3.014 (M)	[PC]	H+V
2396	C	-5,96	38,07	51,00	-20,45	38,68	528,95	3.014 (M)	[PC]	H+V
2397	C	3,04	42,57	54,00	-13,76	48,48	672,01	3.014 (M)	[PC]	H+V
2398	C	-11,96	33,57	52,00	-32,61	35,97	723,05	3.014 (M)	[PC]	H-V
2399	C	4,54	45,57	55,00	-4,08	49,15	597,35	3.014 (M)	[PC]	H-V
2400	C	0,04	30,57	50,00	-23,53	47,00	1091,95	3.014 (M)	[PC]	H-V
2401	C	1,54	33,57	49,00	-19,84	46,20	844,04	3.014 (M)	[PC]	H-V
2402	C	0,04	42,57	56,00	-19,00	47,84	752,66	3.014 (M)	[PC]	H-V
2403	C	-2,96	38,07	50,00	-18,04	40,53	531,31	3.014 (M)	[PC]	H-V
2404	C	-13,46	39,57	56,00	-29,48	36,05	597,69	3.014 (M)	[PC]	H-V
2405	C	4,54	35,07	47,00	-12,45	46,25	669,66	3.014 (M)	[PC]	H-V
2406	C	-7,46	45,57	58,00	-20,61	40,80	528,21	3.015 (M)	[PC]	H+V
2407	C	4,54	38,07	50,00	-13,01	48,03	699,03	3.015 (M)	[PC]	H+V
2408	C	-7,46	36,57	60,00	-39,30	47,89	1357,86	3.015 (M)	[PC]	H+V
2409	C	-2,96	47,07	58,00	-17,17	44,27	541,52	3.015 (M)	[PC]	H+V
2410	C	-11,96	33,57	50,00	-27,22	33,79	567,61	3.015 (M)	[PC]	H+V
2411	C	3,04	35,07	49,00	-17,59	46,99	781,23	3.015 (M)	[PC]	H+V
2412	C	-11,96	33,57	56,00	-40,99	40,28	1082,13	3.015 (M)	[PC]	H+V
2413	C	1,54	42,57	55,00	-17,16	48,17	711,87	3.015 (M)	[PC]	H+V
2414	C	-8,96	36,57	60,00	-40,75	46,39	1315,73	3.015 (M)	[PC]	H+V

N°	Forma	C_x	C_y	R	x_v	x_m	V	F_s	Caso	Sisma
		[m]	*[m]*	*[m]*	*[m]*	*[m]*	*[mc]*			
2415	C	1,54	38,07	51,00	-17,40	46,18	704,76	3.015 (M)	[PC]	H-V
2416	C	-13,46	38,07	56,00	-33,63	36,81	699,45	3.015 (M)	[PC]	H-V
2417	C	0,04	32,07	53,00	-26,12	49,64	1247,23	3.015 (M)	[PC]	H+V
2418	C	0,04	42,57	54,00	-16,52	45,48	605,56	3.015 (M)	[PC]	H-V
2419	C	0,04	47,07	60,00	-18,69	49,70	757,12	3.015 (M)	[PC]	H+V
2420	C	0,04	45,57	56,00	-13,57	45,88	561,74	3.015 (M)	[PC]	H-V
2421	C	-10,46	30,57	52,00	-36,85	38,62	979,93	3.015 (M)	[PC]	H-V
2422	C	-1,46	42,57	53,00	-14,70	42,79	504,15	3.015 (M)	[PC]	H-V
2423	C	-11,96	42,57	57,00	-22,99	37,01	525,09	3.015 (M)	[PC]	H-V
2424	C	-7,46	33,57	57,00	-38,45	45,85	1305,93	3.015 (M)	[PC]	H+V
2425	C	1,54	32,07	50,00	-21,74	47,92	1026,53	3.015 (M)	[PC]	H+V
2426	C	-14,96	42,57	63,00	-41,98	40,88	940,82	3.015 (M)	[PC]	H-V
2427	C	4,54	30,57	44,00	-15,21	45,05	726,10	3.015 (M)	[PC]	H+V
2428	C	-11,96	47,07	69,00	-43,37	48,27	1238,61	3.015 (M)	[PC]	H-V
2429	C	-11,96	44,07	67,00	-44,69	47,61	1300,27	3.015 (M)	[PC]	H+V
2430	C	-1,46	32,07	54,00	-29,48	49,21	1299,33	3.015 (M)	[PC]	H+V
2431	C	-14,96	44,07	66,00	-45,55	43,48	1112,04	3.016 (M)	[PC]	H+V
2432	C	-1,46	36,57	48,00	-16,73	40,58	517,36	3.016 (M)	[PC]	H-V
2433	C	-14,96	47,07	69,00	-46,25	45,27	1154,97	3.016 (M)	[PC]	H+V
2434	C	7,54	30,57	42,00	-7,22	45,87	657,40	3.016 (M)	[PC]	H+V
2435	C	-8,96	29,07	52,00	-37,72	40,62	1135,60	3.016 (M)	[PC]	H+V
2436	C	-8,96	29,07	45,00	-23,50	33,22	557,51	3.016 (M)	[PC]	H+V
2437	C	3,04	48,57	58,00	-5,82	49,16	586,09	3.016 (M)	[PC]	H-V
2438	C	0,04	47,07	58,00	-15,71	47,27	608,36	3.016 (M)	[PC]	H+V
2439	C	-10,46	42,57	65,00	-41,87	47,63	1266,61	3.016 (M)	[PC]	H-V
2440	C	6,04	29,07	42,00	-12,23	45,01	706,62	3.016 (M)	[PC]	H+V
2441	C	-7,46	48,57	61,00	-20,67	42,38	554,35	3.016 (M)	[PC]	H-V
2442	C	-16,46	47,07	65,00	-37,99	39,14	724,84	3.016 (M)	[PC]	H+V
2443	C	-1,46	29,07	50,00	-26,80	46,02	1157,61	3.016 (M)	[PC]	H-V
2444	C	-1,46	35,07	46,00	-15,45	39,12	470,63	3.016 (M)	[PC]	H+V
2445	C	-8,96	39,57	63,00	-41,57	48,35	1366,09	3.017 (M)	[PC]	H+V
2446	C	1,54	45,57	56,00	-12,07	47,38	594,91	3.017 (M)	[PC]	H-V
2447	C	-10,46	29,07	47,00	-29,09	33,85	662,08	3.017 (M)	[PC]	H+V
2448	C	-8,96	30,57	53,00	-37,25	41,18	1115,05	3.017 (M)	[PC]	H-V
2449	C	-14,96	47,07	63,00	-30,03	38,29	599,01	3.017 (M)	[PC]	H-V
2450	C	-4,46	29,07	52,00	-33,35	45,12	1260,61	3.017 (M)	[PC]	H+V
2451	C	-13,46	36,57	54,00	-32,02	35,32	640,11	3.017 (M)	[PC]	H+V
2452	C	-16,46	45,57	65,00	-41,69	40,02	843,75	3.017 (M)	[PC]	H+V
2453	C	-4,46	30,57	45,00	-20,95	37,14	588,39	3.018 (M)	[PC]	H-V
2454	C	-8,96	33,57	57,00	-39,91	44,35	1264,72	3.018 (M)	[PC]	H+V
2455	C	-16,46	45,57	66,00	-44,06	41,17	939,66	3.018 (M)	[PC]	H+V
2456	C	-14,96	41,07	59,00	-35,57	37,15	695,29	3.018 (M)	[PC]	H+V
2457	C	-14,96	42,57	61,00	-37,17	38,61	756,86	3.018 (M)	[PC]	H-V
2458	C	0,04	44,07	55,00	-15,29	45,69	583,46	3.018 (M)	[PC]	H-V
2459	C	-4,46	36,57	49,00	-19,16	38,72	515,66	3.018 (M)	[PC]	H+V
2460	C	6,04	36,57	48,00	-9,77	48,08	683,41	3.018 (M)	[PC]	H+V
2461	C	1,54	33,57	52,00	-22,21	49,47	1089,65	3.018 (M)	[PC]	H+V
2462	C	-13,46	48,57	71,00	-46,21	48,22	1271,26	3.018 (M)	[PC]	H+V
2463	C	3,04	38,07	50,00	-14,51	46,53	665,88	3.018 (M)	[PC]	H-V
2464	C	-10,46	29,07	51,00	-37,38	38,07	1000,84	3.018 (M)	[PC]	H+V
2465	C	-10,46	33,57	56,00	-39,53	41,78	1124,24	3.018 (M)	[PC]	H-V
2466	C	-1,46	35,07	45,00	-11,70	37,98	409,67	3.018 (M)	[PC]	H+V
2467	C	-10,46	35,07	50,00	-22,96	34,60	520,35	3.018 (M)	[PC]	H+V
2468	C	-10,46	30,57	48,00	-28,12	34,36	644,46	3.018 (M)	[PC]	H-V
2469	C	3,04	36,57	51,00	-18,32	48,47	836,65	3.018 (M)	[PC]	H+V
2470	C	-2,96	45,57	57,00	-17,78	44,09	564,03	3.019 (M)	[PC]	H-V
2471	C	-4,46	32,07	46,00	-20,66	37,58	570,94	3.019 (M)	[PC]	H-V
2472	C	-11,96	48,57	62,00	-22,12	39,10	511,93	3.019 (M)	[PC]	H+V
2473	C	-16,46	48,57	68,00	-42,26	41,74	880,91	3.019 (M)	[PC]	H-V
2474	C	-7,46	39,57	63,00	-40,12	49,85	1407,48	3.019 (M)	[PC]	H+V
2475	C	-1,46	33,57	45,00	-16,52	38,77	488,24	3.019 (M)	[PC]	H+V
2476	C	-11,96	32,07	54,00	-39,65	38,71	1009,56	3.019 (M)	[PC]	H+V
2477	C	6,04	33,57	45,00	-9,26	46,27	654,47	3.019 (M)	[PC]	H-V
2478	C	-5,96	44,07	56,00	-19,40	40,89	516,12	3.019 (M)	[PC]	H+V
2479	C	3,04	30,57	44,00	-16,53	43,55	693,01	3.019 (M)	[PC]	H-V
2480	C	-14,96	44,07	65,00	-43,42	42,35	1010,76	3.019 (M)	[PC]	H-V
2481	C	-11,96	35,07	57,00	-40,43	40,76	1057,89	3.019 (M)	[PC]	H-V
2482	C	0,04	47,07	59,00	-17,42	48,49	681,23	3.019 (M)	[PC]	H+V
2483	C	-11,96	44,07	58,00	-22,46	37,27	505,03	3.019 (M)	[PC]	H+V
2484	C	-11,96	33,57	55,00	-39,08	39,21	986,64	3.020 (M)	[PC]	H-V
2485	C	-14,96	45,57	61,00	-27,83	36,87	545,48	3.020 (M)	[PC]	H+V
2486	C	-14,96	39,57	60,00	-41,33	39,03	899,44	3.020 (M)	[PC]	H+V
2487	C	-16,46	47,07	68,00	-45,51	42,62	1009,50	3.020 (M)	[PC]	H+V
2488	C	-5,96	33,57	57,00	-37,00	47,35	1347,84	3.020 (M)	[PC]	H+V
2489	C	-8,96	47,07	60,00	-21,27	40,70	539,85	3.020 (M)	[PC]	H-V
2490	C	3,04	41,07	53,00	-15,04	48,24	694,23	3.020 (M)	[PC]	H+V
2491	C	3,04	30,57	46,00	-18,73	45,72	841,69	3.020 (M)	[PC]	H+V
2492	C	0,04	29,07	50,00	-25,34	47,52	1199,09	3.020 (M)	[PC]	H+V
2493	C	-11,96	38,07	53,00	-23,76	34,95	513,07	3.020 (M)	[PC]	H+V

N°	Forma	C_x	C_y	R	x_v	x_m	V	F_s	Caso	Sisma
		[m]	*[m]*	*[m]*	*[m]*	*[m]*	*[mc]*			
2494	C	4,54	36,57	49,00	-14,09	47,72	719,78	3.020 (M)	[PC]	H+V
2495	C	-13,46	35,07	55,00	-37,79	37,09	831,10	3.020 (M)	[PC]	H+V
2496	C	3,04	36,57	50,00	-17,17	47,35	760,00	3.020 (M)	[PC]	H+V
2497	C	7,54	29,07	40,00	-5,48	44,34	611,45	3.020 (M)	[PC]	H-V
2498	C	-1,46	39,57	50,00	-14,31	41,14	478,85	3.020 (M)	[PC]	H-V
2499	C	-1,46	45,57	57,00	-17,25	45,59	598,03	3.020 (M)	[PC]	H-V
2500	C	-11,96	35,07	58,00	-42,32	41,84	1157,27	3.020 (M)	[PC]	H+V
2501	C	1,54	42,57	56,00	-18,37	49,34	787,78	3.020 (M)	[PC]	H+V
2502	C	-1,46	41,07	52,00	-16,36	42,57	524,52	3.020 (M)	[PC]	H-V
2503	C	-1,46	41,07	50,00	-5,70	40,19	402,17	3.020 (M)	[PC]	H-V
2504	C	-14,96	44,07	61,00	-33,13	37,77	647,03	3.021 (M)	[PC]	H-V
2505	C	0,04	30,57	41,00	-11,58	37,27	430,83	3.021 (M)	[PC]	H-V
2506	C	-13,46	35,07	56,00	-39,90	38,18	921,86	3.021 (M)	[PC]	H+V
2507	C	-7,46	41,07	54,00	-20,89	38,91	521,58	3.021 (M)	[PC]	H+V
2508	C	-1,46	29,07	51,00	-28,66	47,07	1248,22	3.021 (M)	[PC]	H+V
2509	C	-2,96	35,07	47,00	-17,85	38,75	502,12	3.021 (M)	[PC]	H+V
2510	C	0,04	32,07	52,00	-24,43	48,57	1157,78	3.021 (M)	[PC]	H-V
2511	C	-7,46	39,57	53,00	-21,23	38,63	541,72	3.021 (M)	[PC]	H-V
2512	C	-16,46	48,57	67,00	-39,64	40,57	787,15	3.021 (M)	[PC]	H-V
2513	C	-10,46	39,57	63,00	-43,03	46,85	1324,12	3.021 (M)	[PC]	H+V
2514	C	3,04	35,07	50,00	-18,72	48,10	858,09	3.021 (M)	[PC]	H+V
2515	C	1,54	29,07	45,00	-19,85	43,72	824,87	3.021 (M)	[PC]	H-V
2516	C	-1,46	38,07	47,00	-5,57	38,54	379,10	3.021 (M)	[PC]	H+V
2517	C	-7,46	35,07	49,00	-21,48	36,49	529,53	3.021 (M)	[PC]	H+V
2518	C	-11,96	32,07	50,00	-31,10	34,42	662,10	3.021 (M)	[PC]	H+V
2519	C	-5,96	36,57	60,00	-37,84	49,39	1398,94	3.021 (M)	[PC]	H+V
2520	C	1,54	39,57	52,00	-16,93	46,47	683,02	3.021 (M)	[PC]	H-V
2521	C	1,54	44,07	55,00	-13,79	47,19	616,74	3.022 (M)	[PC]	H-V
2522	C	-10,46	36,57	60,00	-42,21	44,89	1274,39	3.022 (M)	[PC]	H+V
2523	C	1,54	32,07	48,00	-20,22	45,76	864,43	3.022 (M)	[PC]	H-V
2524	C	3,04	29,07	43,00	-16,90	43,08	711,00	3.022 (M)	[PC]	H-V
2525	C	6,04	35,07	47,00	-10,95	47,75	702,73	3.022 (M)	[PC]	H+V
2526	C	-1,46	47,07	59,00	-17,98	46,99	646,99	3.022 (M)	[PC]	H-V
2527	C	0,04	44,07	58,00	-19,72	49,27	806,59	3.022 (M)	[PC]	H-V
2528	C	-2,96	32,07	54,00	-30,94	47,71	1257,64	3.022 (M)	[PC]	H-V
2529	C	3,04	38,07	51,00	-16,73	47,68	738,58	3.022 (M)	[PC]	H+V
2530	C	1,54	38,07	52,00	-18,58	47,32	779,67	3.022 (M)	[PC]	H-V
2531	C	4,54	33,57	46,00	-13,49	45,88	688,84	3.022 (M)	[PC]	H-V
2532	C	0,04	30,57	40,00	-7,30	36,17	375,43	3.022 (M)	[PC]	H-V
2533	C	-11,96	47,07	70,00	-45,43	49,41	1346,06	3.022 (M)	[PC]	H+V
2534	C	-5,96	42,57	55,00	-20,01	40,67	537,35	3.022 (M)	[PC]	H-V
2535	C	-7,46	30,57	54,00	-37,58	43,74	1253,24	3.022 (M)	[PC]	H+V
2536	C	-4,46	33,57	56,00	-33,73	47,78	1289,63	3.022 (M)	[PC]	H-V
2537	C	1,54	48,57	59,00	-12,44	48,91	618,49	3.022 (M)	[PC]	H+V
2538	C	-14,96	39,57	59,00	-39,06	37,92	807,22	3.023 (M)	[PC]	H+V
2539	C	0,04	44,07	57,00	-18,49	48,09	729,02	3.023 (M)	[PC]	H-V
2540	C	-10,46	32,07	48,00	-24,49	33,76	554,82	3.023 (M)	[PC]	H-V
2541	C	-1,46	48,57	62,00	-19,99	49,60	774,55	3.023 (M)	[PC]	H-V
2542	C	7,54	29,07	41,00	-8,29	45,43	673,49	3.023 (M)	[PC]	H+V
2543	C	-2,96	35,07	57,00	-31,73	49,76	1306,93	3.023 (M)	[PC]	H-V
2544	C	-5,96	36,57	50,00	-20,83	38,35	548,35	3.023 (M)	[PC]	H-V
2545	C	-13,46	44,07	66,00	-44,11	44,98	1153,58	3.023 (M)	[PC]	H-V
2546	C	-13,46	41,07	63,00	-43,39	43,14	1109,43	3.023 (M)	[PC]	H-V
2547	C	1,54	38,07	53,00	-19,74	48,45	857,46	3.023 (M)	[PC]	H-V
2548	C	-10,46	33,57	49,00	-23,74	34,20	537,75	3.023 (M)	[PC]	H-V
2549	C	1,54	29,07	47,00	-21,49	45,85	983,78	3.024 (M)	[PC]	H+V
2550	C	-14,96	42,57	59,00	-31,29	36,32	590,19	3.024 (M)	[PC]	H+V
2551	C	-1,46	47,07	57,00	-13,00	44,53	507,04	3.024 (M)	[PC]	H-V
2552	C	-11,96	39,57	62,00	-42,56	44,25	1178,84	3.024 (M)	[PC]	H-V
2553	C	1,54	30,57	49,00	-21,97	47,43	1046,96	3.024 (M)	[PC]	H+V
2554	C	1,54	39,57	54,00	-19,30	48,77	834,54	3.024 (M)	[PC]	H-V
2555	C	-5,96	47,07	59,00	-19,51	42,49	542,02	3.024 (M)	[PC]	H-V
2556	C	1,54	36,57	52,00	-20,16	48,09	880,01	3.024 (M)	[PC]	H-V
2557	C	-10,46	45,57	68,00	-42,61	49,45	1311,27	3.024 (M)	[PC]	H-V
2558	C	3,04	30,57	45,00	-17,64	44,64	766,00	3.024 (M)	[PC]	H-V
2559	C	-4,46	30,57	53,00	-32,89	45,68	1239,03	3.024 (M)	[PC]	H-V
2560	C	-4,46	42,57	54,00	-18,16	40,98	503,79	3.025 (M)	[PC]	H+V
2561	C	-7,46	35,07	58,00	-37,97	46,34	1281,77	3.025 (M)	[PC]	H-V
2562	C	-11,96	35,07	51,00	-25,80	34,21	549,75	3.025 (M)	[PC]	H-V
2563	C	1,54	32,07	51,00	-22,44	49,00	1111,10	3.025 (M)	[PC]	H+V
2564	C	-1,46	48,57	59,00	-15,44	45,91	552,05	3.025 (M)	[PC]	H+V
2565	C	-1,46	38,07	49,00	-15,91	40,88	498,07	3.025 (M)	[PC]	H-V
2566	C	0,04	44,07	56,00	-17,24	46,89	654,75	3.025 (M)	[PC]	H-V
2567	C	-11,96	33,57	51,00	-30,08	34,88	643,35	3.025 (M)	[PC]	H-V
2568	C	-14,96	39,57	61,00	-43,45	40,14	995,38	3.025 (M)	[PC]	H+V
2569	C	-10,46	42,57	66,00	-43,82	48,74	1372,99	3.025 (M)	[PC]	H+V
2570	C	3,04	36,57	49,00	-15,59	46,22	686,46	3.025 (M)	[PC]	H-V
2571	C	-13,46	36,57	57,00	-39,21	38,62	897,85	3.025 (M)	[PC]	H-V
2572	C	-5,96	30,57	54,00	-36,12	45,24	1294,16	3.025 (M)	[PC]	H+V

N°	Forma	C_x	C_y	R	x_v	x_m	V	F_s	Caso	Sisma
		[m]	*[m]*	*[m]*	*[m]*	*[m]*	*[mc]*			
2573	C	6,04	32,07	44,00	-10,38	45,88	672,21	3.025 (M)	[PC]	H-V
2574	C	-1,46	38,07	48,00	-12,04	39,72	435,25	3.025 (M)	[PC]	H-V
2575	C	-13,46	36,57	56,00	-37,00	37,52	807,96	3.025 (M)	[PC]	H-V
2576	C	-2,96	41,07	52,00	-16,90	41,07	491,23	3.025 (M)	[PC]	H+V
2577	C	-11,96	42,57	65,00	-43,32	46,13	1224,72	3.025 (M)	[PC]	H-V
2578	C	3,04	39,57	52,00	-16,17	47,97	716,50	3.025 (M)	[PC]	H+V
2579	C	-4,46	36,57	59,00	-34,53	49,80	1338,40	3.026 (M)	[PC]	H-V
2580	C	4,54	29,07	43,00	-15,92	44,58	744,18	3.026 (M)	[PC]	H+V
2581	C	-8,96	35,07	58,00	-39,42	44,84	1239,76	3.026 (M)	[PC]	H-V
2582	C	1,54	42,57	54,00	-15,26	46,98	638,84	3.026 (M)	[PC]	H-V
2583	C	-8,96	38,07	61,00	-40,23	46,83	1289,58	3.026 (M)	[PC]	H-V
2584	C	-13,46	35,07	54,00	-35,54	36,00	743,99	3.026 (M)	[PC]	H+V
2585	C	-5,96	30,57	45,00	-21,33	35,64	550,89	3.026 (M)	[PC]	H+V
2586	C	1,54	47,07	58,00	-14,21	48,77	641,54	3.026 (M)	[PC]	H+V
2587	C	1,54	44,07	56,00	-16,65	48,39	688,51	3.026 (M)	[PC]	H+V
2588	C	3,04	33,57	49,00	-19,10	47,70	879,32	3.026 (M)	[PC]	H+V
2589	C	-14,96	41,07	63,00	-44,83	41,64	1067,28	3.026 (M)	[PC]	H+V
2590	C	-2,96	29,07	51,00	-30,11	45,57	1207,42	3.027 (M)	[PC]	H-V
2591	C	4,54	44,07	54,00	-6,69	48,98	616,79	3.027 (M)	[PC]	H-V
2592	C	-8,96	42,57	56,00	-21,57	38,84	533,29	3.027 (M)	[PC]	H-V
2593	C	-10,46	29,07	46,00	-26,53	32,79	587,55	3.027 (M)	[PC]	H+V
2594	C	-16,46	48,57	70,00	-46,95	44,06	1081,74	3.027 (M)	[PC]	H+V
2595	C	-13,46	39,57	55,00	-25,85	34,91	523,63	3.027 (M)	[PC]	H+V
2596	C	-5,96	48,57	60,00	-18,87	42,65	519,49	3.027 (M)	[PC]	H+V
2597	C	-11,96	36,57	59,00	-41,79	42,30	1131,48	3.027 (M)	[PC]	H-V
2598	C	4,54	35,07	48,00	-15,05	47,37	740,34	3.027 (M)	[PC]	H+V
2599	C	-10,46	33,57	57,00	-41,36	42,85	1223,41	3.028 (M)	[PC]	H+V
2600	C	-16,46	45,57	64,00	-39,12	38,87	751,77	3.028 (M)	[PC]	H+V
2601	C	-8,96	30,57	54,00	-39,03	42,24	1212,06	3.028 (M)	[PC]	H+V
2602	C	-7,46	38,07	61,00	-38,78	48,33	1330,93	3.028 (M)	[PC]	H-V
2603	C	-1,46	39,57	49,00	-9,59	39,97	418,30	3.028 (M)	[PC]	H-V
2604	C	-13,46	47,07	69,00	-44,81	46,77	1196,52	3.028 (M)	[PC]	H-V
2605	C	-13,46	36,57	59,00	-43,24	40,80	1089,54	3.028 (M)	[PC]	H+V
2606	C	-4,46	33,57	47,00	-20,22	37,99	552,95	3.028 (M)	[PC]	H-V
2607	C	6,04	33,57	46,00	-11,99	47,38	721,97	3.028 (M)	[PC]	H+V
2608	C	1,54	44,07	57,00	-17,88	49,59	763,75	3.028 (M)	[PC]	H+V
2609	C	1,54	35,07	51,00	-20,57	47,71	902,02	3.028 (M)	[PC]	H-V
2610	C	-1,46	48,57	61,00	-18,70	48,38	697,12	3.028 (M)	[PC]	H-V
2611	C	-7,46	32,07	55,00	-37,13	44,27	1230,14	3.028 (M)	[PC]	H-V
2612	C	-4,46	41,07	53,00	-18,75	40,74	524,49	3.028 (M)	[PC]	H-V
2613	C	-16,46	48,57	65,00	-33,45	38,20	613,53	3.029 (M)	[PC]	H+V
2614	C	-13,46	38,07	55,00	-30,83	35,70	618,86	3.029 (M)	[PC]	H-V
2615	C	-2,96	48,57	60,00	-17,91	45,65	589,02	3.029 (M)	[PC]	H-V
2616	C	0,04	48,57	61,00	-18,14	49,88	732,02	3.029 (M)	[PC]	H+V
2617	C	-14,96	41,07	61,00	-40,53	39,40	873,14	3.029 (M)	[PC]	H-V
2618	C	-7,46	33,57	48,00	-21,80	36,10	547,46	3.029 (M)	[PC]	H-V
2619	C	-14,96	45,57	67,00	-44,84	43,81	1082,00	3.029 (M)	[PC]	H-V
2620	C	-14,96	44,07	60,00	-29,69	36,61	567,72	3.029 (M)	[PC]	H+V
2621	C	-13,46	41,07	64,00	-45,37	44,25	1212,48	3.029 (M)	[PC]	H+V
2622	C	-13,46	44,07	67,00	-46,13	46,11	1258,78	3.029 (M)	[PC]	H+V
2623	C	-1,46	44,07	55,00	-16,52	44,19	550,30	3.029 (M)	[PC]	H-V
2624	C	0,04	29,07	49,00	-23,94	46,47	1111,75	3.029 (M)	[PC]	H-V
2625	C	-4,46	45,57	57,00	-18,28	42,59	529,46	3.030 (M)	[PC]	H-V
2626	C	-2,96	32,07	55,00	-32,76	48,77	1354,20	3.030 (M)	[PC]	H+V
2627	C	3,04	47,07	57,00	-8,50	49,03	606,74	3.030 (M)	[PC]	H-V
2628	C	1,54	45,57	57,00	-15,73	48,59	664,88	3.030 (M)	[PC]	H+V
2629	C	-13,46	35,07	57,00	-41,88	39,26	1016,77	3.030 (M)	[PC]	H+V
2630	C	7,54	38,07	48,00	-3,04	48,72	634,64	3.030 (M)	[PC]	H+V
2631	C	-1,46	33,57	55,00	-28,93	49,71	1276,20	3.030 (M)	[PC]	H-V
2632	C	-2,96	39,57	51,00	-17,48	40,81	511,41	3.030 (M)	[PC]	H-V
2633	C	-8,96	44,07	57,00	-21,22	39,09	512,53	3.030 (M)	[PC]	H+V
2634	C	-5,96	32,07	46,00	-21,03	36,08	533,93	3.030 (M)	[PC]	H+V
2635	C	-14,96	48,57	63,00	-24,21	37,31	502,54	3.031 (M)	[PC]	H+V
2636	C	-5,96	39,57	52,00	-19,87	38,97	509,20	3.031 (M)	[PC]	H+V
2637	C	0,04	29,07	39,00	-9,48	35,75	388,14	3.031 (M)	[PC]	H-V
2638	C	1,54	41,07	53,00	-16,44	46,74	660,93	3.031 (M)	[PC]	H-V
2639	C	1,54	39,57	53,00	-18,12	47,63	757,32	3.031 (M)	[PC]	H-V
2640	C	0,04	29,07	41,00	-15,79	37,93	507,29	3.031 (M)	[PC]	H-V
2641	C	-11,96	45,57	68,00	-44,05	47,95	1269,32	3.031 (M)	[PC]	H-V
2642	C	-8,96	41,07	64,00	-41,02	48,75	1337,32	3.031 (M)	[PC]	H-V
2643	C	-5,96	35,07	58,00	-36,51	47,84	1322,86	3.031 (M)	[PC]	H-V
2644	C	3,04	32,07	46,00	-17,26	45,08	746,90	3.031 (M)	[PC]	H-V
2645	C	1,54	33,57	50,00	-20,82	47,29	923,46	3.031 (M)	[PC]	H-V
2646	C	-4,46	47,07	58,00	-17,66	42,77	507,43	3.031 (M)	[PC]	H+V
2647	C	-14,96	48,57	70,00	-45,51	45,56	1123,34	3.031 (M)	[PC]	H-V
2648	C	3,04	38,07	52,00	-17,89	48,82	814,39	3.032 (M)	[PC]	H+V
2649	C	3,04	35,07	48,00	-16,45	45,87	707,03	3.032 (M)	[PC]	H-V
2650	C	-4,46	48,57	60,00	-18,40	44,15	554,52	3.032 (M)	[PC]	H-V
2651	C	-4,46	33,57	57,00	-35,54	48,85	1389,04	3.032 (M)	[PC]	H+V

N°	Forma	C_x	C_y	R	x_v	x_m	V	F_s	Caso	Sisma
		[m]	*[m]*	*[m]*	*[m]*	*[m]*	*[mc]*			
2652	C	-1,46	30,57	52,00	-28,14	47,62	1227,30	3.032 (M)	[PC]	H-V
2653	C	-1,46	36,57	46,00	-9,34	38,28	393,86	3.032 (M)	[PC]	H+V
2654	C	1,54	30,57	47,00	-20,58	45,29	884,20	3.032 (M)	[PC]	H-V
2655	C	-10,46	38,07	61,00	-41,68	45,33	1247,50	3.032 (M)	[PC]	H-V
2656	C	-10,46	29,07	49,00	-33,51	35,97	823,94	3.032 (M)	[PC]	H-V
2657	C	-8,96	48,57	61,00	-20,91	40,88	517,68	3.032 (M)	[PC]	H+V
2658	C	4,54	32,07	45,00	-14,40	45,48	707,47	3.032 (M)	[PC]	H-V
2659	C	-10,46	30,57	47,00	-25,36	33,29	571,13	3.032 (M)	[PC]	H-V
2660	C	3,04	29,07	45,00	-19,07	45,22	860,59	3.032 (M)	[PC]	H+V
2661	C	-8,96	32,07	55,00	-38,58	42,77	1189,15	3.032 (M)	[PC]	H-V
2662	C	-5,96	32,07	55,00	-35,67	45,77	1272,14	3.032 (M)	[PC]	H-V
2663	C	-11,96	39,57	63,00	-44,48	45,35	1282,71	3.032 (M)	[PC]	H+V
2664	C	-14,96	42,57	60,00	-34,41	37,47	671,18	3.032 (M)	[PC]	H-V
2665	C	-13,46	47,07	61,00	-22,69	37,41	493,73	3.032 (M)	[PC]	H+V
2666	C	-16,46	47,07	67,00	-43,20	41,47	910,35	3.032 (M)	[PC]	H-V
2667	C	-14,96	45,57	68,00	-46,94	44,95	1186,27	3.032 (M)	[PC]	H+V
2668	C	-13,46	45,57	60,00	-23,63	37,19	514,42	3.033 (M)	[PC]	H-V
2669	C	-16,46	44,07	64,00	-42,59	39,71	871,64	3.033 (M)	[PC]	H+V
2670	C	-16,46	47,07	66,00	-40,71	40,31	815,43	3.033 (M)	[PC]	H-V
2671	C	7,54	36,57	47,00	-4,91	48,43	652,05	3.033 (M)	[PC]	H+V
2672	C	3,04	33,57	47,00	-16,87	45,49	727,23	3.033 (M)	[PC]	H-V
2673	C	-1,46	45,57	56,00	-15,07	44,38	528,47	3.033 (M)	[PC]	H-V
2674	C	-11,96	42,57	66,00	-45,27	47,24	1330,78	3.033 (M)	[PC]	H+V
2675	C	-2,96	32,07	45,00	-18,87	37,98	538,08	3.033 (M)	[PC]	H-V
2676	C	-13,46	36,57	55,00	-34,63	36,42	721,87	3.033 (M)	[PC]	H-V
2677	C	0,04	30,57	52,00	-26,69	49,12	1268,92	3.034 (M)	[PC]	H+V
2678	C	-13,46	47,07	70,00	-46,88	47,91	1303,83	3.034 (M)	[PC]	H+V
2679	C	-14,96	41,07	60,00	-38,16	38,28	782,23	3.034 (M)	[PC]	H-V
2680	C	-14,96	39,57	58,00	-36,62	36,80	719,39	3.034 (M)	[PC]	H+V
2681	C	-13,46	36,57	58,00	-41,27	39,71	991,93	3.034 (M)	[PC]	H-V
2682	C	-11,96	32,07	49,00	-28,46	33,34	585,75	3.034 (M)	[PC]	H+V
2683	C	-2,96	36,57	48,00	-17,31	39,08	483,55	3.034 (M)	[PC]	H+V
2684	C	6,04	30,57	43,00	-11,37	45,46	689,70	3.034 (M)	[PC]	H-V
2685	C	-14,96	41,07	62,00	-42,75	40,52	968,29	3.034 (M)	[PC]	H-V
2686	C	-10,46	45,57	59,00	-21,87	39,00	523,30	3.034 (M)	[PC]	H-V
2687	C	1,54	30,57	50,00	-22,65	48,50	1131,83	3.034 (M)	[PC]	H+V
2688	C	-10,46	41,07	64,00	-42,47	47,25	1295,16	3.034 (M)	[PC]	H-V
2689	C	-14,96	42,57	65,00	-46,21	43,13	1141,70	3.034 (M)	[PC]	H+V
2690	C	-16,46	44,07	65,00	-44,86	40,85	968,71	3.034 (M)	[PC]	H+V
2691	C	3,04	32,07	48,00	-19,46	47,26	899,97	3.034 (M)	[PC]	H+V
2692	C	0,04	48,57	60,00	-16,86	48,65	656,89	3.034 (M)	[PC]	H+V
2693	C	-10,46	35,07	58,00	-40,87	43,34	1198,46	3.035 (M)	[PC]	H-V
2694	C	4,54	42,57	53,00	-8,70	48,79	637,01	3.035 (M)	[PC]	H-V
2695	C	-4,46	38,07	50,00	-18,60	39,03	496,50	3.035 (M)	[PC]	H+V
2696	C	-2,96	29,07	52,00	-31,89	46,62	1301,51	3.035 (M)	[PC]	H+V
2697	C	0,04	30,57	51,00	-24,84	48,06	1178,78	3.035 (M)	[PC]	H-V
2698	C	-4,46	30,57	54,00	-34,66	46,74	1336,24	3.035 (M)	[PC]	H+V
2699	C	-11,96	32,07	52,00	-35,66	36,57	828,31	3.035 (M)	[PC]	H-V
2700	C	-13,46	38,07	60,00	-42,65	41,23	1063,40	3.035 (M)	[PC]	H-V
2701	C	-14,96	48,57	71,00	-47,66	46,72	1229,68	3.035 (M)	[PC]	H+V
2702	C	-13,46	38,07	61,00	-44,59	42,33	1164,04	3.035 (M)	[PC]	H+V
2703	C	-2,96	29,07	43,00	-19,80	37,08	572,15	3.035 (M)	[PC]	H-V
2704	C	-4,46	35,07	48,00	-19,70	38,37	534,52	3.035 (M)	[PC]	H-V
2705	C	-16,46	48,57	69,00	-44,68	42,90	979,46	3.035 (M)	[PC]	H-V
2706	C	-2,96	47,07	57,00	-14,50	43,03	473,92	3.035 (M)	[PC]	H+V
2707	C	3,04	29,07	44,00	-17,99	44,16	784,46	3.035 (M)	[PC]	H-V
2708	C	-2,96	30,57	44,00	-19,34	37,55	555,40	3.035 (M)	[PC]	H-V
2709	C	-8,96	32,07	47,00	-22,44	34,17	525,81	3.035 (M)	[PC]	H+V
2710	C	0,04	45,57	58,00	-17,96	48,30	705,39	3.035 (M)	[PC]	H-V
2711	C	1,54	29,07	48,00	-22,18	46,91	1066,64	3.036 (M)	[PC]	H+V
2712	C	-14,96	41,07	58,00	-32,69	36,01	612,94	3.036 (M)	[PC]	H+V
2713	C	-2,96	44,07	55,00	-17,04	42,69	516,69	3.036 (M)	[PC]	H-V
2714	C	-5,96	38,07	61,00	-37,33	49,83	1372,02	3.036 (M)	[PC]	H-V
2715	C	3,04	33,57	48,00	-17,99	46,60	801,96	3.036 (M)	[PC]	H-V
2716	C	-16,46	48,57	66,00	-36,75	39,39	698,02	3.036 (M)	[PC]	H-V
2717	C	3,04	38,07	53,00	-19,04	49,95	893,18	3.036 (M)	[PC]	H+V
2718	C	0,04	45,57	59,00	-19,21	49,50	781,98	3.036 (M)	[PC]	H-V
2719	C	-11,96	36,57	60,00	-43,66	43,39	1233,21	3.036 (M)	[PC]	H+V
2720	C	-1,46	33,57	44,00	-13,50	37,64	425,71	3.036 (M)	[PC]	H+V
2721	C	-11,96	30,57	51,00	-36,34	36,06	849,24	3.036 (M)	[PC]	H+V
2722	C	-7,46	35,07	59,00	-39,77	47,42	1384,17	3.036 (M)	[PC]	H+V
2723	C	-16,46	45,57	67,00	-46,28	42,31	1039,83	3.036 (M)	[PC]	H+V
2724	C	-10,46	29,07	50,00	-35,50	37,02	910,46	3.036 (M)	[PC]	H-V
2725	C	7,54	33,57	44,00	-4,50	46,64	625,08	3.036 (M)	[PC]	H-V
2726	C	-1,46	30,57	53,00	-29,98	48,68	1321,68	3.036 (M)	[PC]	H+V
2727	C	1,54	41,07	54,00	-17,65	47,91	734,60	3.036 (M)	[PC]	H-V
2728	C	-16,46	47,07	64,00	-34,96	37,97	638,90	3.036 (M)	[PC]	H+V
2729	C	1,54	36,57	53,00	-21,03	49,21	961,20	3.036 (M)	[PC]	H-V
2730	C	0,04	29,07	40,00	-12,98	36,84	445,38	3.036 (M)	[PC]	H-V

N°	Forma	C_x	C_y	R	x_v	x_m	V	F_s	Caso	Sisma
		[m]	*[m]*	*[m]*	*[m]*	*[m]*	*[mc]*			
2731	C	-8,96	38,07	62,00	-42,08	47,92	1394,30	3.036 (M)	[PC]	H+V
2732	C	-1,46	36,57	47,00	-13,91	39,43	452,82	3.037 (M)	[PC]	H-V
2733	C	4,54	30,57	45,00	-16,87	46,14	799,68	3.037 (M)	[PC]	H+V
2734	C	1,54	38,07	54,00	-20,77	49,58	938,22	3.037 (M)	[PC]	H-V
2735	C	1,54	32,07	49,00	-21,05	46,84	944,27	3.037 (M)	[PC]	H-V
2736	C	-10,46	29,07	48,00	-31,39	34,91	740,52	3.037 (M)	[PC]	H-V
2737	C	-8,96	35,07	59,00	-41,23	45,92	1342,00	3.037 (M)	[PC]	H+V
2738	C	4,54	41,07	52,00	-10,36	48,57	657,40	3.037 (M)	[PC]	H-V
2739	C	-14,96	42,57	64,00	-44,15	42,01	1038,91	3.037 (M)	[PC]	H-V
2740	C	-11,96	36,57	52,00	-24,60	34,59	531,51	3.037 (M)	[PC]	H-V
2741	C	-8,96	30,57	46,00	-22,81	33,72	542,11	3.037 (M)	[PC]	H-V
2742	C	-13,46	41,07	56,00	-24,48	35,23	504,23	3.037 (M)	[PC]	H+V
2743	C	-2,96	45,57	56,00	-16,43	42,88	495,30	3.038 (M)	[PC]	H+V
2744	C	0,04	45,57	57,00	-16,69	47,09	631,59	3.038 (M)	[PC]	H-V
2745	C	7,54	35,07	46,00	-6,45	48,12	669,90	3.038 (M)	[PC]	H+V
2746	C	-7,46	38,07	62,00	-40,63	49,42	1435,71	3.038 (M)	[PC]	H+V
2747	C	3,04	36,57	52,00	-19,44	49,59	915,98	3.038 (M)	[PC]	H+V
2748	C	6,04	32,07	45,00	-12,90	46,98	740,88	3.038 (M)	[PC]	H+V
2749	C	-5,96	29,07	44,00	-21,63	35,16	567,24	3.038 (M)	[PC]	H-V
2750	C	1,54	35,07	52,00	-21,27	48,81	983,61	3.038 (M)	[PC]	H-V
2751	C	-1,46	48,57	60,00	-17,39	47,15	623,08	3.038 (M)	[PC]	H-V
2752	C	-11,96	32,07	53,00	-37,71	37,64	917,20	3.038 (M)	[PC]	H-V
2753	C	-1,46	30,57	43,00	-17,50	37,96	522,87	3.038 (M)	[PC]	H-V
2754	C	-2,96	33,57	46,00	-18,37	38,38	520,32	3.038 (M)	[PC]	H-V
2755	C	-11,96	45,57	69,00	-46,05	49,08	1378,28	3.038 (M)	[PC]	H+V
2756	C	1,54	39,57	55,00	-20,46	49,91	915,05	3.038 (M)	[PC]	H-V
2757	C	-13,46	36,57	53,00	-29,06	34,21	562,66	3.039 (M)	[PC]	H+V
2758	C	-7,46	29,07	52,00	-36,26	42,12	1177,59	3.039 (M)	[PC]	H-V
2759	C	4,54	33,57	47,00	-15,91	46,99	760,41	3.039 (M)	[PC]	H+V
2760	C	-7,46	36,57	50,00	-21,15	36,85	511,39	3.039 (M)	[PC]	H+V
2761	C	3,04	45,57	56,00	-10,57	48,88	628,17	3.039 (M)	[PC]	H-V
2762	C	-13,46	35,07	53,00	-33,09	34,91	660,66	3.039 (M)	[PC]	H+V
2763	C	6,04	41,07	51,00	-4,87	48,88	626,04	3.039 (M)	[PC]	H-V
2764	C	-11,96	32,07	51,00	-33,48	35,50	743,45	3.039 (M)	[PC]	H-V
2765	C	1,54	45,57	58,00	-17,37	49,80	739,43	3.039 (M)	[PC]	H+V
2766	C	-10,46	41,07	55,00	-22,18	37,07	514,95	3.039 (M)	[PC]	H-V
2767	C	-8,96	39,57	53,00	-21,51	37,13	504,11	3.040 (M)	[PC]	H+V
2768	C	-11,96	30,57	50,00	-34,25	35,00	762,75	3.040 (M)	[PC]	H+V
2769	C	3,04	39,57	53,00	-17,46	49,13	791,70	3.040 (M)	[PC]	H+V
2770	C	-7,46	32,07	56,00	-38,89	45,34	1330,19	3.040 (M)	[PC]	H+V
2771	C	-11,96	30,57	52,00	-38,30	37,12	938,77	3.040 (M)	[PC]	H+V
2772	C	-11,96	48,57	71,00	-44,77	49,72	1313,45	3.040 (M)	[PC]	H-V
2773	C	4,54	39,57	51,00	-11,77	48,31	678,15	3.040 (M)	[PC]	H-V
2774	C	-13,46	38,07	54,00	-27,58	34,58	543,23	3.040 (M)	[PC]	H+V
2775	C	-5,96	29,07	52,00	-34,81	43,62	1218,68	3.040 (M)	[PC]	H-V
2776	C	-10,46	30,57	53,00	-38,71	39,68	1073,01	3.040 (M)	[PC]	H-V
2777	C	7,54	33,57	45,00	-7,76	47,77	687,75	3.040 (M)	[PC]	H+V
2778	C	-10,46	44,07	67,00	-43,24	49,11	1342,24	3.040 (M)	[PC]	H-V
2779	C	1,54	41,07	55,00	-18,84	49,07	811,49	3.041 (M)	[PC]	H-V
2780	C	-1,46	32,07	44,00	-17,02	38,38	505,79	3.041 (M)	[PC]	H-V
2781	C	-8,96	41,07	65,00	-42,91	49,86	1444,29	3.041 (M)	[PC]	H+V
2782	C	-8,96	38,07	52,00	-21,86	36,82	523,29	3.041 (M)	[PC]	H-V
2783	C	0,04	48,57	59,00	-13,94	47,41	585,32	3.041 (M)	[PC]	H-V
2784	C	-16,46	44,07	63,00	-40,16	38,57	778,61	3.041 (M)	[PC]	H+V
2785	C	-10,46	29,07	52,00	-39,17	39,12	1094,54	3.041 (M)	[PC]	H+V
2786	C	-1,46	29,07	42,00	-17,95	37,51	539,42	3.041 (M)	[PC]	H-V
2787	C	-13,46	42,57	65,00	-44,76	44,63	1183,25	3.042 (M)	[PC]	H-V
2788	C	-14,96	47,07	62,00	-25,59	37,10	523,71	3.042 (M)	[PC]	H-V
2789	C	3,04	35,07	51,00	-19,83	49,21	938,34	3.042 (M)	[PC]	H+V
2790	C	0,04	29,07	38,00	-3,65	34,66	337,10	3.042 (M)	[PC]	H+V
2791	C	1,54	33,57	51,00	-21,51	48,38	1005,40	3.042 (M)	[PC]	H-V
2792	C	-10,46	38,07	62,00	-43,54	46,42	1352,32	3.042 (M)	[PC]	H+V
2793	C	-5,96	35,07	59,00	-38,32	48,92	1425,45	3.042 (M)	[PC]	H+V
2794	C	-5,96	38,07	51,00	-20,45	38,68	528,95	3.042 (M)	[PC]	H-V
2795	C	-11,96	39,57	54,00	-22,87	35,27	494,44	3.042 (M)	[PC]	H+V
2796	C	3,04	32,07	47,00	-18,37	46,17	822,13	3.042 (M)	[PC]	H-V
2797	C	1,54	29,07	46,00	-20,81	44,79	903,29	3.042 (M)	[PC]	H-V
2798	C	3,04	44,07	55,00	-12,29	48,69	649,90	3.042 (M)	[PC]	H-V
2799	C	-14,96	38,07	59,00	-42,05	38,63	925,23	3.042 (M)	[PC]	H+V
2800	C	-10,46	30,57	54,00	-40,49	40,74	1169,83	3.042 (M)	[PC]	H+V
2801	C	-2,96	33,57	56,00	-32,27	49,28	1330,56	3.042 (M)	[PC]	H-V
2802	C	-11,96	33,57	50,00	-27,22	33,79	567,61	3.042 (M)	[PC]	H-V
2803	C	-7,46	45,57	58,00	-20,61	40,80	528,21	3.043 (M)	[PC]	H-V
2804	C	6,04	39,57	50,00	-6,81	48,64	644,99	3.043 (M)	[PC]	H-V
2805	C	7,54	32,07	43,00	-5,98	46,28	641,34	3.043 (M)	[PC]	H-V
2806	C	4,54	32,07	46,00	-16,51	46,58	780,32	3.043 (M)	[PC]	H+V
2807	C	-1,46	47,07	58,00	-16,66	45,77	575,06	3.043 (M)	[PC]	H-V
2808	C	-2,96	44,07	54,00	-14,19	41,48	450,65	3.043 (M)	[PC]	H+V
2809	C	4,54	42,57	54,00	-12,26	49,98	705,28	3.043 (M)	[PC]	H+V

N°	Forma	C_x	C_y	R	x_v	x_m	V	F_s	Caso	Sisma
		[m]	*[m]*	*[m]*	*[m]*	*[m]*	*[mc]*			
2810	C	-16,46	47,07	69,00	-47,70	43,77	1113,34	3.043 (M)	[PC]	H+V
2811	C	-8,96	32,07	56,00	-40,35	43,84	1288,98	3.043 (M)	[PC]	H+V
2812	C	-11,96	32,07	55,00	-41,49	39,77	1105,93	3.043 (M)	[PC]	H+V
2813	C	-10,46	47,07	60,00	-21,50	39,20	502,01	3.043 (M)	[PC]	H+V
2814	C	-5,96	32,07	56,00	-37,43	46,84	1372,10	3.043 (M)	[PC]	H+V
2815	C	-2,96	48,57	59,00	-16,55	44,41	518,88	3.043 (M)	[PC]	H+V
2816	C	-2,96	47,07	58,00	-17,17	44,27	541,52	3.043 (M)	[PC]	H-V
2817	C	-14,96	38,07	58,00	-39,89	37,53	832,04	3.043 (M)	[PC]	H+V
2818	C	-7,46	47,07	59,00	-19,97	40,99	506,32	3.043 (M)	[PC]	H+V
2819	C	-10,46	41,07	65,00	-44,36	48,36	1403,04	3.044 (M)	[PC]	H+V
2820	C	-2,96	30,57	53,00	-31,44	47,18	1279,95	3.044 (M)	[PC]	H-V
2821	C	-13,46	39,57	62,00	-44,01	42,75	1137,39	3.044 (M)	[PC]	H-V
2822	C	-10,46	36,57	51,00	-22,48	34,97	502,61	3.044 (M)	[PC]	H+V
2823	C	-1,46	35,07	46,00	-15,45	39,12	470,63	3.044 (M)	[PC]	H-V
2824	C	-13,46	45,57	68,00	-45,50	46,45	1227,84	3.044 (M)	[PC]	H-V
2825	C	-8,96	29,07	45,00	-23,50	33,22	557,51	3.044 (M)	[PC]	H-V
2826	C	-4,46	32,07	55,00	-34,22	47,27	1313,30	3.044 (M)	[PC]	H-V
2827	C	-11,96	41,07	64,00	-43,92	45,75	1253,97	3.044 (M)	[PC]	H-V
2828	C	3,04	41,07	54,00	-17,00	49,41	768,61	3.044 (M)	[PC]	H+V
2829	C	-4,46	35,07	58,00	-35,06	49,34	1364,05	3.044 (M)	[PC]	H-V
2830	C	-10,46	32,07	55,00	-40,04	41,27	1147,86	3.044 (M)	[PC]	H-V
2831	C	3,04	30,57	47,00	-19,81	46,79	920,05	3.044 (M)	[PC]	H+V
2832	C	6,04	38,07	49,00	-8,41	48,38	664,21	3.045 (M)	[PC]	H-V
2833	C	-16,46	47,07	65,00	-37,99	39,14	724,84	3.045 (M)	[PC]	H-V
2834	C	-11,96	38,07	61,00	-43,13	43,83	1206,31	3.045 (M)	[PC]	H-V
2835	C	1,54	30,57	48,00	-21,28	46,36	964,39	3.045 (M)	[PC]	H-V
2836	C	-10,46	35,07	59,00	-42,68	44,42	1300,89	3.045 (M)	[PC]	H+V
2837	C	7,54	32,07	44,00	-8,88	47,38	705,32	3.045 (M)	[PC]	H+V
2838	C	3,04	42,57	54,00	-13,76	48,48	672,01	3.045 (M)	[PC]	H-V
2839	C	-10,46	42,57	56,00	-21,82	37,34	495,12	3.045 (M)	[PC]	H+V
2840	C	-13,46	36,57	54,00	-32,02	35,32	640,11	3.045 (M)	[PC]	H-V
2841	C	-1,46	35,07	45,00	-11,70	37,98	409,67	3.045 (M)	[PC]	H-V
2842	C	-11,96	33,57	56,00	-40,99	40,28	1082,13	3.046 (M)	[PC]	H-V
2843	C	-4,46	36,57	49,00	-19,16	38,72	515,66	3.046 (M)	[PC]	H-V
2844	C	-16,46	45,57	63,00	-36,30	37,71	664,49	3.046 (M)	[PC]	H+V
2845	C	1,54	42,57	55,00	-17,16	48,17	711,87	3.046 (M)	[PC]	H-V
2846	C	-10,46	29,07	47,00	-29,09	33,85	662,08	3.046 (M)	[PC]	H-V
2847	C	4,54	38,07	50,00	-13,01	48,03	699,03	3.046 (M)	[PC]	H-V
2848	C	0,04	47,07	58,00	-15,71	47,27	608,36	3.046 (M)	[PC]	H-V
2849	C	3,04	35,07	49,00	-17,59	46,99	781,23	3.046 (M)	[PC]	H-V
2850	C	-14,96	41,07	59,00	-35,57	37,15	695,29	3.046 (M)	[PC]	H-V
2851	C	-10,46	35,07	50,00	-22,96	34,60	520,35	3.046 (M)	[PC]	H-V
2852	C	4,54	30,57	44,00	-15,21	45,05	726,10	3.046 (M)	[PC]	H-V
2853	C	0,04	47,07	60,00	-18,69	49,70	757,12	3.046 (M)	[PC]	H-V
2854	C	1,54	35,07	53,00	-21,97	49,91	1067,52	3.046 (M)	[PC]	H-V
2855	C	-1,46	33,57	45,00	-16,52	38,77	488,24	3.047 (M)	[PC]	H-V
2856	C	-11,96	48,57	62,00	-22,12	39,10	511,93	3.047 (M)	[PC]	H-V
2857	C	-14,96	44,07	66,00	-45,55	43,48	1112,04	3.047 (M)	[PC]	H-V
2858	C	-1,46	32,07	43,00	-14,98	37,28	441,90	3.047 (M)	[PC]	H+V
2859	C	-11,96	33,57	57,00	-42,82	41,35	1181,36	3.047 (M)	[PC]	H+V
2860	C	-13,46	33,57	54,00	-38,51	36,63	853,78	3.047 (M)	[PC]	H+V
2861	C	-16,46	45,57	65,00	-41,69	40,02	843,75	3.047 (M)	[PC]	H-V
2862	C	-5,96	33,57	47,00	-20,73	36,49	516,71	3.047 (M)	[PC]	H+V
2863	C	-8,96	29,07	52,00	-37,72	40,62	1135,60	3.047 (M)	[PC]	H-V
2864	C	-14,96	47,07	69,00	-46,25	45,27	1154,97	3.047 (M)	[PC]	H-V
2865	C	-11,96	44,07	58,00	-22,46	37,27	505,03	3.047 (M)	[PC]	H-V
2866	C	-5,96	44,07	56,00	-19,40	40,89	516,12	3.047 (M)	[PC]	H-V
2867	C	-14,96	45,57	61,00	-27,83	36,87	545,48	3.047 (M)	[PC]	H-V
2868	C	-8,96	36,57	60,00	-40,75	46,39	1315,73	3.047 (M)	[PC]	H-V
2869	C	4,54	41,07	53,00	-13,54	49,74	727,38	3.047 (M)	[PC]	H+V
2870	C	6,04	29,07	42,00	-12,23	45,01	706,62	3.047 (M)	[PC]	H-V
2871	C	-7,46	36,57	60,00	-39,30	47,89	1357,86	3.047 (M)	[PC]	H-V
2872	C	7,54	30,57	42,00	-7,22	45,87	657,40	3.048 (M)	[PC]	H-V
2873	C	-16,46	45,57	66,00	-44,06	41,17	939,66	3.048 (M)	[PC]	H-V
2874	C	-11,96	38,07	53,00	-23,76	34,95	513,07	3.048 (M)	[PC]	H-V
2875	C	-11,96	30,57	49,00	-32,01	33,93	681,16	3.048 (M)	[PC]	H+V
2876	C	-7,46	33,57	57,00	-38,45	45,85	1305,93	3.048 (M)	[PC]	H-V
2877	C	-11,96	44,07	67,00	-44,69	47,61	1300,27	3.048 (M)	[PC]	H-V
2878	C	4,54	29,07	44,00	-17,21	45,66	818,40	3.048 (M)	[PC]	H+V
2879	C	-7,46	29,07	44,00	-22,00	33,66	529,00	3.048 (M)	[PC]	H+V
2880	C	-14,96	39,57	62,00	-45,46	41,25	1095,21	3.048 (M)	[PC]	H+V
2881	C	1,54	32,07	50,00	-21,74	47,92	1026,53	3.048 (M)	[PC]	H-V
2882	C	-13,46	42,57	66,00	-46,72	45,74	1289,27	3.048 (M)	[PC]	H+V
2883	C	1,54	29,07	49,00	-22,98	47,97	1151,81	3.048 (M)	[PC]	H+V
2884	C	3,04	33,57	50,00	-20,20	48,79	959,70	3.048 (M)	[PC]	H+V
2885	C	-2,96	35,07	47,00	-17,85	38,75	502,12	3.049 (M)	[PC]	H-V
2886	C	0,04	32,07	53,00	-26,12	49,64	1247,23	3.049 (M)	[PC]	H-V
2887	C	-8,96	33,57	48,00	-22,12	34,60	508,94	3.049 (M)	[PC]	H+V
2888	C	-7,46	41,07	54,00	-20,89	38,91	521,58	3.049 (M)	[PC]	H-V

N°	Forma	C_x	C_y	R	x_v	x_m	V	F_s	Caso	Sisma
		[m]	*[m]*	*[m]*	*[m]*	*[m]*	*[mc]*			
2889	C	-10,46	29,07	51,00	-37,38	38,07	1000,84	3.049 (M)	[PC]	H-V
2890	C	-13,46	33,57	55,00	-40,52	37,71	945,35	3.049 (M)	[PC]	H+V
2891	C	-14,96	38,07	60,00	-44,09	39,73	1022,02	3.049 (M)	[PC]	H+V
2892	C	-1,46	32,07	54,00	-29,48	49,21	1299,33	3.049 (M)	[PC]	H-V
2893	C	6,04	30,57	44,00	-13,71	46,55	759,43	3.049 (M)	[PC]	H+V
2894	C	-5,96	45,57	57,00	-18,77	41,09	494,69	3.049 (M)	[PC]	H+V
2895	C	-7,46	35,07	49,00	-21,48	36,49	529,53	3.049 (M)	[PC]	H-V
2896	C	-14,96	39,57	57,00	-33,94	35,68	635,63	3.049 (M)	[PC]	H+V
2897	C	-13,46	35,07	55,00	-37,79	37,09	831,10	3.049 (M)	[PC]	H-V
2898	C	-11,96	32,07	54,00	-39,65	38,71	1009,56	3.050 (M)	[PC]	H-V
2899	C	-14,96	39,57	60,00	-41,33	39,03	899,44	3.050 (M)	[PC]	H-V
2900	C	4,54	33,57	48,00	-17,25	48,10	836,28	3.050 (M)	[PC]	H+V
2901	C	-8,96	39,57	63,00	-41,57	48,35	1366,09	3.050 (M)	[PC]	H-V
2902	C	-1,46	38,07	47,00	-5,57	38,54	379,10	3.050 (M)	[PC]	H-V
2903	C	6,04	36,57	48,00	-9,77	48,08	683,41	3.050 (M)	[PC]	H-V
2904	C	-4,46	29,07	52,00	-33,35	45,12	1260,61	3.050 (M)	[PC]	H-V
2905	C	-8,96	33,57	57,00	-39,91	44,35	1264,72	3.050 (M)	[PC]	H-V
2906	C	-11,96	32,07	50,00	-31,10	34,42	662,10	3.050 (M)	[PC]	H-V
2907	C	6,04	39,57	51,00	-10,27	49,81	711,51	3.050 (M)	[PC]	H+V
2908	C	0,04	47,07	59,00	-17,42	48,49	681,23	3.050 (M)	[PC]	H-V
2909	C	-13,46	48,57	71,00	-46,21	48,22	1271,26	3.050 (M)	[PC]	H-V
2910	C	-16,46	47,07	68,00	-45,51	42,62	1009,50	3.050 (M)	[PC]	H-V
2911	C	3,04	36,57	51,00	-18,32	48,47	836,65	3.050 (M)	[PC]	H-V
2912	C	-2,96	42,57	53,00	-16,20	41,29	470,82	3.050 (M)	[PC]	H+V
2913	C	-16,46	42,57	63,00	-43,42	39,38	899,40	3.050 (M)	[PC]	H+V
2914	C	-7,46	29,07	53,00	-37,98	43,17	1275,37	3.050 (M)	[PC]	H+V
2915	C	-13,46	39,57	63,00	-45,93	43,85	1241,22	3.050 (M)	[PC]	H+V
2916	C	-13,46	45,57	69,00	-47,50	47,58	1336,01	3.051 (M)	[PC]	H+V
2917	C	-4,46	44,07	55,00	-17,54	41,19	482,88	3.051 (M)	[PC]	H+V
2918	C	-14,96	44,07	67,00	-47,58	44,61	1217,19	3.051 (M)	[PC]	H+V
2919	C	-13,46	35,07	56,00	-39,90	38,18	921,86	3.051 (M)	[PC]	H-V
2920	C	3,04	41,07	53,00	-15,04	48,24	694,23	3.051 (M)	[PC]	H-V
2921	C	1,54	33,57	52,00	-22,21	49,47	1089,65	3.051 (M)	[PC]	H-V
2922	C	3,04	36,57	50,00	-17,17	47,35	760,00	3.051 (M)	[PC]	H-V
2923	C	4,54	36,57	49,00	-14,09	47,72	719,78	3.051 (M)	[PC]	H-V
2924	C	-14,96	47,07	70,00	-48,33	46,41	1262,23	3.051 (M)	[PC]	H+V
2925	C	4,54	39,57	52,00	-14,67	49,47	749,56	3.051 (M)	[PC]	H+V
2926	C	-14,96	42,57	59,00	-31,29	36,32	590,19	3.051 (M)	[PC]	H-V
2927	C	3,04	30,57	46,00	-18,73	45,72	841,69	3.051 (M)	[PC]	H-V
2928	C	-11,96	35,07	58,00	-42,32	41,84	1157,27	3.051 (M)	[PC]	H-V
2929	C	-11,96	30,57	53,00	-40,16	38,18	1031,82	3.052 (M)	[PC]	H+V
2930	C	-14,96	39,57	59,00	-39,06	37,92	807,22	3.052 (M)	[PC]	H-V
2931	C	1,54	42,57	56,00	-18,37	49,34	787,78	3.052 (M)	[PC]	H-V
2932	C	-7,46	42,57	55,00	-20,51	39,17	501,07	3.052 (M)	[PC]	H+V
2933	C	-11,96	32,07	48,00	-25,41	32,26	513,70	3.052 (M)	[PC]	H+V
2934	C	-14,96	38,07	57,00	-37,58	36,42	743,17	3.052 (M)	[PC]	H+V
2935	C	-13,46	33,57	53,00	-36,36	35,55	765,27	3.052 (M)	[PC]	H+V
2936	C	-5,96	29,07	53,00	-36,52	44,67	1316,27	3.052 (M)	[PC]	H+V
2937	C	-7,46	39,57	63,00	-40,12	49,85	1407,48	3.052 (M)	[PC]	H-V
2938	C	6,04	38,07	50,00	-11,51	49,53	732,32	3.052 (M)	[PC]	H+V
2939	C	-4,46	42,57	54,00	-18,16	40,98	503,79	3.053 (M)	[PC]	H-V
2940	C	-2,96	30,57	54,00	-33,21	48,24	1377,29	3.053 (M)	[PC]	H+V
2941	C	-5,96	33,57	57,00	-37,00	47,35	1347,84	3.053 (M)	[PC]	H-V
2942	C	1,54	47,07	59,00	-16,84	49,99	714,87	3.053 (M)	[PC]	H+V
2943	C	3,04	42,57	55,00	-16,52	49,67	745,24	3.053 (M)	[PC]	H+V
2944	C	-11,96	41,07	65,00	-45,82	46,86	1360,80	3.053 (M)	[PC]	H+V
2945	C	-2,96	48,57	58,00	-11,82	43,16	453,23	3.053 (M)	[PC]	H+V
2946	C	-2,96	38,07	49,00	-16,75	39,38	464,85	3.053 (M)	[PC]	H+V
2947	C	3,04	38,07	51,00	-16,73	47,68	738,58	3.053 (M)	[PC]	H-V
2948	C	3,04	35,07	50,00	-18,72	48,10	858,09	3.053 (M)	[PC]	H-V
2949	C	-2,96	41,07	52,00	-16,90	41,07	491,23	3.053 (M)	[PC]	H-V
2950	C	0,04	29,07	50,00	-25,34	47,52	1199,09	3.053 (M)	[PC]	H-V
2951	C	1,54	48,57	59,00	-12,44	48,91	618,49	3.053 (M)	[PC]	H-V
2952	C	1,54	30,57	51,00	-23,88	49,56	1219,29	3.053 (M)	[PC]	H+V
2953	C	-16,46	42,57	64,00	-45,60	40,51	997,44	3.053 (M)	[PC]	H+V
2954	C	6,04	35,07	47,00	-10,95	47,75	702,73	3.054 (M)	[PC]	H-V
2955	C	-13,46	35,07	58,00	-43,78	40,34	1115,12	3.054 (M)	[PC]	H+V
2956	C	-10,46	36,57	60,00	-42,21	44,89	1274,39	3.054 (M)	[PC]	H-V
2957	C	-10,46	39,57	63,00	-43,03	46,85	1324,12	3.054 (M)	[PC]	H-V
2958	C	3,04	44,07	56,00	-15,56	49,89	721,61	3.054 (M)	[PC]	H+V
2959	C	-11,96	38,07	62,00	-44,99	44,92	1310,90	3.054 (M)	[PC]	H+V
2960	C	-4,46	29,07	43,00	-20,47	35,58	535,90	3.054 (M)	[PC]	H+V
2961	C	-1,46	29,07	51,00	-28,66	47,07	1248,22	3.054 (M)	[PC]	H-V
2962	C	-16,46	44,07	66,00	-47,00	41,98	1069,83	3.054 (M)	[PC]	H+V
2963	C	-1,46	48,57	59,00	-15,44	45,91	552,05	3.054 (M)	[PC]	H-V
2964	C	-10,46	32,07	56,00	-41,80	42,34	1247,66	3.054 (M)	[PC]	H+V
2965	C	7,54	30,57	43,00	-9,87	46,96	722,82	3.054 (M)	[PC]	H+V
2966	C	-17,96	48,57	69,00	-46,12	41,40	937,38	3.054 (M)	[PC]	H+V
2967	C	-4,46	32,07	56,00	-35,98	48,34	1413,32	3.054 (M)	[PC]	H+V

N°	Forma	C_x	C_y	R	x_v	x_m	V	F_s	Caso	Sisma
		[m]	*[m]*	*[m]*	*[m]*	*[m]*	*[mc]*			
2968	C	-5,96	41,07	53,00	-19,27	39,24	489,15	3.054 (M)	[PC]	H+V
2969	C	-5,96	30,57	45,00	-21,33	35,64	550,89	3.054 (M)	[PC]	H-V
2970	C	-7,46	30,57	54,00	-37,58	43,74	1253,24	3.054 (M)	[PC]	H-V
2971	C	-13,46	39,57	55,00	-25,85	34,91	523,63	3.055 (M)	[PC]	H-V
2972	C	0,04	29,07	51,00	-27,20	48,57	1289,89	3.055 (M)	[PC]	H+V
2973	C	-5,96	36,57	60,00	-37,84	49,39	1398,94	3.055 (M)	[PC]	H-V
2974	C	-13,46	35,07	52,00	-30,36	33,81	582,31	3.055 (M)	[PC]	H+V
2975	C	-14,96	41,07	64,00	-46,82	42,75	1170,16	3.055 (M)	[PC]	H+V
2976	C	-10,46	29,07	46,00	-26,53	32,79	587,55	3.055 (M)	[PC]	H-V
2977	C	-13,46	35,07	54,00	-35,54	36,00	743,99	3.055 (M)	[PC]	H-V
2978	C	-11,96	47,07	70,00	-45,43	49,41	1346,06	3.055 (M)	[PC]	H-V
2979	C	7,54	29,07	41,00	-8,29	45,43	673,49	3.055 (M)	[PC]	H-V
2980	C	-14,96	39,57	61,00	-43,45	40,14	995,38	3.055 (M)	[PC]	H-V
2981	C	-5,96	48,57	60,00	-18,87	42,65	519,49	3.055 (M)	[PC]	H-V
2982	C	-2,96	47,07	56,00	-7,45	41,79	412,93	3.056 (M)	[PC]	H+V
2983	C	-11,96	30,57	48,00	-29,55	32,86	603,64	3.056 (M)	[PC]	H+V
2984	C	1,54	29,07	47,00	-21,49	45,85	983,78	3.056 (M)	[PC]	H-V
2985	C	-11,96	44,07	68,00	-46,62	48,73	1409,30	3.056 (M)	[PC]	H+V
2986	C	-4,46	30,57	44,00	-19,99	36,05	519,50	3.056 (M)	[PC]	H+V
2987	C	-13,46	48,57	72,00	-48,25	49,37	1381,54	3.056 (M)	[PC]	H+V
2988	C	-16,46	45,57	64,00	-39,12	38,87	751,77	3.056 (M)	[PC]	H-V
2989	C	6,04	36,57	49,00	-12,59	49,22	752,91	3.056 (M)	[PC]	H+V
2990	C	-13,46	42,57	57,00	-23,54	35,51	484,77	3.056 (M)	[PC]	H+V
2991	C	-16,46	48,57	65,00	-33,45	38,20	613,53	3.056 (M)	[PC]	H-V
2992	C	4,54	32,07	47,00	-17,61	47,67	856,38	3.057 (M)	[PC]	H+V
2993	C	3,04	39,57	52,00	-16,17	47,97	716,50	3.057 (M)	[PC]	H-V
2994	C	-16,46	44,07	62,00	-37,50	37,42	690,04	3.057 (M)	[PC]	H+V
2995	C	4,54	29,07	43,00	-15,92	44,58	744,18	3.057 (M)	[PC]	H-V
2996	C	-4,46	39,57	51,00	-18,02	39,31	477,04	3.057 (M)	[PC]	H+V
2997	C	-16,46	42,57	62,00	-41,10	38,25	805,42	3.057 (M)	[PC]	H+V
2998	C	-8,96	29,07	53,00	-39,44	41,67	1234,19	3.057 (M)	[PC]	H+V
2999	C	4,54	38,07	51,00	-15,68	49,18	771,68	3.057 (M)	[PC]	H+V
3000	C	1,54	30,57	49,00	-21,97	47,43	1046,96	3.057 (M)	[PC]	H-V
3001	C	-14,96	44,07	60,00	-29,69	36,61	567,72	3.057 (M)	[PC]	H-V
3002	C	1,54	47,07	58,00	-14,21	48,77	641,54	3.057 (M)	[PC]	H-V
3003	C	1,54	44,07	56,00	-16,65	48,39	688,51	3.057 (M)	[PC]	H-V
3004	C	-14,96	41,07	63,00	-44,83	41,64	1067,28	3.057 (M)	[PC]	H-V
3005	C	-4,46	32,07	45,00	-19,50	36,48	502,91	3.057 (M)	[PC]	H+V
3006	C	3,04	32,07	49,00	-20,55	48,34	980,83	3.058 (M)	[PC]	H+V
3007	C	-11,96	45,57	59,00	-22,08	37,50	484,66	3.058 (M)	[PC]	H+V
3008	C	-5,96	30,57	54,00	-36,12	45,24	1294,16	3.058 (M)	[PC]	H-V
3009	C	-16,46	48,57	70,00	-46,95	44,06	1081,74	3.058 (M)	[PC]	H-V
3010	C	3,04	29,07	46,00	-20,13	46,29	939,39	3.058 (M)	[PC]	H+V
3011	C	-10,46	42,57	66,00	-43,82	48,74	1372,99	3.058 (M)	[PC]	H-V
3012	C	-17,96	48,57	68,00	-43,69	40,24	839,45	3.058 (M)	[PC]	H+V
3013	C	1,54	32,07	51,00	-22,44	49,00	1111,10	3.058 (M)	[PC]	H-V
3014	C	-14,96	48,57	63,00	-24,21	37,31	502,54	3.058 (M)	[PC]	H-V
3015	C	-8,96	44,07	57,00	-21,22	39,09	512,53	3.058 (M)	[PC]	H-V
3016	C	6,04	29,07	43,00	-14,42	46,08	777,15	3.058 (M)	[PC]	H+V
3017	C	-8,96	36,57	61,00	-42,55	47,47	1421,01	3.058 (M)	[PC]	H+V
3018	C	-5,96	32,07	46,00	-21,03	36,08	533,93	3.059 (M)	[PC]	H-V
3019	C	-7,46	36,57	61,00	-41,09	48,97	1463,31	3.059 (M)	[PC]	H+V
3020	C	3,04	33,57	49,00	-19,10	47,70	879,32	3.059 (M)	[PC]	H-V
3021	C	-5,96	39,57	52,00	-19,87	38,97	509,20	3.059 (M)	[PC]	H-V
3022	C	-13,46	36,57	59,00	-43,24	40,80	1089,54	3.059 (M)	[PC]	H-V
3023	C	-5,96	35,07	48,00	-20,28	36,87	498,68	3.059 (M)	[PC]	H+V
3024	C	4,54	35,07	48,00	-15,05	47,37	740,34	3.059 (M)	[PC]	H-V
3025	C	-13,46	36,57	60,00	-45,11	41,89	1190,92	3.059 (M)	[PC]	H+V
3026	C	4,54	35,07	49,00	-16,87	48,49	815,25	3.059 (M)	[PC]	H+V
3027	C	-7,46	33,57	58,00	-40,20	46,92	1409,78	3.059 (M)	[PC]	H+V
3028	C	-16,46	48,57	71,00	-49,10	45,22	1188,25	3.059 (M)	[PC]	H+V
3029	C	-10,46	33,57	57,00	-41,36	42,85	1223,41	3.059 (M)	[PC]	H-V
3030	C	-8,96	30,57	54,00	-39,03	42,24	1212,06	3.059 (M)	[PC]	H-V
3031	C	-1,46	36,57	46,00	-9,34	38,28	393,86	3.059 (M)	[PC]	H-V
3032	C	-13,46	33,57	56,00	-42,44	38,78	1041,03	3.059 (M)	[PC]	H+V
3033	C	-4,46	47,07	58,00	-17,66	42,77	507,43	3.060 (M)	[PC]	H-V
3034	C	1,54	44,07	57,00	-17,88	49,59	763,75	3.060 (M)	[PC]	H-V
3035	C	6,04	33,57	46,00	-11,99	47,38	721,97	3.060 (M)	[PC]	H-V
3036	C	-8,96	39,57	64,00	-43,41	49,44	1473,77	3.060 (M)	[PC]	H+V
3037	C	-1,46	29,07	52,00	-30,44	48,12	1342,47	3.060 (M)	[PC]	H+V
3038	C	-13,46	47,07	61,00	-22,69	37,41	493,73	3.060 (M)	[PC]	H-V
3039	C	-8,96	48,57	61,00	-20,91	40,88	517,68	3.060 (M)	[PC]	H-V
3040	C	-14,96	44,07	59,00	-25,35	35,44	494,00	3.060 (M)	[PC]	H+V
3041	C	0,04	48,57	61,00	-18,14	49,88	732,02	3.060 (M)	[PC]	H-V
3042	C	-11,96	35,07	59,00	-44,14	42,92	1259,49	3.060 (M)	[PC]	H+V
3043	C	-1,46	30,57	42,00	-16,22	36,87	458,22	3.061 (M)	[PC]	H+V
3044	C	-13,46	35,07	57,00	-41,88	39,26	1016,77	3.061 (M)	[PC]	H-V
3045	C	-16,46	45,57	68,00	-48,39	43,45	1144,84	3.061 (M)	[PC]	H+V
3046	C	-4,46	29,07	53,00	-35,06	46,17	1358,38	3.061 (M)	[PC]	H+V

N°	Forma	C_x	C_y	R	x_v	x_m	V	F_s	Caso	Sisma
		[m]	*[m]*	*[m]*	*[m]*	*[m]*	*[mc]*			
3047	C	1,54	45,57	57,00	-15,73	48,59	664,88	3.061 (M)	[PC]	H-V
3048	C	-2,96	30,57	43,00	-18,15	36,46	488,72	3.061 (M)	[PC]	H+V
3049	C	9,04	29,07	40,00	-3,98	45,84	644,73	3.061 (M)	[PC]	H+V
3050	C	-13,46	41,07	64,00	-45,37	44,25	1212,48	3.061 (M)	[PC]	H-V
3051	C	-13,46	33,57	52,00	-34,05	34,47	681,40	3.061 (M)	[PC]	H+V
3052	C	-2,96	36,57	48,00	-17,31	39,08	483,55	3.062 (M)	[PC]	H-V
3053	C	-8,96	33,57	58,00	-41,66	45,42	1367,58	3.062 (M)	[PC]	H+V
3054	C	-13,46	44,07	67,00	-46,13	46,11	1258,78	3.062 (M)	[PC]	H-V
3055	C	-11,96	32,07	49,00	-28,46	33,34	585,75	3.062 (M)	[PC]	H-V
3056	C	-2,96	29,07	42,00	-18,62	36,01	504,92	3.062 (M)	[PC]	H+V
3057	C	-16,46	44,07	64,00	-42,59	39,71	871,64	3.062 (M)	[PC]	H-V
3058	C	-14,96	39,57	58,00	-36,62	36,80	719,39	3.062 (M)	[PC]	H-V
3059	C	-7,46	38,07	51,00	-20,82	37,18	492,52	3.062 (M)	[PC]	H+V
3060	C	-10,46	29,07	45,00	-24,26	31,72	517,26	3.062 (M)	[PC]	H+V
3061	C	-4,46	38,07	50,00	-18,60	39,03	496,50	3.063 (M)	[PC]	H-V
3062	C	-4,46	33,57	46,00	-18,98	36,88	485,49	3.063 (M)	[PC]	H+V
3063	C	-1,46	33,57	44,00	-13,50	37,64	425,71	3.063 (M)	[PC]	H-V
3064	C	7,54	38,07	48,00	-3,04	48,72	634,64	3.063 (M)	[PC]	H-V
3065	C	-2,96	32,07	55,00	-32,76	48,77	1354,20	3.063 (M)	[PC]	H-V
3066	C	-2,96	47,07	57,00	-14,50	43,03	473,92	3.063 (M)	[PC]	H-V
3067	C	3,04	38,07	52,00	-17,89	48,82	814,39	3.064 (M)	[PC]	H-V
3068	C	-8,96	32,07	47,00	-22,44	34,17	525,81	3.064 (M)	[PC]	H-V
3069	C	-1,46	29,07	41,00	-16,78	36,43	474,22	3.064 (M)	[PC]	H+V
3070	C	4,54	36,57	50,00	-16,47	48,85	793,70	3.064 (M)	[PC]	H+V
3071	C	-14,96	41,07	58,00	-32,69	36,01	612,94	3.064 (M)	[PC]	H-V
3072	C	-1,46	35,07	44,00	-5,44	36,83	355,02	3.064 (M)	[PC]	H+V
3073	C	3,04	29,07	45,00	-19,07	45,22	860,59	3.064 (M)	[PC]	H-V
3074	C	-10,46	39,57	64,00	-44,86	47,94	1431,71	3.064 (M)	[PC]	H+V
3075	C	6,04	35,07	48,00	-13,55	48,87	773,47	3.064 (M)	[PC]	H+V
3076	C	7,54	29,07	42,00	-10,73	46,51	739,96	3.064 (M)	[PC]	H+V
3077	C	-14,96	45,57	68,00	-46,94	44,95	1186,27	3.064 (M)	[PC]	H-V
3078	C	-16,46	47,07	64,00	-34,96	37,97	638,90	3.064 (M)	[PC]	H-V
3079	C	-1,46	32,07	42,00	-11,35	36,16	382,85	3.064 (M)	[PC]	H+V
3080	C	-5,96	33,57	58,00	-38,75	48,42	1451,07	3.064 (M)	[PC]	H+V
3081	C	-10,46	36,57	61,00	-44,00	45,97	1379,91	3.064 (M)	[PC]	H+V
3082	C	-11,96	39,57	63,00	-44,48	45,35	1282,71	3.065 (M)	[PC]	H-V
3083	C	-16,46	44,07	65,00	-44,86	40,85	968,71	3.065 (M)	[PC]	H-V
3084	C	-13,46	41,07	56,00	-24,48	35,23	504,23	3.065 (M)	[PC]	H-V
3085	C	0,04	48,57	60,00	-16,86	48,65	656,89	3.065 (M)	[PC]	H-V
3086	C	-4,46	33,57	57,00	-35,54	48,85	1389,04	3.065 (M)	[PC]	H-V
3087	C	3,04	33,57	51,00	-21,03	49,88	1043,17	3.065 (M)	[PC]	H+V
3088	C	4,54	36,57	51,00	-17,59	49,97	870,93	3.065 (M)	[PC]	H+V
3089	C	-14,96	42,57	65,00	-46,21	43,13	1141,70	3.066 (M)	[PC]	H-V
3090	C	-2,96	45,57	56,00	-16,43	42,88	495,30	3.066 (M)	[PC]	H-V
3091	C	-2,96	32,07	44,00	-17,65	36,88	472,07	3.066 (M)	[PC]	H+V
3092	C	-11,96	30,57	51,00	-36,34	36,06	849,24	3.066 (M)	[PC]	H-V
3093	C	7,54	36,57	47,00	-4,91	48,43	652,05	3.066 (M)	[PC]	H-V
3094	C	-11,96	42,57	66,00	-45,27	47,24	1330,78	3.066 (M)	[PC]	H-V
3095	C	-13,46	47,07	70,00	-46,88	47,91	1303,83	3.066 (M)	[PC]	H-V
3096	C	-11,96	33,57	49,00	-24,43	32,70	496,98	3.066 (M)	[PC]	H+V
3097	C	-1,46	30,57	41,00	-13,08	35,77	397,57	3.066 (M)	[PC]	H+V
3098	C	4,54	30,57	46,00	-17,95	47,22	876,20	3.066 (M)	[PC]	H+V
3099	C	-13,46	36,57	53,00	-29,06	34,21	562,66	3.066 (M)	[PC]	H-V
3100	C	-4,46	48,57	59,00	-17,01	42,91	485,27	3.066 (M)	[PC]	H+V
3101	C	-7,46	30,57	55,00	-39,29	44,79	1353,69	3.066 (M)	[PC]	H+V
3102	C	3,04	32,07	48,00	-19,46	47,26	899,97	3.067 (M)	[PC]	H-V
3103	C	-13,46	38,07	61,00	-44,59	42,33	1164,04	3.067 (M)	[PC]	H-V
3104	C	-7,46	36,57	50,00	-21,15	36,85	511,39	3.067 (M)	[PC]	H-V
3105	C	-16,46	45,57	67,00	-46,28	42,31	1039,83	3.067 (M)	[PC]	H-V
3106	C	-14,96	48,57	71,00	-47,66	46,72	1229,68	3.067 (M)	[PC]	H-V
3107	C	-14,96	36,57	57,00	-40,65	37,12	856,63	3.067 (M)	[PC]	H+V
3108	C	-10,46	42,57	67,00	-45,70	49,86	1482,93	3.067 (M)	[PC]	H+V
3109	C	-13,46	35,07	53,00	-33,09	34,91	660,66	3.067 (M)	[PC]	H-V
3110	C	0,04	30,57	52,00	-26,69	49,12	1268,92	3.067 (M)	[PC]	H-V
3111	C	-14,96	36,57	58,00	-42,72	38,21	950,57	3.067 (M)	[PC]	H+V
3112	C	-8,96	39,57	53,00	-21,51	37,13	504,11	3.067 (M)	[PC]	H-V
3113	C	3,04	30,57	48,00	-20,78	47,86	1001,30	3.067 (M)	[PC]	H+V
3114	C	-8,96	45,57	58,00	-20,86	39,30	491,46	3.068 (M)	[PC]	H+V
3115	C	-14,96	38,07	56,00	-35,05	35,31	657,77	3.068 (M)	[PC]	H+V
3116	C	1,54	30,57	50,00	-22,65	48,50	1131,83	3.068 (M)	[PC]	H-V
3117	C	-11,96	36,57	60,00	-43,66	43,39	1233,21	3.068 (M)	[PC]	H-V
3118	C	-2,96	29,07	52,00	-31,89	46,62	1301,51	3.068 (M)	[PC]	H-V
3119	C	-4,46	30,57	54,00	-34,66	46,74	1336,24	3.068 (M)	[PC]	H-V
3120	C	-13,46	38,07	54,00	-27,58	34,58	543,23	3.068 (M)	[PC]	H-V
3121	C	7,54	38,07	49,00	-6,91	49,88	697,37	3.068 (M)	[PC]	H+V
3122	C	4,54	30,57	45,00	-16,87	46,14	799,68	3.068 (M)	[PC]	H-V
3123	C	3,04	38,07	53,00	-19,04	49,95	893,18	3.069 (M)	[PC]	H-V
3124	C	-2,96	39,57	50,00	-15,81	39,64	445,70	3.069 (M)	[PC]	H+V
3125	C	-13,46	41,07	65,00	-47,27	45,36	1319,27	3.069 (M)	[PC]	H+V

N°	Forma	C_x	C_y	R	x_v	x_m	V	F_s	Caso	Sisma
		[m]	*[m]*	*[m]*	*[m]*	*[m]*	*[mc]*			
3126	C	1,54	29,07	48,00	-22,18	46,91	1066,64	3.069 (M)	[PC]	H-V
3127	C	-8,96	41,07	54,00	-21,16	37,41	484,54	3.069 (M)	[PC]	H+V
3128	C	4,54	35,07	50,00	-17,98	49,60	893,01	3.069 (M)	[PC]	H+V
3129	C	-5,96	30,57	55,00	-37,83	46,29	1395,82	3.069 (M)	[PC]	H+V
3130	C	-13,46	44,07	68,00	-48,07	47,23	1367,76	3.069 (M)	[PC]	H+V
3131	C	7,54	36,57	48,00	-8,27	49,58	716,71	3.069 (M)	[PC]	H+V
3132	C	-11,96	30,57	50,00	-34,25	35,00	762,75	3.069 (M)	[PC]	H-V
3133	C	-10,46	38,07	52,00	-22,13	35,32	484,43	3.069 (M)	[PC]	H+V
3134	C	-7,46	35,07	59,00	-39,77	47,42	1384,17	3.069 (M)	[PC]	H-V
3135	C	-14,96	45,57	69,00	-48,95	46,08	1294,64	3.069 (M)	[PC]	H+V
3136	C	-8,96	38,07	62,00	-42,08	47,92	1394,30	3.070 (M)	[PC]	H-V
3137	C	-17,96	47,07	68,00	-46,95	41,12	967,95	3.070 (M)	[PC]	H+V
3138	C	6,04	32,07	45,00	-12,90	46,98	740,88	3.070 (M)	[PC]	H-V
3139	C	-11,96	39,57	54,00	-22,87	35,27	494,44	3.070 (M)	[PC]	H-V
3140	C	0,04	29,07	38,00	-3,65	34,66	337,10	3.070 (M)	[PC]	H-V
3141	C	-1,46	30,57	53,00	-29,98	48,68	1321,68	3.070 (M)	[PC]	H-V
3142	C	1,54	29,07	50,00	-24,26	49,02	1239,75	3.070 (M)	[PC]	H+V
3143	C	-8,96	35,07	59,00	-41,23	45,92	1342,00	3.070 (M)	[PC]	H-V
3144	C	-16,46	44,07	63,00	-40,16	38,57	778,61	3.070 (M)	[PC]	H-V
3145	C	-11,96	30,57	52,00	-38,30	37,12	938,77	3.070 (M)	[PC]	H-V
3146	C	-17,96	48,57	70,00	-48,39	42,56	1039,72	3.070 (M)	[PC]	H+V
3147	C	-16,46	42,57	61,00	-38,60	37,11	715,53	3.070 (M)	[PC]	H+V
3148	C	4,54	33,57	47,00	-15,91	46,99	760,41	3.070 (M)	[PC]	H-V
3149	C	-10,46	33,57	58,00	-43,12	43,92	1326,49	3.071 (M)	[PC]	H+V
3150	C	7,54	35,07	46,00	-6,45	48,12	669,90	3.071 (M)	[PC]	H-V
3151	C	-14,96	42,57	66,00	-48,17	44,24	1247,90	3.071 (M)	[PC]	H+V
3152	C	-16,46	41,07	62,00	-44,19	39,02	926,84	3.071 (M)	[PC]	H+V
3153	C	3,04	36,57	52,00	-19,44	49,59	915,98	3.071 (M)	[PC]	H-V
3154	C	-2,96	44,07	54,00	-14,19	41,48	450,65	3.071 (M)	[PC]	H-V
3155	C	-8,96	30,57	55,00	-40,75	43,29	1312,47	3.071 (M)	[PC]	H+V
3156	C	1,54	45,57	58,00	-17,37	49,80	739,43	3.071 (M)	[PC]	H-V
3157	C	-5,96	36,57	49,00	-19,72	37,22	480,27	3.071 (M)	[PC]	H+V
3158	C	-7,46	30,57	45,00	-21,69	34,14	513,14	3.071 (M)	[PC]	H+V
3159	C	-10,46	47,07	60,00	-21,50	39,20	502,01	3.071 (M)	[PC]	H-V
3160	C	-11,96	29,07	49,00	-34,96	34,47	782,15	3.071 (M)	[PC]	H+V
3161	C	7,54	35,07	47,00	-9,45	49,25	736,09	3.071 (M)	[PC]	H+V
3162	C	-7,46	38,07	62,00	-40,63	49,42	1435,71	3.072 (M)	[PC]	H-V
3163	C	-7,46	47,07	59,00	-19,97	40,99	506,32	3.072 (M)	[PC]	H-V
3164	C	-11,96	45,57	69,00	-46,05	49,08	1378,28	3.072 (M)	[PC]	H-V
3165	C	3,04	39,57	53,00	-17,46	49,13	791,70	3.072 (M)	[PC]	H-V
3166	C	-14,96	38,07	61,00	-46,04	40,83	1122,63	3.072 (M)	[PC]	H+V
3167	C	-17,96	47,07	67,00	-44,63	39,97	868,93	3.072 (M)	[PC]	H+V
3168	C	-10,46	36,57	51,00	-22,48	34,97	502,61	3.072 (M)	[PC]	H-V
3169	C	-2,96	48,57	59,00	-16,55	44,41	518,88	3.072 (M)	[PC]	H-V
3170	C	-14,96	48,57	72,00	-49,70	47,87	1340,16	3.072 (M)	[PC]	H+V
3171	C	-2,96	32,07	56,00	-34,52	49,84	1454,42	3.072 (M)	[PC]	H+V
3172	C	-11,96	29,07	50,00	-36,95	35,52	868,61	3.072 (M)	[PC]	H+V
3173	C	-10,46	29,07	52,00	-39,17	39,12	1094,54	3.072 (M)	[PC]	H-V
3174	C	-14,96	38,07	59,00	-42,05	38,63	925,23	3.072 (M)	[PC]	H-V
3175	C	6,04	33,57	47,00	-14,41	48,49	793,75	3.073 (M)	[PC]	H+V
3176	C	-7,46	32,07	56,00	-38,89	45,34	1330,19	3.073 (M)	[PC]	H-V
3177	C	-13,46	47,07	71,00	-48,86	49,05	1414,96	3.073 (M)	[PC]	H+V
3178	C	7,54	33,57	45,00	-7,76	47,77	687,75	3.073 (M)	[PC]	H-V
3179	C	-17,96	48,57	67,00	-41,06	39,07	745,85	3.073 (M)	[PC]	H+V
3180	C	3,04	32,07	50,00	-21,25	49,42	1064,22	3.073 (M)	[PC]	H+V
3181	C	-14,96	38,07	58,00	-39,89	37,53	832,04	3.073 (M)	[PC]	H-V
3182	C	-10,46	42,57	56,00	-21,82	37,34	495,12	3.073 (M)	[PC]	H-V
3183	C	-13,46	38,07	62,00	-46,44	43,42	1269,39	3.073 (M)	[PC]	H+V
3184	C	-8,96	35,07	49,00	-21,78	34,99	491,56	3.073 (M)	[PC]	H+V
3185	C	-2,96	33,57	45,00	-17,13	37,27	454,90	3.073 (M)	[PC]	H+V
3186	C	-13,46	33,57	51,00	-31,51	33,38	601,93	3.074 (M)	[PC]	H+V
3187	C	-14,96	39,57	56,00	-30,89	34,55	556,31	3.074 (M)	[PC]	H+V
3188	C	-11,96	39,57	64,00	-46,32	46,44	1390,27	3.074 (M)	[PC]	H+V
3189	C	-14,96	42,57	58,00	-27,53	35,17	514,56	3.074 (M)	[PC]	H+V
3190	C	-16,46	45,57	63,00	-36,30	37,71	664,49	3.074 (M)	[PC]	H-V
3191	C	-1,46	32,07	43,00	-14,98	37,28	441,90	3.074 (M)	[PC]	H-V
3192	C	-1,46	33,57	43,00	-9,08	36,52	368,60	3.074 (M)	[PC]	H+V
3193	C	-11,96	30,57	47,00	-26,77	31,79	530,28	3.074 (M)	[PC]	H+V
3194	C	-10,46	30,57	54,00	-40,49	40,74	1169,83	3.074 (M)	[PC]	H-V
3195	C	-16,46	42,57	65,00	-47,66	41,63	1099,67	3.074 (M)	[PC]	H+V
3196	C	-11,96	30,57	54,00	-41,95	39,24	1128,84	3.074 (M)	[PC]	H+V
3197	C	-8,96	41,07	65,00	-42,91	49,86	1444,29	3.074 (M)	[PC]	H-V
3198	C	4,54	32,07	46,00	-16,51	46,58	780,32	3.074 (M)	[PC]	H-V
3199	C	-16,46	47,07	69,00	-47,70	43,77	1113,34	3.074 (M)	[PC]	H-V
3200	C	-11,96	32,07	55,00	-41,49	39,77	1105,93	3.074 (M)	[PC]	H-V
3201	C	-10,46	29,07	53,00	-40,90	40,17	1191,94	3.074 (M)	[PC]	H+V
3202	C	4,54	33,57	49,00	-18,34	49,20	914,54	3.075 (M)	[PC]	H+V
3203	C	3,04	35,07	51,00	-19,83	49,21	938,34	3.075 (M)	[PC]	H-V
3204	C	-4,46	35,07	47,00	-18,43	37,25	467,70	3.075 (M)	[PC]	H+V

N°	Forma	C_x	C_y	R	x_v	x_m	V	F_s	Caso	Sisma
		[m]	*[m]*	*[m]*	*[m]*	*[m]*	*[mc]*			
3205	C	-11,96	41,07	55,00	-22,42	35,57	475,58	3.075 (M)	[PC]	H+V
3206	C	-10,46	38,07	62,00	-43,54	46,42	1352,32	3.075 (M)	[PC]	H-V
3207	C	-5,96	33,57	47,00	-20,73	36,49	516,71	3.075 (M)	[PC]	H-V
3208	C	-11,96	42,57	67,00	-47,15	48,36	1440,57	3.075 (M)	[PC]	H+V
3209	C	-14,96	36,57	56,00	-38,44	36,02	766,08	3.075 (M)	[PC]	H+V
3210	C	-11,96	32,07	56,00	-43,26	40,84	1205,61	3.075 (M)	[PC]	H+V
3211	C	4,54	42,57	54,00	-12,26	49,98	705,28	3.075 (M)	[PC]	H-V
3212	C	-11,96	29,07	51,00	-38,83	36,57	959,67	3.075 (M)	[PC]	H+V
3213	C	-16,46	41,07	63,00	-46,28	40,14	1025,79	3.075 (M)	[PC]	H+V
3214	C	-16,46	41,07	61,00	-41,97	37,90	831,88	3.075 (M)	[PC]	H+V
3215	C	-14,96	36,57	59,00	-44,69	39,30	1048,15	3.075 (M)	[PC]	H+V
3216	C	-10,46	30,57	46,00	-23,54	32,22	501,79	3.076 (M)	[PC]	H+V
3217	C	-8,96	32,07	56,00	-40,35	43,84	1288,98	3.076 (M)	[PC]	H-V
3218	C	-5,96	35,07	59,00	-38,32	48,92	1425,45	3.076 (M)	[PC]	H-V
3219	C	-13,46	36,57	52,00	-25,53	33,09	490,35	3.076 (M)	[PC]	H+V
3220	C	-10,46	32,07	47,00	-22,78	32,67	485,90	3.076 (M)	[PC]	H+V
3221	C	-4,46	33,57	58,00	-37,29	49,92	1492,08	3.076 (M)	[PC]	H+V
3222	C	-7,46	29,07	44,00	-22,00	33,66	529,00	3.076 (M)	[PC]	H-V
3223	C	3,04	41,07	54,00	-17,00	49,41	768,61	3.076 (M)	[PC]	H-V
3224	C	-16,46	47,07	70,00	-49,77	44,91	1220,80	3.077 (M)	[PC]	H+V
3225	C	-5,96	32,07	56,00	-37,43	46,84	1372,10	3.077 (M)	[PC]	H-V
3226	C	-8,96	33,57	48,00	-22,12	34,60	508,94	3.077 (M)	[PC]	H-V
3227	C	-13,46	33,57	54,00	-38,51	36,63	853,78	3.077 (M)	[PC]	H-V
3228	C	-2,96	45,57	55,00	-11,58	41,65	431,23	3.077 (M)	[PC]	H+V
3229	C	-11,96	30,57	49,00	-32,01	33,93	681,16	3.077 (M)	[PC]	H-V
3230	C	-10,46	41,07	65,00	-44,36	48,36	1403,04	3.077 (M)	[PC]	H-V
3231	C	-16,46	48,57	64,00	-29,49	37,01	534,38	3.077 (M)	[PC]	H+V
3232	C	3,04	30,57	47,00	-19,81	46,79	920,05	3.077 (M)	[PC]	H-V
3233	C	-2,96	41,07	51,00	-13,87	39,88	426,79	3.077 (M)	[PC]	H+V
3234	C	-1,46	30,57	54,00	-31,75	49,74	1419,02	3.077 (M)	[PC]	H+V
3235	C	-14,96	39,57	63,00	-47,38	42,35	1198,86	3.077 (M)	[PC]	H+V
3236	C	-5,96	45,57	57,00	-18,77	41,09	494,69	3.077 (M)	[PC]	H-V
3237	C	-11,96	36,57	61,00	-45,46	44,47	1338,48	3.077 (M)	[PC]	H+V
3238	C	-16,46	47,07	63,00	-31,42	36,79	557,86	3.078 (M)	[PC]	H+V
3239	C	-10,46	35,07	59,00	-42,68	44,42	1300,89	3.078 (M)	[PC]	H-V
3240	C	7,54	32,07	44,00	-8,88	47,38	705,32	3.078 (M)	[PC]	H-V
3241	C	-14,96	39,57	57,00	-33,94	35,68	635,63	3.078 (M)	[PC]	H-V
3242	C	-2,96	29,07	53,00	-33,61	47,67	1399,44	3.078 (M)	[PC]	H+V
3243	C	-11,96	29,07	48,00	-32,83	33,41	699,70	3.078 (M)	[PC]	H+V
3244	C	7,54	33,57	46,00	-10,49	48,88	755,27	3.078 (M)	[PC]	H+V
3245	C	-7,46	44,07	56,00	-19,87	39,39	480,32	3.078 (M)	[PC]	H+V
3246	C	-14,96	41,07	57,00	-29,34	34,87	535,49	3.078 (M)	[PC]	H+V
3247	C	-2,96	42,57	53,00	-16,20	41,29	470,82	3.078 (M)	[PC]	H-V
3248	C	-11,96	33,57	57,00	-42,82	41,35	1181,36	3.078 (M)	[PC]	H-V
3249	C	-13,46	32,07	53,00	-39,16	36,14	875,15	3.079 (M)	[PC]	H+V
3250	C	-4,46	44,07	55,00	-17,54	41,19	482,88	3.079 (M)	[PC]	H-V
3251	C	6,04	32,07	46,00	-15,17	48,08	813,66	3.079 (M)	[PC]	H+V
3252	C	9,04	33,57	44,00	-3,00	48,14	658,37	3.079 (M)	[PC]	H+V
3253	C	-4,46	30,57	55,00	-36,37	47,79	1436,82	3.079 (M)	[PC]	H+V
3254	C	4,54	29,07	45,00	-18,27	46,72	895,35	3.079 (M)	[PC]	H+V
3255	C	-13,46	33,57	55,00	-40,52	37,71	945,35	3.079 (M)	[PC]	H-V
3256	C	-16,46	44,07	61,00	-34,53	36,27	605,79	3.079 (M)	[PC]	H+V
3257	C	-14,96	39,57	62,00	-45,46	41,25	1095,21	3.079 (M)	[PC]	H-V
3258	C	4,54	41,07	53,00	-13,54	49,74	727,38	3.080 (M)	[PC]	H-V
3259	C	-14,96	38,07	60,00	-44,09	39,73	1022,02	3.080 (M)	[PC]	H-V
3260	C	-7,46	48,57	60,00	-19,31	41,15	484,28	3.080 (M)	[PC]	H+V
3261	C	3,04	29,07	47,00	-20,98	47,35	1021,02	3.080 (M)	[PC]	H+V
3262	C	4,54	29,07	44,00	-17,21	45,66	818,40	3.080 (M)	[PC]	H-V
3263	C	-13,46	32,07	52,00	-37,11	35,07	786,59	3.080 (M)	[PC]	H+V
3264	C	-11,96	32,07	48,00	-25,41	32,26	513,70	3.080 (M)	[PC]	H-V
3265	C	-4,46	41,07	52,00	-17,42	39,57	457,50	3.080 (M)	[PC]	H+V
3266	C	-7,46	42,57	55,00	-20,51	39,17	501,07	3.080 (M)	[PC]	H-V
3267	C	-13,46	32,07	54,00	-41,10	37,21	968,43	3.080 (M)	[PC]	H+V
3268	C	9,04	32,07	43,00	-4,48	47,78	674,44	3.080 (M)	[PC]	H+V
3269	C	-16,46	44,07	67,00	-49,03	43,11	1175,06	3.080 (M)	[PC]	H+V
3270	C	-16,46	42,57	63,00	-43,42	39,38	899,40	3.081 (M)	[PC]	H-V
3271	C	-2,96	38,07	49,00	-16,75	39,38	464,85	3.081 (M)	[PC]	H-V
3272	C	-8,96	38,07	63,00	-43,86	49,01	1502,92	3.081 (M)	[PC]	H+V
3273	C	-11,96	35,07	50,00	-23,61	33,10	479,96	3.081 (M)	[PC]	H+V
3274	C	-13,46	42,57	66,00	-46,72	45,74	1289,27	3.081 (M)	[PC]	H-V
3275	C	-7,46	35,07	60,00	-41,51	48,49	1490,24	3.081 (M)	[PC]	H+V
3276	C	6,04	30,57	44,00	-13,71	46,55	759,43	3.081 (M)	[PC]	H-V
3277	C	-14,96	38,07	57,00	-37,58	36,42	743,17	3.081 (M)	[PC]	H-V
3278	C	-11,96	29,07	47,00	-30,52	32,35	621,17	3.082 (M)	[PC]	H+V
3279	C	3,04	33,57	50,00	-20,20	48,79	959,70	3.082 (M)	[PC]	H-V
3280	C	-13,46	33,57	53,00	-36,36	35,55	765,27	3.082 (M)	[PC]	H-V
3281	C	-5,96	47,07	58,00	-18,11	41,27	473,15	3.082 (M)	[PC]	H+V
3282	C	-2,96	48,57	58,00	-11,82	43,16	453,23	3.082 (M)	[PC]	H-V
3283	C	-8,96	35,07	60,00	-42,97	46,99	1447,90	3.082 (M)	[PC]	H+V

N°	Forma	C_x	C_y	R	x_v	x_m	V	F_s	Caso	Sisma
		[m]	*[m]*	*[m]*	*[m]*	*[m]*	*[mc]*			
3284	C	-13,46	33,57	57,00	-44,27	39,85	1140,06	3.082 (M)	[PC]	H+V
3285	C	4,54	33,57	48,00	-17,25	48,10	836,28	3.082 (M)	[PC]	H-V
3286	C	1,54	29,07	49,00	-22,98	47,97	1151,81	3.082 (M)	[PC]	H-V
3287	C	-4,46	29,07	43,00	-20,47	35,58	535,90	3.082 (M)	[PC]	H-V
3288	C	-5,96	41,07	53,00	-19,27	39,24	489,15	3.082 (M)	[PC]	H-V
3289	C	-1,46	29,07	40,00	-14,48	35,34	412,29	3.083 (M)	[PC]	H+V
3290	C	-11,96	30,57	53,00	-40,16	38,18	1031,82	3.083 (M)	[PC]	H-V
3291	C	-13,46	39,57	63,00	-45,93	43,85	1241,22	3.083 (M)	[PC]	H-V
3292	C	6,04	39,57	51,00	-10,27	49,81	711,51	3.083 (M)	[PC]	H-V
3293	C	-14,96	44,07	67,00	-47,58	44,61	1217,19	3.083 (M)	[PC]	H-V
3294	C	-5,96	42,57	54,00	-18,66	39,48	468,92	3.083 (M)	[PC]	H+V
3295	C	-13,46	35,07	52,00	-30,36	33,81	582,31	3.083 (M)	[PC]	H-V
3296	C	4,54	32,07	48,00	-18,69	48,76	935,47	3.083 (M)	[PC]	H+V
3297	C	-7,46	29,07	53,00	-37,98	43,17	1275,37	3.083 (M)	[PC]	H-V
3298	C	3,04	30,57	49,00	-21,46	48,93	1085,00	3.083 (M)	[PC]	H+V
3299	C	-13,46	45,57	69,00	-47,50	47,58	1336,01	3.084 (M)	[PC]	H-V
3300	C	9,04	30,57	42,00	-5,72	47,37	690,74	3.084 (M)	[PC]	H+V
3301	C	4,54	39,57	52,00	-14,67	49,47	749,56	3.084 (M)	[PC]	H-V
3302	C	-10,46	44,07	57,00	-21,46	37,59	474,96	3.084 (M)	[PC]	H+V
3303	C	-14,96	47,07	70,00	-48,33	46,41	1262,23	3.084 (M)	[PC]	H-V
3304	C	-16,46	42,57	64,00	-45,60	40,51	997,44	3.084 (M)	[PC]	H-V
3305	C	-11,96	30,57	48,00	-29,55	32,86	603,64	3.084 (M)	[PC]	H-V
3306	C	-13,46	42,57	57,00	-23,54	35,51	484,77	3.084 (M)	[PC]	H-V
3307	C	-17,96	47,07	66,00	-42,14	38,81	774,12	3.084 (M)	[PC]	H+V
3308	C	-4,46	30,57	44,00	-19,99	36,05	519,50	3.084 (M)	[PC]	H-V
3309	C	-10,46	30,57	55,00	-42,20	41,79	1270,27	3.085 (M)	[PC]	H+V
3310	C	1,54	47,07	59,00	-16,84	49,99	714,87	3.085 (M)	[PC]	H-V
3311	C	-17,96	48,57	69,00	-46,12	41,40	937,38	3.085 (M)	[PC]	H-V
3312	C	-2,96	47,07	56,00	-7,45	41,79	412,93	3.085 (M)	[PC]	H-V
3313	C	-4,46	39,57	51,00	-18,02	39,31	477,04	3.085 (M)	[PC]	H-V
3314	C	3,04	42,57	55,00	-16,52	49,67	745,24	3.085 (M)	[PC]	H-V
3315	C	-13,46	35,07	59,00	-45,59	41,42	1217,17	3.085 (M)	[PC]	H+V
3316	C	6,04	38,07	50,00	-11,51	49,53	732,32	3.085 (M)	[PC]	H-V
3317	C	7,54	32,07	45,00	-11,40	48,48	773,91	3.085 (M)	[PC]	H+V
3318	C	-13,46	35,07	58,00	-43,78	40,34	1115,12	3.085 (M)	[PC]	H-V
3319	C	-4,46	45,57	56,00	-16,91	41,38	461,79	3.085 (M)	[PC]	H+V
3320	C	-5,96	29,07	53,00	-36,52	44,67	1316,27	3.085 (M)	[PC]	H-V
3321	C	-16,46	44,07	66,00	-47,00	41,98	1069,83	3.085 (M)	[PC]	H-V
3322	C	-7,46	32,07	57,00	-40,59	46,40	1433,66	3.085 (M)	[PC]	H+V
3323	C	-4,46	32,07	45,00	-19,50	36,48	502,91	3.085 (M)	[PC]	H-V
3324	C	-16,46	45,57	62,00	-33,08	36,54	581,76	3.086 (M)	[PC]	H+V
3325	C	-16,46	44,07	62,00	-37,50	37,42	690,04	3.086 (M)	[PC]	H-V
3326	C	-10,46	38,07	63,00	-45,32	47,51	1460,58	3.086 (M)	[PC]	H+V
3327	C	-11,96	45,57	59,00	-22,08	37,50	484,66	3.086 (M)	[PC]	H-V
3328	C	3,04	44,07	56,00	-15,56	49,89	721,61	3.086 (M)	[PC]	H-V
3329	C	-2,96	44,07	53,00	-7,32	40,26	391,33	3.086 (M)	[PC]	H+V
3330	C	-11,96	41,07	65,00	-45,82	46,86	1360,80	3.086 (M)	[PC]	H-V
3331	C	-16,46	41,07	60,00	-39,59	36,78	740,86	3.086 (M)	[PC]	H+V
3332	C	-16,46	42,57	62,00	-41,10	38,25	805,42	3.087 (M)	[PC]	H-V
3333	C	-2,96	30,57	54,00	-33,21	48,24	1377,29	3.087 (M)	[PC]	H-V
3334	C	-10,46	32,07	56,00	-41,80	42,34	1247,66	3.087 (M)	[PC]	H-V
3335	C	-7,46	32,07	46,00	-21,38	34,58	496,69	3.087 (M)	[PC]	H+V
3336	C	-11,96	38,07	62,00	-44,99	44,92	1310,90	3.087 (M)	[PC]	H-V
3337	C	-10,46	48,57	61,00	-21,12	39,38	480,46	3.087 (M)	[PC]	H+V
3338	C	-14,96	38,07	55,00	-32,24	34,20	577,42	3.087 (M)	[PC]	H+V
3339	C	7,54	30,57	43,00	-9,87	46,96	722,82	3.087 (M)	[PC]	H-V
3340	C	-10,46	41,07	66,00	-46,19	49,46	1513,69	3.087 (M)	[PC]	H+V
3341	C	-5,96	35,07	48,00	-20,28	36,87	498,68	3.087 (M)	[PC]	H-V
3342	C	-17,96	47,07	69,00	-49,14	42,27	1071,31	3.087 (M)	[PC]	H+V
3343	C	-14,96	41,07	64,00	-46,82	42,75	1170,16	3.087 (M)	[PC]	H-V
3344	C	-5,96	35,07	60,00	-40,06	49,99	1531,57	3.087 (M)	[PC]	H+V
3345	C	-14,96	36,57	55,00	-36,06	34,92	680,26	3.087 (M)	[PC]	H+V
3346	C	-11,96	33,57	58,00	-44,57	42,42	1285,08	3.087 (M)	[PC]	H+V
3347	C	-13,46	32,07	51,00	-34,91	34,00	701,77	3.088 (M)	[PC]	H+V
3348	C	-17,96	45,57	67,00	-47,73	40,81	998,46	3.088 (M)	[PC]	H+V
3349	C	1,54	30,57	51,00	-23,88	49,56	1219,29	3.088 (M)	[PC]	H-V
3350	C	-11,96	29,07	52,00	-40,63	37,62	1053,34	3.088 (M)	[PC]	H+V
3351	C	-17,96	45,57	66,00	-45,50	39,67	898,14	3.088 (M)	[PC]	H+V
3352	C	-17,96	48,57	68,00	-43,69	40,24	839,45	3.088 (M)	[PC]	H-V
3353	C	-14,96	44,07	59,00	-25,35	35,44	494,00	3.088 (M)	[PC]	H-V
3354	C	-8,96	32,07	57,00	-42,05	44,90	1392,41	3.088 (M)	[PC]	H+V
3355	C	-13,46	38,07	53,00	-24,37	33,45	472,31	3.088 (M)	[PC]	H+V
3356	C	-4,46	32,07	56,00	-35,98	48,34	1413,32	3.088 (M)	[PC]	H-V
3357	C	-1,46	30,57	42,00	-16,22	36,87	458,22	3.088 (M)	[PC]	H-V
3358	C	-7,46	39,57	52,00	-20,39	37,47	473,24	3.088 (M)	[PC]	H+V
3359	C	-14,96	44,07	68,00	-49,52	45,73	1326,39	3.088 (M)	[PC]	H+V
3360	C	-13,46	42,57	67,00	-48,61	46,86	1399,01	3.089 (M)	[PC]	H+V
3361	C	-10,46	35,07	60,00	-44,43	45,49	1406,82	3.089 (M)	[PC]	H+V
3362	C	-2,96	30,57	43,00	-18,15	36,46	488,72	3.089 (M)	[PC]	H-V

N°	Forma	C_x	C_y	R	x_v	x_m	V	F_s	Caso	Sisma
		[m]	*[m]*	*[m]*	*[m]*	*[m]*	*[mc]*			
3363	C	-2,96	35,07	46,00	-16,59	37,62	437,34	3.089 (M)	[PC]	H+V
3364	C	0,04	29,07	51,00	-27,20	48,57	1289,89	3.089 (M)	[PC]	H-V
3365	C	-5,96	32,07	57,00	-39,13	47,90	1475,94	3.089 (M)	[PC]	H+V
3366	C	4,54	32,07	47,00	-17,61	47,67	856,38	3.089 (M)	[PC]	H-V
3367	C	6,04	36,57	49,00	-12,59	49,22	752,91	3.089 (M)	[PC]	H-V
3368	C	4,54	38,07	51,00	-15,68	49,18	771,68	3.089 (M)	[PC]	H-V
3369	C	-8,96	29,07	53,00	-39,44	41,67	1234,19	3.089 (M)	[PC]	H-V
3370	C	-11,96	44,07	68,00	-46,62	48,73	1409,30	3.090 (M)	[PC]	H-V
3371	C	-13,46	48,57	72,00	-48,25	49,37	1381,54	3.090 (M)	[PC]	H-V
3372	C	-2,96	29,07	42,00	-18,62	36,01	504,92	3.090 (M)	[PC]	H-V
3373	C	-5,96	38,07	50,00	-19,14	37,53	461,50	3.090 (M)	[PC]	H+V
3374	C	-7,46	38,07	51,00	-20,82	37,18	492,52	3.090 (M)	[PC]	H-V
3375	C	-13,46	33,57	52,00	-34,05	34,47	681,40	3.090 (M)	[PC]	H-V
3376	C	6,04	29,07	43,00	-14,42	46,08	777,15	3.091 (M)	[PC]	H-V
3377	C	-10,46	29,07	45,00	-24,26	31,72	517,26	3.091 (M)	[PC]	H-V
3378	C	-4,46	33,57	46,00	-18,98	36,88	485,49	3.091 (M)	[PC]	H-V
3379	C	-13,46	39,57	64,00	-47,77	44,94	1348,72	3.091 (M)	[PC]	H+V
3380	C	-13,46	33,57	56,00	-42,44	38,78	1041,03	3.091 (M)	[PC]	H-V
3381	C	-16,46	42,57	60,00	-35,83	35,97	629,98	3.091 (M)	[PC]	H+V
3382	C	3,04	29,07	46,00	-20,13	46,29	939,39	3.091 (M)	[PC]	H-V
3383	C	-13,46	45,57	70,00	-49,42	48,71	1447,95	3.091 (M)	[PC]	H+V
3384	C	3,04	32,07	49,00	-20,55	48,34	980,83	3.091 (M)	[PC]	H-V
3385	C	-13,46	36,57	60,00	-45,11	41,89	1190,92	3.091 (M)	[PC]	H-V
3386	C	-1,46	29,07	41,00	-16,78	36,43	474,22	3.091 (M)	[PC]	H-V
3387	C	4,54	35,07	49,00	-16,87	48,49	815,25	3.092 (M)	[PC]	H-V
3388	C	-16,46	48,57	71,00	-49,10	45,22	1188,25	3.092 (M)	[PC]	H-V
3389	C	-2,96	36,57	47,00	-15,41	37,93	419,49	3.092 (M)	[PC]	H+V
3390	C	-11,96	36,57	51,00	-22,75	33,47	462,94	3.092 (M)	[PC]	H+V
3391	C	-1,46	32,07	42,00	-11,35	36,16	382,85	3.092 (M)	[PC]	H-V
3392	C	-13,46	32,07	55,00	-42,94	38,27	1064,65	3.092 (M)	[PC]	H+V
3393	C	-14,96	41,07	65,00	-48,72	43,86	1277,91	3.092 (M)	[PC]	H+V
3394	C	9,04	29,07	41,00	-6,79	46,93	706,80	3.092 (M)	[PC]	H+V
3395	C	-8,96	36,57	61,00	-42,55	47,47	1421,01	3.092 (M)	[PC]	H-V
3396	C	-1,46	35,07	44,00	-5,44	36,83	355,02	3.092 (M)	[PC]	H-V
3397	C	-4,46	36,57	48,00	-17,87	37,58	449,54	3.092 (M)	[PC]	H+V
3398	C	0,04	29,07	52,00	-28,98	49,62	1384,24	3.092 (M)	[PC]	H+V
3399	C	-7,46	36,57	61,00	-41,09	48,97	1463,31	3.093 (M)	[PC]	H-V
3400	C	-13,46	35,07	51,00	-27,20	32,71	508,49	3.093 (M)	[PC]	H+V
3401	C	-16,46	45,57	68,00	-48,39	43,45	1144,84	3.093 (M)	[PC]	H-V
3402	C	-7,46	33,57	58,00	-40,20	46,92	1409,78	3.093 (M)	[PC]	H-V
3403	C	-11,96	35,07	59,00	-44,14	42,92	1259,49	3.093 (M)	[PC]	H-V
3404	C	-13,46	33,57	50,00	-28,63	32,29	526,69	3.093 (M)	[PC]	H+V
3405	C	-16,46	39,57	61,00	-44,89	38,64	953,90	3.093 (M)	[PC]	H+V
3406	C	-1,46	30,57	41,00	-13,08	35,77	397,57	3.094 (M)	[PC]	H-V
3407	C	-2,96	32,07	44,00	-17,65	36,88	472,07	3.094 (M)	[PC]	H-V
3408	C	6,04	30,57	45,00	-15,84	47,64	833,10	3.094 (M)	[PC]	H+V
3409	C	-8,96	39,57	64,00	-43,41	49,44	1473,77	3.094 (M)	[PC]	H-V
3410	C	-1,46	29,07	52,00	-30,44	48,12	1342,47	3.094 (M)	[PC]	H-V
3411	C	-11,96	33,57	49,00	-24,43	32,70	496,98	3.094 (M)	[PC]	H-V
3412	C	-13,46	48,57	62,00	-22,30	37,60	472,89	3.094 (M)	[PC]	H+V
3413	C	9,04	29,07	40,00	-3,98	45,84	644,73	3.094 (M)	[PC]	H-V
3414	C	-17,96	48,57	66,00	-38,16	37,89	656,68	3.094 (M)	[PC]	H+V
3415	C	-4,46	29,07	53,00	-35,06	46,17	1358,38	3.095 (M)	[PC]	H-V
3416	C	4,54	30,57	47,00	-19,02	48,29	955,31	3.095 (M)	[PC]	H+V
3417	C	-14,96	45,57	60,00	-24,14	35,69	473,79	3.095 (M)	[PC]	H+V
3418	C	-8,96	33,57	58,00	-41,66	45,42	1367,58	3.095 (M)	[PC]	H-V
3419	C	-4,46	48,57	59,00	-17,01	42,91	485,27	3.095 (M)	[PC]	H-V
3420	C	7,54	30,57	44,00	-12,21	48,05	792,53	3.095 (M)	[PC]	H+V
3421	C	-13,46	32,07	50,00	-32,53	32,92	621,16	3.095 (M)	[PC]	H+V
3422	C	-2,96	42,57	52,00	-11,34	40,09	408,46	3.095 (M)	[PC]	H+V
3423	C	-11,96	41,07	66,00	-47,64	47,96	1471,30	3.095 (M)	[PC]	H+V
3424	C	-14,96	35,07	57,00	-43,33	37,76	975,39	3.096 (M)	[PC]	H+V
3425	C	-14,96	35,07	56,00	-41,34	36,68	879,91	3.096 (M)	[PC]	H+V
3426	C	-7,46	29,07	54,00	-39,64	44,22	1376,34	3.096 (M)	[PC]	H+V
3427	C	-8,96	45,57	58,00	-20,86	39,30	491,46	3.096 (M)	[PC]	H-V
3428	C	4,54	36,57	50,00	-16,47	48,85	793,70	3.096 (M)	[PC]	H-V
3429	C	-16,46	41,07	64,00	-48,27	41,25	1128,87	3.096 (M)	[PC]	H+V
3430	C	3,04	29,07	48,00	-21,66	48,41	1105,00	3.096 (M)	[PC]	H+V
3431	C	-16,46	39,57	60,00	-42,77	37,53	858,01	3.096 (M)	[PC]	H+V
3432	C	-2,96	30,57	55,00	-34,91	49,29	1477,93	3.096 (M)	[PC]	H+V
3433	C	-14,96	38,07	56,00	-35,05	35,31	657,77	3.096 (M)	[PC]	H-V
3434	C	-2,96	39,57	50,00	-15,81	39,64	445,70	3.096 (M)	[PC]	H-V
3435	C	-11,96	38,07	63,00	-46,78	46,01	1419,13	3.097 (M)	[PC]	H+V
3436	C	-8,96	41,07	54,00	-21,16	37,41	484,54	3.097 (M)	[PC]	H-V
3437	C	6,04	35,07	48,00	-13,55	48,87	773,47	3.097 (M)	[PC]	H-V
3438	C	7,54	29,07	42,00	-10,73	46,51	739,96	3.097 (M)	[PC]	H-V
3439	C	-10,46	38,07	52,00	-22,13	35,32	484,43	3.097 (M)	[PC]	H-V
3440	C	-8,96	36,57	50,00	-21,44	35,35	473,69	3.097 (M)	[PC]	H+V
3441	C	3,04	30,57	50,00	-22,15	50,00	1170,99	3.097 (M)	[PC]	H+V

N°	Forma	C_x	C_y	R	x_v	x_m	V	F_s	Caso	Sisma
		[m]	*[m]*	*[m]*	*[m]*	*[m]*	*[mc]*			
3442	C	6,04	29,07	44,00	-16,41	47,16	851,70	3.097 (M)	[PC]	H+V
3443	C	-14,96	36,57	57,00	-40,65	37,12	856,63	3.097 (M)	[PC]	H-V
3444	C	-10,46	39,57	64,00	-44,86	47,94	1431,71	3.098 (M)	[PC]	H-V
3445	C	-14,96	36,57	60,00	-46,56	40,39	1149,49	3.098 (M)	[PC]	H+V
3446	C	-5,96	29,07	54,00	-38,18	45,72	1417,44	3.098 (M)	[PC]	H+V
3447	C	-10,46	36,57	61,00	-44,00	45,97	1379,91	3.098 (M)	[PC]	H-V
3448	C	-17,96	45,57	65,00	-43,12	38,52	802,29	3.098 (M)	[PC]	H+V
3449	C	-11,96	44,07	69,00	-48,49	49,85	1522,90	3.098 (M)	[PC]	H+V
3450	C	-10,46	32,07	57,00	-43,51	43,40	1351,34	3.098 (M)	[PC]	H+V
3451	C	-14,96	36,57	58,00	-42,72	38,21	950,57	3.098 (M)	[PC]	H-V
3452	C	4,54	36,57	51,00	-17,59	49,97	870,93	3.098 (M)	[PC]	H-V
3453	C	-5,96	33,57	58,00	-38,75	48,42	1451,07	3.099 (M)	[PC]	H-V
3454	C	-13,46	36,57	61,00	-46,91	42,97	1296,00	3.099 (M)	[PC]	H+V
3455	C	-5,96	36,57	49,00	-19,72	37,22	480,27	3.099 (M)	[PC]	H-V
3456	C	4,54	30,57	46,00	-17,95	47,22	876,20	3.099 (M)	[PC]	H-V
3457	C	3,04	33,57	51,00	-21,03	49,88	1043,17	3.099 (M)	[PC]	H-V
3458	C	-11,96	29,07	46,00	-27,96	31,29	546,62	3.099 (M)	[PC]	H+V
3459	C	-7,46	30,57	45,00	-21,69	34,14	513,14	3.099 (M)	[PC]	H-V
3460	C	-14,96	35,07	55,00	-39,23	35,59	789,19	3.099 (M)	[PC]	H+V
3461	C	-16,46	39,57	62,00	-46,91	39,75	1053,91	3.099 (M)	[PC]	H+V
3462	C	-7,46	33,57	47,00	-21,06	34,99	479,68	3.100 (M)	[PC]	H+V
3463	C	-16,46	42,57	61,00	-38,60	37,11	715,53	3.100 (M)	[PC]	H-V
3464	C	-13,46	44,07	58,00	-22,66	35,77	465,24	3.100 (M)	[PC]	H+V
3465	C	-7,46	30,57	55,00	-39,29	44,79	1353,69	3.100 (M)	[PC]	H-V
3466	C	-4,46	32,07	57,00	-37,67	49,40	1516,92	3.100 (M)	[PC]	H+V
3467	C	-17,96	47,07	68,00	-46,95	41,12	967,95	3.101 (M)	[PC]	H-V
3468	C	-10,46	33,57	48,00	-22,41	33,10	469,58	3.101 (M)	[PC]	H+V
3469	C	3,04	30,57	48,00	-20,78	47,86	1001,30	3.101 (M)	[PC]	H-V
3470	C	-10,46	39,57	53,00	-21,77	35,63	465,84	3.101 (M)	[PC]	H+V
3471	C	-16,46	42,57	66,00	-49,62	42,74	1205,53	3.101 (M)	[PC]	H+V
3472	C	-2,96	33,57	45,00	-17,13	37,27	454,90	3.101 (M)	[PC]	H-V
3473	C	-11,96	29,07	49,00	-34,96	34,47	782,15	3.101 (M)	[PC]	H-V
3474	C	-16,46	41,07	62,00	-44,19	39,02	926,84	3.101 (M)	[PC]	H-V
3475	C	-8,96	29,07	54,00	-41,10	42,72	1335,13	3.101 (M)	[PC]	H+V
3476	C	-8,96	35,07	49,00	-21,78	34,99	491,56	3.102 (M)	[PC]	H-V
3477	C	-14,96	38,07	62,00	-47,90	41,92	1227,26	3.102 (M)	[PC]	H+V
3478	C	-10,46	42,57	67,00	-45,70	49,86	1482,93	3.102 (M)	[PC]	H-V
3479	C	-17,96	48,57	70,00	-48,39	42,56	1039,72	3.102 (M)	[PC]	H-V
3480	C	-5,96	29,07	43,00	-20,91	34,08	499,49	3.102 (M)	[PC]	H+V
3481	C	-13,46	41,07	65,00	-47,27	45,36	1319,27	3.102 (M)	[PC]	H-V
3482	C	-14,96	39,57	56,00	-30,89	34,55	556,31	3.102 (M)	[PC]	H-V
3483	C	7,54	38,07	49,00	-6,91	49,88	697,37	3.102 (M)	[PC]	H-V
3484	C	-1,46	33,57	43,00	-9,08	36,52	368,60	3.102 (M)	[PC]	H-V
3485	C	-14,96	42,57	58,00	-27,53	35,17	514,56	3.102 (M)	[PC]	H-V
3486	C	4,54	35,07	50,00	-17,98	49,60	893,01	3.102 (M)	[PC]	H-V
3487	C	-17,96	47,07	67,00	-44,63	39,97	868,93	3.102 (M)	[PC]	H-V
3488	C	-13,46	33,57	51,00	-31,51	33,38	601,93	3.102 (M)	[PC]	H-V
3489	C	-1,46	29,07	53,00	-32,15	49,17	1440,27	3.102 (M)	[PC]	H+V
3490	C	-11,96	30,57	47,00	-26,77	31,79	530,28	3.102 (M)	[PC]	H-V
3491	C	-13,46	44,07	68,00	-48,07	47,23	1367,76	3.102 (M)	[PC]	H-V
3492	C	-14,96	45,57	69,00	-48,95	46,08	1294,64	3.102 (M)	[PC]	H-V
3493	C	-17,96	48,57	67,00	-41,06	39,07	745,85	3.102 (M)	[PC]	H-V
3494	C	7,54	36,57	48,00	-8,27	49,58	716,71	3.102 (M)	[PC]	H-V
3495	C	-14,96	36,57	54,00	-33,44	33,82	598,58	3.103 (M)	[PC]	H+V
3496	C	-5,96	30,57	55,00	-37,83	46,29	1395,82	3.103 (M)	[PC]	H-V
3497	C	-4,46	35,07	47,00	-18,43	37,25	467,70	3.103 (M)	[PC]	H-V
3498	C	-11,96	29,07	50,00	-36,95	35,52	868,61	3.103 (M)	[PC]	H-V
3499	C	-11,96	41,07	55,00	-22,42	35,57	475,58	3.103 (M)	[PC]	H-V
3500	C	-11,96	35,07	60,00	-45,89	43,99	1365,38	3.103 (M)	[PC]	H+V
3501	C	-14,96	42,57	66,00	-48,17	44,24	1247,90	3.103 (M)	[PC]	H-V
3502	C	-17,96	47,07	65,00	-39,41	37,64	683,45	3.103 (M)	[PC]	H+V
3503	C	-8,96	36,57	62,00	-44,28	48,55	1531,15	3.103 (M)	[PC]	H+V
3504	C	-13,46	36,57	52,00	-25,53	33,09	490,35	3.104 (M)	[PC]	H-V
3505	C	-10,46	33,57	58,00	-43,12	43,92	1326,49	3.104 (M)	[PC]	H-V
3506	C	-14,96	38,07	61,00	-46,04	40,83	1122,63	3.104 (M)	[PC]	H-V
3507	C	-10,46	32,07	47,00	-22,78	32,67	485,90	3.104 (M)	[PC]	H-V
3508	C	-10,46	30,57	46,00	-23,54	32,22	501,79	3.104 (M)	[PC]	H-V
3509	C	-8,96	29,07	44,00	-22,35	32,16	489,86	3.104 (M)	[PC]	H+V
3510	C	6,04	35,07	49,00	-15,89	49,99	848,35	3.104 (M)	[PC]	H+V
3511	C	-8,96	30,57	55,00	-40,75	43,29	1312,47	3.104 (M)	[PC]	H-V
3512	C	-14,96	35,07	58,00	-45,23	38,84	1073,71	3.105 (M)	[PC]	H+V
3513	C	1,54	29,07	50,00	-24,26	49,02	1239,75	3.105 (M)	[PC]	H-V
3514	C	-8,96	42,57	55,00	-20,81	37,67	464,61	3.105 (M)	[PC]	H+V
3515	C	-14,96	36,57	56,00	-38,44	36,02	766,08	3.105 (M)	[PC]	H-V
3516	C	9,04	35,07	46,00	-4,95	49,62	703,18	3.105 (M)	[PC]	H+V
3517	C	7,54	35,07	47,00	-9,45	49,25	736,09	3.105 (M)	[PC]	H-V
3518	C	-16,46	48,57	64,00	-29,49	37,01	534,38	3.105 (M)	[PC]	H-V
3519	C	-2,96	41,07	51,00	-13,87	39,88	426,79	3.105 (M)	[PC]	H-V
3520	C	9,04	36,57	47,00	-3,41	49,93	685,36	3.105 (M)	[PC]	H+V

N°	Forma	C_x	C_y	R	x_v	x_m	V	F_s	Caso	Sisma
		[m]	*[m]*	*[m]*	*[m]*	*[m]*	*[mc]*			
3521	C	-16,46	41,07	61,00	-41,97	37,90	831,88	3.105 (M)	[PC]	H-V
3522	C	-17,96	45,57	68,00	-49,83	41,95	1102,58	3.105 (M)	[PC]	H+V
3523	C	-7,46	33,57	59,00	-41,90	47,99	1516,42	3.105 (M)	[PC]	H+V
3524	C	6,04	33,57	47,00	-14,41	48,49	793,75	3.105 (M)	[PC]	H-V
3525	C	-2,96	45,57	55,00	-11,58	41,65	431,23	3.105 (M)	[PC]	H-V
3526	C	-14,96	48,57	72,00	-49,70	47,87	1340,16	3.106 (M)	[PC]	H-V
3527	C	-16,46	47,07	63,00	-31,42	36,79	557,86	3.106 (M)	[PC]	H-V
3528	C	9,04	33,57	45,00	-6,26	49,27	720,89	3.106 (M)	[PC]	H+V
3529	C	-16,46	42,57	65,00	-47,66	41,63	1099,67	3.106 (M)	[PC]	H-V
3530	C	-16,46	41,07	59,00	-37,00	35,65	653,67	3.106 (M)	[PC]	H+V
3531	C	-17,96	44,07	65,00	-46,30	39,35	927,16	3.106 (M)	[PC]	H+V
3532	C	-13,46	38,07	62,00	-46,44	43,42	1269,39	3.106 (M)	[PC]	H-V
3533	C	-11,96	30,57	54,00	-41,95	39,24	1128,84	3.106 (M)	[PC]	H-V
3534	C	-11,96	29,07	51,00	-38,83	36,57	959,67	3.106 (M)	[PC]	H-V
3535	C	-4,46	29,07	54,00	-36,72	47,22	1459,48	3.106 (M)	[PC]	H+V
3536	C	-7,46	44,07	56,00	-19,87	39,39	480,32	3.106 (M)	[PC]	H-V
3537	C	-14,96	41,07	57,00	-29,34	34,87	535,49	3.106 (M)	[PC]	H-V
3538	C	-16,46	41,07	63,00	-46,28	40,14	1025,79	3.107 (M)	[PC]	H-V
3539	C	-10,46	29,07	53,00	-40,90	40,17	1191,94	3.107 (M)	[PC]	H-V
3540	C	-14,96	36,57	59,00	-44,69	39,30	1048,15	3.107 (M)	[PC]	H-V
3541	C	-13,46	47,07	71,00	-48,86	49,05	1414,96	3.107 (M)	[PC]	H-V
3542	C	-16,46	39,57	59,00	-40,50	36,42	765,40	3.107 (M)	[PC]	H+V
3543	C	-2,96	32,07	56,00	-34,52	49,84	1454,42	3.107 (M)	[PC]	H-V
3544	C	-11,96	30,57	55,00	-43,66	40,29	1229,10	3.107 (M)	[PC]	H+V
3545	C	3,04	32,07	50,00	-21,25	49,42	1064,22	3.107 (M)	[PC]	H-V
3546	C	-8,96	33,57	59,00	-43,36	46,49	1474,33	3.107 (M)	[PC]	H+V
3547	C	-8,96	47,07	59,00	-20,41	39,49	470,10	3.107 (M)	[PC]	H+V
3548	C	-11,96	39,57	64,00	-46,32	46,44	1390,27	3.107 (M)	[PC]	H-V
3549	C	-11,96	29,07	48,00	-32,83	33,41	699,70	3.107 (M)	[PC]	H-V
3550	C	-11,96	32,07	56,00	-43,26	40,84	1205,61	3.107 (M)	[PC]	H-V
3551	C	-17,96	44,07	66,00	-48,44	40,48	1028,47	3.108 (M)	[PC]	H+V
3552	C	6,04	32,07	47,00	-16,83	49,17	890,32	3.108 (M)	[PC]	H+V
3553	C	-16,46	44,07	61,00	-34,53	36,27	605,79	3.108 (M)	[PC]	H-V
3554	C	-10,46	39,57	65,00	-46,64	49,04	1543,85	3.108 (M)	[PC]	H+V
3555	C	-4,46	41,07	52,00	-17,42	39,57	457,50	3.108 (M)	[PC]	H-V
3556	C	4,54	33,57	49,00	-18,34	49,20	914,54	3.108 (M)	[PC]	H-V
3557	C	-7,46	48,57	60,00	-19,31	41,15	484,28	3.108 (M)	[PC]	H-V
3558	C	-11,96	29,07	53,00	-42,36	38,67	1150,97	3.108 (M)	[PC]	H+V
3559	C	-11,96	35,07	50,00	-23,61	33,10	479,96	3.109 (M)	[PC]	H-V
3560	C	-11,96	42,57	67,00	-47,15	48,36	1440,57	3.109 (M)	[PC]	H-V
3561	C	4,54	29,07	46,00	-19,32	47,79	974,86	3.109 (M)	[PC]	H+V
3562	C	-10,46	36,57	62,00	-45,74	47,05	1488,79	3.109 (M)	[PC]	H+V
3563	C	-16,46	47,07	70,00	-49,77	44,91	1220,80	3.109 (M)	[PC]	H-V
3564	C	-13,46	32,07	53,00	-39,16	36,14	875,15	3.109 (M)	[PC]	H-V
3565	C	7,54	29,07	43,00	-12,92	47,58	810,61	3.109 (M)	[PC]	H+V
3566	C	-14,96	39,57	63,00	-47,38	42,35	1198,86	3.110 (M)	[PC]	H-V
3567	C	-14,96	35,07	54,00	-36,97	34,50	702,38	3.110 (M)	[PC]	H+V
3568	C	-13,46	32,07	52,00	-37,11	35,07	786,59	3.110 (M)	[PC]	H-V
3569	C	4,54	32,07	49,00	-19,76	49,84	1017,09	3.110 (M)	[PC]	H+V
3570	C	-13,46	41,07	66,00	-49,10	46,46	1430,00	3.110 (M)	[PC]	H+V
3571	C	-5,96	47,07	58,00	-18,11	41,27	473,15	3.110 (M)	[PC]	H-V
3572	C	-1,46	29,07	40,00	-14,48	35,34	412,29	3.110 (M)	[PC]	H-V
3573	C	-13,46	44,07	69,00	-49,94	48,35	1480,74	3.110 (M)	[PC]	H+V
3574	C	-11,96	29,07	47,00	-30,52	32,35	621,17	3.110 (M)	[PC]	H-V
3575	C	-5,96	33,57	59,00	-40,44	49,49	1557,76	3.111 (M)	[PC]	H+V
3576	C	-11,96	36,57	61,00	-45,46	44,47	1338,48	3.111 (M)	[PC]	H-V
3577	C	3,04	29,07	49,00	-22,34	49,47	1191,28	3.111 (M)	[PC]	H+V
3578	C	-4,46	33,57	58,00	-37,29	49,92	1492,08	3.111 (M)	[PC]	H-V
3579	C	-7,46	45,57	57,00	-19,22	39,59	459,38	3.111 (M)	[PC]	H+V
3580	C	-5,96	42,57	54,00	-18,66	39,48	468,92	3.111 (M)	[PC]	H-V
3581	C	-13,46	30,57	51,00	-37,78	34,56	807,39	3.111 (M)	[PC]	H+V
3582	C	9,04	32,07	44,00	-7,38	48,88	738,63	3.111 (M)	[PC]	H+V
3583	C	-13,46	32,07	54,00	-41,10	37,21	968,43	3.111 (M)	[PC]	H-V
3584	C	7,54	33,57	46,00	-10,49	48,88	755,27	3.111 (M)	[PC]	H-V
3585	C	-5,96	44,07	55,00	-18,02	39,69	448,67	3.112 (M)	[PC]	H+V
3586	C	-8,96	30,57	45,00	-22,03	32,64	474,46	3.112 (M)	[PC]	H+V
3587	C	6,04	32,07	46,00	-15,17	48,08	813,66	3.112 (M)	[PC]	H-V
3588	C	-10,46	44,07	57,00	-21,46	37,59	474,96	3.112 (M)	[PC]	H-V
3589	C	-1,46	30,57	54,00	-31,75	49,74	1419,02	3.112 (M)	[PC]	H-V
3590	C	-7,46	41,07	53,00	-19,77	37,74	453,68	3.112 (M)	[PC]	H+V
3591	C	4,54	29,07	45,00	-18,27	46,72	895,35	3.112 (M)	[PC]	H-V
3592	C	-2,96	29,07	53,00	-33,61	47,67	1399,44	3.112 (M)	[PC]	H-V
3593	C	-4,46	38,07	49,00	-17,29	37,88	431,06	3.112 (M)	[PC]	H+V
3594	C	-5,96	30,57	44,00	-20,61	34,55	483,50	3.113 (M)	[PC]	H+V
3595	C	-13,46	30,57	52,00	-39,75	35,62	896,71	3.113 (M)	[PC]	H+V
3596	C	-16,46	44,07	67,00	-49,03	43,11	1175,06	3.113 (M)	[PC]	H-V
3597	C	-13,46	32,07	56,00	-44,72	39,34	1164,30	3.113 (M)	[PC]	H+V
3598	C	9,04	33,57	44,00	-3,00	48,14	658,37	3.113 (M)	[PC]	H-V
3599	C	-7,46	30,57	56,00	-40,94	45,84	1457,68	3.113 (M)	[PC]	H+V

N°	Forma	C_x	C_y	R	x_v	x_m	V	F_s	Caso	Sisma
		[m]	*[m]*	*[m]*	*[m]*	*[m]*	*[mc]*			
3600	C	-2,96	38,07	48,00	-13,54	38,22	402,14	3.113 (M)	[PC]	H+V
3601	C	6,04	33,57	48,00	-16,49	49,60	869,60	3.114 (M)	[PC]	H+V
3602	C	3,04	29,07	47,00	-20,98	47,35	1021,02	3.114 (M)	[PC]	H-V
3603	C	-4,46	30,57	55,00	-36,37	47,79	1436,82	3.114 (M)	[PC]	H-V
3604	C	-4,46	45,57	56,00	-16,91	41,38	461,79	3.114 (M)	[PC]	H-V
3605	C	-4,46	42,57	53,00	-16,80	39,79	437,55	3.114 (M)	[PC]	H+V
3606	C	-17,96	44,07	64,00	-44,03	38,21	830,14	3.114 (M)	[PC]	H+V
3607	C	-13,46	33,57	58,00	-46,03	40,92	1242,74	3.114 (M)	[PC]	H+V
3608	C	-16,46	45,57	62,00	-33,08	36,54	581,76	3.114 (M)	[PC]	H-V
3609	C	-13,46	33,57	57,00	-44,27	39,85	1140,06	3.114 (M)	[PC]	H-V
3610	C	9,04	32,07	43,00	-4,48	47,78	674,44	3.114 (M)	[PC]	H-V
3611	C	-17,96	47,07	66,00	-42,14	38,81	774,12	3.114 (M)	[PC]	H-V
3612	C	-13,46	32,07	49,00	-29,88	31,84	544,76	3.114 (M)	[PC]	H+V
3613	C	-13,46	38,07	63,00	-48,23	44,51	1377,83	3.114 (M)	[PC]	H+V
3614	C	-17,96	45,57	64,00	-40,55	37,37	710,34	3.115 (M)	[PC]	H+V
3615	C	-5,96	39,57	51,00	-18,53	37,81	442,49	3.115 (M)	[PC]	H+V
3616	C	-2,96	44,07	53,00	-7,32	40,26	391,33	3.115 (M)	[PC]	H-V
3617	C	-7,46	32,07	46,00	-21,38	34,58	496,69	3.115 (M)	[PC]	H-V
3618	C	-10,46	48,57	61,00	-21,12	39,38	480,46	3.115 (M)	[PC]	H-V
3619	C	-14,96	38,07	55,00	-32,24	34,20	577,42	3.115 (M)	[PC]	H-V
3620	C	-10,46	33,57	59,00	-44,81	44,99	1433,00	3.115 (M)	[PC]	H+V
3621	C	-8,96	38,07	63,00	-43,86	49,01	1502,92	3.115 (M)	[PC]	H-V
3622	C	-7,46	35,07	60,00	-41,51	48,49	1490,24	3.115 (M)	[PC]	H-V
3623	C	-14,96	39,57	64,00	-49,23	43,44	1306,47	3.116 (M)	[PC]	H+V
3624	C	-5,96	30,57	56,00	-39,48	47,34	1499,99	3.116 (M)	[PC]	H+V
3625	C	-8,96	35,07	60,00	-42,97	46,99	1447,90	3.116 (M)	[PC]	H-V
3626	C	-16,46	41,07	60,00	-39,59	36,78	740,86	3.116 (M)	[PC]	H-V
3627	C	-13,46	38,07	53,00	-24,37	33,45	472,31	3.116 (M)	[PC]	H-V
3628	C	-14,96	36,57	55,00	-36,06	34,92	680,26	3.116 (M)	[PC]	H-V
3629	C	-10,46	29,07	54,00	-42,56	41,22	1292,93	3.116 (M)	[PC]	H+V
3630	C	-7,46	39,57	52,00	-20,39	37,47	473,24	3.117 (M)	[PC]	H-V
3631	C	-2,96	35,07	46,00	-16,59	37,62	437,34	3.117 (M)	[PC]	H-V
3632	C	4,54	32,07	48,00	-18,69	48,76	935,47	3.117 (M)	[PC]	H-V
3633	C	-13,46	30,57	50,00	-35,70	33,50	721,80	3.117 (M)	[PC]	H+V
3634	C	-5,96	32,07	45,00	-20,10	34,98	466,96	3.117 (M)	[PC]	H+V
3635	C	9,04	30,57	43,00	-8,37	48,46	756,13	3.117 (M)	[PC]	H+V
3636	C	-13,46	30,57	53,00	-41,62	36,68	989,71	3.117 (M)	[PC]	H+V
3637	C	-8,96	30,57	56,00	-42,40	44,34	1416,68	3.117 (M)	[PC]	H+V
3638	C	-11,96	32,07	57,00	-44,97	41,90	1308,88	3.117 (M)	[PC]	H+V
3639	C	-13,46	32,07	51,00	-34,91	34,00	701,77	3.117 (M)	[PC]	H-V
3640	C	-11,96	39,57	65,00	-48,09	47,54	1501,44	3.117 (M)	[PC]	H+V
3641	C	9,04	30,57	42,00	-5,72	47,37	690,74	3.117 (M)	[PC]	H-V
3642	C	-10,46	30,57	55,00	-42,20	41,79	1270,27	3.117 (M)	[PC]	H-V
3643	C	-13,46	35,07	59,00	-45,59	41,42	1217,17	3.117 (M)	[PC]	H-V
3644	C	3,04	30,57	49,00	-21,46	48,93	1085,00	3.118 (M)	[PC]	H-V
3645	C	7,54	33,57	47,00	-12,91	49,99	826,86	3.118 (M)	[PC]	H+V
3646	C	6,04	30,57	46,00	-17,15	48,72	910,40	3.118 (M)	[PC]	H+V
3647	C	-11,96	42,57	68,00	-48,97	49,47	1554,02	3.118 (M)	[PC]	H+V
3648	C	-5,96	38,07	50,00	-19,14	37,53	461,50	3.118 (M)	[PC]	H-V
3649	C	7,54	32,07	45,00	-11,40	48,48	773,91	3.118 (M)	[PC]	H-V
3650	C	-2,96	41,07	50,00	-7,20	38,69	368,92	3.119 (M)	[PC]	H+V
3651	C	-11,96	47,07	60,00	-21,70	37,70	463,99	3.119 (M)	[PC]	H+V
3652	C	-17,96	45,57	66,00	-45,50	39,67	898,14	3.119 (M)	[PC]	H-V
3653	C	-16,46	38,07	60,00	-45,54	38,23	980,52	3.119 (M)	[PC]	H+V
3654	C	-17,96	47,07	69,00	-49,14	42,27	1071,31	3.119 (M)	[PC]	H-V
3655	C	-4,46	30,57	43,00	-18,77	34,96	453,84	3.119 (M)	[PC]	H+V
3656	C	-17,96	45,57	67,00	-47,73	40,81	998,46	3.119 (M)	[PC]	H-V
3657	C	-2,96	36,57	47,00	-15,41	37,93	419,49	3.119 (M)	[PC]	H-V
3658	C	-16,46	42,57	60,00	-35,83	35,97	629,98	3.120 (M)	[PC]	H-V
3659	C	-7,46	35,07	48,00	-20,73	35,37	462,15	3.120 (M)	[PC]	H+V
3660	C	-7,46	32,07	57,00	-40,59	46,40	1433,66	3.120 (M)	[PC]	H-V
3661	C	-11,96	29,07	52,00	-40,63	37,62	1053,34	3.120 (M)	[PC]	H-V
3662	C	-11,96	36,57	51,00	-22,75	33,47	462,94	3.120 (M)	[PC]	H-V
3663	C	-10,46	38,07	63,00	-45,32	47,51	1460,58	3.120 (M)	[PC]	H-V
3664	C	-2,96	29,07	41,00	-17,43	34,93	440,33	3.120 (M)	[PC]	H+V
3665	C	-16,46	39,57	63,00	-48,83	40,85	1157,59	3.120 (M)	[PC]	H+V
3666	C	-16,46	38,07	59,00	-43,50	37,13	883,77	3.120 (M)	[PC]	H+V
3667	C	-11,96	33,57	58,00	-44,57	42,42	1285,08	3.120 (M)	[PC]	H-V
3668	C	-4,46	36,57	48,00	-17,87	37,58	449,54	3.120 (M)	[PC]	H-V
3669	C	-4,46	29,07	42,00	-19,27	34,51	469,71	3.120 (M)	[PC]	H+V
3670	C	-13,46	30,57	49,00	-33,45	32,43	640,12	3.121 (M)	[PC]	H+V
3671	C	-13,46	35,07	51,00	-27,20	32,71	508,49	3.121 (M)	[PC]	H-V
3672	C	-11,96	36,57	62,00	-47,20	45,55	1447,33	3.121 (M)	[PC]	H+V
3673	C	-14,96	35,07	53,00	-34,52	33,41	619,55	3.121 (M)	[PC]	H+V
3674	C	-2,96	30,57	42,00	-16,93	35,37	424,69	3.121 (M)	[PC]	H+V
3675	C	-13,46	33,57	50,00	-28,63	32,29	526,69	3.121 (M)	[PC]	H-V
3676	C	-10,46	41,07	66,00	-46,19	49,46	1513,69	3.121 (M)	[PC]	H-V
3677	C	-14,96	41,07	56,00	-25,11	33,73	463,13	3.122 (M)	[PC]	H+V
3678	C	-8,96	32,07	57,00	-42,05	44,90	1392,41	3.122 (M)	[PC]	H-V

N°	Forma	C_x	C_y	R	x_v	x_m	V	F_s	Caso	Sisma
		[m]	*[m]*	*[m]*	*[m]*	*[m]*	*[mc]*			
3679	C	-14,96	44,07	68,00	-49,52	45,73	1326,39	3.122 (M)	[PC]	H-V
3680	C	-5,96	35,07	60,00	-40,06	49,99	1531,57	3.122 (M)	[PC]	H-V
3681	C	4,54	30,57	48,00	-20,07	49,36	1037,90	3.122 (M)	[PC]	H+V
3682	C	-1,46	32,07	41,00	-5,30	35,04	329,93	3.122 (M)	[PC]	H+V
3683	C	-13,46	39,57	54,00	-23,44	33,77	454,36	3.122 (M)	[PC]	H+V
3684	C	-13,46	42,57	67,00	-48,61	46,86	1399,01	3.123 (M)	[PC]	H-V
3685	C	-14,96	39,57	55,00	-27,23	33,41	482,37	3.123 (M)	[PC]	H+V
3686	C	-16,46	39,57	58,00	-38,05	35,30	677,63	3.123 (M)	[PC]	H+V
3687	C	-13,46	48,57	62,00	-22,30	37,60	472,89	3.123 (M)	[PC]	H-V
3688	C	-10,46	35,07	60,00	-44,43	45,49	1406,82	3.123 (M)	[PC]	H-V
3689	C	-2,96	29,07	54,00	-35,26	48,72	1500,59	3.123 (M)	[PC]	H+V
3690	C	-10,46	35,07	49,00	-22,07	33,49	453,04	3.123 (M)	[PC]	H+V
3691	C	-14,96	45,57	60,00	-24,14	35,69	473,79	3.123 (M)	[PC]	H-V
3692	C	-17,96	48,57	66,00	-38,16	37,89	656,68	3.123 (M)	[PC]	H-V
3693	C	-5,96	32,07	57,00	-39,13	47,90	1475,94	3.124 (M)	[PC]	H-V
3694	C	-13,46	32,07	55,00	-42,94	38,27	1064,65	3.124 (M)	[PC]	H-V
3695	C	-2,96	42,57	52,00	-11,34	40,09	408,46	3.124 (M)	[PC]	H-V
3696	C	-8,96	38,07	51,00	-21,10	35,68	455,38	3.124 (M)	[PC]	H+V
3697	C	-13,46	32,07	50,00	-32,53	32,92	621,16	3.124 (M)	[PC]	H-V
3698	C	-16,46	45,57	61,00	-29,20	35,37	504,42	3.124 (M)	[PC]	H+V
3699	C	-13,46	39,57	64,00	-47,77	44,94	1348,72	3.124 (M)	[PC]	H-V
3700	C	-5,96	33,57	46,00	-19,56	35,38	449,98	3.124 (M)	[PC]	H+V
3701	C	-16,46	39,57	61,00	-44,89	38,64	953,90	3.125 (M)	[PC]	H-V
3702	C	-1,46	29,07	39,00	-10,98	34,25	355,03	3.125 (M)	[PC]	H+V
3703	C	-14,96	41,07	65,00	-48,72	43,86	1277,91	3.125 (M)	[PC]	H-V
3704	C	-13,46	45,57	70,00	-49,42	48,71	1447,95	3.125 (M)	[PC]	H-V
3705	C	-8,96	36,57	50,00	-21,44	35,35	473,69	3.125 (M)	[PC]	H-V
3706	C	-16,46	44,07	60,00	-31,08	35,11	526,56	3.126 (M)	[PC]	H+V
3707	C	-13,46	35,07	60,00	-47,34	42,49	1322,88	3.126 (M)	[PC]	H+V
3708	C	-14,96	36,57	53,00	-30,47	32,71	521,62	3.126 (M)	[PC]	H+V
3709	C	-14,96	33,57	55,00	-41,97	36,21	903,40	3.126 (M)	[PC]	H+V
3710	C	9,04	29,07	41,00	-6,79	46,93	706,80	3.126 (M)	[PC]	H-V
3711	C	9,04	29,07	42,00	-9,23	48,01	773,34	3.126 (M)	[PC]	H+V
3712	C	-4,46	30,57	56,00	-38,02	48,84	1540,95	3.126 (M)	[PC]	H+V
3713	C	-16,46	38,07	61,00	-47,49	39,33	1081,33	3.126 (M)	[PC]	H+V
3714	C	-4,46	32,07	44,00	-18,25	35,38	437,53	3.126 (M)	[PC]	H+V
3715	C	-14,96	35,07	59,00	-47,05	39,92	1175,97	3.126 (M)	[PC]	H+V
3716	C	-14,96	35,07	56,00	-41,34	36,68	879,91	3.126 (M)	[PC]	H-V
3717	C	-14,96	33,57	56,00	-43,89	37,28	999,63	3.127 (M)	[PC]	H+V
3718	C	-2,96	39,57	49,00	-11,09	38,47	385,05	3.127 (M)	[PC]	H+V
3719	C	-17,96	42,57	64,00	-47,04	39,01	956,07	3.127 (M)	[PC]	H+V
3720	C	-14,96	35,07	57,00	-43,33	37,76	975,39	3.127 (M)	[PC]	H-V
3721	C	-16,46	39,57	60,00	-42,77	37,53	858,01	3.127 (M)	[PC]	H-V
3722	C	6,04	30,57	45,00	-15,84	47,64	833,10	3.127 (M)	[PC]	H-V
3723	C	-14,96	33,57	54,00	-39,95	35,13	811,85	3.127 (M)	[PC]	H+V
3724	C	-13,46	30,57	54,00	-43,40	37,74	1087,55	3.128 (M)	[PC]	H+V
3725	C	0,04	29,07	52,00	-28,98	49,62	1384,24	3.128 (M)	[PC]	H-V
3726	C	-7,46	35,07	61,00	-43,20	49,56	1599,83	3.128 (M)	[PC]	H+V
3727	C	-7,46	33,57	47,00	-21,06	34,99	479,68	3.128 (M)	[PC]	H-V
3728	C	-11,96	29,07	46,00	-27,96	31,29	546,62	3.128 (M)	[PC]	H-V
3729	C	-16,46	47,07	62,00	-26,94	35,60	482,70	3.128 (M)	[PC]	H+V
3730	C	-14,96	36,57	61,00	-48,37	41,47	1254,82	3.128 (M)	[PC]	H+V
3731	C	-13,46	44,07	58,00	-22,66	35,77	465,24	3.128 (M)	[PC]	H-V
3732	C	-17,96	45,57	65,00	-43,12	38,52	802,29	3.128 (M)	[PC]	H-V
3733	C	-8,96	35,07	61,00	-44,66	48,06	1557,65	3.128 (M)	[PC]	H+V
3734	C	-10,46	30,57	56,00	-43,86	42,84	1375,38	3.128 (M)	[PC]	H+V
3735	C	-16,46	38,07	58,00	-41,33	36,03	790,21	3.128 (M)	[PC]	H+V
3736	C	-17,96	44,07	63,00	-41,59	37,07	737,29	3.128 (M)	[PC]	H+V
3737	C	-16,46	41,07	64,00	-48,27	41,25	1128,87	3.128 (M)	[PC]	H-V
3738	C	4,54	30,57	47,00	-19,02	48,29	955,31	3.128 (M)	[PC]	H-V
3739	C	-11,96	42,57	56,00	-22,05	35,84	456,37	3.129 (M)	[PC]	H+V
3740	C	7,54	30,57	44,00	-12,21	48,05	792,53	3.129 (M)	[PC]	H-V
3741	C	-14,96	38,07	54,00	-28,98	33,08	501,95	3.129 (M)	[PC]	H+V
3742	C	7,54	32,07	46,00	-13,67	49,58	846,77	3.129 (M)	[PC]	H+V
3743	C	-10,46	33,57	48,00	-22,41	33,10	469,58	3.129 (M)	[PC]	H-V
3744	C	-10,46	39,57	53,00	-21,77	35,63	465,84	3.129 (M)	[PC]	H-V
3745	C	-16,46	41,07	58,00	-34,10	34,51	571,38	3.129 (M)	[PC]	H+V
3746	C	-7,46	29,07	54,00	-39,64	44,22	1376,34	3.130 (M)	[PC]	H-V
3747	C	-17,96	42,57	65,00	-49,11	40,13	1058,09	3.130 (M)	[PC]	H+V
3748	C	-14,96	35,07	55,00	-39,23	35,59	789,19	3.130 (M)	[PC]	H-V
3749	C	-11,96	41,07	66,00	-47,64	47,96	1471,30	3.130 (M)	[PC]	H-V
3750	C	-14,96	36,57	60,00	-46,56	40,39	1149,49	3.130 (M)	[PC]	H-V
3751	C	-5,96	29,07	43,00	-20,91	34,08	499,49	3.130 (M)	[PC]	H-V
3752	C	-11,96	33,57	59,00	-46,27	43,49	1391,56	3.131 (M)	[PC]	H+V
3753	C	-11,96	38,07	63,00	-46,78	46,01	1419,13	3.131 (M)	[PC]	H-V
3754	C	6,04	29,07	44,00	-16,41	47,16	851,70	3.131 (M)	[PC]	H-V
3755	C	3,04	29,07	48,00	-21,66	48,41	1105,00	3.131 (M)	[PC]	H-V
3756	C	-10,46	38,07	64,00	-47,05	48,59	1572,41	3.131 (M)	[PC]	H+V
3757	C	-14,96	36,57	54,00	-33,44	33,82	598,58	3.131 (M)	[PC]	H-V

N°	Forma	C_x	C_y	R	x_v	x_m	V	F_s	Caso	Sisma
		[m]	*[m]*	*[m]*	*[m]*	*[m]*	*[mc]*			
3758	C	-16,46	39,57	62,00	-46,91	39,75	1053,91	3.131 (M)	[PC]	H-V
3759	C	-2,96	30,57	55,00	-34,91	49,29	1477,93	3.131 (M)	[PC]	H-V
3760	C	6,04	29,07	45,00	-17,46	48,22	929,79	3.132 (M)	[PC]	H+V
3761	C	-17,96	47,07	64,00	-36,36	36,47	597,67	3.132 (M)	[PC]	H+V
3762	C	-10,46	32,07	57,00	-43,51	43,40	1351,34	3.132 (M)	[PC]	H-V
3763	C	-7,46	32,07	58,00	-42,24	47,45	1541,82	3.132 (M)	[PC]	H+V
3764	C	-2,96	32,07	43,00	-16,41	35,78	408,84	3.132 (M)	[PC]	H+V
3765	C	-13,46	36,57	61,00	-46,91	42,97	1296,00	3.132 (M)	[PC]	H-V
3766	C	-5,96	29,07	54,00	-38,18	45,72	1417,44	3.132 (M)	[PC]	H-V
3767	C	3,04	30,57	50,00	-22,15	50,00	1170,99	3.132 (M)	[PC]	H-V
3768	C	-17,96	42,57	63,00	-44,86	37,88	857,87	3.132 (M)	[PC]	H+V
3769	C	-8,96	29,07	44,00	-22,35	32,16	489,86	3.132 (M)	[PC]	H-V
3770	C	-17,96	47,07	65,00	-39,41	37,64	683,45	3.133 (M)	[PC]	H-V
3771	C	-13,46	39,57	65,00	-49,55	46,04	1460,15	3.133 (M)	[PC]	H+V
3772	C	-11,96	44,07	69,00	-48,49	49,85	1522,90	3.133 (M)	[PC]	H-V
3773	C	-8,96	42,57	55,00	-20,81	37,67	464,61	3.133 (M)	[PC]	H-V
3774	C	-16,46	42,57	66,00	-49,62	42,74	1205,53	3.134 (M)	[PC]	H-V
3775	C	-8,96	32,07	46,00	-21,70	33,08	458,52	3.134 (M)	[PC]	H+V
3776	C	-14,96	38,07	62,00	-47,90	41,92	1227,26	3.134 (M)	[PC]	H-V
3777	C	-10,46	35,07	61,00	-46,12	46,56	1516,28	3.134 (M)	[PC]	H+V
3778	C	-8,96	32,07	58,00	-43,70	45,95	1499,72	3.135 (M)	[PC]	H+V
3779	C	-8,96	29,07	54,00	-41,10	42,72	1335,13	3.135 (M)	[PC]	H-V
3780	C	-4,46	32,07	57,00	-37,67	49,40	1516,92	3.135 (M)	[PC]	H-V
3781	C	-16,46	42,57	59,00	-32,69	34,82	548,75	3.135 (M)	[PC]	H+V
3782	C	-16,46	41,07	59,00	-37,00	35,65	653,67	3.135 (M)	[PC]	H-V
3783	C	-8,96	47,07	59,00	-20,41	39,49	470,10	3.136 (M)	[PC]	H-V
3784	C	-14,96	33,57	53,00	-37,80	34,05	724,13	3.136 (M)	[PC]	H+V
3785	C	-11,96	29,07	45,00	-25,00	30,22	476,14	3.136 (M)	[PC]	H+V
3786	C	-5,96	32,07	58,00	-40,78	48,95	1583,16	3.136 (M)	[PC]	H+V
3787	C	-11,96	35,07	60,00	-45,89	43,99	1365,38	3.137 (M)	[PC]	H-V
3788	C	-14,96	35,07	58,00	-45,23	38,84	1073,71	3.137 (M)	[PC]	H-V
3789	C	7,54	30,57	45,00	-14,34	49,14	866,21	3.137 (M)	[PC]	H+V
3790	C	-16,46	39,57	59,00	-40,50	36,42	765,40	3.137 (M)	[PC]	H-V
3791	C	-14,96	33,57	57,00	-45,73	38,35	1098,63	3.137 (M)	[PC]	H+V
3792	C	-17,96	44,07	65,00	-46,30	39,35	927,16	3.137 (M)	[PC]	H-V
3793	C	-1,46	29,07	53,00	-32,15	49,17	1440,27	3.138 (M)	[PC]	H-V
3794	C	-17,96	45,57	68,00	-49,83	41,95	1102,58	3.138 (M)	[PC]	H-V
3795	C	6,04	35,07	49,00	-15,89	49,99	848,35	3.138 (M)	[PC]	H-V
3796	C	4,54	29,07	47,00	-20,37	48,85	1057,38	3.138 (M)	[PC]	H+V
3797	C	-8,96	36,57	62,00	-44,28	48,55	1531,15	3.138 (M)	[PC]	H-V
3798	C	-13,46	30,57	48,00	-30,98	31,36	562,59	3.139 (M)	[PC]	H+V
3799	C	-5,96	48,57	59,00	-17,44	41,41	451,49	3.139 (M)	[PC]	H+V
3800	C	-4,46	33,57	45,00	-17,71	35,77	421,01	3.139 (M)	[PC]	H+V
3801	C	-7,46	45,57	57,00	-19,22	39,59	459,38	3.139 (M)	[PC]	H-V
3802	C	-17,96	44,07	66,00	-48,44	40,48	1028,47	3.139 (M)	[PC]	H-V
3803	C	-11,96	41,07	67,00	-49,41	49,06	1585,42	3.139 (M)	[PC]	H+V
3804	C	9,04	35,07	46,00	-4,95	49,62	703,18	3.140 (M)	[PC]	H-V
3805	C	-14,96	35,07	54,00	-36,97	34,50	702,38	3.140 (M)	[PC]	H-V
3806	C	7,54	29,07	44,00	-14,95	48,66	885,09	3.140 (M)	[PC]	H+V
3807	C	-5,96	44,07	55,00	-18,02	39,69	448,67	3.140 (M)	[PC]	H-V
3808	C	-11,96	30,57	55,00	-43,66	40,29	1229,10	3.140 (M)	[PC]	H-V
3809	C	-13,46	36,57	62,00	-48,65	44,05	1406,05	3.140 (M)	[PC]	H+V
3810	C	-7,46	41,07	53,00	-19,77	37,74	453,68	3.140 (M)	[PC]	H-V
3811	C	-8,96	30,57	45,00	-22,03	32,64	474,46	3.140 (M)	[PC]	H-V
3812	C	9,04	36,57	47,00	-3,41	49,93	685,36	3.140 (M)	[PC]	H-V
3813	C	-4,46	38,07	49,00	-17,29	37,88	431,06	3.140 (M)	[PC]	H-V
3814	C	-5,96	35,07	47,00	-18,99	35,75	432,57	3.140 (M)	[PC]	H+V
3815	C	-7,46	33,57	59,00	-41,90	47,99	1516,42	3.140 (M)	[PC]	H-V
3816	C	9,04	33,57	45,00	-6,26	49,27	720,89	3.140 (M)	[PC]	H-V
3817	C	-17,96	45,57	63,00	-37,71	36,21	623,14	3.140 (M)	[PC]	H+V
3818	C	-14,96	38,07	63,00	-49,69	43,01	1335,32	3.141 (M)	[PC]	H+V
3819	C	-17,96	48,57	65,00	-34,85	36,70	572,26	3.141 (M)	[PC]	H+V
3820	C	-11,96	38,07	52,00	-22,37	33,82	445,36	3.141 (M)	[PC]	H+V
3821	C	-10,46	45,57	58,00	-21,09	37,80	454,49	3.141 (M)	[PC]	H+V
3822	C	-7,46	36,57	49,00	-20,26	35,72	444,19	3.141 (M)	[PC]	H+V
3823	C	-11,96	38,07	64,00	-48,51	47,09	1530,92	3.141 (M)	[PC]	H+V
3824	C	-11,96	29,07	53,00	-42,36	38,67	1150,97	3.141 (M)	[PC]	H-V
3825	C	-2,96	33,57	44,00	-15,00	36,14	392,59	3.141 (M)	[PC]	H+V
3826	C	-5,96	30,57	44,00	-20,61	34,55	483,50	3.141 (M)	[PC]	H-V
3827	C	-4,46	29,07	54,00	-36,72	47,22	1459,48	3.141 (M)	[PC]	H-V
3828	C	6,04	32,07	47,00	-16,83	49,17	890,32	3.142 (M)	[PC]	H-V
3829	C	-2,96	38,07	48,00	-13,54	38,22	402,14	3.142 (M)	[PC]	H-V
3830	C	-8,96	33,57	59,00	-43,36	46,49	1474,33	3.142 (M)	[PC]	H-V
3831	C	-4,46	42,57	53,00	-16,80	39,79	437,55	3.142 (M)	[PC]	H-V
3832	C	-13,46	30,57	51,00	-37,78	34,56	807,39	3.142 (M)	[PC]	H-V
3833	C	-11,96	29,07	54,00	-44,02	39,72	1251,76	3.142 (M)	[PC]	H+V
3834	C	-16,46	38,07	57,00	-39,01	34,92	701,38	3.142 (M)	[PC]	H+V
3835	C	-16,46	39,57	57,00	-35,36	34,18	594,02	3.142 (M)	[PC]	H+V
3836	C	-13,46	32,07	49,00	-29,88	31,84	544,76	3.143 (M)	[PC]	H-V

N°	Forma	C_x	C_y	R	x_v	x_m	V	F_s	Caso	Sisma
		[m]	*[m]*	*[m]*	*[m]*	*[m]*	*[mc]*			
3837	C	-10,46	39,57	65,00	-46,64	49,04	1543,85	3.143 (M)	[PC]	H-V
3838	C	-5,96	39,57	51,00	-18,53	37,81	442,49	3.143 (M)	[PC]	H-V
3839	C	-14,96	33,57	52,00	-35,48	32,97	640,35	3.143 (M)	[PC]	H+V
3840	C	4,54	29,07	46,00	-19,32	47,79	974,86	3.143 (M)	[PC]	H-V
3841	C	7,54	29,07	43,00	-12,92	47,58	810,61	3.143 (M)	[PC]	H-V
3842	C	-7,46	29,07	55,00	-41,25	45,26	1480,82	3.143 (M)	[PC]	H+V
3843	C	-14,96	35,07	52,00	-31,78	32,31	541,29	3.144 (M)	[PC]	H+V
3844	C	-10,46	36,57	62,00	-45,74	47,05	1488,79	3.144 (M)	[PC]	H-V
3845	C	-13,46	30,57	52,00	-39,75	35,62	896,71	3.144 (M)	[PC]	H-V
3846	C	-10,46	32,07	58,00	-45,16	44,45	1458,39	3.144 (M)	[PC]	H+V
3847	C	-17,96	45,57	64,00	-40,55	37,37	710,34	3.144 (M)	[PC]	H-V
3848	C	-17,96	44,07	64,00	-44,03	38,21	830,14	3.144 (M)	[PC]	H-V
3849	C	-13,46	41,07	66,00	-49,10	46,46	1430,00	3.144 (M)	[PC]	H-V
3850	C	9,04	32,07	45,00	-9,90	49,98	807,31	3.144 (M)	[PC]	H+V
3851	C	4,54	32,07	49,00	-19,76	49,84	1017,09	3.145 (M)	[PC]	H-V
3852	C	-5,96	29,07	55,00	-39,79	46,76	1523,16	3.145 (M)	[PC]	H+V
3853	C	-13,46	44,07	69,00	-49,94	48,35	1480,74	3.145 (M)	[PC]	H-V
3854	C	-5,96	32,07	45,00	-20,10	34,98	466,96	3.145 (M)	[PC]	H-V
3855	C	-13,46	32,07	56,00	-44,72	39,34	1164,30	3.145 (M)	[PC]	H-V
3856	C	-13,46	32,07	57,00	-46,43	40,40	1267,56	3.146 (M)	[PC]	H+V
3857	C	9,04	32,07	44,00	-7,38	48,88	738,63	3.146 (M)	[PC]	H-V
3858	C	-5,96	33,57	59,00	-40,44	49,49	1557,76	3.146 (M)	[PC]	H-V
3859	C	3,04	29,07	49,00	-22,34	49,47	1191,28	3.146 (M)	[PC]	H-V
3860	C	-16,46	38,07	62,00	-49,35	40,42	1185,75	3.146 (M)	[PC]	H+V
3861	C	-17,96	42,57	62,00	-42,54	36,75	763,44	3.146 (M)	[PC]	H+V
3862	C	-13,46	30,57	55,00	-45,12	38,79	1187,79	3.147 (M)	[PC]	H+V
3863	C	-13,46	29,07	50,00	-38,40	34,02	827,57	3.147 (M)	[PC]	H+V
3864	C	-13,46	30,57	50,00	-35,70	33,50	721,80	3.147 (M)	[PC]	H-V
3865	C	-16,46	36,57	59,00	-46,14	37,80	1006,83	3.147 (M)	[PC]	H+V
3866	C	-13,46	33,57	58,00	-46,03	40,92	1242,74	3.147 (M)	[PC]	H-V
3867	C	-11,96	47,07	60,00	-21,70	37,70	463,99	3.147 (M)	[PC]	H-V
3868	C	-4,46	30,57	43,00	-18,77	34,96	453,84	3.147 (M)	[PC]	H-V
3869	C	-11,96	35,07	61,00	-47,58	45,06	1474,82	3.147 (M)	[PC]	H+V
3870	C	6,04	33,57	48,00	-16,49	49,60	869,60	3.148 (M)	[PC]	H-V
3871	C	-13,46	29,07	49,00	-36,40	32,97	741,21	3.148 (M)	[PC]	H+V
3872	C	-2,96	41,07	50,00	-7,20	38,69	368,92	3.148 (M)	[PC]	H-V
3873	C	-7,46	30,57	56,00	-40,94	45,84	1457,68	3.148 (M)	[PC]	H-V
3874	C	-7,46	35,07	48,00	-20,73	35,37	462,15	3.148 (M)	[PC]	H-V
3875	C	-2,96	29,07	41,00	-17,43	34,93	440,33	3.148 (M)	[PC]	H-V
3876	C	-4,46	47,07	57,00	-16,00	41,53	440,61	3.148 (M)	[PC]	H+V
3877	C	-8,96	29,07	55,00	-42,71	43,76	1439,85	3.148 (M)	[PC]	H+V
3878	C	-13,46	38,07	63,00	-48,23	44,51	1377,83	3.149 (M)	[PC]	H-V
3879	C	-16,46	36,57	58,00	-44,17	36,71	908,39	3.149 (M)	[PC]	H+V
3880	C	-13,46	30,57	53,00	-41,62	36,68	989,71	3.149 (M)	[PC]	H-V
3881	C	-11,96	30,57	56,00	-45,32	41,34	1332,90	3.149 (M)	[PC]	H+V
3882	C	-4,46	29,07	42,00	-19,27	34,51	469,71	3.149 (M)	[PC]	H-V
3883	C	-2,96	30,57	42,00	-16,93	35,37	424,69	3.149 (M)	[PC]	H-V
3884	C	-14,96	39,57	64,00	-49,23	43,44	1306,47	3.149 (M)	[PC]	H-V
3885	C	6,04	30,57	47,00	-18,21	49,79	990,49	3.149 (M)	[PC]	H+V
3886	C	-11,96	30,57	46,00	-24,25	30,72	461,43	3.150 (M)	[PC]	H+V
3887	C	-10,46	33,57	59,00	-44,81	44,99	1433,00	3.150 (M)	[PC]	H-V
3888	C	-17,96	41,07	63,00	-47,73	38,64	984,42	3.150 (M)	[PC]	H+V
3889	C	-14,96	41,07	56,00	-25,11	33,73	463,13	3.150 (M)	[PC]	H-V
3890	C	-10,46	29,07	54,00	-42,56	41,22	1292,93	3.150 (M)	[PC]	H-V
3891	C	-8,96	36,57	63,00	-45,96	49,62	1643,73	3.150 (M)	[PC]	H+V
3892	C	-13,46	30,57	49,00	-33,45	32,43	640,12	3.150 (M)	[PC]	H-V
3893	C	-14,96	35,07	53,00	-34,52	33,41	619,55	3.150 (M)	[PC]	H-V
3894	C	-13,46	29,07	48,00	-34,27	31,91	658,62	3.150 (M)	[PC]	H+V
3895	C	-16,46	38,07	60,00	-45,54	38,23	980,52	3.150 (M)	[PC]	H-V
3896	C	-13,46	39,57	54,00	-23,44	33,77	454,36	3.151 (M)	[PC]	H-V
3897	C	-13,46	29,07	51,00	-40,28	35,07	917,76	3.151 (M)	[PC]	H+V
3898	C	-14,96	39,57	55,00	-27,23	33,41	482,37	3.151 (M)	[PC]	H-V
3899	C	-11,96	32,07	57,00	-44,97	41,90	1308,88	3.151 (M)	[PC]	H-V
3900	C	-5,96	30,57	56,00	-39,48	47,34	1499,99	3.151 (M)	[PC]	H-V
3901	C	-1,46	32,07	41,00	-5,30	35,04	329,93	3.151 (M)	[PC]	H-V
3902	C	-10,46	35,07	49,00	-22,07	33,49	453,04	3.151 (M)	[PC]	H-V
3903	C	-8,96	30,57	56,00	-42,40	44,34	1416,68	3.151 (M)	[PC]	H-V
3904	C	-16,46	38,07	59,00	-43,50	37,13	883,77	3.151 (M)	[PC]	H-V
3905	C	9,04	30,57	43,00	-8,37	48,46	756,13	3.151 (M)	[PC]	H-V
3906	C	7,54	33,57	47,00	-12,91	49,99	826,86	3.152 (M)	[PC]	H-V
3907	C	-11,96	39,57	65,00	-48,09	47,54	1501,44	3.152 (M)	[PC]	H-V
3908	C	-16,46	39,57	58,00	-38,05	35,30	677,63	3.152 (M)	[PC]	H-V
3909	C	6,04	30,57	46,00	-17,15	48,72	910,40	3.152 (M)	[PC]	H-V
3910	C	-8,96	38,07	51,00	-21,10	35,68	455,38	3.152 (M)	[PC]	H-V
3911	C	-16,46	45,57	61,00	-29,20	35,37	504,42	3.152 (M)	[PC]	H-V
3912	C	-1,46	30,57	40,00	-8,80	34,67	342,18	3.152 (M)	[PC]	H+V
3913	C	-1,46	29,07	39,00	-10,98	34,25	355,03	3.153 (M)	[PC]	H-V
3914	C	-5,96	33,57	46,00	-19,56	35,38	449,98	3.153 (M)	[PC]	H-V
3915	C	-17,96	44,07	62,00	-38,92	35,92	648,27	3.153 (M)	[PC]	H+V

N°	Forma	C_x	C_y	R	x_v	x_m	V	F_s	Caso	Sisma
		[m]	*[m]*	*[m]*	*[m]*	*[m]*	*[mc]*			
3916	C	-16,46	36,57	57,00	-42,09	35,62	814,65	3.153 (M)	[PC]	H+V
3917	C	-16,46	39,57	63,00	-48,83	40,85	1157,59	3.153 (M)	[PC]	H-V
3918	C	-7,46	33,57	60,00	-43,54	49,05	1626,84	3.153 (M)	[PC]	H+V
3919	C	-11,96	42,57	68,00	-48,97	49,47	1554,02	3.153 (M)	[PC]	H-V
3920	C	-17,96	41,07	62,00	-45,63	37,52	885,29	3.154 (M)	[PC]	H+V
3921	C	-17,96	41,07	64,00	-49,72	39,75	1087,28	3.154 (M)	[PC]	H+V
3922	C	-16,46	44,07	60,00	-31,08	35,11	526,56	3.154 (M)	[PC]	H-V
3923	C	-14,96	36,57	53,00	-30,47	32,71	521,62	3.154 (M)	[PC]	H-V
3924	C	-4,46	32,07	44,00	-18,25	35,38	437,53	3.154 (M)	[PC]	H-V
3925	C	-4,46	29,07	55,00	-38,33	48,26	1564,35	3.154 (M)	[PC]	H+V
3926	C	-8,96	33,57	47,00	-21,37	33,49	442,36	3.154 (M)	[PC]	H+V
3927	C	-8,96	33,57	60,00	-45,00	47,55	1584,37	3.155 (M)	[PC]	H+V
3928	C	-13,46	33,57	59,00	-47,73	41,99	1349,30	3.155 (M)	[PC]	H+V
3929	C	-16,46	48,57	63,00	-24,67	35,81	461,65	3.155 (M)	[PC]	H+V
3930	C	9,04	30,57	44,00	-10,71	49,55	825,86	3.155 (M)	[PC]	H+V
3931	C	-7,46	29,07	43,00	-21,27	32,58	462,15	3.155 (M)	[PC]	H+V
3932	C	-10,46	41,07	54,00	-21,41	35,91	446,86	3.155 (M)	[PC]	H+V
3933	C	-14,96	47,07	61,00	-23,09	35,91	453,61	3.155 (M)	[PC]	H+V
3934	C	-2,96	39,57	49,00	-11,09	38,47	385,05	3.155 (M)	[PC]	H-V
3935	C	-10,46	36,57	63,00	-47,42	48,12	1601,20	3.155 (M)	[PC]	H+V
3936	C	-16,46	36,57	60,00	-48,02	38,89	1108,20	3.155 (M)	[PC]	H+V
3937	C	-11,96	36,57	62,00	-47,20	45,55	1447,33	3.156 (M)	[PC]	H-V
3938	C	-13,46	29,07	52,00	-42,09	36,12	1011,25	3.156 (M)	[PC]	H+V
3939	C	-16,46	47,07	62,00	-26,94	35,60	482,70	3.156 (M)	[PC]	H-V
3940	C	4,54	30,57	48,00	-20,07	49,36	1037,90	3.157 (M)	[PC]	H-V
3941	C	-14,96	38,07	54,00	-28,98	33,08	501,95	3.157 (M)	[PC]	H-V
3942	C	-11,96	42,57	56,00	-22,05	35,84	456,37	3.157 (M)	[PC]	H-V
3943	C	-14,96	33,57	58,00	-47,49	39,42	1201,55	3.157 (M)	[PC]	H+V
3944	C	-14,96	35,07	60,00	-48,80	40,99	1281,71	3.157 (M)	[PC]	H+V
3945	C	-14,96	33,57	55,00	-41,97	36,21	903,40	3.157 (M)	[PC]	H-V
3946	C	-13,46	38,07	64,00	-49,96	45,59	1489,65	3.158 (M)	[PC]	H+V
3947	C	-14,96	33,57	54,00	-39,95	35,13	811,85	3.158 (M)	[PC]	H-V
3948	C	-16,46	41,07	58,00	-34,10	34,51	571,38	3.158 (M)	[PC]	H-V
3949	C	-16,46	38,07	56,00	-36,48	33,81	616,67	3.158 (M)	[PC]	H+V
3950	C	-17,96	42,57	64,00	-47,04	39,01	956,07	3.158 (M)	[PC]	H-V
3951	C	-2,96	29,07	54,00	-35,26	48,72	1500,59	3.158 (M)	[PC]	H-V
3952	C	-17,96	44,07	63,00	-41,59	37,07	737,29	3.158 (M)	[PC]	H-V
3953	C	-16,46	38,07	61,00	-47,49	39,33	1081,33	3.159 (M)	[PC]	H-V
3954	C	-14,96	32,07	53,00	-40,61	34,64	834,15	3.159 (M)	[PC]	H+V
3955	C	-14,96	33,57	56,00	-43,89	37,28	999,63	3.159 (M)	[PC]	H-V
3956	C	-16,46	38,07	58,00	-41,33	36,03	790,21	3.159 (M)	[PC]	H-V
3957	C	-5,96	41,07	52,00	-17,91	38,07	423,23	3.159 (M)	[PC]	H+V
3958	C	-8,96	44,07	56,00	-20,32	37,89	444,37	3.159 (M)	[PC]	H+V
3959	C	-14,96	35,07	59,00	-47,05	39,92	1175,97	3.159 (M)	[PC]	H-V
3960	C	-13,46	35,07	60,00	-47,34	42,49	1322,88	3.159 (M)	[PC]	H-V
3961	C	-14,96	32,07	54,00	-42,55	35,71	926,31	3.159 (M)	[PC]	H+V
3962	C	-11,96	32,07	47,00	-23,45	31,17	445,92	3.160 (M)	[PC]	H+V
3963	C	-2,96	32,07	43,00	-16,41	35,78	408,84	3.160 (M)	[PC]	H-V
3964	C	-13,46	30,57	54,00	-43,40	37,74	1087,55	3.160 (M)	[PC]	H-V
3965	C	4,54	29,07	48,00	-21,12	49,91	1143,04	3.160 (M)	[PC]	H+V
3966	C	-7,46	42,57	54,00	-19,12	37,98	433,89	3.160 (M)	[PC]	H+V
3967	C	-11,96	32,07	58,00	-46,62	42,95	1416,95	3.160 (M)	[PC]	H+V
3968	C	9,04	29,07	42,00	-9,23	48,01	773,34	3.160 (M)	[PC]	H-V
3969	C	-17,96	47,07	64,00	-36,36	36,47	597,67	3.160 (M)	[PC]	H-V
3970	C	-7,46	30,57	57,00	-42,55	46,89	1565,21	3.161 (M)	[PC]	H+V
3971	C	-14,96	36,57	61,00	-48,37	41,47	1254,82	3.161 (M)	[PC]	H-V
3972	C	-4,46	30,57	56,00	-38,02	48,84	1540,95	3.162 (M)	[PC]	H-V
3973	C	-10,46	33,57	60,00	-46,46	46,05	1543,00	3.162 (M)	[PC]	H+V
3974	C	-7,46	38,07	50,00	-19,65	36,03	425,90	3.162 (M)	[PC]	H+V
3975	C	-17,96	42,57	65,00	-49,11	40,13	1058,09	3.162 (M)	[PC]	H-V
3976	C	-10,46	29,07	55,00	-44,18	42,26	1397,23	3.162 (M)	[PC]	H+V
3977	C	-11,96	39,57	66,00	-49,81	48,63	1616,49	3.162 (M)	[PC]	H+V
3978	C	-8,96	32,07	46,00	-21,70	33,08	458,52	3.162 (M)	[PC]	H-V
3979	C	-10,46	30,57	56,00	-43,86	42,84	1375,38	3.162 (M)	[PC]	H-V
3980	C	-2,96	35,07	45,00	-13,20	36,48	376,42	3.163 (M)	[PC]	H+V
3981	C	-13,46	33,57	49,00	-25,20	31,20	456,19	3.163 (M)	[PC]	H+V
3982	C	-14,96	32,07	55,00	-44,40	36,77	1022,30	3.163 (M)	[PC]	H+V
3983	C	-7,46	35,07	61,00	-43,20	49,56	1599,83	3.163 (M)	[PC]	H-V
3984	C	-17,96	42,57	63,00	-44,86	37,88	857,87	3.163 (M)	[PC]	H-V
3985	C	7,54	32,07	46,00	-13,67	49,58	846,77	3.164 (M)	[PC]	H-V
3986	C	-8,96	35,07	61,00	-44,66	48,06	1557,65	3.164 (M)	[PC]	H-V
3987	C	-7,46	30,57	44,00	-20,96	33,05	446,65	3.164 (M)	[PC]	H+V
3988	C	-16,46	42,57	59,00	-32,69	34,82	548,75	3.164 (M)	[PC]	H-V
3989	C	-14,96	32,07	52,00	-38,55	33,57	745,43	3.164 (M)	[PC]	H+V
3990	C	-5,96	30,57	57,00	-41,08	48,39	1607,70	3.164 (M)	[PC]	H+V
3991	C	-10,46	29,07	44,00	-22,67	30,66	450,45	3.164 (M)	[PC]	H+V
3992	C	-14,96	33,57	51,00	-32,93	31,88	560,82	3.164 (M)	[PC]	H+V
3993	C	6,04	29,07	46,00	-18,50	49,29	1010,29	3.164 (M)	[PC]	H+V
3994	C	-8,96	30,57	57,00	-44,01	45,39	1524,26	3.165 (M)	[PC]	H+V

N°	Forma	C_x	C_y	R	x_v	x_m	V	F_s	Caso	Sisma
		[m]	*[m]*	*[m]*	*[m]*	*[m]*	*[mc]*			
3995	C	-11,96	29,07	45,00	-25,00	30,22	476,14	3.165 (M)	[PC]	H-V
3996	C	-16,46	36,57	56,00	-39,88	34,52	724,83	3.165 (M)	[PC]	H+V
3997	C	-11,96	33,57	59,00	-46,27	43,49	1391,56	3.165 (M)	[PC]	H-V
3998	C	-17,96	41,07	61,00	-43,41	36,40	789,86	3.165 (M)	[PC]	H+V
3999	C	6,04	29,07	45,00	-17,46	48,22	929,79	3.166 (M)	[PC]	H-V
4000	C	-14,96	33,57	53,00	-37,80	34,05	724,13	3.166 (M)	[PC]	H-V
4001	C	-11,96	36,57	63,00	-48,88	46,62	1560,00	3.166 (M)	[PC]	H+V
4002	C	-10,46	38,07	64,00	-47,05	48,59	1572,41	3.166 (M)	[PC]	H-V
4003	C	-17,96	42,57	61,00	-40,02	35,61	673,71	3.167 (M)	[PC]	H+V
4004	C	-2,96	38,07	47,00	-7,07	37,04	345,86	3.167 (M)	[PC]	H+V
4005	C	-13,46	29,07	53,00	-43,81	37,17	1109,67	3.167 (M)	[PC]	H+V
4006	C	9,04	29,07	43,00	-11,42	49,08	843,60	3.167 (M)	[PC]	H+V
4007	C	-4,46	48,57	58,00	-13,32	41,66	420,04	3.167 (M)	[PC]	H+V
4008	C	-7,46	32,07	58,00	-42,24	47,45	1541,82	3.167 (M)	[PC]	H-V
4009	C	-4,46	33,57	45,00	-17,71	35,77	421,01	3.167 (M)	[PC]	H-V
4010	C	-13,46	30,57	48,00	-30,98	31,36	562,59	3.168 (M)	[PC]	H-V
4011	C	-13,46	35,07	61,00	-49,04	43,56	1433,55	3.168 (M)	[PC]	H+V
4012	C	-13,46	39,57	65,00	-49,55	46,04	1460,15	3.168 (M)	[PC]	H-V
4013	C	-5,96	48,57	59,00	-17,44	41,41	451,49	3.168 (M)	[PC]	H-V
4014	C	-5,96	35,07	47,00	-18,99	35,75	432,57	3.168 (M)	[PC]	H-V
4015	C	-14,96	32,07	51,00	-36,35	32,50	660,71	3.169 (M)	[PC]	H+V
4016	C	-2,96	33,57	44,00	-15,00	36,14	392,59	3.169 (M)	[PC]	H-V
4017	C	-13,46	29,07	47,00	-31,95	30,85	579,62	3.169 (M)	[PC]	H+V
4018	C	-11,96	38,07	52,00	-22,37	33,82	445,36	3.169 (M)	[PC]	H-V
4019	C	-7,46	36,57	49,00	-20,26	35,72	444,19	3.169 (M)	[PC]	H-V
4020	C	-17,96	48,57	65,00	-34,85	36,70	572,26	3.169 (M)	[PC]	H-V
4021	C	-10,46	45,57	58,00	-21,09	37,80	454,49	3.169 (M)	[PC]	H-V
4022	C	10,54	30,57	42,00	-4,22	48,87	723,82	3.170 (M)	[PC]	H+V
4023	C	-10,46	35,07	61,00	-46,12	46,56	1516,28	3.170 (M)	[PC]	H-V
4024	C	-14,96	33,57	57,00	-45,73	38,35	1098,63	3.170 (M)	[PC]	H-V
4025	C	-17,96	45,57	63,00	-37,71	36,21	623,14	3.170 (M)	[PC]	H-V
4026	C	-8,96	32,07	58,00	-43,70	45,95	1499,72	3.170 (M)	[PC]	H-V
4027	C	-10,46	36,57	50,00	-21,72	33,85	435,74	3.170 (M)	[PC]	H+V
4028	C	-13,46	32,07	48,00	-26,81	30,76	472,75	3.170 (M)	[PC]	H+V
4029	C	-2,96	29,07	55,00	-36,86	49,76	1605,25	3.170 (M)	[PC]	H+V
4030	C	-16,46	39,57	57,00	-35,36	34,18	594,02	3.171 (M)	[PC]	H-V
4031	C	7,54	30,57	45,00	-14,34	49,14	866,21	3.172 (M)	[PC]	H-V
4032	C	-5,96	32,07	58,00	-40,78	48,95	1583,16	3.172 (M)	[PC]	H-V
4033	C	-16,46	38,07	57,00	-39,01	34,92	701,38	3.172 (M)	[PC]	H-V
4034	C	-14,96	35,07	52,00	-31,78	32,31	541,29	3.172 (M)	[PC]	H-V
4035	C	-14,96	32,07	56,00	-46,17	37,84	1123,09	3.172 (M)	[PC]	H+V
4036	C	-14,96	33,57	52,00	-35,48	32,97	640,35	3.173 (M)	[PC]	H-V
4037	C	4,54	29,07	47,00	-20,37	48,85	1057,38	3.173 (M)	[PC]	H-V
4038	C	-4,46	35,07	46,00	-17,14	36,12	403,87	3.174 (M)	[PC]	H+V
4039	C	10,54	29,07	41,00	-5,29	48,43	739,85	3.174 (M)	[PC]	H+V
4040	C	-4,46	30,57	57,00	-39,62	49,89	1648,94	3.174 (M)	[PC]	H+V
4041	C	-2,96	36,57	46,00	-10,84	36,78	360,61	3.174 (M)	[PC]	H+V
4042	C	-16,46	36,57	61,00	-49,82	39,97	1213,30	3.175 (M)	[PC]	H+V
4043	C	-13,46	36,57	62,00	-48,65	44,05	1406,05	3.175 (M)	[PC]	H-V
4044	C	7,54	29,07	44,00	-14,95	48,66	885,09	3.175 (M)	[PC]	H-V
4045	C	-14,96	38,07	63,00	-49,69	43,01	1335,32	3.175 (M)	[PC]	H-V
4046	C	-10,46	30,57	57,00	-45,47	43,89	1482,93	3.175 (M)	[PC]	H+V
4047	C	-11,96	41,07	67,00	-49,41	49,06	1585,42	3.175 (M)	[PC]	H-V
4048	C	-17,96	39,57	62,00	-48,36	38,25	1012,33	3.175 (M)	[PC]	H+V
4049	C	-8,96	35,07	62,00	-46,30	49,13	1671,79	3.175 (M)	[PC]	H+V
4050	C	-8,96	39,57	52,00	-20,75	35,97	436,66	3.175 (M)	[PC]	H+V
4051	C	-11,96	29,07	54,00	-44,02	39,72	1251,76	3.176 (M)	[PC]	H-V
4052	C	-11,96	33,57	60,00	-47,92	44,55	1501,53	3.176 (M)	[PC]	H+V
4053	C	-8,96	48,57	60,00	-19,72	39,65	448,61	3.176 (M)	[PC]	H+V
4054	C	-13,46	30,57	47,00	-28,19	30,29	488,93	3.176 (M)	[PC]	H+V
4055	C	-11,96	38,07	64,00	-48,51	47,09	1530,92	3.176 (M)	[PC]	H-V
4056	C	-4,46	39,57	50,00	-16,68	38,14	412,32	3.176 (M)	[PC]	H+V
4057	C	-16,46	36,57	55,00	-37,49	33,42	639,04	3.177 (M)	[PC]	H+V
4058	C	-16,46	41,07	57,00	-30,73	33,37	494,10	3.177 (M)	[PC]	H+V
4059	C	-14,96	42,57	57,00	-24,06	34,01	444,36	3.177 (M)	[PC]	H+V
4060	C	-17,96	42,57	62,00	-42,54	36,75	763,44	3.177 (M)	[PC]	H-V
4061	C	-10,46	38,07	65,00	-48,72	49,68	1688,85	3.177 (M)	[PC]	H+V
4062	C	-4,46	47,07	57,00	-16,00	41,53	440,61	3.177 (M)	[PC]	H-V
4063	C	-1,46	29,07	38,00	-5,15	33,16	303,87	3.178 (M)	[PC]	H+V
4064	C	-13,46	29,07	50,00	-38,40	34,02	827,57	3.178 (M)	[PC]	H-V
4065	C	-11,96	30,57	46,00	-24,25	30,72	461,43	3.178 (M)	[PC]	H-V
4066	C	-13,46	29,07	49,00	-36,40	32,97	741,21	3.178 (M)	[PC]	H-V
4067	C	-7,46	29,07	55,00	-41,25	45,26	1480,82	3.179 (M)	[PC]	H-V
4068	C	-16,46	35,07	57,00	-44,78	36,26	933,20	3.179 (M)	[PC]	H+V
4069	C	-2,96	29,07	40,00	-15,98	33,84	379,02	3.179 (M)	[PC]	H+V
4070	C	-10,46	32,07	58,00	-45,16	44,45	1458,39	3.179 (M)	[PC]	H-V
4071	C	-7,46	32,07	45,00	-20,64	33,48	430,90	3.179 (M)	[PC]	H+V
4072	C	-17,96	39,57	61,00	-46,34	37,14	911,86	3.179 (M)	[PC]	H+V
4073	C	-16,46	36,57	59,00	-46,14	37,80	1006,83	3.179 (M)	[PC]	H-V

N°	Forma	C_x	C_y	R	x_v	x_m	V	F_s	Caso	Sisma
		[m]	*[m]*	*[m]*	*[m]*	*[m]*	*[mc]*			
4074	C	-5,96	36,57	48,00	-18,40	36,08	415,14	3.179 (M)	[PC]	H+V
4075	C	-13,46	32,07	57,00	-46,43	40,40	1267,56	3.179 (M)	[PC]	H-V
4076	C	-5,96	29,07	42,00	-19,90	33,01	434,22	3.180 (M)	[PC]	H+V
4077	C	-16,46	38,07	62,00	-49,35	40,42	1185,75	3.180 (M)	[PC]	H-V
4078	C	9,04	32,07	45,00	-9,90	49,98	807,31	3.180 (M)	[PC]	H-V
4079	C	-16,46	35,07	58,00	-46,68	37,34	1031,52	3.180 (M)	[PC]	H+V
4080	C	-13,46	30,57	55,00	-45,12	38,79	1187,79	3.180 (M)	[PC]	H-V
4081	C	-13,46	45,57	59,00	-22,28	36,00	445,50	3.180 (M)	[PC]	H+V
4082	C	-13,46	30,57	56,00	-46,78	39,84	1291,84	3.180 (M)	[PC]	H+V
4083	C	-13,46	29,07	48,00	-34,27	31,91	658,62	3.180 (M)	[PC]	H-V
4084	C	-16,46	36,57	58,00	-44,17	36,71	908,39	3.180 (M)	[PC]	H-V
4085	C	-7,46	32,07	59,00	-43,84	48,51	1652,76	3.180 (M)	[PC]	H+V
4086	C	-5,96	29,07	55,00	-39,79	46,76	1523,16	3.180 (M)	[PC]	H-V
4087	C	-16,46	35,07	56,00	-42,79	35,18	838,65	3.181 (M)	[PC]	H+V
4088	C	-1,46	30,57	40,00	-8,80	34,67	342,18	3.181 (M)	[PC]	H-V
4089	C	-10,46	35,07	62,00	-47,76	47,63	1629,24	3.182 (M)	[PC]	H+V
4090	C	-17,96	41,07	63,00	-47,73	38,64	984,42	3.182 (M)	[PC]	H-V
4091	C	-7,46	47,07	58,00	-18,55	39,77	438,51	3.182 (M)	[PC]	H+V
4092	C	-11,96	35,07	61,00	-47,58	45,06	1474,82	3.182 (M)	[PC]	H-V
4093	C	-17,96	44,07	62,00	-38,92	35,92	648,27	3.183 (M)	[PC]	H-V
4094	C	-8,96	33,57	47,00	-21,37	33,49	442,36	3.183 (M)	[PC]	H-V
4095	C	-13,46	29,07	51,00	-40,28	35,07	917,76	3.183 (M)	[PC]	H-V
4096	C	-13,46	41,07	55,00	-22,63	34,07	436,04	3.183 (M)	[PC]	H+V
4097	C	-5,96	30,57	43,00	-19,38	33,46	418,76	3.183 (M)	[PC]	H+V
4098	C	-8,96	32,07	59,00	-45,31	47,01	1610,25	3.183 (M)	[PC]	H+V
4099	C	-11,96	30,57	56,00	-45,32	41,34	1332,90	3.183 (M)	[PC]	H-V
4100	C	-11,96	29,07	55,00	-45,64	40,76	1356,06	3.183 (M)	[PC]	H+V
4101	C	-8,96	29,07	55,00	-42,71	43,76	1439,85	3.183 (M)	[PC]	H-V
4102	C	-5,96	45,57	56,00	-17,36	39,88	428,08	3.183 (M)	[PC]	H+V
4103	C	-17,96	41,07	60,00	-41,02	35,28	699,14	3.184 (M)	[PC]	H+V
4104	C	-10,46	41,07	54,00	-21,41	35,91	446,86	3.184 (M)	[PC]	H-V
4105	C	-7,46	29,07	43,00	-21,27	32,58	462,15	3.184 (M)	[PC]	H-V
4106	C	-16,46	48,57	63,00	-24,67	35,81	461,65	3.184 (M)	[PC]	H-V
4107	C	-14,96	47,07	61,00	-23,09	35,91	453,61	3.184 (M)	[PC]	H-V
4108	C	-16,46	36,57	57,00	-42,09	35,62	814,65	3.184 (M)	[PC]	H-V
4109	C	-16,46	38,07	55,00	-33,65	32,70	536,27	3.184 (M)	[PC]	H+V
4110	C	-4,46	44,07	54,00	-15,69	39,98	417,49	3.184 (M)	[PC]	H+V
4111	C	-10,46	30,57	45,00	-22,34	31,14	435,65	3.185 (M)	[PC]	H+V
4112	C	6,04	30,57	47,00	-18,21	49,79	990,49	3.185 (M)	[PC]	H-V
4113	C	-17,96	41,07	62,00	-45,63	37,52	885,29	3.185 (M)	[PC]	H-V
4114	C	-13,46	29,07	54,00	-45,48	38,22	1210,45	3.186 (M)	[PC]	H+V
4115	C	-4,46	29,07	41,00	-18,05	33,43	406,35	3.186 (M)	[PC]	H+V
4116	C	-13,46	32,07	58,00	-48,08	41,45	1374,69	3.186 (M)	[PC]	H+V
4117	C	-8,96	36,57	63,00	-45,96	49,62	1643,73	3.186 (M)	[PC]	H-V
4118	C	-17,96	41,07	64,00	-49,72	39,75	1087,28	3.187 (M)	[PC]	H-V
4119	C	-17,96	39,57	60,00	-44,21	36,03	815,97	3.187 (M)	[PC]	H+V
4120	C	-5,96	41,07	52,00	-17,91	38,07	423,23	3.188 (M)	[PC]	H-V
4121	C	-16,46	35,07	59,00	-48,50	38,42	1134,45	3.188 (M)	[PC]	H+V
4122	C	-16,46	38,07	56,00	-36,48	33,81	616,67	3.188 (M)	[PC]	H-V
4123	C	-8,96	44,07	56,00	-20,32	37,89	444,37	3.188 (M)	[PC]	H-V
4124	C	-11,96	32,07	47,00	-23,45	31,17	445,92	3.188 (M)	[PC]	H-V
4125	C	-13,46	29,07	52,00	-42,09	36,12	1011,25	3.188 (M)	[PC]	H-V
4126	C	-16,46	36,57	60,00	-48,02	38,89	1108,20	3.188 (M)	[PC]	H-V
4127	C	-14,96	33,57	59,00	-49,19	40,49	1307,88	3.189 (M)	[PC]	H+V
4128	C	-16,46	39,57	56,00	-32,29	33,05	515,26	3.189 (M)	[PC]	H+V
4129	C	-7,46	42,57	54,00	-19,12	37,98	433,89	3.189 (M)	[PC]	H-V
4130	C	-13,46	33,57	59,00	-47,73	41,99	1349,30	3.189 (M)	[PC]	H-V
4131	C	-7,46	33,57	60,00	-43,54	49,05	1626,84	3.189 (M)	[PC]	H-V
4132	C	-17,96	45,57	62,00	-34,48	35,04	540,20	3.190 (M)	[PC]	H+V
4133	C	7,54	29,07	45,00	-16,63	49,72	963,22	3.190 (M)	[PC]	H+V
4134	C	-14,96	32,07	50,00	-33,96	31,42	579,55	3.190 (M)	[PC]	H+V
4135	C	-17,96	47,07	63,00	-32,80	35,29	516,70	3.190 (M)	[PC]	H+V
4136	C	-14,96	32,07	53,00	-40,61	34,64	834,15	3.190 (M)	[PC]	H-V
4137	C	-7,46	38,07	50,00	-19,65	36,03	425,90	3.190 (M)	[PC]	H-V
4138	C	9,04	30,57	44,00	-10,71	49,55	825,86	3.190 (M)	[PC]	H-V
4139	C	-4,46	29,07	55,00	-38,33	48,26	1564,35	3.190 (M)	[PC]	H-V
4140	C	-8,96	33,57	60,00	-45,00	47,55	1584,37	3.190 (M)	[PC]	H-V
4141	C	-14,96	32,07	57,00	-47,89	38,90	1226,39	3.191 (M)	[PC]	H+V
4142	C	-14,96	33,57	58,00	-47,49	39,42	1201,55	3.191 (M)	[PC]	H-V
4143	C	-2,96	35,07	45,00	-13,20	36,48	376,42	3.191 (M)	[PC]	H-V
4144	C	-11,96	44,07	57,00	-21,67	36,09	436,83	3.191 (M)	[PC]	H+V
4145	C	-16,46	35,07	55,00	-40,67	34,09	748,06	3.191 (M)	[PC]	H+V
4146	C	-14,96	35,07	60,00	-48,80	40,99	1281,71	3.191 (M)	[PC]	H-V
4147	C	-10,46	32,07	59,00	-46,77	45,51	1568,89	3.191 (M)	[PC]	H+V
4148	C	-10,46	36,57	63,00	-47,42	48,12	1601,20	3.191 (M)	[PC]	H-V
4149	C	-17,96	42,57	60,00	-37,25	34,47	588,34	3.192 (M)	[PC]	H+V
4150	C	-14,96	32,07	54,00	-42,55	35,71	926,31	3.192 (M)	[PC]	H-V
4151	C	-13,46	33,57	49,00	-25,20	31,20	456,19	3.192 (M)	[PC]	H-V
4152	C	-7,46	30,57	44,00	-20,96	33,05	446,65	3.192 (M)	[PC]	H-V

N°	Forma	C_x	C_y	R	x_v	x_m	V	F_s	Caso	Sisma
		[m]	*[m]*	*[m]*	*[m]*	*[m]*	*[mc]*			
4153	C	-7,46	29,07	56,00	-42,82	46,30	1588,80	3.193 (M)	[PC]	H+V
4154	C	-10,46	29,07	44,00	-22,67	30,66	450,45	3.193 (M)	[PC]	H-V
4155	C	-13,46	38,07	64,00	-49,96	45,59	1489,65	3.193 (M)	[PC]	H-V
4156	C	-14,96	33,57	51,00	-32,93	31,88	560,82	3.193 (M)	[PC]	H-V
4157	C	-11,96	35,07	62,00	-49,22	46,13	1588,06	3.194 (M)	[PC]	H+V
4158	C	10,54	30,57	43,00	-6,87	49,96	789,25	3.194 (M)	[PC]	H+V
4159	C	-14,96	30,57	52,00	-41,20	34,12	855,71	3.194 (M)	[PC]	H+V
4160	C	-4,46	47,07	56,00	-8,95	40,29	379,75	3.194 (M)	[PC]	H+V
4161	C	-11,96	30,57	57,00	-46,93	42,39	1440,24	3.194 (M)	[PC]	H+V
4162	C	-5,96	29,07	56,00	-41,35	47,80	1631,32	3.194 (M)	[PC]	H+V
4163	C	-14,96	30,57	51,00	-39,23	33,06	766,20	3.195 (M)	[PC]	H+V
4164	C	-14,96	32,07	52,00	-38,55	33,57	745,43	3.195 (M)	[PC]	H-V
4165	C	-4,46	30,57	42,00	-17,53	33,87	391,09	3.195 (M)	[PC]	H+V
4166	C	-5,96	32,07	44,00	-18,83	33,88	402,81	3.195 (M)	[PC]	H+V
4167	C	-7,46	33,57	46,00	-20,11	33,88	414,33	3.195 (M)	[PC]	H+V
4168	C	-11,96	32,07	58,00	-46,62	42,95	1416,95	3.195 (M)	[PC]	H-V
4169	C	-16,46	36,57	56,00	-39,88	34,52	724,83	3.196 (M)	[PC]	H-V
4170	C	-13,46	35,07	50,00	-24,24	31,60	439,58	3.196 (M)	[PC]	H+V
4171	C	-14,96	32,07	55,00	-44,40	36,77	1022,30	3.196 (M)	[PC]	H-V
4172	C	-8,96	35,07	48,00	-21,03	33,87	425,38	3.196 (M)	[PC]	H+V
4173	C	-2,96	38,07	47,00	-7,07	37,04	345,86	3.196 (M)	[PC]	H-V
4174	C	4,54	29,07	48,00	-21,12	49,91	1143,04	3.196 (M)	[PC]	H-V
4175	C	-17,96	41,07	61,00	-43,41	36,40	789,86	3.197 (M)	[PC]	H-V
4176	C	-4,46	48,57	58,00	-13,32	41,66	420,04	3.197 (M)	[PC]	H-V
4177	C	-8,96	29,07	56,00	-44,28	44,80	1547,88	3.197 (M)	[PC]	H+V
4178	C	-17,96	42,57	61,00	-40,02	35,61	673,71	3.197 (M)	[PC]	H-V
4179	C	-14,96	30,57	53,00	-43,07	35,18	948,57	3.197 (M)	[PC]	H+V
4180	C	-10,46	29,07	55,00	-44,18	42,26	1397,23	3.197 (M)	[PC]	H-V
4181	C	-7,46	30,57	57,00	-42,55	46,89	1565,21	3.197 (M)	[PC]	H-V
4182	C	-17,96	48,57	64,00	-30,86	35,51	493,22	3.197 (M)	[PC]	H+V
4183	C	-10,46	33,57	60,00	-46,46	46,05	1543,00	3.197 (M)	[PC]	H-V
4184	C	-17,96	44,07	61,00	-35,94	34,77	564,26	3.198 (M)	[PC]	H+V
4185	C	-14,96	30,57	50,00	-37,14	32,00	680,61	3.198 (M)	[PC]	H+V
4186	C	-13,46	33,57	60,00	-49,38	43,05	1459,13	3.198 (M)	[PC]	H+V
4187	C	-10,46	36,57	50,00	-21,72	33,85	435,74	3.199 (M)	[PC]	H-V
4188	C	-11,96	39,57	66,00	-49,81	48,63	1616,49	3.199 (M)	[PC]	H-V
4189	C	-13,46	29,07	47,00	-31,95	30,85	579,62	3.199 (M)	[PC]	H-V
4190	C	-16,46	35,07	54,00	-38,41	33,00	661,12	3.199 (M)	[PC]	H+V
4191	C	-14,96	32,07	51,00	-36,35	32,50	660,71	3.199 (M)	[PC]	H-V
4192	C	-13,46	32,07	48,00	-26,81	30,76	472,75	3.199 (M)	[PC]	H-V
4193	C	6,04	29,07	46,00	-18,50	49,29	1010,29	3.200 (M)	[PC]	H-V
4194	C	-13,46	29,07	53,00	-43,81	37,17	1109,67	3.200 (M)	[PC]	H-V
4195	C	-8,96	30,57	57,00	-44,01	45,39	1524,26	3.200 (M)	[PC]	H-V
4196	C	-4,46	45,57	55,00	-13,08	40,15	397,93	3.200 (M)	[PC]	H+V
4197	C	-5,96	30,57	57,00	-41,08	48,39	1607,70	3.200 (M)	[PC]	H-V
4198	C	-16,46	36,57	54,00	-34,86	32,32	557,36	3.201 (M)	[PC]	H+V
4199	C	-14,96	30,57	54,00	-44,86	36,24	1045,20	3.201 (M)	[PC]	H+V
4200	C	-4,46	35,07	46,00	-17,14	36,12	403,87	3.202 (M)	[PC]	H-V
4201	C	-11,96	36,57	63,00	-48,88	46,62	1560,00	3.202 (M)	[PC]	H-V
4202	C	9,04	29,07	43,00	-11,42	49,08	843,60	3.203 (M)	[PC]	H-V
4203	C	-13,46	35,07	61,00	-49,04	43,56	1433,55	3.203 (M)	[PC]	H-V
4204	C	-2,96	30,57	41,00	-14,58	34,27	364,25	3.203 (M)	[PC]	H+V
4205	C	-2,96	36,57	46,00	-10,84	36,78	360,61	3.203 (M)	[PC]	H-V
4206	C	-10,46	36,57	64,00	-49,06	49,20	1717,11	3.203 (M)	[PC]	H+V
4207	C	-17,96	39,57	59,00	-41,94	34,92	724,07	3.203 (M)	[PC]	H+V
4208	C	-8,96	33,57	61,00	-46,60	48,61	1697,86	3.203 (M)	[PC]	H+V
4209	C	-11,96	33,57	48,00	-22,68	31,60	430,15	3.203 (M)	[PC]	H+V
4210	C	-4,46	29,07	56,00	-39,89	49,30	1672,56	3.203 (M)	[PC]	H+V
4211	C	10,54	29,07	42,00	-7,73	49,51	806,39	3.203 (M)	[PC]	H+V
4212	C	-11,96	48,57	61,00	-21,32	37,88	443,07	3.204 (M)	[PC]	H+V
4213	C	-16,46	42,57	58,00	-28,91	33,67	473,27	3.204 (M)	[PC]	H+V
4214	C	-8,96	39,57	52,00	-20,75	35,97	436,66	3.204 (M)	[PC]	H-V
4215	C	-13,46	29,07	46,00	-29,38	29,79	505,28	3.204 (M)	[PC]	H+V
4216	C	-17,96	41,07	59,00	-38,42	34,15	612,39	3.204 (M)	[PC]	H+V
4217	C	-17,96	38,07	61,00	-48,94	37,83	1038,91	3.205 (M)	[PC]	H+V
4218	C	-13,46	30,57	47,00	-28,19	30,29	488,93	3.205 (M)	[PC]	H-V
4219	C	-4,46	39,57	50,00	-16,68	38,14	412,32	3.205 (M)	[PC]	H-V
4220	C	-8,96	48,57	60,00	-19,72	39,65	448,61	3.205 (M)	[PC]	H-V
4221	C	-16,46	41,07	57,00	-30,73	33,37	494,10	3.205 (M)	[PC]	H-V
4222	C	10,54	30,57	42,00	-4,22	48,87	723,82	3.206 (M)	[PC]	H-V
4223	C	-14,96	42,57	57,00	-24,06	34,01	444,36	3.206 (M)	[PC]	H-V
4224	C	-14,96	32,07	56,00	-46,17	37,84	1123,09	3.206 (M)	[PC]	H-V
4225	C	-17,96	38,07	60,00	-46,99	36,73	938,48	3.206 (M)	[PC]	H+V
4226	C	-2,96	29,07	40,00	-15,98	33,84	379,02	3.206 (M)	[PC]	H-V
4227	C	-11,96	32,07	59,00	-48,23	44,01	1527,72	3.207 (M)	[PC]	H+V
4228	C	-1,46	29,07	38,00	-5,15	33,16	303,87	3.207 (M)	[PC]	H-V
4229	C	-16,46	36,57	55,00	-37,49	33,42	639,04	3.207 (M)	[PC]	H-V
4230	C	-2,96	29,07	55,00	-36,86	49,76	1605,25	3.207 (M)	[PC]	H-V
4231	C	-7,46	32,07	45,00	-20,64	33,48	430,90	3.208 (M)	[PC]	H-V

N°	Forma	C_x	C_y	R	x_v	x_m	V	F_s	Caso	Sisma
		[m]	*[m]*	*[m]*	*[m]*	*[m]*	*[mc]*			
4232	C	-5,96	36,57	48,00	-18,40	36,08	415,14	3.208 (M)	[PC]	H-V
4233	C	-17,96	39,57	62,00	-48,36	38,25	1012,33	3.208 (M)	[PC]	H-V
4234	C	-5,96	29,07	42,00	-19,90	33,01	434,22	3.208 (M)	[PC]	H-V
4235	C	-10,46	29,07	56,00	-45,75	43,30	1506,55	3.208 (M)	[PC]	H+V
4236	C	-16,46	36,57	61,00	-49,82	39,97	1213,30	3.209 (M)	[PC]	H-V
4237	C	-16,46	44,07	59,00	-26,70	33,94	452,76	3.209 (M)	[PC]	H+V
4238	C	-13,46	45,57	59,00	-22,28	36,00	445,50	3.209 (M)	[PC]	H-V
4239	C	-10,46	33,57	61,00	-48,06	47,11	1656,46	3.210 (M)	[PC]	H+V
4240	C	10,54	29,07	41,00	-5,29	48,43	739,85	3.210 (M)	[PC]	H-V
4241	C	-10,46	30,57	57,00	-45,47	43,89	1482,93	3.210 (M)	[PC]	H-V
4242	C	-4,46	30,57	57,00	-39,62	49,89	1648,94	3.211 (M)	[PC]	H-V
4243	C	-7,46	30,57	58,00	-44,11	47,94	1676,49	3.211 (M)	[PC]	H+V
4244	C	-16,46	35,07	57,00	-44,78	36,26	933,20	3.211 (M)	[PC]	H-V
4245	C	-5,96	30,57	43,00	-19,38	33,46	418,76	3.211 (M)	[PC]	H-V
4246	C	-7,46	47,07	58,00	-18,55	39,77	438,51	3.211 (M)	[PC]	H-V
4247	C	-11,96	33,57	60,00	-47,92	44,55	1501,53	3.211 (M)	[PC]	H-V
4248	C	-17,96	39,57	61,00	-46,34	37,14	911,86	3.212 (M)	[PC]	H-V
4249	C	-13,46	41,07	55,00	-22,63	34,07	436,04	3.212 (M)	[PC]	H-V
4250	C	-17,96	38,07	59,00	-44,94	35,63	841,71	3.212 (M)	[PC]	H+V
4251	C	-16,46	33,57	55,00	-43,42	34,71	862,12	3.212 (M)	[PC]	H+V
4252	C	-8,96	35,07	62,00	-46,30	49,13	1671,79	3.212 (M)	[PC]	H-V
4253	C	-11,96	39,57	53,00	-22,01	34,13	427,36	3.212 (M)	[PC]	H+V
4254	C	-16,46	33,57	56,00	-45,34	35,78	957,61	3.212 (M)	[PC]	H+V
4255	C	-16,46	35,07	56,00	-42,79	35,18	838,65	3.212 (M)	[PC]	H-V
4256	C	-5,96	45,57	56,00	-17,36	39,88	428,08	3.212 (M)	[PC]	H-V
4257	C	-14,96	30,57	55,00	-46,58	37,29	1145,43	3.213 (M)	[PC]	H+V
4258	C	-16,46	35,07	58,00	-46,68	37,34	1031,52	3.213 (M)	[PC]	H-V
4259	C	-16,46	38,07	55,00	-33,65	32,70	536,27	3.213 (M)	[PC]	H-V
4260	C	-10,46	30,57	45,00	-22,34	31,14	435,65	3.214 (M)	[PC]	H-V
4261	C	-4,46	44,07	54,00	-15,69	39,98	417,49	3.214 (M)	[PC]	H-V
4262	C	-8,96	30,57	58,00	-45,58	46,44	1635,25	3.214 (M)	[PC]	H+V
4263	C	-5,96	30,57	58,00	-42,65	49,44	1718,83	3.214 (M)	[PC]	H+V
4264	C	-10,46	42,57	55,00	-21,04	36,17	427,53	3.214 (M)	[PC]	H+V
4265	C	-4,46	29,07	41,00	-18,05	33,43	406,35	3.214 (M)	[PC]	H-V
4266	C	-10,46	38,07	65,00	-48,72	49,68	1688,85	3.214 (M)	[PC]	H-V
4267	C	-17,96	41,07	60,00	-41,02	35,28	699,14	3.214 (M)	[PC]	H-V
4268	C	-16,46	33,57	57,00	-47,18	36,85	1056,46	3.214 (M)	[PC]	H+V
4269	C	-13,46	30,57	56,00	-46,78	39,84	1291,84	3.215 (M)	[PC]	H-V
4270	C	-7,46	32,07	59,00	-43,84	48,51	1652,76	3.217 (M)	[PC]	H-V
4271	C	-14,96	35,07	51,00	-28,60	31,21	467,48	3.218 (M)	[PC]	H+V
4272	C	-14,96	30,57	49,00	-34,88	30,93	598,50	3.218 (M)	[PC]	H+V
4273	C	-16,46	39,57	56,00	-32,29	33,05	515,26	3.218 (M)	[PC]	H-V
4274	C	-13,46	29,07	55,00	-47,10	39,26	1315,01	3.218 (M)	[PC]	H+V
4275	C	-11,96	29,07	55,00	-45,64	40,76	1356,06	3.218 (M)	[PC]	H-V
4276	C	-10,46	35,07	62,00	-47,76	47,63	1629,24	3.218 (M)	[PC]	H-V
4277	C	-16,46	33,57	54,00	-41,40	33,63	770,72	3.218 (M)	[PC]	H+V
4278	C	-17,96	45,57	62,00	-34,48	35,04	540,20	3.219 (M)	[PC]	H-V
4279	C	-17,96	39,57	60,00	-44,21	36,03	815,97	3.219 (M)	[PC]	H-V
4280	C	-17,96	47,07	63,00	-32,80	35,29	516,70	3.219 (M)	[PC]	H-V
4281	C	-8,96	32,07	59,00	-45,31	47,01	1610,25	3.219 (M)	[PC]	H-V
4282	C	-14,96	32,07	50,00	-33,96	31,42	579,55	3.219 (M)	[PC]	H-V
4283	C	-13,46	29,07	54,00	-45,48	38,22	1210,45	3.220 (M)	[PC]	H-V
4284	C	-13,46	30,57	57,00	-48,40	40,89	1399,23	3.220 (M)	[PC]	H+V
4285	C	-17,96	39,57	58,00	-39,48	33,80	636,31	3.220 (M)	[PC]	H+V
4286	C	-8,96	29,07	43,00	-21,61	31,08	424,54	3.220 (M)	[PC]	H+V
4287	C	-11,96	44,07	57,00	-21,67	36,09	436,83	3.220 (M)	[PC]	H-V
4288	C	-4,46	41,07	51,00	-15,37	38,38	393,46	3.221 (M)	[PC]	H+V
4289	C	-17,96	42,57	60,00	-37,25	34,47	588,34	3.221 (M)	[PC]	H-V
4290	C	-13,46	32,07	58,00	-48,08	41,45	1374,69	3.221 (M)	[PC]	H-V
4291	C	-16,46	35,07	59,00	-48,50	38,42	1134,45	3.221 (M)	[PC]	H-V
4292	C	-16,46	35,07	53,00	-35,94	31,91	578,40	3.221 (M)	[PC]	H+V
4293	C	-2,96	32,07	42,00	-12,85	34,66	349,77	3.222 (M)	[PC]	H+V
4294	C	-14,96	48,57	62,00	-22,46	36,10	433,41	3.222 (M)	[PC]	H+V
4295	C	-10,46	32,07	46,00	-22,00	31,58	420,27	3.222 (M)	[PC]	H+V
4296	C	-16,46	35,07	55,00	-40,67	34,09	748,06	3.222 (M)	[PC]	H-V
4297	C	-11,96	33,57	61,00	-49,53	45,61	1615,31	3.223 (M)	[PC]	H+V
4298	C	-10,46	30,57	58,00	-47,04	44,94	1593,89	3.223 (M)	[PC]	H+V
4299	C	-4,46	30,57	42,00	-17,53	33,87	391,09	3.223 (M)	[PC]	H-V
4300	C	-14,96	32,07	58,00	-49,54	39,95	1333,27	3.223 (M)	[PC]	H+V
4301	C	-5,96	32,07	44,00	-18,83	33,88	402,81	3.223 (M)	[PC]	H-V
4302	C	-14,96	33,57	59,00	-49,19	40,49	1307,88	3.224 (M)	[PC]	H-V
4303	C	-14,96	33,57	50,00	-30,04	30,79	485,24	3.224 (M)	[PC]	H+V
4304	C	-7,46	33,57	46,00	-20,11	33,88	414,33	3.224 (M)	[PC]	H-V
4305	C	-4,46	47,07	56,00	-8,95	40,29	379,75	3.224 (M)	[PC]	H-V
4306	C	-10,46	38,07	51,00	-21,36	34,18	418,01	3.224 (M)	[PC]	H+V
4307	C	-16,46	33,57	53,00	-39,24	32,55	682,84	3.224 (M)	[PC]	H+V
4308	C	-16,46	33,57	58,00	-48,95	37,92	1158,94	3.224 (M)	[PC]	H+V
4309	C	-13,46	35,07	50,00	-24,24	31,60	439,58	3.225 (M)	[PC]	H-V
4310	C	-8,96	35,07	48,00	-21,03	33,87	425,38	3.225 (M)	[PC]	H-V

N°	Forma	C_x	C_y	R	x_v	x_m	V	F_s	Caso	Sisma
		[m]	*[m]*	*[m]*	*[m]*	*[m]*	*[mc]*			
4311	C	-14,96	32,07	57,00	-47,89	38,90	1226,39	3.225 (M)	[PC]	H-V
4312	C	-10,46	47,07	59,00	-20,71	37,99	433,74	3.225 (M)	[PC]	H+V
4313	C	7,54	29,07	45,00	-16,63	49,72	963,22	3.226 (M)	[PC]	H-V
4314	C	-2,96	35,07	44,00	-6,94	35,33	321,77	3.226 (M)	[PC]	H+V
4315	C	-14,96	44,07	58,00	-23,03	34,27	425,33	3.226 (M)	[PC]	H+V
4316	C	-17,96	38,07	58,00	-42,77	34,53	748,86	3.226 (M)	[PC]	H+V
4317	C	-14,96	30,57	52,00	-41,20	34,12	855,71	3.226 (M)	[PC]	H-V
4318	C	-14,96	36,57	52,00	-26,91	31,59	449,39	3.226 (M)	[PC]	H+V
4319	C	-14,96	30,57	51,00	-39,23	33,06	766,20	3.226 (M)	[PC]	H-V
4320	C	-17,96	48,57	64,00	-30,86	35,51	493,22	3.226 (M)	[PC]	H-V
4321	C	-14,96	32,07	49,00	-31,30	30,34	503,34	3.227 (M)	[PC]	H+V
4322	C	-17,96	44,07	61,00	-35,94	34,77	564,26	3.227 (M)	[PC]	H-V
4323	C	-7,46	39,57	51,00	-19,02	36,31	407,52	3.227 (M)	[PC]	H+V
4324	C	-10,46	32,07	59,00	-46,77	45,51	1568,89	3.228 (M)	[PC]	H-V
4325	C	-14,96	30,57	50,00	-37,14	32,00	680,61	3.229 (M)	[PC]	H-V
4326	C	-11,96	29,07	56,00	-47,21	41,80	1463,85	3.229 (M)	[PC]	H+V
4327	C	-7,46	29,07	56,00	-42,82	46,30	1588,80	3.229 (M)	[PC]	H-V
4328	C	-16,46	35,07	54,00	-38,41	33,00	661,12	3.229 (M)	[PC]	H-V
4329	C	-11,96	30,57	57,00	-46,93	42,39	1440,24	3.229 (M)	[PC]	H-V
4330	C	-14,96	29,07	50,00	-39,85	32,52	786,50	3.230 (M)	[PC]	H+V
4331	C	-14,96	30,57	56,00	-48,24	38,34	1250,43	3.230 (M)	[PC]	H+V
4332	C	-8,96	41,07	53,00	-20,23	36,24	417,60	3.230 (M)	[PC]	H+V
4333	C	-14,96	30,57	53,00	-43,07	35,18	948,57	3.230 (M)	[PC]	H-V
4334	C	-10,46	35,07	63,00	-49,36	48,70	1745,65	3.230 (M)	[PC]	H+V
4335	C	-4,46	45,57	55,00	-13,08	40,15	397,93	3.230 (M)	[PC]	H-V
4336	C	-11,96	35,07	62,00	-49,22	46,13	1588,06	3.230 (M)	[PC]	H-V
4337	C	-7,46	32,07	60,00	-45,40	49,56	1766,89	3.230 (M)	[PC]	H+V
4338	C	10,54	30,57	43,00	-6,87	49,96	789,25	3.230 (M)	[PC]	H-V
4339	C	-13,46	36,57	51,00	-23,34	31,97	422,73	3.230 (M)	[PC]	H+V
4340	C	-13,46	32,07	59,00	-49,69	42,51	1485,02	3.231 (M)	[PC]	H+V
4341	C	-8,96	45,57	57,00	-19,64	38,09	423,96	3.231 (M)	[PC]	H+V
4342	C	-16,46	36,57	54,00	-34,86	32,32	557,36	3.231 (M)	[PC]	H-V
4343	C	-2,96	30,57	41,00	-14,58	34,27	364,25	3.231 (M)	[PC]	H-V
4344	C	-5,96	29,07	56,00	-41,35	47,80	1631,32	3.231 (M)	[PC]	H-V
4345	C	-11,96	33,57	48,00	-22,68	31,60	430,15	3.232 (M)	[PC]	H-V
4346	C	-8,96	32,07	60,00	-46,87	48,06	1724,21	3.232 (M)	[PC]	H+V
4347	C	-16,46	42,57	58,00	-28,91	33,67	473,27	3.233 (M)	[PC]	H-V
4348	C	-8,96	29,07	56,00	-44,28	44,80	1547,88	3.233 (M)	[PC]	H-V
4349	C	-14,96	29,07	51,00	-41,74	33,57	876,60	3.233 (M)	[PC]	H+V
4350	C	-2,96	33,57	43,00	-10,58	35,02	335,35	3.233 (M)	[PC]	H+V
4351	C	-11,96	48,57	61,00	-21,32	37,88	443,07	3.233 (M)	[PC]	H-V
4352	C	-7,46	44,07	55,00	-18,46	38,19	413,95	3.234 (M)	[PC]	H+V
4353	C	-13,46	29,07	46,00	-29,38	29,79	505,28	3.234 (M)	[PC]	H-V
4354	C	-14,96	29,07	49,00	-37,85	31,47	699,26	3.234 (M)	[PC]	H+V
4355	C	-13,46	33,57	60,00	-49,38	43,05	1459,13	3.234 (M)	[PC]	H-V
4356	C	-17,96	39,57	59,00	-41,94	34,92	724,07	3.234 (M)	[PC]	H-V
4357	C	-17,96	41,07	59,00	-38,42	34,15	612,39	3.234 (M)	[PC]	H-V
4358	C	-14,96	30,57	54,00	-44,86	36,24	1045,20	3.235 (M)	[PC]	H-V
4359	C	-17,96	36,57	60,00	-49,47	37,39	1065,76	3.236 (M)	[PC]	H+V
4360	C	-17,96	36,57	59,00	-47,59	36,30	964,59	3.236 (M)	[PC]	H+V
4361	C	-14,96	29,07	52,00	-43,54	34,62	970,10	3.237 (M)	[PC]	H+V
4362	C	-4,46	36,57	47,00	-16,55	36,43	386,39	3.238 (M)	[PC]	H+V
4363	C	-16,46	44,07	59,00	-26,70	33,94	452,76	3.238 (M)	[PC]	H-V
4364	C	-17,96	38,07	61,00	-48,94	37,83	1038,91	3.239 (M)	[PC]	H-V
4365	C	-4,46	42,57	52,00	-12,84	38,59	375,29	3.239 (M)	[PC]	H+V
4366	C	-17,96	38,07	57,00	-40,44	33,42	660,16	3.239 (M)	[PC]	H+V
4367	C	-17,96	38,07	60,00	-46,99	36,73	938,48	3.239 (M)	[PC]	H-V
4368	C	-11,96	30,57	58,00	-48,50	43,44	1552,75	3.240 (M)	[PC]	H+V
4369	C	-17,96	36,57	58,00	-45,62	35,21	867,18	3.240 (M)	[PC]	H+V
4370	C	-10,46	32,07	60,00	-48,33	46,56	1682,82	3.240 (M)	[PC]	H+V
4371	C	-10,46	36,57	64,00	-49,06	49,20	1717,11	3.240 (M)	[PC]	H-V
4372	C	10,54	29,07	42,00	-7,73	49,51	806,39	3.240 (M)	[PC]	H-V
4373	C	-8,96	33,57	61,00	-46,60	48,61	1697,86	3.240 (M)	[PC]	H-V
4374	C	-4,46	29,07	56,00	-39,89	49,30	1672,56	3.241 (M)	[PC]	H-V
4375	C	-11,96	39,57	53,00	-22,01	34,13	427,36	3.242 (M)	[PC]	H-V
4376	C	-16,46	45,57	60,00	-24,61	34,19	433,10	3.242 (M)	[PC]	H+V
4377	C	-5,96	38,07	49,00	-17,79	36,38	397,12	3.242 (M)	[PC]	H+V
4378	C	-11,96	32,07	59,00	-48,23	44,01	1527,72	3.243 (M)	[PC]	H-V
4379	C	-7,46	29,07	57,00	-44,34	47,34	1700,52	3.243 (M)	[PC]	H+V
4380	C	-10,46	42,57	55,00	-21,04	36,17	427,53	3.243 (M)	[PC]	H-V
4381	C	-14,96	29,07	53,00	-45,27	35,67	1067,53	3.244 (M)	[PC]	H+V
4382	C	-17,96	38,07	59,00	-44,94	35,63	841,71	3.244 (M)	[PC]	H-V
4383	C	-16,46	33,57	55,00	-43,42	34,71	862,12	3.244 (M)	[PC]	H-V
4384	C	-14,96	38,07	53,00	-24,94	31,95	431,55	3.244 (M)	[PC]	H+V
4385	C	-10,46	29,07	56,00	-45,75	43,30	1506,55	3.244 (M)	[PC]	H-V
4386	C	-5,96	29,07	57,00	-42,88	48,84	1742,87	3.245 (M)	[PC]	H+V
4387	C	-16,46	33,57	56,00	-45,34	35,78	957,61	3.246 (M)	[PC]	H-V
4388	C	-14,96	35,07	51,00	-28,60	31,21	467,48	3.247 (M)	[PC]	H-V
4389	C	-16,46	33,57	52,00	-36,91	31,47	598,58	3.247 (M)	[PC]	H+V

N°	Forma	C_x	C_y	R	x_v	x_m	V	F_s	Caso	Sisma
		[m]	*[m]*	*[m]*	*[m]*	*[m]*	*[mc]*			
4390	C	-16,46	32,07	54,00	-44,00	34,21	885,01	3.247 (M)	[PC]	H+V
4391	C	-8,96	29,07	57,00	-45,81	45,84	1659,29	3.247 (M)	[PC]	H+V
4392	C	-10,46	33,57	61,00	-48,06	47,11	1656,46	3.247 (M)	[PC]	H-V
4393	C	-14,96	30,57	55,00	-46,58	37,29	1145,43	3.247 (M)	[PC]	H-V
4394	C	-4,46	32,07	43,00	-16,98	34,28	375,38	3.247 (M)	[PC]	H+V
4395	C	-8,96	36,57	49,00	-20,69	34,22	407,95	3.247 (M)	[PC]	H+V
4396	C	-16,46	33,57	57,00	-47,18	36,85	1056,46	3.248 (M)	[PC]	H-V
4397	C	-14,96	30,57	49,00	-34,88	30,93	598,50	3.248 (M)	[PC]	H-V
4398	C	-7,46	30,57	58,00	-44,11	47,94	1676,49	3.248 (M)	[PC]	H-V
4399	C	-5,96	42,57	53,00	-17,27	38,29	403,76	3.248 (M)	[PC]	H+V
4400	C	-16,46	32,07	53,00	-42,05	33,14	792,85	3.249 (M)	[PC]	H+V
4401	C	-8,96	29,07	43,00	-21,61	31,08	424,54	3.249 (M)	[PC]	H-V
4402	C	-16,46	32,07	55,00	-45,85	35,27	981,22	3.249 (M)	[PC]	H+V
4403	C	-13,46	42,57	56,00	-22,25	34,34	417,46	3.250 (M)	[PC]	H+V
4404	C	-17,96	39,57	57,00	-36,77	32,68	552,84	3.250 (M)	[PC]	H+V
4405	C	-16,46	33,57	54,00	-41,40	33,63	770,72	3.250 (M)	[PC]	H-V
4406	C	-4,46	41,07	51,00	-15,37	38,38	393,46	3.250 (M)	[PC]	H-V
4407	C	-2,96	32,07	42,00	-12,85	34,66	349,77	3.250 (M)	[PC]	H-V
4408	C	-13,46	47,07	60,00	-21,89	36,20	425,48	3.251 (M)	[PC]	H+V
4409	C	-14,96	29,07	48,00	-35,71	30,41	617,02	3.251 (M)	[PC]	H+V
4410	C	-17,96	39,57	58,00	-39,48	33,80	636,31	3.251 (M)	[PC]	H-V
4411	C	-8,96	30,57	58,00	-45,58	46,44	1635,25	3.251 (M)	[PC]	H-V
4412	C	-7,46	35,07	47,00	-19,52	34,25	397,39	3.251 (M)	[PC]	H+V
4413	C	-17,96	36,57	57,00	-43,53	34,12	773,27	3.251 (M)	[PC]	H+V
4414	C	-5,96	30,57	58,00	-42,65	49,44	1718,83	3.251 (M)	[PC]	H-V
4415	C	-16,46	35,07	53,00	-35,94	31,91	578,40	3.251 (M)	[PC]	H-V
4416	C	-10,46	32,07	46,00	-22,00	31,58	420,27	3.251 (M)	[PC]	H-V
4417	C	-14,96	48,57	62,00	-22,46	36,10	433,41	3.252 (M)	[PC]	H-V
4418	C	-16,46	32,07	56,00	-47,63	36,34	1080,70	3.252 (M)	[PC]	H+V
4419	C	-5,96	33,57	45,00	-18,26	34,27	386,48	3.252 (M)	[PC]	H+V
4420	C	-8,96	33,57	62,00	-48,16	49,67	1816,10	3.252 (M)	[PC]	H+V
4421	C	-14,96	33,57	50,00	-30,04	30,79	485,24	3.253 (M)	[PC]	H-V
4422	C	-11,96	35,07	49,00	-22,32	31,99	413,91	3.253 (M)	[PC]	H+V
4423	C	-13,46	29,07	55,00	-47,10	39,26	1315,01	3.253 (M)	[PC]	H-V
4424	C	-10,46	38,07	51,00	-21,36	34,18	418,01	3.253 (M)	[PC]	H-V
4425	C	-8,96	30,57	44,00	-21,28	31,55	409,57	3.254 (M)	[PC]	H+V
4426	C	-11,96	32,07	60,00	-49,80	45,06	1641,69	3.254 (M)	[PC]	H+V
4427	C	-14,96	30,57	48,00	-32,40	29,86	521,17	3.254 (M)	[PC]	H+V
4428	C	-17,96	41,07	58,00	-35,51	33,01	530,22	3.255 (M)	[PC]	H+V
4429	C	-10,46	47,07	59,00	-20,71	37,99	433,74	3.255 (M)	[PC]	H-V
4430	C	-14,96	36,57	52,00	-26,91	31,59	449,39	3.255 (M)	[PC]	H-V
4431	C	-14,96	44,07	58,00	-23,03	34,27	425,33	3.255 (M)	[PC]	H-V
4432	C	-16,46	33,57	53,00	-39,24	32,55	682,84	3.255 (M)	[PC]	H-V
4433	C	-14,96	29,07	54,00	-46,94	36,72	1168,11	3.255 (M)	[PC]	H+V
4434	C	-2,96	35,07	44,00	-6,94	35,33	321,77	3.255 (M)	[PC]	H-V
4435	C	-16,46	32,07	52,00	-39,99	32,07	703,52	3.256 (M)	[PC]	H+V
4436	C	-13,46	30,57	57,00	-48,40	40,89	1399,23	3.256 (M)	[PC]	H-V
4437	C	-7,46	39,57	51,00	-19,02	36,31	407,52	3.257 (M)	[PC]	H-V
4438	C	-14,96	32,07	49,00	-31,30	30,34	503,34	3.257 (M)	[PC]	H-V
4439	C	-13,46	29,07	56,00	-48,67	40,30	1422,87	3.257 (M)	[PC]	H+V
4440	C	-10,46	29,07	57,00	-47,28	44,34	1617,94	3.257 (M)	[PC]	H+V
4441	C	-17,96	38,07	58,00	-42,77	34,53	748,86	3.258 (M)	[PC]	H-V
4442	C	-17,96	42,57	59,00	-34,09	33,32	507,56	3.258 (M)	[PC]	H+V
4443	C	-7,46	48,57	59,00	-17,85	39,91	417,37	3.258 (M)	[PC]	H+V
4444	C	-14,96	32,07	58,00	-49,54	39,95	1333,27	3.258 (M)	[PC]	H-V
4445	C	-16,46	33,57	58,00	-48,95	37,92	1158,94	3.259 (M)	[PC]	H-V
4446	C	-10,46	33,57	62,00	-49,63	48,17	1773,70	3.259 (M)	[PC]	H+V
4447	C	-8,96	41,07	53,00	-20,23	36,24	417,60	3.259 (M)	[PC]	H-V
4448	C	-13,46	36,57	51,00	-23,34	31,97	422,73	3.260 (M)	[PC]	H-V
4449	C	-11,96	33,57	61,00	-49,53	45,61	1615,31	3.260 (M)	[PC]	H-V
4450	C	-10,46	30,57	58,00	-47,04	44,94	1593,89	3.260 (M)	[PC]	H-V
4451	C	-8,96	45,57	57,00	-19,64	38,09	423,96	3.260 (M)	[PC]	H-V
4452	C	-14,96	30,57	57,00	-49,86	39,39	1357,82	3.260 (M)	[PC]	H+V
4453	C	-7,46	30,57	59,00	-45,64	48,99	1792,34	3.261 (M)	[PC]	H+V
4454	C	-17,96	36,57	56,00	-41,32	33,02	683,60	3.261 (M)	[PC]	H+V
4455	C	-14,96	29,07	50,00	-39,85	32,52	786,50	3.262 (M)	[PC]	H-V
4456	C	-2,96	33,57	43,00	-10,58	35,02	335,35	3.262 (M)	[PC]	H-V
4457	C	-16,46	32,07	57,00	-49,35	37,40	1183,77	3.263 (M)	[PC]	H+V
4458	C	-7,46	44,07	55,00	-18,46	38,19	413,95	3.263 (M)	[PC]	H-V
4459	C	-8,96	30,57	59,00	-47,10	47,49	1749,63	3.264 (M)	[PC]	H+V
4460	C	-14,96	30,57	56,00	-48,24	38,34	1250,43	3.265 (M)	[PC]	H-V
4461	C	-13,46	30,57	58,00	-49,97	41,94	1510,03	3.265 (M)	[PC]	H+V
4462	C	-11,96	29,07	56,00	-47,21	41,80	1463,85	3.265 (M)	[PC]	H-V
4463	C	-14,96	29,07	49,00	-37,85	31,47	699,26	3.265 (M)	[PC]	H-V
4464	C	-14,96	29,07	51,00	-41,74	33,57	876,60	3.266 (M)	[PC]	H-V
4465	C	-17,96	38,07	56,00	-37,90	32,31	575,36	3.267 (M)	[PC]	H+V
4466	C	-13,46	32,07	59,00	-49,69	42,51	1485,02	3.267 (M)	[PC]	H-V
4467	C	-4,46	36,57	47,00	-16,55	36,43	386,39	3.267 (M)	[PC]	H-V
4468	C	-10,46	35,07	63,00	-49,36	48,70	1745,65	3.268 (M)	[PC]	H-V

N°	Forma	C_x	C_y	R	x_v	x_m	V	F_s	Caso	Sisma
		[m]	*[m]*	*[m]*	*[m]*	*[m]*	*[mc]*			
4469	C	-7,46	32,07	60,00	-45,40	49,56	1766,89	3.268 (M)	[PC]	H-V
4470	C	-4,46	42,57	52,00	-12,84	38,59	375,29	3.268 (M)	[PC]	H-V
4471	C	-17,96	35,07	58,00	-48,13	35,84	990,14	3.270 (M)	[PC]	H+V
4472	C	-17,96	36,57	59,00	-47,59	36,30	964,59	3.270 (M)	[PC]	H-V
4473	C	-17,96	38,07	57,00	-40,44	33,42	660,16	3.270 (M)	[PC]	H-V
4474	C	-8,96	32,07	60,00	-46,87	48,06	1724,21	3.270 (M)	[PC]	H-V
4475	C	-17,96	36,57	60,00	-49,47	37,39	1065,76	3.270 (M)	[PC]	H-V
4476	C	-17,96	35,07	59,00	-49,96	36,92	1092,00	3.270 (M)	[PC]	H+V
4477	C	-17,96	35,07	57,00	-46,23	34,76	891,98	3.271 (M)	[PC]	H+V
4478	C	-14,96	29,07	52,00	-43,54	34,62	970,10	3.271 (M)	[PC]	H-V
4479	C	-16,46	35,07	52,00	-33,19	30,81	499,75	3.271 (M)	[PC]	H+V
4480	C	-5,96	38,07	49,00	-17,79	36,38	397,12	3.272 (M)	[PC]	H-V
4481	C	-16,46	45,57	60,00	-24,61	34,19	433,10	3.272 (M)	[PC]	H-V
4482	C	-10,46	30,57	59,00	-48,57	45,99	1708,25	3.273 (M)	[PC]	H+V
4483	C	-17,96	36,57	58,00	-45,62	35,21	867,18	3.273 (M)	[PC]	H-V
4484	C	-14,96	38,07	53,00	-24,94	31,95	431,55	3.274 (M)	[PC]	H-V
4485	C	-5,96	47,07	57,00	-16,68	40,03	407,38	3.274 (M)	[PC]	H+V
4486	C	-4,46	38,07	48,00	-15,04	36,72	368,83	3.274 (M)	[PC]	H+V
4487	C	-17,96	44,07	60,00	-32,47	33,61	485,18	3.274 (M)	[PC]	H+V
4488	C	-14,96	29,07	55,00	-48,56	37,76	1272,19	3.275 (M)	[PC]	H+V
4489	C	-16,46	32,07	51,00	-37,79	31,00	618,93	3.275 (M)	[PC]	H+V
4490	C	-4,46	32,07	43,00	-16,98	34,28	375,38	3.276 (M)	[PC]	H-V
4491	C	-8,96	36,57	49,00	-20,69	34,22	407,95	3.276 (M)	[PC]	H-V
4492	C	-11,96	30,57	58,00	-48,50	43,44	1552,75	3.276 (M)	[PC]	H-V
4493	C	-11,96	29,07	57,00	-48,74	42,84	1575,36	3.277 (M)	[PC]	H+V
4494	C	-16,46	33,57	52,00	-36,91	31,47	598,58	3.277 (M)	[PC]	H-V
4495	C	-11,96	41,07	54,00	-21,63	34,41	408,99	3.278 (M)	[PC]	H+V
4496	C	-10,46	32,07	60,00	-48,33	46,56	1682,82	3.278 (M)	[PC]	H-V
4497	C	-14,96	29,07	53,00	-45,27	35,67	1067,53	3.278 (M)	[PC]	H-V
4498	C	-5,96	42,57	53,00	-17,27	38,29	403,76	3.278 (M)	[PC]	H-V
4499	C	-17,96	35,07	56,00	-44,23	33,68	797,23	3.278 (M)	[PC]	H+V
4500	C	-7,46	29,07	42,00	-20,50	31,51	397,97	3.278 (M)	[PC]	H+V
4501	C	-13,46	42,57	56,00	-22,25	34,34	417,46	3.279 (M)	[PC]	H-V
4502	C	-7,46	35,07	47,00	-19,52	34,25	397,39	3.280 (M)	[PC]	H-V
4503	C	-17,96	39,57	57,00	-36,77	32,68	552,84	3.280 (M)	[PC]	H-V
4504	C	-16,46	32,07	54,00	-44,00	34,21	885,01	3.280 (M)	[PC]	H-V
4505	C	-11,96	45,57	58,00	-21,29	36,30	416,98	3.280 (M)	[PC]	H+V
4506	C	-13,46	47,07	60,00	-21,89	36,20	425,48	3.280 (M)	[PC]	H-V
4507	C	-7,46	29,07	57,00	-44,34	47,34	1700,52	3.281 (M)	[PC]	H-V
4508	C	-5,96	33,57	45,00	-18,26	34,27	386,48	3.281 (M)	[PC]	H-V
4509	C	-16,46	32,07	53,00	-42,05	33,14	792,85	3.281 (M)	[PC]	H-V
4510	C	-14,96	29,07	48,00	-35,71	30,41	617,02	3.282 (M)	[PC]	H-V
4511	C	-11,96	35,07	49,00	-22,32	31,99	413,91	3.282 (M)	[PC]	H-V
4512	C	-8,96	30,57	44,00	-21,28	31,55	409,57	3.283 (M)	[PC]	H-V
4513	C	-8,96	32,07	61,00	-48,40	49,11	1841,54	3.283 (M)	[PC]	H+V
4514	C	-5,96	29,07	57,00	-42,88	48,84	1742,87	3.283 (M)	[PC]	H-V
4515	C	-17,96	36,57	57,00	-43,53	34,12	773,27	3.283 (M)	[PC]	H-V
4516	C	-16,46	30,57	52,00	-42,65	32,62	814,39	3.283 (M)	[PC]	H+V
4517	C	-16,46	32,07	55,00	-45,85	35,27	981,22	3.283 (M)	[PC]	H-V
4518	C	-14,96	30,57	48,00	-32,40	29,86	521,17	3.284 (M)	[PC]	H-V
4519	C	-8,96	29,07	57,00	-45,81	45,84	1659,29	3.284 (M)	[PC]	H-V
4520	C	-10,46	33,57	47,00	-21,65	31,99	404,36	3.284 (M)	[PC]	H+V
4521	C	-17,96	41,07	58,00	-35,51	33,01	530,22	3.284 (M)	[PC]	H-V
4522	C	-17,96	45,57	61,00	-30,57	33,87	463,05	3.285 (M)	[PC]	H+V
4523	C	-16,46	30,57	53,00	-44,52	33,68	907,25	3.286 (M)	[PC]	H+V
4524	C	-2,96	32,07	41,00	-6,80	33,54	296,80	3.286 (M)	[PC]	H+V
4525	C	-14,96	29,07	47,00	-33,39	29,35	538,66	3.286 (M)	[PC]	H+V
4526	C	-16,46	32,07	56,00	-47,63	36,34	1080,70	3.287 (M)	[PC]	H-V
4527	C	-17,96	35,07	55,00	-42,11	32,59	706,67	3.287 (M)	[PC]	H+V
4528	C	-16,46	32,07	52,00	-39,99	32,07	703,52	3.287 (M)	[PC]	H-V
4529	C	-17,96	42,57	59,00	-34,09	33,32	507,56	3.287 (M)	[PC]	H-V
4530	C	-17,96	36,57	55,00	-38,92	31,92	597,19	3.288 (M)	[PC]	H+V
4531	C	-16,46	33,57	51,00	-34,36	30,38	519,25	3.288 (M)	[PC]	H+V
4532	C	-7,46	48,57	59,00	-17,85	39,91	417,37	3.288 (M)	[PC]	H-V
4533	C	-14,96	39,57	54,00	-23,98	32,27	413,82	3.288 (M)	[PC]	H+V
4534	C	-16,46	30,57	54,00	-46,32	34,74	1004,13	3.289 (M)	[PC]	H+V
4535	C	-16,46	30,57	51,00	-40,68	31,56	724,32	3.289 (M)	[PC]	H+V
4536	C	-10,46	32,07	61,00	-49,86	47,61	1800,51	3.290 (M)	[PC]	H+V
4537	C	-14,96	29,07	54,00	-46,94	36,72	1168,11	3.290 (M)	[PC]	H-V
4538	C	-8,96	33,57	62,00	-48,16	49,67	1816,10	3.291 (M)	[PC]	H-V
4539	C	-11,96	32,07	60,00	-49,80	45,06	1641,69	3.292 (M)	[PC]	H-V
4540	C	-8,96	32,07	45,00	-20,95	31,98	394,02	3.292 (M)	[PC]	H+V
4541	C	-17,96	36,57	56,00	-41,32	33,02	683,60	3.293 (M)	[PC]	H-V
4542	C	-4,46	39,57	49,00	-12,59	36,97	351,80	3.293 (M)	[PC]	H+V
4543	C	-13,46	29,07	56,00	-48,67	40,30	1422,87	3.293 (M)	[PC]	H-V
4544	C	-16,46	30,57	55,00	-48,04	35,79	1104,20	3.294 (M)	[PC]	H+V
4545	C	-7,46	29,07	58,00	-45,84	48,38	1815,31	3.295 (M)	[PC]	H+V
4546	C	-10,46	29,07	57,00	-47,28	44,34	1617,94	3.295 (M)	[PC]	H-V
4547	C	-16,46	36,57	53,00	-31,88	31,21	480,17	3.296 (M)	[PC]	H+V

N°	Forma	C_x	C_y	R	x_v	x_m	V	F_s	Caso	Sisma
		[m]	*[m]*	*[m]*	*[m]*	*[m]*	*[mc]*			
4548	C	-13,46	38,07	52,00	-22,60	32,32	405,69	3.296 (M)	[PC]	H+V
4549	C	-14,96	30,57	57,00	-49,86	39,39	1357,82	3.296 (M)	[PC]	H-V
4550	C	-5,96	29,07	58,00	-44,37	49,88	1858,14	3.297 (M)	[PC]	H+V
4551	C	-17,96	38,07	56,00	-37,90	32,31	575,36	3.297 (M)	[PC]	H-V
4552	C	-10,46	33,57	62,00	-49,63	48,17	1773,70	3.297 (M)	[PC]	H-V
4553	C	-16,46	32,07	57,00	-49,35	37,40	1183,77	3.298 (M)	[PC]	H-V
4554	C	-8,96	29,07	58,00	-47,31	46,88	1774,06	3.298 (M)	[PC]	H+V
4555	C	-16,46	47,07	61,00	-23,51	34,41	413,43	3.299 (M)	[PC]	H+V
4556	C	-7,46	30,57	59,00	-45,64	48,99	1792,34	3.299 (M)	[PC]	H-V
4557	C	-16,46	35,07	52,00	-33,19	30,81	499,75	3.301 (M)	[PC]	H-V
4558	C	-13,46	30,57	58,00	-49,97	41,94	1510,03	3.302 (M)	[PC]	H-V
4559	C	-8,96	30,57	59,00	-47,10	47,49	1749,63	3.302 (M)	[PC]	H-V
4560	C	-10,46	39,57	52,00	-21,00	34,47	399,88	3.303 (M)	[PC]	H+V
4561	C	-10,46	44,07	56,00	-20,67	36,39	407,88	3.303 (M)	[PC]	H+V
4562	C	-8,96	42,57	54,00	-19,56	36,48	398,51	3.303 (M)	[PC]	H+V
4563	C	-4,46	38,07	48,00	-15,04	36,72	368,83	3.304 (M)	[PC]	H-V
4564	C	-17,96	44,07	60,00	-32,47	33,61	485,18	3.304 (M)	[PC]	H-V
4565	C	-17,96	35,07	58,00	-48,13	35,84	990,14	3.304 (M)	[PC]	H-V
4566	C	-5,96	47,07	57,00	-16,68	40,03	407,38	3.304 (M)	[PC]	H-V
4567	C	-16,46	30,57	56,00	-49,70	36,84	1207,81	3.304 (M)	[PC]	H+V
4568	C	-17,96	35,07	57,00	-46,23	34,76	891,98	3.305 (M)	[PC]	H-V
4569	C	-17,96	35,07	59,00	-49,96	36,92	1092,00	3.305 (M)	[PC]	H-V
4570	C	-17,96	33,57	56,00	-46,79	34,28	916,21	3.306 (M)	[PC]	H+V
4571	C	-16,46	32,07	51,00	-37,79	31,00	618,93	3.306 (M)	[PC]	H-V
4572	C	-17,96	33,57	57,00	-48,63	35,35	1015,07	3.306 (M)	[PC]	H+V
4573	C	-2,96	29,07	39,00	-12,48	32,75	321,78	3.306 (M)	[PC]	H+V
4574	C	-5,96	29,07	41,00	-18,65	31,93	371,59	3.307 (M)	[PC]	H+V
4575	C	-16,46	30,57	50,00	-38,58	30,50	638,83	3.307 (M)	[PC]	H+V
4576	C	-16,46	38,07	54,00	-30,37	31,58	460,84	3.307 (M)	[PC]	H+V
4577	C	-11,96	41,07	54,00	-21,63	34,41	408,99	3.307 (M)	[PC]	H-V
4578	C	-7,46	29,07	42,00	-20,50	31,51	397,97	3.307 (M)	[PC]	H-V
4579	C	-10,46	29,07	58,00	-48,77	45,38	1733,05	3.308 (M)	[PC]	H+V
4580	C	-17,96	48,57	63,00	-25,26	34,31	420,71	3.308 (M)	[PC]	H+V
4581	C	-7,46	30,57	43,00	-19,95	31,96	383,03	3.308 (M)	[PC]	H+V
4582	C	-17,96	47,07	62,00	-28,28	34,10	441,43	3.309 (M)	[PC]	H+V
4583	C	-17,96	33,57	55,00	-44,87	33,21	820,85	3.309 (M)	[PC]	H+V
4584	C	-4,46	33,57	44,00	-16,41	34,64	359,32	3.310 (M)	[PC]	H+V
4585	C	-11,96	45,57	58,00	-21,29	36,30	416,98	3.310 (M)	[PC]	H-V
4586	C	-10,46	48,57	60,00	-20,10	38,15	412,79	3.310 (M)	[PC]	H+V
4587	C	-14,96	29,07	55,00	-48,56	37,76	1272,19	3.311 (M)	[PC]	H-V
4588	C	-7,46	45,57	56,00	-17,78	38,38	393,88	3.311 (M)	[PC]	H+V
4589	C	-10,46	30,57	59,00	-48,57	45,99	1708,25	3.311 (M)	[PC]	H-V
4590	C	-8,96	47,07	58,00	-18,95	38,27	403,41	3.311 (M)	[PC]	H+V
4591	C	-11,96	36,57	50,00	-21,96	32,35	397,20	3.311 (M)	[PC]	H+V
4592	C	-17,96	35,07	56,00	-44,23	33,68	797,23	3.311 (M)	[PC]	H-V
4593	C	-17,96	35,07	54,00	-39,84	31,50	619,38	3.312 (M)	[PC]	H+V
4594	C	-16,46	39,57	55,00	-28,61	31,91	441,36	3.312 (M)	[PC]	H+V
4595	C	-14,96	45,57	59,00	-22,44	34,50	406,22	3.314 (M)	[PC]	H+V
4596	C	-5,96	39,57	50,00	-17,16	36,64	378,84	3.314 (M)	[PC]	H+V
4597	C	-10,46	33,57	47,00	-21,65	31,99	404,36	3.314 (M)	[PC]	H-V
4598	C	-11,96	29,07	57,00	-48,74	42,84	1575,36	3.314 (M)	[PC]	H-V
4599	C	-16,46	32,07	50,00	-35,39	29,92	538,59	3.314 (M)	[PC]	H+V
4600	C	-17,96	45,57	61,00	-30,57	33,87	463,05	3.315 (M)	[PC]	H-V
4601	C	-8,96	30,57	60,00	-48,60	48,53	1867,36	3.315 (M)	[PC]	H+V
4602	C	-2,96	32,07	41,00	-6,80	33,54	296,80	3.316 (M)	[PC]	H-V
4603	C	-5,96	35,07	46,00	-17,67	34,62	369,79	3.316 (M)	[PC]	H+V
4604	C	-2,96	30,57	40,00	-10,30	33,17	308,90	3.316 (M)	[PC]	H+V
4605	C	-16,46	30,57	52,00	-42,65	32,62	814,39	3.317 (M)	[PC]	H-V
4606	C	-14,96	29,07	47,00	-33,39	29,35	538,66	3.317 (M)	[PC]	H-V
4607	C	-16,46	41,07	56,00	-26,46	32,23	422,18	3.318 (M)	[PC]	H+V
4608	C	-17,96	33,57	54,00	-42,84	32,13	728,63	3.318 (M)	[PC]	H+V
4609	C	-16,46	33,57	51,00	-34,36	30,38	519,25	3.318 (M)	[PC]	H-V
4610	C	-14,96	39,57	54,00	-23,98	32,27	413,82	3.318 (M)	[PC]	H-V
4611	C	-17,96	36,57	55,00	-38,92	31,92	597,19	3.319 (M)	[PC]	H-V
4612	C	-7,46	41,07	52,00	-18,37	36,57	388,75	3.319 (M)	[PC]	H+V
4613	C	-17,96	35,07	55,00	-42,11	32,59	706,67	3.319 (M)	[PC]	H-V
4614	C	-8,96	38,07	50,00	-20,13	34,53	390,13	3.320 (M)	[PC]	H+V
4615	C	-16,46	30,57	53,00	-44,52	33,68	907,25	3.320 (M)	[PC]	H-V
4616	C	-7,46	36,57	48,00	-18,91	34,58	380,10	3.320 (M)	[PC]	H+V
4617	C	-13,46	29,07	45,00	-26,40	28,72	435,33	3.320 (M)	[PC]	H+V
4618	C	-16,46	30,57	51,00	-40,68	31,56	724,32	3.322 (M)	[PC]	H-V
4619	C	-8,96	32,07	45,00	-20,95	31,98	394,02	3.322 (M)	[PC]	H-V
4620	C	-8,96	32,07	61,00	-48,40	49,11	1841,54	3.322 (M)	[PC]	H-V
4621	C	-5,96	48,57	58,00	-14,82	40,16	386,79	3.322 (M)	[PC]	H+V
4622	C	-4,46	39,57	49,00	-12,59	36,97	351,80	3.323 (M)	[PC]	H-V
4623	C	-16,46	30,57	54,00	-46,32	34,74	1004,13	3.324 (M)	[PC]	H-V
4624	C	-5,96	44,07	54,00	-16,60	38,48	384,14	3.324 (M)	[PC]	H+V
4625	C	-16,46	29,07	51,00	-43,19	32,07	834,33	3.325 (M)	[PC]	H+V
4626	C	-13,46	30,57	46,00	-24,93	29,22	420,49	3.325 (M)	[PC]	H+V

N°	Forma	C_x	C_y	R	x_v	x_m	V	F_s	Caso	Sisma
		[m]	*[m]*	*[m]*	*[m]*	*[m]*	*[mc]*			
4627	C	-16,46	36,57	53,00	-31,88	31,21	480,17	3.326 (M)	[PC]	H-V
4628	C	-13,46	38,07	52,00	-22,60	32,32	405,69	3.326 (M)	[PC]	H-V
4629	C	-16,46	29,07	50,00	-41,30	31,02	744,52	3.327 (M)	[PC]	H+V
4630	C	-16,46	30,57	55,00	-48,04	35,79	1104,20	3.329 (M)	[PC]	H-V
4631	C	-10,46	32,07	61,00	-49,86	47,61	1800,51	3.329 (M)	[PC]	H-V
4632	C	-16,46	29,07	52,00	-45,00	33,12	928,96	3.329 (M)	[PC]	H+V
4633	C	-16,46	47,07	61,00	-23,51	34,41	413,43	3.330 (M)	[PC]	H-V
4634	C	-16,46	29,07	53,00	-46,73	34,17	1026,26	3.333 (M)	[PC]	H+V
4635	C	-10,46	39,57	52,00	-21,00	34,47	399,88	3.333 (M)	[PC]	H-V
4636	C	-10,46	44,07	56,00	-20,67	36,39	407,88	3.333 (M)	[PC]	H-V
4637	C	-8,96	42,57	54,00	-19,56	36,48	398,51	3.333 (M)	[PC]	H-V
4638	C	-7,46	29,07	58,00	-45,84	48,38	1815,31	3.334 (M)	[PC]	H-V
4639	C	-2,96	29,07	39,00	-12,48	32,75	321,78	3.335 (M)	[PC]	H-V
4640	C	-11,96	29,07	44,00	-23,28	29,16	410,25	3.336 (M)	[PC]	H+V
4641	C	-4,46	35,07	45,00	-14,70	34,98	343,27	3.336 (M)	[PC]	H+V
4642	C	-5,96	29,07	41,00	-18,65	31,93	371,59	3.336 (M)	[PC]	H-V
4643	C	-5,96	29,07	58,00	-44,37	49,88	1858,14	3.336 (M)	[PC]	H-V
4644	C	-8,96	29,07	58,00	-47,31	46,88	1774,06	3.337 (M)	[PC]	H-V
4645	C	-7,46	30,57	43,00	-19,95	31,96	383,03	3.337 (M)	[PC]	H-V
4646	C	-16,46	38,07	54,00	-30,37	31,58	460,84	3.338 (M)	[PC]	H-V
4647	C	-17,96	48,57	63,00	-25,26	34,31	420,71	3.338 (M)	[PC]	H-V
4648	C	-17,96	47,07	62,00	-28,28	34,10	441,43	3.339 (M)	[PC]	H-V
4649	C	-16,46	30,57	50,00	-38,58	30,50	638,83	3.339 (M)	[PC]	H-V
4650	C	-10,46	35,07	48,00	-21,30	32,37	387,95	3.339 (M)	[PC]	H+V
4651	C	-16,46	29,07	54,00	-48,40	35,22	1126,87	3.339 (M)	[PC]	H+V
4652	C	-4,46	33,57	44,00	-16,41	34,64	359,32	3.339 (M)	[PC]	H-V
4653	C	-17,96	33,57	53,00	-40,68	31,05	641,11	3.340 (M)	[PC]	H+V
4654	C	-17,96	36,57	54,00	-36,28	30,82	515,82	3.340 (M)	[PC]	H+V
4655	C	-14,96	41,07	55,00	-22,96	32,57	395,99	3.340 (M)	[PC]	H+V
4656	C	-17,96	33,57	56,00	-46,79	34,28	916,21	3.340 (M)	[PC]	H-V
4657	C	-16,46	30,57	56,00	-49,70	36,84	1207,81	3.341 (M)	[PC]	H-V
4658	C	-11,96	36,57	50,00	-21,96	32,35	397,20	3.341 (M)	[PC]	H-V
4659	C	-7,46	45,57	56,00	-17,78	38,38	393,88	3.341 (M)	[PC]	H-V
4660	C	-17,96	33,57	57,00	-48,63	35,35	1015,07	3.341 (M)	[PC]	H-V
4661	C	-10,46	48,57	60,00	-20,10	38,15	412,79	3.341 (M)	[PC]	H-V
4662	C	-8,96	47,07	58,00	-18,95	38,27	403,41	3.341 (M)	[PC]	H-V
4663	C	-16,46	39,57	55,00	-28,61	31,91	441,36	3.342 (M)	[PC]	H-V
4664	C	-13,46	44,07	57,00	-21,86	34,59	398,54	3.342 (M)	[PC]	H+V
4665	C	-17,96	33,57	55,00	-44,87	33,21	820,85	3.343 (M)	[PC]	H-V
4666	C	-17,96	35,07	54,00	-39,84	31,50	619,38	3.343 (M)	[PC]	H-V
4667	C	-5,96	39,57	50,00	-17,16	36,64	378,84	3.344 (M)	[PC]	H-V
4668	C	-14,96	45,57	59,00	-22,44	34,50	406,22	3.344 (M)	[PC]	H-V
4669	C	-17,96	32,07	55,00	-47,31	33,77	939,80	3.344 (M)	[PC]	H+V
4670	C	-16,46	29,07	49,00	-39,29	29,97	658,33	3.345 (M)	[PC]	H+V
4671	C	-17,96	32,07	56,00	-49,09	34,84	1039,30	3.345 (M)	[PC]	H+V
4672	C	-17,96	32,07	54,00	-45,45	32,71	842,81	3.345 (M)	[PC]	H+V
4673	C	-16,46	30,57	49,00	-36,32	29,43	557,41	3.345 (M)	[PC]	H+V
4674	C	-16,46	32,07	50,00	-35,39	29,92	538,59	3.345 (M)	[PC]	H-V
4675	C	-5,96	35,07	46,00	-17,67	34,62	369,79	3.346 (M)	[PC]	H-V
4676	C	-2,96	30,57	40,00	-10,30	33,17	308,90	3.346 (M)	[PC]	H-V
4677	C	-7,46	29,07	59,00	-47,30	49,42	1935,09	3.346 (M)	[PC]	H+V
4678	C	-10,46	29,07	58,00	-48,77	45,38	1733,05	3.347 (M)	[PC]	H-V
4679	C	-16,46	41,07	56,00	-26,46	32,23	422,18	3.348 (M)	[PC]	H-V
4680	C	-13,46	32,07	47,00	-24,10	29,67	405,37	3.348 (M)	[PC]	H+V
4681	C	-13,46	48,57	61,00	-21,49	36,38	405,20	3.349 (M)	[PC]	H+V
4682	C	-7,46	41,07	52,00	-18,37	36,57	388,75	3.349 (M)	[PC]	H-V
4683	C	-8,96	38,07	50,00	-20,13	34,53	390,13	3.350 (M)	[PC]	H-V
4684	C	-7,46	36,57	48,00	-18,91	34,58	380,10	3.350 (M)	[PC]	H-V
4685	C	-8,96	29,07	59,00	-48,77	47,92	1892,16	3.350 (M)	[PC]	H+V
4686	C	-13,46	29,07	45,00	-26,40	28,72	435,33	3.351 (M)	[PC]	H-V
4687	C	-17,96	33,57	54,00	-42,84	32,13	728,63	3.351 (M)	[PC]	H-V
4688	C	-17,96	32,07	53,00	-43,50	31,64	750,77	3.351 (M)	[PC]	H+V
4689	C	-5,96	48,57	58,00	-14,82	40,16	386,79	3.353 (M)	[PC]	H-V
4690	C	-4,46	29,07	40,00	-16,81	32,34	345,57	3.354 (M)	[PC]	H+V
4691	C	-5,96	44,07	54,00	-16,60	38,48	384,14	3.355 (M)	[PC]	H-V
4692	C	-4,46	36,57	46,00	-12,34	35,28	327,50	3.355 (M)	[PC]	H+V
4693	C	-8,96	30,57	60,00	-48,60	48,53	1867,36	3.355 (M)	[PC]	H-V
4694	C	-13,46	30,57	46,00	-24,93	29,22	420,49	3.355 (M)	[PC]	H-V
4695	C	-17,96	35,07	53,00	-37,37	30,41	536,74	3.356 (M)	[PC]	H+V
4696	C	-16,46	29,07	51,00	-43,19	32,07	834,33	3.359 (M)	[PC]	H-V
4697	C	-16,46	42,57	57,00	-24,55	32,51	403,54	3.359 (M)	[PC]	H+V
4698	C	-16,46	29,07	50,00	-41,30	31,02	744,52	3.361 (M)	[PC]	H-V
4699	C	-14,96	29,07	46,00	-30,80	28,29	464,23	3.362 (M)	[PC]	H+V
4700	C	-11,96	30,57	45,00	-22,62	29,64	395,95	3.362 (M)	[PC]	H+V
4701	C	-8,96	33,57	46,00	-20,62	32,38	377,95	3.363 (M)	[PC]	H+V
4702	C	-5,96	30,57	42,00	-18,10	32,37	356,74	3.363 (M)	[PC]	H+V
4703	C	-7,46	32,07	44,00	-19,38	32,38	367,52	3.364 (M)	[PC]	H+V
4704	C	-16,46	29,07	52,00	-45,00	33,12	928,96	3.364 (M)	[PC]	H-V
4705	C	-17,96	38,07	55,00	-35,07	31,20	494,81	3.365 (M)	[PC]	H+V

N°	Forma	C_x	C_y	R	x_v	x_m	V	F_s	Caso	Sisma
		[m]	*[m]*	*[m]*	*[m]*	*[m]*	*[mc]*			
4706	C	-4,46	35,07	45,00	-14,70	34,98	343,27	3.366 (M)	[PC]	H-V
4707	C	-11,96	29,07	44,00	-23,28	29,16	410,25	3.366 (M)	[PC]	H-V
4708	C	-13,46	39,57	53,00	-22,22	32,63	388,32	3.367 (M)	[PC]	H+V
4709	C	-16,46	29,07	53,00	-46,73	34,17	1026,26	3.368 (M)	[PC]	H-V
4710	C	-5,96	45,57	55,00	-14,58	38,65	364,80	3.369 (M)	[PC]	H+V
4711	C	-11,96	42,57	55,00	-21,26	34,67	390,28	3.369 (M)	[PC]	H+V
4712	C	-10,46	35,07	48,00	-21,30	32,37	387,95	3.369 (M)	[PC]	H-V
4713	C	-17,96	36,57	54,00	-36,28	30,82	515,82	3.371 (M)	[PC]	H-V
4714	C	-14,96	41,07	55,00	-22,96	32,57	395,99	3.371 (M)	[PC]	H-V
4715	C	-17,96	32,07	52,00	-41,44	30,57	662,39	3.372 (M)	[PC]	H+V
4716	C	-17,96	33,57	53,00	-40,68	31,05	641,11	3.372 (M)	[PC]	H-V
4717	C	-13,46	44,07	57,00	-21,86	34,59	398,54	3.373 (M)	[PC]	H-V
4718	C	-11,96	47,07	59,00	-20,90	36,49	397,02	3.375 (M)	[PC]	H+V
4719	C	-16,46	29,07	54,00	-48,40	35,22	1126,87	3.376 (M)	[PC]	H-V
4720	C	-16,46	30,57	49,00	-36,32	29,43	557,41	3.377 (M)	[PC]	H-V
4721	C	-16,46	29,07	49,00	-39,29	29,97	658,33	3.378 (M)	[PC]	H-V
4722	C	-13,46	32,07	47,00	-24,10	29,67	405,37	3.379 (M)	[PC]	H-V
4723	C	-17,96	39,57	56,00	-33,70	31,55	474,03	3.379 (M)	[PC]	H+V
4724	C	-14,96	32,07	48,00	-28,21	29,26	431,50	3.380 (M)	[PC]	H+V
4725	C	-17,96	32,07	55,00	-47,31	33,77	939,80	3.380 (M)	[PC]	H-V
4726	C	-13,46	48,57	61,00	-21,49	36,38	405,20	3.380 (M)	[PC]	H-V
4727	C	-17,96	32,07	54,00	-45,45	32,71	842,81	3.380 (M)	[PC]	H-V
4728	C	-17,96	32,07	56,00	-49,09	34,84	1039,30	3.381 (M)	[PC]	H-V
4729	C	-17,96	33,57	52,00	-38,35	29,97	557,40	3.382 (M)	[PC]	H+V
4730	C	-16,46	29,07	48,00	-37,15	28,91	575,87	3.382 (M)	[PC]	H+V
4731	C	-4,46	30,57	41,00	-16,08	32,77	331,20	3.383 (M)	[PC]	H+V
4732	C	-4,46	29,07	40,00	-16,81	32,34	345,57	3.384 (M)	[PC]	H-V
4733	C	-17,96	30,57	53,00	-45,98	32,18	865,08	3.384 (M)	[PC]	H+V
4734	C	-2,96	29,07	38,00	-6,65	31,66	270,63	3.384 (M)	[PC]	H+V
4735	C	-17,96	32,07	53,00	-43,50	31,64	750,77	3.385 (M)	[PC]	H-V
4736	C	-4,46	36,57	46,00	-12,34	35,28	327,50	3.385 (M)	[PC]	H-V
4737	C	-8,96	44,07	55,00	-18,88	36,69	379,06	3.386 (M)	[PC]	H+V
4738	C	-16,46	48,57	62,00	-22,60	34,60	393,84	3.386 (M)	[PC]	H+V
4739	C	-17,96	41,07	57,00	-32,12	31,87	453,03	3.386 (M)	[PC]	H+V
4740	C	-10,46	45,57	57,00	-20,04	36,59	388,17	3.387 (M)	[PC]	H+V
4741	C	-17,96	35,07	53,00	-37,37	30,41	536,74	3.387 (M)	[PC]	H-V
4742	C	-7,46	29,07	59,00	-47,30	49,42	1935,09	3.387 (M)	[PC]	H-V
4743	C	-17,96	30,57	54,00	-47,77	33,24	962,69	3.387 (M)	[PC]	H+V
4744	C	-5,96	36,57	47,00	-17,05	34,93	352,84	3.388 (M)	[PC]	H+V
4745	C	-17,96	30,57	55,00	-49,50	34,29	1062,78	3.388 (M)	[PC]	H+V
4746	C	-14,96	30,57	47,00	-29,60	28,79	447,97	3.388 (M)	[PC]	H+V
4747	C	-17,96	30,57	52,00	-44,10	31,12	772,48	3.389 (M)	[PC]	H+V
4748	C	-16,46	42,57	57,00	-24,55	32,51	403,54	3.390 (M)	[PC]	H-V
4749	C	-8,96	29,07	59,00	-48,77	47,92	1892,16	3.391 (M)	[PC]	H-V
4750	C	-14,96	33,57	49,00	-26,58	29,70	414,97	3.391 (M)	[PC]	H+V
4751	C	-7,46	38,07	49,00	-18,27	34,88	362,56	3.392 (M)	[PC]	H+V
4752	C	-5,96	41,07	51,00	-16,51	36,88	360,36	3.393 (M)	[PC]	H+V
4753	C	-10,46	41,07	53,00	-20,63	34,74	381,39	3.393 (M)	[PC]	H+V
4754	C	-14,96	29,07	46,00	-30,80	28,29	464,23	3.393 (M)	[PC]	H-V
4755	C	-11,96	30,57	45,00	-22,62	29,64	395,95	3.393 (M)	[PC]	H-V
4756	C	-5,96	30,57	42,00	-18,10	32,37	356,74	3.393 (M)	[PC]	H-V
4757	C	-8,96	33,57	46,00	-20,62	32,38	377,95	3.393 (M)	[PC]	H-V
4758	C	-7,46	32,07	44,00	-19,38	32,38	367,52	3.394 (M)	[PC]	H-V
4759	C	-8,96	39,57	51,00	-19,48	34,81	372,12	3.395 (M)	[PC]	H+V
4760	C	-11,96	38,07	51,00	-21,59	32,68	380,07	3.396 (M)	[PC]	H+V
4761	C	-17,96	38,07	55,00	-35,07	31,20	494,81	3.396 (M)	[PC]	H-V
4762	C	-13,46	39,57	53,00	-22,22	32,63	388,32	3.397 (M)	[PC]	H-V
4763	C	-8,96	48,57	59,00	-18,23	38,41	382,82	3.398 (M)	[PC]	H+V
4764	C	-14,96	35,07	50,00	-24,83	30,10	398,59	3.399 (M)	[PC]	H+V
4765	C	-5,96	45,57	55,00	-14,58	38,65	364,80	3.400 (M)	[PC]	H-V
4766	C	-11,96	42,57	55,00	-21,26	34,67	390,28	3.400 (M)	[PC]	H-V
4767	C	-7,46	42,57	53,00	-17,70	36,79	369,84	3.401 (M)	[PC]	H+V
4768	C	-13,46	33,57	48,00	-23,22	30,10	389,94	3.403 (M)	[PC]	H+V
4769	C	-5,96	32,07	43,00	-17,53	32,78	341,69	3.404 (M)	[PC]	H+V
4770	C	-4,46	32,07	42,00	-14,35	33,16	316,52	3.404 (M)	[PC]	H+V
4771	C	-17,96	32,07	52,00	-41,44	30,57	662,39	3.405 (M)	[PC]	H-V
4772	C	-11,96	47,07	59,00	-20,90	36,49	397,02	3.406 (M)	[PC]	H-V
4773	C	-10,46	29,07	43,00	-21,92	29,58	386,17	3.407 (M)	[PC]	H+V
4774	C	-17,96	30,57	51,00	-42,12	30,06	683,14	3.409 (M)	[PC]	H+V
4775	C	-17,96	39,57	56,00	-33,70	31,55	474,03	3.410 (M)	[PC]	H-V
4776	C	-14,96	32,07	48,00	-28,21	29,26	431,50	3.411 (M)	[PC]	H-V
4777	C	-11,96	32,07	46,00	-22,27	30,08	381,13	3.411 (M)	[PC]	H+V
4778	C	-4,46	30,57	41,00	-16,08	32,77	331,20	3.412 (M)	[PC]	H-V
4779	C	-17,96	32,07	51,00	-39,23	29,50	577,81	3.413 (M)	[PC]	H+V
4780	C	-17,96	33,57	52,00	-38,35	29,97	557,40	3.414 (M)	[PC]	H-V
4781	C	-16,46	29,07	48,00	-37,15	28,91	575,87	3.415 (M)	[PC]	H-V
4782	C	-2,96	29,07	38,00	-6,65	31,66	270,63	3.415 (M)	[PC]	H-V
4783	C	-14,96	47,07	60,00	-22,04	34,70	386,86	3.415 (M)	[PC]	H+V
4784	C	-17,96	42,57	58,00	-30,28	32,17	432,16	3.416 (M)	[PC]	H+V

N°	Forma	C_x	C_y	R	x_v	x_m	V	F_s	Caso	Sisma
		[m]	*[m]*	*[m]*	*[m]*	*[m]*	*[mc]*			
4785	C	-7,46	47,07	57,00	-17,07	38,53	373,71	3.416 (M)	[PC]	H+V
4786	C	-8,96	44,07	55,00	-18,88	36,69	379,06	3.417 (M)	[PC]	H-V
4787	C	-17,96	41,07	57,00	-32,12	31,87	453,03	3.417 (M)	[PC]	H-V
4788	C	-16,46	48,57	62,00	-22,60	34,60	393,84	3.417 (M)	[PC]	H-V
4789	C	-5,96	36,57	47,00	-17,05	34,93	352,84	3.418 (M)	[PC]	H-V
4790	C	-10,46	45,57	57,00	-20,04	36,59	388,17	3.418 (M)	[PC]	H-V
4791	C	-17,96	30,57	53,00	-45,98	32,18	865,08	3.419 (M)	[PC]	H-V
4792	C	-16,46	44,07	58,00	-23,46	32,77	385,01	3.419 (M)	[PC]	H+V
4793	C	-14,96	30,57	47,00	-29,60	28,79	447,97	3.420 (M)	[PC]	H-V
4794	C	-10,46	36,57	49,00	-20,95	32,72	371,10	3.422 (M)	[PC]	H+V
4795	C	-7,46	38,07	49,00	-18,27	34,88	362,56	3.422 (M)	[PC]	H-V
4796	C	-14,96	33,57	49,00	-26,58	29,70	414,97	3.423 (M)	[PC]	H-V
4797	C	-16,46	30,57	48,00	-33,83	28,36	480,00	3.423 (M)	[PC]	H+V
4798	C	-17,96	30,57	54,00	-47,77	33,24	962,69	3.423 (M)	[PC]	H-V
4799	C	-5,96	41,07	51,00	-16,51	36,88	360,36	3.424 (M)	[PC]	H-V
4800	C	-10,46	41,07	53,00	-20,63	34,74	381,39	3.424 (M)	[PC]	H-V
4801	C	-17,96	30,57	52,00	-44,10	31,12	772,48	3.424 (M)	[PC]	H-V
4802	C	-17,96	30,57	55,00	-49,50	34,29	1062,78	3.425 (M)	[PC]	H-V
4803	C	-17,96	44,07	59,00	-28,05	32,44	411,75	3.426 (M)	[PC]	H+V
4804	C	-17,96	45,57	60,00	-25,11	32,69	392,03	3.426 (M)	[PC]	H+V
4805	C	-8,96	39,57	51,00	-19,48	34,81	372,12	3.426 (M)	[PC]	H-V
4806	C	-17,96	29,07	52,00	-46,45	31,62	886,65	3.427 (M)	[PC]	H+V
4807	C	-11,96	38,07	51,00	-21,59	32,68	380,07	3.427 (M)	[PC]	H-V
4808	C	-8,96	48,57	59,00	-18,23	38,41	382,82	3.430 (M)	[PC]	H-V
4809	C	-14,96	35,07	50,00	-24,83	30,10	398,59	3.430 (M)	[PC]	H-V
4810	C	-7,46	33,57	45,00	-18,78	32,77	351,82	3.431 (M)	[PC]	H+V
4811	C	-17,96	29,07	51,00	-44,64	30,57	793,39	3.432 (M)	[PC]	H+V
4812	C	-7,46	42,57	53,00	-17,70	36,79	369,84	3.432 (M)	[PC]	H-V
4813	C	-5,96	42,57	52,00	-14,34	37,09	342,04	3.433 (M)	[PC]	H+V
4814	C	-17,96	29,07	53,00	-48,19	32,67	983,62	3.433 (M)	[PC]	H+V
4815	C	-8,96	35,07	47,00	-20,02	32,75	361,47	3.434 (M)	[PC]	H+V
4816	C	-5,96	32,07	43,00	-17,53	32,78	341,69	3.434 (M)	[PC]	H-V
4817	C	-4,46	32,07	42,00	-14,35	33,16	316,52	3.434 (M)	[PC]	H-V
4818	C	-13,46	33,57	48,00	-23,22	30,10	389,94	3.435 (M)	[PC]	H-V
4819	C	-14,96	42,57	56,00	-22,42	32,84	378,04	3.435 (M)	[PC]	H+V
4820	C	-17,96	29,07	54,00	-49,86	33,72	1085,45	3.435 (M)	[PC]	H+V
4821	C	-10,46	29,07	43,00	-21,92	29,58	386,17	3.438 (M)	[PC]	H-V
4822	C	-14,96	36,57	51,00	-23,89	30,47	382,48	3.442 (M)	[PC]	H+V
4823	C	-11,96	32,07	46,00	-22,27	30,08	381,13	3.443 (M)	[PC]	H-V
4824	C	-17,96	30,57	51,00	-42,12	30,06	683,14	3.443 (M)	[PC]	H-V
4825	C	-13,46	45,57	58,00	-21,47	34,80	379,34	3.443 (M)	[PC]	H+V
4826	C	-16,46	33,57	50,00	-31,45	29,29	444,26	3.444 (M)	[PC]	H+V
4827	C	-17,96	32,07	51,00	-39,23	29,50	577,81	3.445 (M)	[PC]	H-V
4828	C	-4,46	33,57	43,00	-12,08	33,52	302,10	3.447 (M)	[PC]	H+V
4829	C	-14,96	47,07	60,00	-22,04	34,70	386,86	3.447 (M)	[PC]	H-V
4830	C	-17,96	42,57	58,00	-30,28	32,17	432,16	3.447 (M)	[PC]	H-V
4831	C	-7,46	47,07	57,00	-17,07	38,53	373,71	3.448 (M)	[PC]	H-V
4832	C	-10,46	30,57	44,00	-21,58	30,05	371,71	3.448 (M)	[PC]	H+V
4833	C	-17,96	30,57	50,00	-40,02	29,00	597,67	3.449 (M)	[PC]	H+V
4834	C	-16,46	32,07	49,00	-32,72	28,84	462,25	3.451 (M)	[PC]	H+V
4835	C	-16,46	44,07	58,00	-23,46	32,77	385,01	3.451 (M)	[PC]	H-V
4836	C	-17,96	29,07	50,00	-42,74	29,52	703,29	3.451 (M)	[PC]	H+V
4837	C	-10,46	36,57	49,00	-20,95	32,72	371,10	3.453 (M)	[PC]	H-V
4838	C	-13,46	35,07	49,00	-22,56	30,49	374,51	3.453 (M)	[PC]	H+V
4839	C	-16,46	30,57	48,00	-33,83	28,36	480,00	3.455 (M)	[PC]	H-V
4840	C	-17,96	44,07	59,00	-28,05	32,44	411,75	3.457 (M)	[PC]	H-V
4841	C	-17,96	45,57	60,00	-25,11	32,69	392,03	3.458 (M)	[PC]	H-V
4842	C	-16,46	35,07	51,00	-30,00	29,71	426,14	3.458 (M)	[PC]	H+V
4843	C	-16,46	29,07	47,00	-34,82	27,85	497,02	3.462 (M)	[PC]	H+V
4844	C	-13,46	41,07	54,00	-21,83	32,91	370,57	3.462 (M)	[PC]	H+V
4845	C	-7,46	33,57	45,00	-18,78	32,77	351,82	3.462 (M)	[PC]	H-V
4846	C	-16,46	36,57	52,00	-28,29	30,09	408,12	3.462 (M)	[PC]	H+V
4847	C	-17,96	29,07	52,00	-46,45	31,62	886,65	3.463 (M)	[PC]	H-V
4848	C	-8,96	35,07	47,00	-20,02	32,75	361,47	3.465 (M)	[PC]	H-V
4849	C	-5,96	42,57	52,00	-14,34	37,09	342,04	3.465 (M)	[PC]	H-V
4850	C	-14,96	42,57	56,00	-22,42	32,84	378,04	3.467 (M)	[PC]	H-V
4851	C	-5,96	38,07	48,00	-16,41	35,22	335,56	3.467 (M)	[PC]	H+V
4852	C	-17,96	29,07	51,00	-44,64	30,57	793,39	3.467 (M)	[PC]	H-V
4853	C	-16,46	38,07	53,00	-26,22	30,45	390,33	3.468 (M)	[PC]	H+V
4854	C	-11,96	44,07	56,00	-20,88	34,89	371,25	3.469 (M)	[PC]	H+V
4855	C	-11,96	33,57	47,00	-21,91	30,49	366,07	3.469 (M)	[PC]	H+V
4856	C	-17,96	29,07	53,00	-48,19	32,67	983,62	3.471 (M)	[PC]	H-V
4857	C	-5,96	33,57	44,00	-16,93	33,14	326,02	3.473 (M)	[PC]	H+V
4858	C	-17,96	29,07	54,00	-49,86	33,72	1085,45	3.473 (M)	[PC]	H-V
4859	C	-14,96	36,57	51,00	-23,89	30,47	382,48	3.473 (M)	[PC]	H-V
4860	C	-13,46	45,57	58,00	-21,47	34,80	379,34	3.475 (M)	[PC]	H-V
4861	C	-7,46	39,57	50,00	-17,61	35,14	344,77	3.475 (M)	[PC]	H+V
4862	C	-11,96	48,57	60,00	-20,45	36,65	376,66	3.475 (M)	[PC]	H+V
4863	C	-16,46	33,57	50,00	-31,45	29,29	444,26	3.475 (M)	[PC]	H-V

N°	Forma	C_x	C_y	R	x_v	x_m	V	F_s	Caso	Sisma
		[m]	*[m]*	*[m]*	*[m]*	*[m]*	*[mc]*			
4864	C	-4,46	33,57	43,00	-12,08	33,52	302,10	3.477 (M)	[PC]	H-V
4865	C	-10,46	42,57	54,00	-19,97	34,98	362,64	3.478 (M)	[PC]	H+V
4866	C	-8,96	41,07	52,00	-18,80	35,07	353,82	3.478 (M)	[PC]	H+V
4867	C	-10,46	30,57	44,00	-21,58	30,05	371,71	3.480 (M)	[PC]	H-V
4868	C	-10,46	47,07	58,00	-19,31	36,77	368,19	3.480 (M)	[PC]	H+V
4869	C	-7,46	35,07	46,00	-18,16	33,12	335,58	3.482 (M)	[PC]	H+V
4870	C	-17,96	30,57	50,00	-40,02	29,00	597,67	3.482 (M)	[PC]	H-V
4871	C	-16,46	32,07	49,00	-32,72	28,84	462,25	3.483 (M)	[PC]	H-V
4872	C	-8,96	29,07	42,00	-20,87	30,01	361,41	3.483 (M)	[PC]	H+V
4873	C	-13,46	35,07	49,00	-22,56	30,49	374,51	3.485 (M)	[PC]	H-V
4874	C	-17,96	29,07	50,00	-42,74	29,52	703,29	3.486 (M)	[PC]	H-V
4875	C	-8,96	36,57	48,00	-19,38	33,08	344,89	3.489 (M)	[PC]	H+V
4876	C	-11,96	39,57	52,00	-21,22	32,97	362,55	3.489 (M)	[PC]	H+V
4877	C	-16,46	35,07	51,00	-30,00	29,71	426,14	3.490 (M)	[PC]	H-V
4878	C	-17,96	29,07	49,00	-40,74	28,47	616,99	3.491 (M)	[PC]	H+V
4879	C	-10,46	38,07	50,00	-20,58	33,03	353,83	3.492 (M)	[PC]	H+V
4880	C	-13,46	41,07	54,00	-21,83	32,91	370,57	3.494 (M)	[PC]	H-V
4881	C	-16,46	36,57	52,00	-28,29	30,09	408,12	3.494 (M)	[PC]	H-V
4882	C	-7,46	44,07	54,00	-17,01	36,98	350,74	3.494 (M)	[PC]	H+V
4883	C	-16,46	29,07	47,00	-34,82	27,85	497,02	3.494 (M)	[PC]	H-V
4884	C	-14,96	38,07	52,00	-22,89	30,82	365,93	3.495 (M)	[PC]	H+V
4885	C	-8,96	45,57	56,00	-18,17	36,88	359,52	3.498 (M)	[PC]	H+V
4886	C	-5,96	38,07	48,00	-16,41	35,22	335,56	3.498 (M)	[PC]	H-V
4887	C	-5,96	39,57	49,00	-14,09	35,47	318,64	3.499 (M)	[PC]	H+V
4888	C	-16,46	38,07	53,00	-26,22	30,45	390,33	3.500 (M)	[PC]	H-V
4889	C	-11,96	44,07	56,00	-20,88	34,89	371,25	3.501 (M)	[PC]	H-V
4890	C	-11,96	33,57	47,00	-21,91	30,49	366,07	3.501 (M)	[PC]	H-V
4891	C	-17,96	32,07	50,00	-36,82	28,42	497,31	3.501 (M)	[PC]	H+V
4892	C	-10,46	32,07	45,00	-21,24	30,48	357,01	3.501 (M)	[PC]	H+V
4893	C	-5,96	33,57	44,00	-16,93	33,14	326,02	3.503 (M)	[PC]	H-V
4894	C	-7,46	39,57	50,00	-17,61	35,14	344,77	3.507 (M)	[PC]	H-V
4895	C	-17,96	47,07	61,00	-23,89	32,91	372,91	3.507 (M)	[PC]	H+V
4896	C	-11,96	48,57	60,00	-20,45	36,65	376,66	3.508 (M)	[PC]	H-V
4897	C	-10,46	42,57	54,00	-19,97	34,98	362,64	3.510 (M)	[PC]	H-V
4898	C	-8,96	41,07	52,00	-18,80	35,07	353,82	3.510 (M)	[PC]	H-V
4899	C	-16,46	45,57	59,00	-22,59	33,00	366,51	3.512 (M)	[PC]	H+V
4900	C	-10,46	47,07	58,00	-19,31	36,77	368,19	3.512 (M)	[PC]	H-V
4901	C	-7,46	35,07	46,00	-18,16	33,12	335,58	3.513 (M)	[PC]	H-V
4902	C	-7,46	48,57	58,00	-16,32	38,66	353,48	3.514 (M)	[PC]	H+V
4903	C	-8,96	29,07	42,00	-20,87	30,01	361,41	3.515 (M)	[PC]	H-V
4904	C	-16,46	39,57	54,00	-24,48	30,77	373,21	3.517 (M)	[PC]	H+V
4905	C	-8,96	36,57	48,00	-19,38	33,08	344,89	3.521 (M)	[PC]	H-V
4906	C	-11,96	39,57	52,00	-21,22	32,97	362,55	3.521 (M)	[PC]	H-V
4907	C	-14,96	44,07	57,00	-22,03	33,09	359,78	3.522 (M)	[PC]	H+V
4908	C	-10,46	38,07	50,00	-20,58	33,03	353,83	3.523 (M)	[PC]	H-V
4909	C	-7,46	29,07	41,00	-19,22	30,43	336,64	3.525 (M)	[PC]	H+V
4910	C	-17,96	29,07	49,00	-40,74	28,47	616,99	3.525 (M)	[PC]	H-V
4911	C	-8,96	30,57	43,00	-20,50	30,46	347,12	3.526 (M)	[PC]	H+V
4912	C	-7,46	44,07	54,00	-17,01	36,98	350,74	3.526 (M)	[PC]	H-V
4913	C	-13,46	36,57	50,00	-22,18	30,85	358,43	3.526 (M)	[PC]	H+V
4914	C	-14,96	38,07	52,00	-22,89	30,82	365,93	3.528 (M)	[PC]	H-V
4915	C	-8,96	45,57	56,00	-18,17	36,88	359,52	3.530 (M)	[PC]	H-V
4916	C	-5,96	39,57	49,00	-14,09	35,47	318,64	3.530 (M)	[PC]	H-V
4917	C	-14,96	48,57	61,00	-21,64	34,88	367,24	3.531 (M)	[PC]	H+V
4918	C	-10,46	32,07	45,00	-21,24	30,48	357,01	3.533 (M)	[PC]	H-V
4919	C	-17,96	35,07	52,00	-34,61	29,31	458,72	3.533 (M)	[PC]	H+V
4920	C	-17,96	32,07	50,00	-36,82	28,42	497,31	3.534 (M)	[PC]	H-V
4921	C	-17,96	30,57	49,00	-37,75	27,93	515,61	3.537 (M)	[PC]	H+V
4922	C	-4,46	29,07	39,00	-13,98	31,25	288,51	3.537 (M)	[PC]	H+V
4923	C	-17,96	33,57	51,00	-35,78	28,88	478,11	3.540 (M)	[PC]	H+V
4924	C	-17,96	47,07	61,00	-23,89	32,91	372,91	3.540 (M)	[PC]	H-V
4925	C	-16,46	45,57	59,00	-22,59	33,00	366,51	3.545 (M)	[PC]	H-V
4926	C	-7,46	48,57	58,00	-16,32	38,66	353,48	3.546 (M)	[PC]	H-V
4927	C	-16,46	39,57	54,00	-24,48	30,77	373,21	3.549 (M)	[PC]	H-V
4928	C	-5,96	35,07	45,00	-16,20	33,48	310,02	3.549 (M)	[PC]	H+V
4929	C	-13,46	42,57	55,00	-21,45	33,17	352,49	3.550 (M)	[PC]	H+V
4930	C	-17,96	36,57	53,00	-33,29	29,71	439,07	3.552 (M)	[PC]	H+V
4931	C	-5,96	29,07	40,00	-17,38	30,84	312,03	3.553 (M)	[PC]	H+V
4932	C	-14,96	44,07	57,00	-22,03	33,09	359,78	3.554 (M)	[PC]	H-V
4933	C	-13,46	47,07	59,00	-21,07	34,99	359,87	3.555 (M)	[PC]	H+V
4934	C	-4,46	30,57	40,00	-11,80	31,67	275,81	3.556 (M)	[PC]	H+V
4935	C	-7,46	29,07	41,00	-19,22	30,43	336,64	3.557 (M)	[PC]	H-V
4936	C	-8,96	30,57	43,00	-20,50	30,46	347,12	3.558 (M)	[PC]	H-V
4937	C	-11,96	35,07	48,00	-21,55	30,87	350,27	3.558 (M)	[PC]	H+V
4938	C	-13,46	36,57	50,00	-22,18	30,85	358,43	3.559 (M)	[PC]	H-V
4939	C	-17,96	38,07	54,00	-31,77	30,08	419,48	3.560 (M)	[PC]	H+V
4940	C	-14,96	48,57	61,00	-21,64	34,88	367,24	3.564 (M)	[PC]	H-V
4941	C	-7,46	30,57	42,00	-18,65	30,87	322,18	3.566 (M)	[PC]	H+V
4942	C	-17,96	35,07	52,00	-34,61	29,31	458,72	3.567 (M)	[PC]	H-V

N°	Forma	C_x	C_y	R	x_v	x_m	V	F_s	Caso	Sisma
		[m]	*[m]*	*[m]*	*[m]*	*[m]*	*[mc]*			
4943	C	-4,46	29,07	39,00	-13,98	31,25	288,51	3.568 (M)	[PC]	H-V
4944	C	-7,46	36,57	47,00	-17,52	33,43	319,11	3.569 (M)	[PC]	H+V
4945	C	-7,46	41,07	51,00	-16,93	35,38	326,80	3.569 (M)	[PC]	H+V
4946	C	-8,96	32,07	44,00	-19,90	30,88	332,06	3.571 (M)	[PC]	H+V
4947	C	-17,96	30,57	49,00	-37,75	27,93	515,61	3.571 (M)	[PC]	H-V
4948	C	-17,96	29,07	48,00	-38,59	27,41	534,22	3.573 (M)	[PC]	H+V
4949	C	-17,96	33,57	51,00	-35,78	28,88	478,11	3.573 (M)	[PC]	H-V
4950	C	-8,96	42,57	53,00	-18,10	35,29	335,39	3.573 (M)	[PC]	H+V
4951	C	-17,96	39,57	55,00	-29,98	30,41	400,01	3.574 (M)	[PC]	H+V
4952	C	-11,96	41,07	53,00	-20,84	33,24	344,85	3.574 (M)	[PC]	H+V
4953	C	-8,96	38,07	49,00	-18,72	33,38	327,81	3.576 (M)	[PC]	H+V
4954	C	-11,96	45,57	57,00	-20,40	35,09	351,95	3.576 (M)	[PC]	H+V
4955	C	-10,46	44,07	55,00	-19,26	35,19	343,79	3.578 (M)	[PC]	H+V
4956	C	-10,46	39,57	51,00	-19,90	33,31	336,46	3.579 (M)	[PC]	H+V
4957	C	-16,46	41,07	55,00	-23,41	31,07	355,94	3.580 (M)	[PC]	H+V
4958	C	-5,96	35,07	45,00	-16,20	33,48	310,02	3.581 (M)	[PC]	H-V
4959	C	-13,46	42,57	55,00	-21,45	33,17	352,49	3.582 (M)	[PC]	H-V
4960	C	-10,46	33,57	46,00	-20,89	30,88	341,51	3.583 (M)	[PC]	H+V
4961	C	-10,46	48,57	59,00	-18,56	36,91	348,13	3.584 (M)	[PC]	H+V
4962	C	-5,96	29,07	40,00	-17,38	30,84	312,03	3.584 (M)	[PC]	H-V
4963	C	-17,96	41,07	56,00	-27,81	30,73	380,89	3.584 (M)	[PC]	H+V
4964	C	-17,96	42,57	57,00	-24,99	31,01	362,66	3.585 (M)	[PC]	H+V
4965	C	-17,96	36,57	53,00	-33,29	29,71	439,07	3.586 (M)	[PC]	H-V
4966	C	-17,96	48,57	62,00	-22,71	33,10	353,90	3.587 (M)	[PC]	H+V
4967	C	-4,46	30,57	40,00	-11,80	31,67	275,81	3.588 (M)	[PC]	H-V
4968	C	-13,46	47,07	59,00	-21,07	34,99	359,87	3.588 (M)	[PC]	H-V
4969	C	-11,96	35,07	48,00	-21,55	30,87	350,27	3.591 (M)	[PC]	H-V
4970	C	-7,46	45,57	55,00	-16,08	37,15	331,55	3.591 (M)	[PC]	H+V
4971	C	-13,46	29,07	44,00	-23,95	27,66	370,17	3.593 (M)	[PC]	H+V
4972	C	-17,96	38,07	54,00	-31,77	30,08	419,48	3.593 (M)	[PC]	H-V
4973	C	-7,46	30,57	42,00	-18,65	30,87	322,18	3.598 (M)	[PC]	H-V
4974	C	-14,96	39,57	53,00	-22,40	31,13	349,19	3.598 (M)	[PC]	H+V
4975	C	-7,46	36,57	47,00	-17,52	33,43	319,11	3.601 (M)	[PC]	H-V
4976	C	-7,46	41,07	51,00	-16,93	35,38	326,80	3.602 (M)	[PC]	H-V
4977	C	-8,96	32,07	44,00	-19,90	30,88	332,06	3.603 (M)	[PC]	H-V
4978	C	-5,96	36,57	46,00	-13,84	33,78	294,21	3.603 (M)	[PC]	H+V
4979	C	-8,96	42,57	53,00	-18,10	35,29	335,39	3.606 (M)	[PC]	H-V
4980	C	-14,96	30,57	46,00	-26,24	27,72	379,51	3.606 (M)	[PC]	H+V
4981	C	-11,96	41,07	53,00	-20,84	33,24	344,85	3.607 (M)	[PC]	H-V
4982	C	-17,96	39,57	55,00	-29,98	30,41	400,01	3.607 (M)	[PC]	H-V
4983	C	-8,96	38,07	49,00	-18,72	33,38	327,81	3.608 (M)	[PC]	H-V
4984	C	-8,96	47,07	57,00	-17,43	37,03	339,94	3.608 (M)	[PC]	H+V
4985	C	-17,96	29,07	48,00	-38,59	27,41	534,22	3.608 (M)	[PC]	H-V
4986	C	-11,96	45,57	57,00	-20,40	35,09	351,95	3.609 (M)	[PC]	H-V
4987	C	-10,46	44,07	55,00	-19,26	35,19	343,79	3.611 (M)	[PC]	H-V
4988	C	-10,46	39,57	51,00	-19,90	33,31	336,46	3.611 (M)	[PC]	H-V
4989	C	-16,46	41,07	55,00	-23,41	31,07	355,94	3.613 (M)	[PC]	H-V
4990	C	-10,46	33,57	46,00	-20,89	30,88	341,51	3.616 (M)	[PC]	H-V
4991	C	-14,96	29,07	45,00	-27,81	27,22	394,02	3.616 (M)	[PC]	H+V
4992	C	-14,96	32,07	47,00	-24,71	28,17	364,72	3.617 (M)	[PC]	H+V
4993	C	-10,46	48,57	59,00	-18,56	36,91	348,13	3.617 (M)	[PC]	H-V
4994	C	-17,96	41,07	56,00	-27,81	30,73	380,89	3.618 (M)	[PC]	H-V
4995	C	-16,46	47,07	60,00	-22,18	33,20	347,82	3.618 (M)	[PC]	H+V
4996	C	-17,96	42,57	57,00	-24,99	31,01	362,66	3.618 (M)	[PC]	H-V
4997	C	-17,96	48,57	62,00	-22,71	33,10	353,90	3.621 (M)	[PC]	H-V
4998	C	-7,46	45,57	55,00	-16,08	37,15	331,55	3.624 (M)	[PC]	H-V
4999	C	-5,96	30,57	41,00	-16,80	31,27	297,80	3.625 (M)	[PC]	H+V
5000	C	-13,46	38,07	51,00	-21,80	31,18	341,92	3.626 (M)	[PC]	H+V
5001	C	-13,46	30,57	45,00	-23,09	28,14	356,28	3.626 (M)	[PC]	H+V
5002	C	-13,46	29,07	44,00	-23,95	27,66	370,17	3.627 (M)	[PC]	H-V
5003	C	-14,96	39,57	53,00	-22,40	31,13	349,19	3.631 (M)	[PC]	H-V
5004	C	-11,96	36,57	49,00	-21,18	31,22	334,01	3.632 (M)	[PC]	H+V
5005	C	-5,96	36,57	46,00	-13,84	33,78	294,21	3.636 (M)	[PC]	H-V
5006	C	-7,46	32,07	43,00	-18,05	31,28	307,34	3.639 (M)	[PC]	H+V
5007	C	-14,96	30,57	46,00	-26,24	27,72	379,51	3.640 (M)	[PC]	H-V
5008	C	-8,96	47,07	57,00	-17,43	37,03	339,94	3.641 (M)	[PC]	H-V
5009	C	-11,96	29,07	43,00	-22,21	28,08	347,60	3.642 (M)	[PC]	H+V
5010	C	-14,96	45,57	58,00	-21,62	33,30	341,39	3.642 (M)	[PC]	H+V
5011	C	-16,46	29,07	46,00	-32,22	26,79	422,84	3.644 (M)	[PC]	H+V
5012	C	-16,46	32,07	48,00	-29,61	27,76	390,07	3.645 (M)	[PC]	H+V
5013	C	-16,46	33,57	49,00	-27,97	28,20	373,95	3.645 (M)	[PC]	H+V
5014	C	-16,46	35,07	50,00	-25,96	28,60	357,66	3.647 (M)	[PC]	H+V
5015	C	-14,96	29,07	45,00	-27,81	27,22	394,02	3.650 (M)	[PC]	H-V
5016	C	-8,96	33,57	45,00	-19,28	31,27	316,61	3.650 (M)	[PC]	H+V
5017	C	-16,46	30,57	47,00	-31,01	27,29	406,58	3.651 (M)	[PC]	H+V
5018	C	-14,96	32,07	47,00	-24,71	28,17	364,72	3.651 (M)	[PC]	H-V
5019	C	-16,46	47,07	60,00	-22,18	33,20	347,82	3.651 (M)	[PC]	H-V
5020	C	-10,46	35,07	47,00	-20,49	31,25	325,53	3.654 (M)	[PC]	H+V
5021	C	-5,96	30,57	41,00	-16,80	31,27	297,80	3.657 (M)	[PC]	H-V

N°	Forma	C_x	C_y	R	x_v	x_m	V	F_s	Caso	Sisma
		[m]	*[m]*	*[m]*	*[m]*	*[m]*	*[mc]*			
5022	C	-7,46	42,57	52,00	-15,84	35,59	308,91	3.659 (M)	[PC]	H+V
5023	C	-13,46	38,07	51,00	-21,80	31,18	341,92	3.660 (M)	[PC]	H-V
5024	C	-13,46	30,57	45,00	-23,09	28,14	356,28	3.661 (M)	[PC]	H-V
5025	C	-14,96	33,57	48,00	-23,79	28,60	349,76	3.662 (M)	[PC]	H+V
5026	C	-13,46	48,57	60,00	-20,68	35,15	340,16	3.663 (M)	[PC]	H+V
5027	C	-11,96	36,57	49,00	-21,18	31,22	334,01	3.665 (M)	[PC]	H-V
5028	C	-17,96	29,07	47,00	-36,25	26,35	455,91	3.666 (M)	[PC]	H+V
5029	C	-7,46	38,07	48,00	-16,85	33,72	302,32	3.667 (M)	[PC]	H+V
5030	C	-13,46	44,07	56,00	-21,05	33,39	334,32	3.669 (M)	[PC]	H+V
5031	C	-7,46	32,07	43,00	-18,05	31,28	307,34	3.671 (M)	[PC]	H-V
5032	C	-14,96	35,07	49,00	-22,81	28,99	334,70	3.675 (M)	[PC]	H+V
5033	C	-16,46	36,57	51,00	-24,40	28,97	341,74	3.675 (M)	[PC]	H+V
5034	C	-11,96	29,07	43,00	-22,21	28,08	347,60	3.676 (M)	[PC]	H-V
5035	C	-14,96	45,57	58,00	-21,62	33,30	341,39	3.676 (M)	[PC]	H-V
5036	C	-8,96	39,57	50,00	-18,03	33,64	310,62	3.676 (M)	[PC]	H+V
5037	C	-17,96	44,07	58,00	-23,85	31,27	344,67	3.678 (M)	[PC]	H+V
5038	C	-16,46	29,07	46,00	-32,22	26,79	422,84	3.678 (M)	[PC]	H-V
5039	C	-13,46	32,07	46,00	-22,51	28,58	342,13	3.679 (M)	[PC]	H+V
5040	C	-16,46	33,57	49,00	-27,97	28,20	373,95	3.679 (M)	[PC]	H-V
5041	C	-16,46	32,07	48,00	-29,61	27,76	390,07	3.679 (M)	[PC]	H-V
5042	C	-16,46	35,07	50,00	-25,96	28,60	357,66	3.681 (M)	[PC]	H-V
5043	C	-8,96	33,57	45,00	-19,28	31,27	316,61	3.683 (M)	[PC]	H-V
5044	C	-16,46	42,57	56,00	-22,57	31,34	338,59	3.684 (M)	[PC]	H+V
5045	C	-10,46	41,07	52,00	-19,20	33,57	318,71	3.685 (M)	[PC]	H+V
5046	C	-16,46	30,57	47,00	-31,01	27,29	406,58	3.685 (M)	[PC]	H-V
5047	C	-11,96	42,57	54,00	-20,34	33,48	326,66	3.687 (M)	[PC]	H+V
5048	C	-8,96	44,07	54,00	-17,38	35,48	316,83	3.687 (M)	[PC]	H+V
5049	C	-10,46	35,07	47,00	-20,49	31,25	325,53	3.687 (M)	[PC]	H-V
5050	C	-11,96	47,07	58,00	-19,64	35,27	332,54	3.687 (M)	[PC]	H+V
5051	C	-10,46	45,57	56,00	-18,52	35,38	324,78	3.689 (M)	[PC]	H+V
5052	C	-14,96	41,07	54,00	-22,01	31,41	332,09	3.692 (M)	[PC]	H+V
5053	C	-7,46	42,57	52,00	-15,84	35,59	308,91	3.693 (M)	[PC]	H-V
5054	C	-5,96	32,07	42,00	-15,85	31,66	283,21	3.693 (M)	[PC]	H+V
5055	C	-14,96	33,57	48,00	-23,79	28,60	349,76	3.696 (M)	[PC]	H-V
5056	C	-13,46	48,57	60,00	-20,68	35,15	340,16	3.697 (M)	[PC]	H-V
5057	C	-7,46	38,07	48,00	-16,85	33,72	302,32	3.700 (M)	[PC]	H-V
5058	C	-17,96	29,07	47,00	-36,25	26,35	455,91	3.702 (M)	[PC]	H-V
5059	C	-13,46	44,07	56,00	-21,05	33,39	334,32	3.703 (M)	[PC]	H-V
5060	C	-17,96	32,07	49,00	-34,14	27,34	420,71	3.703 (M)	[PC]	H+V
5061	C	-14,96	35,07	49,00	-22,81	28,99	334,70	3.709 (M)	[PC]	H-V
5062	C	-16,46	36,57	51,00	-24,40	28,97	341,74	3.709 (M)	[PC]	H-V
5063	C	-8,96	39,57	50,00	-18,03	33,64	310,62	3.710 (M)	[PC]	H-V
5064	C	-17,96	44,07	58,00	-23,85	31,27	344,67	3.713 (M)	[PC]	H-V
5065	C	-13,46	32,07	46,00	-22,51	28,58	342,13	3.714 (M)	[PC]	H-V
5066	C	-16,46	42,57	56,00	-22,57	31,34	338,59	3.718 (M)	[PC]	H-V
5067	C	-10,46	41,07	52,00	-19,20	33,57	318,71	3.719 (M)	[PC]	H-V
5068	C	-11,96	42,57	54,00	-20,34	33,48	326,66	3.721 (M)	[PC]	H-V
5069	C	-8,96	44,07	54,00	-17,38	35,48	316,83	3.721 (M)	[PC]	H-V
5070	C	-13,46	39,57	52,00	-21,42	31,47	325,03	3.722 (M)	[PC]	H+V
5071	C	-11,96	47,07	58,00	-19,64	35,27	332,54	3.722 (M)	[PC]	H-V
5072	C	-11,96	30,57	44,00	-21,86	28,55	333,73	3.723 (M)	[PC]	H+V
5073	C	-17,96	33,57	50,00	-32,86	27,79	402,74	3.723 (M)	[PC]	H+V
5074	C	-10,46	45,57	56,00	-18,52	35,38	324,78	3.723 (M)	[PC]	H-V
5075	C	-5,96	33,57	43,00	-13,58	32,02	268,96	3.726 (M)	[PC]	H+V
5076	C	-5,96	32,07	42,00	-15,85	31,66	283,21	3.726 (M)	[PC]	H-V
5077	C	-14,96	41,07	54,00	-22,01	31,41	332,09	3.727 (M)	[PC]	H-V
5078	C	-17,96	35,07	51,00	-31,40	28,21	385,02	3.727 (M)	[PC]	H+V
5079	C	-7,46	33,57	44,00	-17,42	31,64	292,13	3.731 (M)	[PC]	H+V
5080	C	-17,96	30,57	48,00	-35,26	26,86	438,54	3.736 (M)	[PC]	H+V
5081	C	-17,96	36,57	52,00	-29,67	28,59	367,04	3.736 (M)	[PC]	H+V
5082	C	-10,46	29,07	42,00	-21,17	28,51	324,54	3.737 (M)	[PC]	H+V
5083	C	-17,96	32,07	49,00	-34,14	27,34	420,71	3.738 (M)	[PC]	H-V
5084	C	-16,46	38,07	52,00	-23,35	29,32	325,69	3.740 (M)	[PC]	H+V
5085	C	-17,96	38,07	53,00	-27,57	28,95	349,33	3.741 (M)	[PC]	H+V
5086	C	-8,96	35,07	46,00	-18,63	31,62	300,82	3.742 (M)	[PC]	H+V
5087	C	-11,96	38,07	50,00	-20,81	31,53	317,35	3.743 (M)	[PC]	H+V
5088	C	-10,46	36,57	48,00	-19,82	31,58	309,23	3.749 (M)	[PC]	H+V
5089	C	-13,46	33,57	47,00	-22,14	28,99	327,39	3.753 (M)	[PC]	H+V
5090	C	-13,46	39,57	52,00	-21,42	31,47	325,03	3.756 (M)	[PC]	H-V
5091	C	-14,96	36,57	50,00	-22,38	29,35	319,22	3.756 (M)	[PC]	H+V
5092	C	-16,46	48,57	61,00	-21,76	33,38	329,02	3.757 (M)	[PC]	H+V
5093	C	-11,96	30,57	44,00	-21,86	28,55	333,73	3.758 (M)	[PC]	H-V
5094	C	-17,96	33,57	50,00	-32,86	27,79	402,74	3.758 (M)	[PC]	H-V
5095	C	-5,96	33,57	43,00	-13,58	32,02	268,96	3.759 (M)	[PC]	H-V
5096	C	-17,96	35,07	51,00	-31,40	28,21	385,02	3.762 (M)	[PC]	H-V
5097	C	-7,46	33,57	44,00	-17,42	31,64	292,13	3.764 (M)	[PC]	H-V
5098	C	-17,96	45,57	59,00	-22,70	31,50	326,81	3.770 (M)	[PC]	H+V
5099	C	-17,96	39,57	54,00	-24,93	29,27	332,25	3.770 (M)	[PC]	H+V
5100	C	-17,96	36,57	52,00	-29,67	28,59	367,04	3.771 (M)	[PC]	H-V

N°	Forma	C_x	C_y	R	x_v	x_m	V	F_s	Caso	Sisma
		[m]	*[m]*	*[m]*	*[m]*	*[m]*	*[mc]*			
5101	C	-17,96	30,57	48,00	-35,26	26,86	438,54	3.772 (M)	[PC]	H-V
5102	C	-10,46	29,07	42,00	-21,17	28,51	324,54	3.772 (M)	[PC]	H-V
5103	C	-16,46	38,07	52,00	-23,35	29,32	325,69	3.775 (M)	[PC]	H-V
5104	C	-17,96	38,07	53,00	-27,57	28,95	349,33	3.775 (M)	[PC]	H-V
5105	C	-8,96	35,07	46,00	-18,63	31,62	300,82	3.776 (M)	[PC]	H-V
5106	C	-11,96	38,07	50,00	-20,81	31,53	317,35	3.777 (M)	[PC]	H-V
5107	C	-7,46	39,57	49,00	-15,59	33,97	285,39	3.780 (M)	[PC]	H+V
5108	C	-10,46	36,57	48,00	-19,82	31,58	309,23	3.783 (M)	[PC]	H-V
5109	C	-14,96	47,07	59,00	-21,22	33,49	322,58	3.785 (M)	[PC]	H+V
5110	C	-13,46	33,57	47,00	-22,14	28,99	327,39	3.788 (M)	[PC]	H-V
5111	C	-11,96	32,07	45,00	-21,50	28,98	319,31	3.791 (M)	[PC]	H+V
5112	C	-14,96	36,57	50,00	-22,38	29,35	319,22	3.791 (M)	[PC]	H-V
5113	C	-16,46	48,57	61,00	-21,76	33,38	329,02	3.792 (M)	[PC]	H-V
5114	C	-8,96	41,07	51,00	-17,32	33,88	293,17	3.798 (M)	[PC]	H+V
5115	C	-16,46	44,07	57,00	-22,16	31,59	321,00	3.802 (M)	[PC]	H+V
5116	C	-8,96	29,07	41,00	-19,76	28,93	300,98	3.802 (M)	[PC]	H+V
5117	C	-10,46	42,57	53,00	-18,47	33,79	300,80	3.804 (M)	[PC]	H+V
5118	C	-17,96	45,57	59,00	-22,70	31,50	326,81	3.805 (M)	[PC]	H-V
5119	C	-17,96	39,57	54,00	-24,93	29,27	332,25	3.805 (M)	[PC]	H-V
5120	C	-11,96	44,07	55,00	-19,60	33,69	308,32	3.807 (M)	[PC]	H+V
5121	C	-13,46	45,57	57,00	-20,66	33,59	315,66	3.811 (M)	[PC]	H+V
5122	C	-10,46	47,07	57,00	-17,76	35,53	305,73	3.814 (M)	[PC]	H+V
5123	C	-7,46	39,57	49,00	-15,59	33,97	285,39	3.814 (M)	[PC]	H-V
5124	C	-10,46	30,57	43,00	-20,83	28,96	310,48	3.819 (M)	[PC]	H+V
5125	C	-14,96	47,07	59,00	-21,22	33,49	322,58	3.821 (M)	[PC]	H-V
5126	C	-11,96	48,57	59,00	-18,87	35,41	313,11	3.822 (M)	[PC]	H+V
5127	C	-11,96	32,07	45,00	-21,50	28,98	319,31	3.826 (M)	[PC]	H-V
5128	C	-14,96	42,57	55,00	-21,61	31,67	314,67	3.826 (M)	[PC]	H+V
5129	C	-8,96	41,07	51,00	-17,32	33,88	293,17	3.833 (M)	[PC]	H-V
5130	C	-7,46	35,07	45,00	-16,77	31,98	276,61	3.836 (M)	[PC]	H+V
5131	C	-8,96	29,07	41,00	-19,76	28,93	300,98	3.836 (M)	[PC]	H-V
5132	C	-16,46	44,07	57,00	-22,16	31,59	321,00	3.837 (M)	[PC]	H-V
5133	C	-10,46	42,57	53,00	-18,47	33,79	300,80	3.839 (M)	[PC]	H-V
5134	C	-11,96	44,07	55,00	-19,60	33,69	308,32	3.843 (M)	[PC]	H-V
5135	C	-13,46	45,57	57,00	-20,66	33,59	315,66	3.846 (M)	[PC]	H-V
5136	C	-17,96	41,07	55,00	-23,81	29,57	315,46	3.847 (M)	[PC]	H+V
5137	C	-10,46	47,07	57,00	-17,76	35,53	305,73	3.849 (M)	[PC]	H-V
5138	C	-8,96	36,57	47,00	-17,96	31,93	284,79	3.850 (M)	[PC]	H+V
5139	C	-16,46	39,57	53,00	-22,56	29,63	309,55	3.852 (M)	[PC]	H+V
5140	C	-13,46	41,07	53,00	-21,03	31,74	307,79	3.853 (M)	[PC]	H+V
5141	C	-10,46	30,57	43,00	-20,83	28,96	310,48	3.854 (M)	[PC]	H-V
5142	C	-11,96	48,57	59,00	-18,87	35,41	313,11	3.858 (M)	[PC]	H-V
5143	C	-14,96	38,07	51,00	-21,98	29,68	303,34	3.860 (M)	[PC]	H+V
5144	C	-13,46	35,07	48,00	-21,77	29,37	312,17	3.862 (M)	[PC]	H+V
5145	C	-14,96	42,57	55,00	-21,61	31,67	314,67	3.862 (M)	[PC]	H-V
5146	C	-10,46	38,07	49,00	-19,13	31,88	292,75	3.865 (M)	[PC]	H+V
5147	C	-11,96	33,57	46,00	-21,14	29,38	304,38	3.868 (M)	[PC]	H+V
5148	C	-11,96	39,57	51,00	-20,29	31,81	300,34	3.870 (M)	[PC]	H+V
5149	C	-7,46	35,07	45,00	-16,77	31,98	276,61	3.871 (M)	[PC]	H-V
5150	C	-7,46	29,07	40,00	-17,91	29,34	277,76	3.871 (M)	[PC]	H+V
5151	C	-5,96	29,07	39,00	-15,48	29,75	255,41	3.879 (M)	[PC]	H+V
5152	C	-8,96	30,57	42,00	-19,16	29,37	286,98	3.881 (M)	[PC]	H+V
5153	C	-17,96	41,07	55,00	-23,81	29,57	315,46	3.883 (M)	[PC]	H-V
5154	C	-8,96	36,57	47,00	-17,96	31,93	284,79	3.885 (M)	[PC]	H-V
5155	C	-16,46	39,57	53,00	-22,56	29,63	309,55	3.888 (M)	[PC]	H-V
5156	C	-13,46	41,07	53,00	-21,03	31,74	307,79	3.889 (M)	[PC]	H-V
5157	C	-10,46	32,07	44,00	-20,39	29,38	295,89	3.890 (M)	[PC]	H+V
5158	C	-13,46	36,57	49,00	-21,39	29,72	296,52	3.891 (M)	[PC]	H+V
5159	C	-14,96	38,07	51,00	-21,98	29,68	303,34	3.896 (M)	[PC]	H-V
5160	C	-13,46	35,07	48,00	-21,77	29,37	312,17	3.899 (M)	[PC]	H-V
5161	C	-10,46	38,07	49,00	-19,13	31,88	292,75	3.901 (M)	[PC]	H-V
5162	C	-5,96	30,57	40,00	-13,30	30,17	242,57	3.904 (M)	[PC]	H+V
5163	C	-11,96	33,57	46,00	-21,14	29,38	304,38	3.904 (M)	[PC]	H-V
5164	C	-11,96	39,57	51,00	-20,29	31,81	300,34	3.905 (M)	[PC]	H-V
5165	C	-7,46	29,07	40,00	-17,91	29,34	277,76	3.906 (M)	[PC]	H-V
5166	C	-5,96	29,07	39,00	-15,48	29,75	255,41	3.913 (M)	[PC]	H-V
5167	C	-8,96	30,57	42,00	-19,16	29,37	286,98	3.916 (M)	[PC]	H-V
5168	C	-7,46	36,57	46,00	-15,34	32,28	261,09	3.920 (M)	[PC]	H+V
5169	C	-10,46	32,07	44,00	-20,39	29,38	295,89	3.926 (M)	[PC]	H-V
5170	C	-13,46	36,57	49,00	-21,39	29,72	296,52	3.927 (M)	[PC]	H-V
5171	C	-17,96	47,07	60,00	-22,28	31,70	308,80	3.928 (M)	[PC]	H+V
5172	C	-7,46	30,57	41,00	-17,31	29,77	264,20	3.931 (M)	[PC]	H+V
5173	C	-5,96	30,57	40,00	-13,30	30,17	242,57	3.939 (M)	[PC]	H-V
5174	C	-10,46	44,07	54,00	-17,72	33,98	282,86	3.940 (M)	[PC]	H+V
5175	C	-14,96	48,57	60,00	-20,81	33,65	303,58	3.945 (M)	[PC]	H+V
5176	C	-11,96	45,57	56,00	-18,83	33,88	289,88	3.954 (M)	[PC]	H+V
5177	C	-7,46	36,57	46,00	-15,34	32,28	261,09	3.955 (M)	[PC]	H-V
5178	C	-13,46	47,07	58,00	-19,94	33,77	296,83	3.955 (M)	[PC]	H+V
5179	C	-16,46	45,57	58,00	-21,75	31,80	303,12	3.959 (M)	[PC]	H+V

N°	Forma	C_x	C_y	R	x_v	x_m	V	F_s	Caso	Sisma
		[m]	*[m]*	*[m]*	*[m]*	*[m]*	*[mc]*			
5180	C	-17,96	47,07	60,00	-22,28	31,70	308,80	3.965 (M)	[PC]	H-V
5181	C	-7,46	30,57	41,00	-17,31	29,77	264,20	3.966 (M)	[PC]	H-V
5182	C	-16,46	41,07	54,00	-22,15	29,91	293,11	3.973 (M)	[PC]	H+V
5183	C	-10,46	44,07	54,00	-17,72	33,98	282,86	3.976 (M)	[PC]	H-V
5184	C	-14,96	48,57	60,00	-20,81	33,65	303,58	3.982 (M)	[PC]	H-V
5185	C	-8,96	32,07	43,00	-18,53	29,78	272,57	3.985 (M)	[PC]	H+V
5186	C	-8,96	38,07	48,00	-17,26	32,22	268,52	3.985 (M)	[PC]	H+V
5187	C	-14,96	44,07	56,00	-21,20	31,89	296,94	3.988 (M)	[PC]	H+V
5188	C	-11,96	35,07	47,00	-20,77	29,75	288,99	3.990 (M)	[PC]	H+V
5189	C	-11,96	45,57	56,00	-18,83	33,88	289,88	3.991 (M)	[PC]	H-V
5190	C	-13,46	47,07	58,00	-19,94	33,77	296,83	3.993 (M)	[PC]	H-V
5191	C	-10,46	33,57	45,00	-19,73	29,77	280,92	3.993 (M)	[PC]	H+V
5192	C	-16,46	45,57	58,00	-21,75	31,80	303,12	3.997 (M)	[PC]	H-V
5193	C	-10,46	39,57	50,00	-18,41	32,14	275,99	3.997 (M)	[PC]	H+V
5194	C	-14,96	29,07	44,00	-24,58	26,16	329,50	3.999 (M)	[PC]	H+V
5195	C	-14,96	39,57	52,00	-21,59	29,97	287,09	4.004 (M)	[PC]	H+V
5196	C	-11,96	41,07	52,00	-19,55	32,07	283,21	4.004 (M)	[PC]	H+V
5197	C	-13,46	42,57	54,00	-20,64	31,98	290,23	4.006 (M)	[PC]	H+V
5198	C	-16,46	41,07	54,00	-22,15	29,91	293,11	4.010 (M)	[PC]	H-V
5199	C	-11,96	36,57	48,00	-20,22	30,08	273,39	4.012 (M)	[PC]	H+V
5200	C	-8,96	32,07	43,00	-18,53	29,78	272,57	4.021 (M)	[PC]	H-V
5201	C	-8,96	38,07	48,00	-17,26	32,22	268,52	4.022 (M)	[PC]	H-V
5202	C	-16,46	29,07	45,00	-29,22	25,72	352,87	4.025 (M)	[PC]	H+V
5203	C	-14,96	44,07	56,00	-21,20	31,89	296,94	4.025 (M)	[PC]	H-V
5204	C	-16,46	47,07	59,00	-21,34	31,99	285,00	4.026 (M)	[PC]	H+V
5205	C	-11,96	35,07	47,00	-20,77	29,75	288,99	4.027 (M)	[PC]	H-V
5206	C	-17,96	48,57	61,00	-21,86	31,88	290,56	4.027 (M)	[PC]	H+V
5207	C	-10,46	33,57	45,00	-19,73	29,77	280,92	4.030 (M)	[PC]	H-V
5208	C	-13,46	38,07	50,00	-21,00	30,03	280,47	4.031 (M)	[PC]	H+V
5209	C	-10,46	39,57	50,00	-18,41	32,14	275,99	4.034 (M)	[PC]	H-V
5210	C	-14,96	30,57	45,00	-23,68	26,64	316,04	4.038 (M)	[PC]	H+V
5211	C	-14,96	29,07	44,00	-24,58	26,16	329,50	4.038 (M)	[PC]	H-V
5212	C	-14,96	39,57	52,00	-21,59	29,97	287,09	4.041 (M)	[PC]	H-V
5213	C	-11,96	41,07	52,00	-19,55	32,07	283,21	4.042 (M)	[PC]	H-V
5214	C	-13,46	42,57	54,00	-20,64	31,98	290,23	4.043 (M)	[PC]	H-V
5215	C	-13,46	29,07	43,00	-22,47	26,58	308,22	4.044 (M)	[PC]	H+V
5216	C	-16,46	32,07	47,00	-25,69	26,67	323,57	4.044 (M)	[PC]	H+V
5217	C	-16,46	30,57	46,00	-27,63	26,22	338,22	4.048 (M)	[PC]	H+V
5218	C	-7,46	32,07	42,00	-16,67	30,16	250,04	4.049 (M)	[PC]	H+V
5219	C	-11,96	36,57	48,00	-20,22	30,08	273,39	4.049 (M)	[PC]	H-V
5220	C	-17,96	42,57	56,00	-22,69	29,84	298,69	4.054 (M)	[PC]	H+V
5221	C	-16,46	47,07	59,00	-21,34	31,99	285,00	4.064 (M)	[PC]	H-V
5222	C	-16,46	29,07	45,00	-29,22	25,72	352,87	4.064 (M)	[PC]	H-V
5223	C	-17,96	48,57	61,00	-21,86	31,88	290,56	4.065 (M)	[PC]	H-V
5224	C	-13,46	38,07	50,00	-21,00	30,03	280,47	4.068 (M)	[PC]	H-V
5225	C	-8,96	33,57	44,00	-17,87	30,14	258,06	4.069 (M)	[PC]	H+V
5226	C	-14,96	30,57	45,00	-23,68	26,64	316,04	4.078 (M)	[PC]	H-V
5227	C	-10,46	35,07	46,00	-19,06	30,12	265,85	4.083 (M)	[PC]	H+V
5228	C	-13,46	29,07	43,00	-22,47	26,58	308,22	4.083 (M)	[PC]	H-V
5229	C	-16,46	32,07	47,00	-25,69	26,67	323,57	4.083 (M)	[PC]	H-V
5230	C	-7,46	32,07	42,00	-16,67	30,16	250,04	4.085 (M)	[PC]	H-V
5231	C	-16,46	30,57	46,00	-27,63	26,22	338,22	4.088 (M)	[PC]	H-V
5232	C	-16,46	33,57	48,00	-24,32	27,10	309,20	4.091 (M)	[PC]	H+V
5233	C	-17,96	42,57	56,00	-22,69	29,84	298,69	4.093 (M)	[PC]	H-V
5234	C	-14,96	32,07	46,00	-22,73	27,08	302,26	4.099 (M)	[PC]	H+V
5235	C	-8,96	33,57	44,00	-17,87	30,14	258,06	4.106 (M)	[PC]	H-V
5236	C	-13,46	48,57	59,00	-19,13	33,91	277,97	4.118 (M)	[PC]	H+V
5237	C	-10,46	35,07	46,00	-19,06	30,12	265,85	4.120 (M)	[PC]	H-V
5238	C	-7,46	33,57	43,00	-15,08	30,52	235,72	4.130 (M)	[PC]	H+V
5239	C	-17,96	32,07	48,00	-31,02	26,26	349,04	4.130 (M)	[PC]	H+V
5240	C	-17,96	30,57	47,00	-32,43	25,79	365,33	4.130 (M)	[PC]	H+V
5241	C	-16,46	33,57	48,00	-24,32	27,10	309,20	4.131 (M)	[PC]	H-V
5242	C	-14,96	45,57	57,00	-20,80	32,09	278,95	4.138 (M)	[PC]	H+V
5243	C	-17,96	29,07	46,00	-33,65	25,29	381,35	4.139 (M)	[PC]	H+V
5244	C	-10,46	36,57	47,00	-18,35	30,43	250,32	4.139 (M)	[PC]	H+V
5245	C	-11,96	42,57	53,00	-18,79	32,29	265,91	4.139 (M)	[PC]	H+V
5246	C	-14,96	32,07	46,00	-22,73	27,08	302,26	4.140 (M)	[PC]	H-V
5247	C	-17,96	33,57	49,00	-29,35	26,70	332,65	4.141 (M)	[PC]	H+V
5248	C	-13,46	44,07	55,00	-19,90	32,19	272,47	4.144 (M)	[PC]	H+V
5249	C	-14,96	41,07	53,00	-21,19	30,24	270,64	4.147 (M)	[PC]	H+V
5250	C	-10,46	41,07	51,00	-17,67	32,38	259,09	4.148 (M)	[PC]	H+V
5251	C	-11,96	38,07	49,00	-19,50	30,38	257,38	4.153 (M)	[PC]	H+V
5252	C	-13,46	30,57	44,00	-22,10	27,05	294,93	4.155 (M)	[PC]	H+V
5253	C	-13,46	48,57	59,00	-19,13	33,91	277,97	4.157 (M)	[PC]	H-V
5254	C	-13,46	39,57	51,00	-20,61	30,31	264,23	4.161 (M)	[PC]	H+V
5255	C	-16,46	35,07	49,00	-23,29	27,49	294,55	4.166 (M)	[PC]	H+V
5256	C	-7,46	33,57	43,00	-15,08	30,52	235,72	4.167 (M)	[PC]	H-V
5257	C	-17,96	32,07	48,00	-31,02	26,26	349,04	4.171 (M)	[PC]	H-V
5258	C	-17,96	30,57	47,00	-32,43	25,79	365,33	4.172 (M)	[PC]	H-V

N°	Forma	C_x	C_y	R	x_v	x_m	V	F_s	Caso	Sisma
		[m]	*[m]*	*[m]*	*[m]*	*[m]*	*[mc]*			
5259	C	-11,96	29,07	42,00	-21,44	27,01	286,85	4.176 (M)	[PC]	H+V
5260	C	-10,46	36,57	47,00	-18,35	30,43	250,32	4.176 (M)	[PC]	H-V
5261	C	-14,96	45,57	57,00	-20,80	32,09	278,95	4.177 (M)	[PC]	H-V
5262	C	-11,96	42,57	53,00	-18,79	32,29	265,91	4.177 (M)	[PC]	H-V
5263	C	-17,96	29,07	46,00	-33,65	25,29	381,35	4.181 (M)	[PC]	H-V
5264	C	-17,96	35,07	50,00	-27,32	27,10	316,48	4.181 (M)	[PC]	H+V
5265	C	-17,96	33,57	49,00	-29,35	26,70	332,65	4.182 (M)	[PC]	H-V
5266	C	-13,46	44,07	55,00	-19,90	32,19	272,47	4.183 (M)	[PC]	H-V
5267	C	-14,96	41,07	53,00	-21,19	30,24	270,64	4.185 (M)	[PC]	H-V
5268	C	-10,46	41,07	51,00	-17,67	32,38	259,09	4.187 (M)	[PC]	H-V
5269	C	-11,96	38,07	49,00	-19,50	30,38	257,38	4.191 (M)	[PC]	H-V
5270	C	-13,46	30,57	44,00	-22,10	27,05	294,93	4.196 (M)	[PC]	H-V
5271	C	-17,96	36,57	51,00	-24,87	27,47	300,72	4.196 (M)	[PC]	H+V
5272	C	-14,96	33,57	47,00	-22,35	27,49	288,30	4.197 (M)	[PC]	H+V
5273	C	-13,46	39,57	51,00	-20,61	30,31	264,23	4.199 (M)	[PC]	H-V
5274	C	-16,46	35,07	49,00	-23,29	27,49	294,55	4.207 (M)	[PC]	H-V
5275	C	-11,96	29,07	42,00	-21,44	27,01	286,85	4.217 (M)	[PC]	H-V
5276	C	-8,96	35,07	45,00	-17,19	30,48	243,06	4.219 (M)	[PC]	H+V
5277	C	-17,96	35,07	50,00	-27,32	27,10	316,48	4.223 (M)	[PC]	H-V
5278	C	-13,46	45,57	56,00	-19,10	32,38	254,71	4.226 (M)	[PC]	H+V
5279	C	-14,96	47,07	58,00	-20,19	32,27	260,75	4.233 (M)	[PC]	H+V
5280	C	-16,46	48,57	60,00	-20,92	32,15	266,64	4.234 (M)	[PC]	H+V
5281	C	-17,96	36,57	51,00	-24,87	27,47	300,72	4.238 (M)	[PC]	H-V
5282	C	-14,96	33,57	47,00	-22,35	27,49	288,30	4.239 (M)	[PC]	H-V
5283	C	-13,46	32,07	45,00	-21,73	27,48	281,28	4.246 (M)	[PC]	H+V
5284	C	-17,96	44,07	57,00	-22,28	30,09	281,78	4.250 (M)	[PC]	H+V
5285	C	-16,46	29,07	44,00	-25,42	24,63	288,14	4.255 (M)	[PC]	H+V
5286	C	-8,96	35,07	45,00	-17,19	30,48	243,06	4.257 (M)	[PC]	H-V
5287	C	-11,96	30,57	43,00	-21,09	27,46	273,56	4.264 (M)	[PC]	H+V
5288	C	-17,96	38,07	52,00	-23,77	27,82	285,49	4.265 (M)	[PC]	H+V
5289	C	-13,46	45,57	56,00	-19,10	32,38	254,71	4.266 (M)	[PC]	H-V
5290	C	-14,96	47,07	58,00	-20,19	32,27	260,75	4.272 (M)	[PC]	H-V
5291	C	-16,46	48,57	60,00	-20,92	32,15	266,64	4.274 (M)	[PC]	H-V
5292	C	-16,46	42,57	55,00	-21,74	30,17	276,44	4.285 (M)	[PC]	H+V
5293	C	-13,46	32,07	45,00	-21,73	27,48	281,28	4.288 (M)	[PC]	H-V
5294	C	-17,96	44,07	57,00	-22,28	30,09	281,78	4.292 (M)	[PC]	H-V
5295	C	-10,46	29,07	41,00	-20,27	27,43	265,11	4.292 (M)	[PC]	H+V
5296	C	-16,46	29,07	44,00	-25,42	24,63	288,14	4.297 (M)	[PC]	H-V
5297	C	-10,46	38,07	48,00	-17,62	30,72	234,60	4.297 (M)	[PC]	H+V
5298	C	-11,96	30,57	43,00	-21,09	27,46	273,56	4.305 (M)	[PC]	H-V
5299	C	-17,96	38,07	52,00	-23,77	27,82	285,49	4.307 (M)	[PC]	H-V
5300	C	-16,46	36,57	50,00	-22,54	27,85	279,86	4.315 (M)	[PC]	H+V
5301	C	-11,96	39,57	50,00	-18,75	30,64	241,17	4.315 (M)	[PC]	H+V
5302	C	-14,96	35,07	48,00	-21,96	27,87	273,74	4.326 (M)	[PC]	H+V
5303	C	-16,46	42,57	55,00	-21,74	30,17	276,44	4.327 (M)	[PC]	H-V
5304	C	-10,46	29,07	41,00	-20,27	27,43	265,11	4.334 (M)	[PC]	H-V
5305	C	-10,46	38,07	48,00	-17,62	30,72	234,60	4.336 (M)	[PC]	H-V
5306	C	-13,46	41,07	52,00	-19,87	30,57	247,60	4.343 (M)	[PC]	H+V
5307	C	-17,96	30,57	46,00	-29,02	24,69	296,96	4.347 (M)	[PC]	H+V
5308	C	-11,96	39,57	50,00	-18,75	30,64	241,17	4.355 (M)	[PC]	H-V
5309	C	-16,46	36,57	50,00	-22,54	27,85	279,86	4.358 (M)	[PC]	H-V
5310	C	-13,46	33,57	46,00	-21,36	27,88	266,99	4.359 (M)	[PC]	H+V
5311	C	-8,96	29,07	40,00	-18,42	27,84	243,39	4.364 (M)	[PC]	H+V
5312	C	-14,96	35,07	48,00	-21,96	27,87	273,74	4.368 (M)	[PC]	H-V
5313	C	-13,46	41,07	52,00	-19,87	30,57	247,60	4.384 (M)	[PC]	H-V
5314	C	-17,96	39,57	53,00	-22,68	28,13	270,01	4.385 (M)	[PC]	H+V
5315	C	-17,96	30,57	46,00	-29,02	24,69	296,96	4.390 (M)	[PC]	H-V
5316	C	-13,46	33,57	46,00	-21,36	27,88	266,99	4.402 (M)	[PC]	H-V
5317	C	-17,96	29,07	45,00	-30,62	19,66	293,30	4.405 (M)	[PC]	H+V
5318	C	-11,96	32,07	44,00	-20,72	27,88	259,57	4.405 (M)	[PC]	H+V
5319	C	-8,96	29,07	40,00	-18,42	27,84	243,39	4.405 (M)	[PC]	H-V
5320	C	-10,46	30,57	42,00	-19,64	27,87	251,61	4.410 (M)	[PC]	H+V
5321	C	-17,96	39,57	53,00	-22,68	28,13	270,01	4.428 (M)	[PC]	H-V
5322	C	-17,96	45,57	58,00	-21,85	30,30	264,73	4.434 (M)	[PC]	H+V
5323	C	-11,96	32,07	44,00	-20,72	27,88	259,57	4.448 (M)	[PC]	H-V
5324	C	-17,96	29,07	45,00	-30,62	19,66	293,30	4.452 (M)	[PC]	H-V
5325	C	-10,46	30,57	42,00	-19,64	27,87	251,61	4.452 (M)	[PC]	H-V
5326	C	-16,46	44,07	56,00	-21,33	30,39	259,52	4.467 (M)	[PC]	H+V
5327	C	-16,46	38,07	51,00	-22,14	28,18	264,65	4.468 (M)	[PC]	H+V
5328	C	-7,46	29,07	39,00	-16,56	28,25	222,16	4.475 (M)	[PC]	H+V
5329	C	-17,96	45,57	58,00	-21,85	30,30	264,73	4.478 (M)	[PC]	H-V
5330	C	-14,96	29,07	43,00	-22,69	25,08	268,45	4.483 (M)	[PC]	H+V
5331	C	-14,96	42,57	54,00	-20,78	30,48	253,75	4.495 (M)	[PC]	H+V
5332	C	-8,96	30,57	41,00	-17,78	28,27	230,10	4.499 (M)	[PC]	H+V
5333	C	-16,46	30,57	45,00	-24,23	25,14	275,44	4.505 (M)	[PC]	H+V
5334	C	-13,46	35,07	47,00	-20,97	28,25	252,23	4.506 (M)	[PC]	H+V
5335	C	-14,96	36,57	49,00	-21,57	28,22	258,74	4.509 (M)	[PC]	H+V
5336	C	-16,46	44,07	56,00	-21,33	30,39	259,52	4.511 (M)	[PC]	H-V
5337	C	-16,46	38,07	51,00	-22,14	28,18	264,65	4.512 (M)	[PC]	H-V

N°	Forma	C_x	C_y	R	x_v	x_m	V	F_s	Caso	Sisma
		[m]	*[m]*	*[m]*	*[m]*	*[m]*	*[mc]*			
5338	C	-10,46	32,07	43,00	-18,97	28,28	237,73	4.514 (M)	[PC]	H+V
5339	C	-7,46	29,07	39,00	-16,56	28,25	222,16	4.517 (M)	[PC]	H-V
5340	C	-14,96	29,07	43,00	-22,69	25,08	268,45	4.528 (M)	[PC]	H-V
5341	C	-11,96	33,57	45,00	-20,15	28,27	245,14	4.533 (M)	[PC]	H+V
5342	C	-14,96	42,57	54,00	-20,78	30,48	253,75	4.539 (M)	[PC]	H-V
5343	C	-8,96	30,57	41,00	-17,78	28,27	230,10	4.542 (M)	[PC]	H-V
5344	C	-13,46	35,07	47,00	-20,97	28,25	252,23	4.550 (M)	[PC]	H-V
5345	C	-16,46	30,57	45,00	-24,23	25,14	275,44	4.552 (M)	[PC]	H-V
5346	C	-14,96	36,57	49,00	-21,57	28,22	258,74	4.554 (M)	[PC]	H-V
5347	C	-10,46	32,07	43,00	-18,97	28,28	237,73	4.557 (M)	[PC]	H-V
5348	C	-17,96	32,07	47,00	-27,06	25,17	282,33	4.558 (M)	[PC]	H+V
5349	C	-17,96	33,57	48,00	-24,81	25,60	268,49	4.572 (M)	[PC]	H+V
5350	C	-11,96	33,57	45,00	-20,15	28,27	245,14	4.577 (M)	[PC]	H-V
5351	C	-16,46	32,07	46,00	-23,23	25,58	262,23	4.581 (M)	[PC]	H+V
5352	C	-14,96	30,57	44,00	-22,32	25,55	255,88	4.591 (M)	[PC]	H+V
5353	C	-17,96	32,07	47,00	-27,06	25,17	282,33	4.604 (M)	[PC]	H-V
5354	C	-17,96	41,07	54,00	-22,27	28,41	254,25	4.617 (M)	[PC]	H+V
5355	C	-17,96	33,57	48,00	-24,81	25,60	268,49	4.619 (M)	[PC]	H-V
5356	C	-16,46	32,07	46,00	-23,23	25,58	262,23	4.628 (M)	[PC]	H-V
5357	C	-14,96	30,57	44,00	-22,32	25,55	255,88	4.637 (M)	[PC]	H-V
5358	C	-17,96	47,07	59,00	-21,43	30,49	247,37	4.655 (M)	[PC]	H+V
5359	C	-16,46	39,57	52,00	-21,73	28,47	249,07	4.661 (M)	[PC]	H+V
5360	C	-8,96	32,07	42,00	-17,11	28,66	216,44	4.661 (M)	[PC]	H+V
5361	C	-17,96	41,07	54,00	-22,27	28,41	254,25	4.663 (M)	[PC]	H-V
5362	C	-14,96	38,07	50,00	-21,17	28,53	243,35	4.684 (M)	[PC]	H+V
5363	C	-17,96	35,07	49,00	-23,72	25,99	254,32	4.689 (M)	[PC]	H+V
5364	C	-14,96	44,07	55,00	-20,16	30,69	236,66	4.690 (M)	[PC]	H+V
5365	C	-16,46	45,57	57,00	-20,91	30,59	242,21	4.696 (M)	[PC]	H+V
5366	C	-16,46	33,57	47,00	-22,52	25,99	248,77	4.700 (M)	[PC]	H+V
5367	C	-17,96	47,07	59,00	-21,43	30,49	247,37	4.701 (M)	[PC]	H-V
5368	C	-10,46	33,57	44,00	-18,29	28,64	223,51	4.703 (M)	[PC]	H+V
5369	C	-8,96	32,07	42,00	-17,11	28,66	216,44	4.705 (M)	[PC]	H-V
5370	C	-11,96	35,07	46,00	-19,44	28,62	230,40	4.705 (M)	[PC]	H+V
5371	C	-16,46	39,57	52,00	-21,73	28,47	249,07	4.707 (M)	[PC]	H-V
5372	C	-13,46	36,57	48,00	-20,59	28,58	237,06	4.714 (M)	[PC]	H+V
5373	C	-13,46	29,07	42,00	-21,69	25,51	248,88	4.726 (M)	[PC]	H+V
5374	C	-14,96	38,07	50,00	-21,17	28,53	243,35	4.731 (M)	[PC]	H-V
5375	C	-14,96	44,07	55,00	-20,16	30,69	236,66	4.736 (M)	[PC]	H-V
5376	C	-17,96	35,07	49,00	-23,72	25,99	254,32	4.737 (M)	[PC]	H-V
5377	C	-16,46	45,57	57,00	-20,91	30,59	242,21	4.742 (M)	[PC]	H-V
5378	C	-10,46	33,57	44,00	-18,29	28,64	223,51	4.748 (M)	[PC]	H-V
5379	C	-16,46	33,57	47,00	-22,52	25,99	248,77	4.748 (M)	[PC]	H-V
5380	C	-11,96	35,07	46,00	-19,44	28,62	230,40	4.751 (M)	[PC]	H-V
5381	C	-13,46	36,57	48,00	-20,59	28,58	237,06	4.761 (M)	[PC]	H-V
5382	C	-17,96	29,07	44,00	-26,79	18,45	238,84	4.772 (M)	[PC]	H+V
5383	C	-13,46	29,07	42,00	-21,69	25,51	248,88	4.774 (M)	[PC]	H-V
5384	C	-17,96	42,57	55,00	-21,85	28,67	238,18	4.791 (M)	[PC]	H+V
5385	C	-17,96	29,07	44,00	-26,79	18,45	238,84	4.824 (M)	[PC]	H-V
5386	C	-16,46	41,07	53,00	-21,32	28,74	233,14	4.826 (M)	[PC]	H+V
5387	C	-17,96	36,57	50,00	-22,67	26,35	240,05	4.828 (M)	[PC]	H+V
5388	C	-14,96	32,07	45,00	-21,93	25,98	242,75	4.834 (M)	[PC]	H+V
5389	C	-17,96	42,57	55,00	-21,85	28,67	238,18	4.840 (M)	[PC]	H-V
5390	C	-17,96	30,57	45,00	-24,74	18,63	223,23	4.844 (M)	[PC]	H+V
5391	C	-13,46	30,57	43,00	-21,32	25,96	236,07	4.845 (M)	[PC]	H+V
5392	C	-11,96	36,57	47,00	-18,71	28,93	215,41	4.874 (M)	[PC]	H+V
5393	C	-16,46	41,07	53,00	-21,32	28,74	233,14	4.874 (M)	[PC]	H-V
5394	C	-17,96	36,57	50,00	-22,67	26,35	240,05	4.877 (M)	[PC]	H-V
5395	C	-16,46	35,07	48,00	-22,12	26,37	234,86	4.881 (M)	[PC]	H+V
5396	C	-14,96	32,07	45,00	-21,93	25,98	242,75	4.884 (M)	[PC]	H-V
5397	C	-16,46	29,07	43,00	-23,15	18,74	216,76	4.888 (M)	[PC]	H+V
5398	C	-13,46	30,57	43,00	-21,32	25,96	236,07	4.895 (M)	[PC]	H-V
5399	C	-11,96	29,07	41,00	-20,67	25,93	228,73	4.897 (M)	[PC]	H+V
5400	C	-17,96	30,57	45,00	-24,74	18,63	223,23	4.897 (M)	[PC]	H-V
5401	C	-14,96	39,57	51,00	-20,77	28,81	227,60	4.909 (M)	[PC]	H+V
5402	C	-13,46	38,07	49,00	-19,83	28,88	221,62	4.910 (M)	[PC]	H+V
5403	C	-11,96	36,57	47,00	-18,71	28,93	215,41	4.921 (M)	[PC]	H-V
5404	C	-16,46	35,07	48,00	-22,12	26,37	234,86	4.931 (M)	[PC]	H-V
5405	C	-16,46	29,07	43,00	-23,15	18,74	216,76	4.943 (M)	[PC]	H-V
5406	C	-11,96	29,07	41,00	-20,67	25,93	228,73	4.947 (M)	[PC]	H-V
5407	C	-14,96	39,57	51,00	-20,77	28,81	227,60	4.958 (M)	[PC]	H-V
5408	C	-13,46	38,07	49,00	-19,83	28,88	221,62	4.958 (M)	[PC]	H-V
5409	C	-17,96	38,07	51,00	-22,26	26,68	225,51	4.988 (M)	[PC]	H+V
5410	C	-17,96	44,07	56,00	-21,42	28,89	221,82	4.993 (M)	[PC]	H+V
5411	C	-17,96	32,07	46,00	-23,67	18,76	207,80	4.995 (M)	[PC]	H+V
5412	C	-10,46	29,07	40,00	-18,88	26,34	208,42	5.014 (M)	[PC]	H+V
5413	C	-14,96	33,57	46,00	-21,54	26,38	229,10	5.015 (M)	[PC]	H+V
5414	C	-11,96	30,57	42,00	-20,08	26,37	215,74	5.019 (M)	[PC]	H+V
5415	C	-16,46	42,57	54,00	-20,90	28,98	216,92	5.021 (M)	[PC]	H+V
5416	C	-16,46	36,57	49,00	-21,72	26,72	220,53	5.033 (M)	[PC]	H+V

N°	Forma	C_x	C_y	R	x_v	x_m	V	F_s	Caso	Sisma
		[m]	*[m]*	*[m]*	*[m]*	*[m]*	*[mc]*			
5417	C	-17,96	38,07	51,00	-22,26	26,68	225,51	5.039 (M)	[PC]	H-V
5418	C	-17,96	44,07	56,00	-21,42	28,89	221,82	5.043 (M)	[PC]	H-V
5419	C	-17,96	32,07	46,00	-23,67	18,76	207,80	5.050 (M)	[PC]	H-V
5420	C	-10,46	29,07	40,00	-18,88	26,34	208,42	5.063 (M)	[PC]	H-V
5421	C	-13,46	32,07	44,00	-20,94	26,38	222,71	5.064 (M)	[PC]	H+V
5422	C	-14,96	33,57	46,00	-21,54	26,38	229,10	5.066 (M)	[PC]	H-V
5423	C	-11,96	30,57	42,00	-20,08	26,37	215,74	5.069 (M)	[PC]	H-V
5424	C	-16,46	42,57	54,00	-20,90	28,98	216,92	5.071 (M)	[PC]	H-V
5425	C	-16,46	30,57	44,00	-22,50	18,89	201,88	5.072 (M)	[PC]	H+V
5426	C	-16,46	36,57	49,00	-21,72	26,72	220,53	5.084 (M)	[PC]	H-V
5427	C	-13,46	32,07	44,00	-20,94	26,38	222,71	5.116 (M)	[PC]	H-V
5428	C	-16,46	30,57	44,00	-22,50	18,89	201,88	5.128 (M)	[PC]	H-V
5429	C	-14,96	35,07	47,00	-21,15	26,75	214,98	5.164 (M)	[PC]	H+V
5430	C	-10,46	30,57	41,00	-18,21	26,77	195,60	5.173 (M)	[PC]	H+V
5431	C	-11,96	32,07	43,00	-19,38	26,78	202,37	5.190 (M)	[PC]	H+V
5432	C	-14,96	29,07	42,00	-21,90	19,01	195,52	5.194 (M)	[PC]	H+V
5433	C	-8,96	29,07	39,00	-17,02	26,75	188,62	5.197 (M)	[PC]	H+V
5434	C	-13,46	33,57	45,00	-20,53	26,77	208,85	5.199 (M)	[PC]	H+V
5435	C	-17,96	39,57	52,00	-21,84	26,97	210,61	5.200 (M)	[PC]	H+V
5436	C	-17,96	33,57	47,00	-22,66	18,87	192,51	5.206 (M)	[PC]	H+V
5437	C	-14,96	35,07	47,00	-21,15	26,75	214,98	5.217 (M)	[PC]	H-V
5438	C	-10,46	30,57	41,00	-18,21	26,77	195,60	5.224 (M)	[PC]	H-V
5439	C	-16,46	38,07	50,00	-21,31	27,03	205,80	5.237 (M)	[PC]	H+V
5440	C	-11,96	32,07	43,00	-19,38	26,78	202,37	5.242 (M)	[PC]	H-V
5441	C	-8,96	29,07	39,00	-17,02	26,75	188,62	5.247 (M)	[PC]	H-V
5442	C	-17,96	29,07	43,00	-23,62	17,24	190,02	5.250 (M)	[PC]	H+V
5443	C	-13,46	33,57	45,00	-20,53	26,77	208,85	5.251 (M)	[PC]	H-V
5444	C	-14,96	29,07	42,00	-21,90	19,01	195,52	5.252 (M)	[PC]	H-V
5445	C	-17,96	39,57	52,00	-21,84	26,97	210,61	5.253 (M)	[PC]	H-V
5446	C	-17,96	33,57	47,00	-22,66	18,87	192,51	5.264 (M)	[PC]	H-V
5447	C	-16,46	38,07	50,00	-21,31	27,03	205,80	5.290 (M)	[PC]	H-V
5448	C	-17,96	29,07	43,00	-23,62	17,24	190,02	5.308 (M)	[PC]	H-V
5449	C	-11,96	33,57	44,00	-18,66	27,14	188,69	5.318 (M)	[PC]	H+V
5450	C	-16,46	32,07	45,00	-22,10	19,00	186,83	5.330 (M)	[PC]	H+V
5451	C	-13,46	35,07	46,00	-19,79	27,12	194,66	5.339 (M)	[PC]	H+V
5452	C	-14,96	36,57	48,00	-20,75	27,08	200,46	5.368 (M)	[PC]	H+V
5453	C	-11,96	33,57	44,00	-18,66	27,14	188,69	5.370 (M)	[PC]	H-V
5454	C	-16,46	32,07	45,00	-22,10	19,00	186,83	5.390 (M)	[PC]	H-V
5455	C	-13,46	35,07	46,00	-19,79	27,12	194,66	5.392 (M)	[PC]	H-V
5456	C	-14,96	36,57	48,00	-20,75	27,08	200,46	5.423 (M)	[PC]	H-V
5457	C	-17,96	41,07	53,00	-21,42	27,24	195,38	5.431 (M)	[PC]	H+V
5458	C	-14,96	30,57	43,00	-21,52	19,14	180,64	5.432 (M)	[PC]	H+V
5459	C	-17,96	30,57	44,00	-22,65	17,39	175,71	5.463 (M)	[PC]	H+V
5460	C	-17,96	41,07	53,00	-21,42	27,24	195,38	5.486 (M)	[PC]	H-V
5461	C	-17,96	35,07	48,00	-22,25	18,94	177,19	5.488 (M)	[PC]	H+V
5462	C	-14,96	30,57	43,00	-21,52	19,14	180,64	5.494 (M)	[PC]	H-V
5463	C	-17,96	30,57	44,00	-22,65	17,39	175,71	5.525 (M)	[PC]	H-V
5464	C	-17,96	35,07	48,00	-22,25	18,94	177,19	5.549 (M)	[PC]	H-V
5465	C	-13,46	29,07	41,00	-20,90	19,26	173,84	5.552 (M)	[PC]	H+V
5466	C	-16,46	29,07	42,00	-22,08	17,51	170,31	5.596 (M)	[PC]	H+V
5467	C	-13,46	29,07	41,00	-20,90	19,26	173,84	5.614 (M)	[PC]	H-V
5468	C	-16,46	33,57	46,00	-21,70	19,08	171,64	5.617 (M)	[PC]	H+V
5469	C	-16,46	29,07	42,00	-22,08	17,51	170,31	5.659 (M)	[PC]	H-V
5470	C	-16,46	33,57	46,00	-21,70	19,08	171,64	5.681 (M)	[PC]	H-V
5471	C	-14,96	32,07	44,00	-21,13	19,23	165,54	5.745 (M)	[PC]	H+V
5472	C	-17,96	32,07	45,00	-22,24	17,50	161,32	5.805 (M)	[PC]	H+V
5473	C	-14,96	32,07	44,00	-21,13	19,23	165,54	5.810 (M)	[PC]	H-V
5474	C	-17,96	36,57	49,00	-21,83	18,97	161,79	5.856 (M)	[PC]	H+V
5475	C	-13,46	30,57	42,00	-20,47	19,37	158,89	5.861 (M)	[PC]	H+V
5476	C	-17,96	32,07	45,00	-22,24	17,50	161,32	5.871 (M)	[PC]	H-V
5477	C	-11,96	29,07	40,00	-19,31	19,50	151,91	5.921 (M)	[PC]	H+V
5478	C	-17,96	36,57	49,00	-21,83	18,97	161,79	5.922 (M)	[PC]	H-V
5479	C	-13,46	30,57	42,00	-20,47	19,37	158,89	5.928 (M)	[PC]	H-V
5480	C	-16,46	30,57	43,00	-21,68	17,64	156,05	5.942 (M)	[PC]	H+V
5481	C	-16,46	35,07	47,00	-21,29	19,13	156,29	5.953 (M)	[PC]	H+V
5482	C	-11,96	29,07	40,00	-19,31	19,50	151,91	5.987 (M)	[PC]	H-V
5483	C	-16,46	30,57	43,00	-21,68	17,64	156,05	6.010 (M)	[PC]	H-V
5484	C	-16,46	35,07	47,00	-21,29	19,13	156,29	6.021 (M)	[PC]	H-V
5485	C	-14,96	29,07	41,00	-21,10	17,76	150,25	6.076 (M)	[PC]	H+V
5486	C	-14,96	33,57	45,00	-20,73	19,28	150,30	6.086 (M)	[PC]	H+V
5487	C	-14,96	29,07	41,00	-21,10	17,76	150,25	6.145 (M)	[PC]	H-V
5488	C	-14,96	33,57	45,00	-20,73	19,28	150,30	6.155 (M)	[PC]	H-V
5489	C	-13,46	32,07	43,00	-19,74	19,43	143,88	6.170 (M)	[PC]	H+V
5490	C	-17,96	33,57	46,00	-21,82	17,58	146,78	6.182 (M)	[PC]	H+V
5491	C	-13,46	32,07	43,00	-19,74	19,43	143,88	6.239 (M)	[PC]	H-V
5492	C	-17,96	29,07	42,00	-22,23	16,01	144,86	6.243 (M)	[PC]	H+V
5493	C	-17,96	33,57	46,00	-21,82	17,58	146,78	6.253 (M)	[PC]	H-V
5494	C	-17,96	29,07	42,00	-22,23	16,01	144,86	6.315 (M)	[PC]	H-V

Analisi della superficie critica

Simbologia adottata

Le ascisse X sono considerate positive verso destra
Le ordinate Y sono considerate positive verso l'alto
Le strisce sono numerate da valle verso monte

N°	numero d'ordine della striscia
X_s	ascissa sinistra della striscia espressa in m
Y_{ss}	ordinata superiore sinistra della striscia espressa in m
Y_{si}	ordinata inferiore sinistra della striscia espressa in m
X_g	ascissa del baricentro della striscia espressa in m
Y_g	ordinata del baricentro della striscia espressa in m
a	angolo fra la base della striscia e l'orizzontale espresso °(positivo antiorario)
f	angolo d'attrito del terreno lungo la base della striscia
c	coesione del terreno lungo la base della striscia espressa in kPa
L	sviluppo della base della striscia espressa in m(L=b/cosa)
u	pressione neutra lungo la base della striscia espressa in kPa
W	peso della striscia espresso in kN
Q	carico applicato sulla striscia espresso in kN
N	sforzo normale alla base della striscia espresso in kN
T	sforzo tangenziale alla base della striscia espresso in kN
U	pressione neutra alla base della striscia espressa in kN
E_s, E_d	forze orizzontali sulla striscia a sinistra e a destra espresse in kN
X_s, X_d	forze verticali sulla striscia a sinistra e a destra espresse in kN
ID	Indice della superficie interessata dall'intervento

Superficie n° 1

Analisi della superficie 1 - valori caratteristici e sisma verso l'alto

Numero di strisce	26	
Coordinate del centro	X[m]= -7,46	Y[m]= 42,57
Raggio del cerchio	R[m]= 59,00	
Intersezione a valle con il profilo topografico	X_v[m]= -24,62	Y_v[m]= -13,88
Intersezione a monte con il profilo topografico	X_m[m]= 43,82	Y_m[m]= 13,40
Coefficiente di sicurezza	F_S= 2.797	

Geometria e caratteristiche strisce

N°	X_s	Y_{ss}	Y_{si}	X_d	Y_{ds}	Y_{di}	X_g	Y_g	L	a	f	c
	[m]	*[m]*	*[m]*	*[m]*	*[m]*	*[m]*	*[m]*	*[m]*	*[m]*	*[°]*	*[°]*	*[kPa]*
1	-24,62	-13,88	-13,88	-22,73	-13,27	-14,42	-23,36	-13,86	1,97	-15,96	35.00	100
2	-22,73	-13,27	-14,42	-20,59	-10,90	-14,95	-21,46	-13,30	2,20	-13,93	35.00	100
3	-20,59	-10,90	-14,95	-18,47	-9,82	-15,39	-19,48	-12,76	2,16	-11,81	35.00	100
4	-18,47	-9,82	-15,39	-16,36	-8,75	-15,75	-17,38	-12,42	2,15	-9,72	35.00	100
5	-16,36	-8,75	-15,75	-13,09	-8,75	-16,16	-14,71	-12,35	3,30	-7,07	35.00	100
6	-13,09	-8,75	-16,16	-9,82	-8,75	-16,38	-11,44	-12,51	3,28	-3,88	35.00	100
7	-9,82	-8,75	-16,38	-6,54	-8,75	-16,42	-8,18	-12,58	3,27	-0,70	35.00	100
8	-6,54	-8,75	-16,42	-3,27	-8,75	-16,28	-4,91	-12,55	3,28	2,48	35.00	100
9	-3,27	-8,75	-16,28	0,00	-8,75	-15,96	-1,65	-12,44	3,29	5,67	35.00	100
10	0,00	0,00	-15,96	0,70	0,00	-15,86	0,35	-7,95	0,71	7,61	35.00	100
11	0,70	0,00	-15,86	1,77	0,70	-15,70	1,24	-7,72	1,08	8,48	35.00	100
12	1,77	0,70	-15,70	5,09	0,70	-15,08	3,42	-7,35	3,37	10,64	35.00	100
13	5,09	0,70	-15,08	8,40	0,70	-14,26	6,73	-6,99	3,42	13,94	35.00	100
14	8,40	0,70	-14,26	11,60	3,82	-13,27	10,04	-5,73	3,35	17,22	35.00	100
15	11,60	3,82	-13,27	12,12	4,37	-13,09	11,86	-4,54	0,55	19,11	35.00	100
16	12,12	4,37	-13,09	14,68	4,37	-12,12	13,39	-4,12	2,74	20,71	35.00	100
17	14,68	4,37	-12,12	17,24	4,37	-11,01	15,94	-3,60	2,79	23,39	35.00	100
18	17,24	4,37	-11,01	19,80	4,37	-9,75	18,50	-3,01	2,85	26,13	35.00	100
19	19,80	12,50	-9,75	22,40	12,95	-8,32	21,09	1,84	2,97	28,96	35.00	100
20	22,40	12,95	-8,32	25,00	13,40	-6,70	23,69	2,83	3,06	31,89	35.00	100
21	25,00	13,40	-6,70	28,14	13,40	-4,48	26,54	3,89	3,84	35,24	35.00	100
22	28,14	13,40	-4,48	31,27	13,40	-1,93	29,67	5,08	4,04	39,07	35.00	100
23	31,27	13,40	-1,93	34,41	13,40	1,00	32,79	6,44	4,30	43,12	35.00	100
24	34,41	13,40	1,00	37,55	13,40	4,42	35,90	8,01	4,64	47,46	35.00	100
25	37,55	13,40	4,42	40,69	13,40	8,47	38,97	9,83	5,12	52,21	35.00	100
26	40,69	13,40	8,47	43,82	13,40	13,40	41,73	11,76	5,84	57,53	35.00	100

Forze applicate sulle strisce [MORGENSTERN]

N°	W	Q	N	T	U	E_s	E_d	X_s	X_d	ID
	[kN]	*[kN]*	*[kN]*	*[kN]*	*[kN]*	*[kN]*	*[kN]*	*[kN]*	*[kN]*	
1	22,85	0,00	94,98	94,14	0,00	0,00	115,49	0,00	-43,24	
2	116,85	0,00	217,90	133,36	0,00	115,49	291,47	-43,24	-109,12	
3	213,60	0,00	325,75	158,78	0,00	291,47	502,55	-109,12	-188,14	

N°	W	Q	N	T	U	E_s	E_d	X_s	X_d	ID
	[kN]	*[kN]*	*[kN]*	*[kN]*	*[kN]*	*[kN]*	*[kN]*	*[kN]*	*[kN]*	
4	279,21	0,00	389,18	174,13	0,00	502,55	725,19	-188,14	-271,49	
5	495,27	0,00	642,47	278,68	0,00	725,19	1054,17	-271,49	-394,65	
6	516,85	0,00	628,39	274,53	0,00	1054,17	1341,85	-394,65	-502,34	
7	525,84	0,00	604,34	268,25	0,00	1341,85	1587,27	-502,34	-594,22	
8	522,35	0,00	571,34	260,09	0,00	1587,27	1791,47	-594,22	-670,67	
9	506,32	0,00	530,00	250,21	0,00	1791,47	1957,22	-670,67	-732,72	
10	231,33	0,00	228,91	82,55	0,00	1957,22	1994,36	-732,72	-746,62	
11	357,63	0,00	350,47	126,40	0,00	1994,36	2045,32	-746,62	-765,70	
12	1102,59	51,70	1105,41	397,28	0,00	2045,32	2157,98	-765,70	-807,88	
13	1055,82	48,30	1026,48	379,04	0,00	2157,98	2206,12	-807,88	-825,90	
14	1076,71	0,00	974,56	363,71	0,00	2206,12	2192,37	-825,90	-820,75	
15	188,45	0,00	168,21	61,76	0,00	2192,37	2182,74	-820,75	-817,15	
16	912,49	0,00	806,04	299,60	0,00	2182,74	2114,75	-817,15	-791,69	
17	856,70	0,00	744,58	286,10	0,00	2114,75	2021,28	-791,69	-756,70	
18	793,16	0,00	678,83	271,86	0,00	2021,28	1909,45	-756,70	-714,84	
19	1188,12	0,00	1010,10	359,07	0,00	1909,45	1652,28	-714,84	-618,56	
20	1129,24	0,00	951,52	347,65	0,00	1652,28	1361,24	-618,56	-509,60	
21	1251,16	0,00	1043,89	398,63	0,00	1361,24	990,57	-509,60	-370,84	
22	1094,21	0,00	902,29	370,32	0,00	990,57	626,23	-370,84	-234,44	
23	913,50	0,00	740,72	339,08	0,00	626,23	297,33	-234,44	-111,31	
24	704,05	0,00	551,14	303,86	0,00	297,33	42,36	-111,31	-15,86	
25	458,13	0,00	319,95	263,10	0,00	42,36	-84,57	-15,86	31,66	
26	162,43	0,00	21,34	214,26	0,00	-84,57	0,00	31,66	0,00	